

WIELOKULTUROWY OBIEKT WAROWNY NA GÓRZE ZAMKOWEJ ORAZ GRÓD CYPLOWY W STARYM DZIERZGONIU

Studia i materiały



REDAKCJA NAUKOWA
DANIEL GAZDA



**WIELOKULTUROWY OBIEKT WAROWNY
NA GÓRZE ZAMKOWEJ ORAZ GRÓD CYPLOWY
W STARYM DZIERZGONIU.
STUDIA I MATERIAŁY**

Warszawa 2018

WIELOKULTUROWY
OBIEKT WAROWNY
NA GÓRZE ZAMKOWEJ
ORAZ GRÓD CYPLOWY
W STARYM DZIERZGONIU

STUDIA I MATERIAŁY

Trzecia Strona

Warszawa 2018

Redaktor naukowy:
DANIEL GAZDA

Redakcja i korekta:
BEATA JANKOWIAK-KONIK

Projekt okładki, skład i łamanie:
JAROSŁAW TALACHA

Ilustracje na okładce:
ARCHIWUM NAUKOWE DZIAŁU ARCHEOLOGII MUZEUM WARMII I MAZUR W OLSZTYNIE,
DANIEL GAZDA, KARTOTEKA SCHLEIFA (2)



Fundacja Ureusz

Dofinansowano ze środków Ministra Kultury i Dziedzictwa Narodowego

**Ministerstwo
Kultury
i Dziedzictwa
Narodowego.**



NARODOWY INSTYTUT
DZIEDZICTWA
NATIONAL HERITAGE BOARD OF POLAND

Wydawca: Trzecia Strona

Druk i oprawa: Fabryka Druku, Warszawa

ISBN: 978-83-64526-72-5

Wydanie 1, Warszawa 2018

SPIS TREŚCI

Od redakcji	7
-------------------	---

CHARAKTERYSTYKA OBIEKTÓW, HISTORIA I STAN BADAŃ

DANIEL GAZDA

<i>Położenie, warunki naturalne i opis wielokulturowego obiektu warownego oraz grodu cypłowego w Starym Dzierzgoniu</i>	11
---	----

WIESŁAW MAŁKOWSKI, KRZYSZTOF MISIEWICZ, DANIEL GAZDA, RADOSŁAW MIESZKOWSKI

<i>Nieinwazyjne badania archeologiczne grodziska w Starym Dzierzgoniu</i>	17
---	----

SEWERYN SZCZEPAŃSKI

<i>Osadnictwo średniowieczne wokół Starego Dzierzgonia</i>	37
--	----

SEWERYN SZCZEPAŃSKI

<i>Badania i badacze grodziska w Starym Dzierzgoniu do 1937 roku</i>	57
--	----

DANIEL GAZDA

<i>Badania archeologiczne obiektów warownych w Starym Dzierzgoniu w latach 1935–2018</i>	89
--	----

ANALIZA ŹRÓDEŁ ARCHEOLOGICZNYCH

JOANNA JEZIERSKA

<i>Analiza ceramiki ze Starego Dzierzgonia, stan. 1</i>	155
---	-----

WOJCIECH BARTZ

<i>Wyniki badań petrograficznych pradziejowej i wczesnośredniowiecznej ceramiki ze stanowiska nr 1 w Starym Dzierzgoniu – Góra Zamkowa</i>	185
--	-----

DANIEL GAZDA, JOANNA JEZIERSKA

<i>Pozostałe zabytki ruchome pochodzące z Góry Zamkowej w Starym Dzierzgoniu</i>	223
--	-----

MARTA OSYPIŃSKA

<i>Szczątki zwierzęce ze średniowiecznego zamku w Starym Dzierzgoniu – sezon 2010</i>	235
---	-----

OD REDAKCJI

W latach 2009–2011 na terenie wielokulturowych obiektów warownych w Starym Dzierzgoniu przeprowadzono badania archeologiczne, które miały zapoczątkować cały cykl prac nad architekturą obronną doby krucjat bałtyckich. Niestety Instytut Antropologii i Archeologii Akademii Humanistycznej w Pułtusku, gdzie ten projekt się narodził, został w 2011 r. zlikwidowany. Tym samym upadł ten, jakże potrzebny dla nauki polskiej, projekt. Trud dokończenia prac rozpoczętych przez Instytut, przynajmniej w zakresie dokończenia zaczętych wykopów i opracowania wyników dotychczasowych badań, podjęła Fundacja Ureusz. Plonem tych prac jest niniejsza książka.

W Starym Dzierzgoniu znajdują się dwa obiekty warowne: Góra Zamkowa (st. 1) i Gród Cypłowy (st. 3). Na ich terenie wciąż są widoczne ślady wałów obronnych i fos, robiąc jeszcze dziś imponujące wrażenie. Wały wznoszą się na wysokość prawie 10 m nad poziom majdanu, a sama powierzchnia obiektu wynosi 4,6 ha. Wielokulturowość obiektów warownych w Starym Dzierzgoniu przejawia się tym, że rozwijały się one na tym samym miejscu w trzech głównych okresach o zupełnie różnej kulturze (wczesnożelaznym i wczesnośredniowiecznym podzielonym na dwa okresy: pruski i krzyżacki), przy czym ostatnie prace wykazały że Gród Cypłowy był użytkowany tylko w okresie wczesnożelaznym. Dzięki dofinansowaniu z Ministerstwa Kultury i Dziedzictwa Narodowego, z Programu Zabytki Archeologiczne, można było: po pierwsze – przeprowadzić badania specjalistyczne i analizy zabytków ruchomych, po drugie – wykonać badania geofizyczne, sporządzić mapy numeryczne i sytuacyjno-warstwowe terenu obiektów, po trzecie – wydać książkę prezentującą wyniki tych badań. Opracowanie składa się z kilku rozdziałów, będących jednocześnie osobnymi tekstami pisanyymi przez różnych autorów. W poszczególnych rozdziałach przedstawiono opis obiektów oraz historię wykopalisk, ze szczególnym uwzględnieniem badań niemieckich z lat 1935–1937, które były prowadzone przez czołowych nazistowskich archeologów. Następnie są prezentowane wyniki badań archeologicznych,

zarówno niemieckich z lat 1935–1937, jak i polskich z lat 2009–2011 oraz 2017, z uwzględnieniem badań geofizycznych. Końcowe rozdziały są poświęcone analizie zabytków ruchomych oraz badaniom specjalistycznym: archeozoologicznym i chemicznym ceramiki. Wyniki badań termoluminescencyjnych oraz C14 zostały omówione przy okazji ostatnich prac archeologicznych. Prezentowane opracowanie jest wynikiem pracy ośmioosobowego zespołu badaczy z różnych dziedzin oraz dwóch laboratoriów specjalistycznych. Kierownikiem badań archeologicznych w Starym Dzierzgoniu, jak również ich koordynatorem był prezes Fundacji Ureusz Daniel Gazda, a uczestniczyli w nich mgr Joanna Jezierska z Muzeum Zamkowego w Malborku oddział Kwidziń i dr Seweryn Szczepański z Ośrodka Badań Naukowych im. Wojciecha Kętrzyńskiego w Olsztynie. Badania geofizyczne przeprowadził zespół w składzie: prof. Krzysztof Misiewicz i mgr Wojciech Małkowski z Instytutu Archeologii UW oraz dr hab. Radosław Mieszkowski z Instytutu Geologii UW. Badania specjalistyczne przeprowadzili odpowiednio: archeozoologiczne – dr Marta Osypińska-Gauza z Instytutu Archeologii i Etnologii PAN w Poznaniu; chemiczne ceramiki – dr Wojciech Bartz z Politechniki Wrocławskiej; termoluminescencyjne – dr Artur Ginter z Instytutu Archeologii Uniwersytetu Łódzkiego, a datowanie C14 wykonał w Laboratorium Radiowęglowym Instytutu Fizyki Politechniki Śląskiej dr hab. inż. Adam Michczyński prof. Politechniki Śląskiej.

Serdecznie dziękuję dyrekcji Muzeum Zamkowego w Malborku, które współfinansowało badania w latach 2009–2011.

Składam też podziękowania wszystkim uczestnikom badań oraz zespołowi redakcyjnemu – bez ich wkładu wydanie niniejszej publikacji nie byłoby możliwe. W szczególności dziękuję Joannie Jezierskiej, Beacie Konik, Sewerynowi Szczepańskiemu oraz dr. hab. Mirosławowi Hoffmanowi za jego konsultacje i ciepłe słowa.

DANIEL GAZDA

CHARAKTERYSTYKA OBIEKTÓW, HISTORIA I STAN BADAŃ

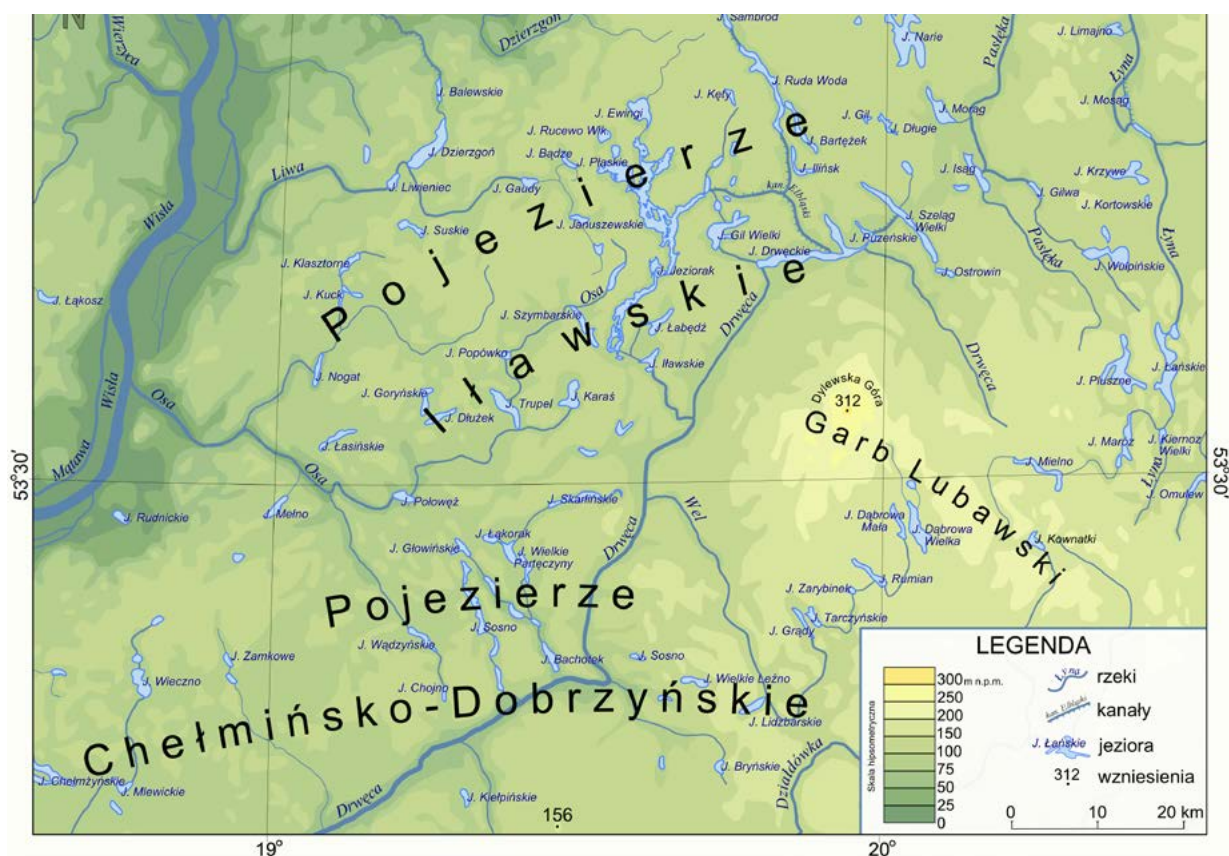
Położenie, warunki naturalne i opis wielokulturowego obiektu warownego oraz grodu cypelowego w Starym Dzierzgoniu

Położenie i warunki naturalne

Wielokulturowy obiekt warowny w Starym Dzierzgoniu (Alt Christburg) składa się z 3 obiektów: grodu cypelowego, grodziska – zamku krzyżackiego na Górze Zamkowej oraz wzgórza z wałem. Obiekt ten znajduje się w pobliżu wsi Stary Dzierzgoń, na terenie gminy Stary Dzierzgoń, w powiecie sztumskim, w południowo-wschodniej części województwa pomorskiego, na terenie makroregionu Pojezierza Iławskiego (ryc. 1).

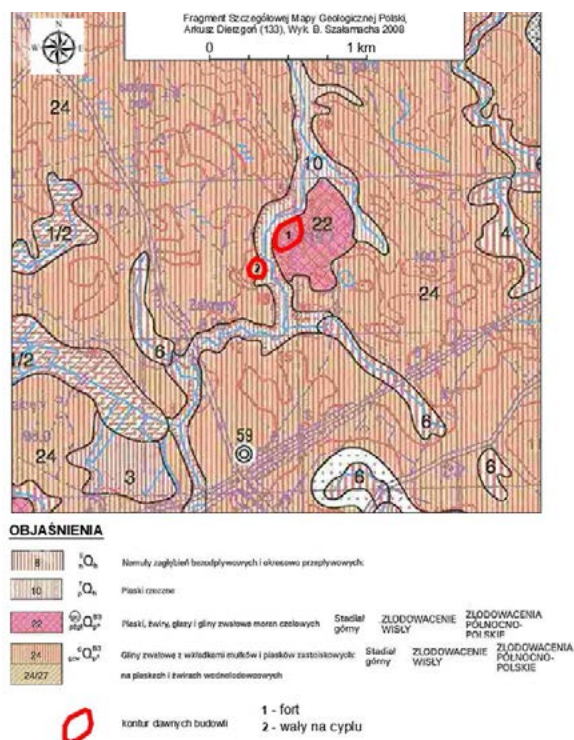
21 lipca 2004 r. rozporządzeniem ministra środowiska okolice obiektu zostały objęte ochroną jako Obszar Specjalnej Ochrony Ptaków Natura 2000. Jednak w 2016 r. przepisy dotyczące ochrony przyrody w omawianym rejonie uległy liberalizacji. Ponadto w 1993 r. tereny wokół Starego Dzierzgonia włączono w obręb Parku Krajobrazowego Pojezierza Iławskiego.

Środowisko geograficzne okolicy zostało ukształtowane w plejstocenie, w czasie ostatniego zlodowacenia bałtyckiego, w fazie recesyjnej stadium



Ryc. 1. Mapa Pojezierza Iławskiego i Garbu Lubawskiego (odwzorcowanie stożkowe normalne), oprac. Marcin n, CC 2.5, Wikimedia Commons.

Fig. 1. Map of Pojezierze Iławskie and Garb Lubawski (conic projection), worked out by Marcin n, CC 2.5, Wikimedia Commons.



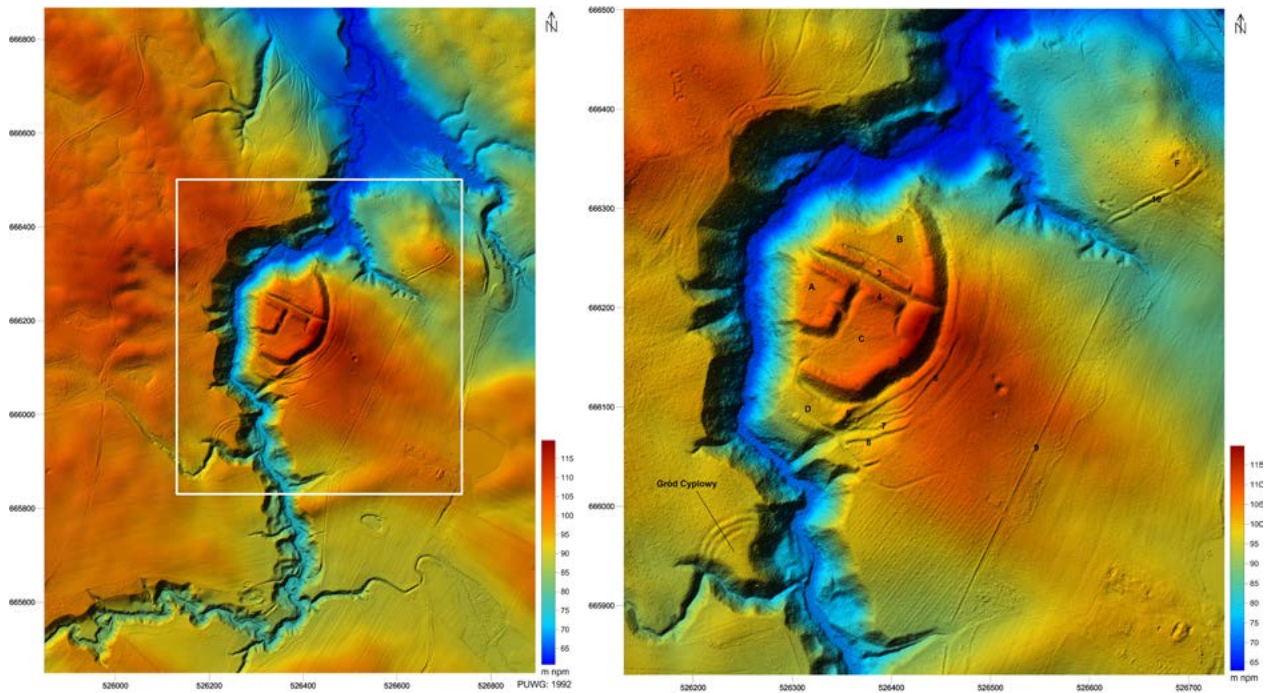
Ryc. 2. Mapa geologiczna terenu badań.

Fig. 2. Geological map of the research area.

pomorskiego (ryc. 2). W tym okresie lądolód wycyfywał się w kierunku północno-zachodnim, dzieląc się na mniejsze płyty lodowe zwane lobami: mazurskim i wiślanym. Nas interesuje lob wiślany, z którego z czasem wyodrębnił się mniejszy lob – małydycki. To on właśnie w dużym stopniu ukształtował morfologię terenu wokół Starego Dzierzgonia. Następnie krajobraz był kształtowany już po ustąpieniu lądolodu, czyli w holocenie i praktycznie proces ten trwa do czasów współczesnych, wiążąc się ściśle także z działalnością człowieka. W okolicy Starego Dzierzgonia znajdują się różnorodne formy geomorfologiczne powstałe głównie w okresie zlodowacenia stadium pomorskiego (formy wcześniejszego zlodowacenia stadium poznańskiego zostały zatarte). Należą do nich obszary wysoczyznowej moreny dennej, moreny czołowe, rynny, zagłębienia oraz najczęściej spotykana forma, czyli pola sandrowe. Sandry są to równiny akumulacyjne zbudowane ze żwirów i piasków, które zostały usypane przez rzeki proglacjalne wypływające z czoła lądolodu. Na omawianym obszarze jest to sandr dzierzgoński. Jest on nachylony z północy na południe, a jego wysokość nad poziomem morza zawiera się mniej więcej w rzędnych 116–110 m n.p.m. Północna część sandru charakteryzuje się bardziej urozmaiconą rzeźbą

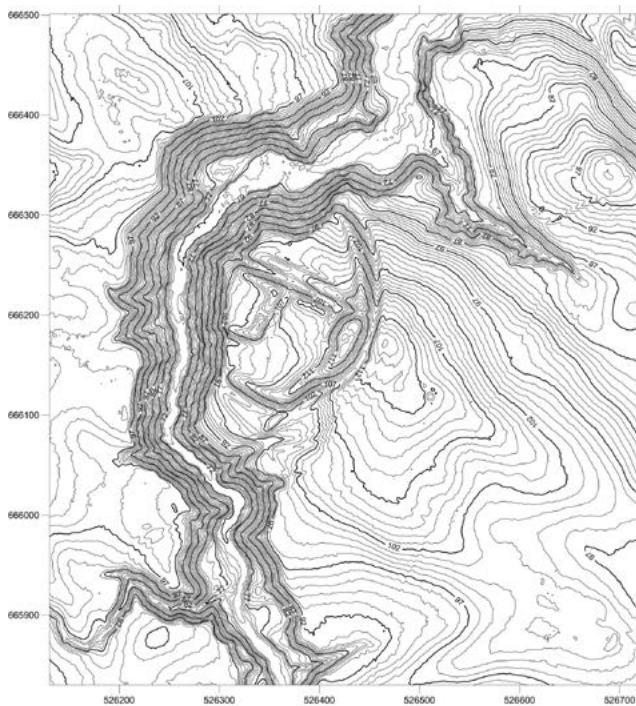
terenu. Moreny czołowe ciągną się nieregularnym łukiem w kierunku północno-wschodnim, po południowej stronie rzeki Dzierzgoń. Resztę obszaru pokrywa falista morena denna z licznymi formami erozyjnymi lub wytopiskowymi. Na terenie gminy Stary Dzierzgoń deniwelacje terenu wynoszą w przybliżeniu 128 m: od skrajnie najniższego punktu o wysokości około 5 m n.p.m., znajdującego się w północno-zachodniej części gminy, do wysokości 133 m n.p.m. w północno-wschodniej części gminy. Deniwelacje lokalne miejscami dochodzą do 30 m, np. w okolicy omawianego obiektu. Te czynniki wpływają na to, że rzeźba terenu wokół Starego Dzierzgonia ma charakter falisty z elementami rzeźby wysokofalistej i pagórkowatej. W holocenie wykształciła się też sieć rzeczna, dna dolin oraz obszary akumulacji torfowiskowej, np. w okolicy jeziora Gaudy.

Omawiane obiekty są położone na zróżnicowanym terenie (ryc. 3, 4). Grodzisko na Górze Zamkowej oraz wzgórze z wałem znajdują się nad zachodnią krawędzią moreny czołowej, w jej środkowej partii. Morena czołowa jest zbudowana z glin zwałowych, piasku, żwirów oraz luźnych kamieni. Gród cypłowy znajduje się na terenie moreny dennej, zbudowanej z glin zwałowych z wkładkami mułków oraz piasków zastoiskowych. Jest on oddzielony od Góry Zamkowej głęboką doliną rzeki Dzierzgonki, lewego dopływu rzeki Dzierzgoń. Dolina o charakterze erozyjnym, o deniwelacji około 30 m, jest szeroka na około 100 m i ma strome stoki. Jej dno pokrywa piasek rzeczny, a w korycie rzeki są widoczne liczne drobne kamienie. W okolicach obiektu rzeka Dzierzgonka płynie z południa na północ, a następnie zakręca w kierunku wschodnim. Tym samym opływa Górę Zamkową od strony zachodniej i północnej, a gród cypłowy – od strony wschodniej. Do rzeki Dzierzgonki wpadają dwa bezimienne krótkie ciek wodne, zanikające latem. Pierwszy z nich opływa gród cypłowy od południa, a drugi wpada do Dzierzgonki od strony wschodniej i oddziela Górę Zamkową od wzgórza z wałem. Ponadto w kierunku Dzierzgonki opadają dwa głębokie jary, jeden na południe od Góry Zamkowej, a drugi – między częścią centralną a północną grodziska. Na wschód od Góry Zamkowej, na terenie nowożytnego i współczesnego gospodarstwa rolnego, znajdują się małe jezioro oraz oczko wodne. Aktualnie teren obiektów pokrywa stary las mieszany z przewagą drzewostanu sosny, dębu, buka, gdzieniegdzie brzozy. Poszycie jest rzadkie, w niektórych rejonach występują gęste kępy krzaków. Zarówno rodzaj drzewostanu, jak i podłoże mają wpływ na kształtowanie się gleb. Na terenie



Ryc. 3. Mapa numeryczna Góry Zamkowej oraz grodu cyplowego z naniesioną numeracją elementów architektury, oprac. D. Gazda, W. Małkowski

Fig. 3. Numeric map of the Castle Hill and the stronghold with the numbering of the architectural elements, worked out by D. Gazda, W. Małkowski

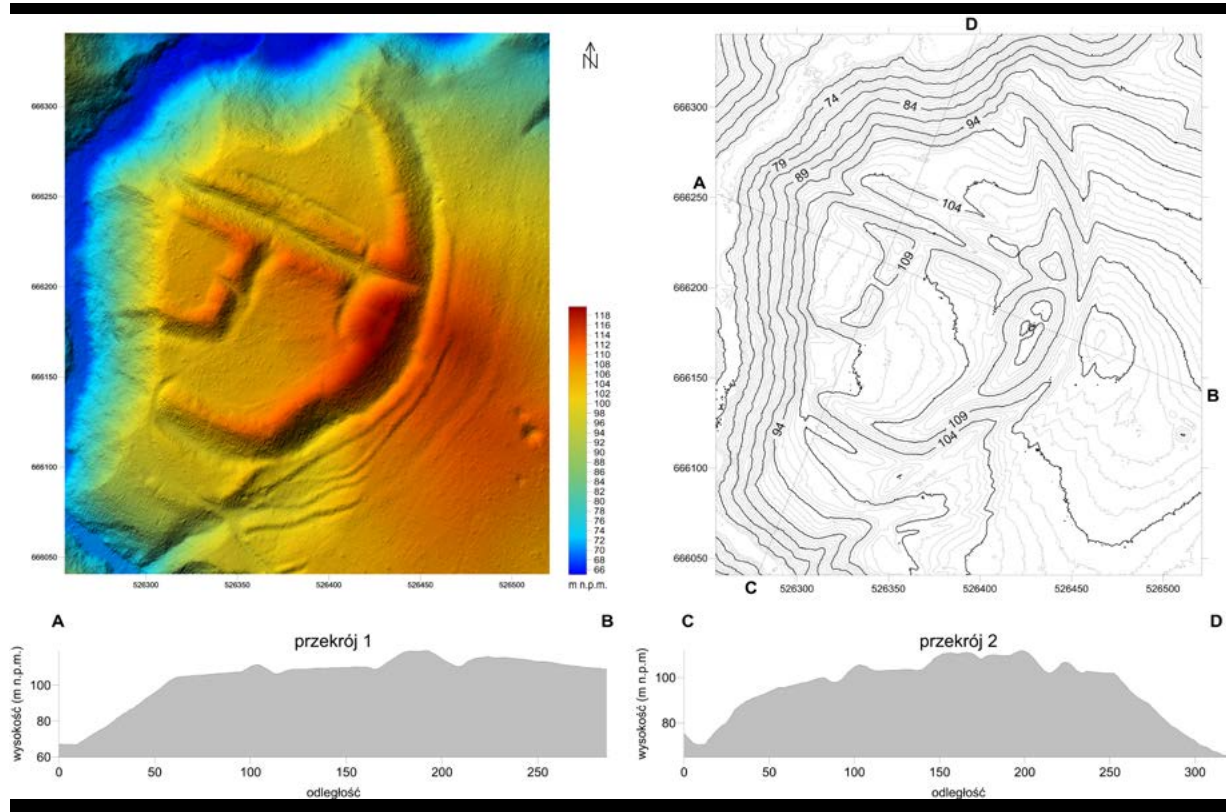


Ryc. 4. Mapa warstwiczna, rys. R. Łopaciuk
Fig. 4. Contour map, drawing R. Łopaciuk

omawianego obiektu występują gleby autogeniczne, takie jak brunatne lekkie i średnie oraz – gdzieś – bielcowe. Natomiast nad Dzierzgonką i w okolicach dwóch oczek wodnych wspomnianych powyżej, natrafiamy na gleby hydrogeniczne, powstałe pod wpływem wody przepływowej i stojącej.

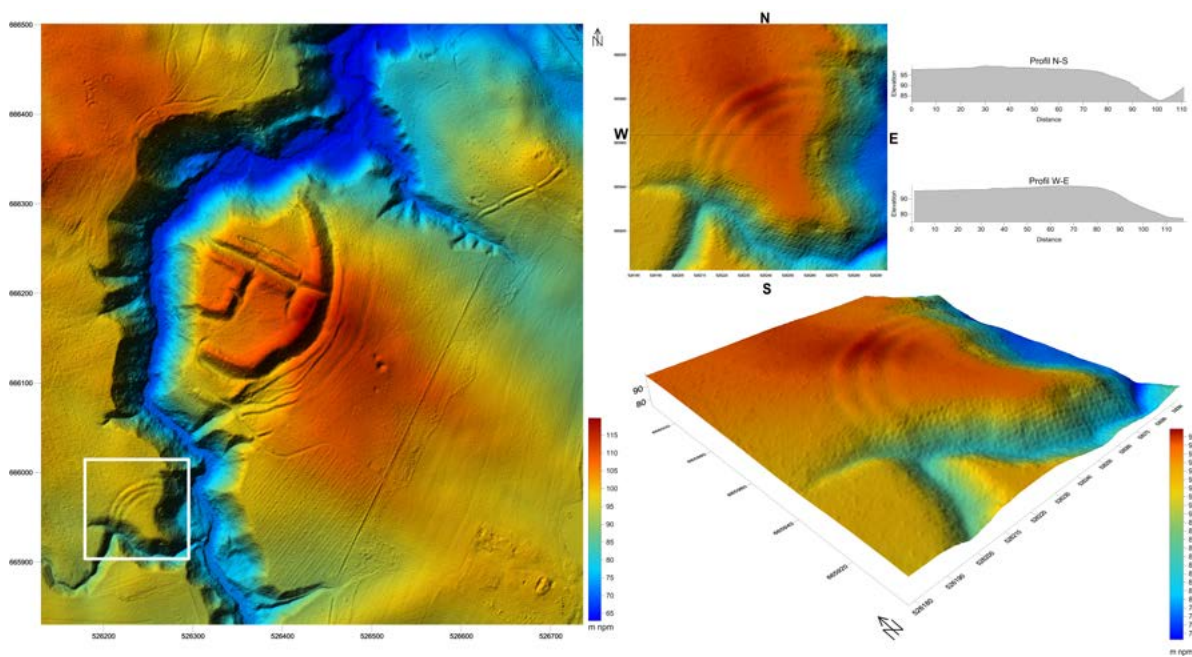
Opis obiektów

Założenie na Górze Zamkowej (ryc. 3–5) mimo upływu lat jeszcze w tej chwili robi na odwiedzających imponujące wrażenie. Wał okalający główny majdan wznosi się na wysokość prawie 10 m, a porastająca obiekt roślinność i odgłosy żerowania zwierząt potęgują dodatkowo wrażenie tajemniczości tego miejsca. Obiekt jest zbliżony do cyplowego (ryc. 5), o charakterze trójczłonowym i powierzchni około 4,6 ha. Od strony zachodniej obiektu znajduje się głęboki jar, w którym średnio na głębokości około 37 m płynie rzeczka Dzierzgonka. Jar ten elipsoidalnie otacza warownię i ma mocno nachylone zbocza, w naturalny sposób zabezpieczając obiekt od tej strony. Aktualnie warownia ma dwa główne pierścienie wałów okalające cztery majdany rozdzielone



Ryc. 5. Stary Dzierzgoń, wizualizacja na podstawie LIDAR-u, oprac. W. Małkowski

Fig. 5. Stary Dzierzgoń, visualization based on LIDAR results, worked out by W. Małkowski



Ryc. 6. Stary Dzierzgoń, wizualizacja grodu cyplowego na podstawie Lidaru oprac. W. Małkowski

Fig. 6. Stary Dzierzgoń, visualization of the stronghold based on LIDAR results, worked out by W. Małkowski

wałami wewnętrznymi lub zewnętrznymi. Wały te tworzyły doskonały system obronny. Wał wewnętrzny (nr 1) okalał majdan centralny (A), tworząc nieregularny prostokąt. Jego całkowita długość wynosiła około 115 m. Aktualnie ma on około 4,5 m wysokości i 10 m szerokości u podstawy. Na jego wschodnim odcinku znajduje się przejście na majdan środkowy. Wał główny (nr 2), o długości prawie 300 m, elipsoidalnie obiega majdany północny (B) i główny (C), sięgając oboma końcami prawie do jaru, przy czym jego południowe ramię na około 240 metrów od strony północnej załamuje się pod kątem 90 stopni w kierunku rzeki. Wał ten ma aktualnie do 10 m wysokości i od 15 do 30 m szerokości u podstawy. W najwyższym punkcie wału (E) znajdowała się odkryta przez badaczy niemieckich duża wieża. Majdany główny i północny są oddzielone od siebie podwójnym pasem wałów biegnących na osi wschód – zachód, z głęboką fosą między nimi. Wał północny (nr 3), o długości około 95 m, ma aktualnie około 4–5 m wysokości i 8–10 m szerokości, a wał południowy (nr 4), o długości około 40 m, ma około 3 m wysokości i 10 m szerokości. Wał północny ciągnie się bezpośrednio od jaru do wału głównego, ale do niego nie dochodzi. Wał południowy natomiast jest oddzielony od wałów wewnętrznego i głównego, ciągnąc się na przedłużeniu północnego ramienia wału wewnętrznego. W wale głównym na osi fosy, między wałami północnym i południowym, znajduje się przejście na majdan. Wał główny pierwotnie nie załamywał się pod kątem prostym w kierunku rzeki, lecz biegł dalej elipsoidalnie w jej kierunku. Aktualnie pozostały relikty tego odcinka (wał nr 5) odcięte od wału głównego sztucznym przekopem. Obszar między tym wałem a wałem głównym można potraktować jako kolejny majdan (południowy – D), aczkolwiek nie ma on tak równej powierzchni jak poprzednie. W literaturze niemieckiej to miejsce określane jest jako podgrodzie i zapewne taką rolę pełniło. Pierwotnie cztery majdany tworzyły jedno plateau, które w różnych okresach zostało podzielone wałami i fosami. Możliwe, że jar oddzielający majdan D od wału głównego jest pochodzenia naturalnego. Przed wałem głównym, prawie na całej jego długości, przede wszystkim w partii środkowej, znajduje się niski elipsoidalny wał (nr 6), o zróżnicowanej szerokości i wysokości, nieprzekraczającej jednak 2 m, na południowy wschód od niego – kolejny krótki wał (nr 7), a z kolei przed wałem 7 od strony południowej – jeszcze jeden wał (nr 8); wysokość obu tych wałów nie przekracza 1,5 m. W odległości około 120–150 m od strony wschodniej całe założenie okalał kolejny elipsoidalny wał

(nr 9) dochodzący prawie do jaru rzeki zarówno od strony północnej, jak i południowej, aktualnie wysoki na około 0,5 m. Dzięki zdjęciom lidarowym mniej więcej na przedłużeniu tego wału od strony północnej, za jarem, można dostrzec bardzo ciekawy obszar o powierzchni zbliżonej do czworokąta. Jest to mało wybitny cypel z niewysokim wzgórkiem (F) w północno-wschodniej części. Na nim znajduje się wał nr 10 o długości około 120 m; biegnie on w kierunku północno-wschodnim na odcinku około 100 m, a następnie zakręca pod kątem 90 stopni w kierunku północno-zachodnim, odcinając tym samym wzniesienie od równiny. Ten teren dotychczas nie był badany ani opisywany.

Gród cypłowy (ryc. 6) natomiast leży na lewym brzegu Dzierzgonki i jest typowym grodem tego rodzaju. Z trzech stron otaczają go głębokie jary, od strony wschodniej – Dzierzgonki, a od zachodu i południa – strumienia, dopływu tej rzeki. Obiekt ma około 60 m długości i 40 m szerokości (w najszerszej, północnej części). Od plateau oddzielają go trzy symetryczne, pierścieniowate wały o łącznej szerokości około 10 m, nieprzekraczające 1 m wysokości. Aktualnie najwyższy z nich jest wał zewnętrzny. Przed nim pierwotnie była wykopana fosa – jej nikłe ślady są widoczne do dnia dzisiejszego. Mniej więcej pośrodku wałów znajduje się niski wzniesienie, który jest przez nie przecięty. Powierzchnia grodu opada nieco w kierunku jego wnętrza.

Bibliografia

- GAZDA D.
2013 *Badania Archeologiczne Castrum Pomesarum w Starym Dzierzgoniu w sezonie 2009*, w: XVII Sesja Pomorzoznawcza, t. 2: *Od późnego średniowiecza do czasów nowożytnych*, red. H. Paner, M. Fudziński, Gdańsk, s. 195–196.
- SZCZEPAŃSKI S.
2016 *Pomezania Pruska. Dzieje osadnictwa w XIII–XIV wieku*, Olsztyn, s. 27–48.

Mapy

- Regiony fizyczno-geograficzne północnej Polski wg Jerzego Kondrackiego
Mapa geologiczna Polski 1: 500 000, wyd. PIG, Warszawa 2006
Mapa geologiczna obszaru wokół Starego Dzierzgonia, oprac. Radosław Mieszkowski
Radosław Mieszkowski, *Badania elektrooporowe na terenie Grodziska w Starym Dzierzgoniu*, WUOZ Gdańsk 2017, załącznik nr 3, mps

Location, natural conditions and description of the multicultural fortified building and the stronghold in Stary Dzierzgoń

SUMMARY

The multicultural fortified building in Stary Dzierzgoń (Alt Chrisburg) is located in the Iława Lake District. It is situated near the village of Stary Dzierzgoń in the commune of Stary Dzierzgoń and it consists of three buildings: the stronghold headland ram, the stronghold – Teutonic castle on the Castle Hill [Góra Zamkowa], the hill with the rampart. The discussed objects are located on a varied area (fig. 3, 4). The stronghold on Castle Hill and the hill with the rampart are located above the western edge of the front moraine in its central part, on the right bank of the Dzierzgonka river. The stronghold headland ram is separated from the Castle Hill with a deep valley of erosive character, with denivelation of about 30 m, broad by about 100 m with steep slopes, the Dzierzgonka river. The Castle Hill is tripartite, it has two main rings of ramparts and several smaller ones, its surface is about 4.6 ha. The stronghold headland ram is about 60 m deep and 40 m wide in its widest northern part. Plata separate it from the three symmetrical, ring-shaped ramparts, with total width of approximately 10 m, not exceeding 1 m in height.

KRZYSZTOF MISIEWICZ
Instytut Archeologii Uniwersytetu Warszawskiego
RADOSŁAW MIESZKOWSKI
Instytut Geologii Uniwersytetu Warszawskiego
WIESŁAW MAŁKOWSKI
Instytut Archeologii Uniwersytetu Warszawskiego
DANIEL GAZDA
Fundacja Ureusz

Nieinwazyjne badania archeologiczne grodziska w Starym Dzierzgoniu

Wstęp

Nieinwazyjne badania archeologiczne pozwalają na zdobycie cennych danych o stanowiskach archeologicznych bez naruszania ich struktury. Korzystając z nowoczesnych technik, możemy wykrywać i mapować nieznane wcześniej stanowiska archeologiczne, określać stan ich zachowania, uzyskiwać informacje dotychczas nieosiągalne np. z powodu utrudnień w dostępie do niektórych terenów.

W trakcie przygotowań do badań grodziska w Starym Dzierzgoniu uznano, że na pierwszym etapie prospekcji nieinwazyjnej należy wykonać model wysokości terenu na podstawie chmury punktów skaningu lotniczego ALS LIDAR. Przed przystąpieniem do przygotowania dokumentacji zdjęciowej przeanalizowano nie tylko dane dostępne w postaci chmury punktów, ale także numerycznego modelu terenu i pokrycia powierzchni uzyskane przy zastosowaniu technologii LIDAR¹ oraz wyniki badań geofizycznych.

Badania odbywały się w dwóch etapach. Wiosną 2017 r. wstępnie opracowano dane LIDAR i przeprowadzono zaplanowane badania geofizyczne. Jesienią 2017 r., wykonano sondowania elektrooporowe ERT oraz uzupełniające pomiary magnetyczne.

Analiza danych z lotniczego skaningu laserowego LIDAR

Do trójwymiarowej wizualizacji krajobrazu (ryc. 1) wykorzystano materiały pochodzące z systemu lotniczego skanowania laserowego LIDAR (ang. *Light*

Detection And Ranging), bazującego na pomiarze, w którego efekcie powstaje chmura punktów (XYZ) zlokalizowana w określonym układzie współrzędnych².

Prezentowany tutaj numeryczny model wysokości terenu (widok ortogonalny – ryc. 2, 3 oraz widok ukośny – ryc. 4) jest rezultatem kolejnego etapu filtracji, w której efekcie uzyskujemy obraz bazujący na wartościach punktów sklasyfikowanych jako grunt oraz niska roślinność.

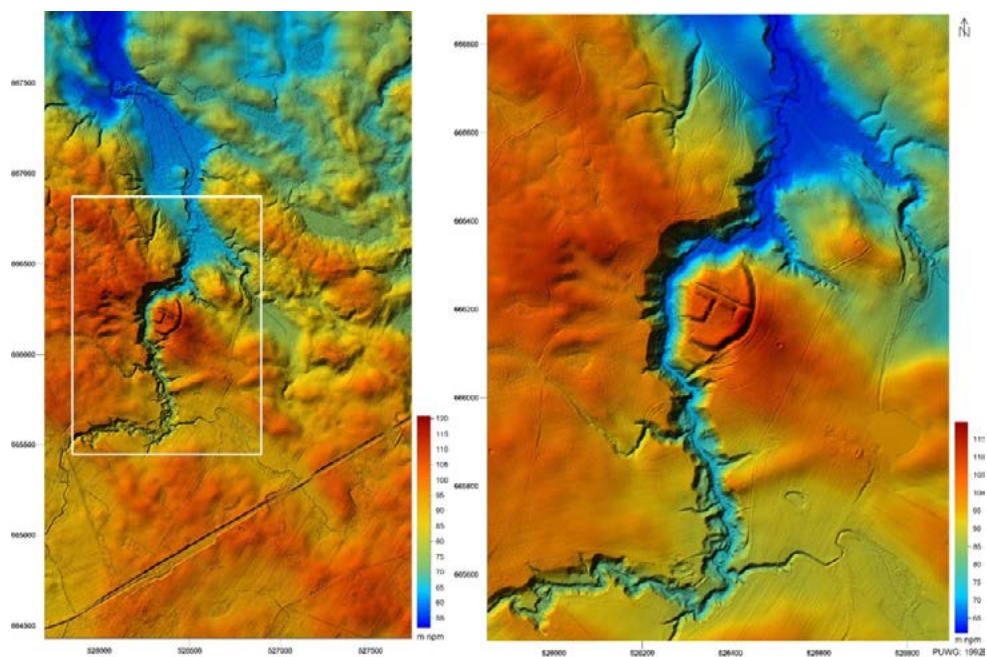
Klasyfikacja punktów leżących na gruncie jest podstawowym elementem filtracji. Polega na zastosowaniu algorytmu, który po selekcji grupy punktów analizuje wzajemne położenie sąsiednich XYZ, biorąc pod uwagę m.in. kryterium odległości i kąta nachylenia (Wężyk 2014, s. 84–85). Po klasyfikacji gruntu następuje klasyfikacja roślinności (niskiej, średniej i wysokiej) (Wężyk 2014; Zarzycka, Będkowski, 2012), gdzie stosuje się inne odpowiednie współczynniki (kryteria) odległościowo-kątowe. Przy dokonywaniu analiz pod kątem archeologicznym ważne jest uwzględnienie potencjału warstwy sklasyfikowanej jako niska roślinność (Banaszek, Rączkowski 2014, s. 194). Podczas procesu automatycznej klasyfikacji część punktów oznaczających obiekty archeologiczne może zostać przeniesiona na warstwę niskiej roślinności i tym samym – usunięta ze zbioru punktów leżących na gruncie.

Zbudowanie modelu wysokości terenu na bazie połączonych punktów gruntu oraz niskiej roślinności pozwala w konsekwencji na subtelniejszą interpretację treści modelu pod kątem archeologicznym.

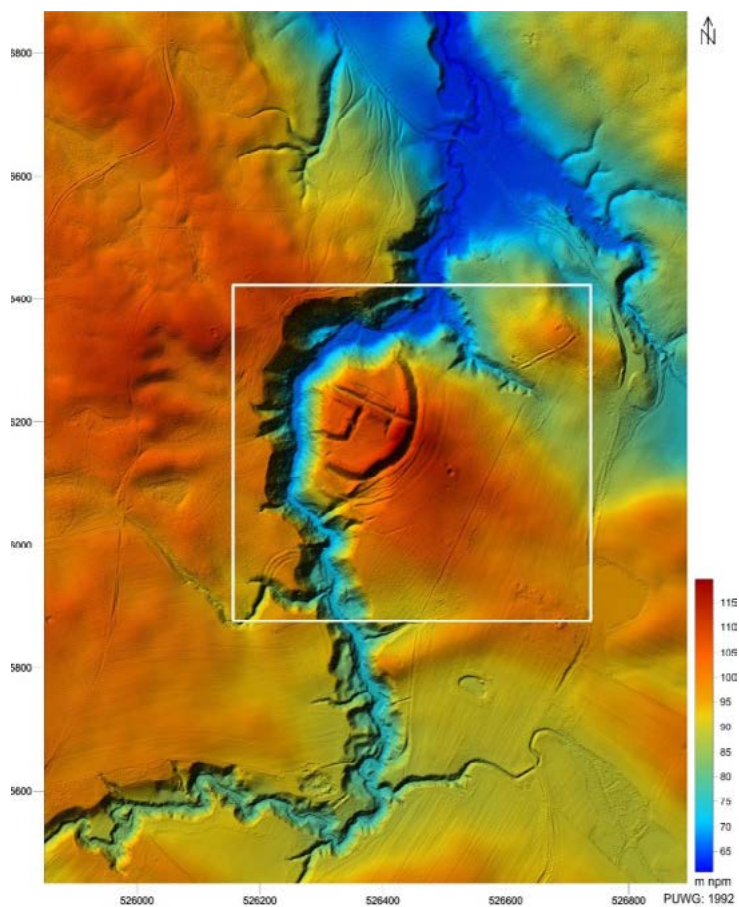
W przypadku grodziska w Starym Dzierzgoniu (ryc. 4) podczas analizy krajobrazu na pierwszy plan

1. Dane te dostępne są między innymi na stronie www.Geoportal.gov.pl, a w wersji źródłowej na stronie projektu ISOK (Informatyczny System Ochrony Kraju), gdzie obok NMP i NMPT mamy również dostęp do ortofotomap cyfrowych i bazy danych obiektów topograficznych (BDOT). Możemy także zamówić oryginalne dane ze skanowania w postaci chmury punktów w Centralnym Ośrodku Dokumentacji Geodezyjnej i Kartograficznej, a następnie przeprowadzić własną klasyfikację.

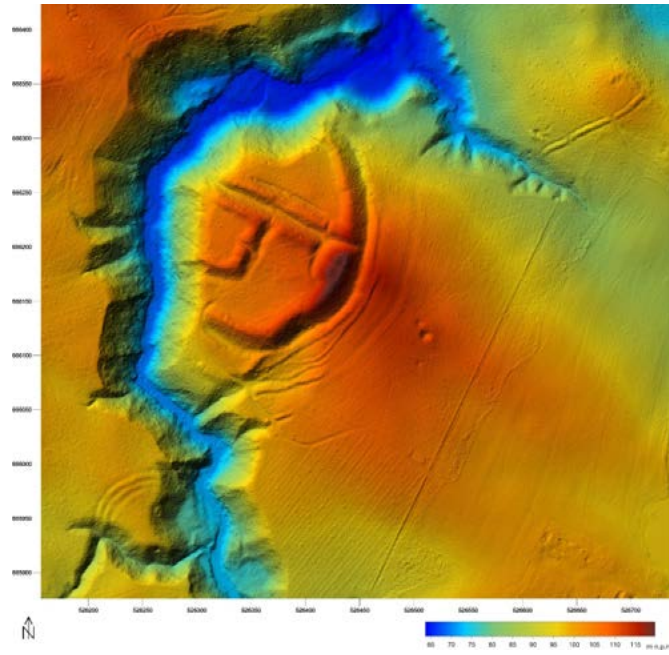
2. Syntetyczny opis metody, por. Rączkowski 2012, s. 383–385.



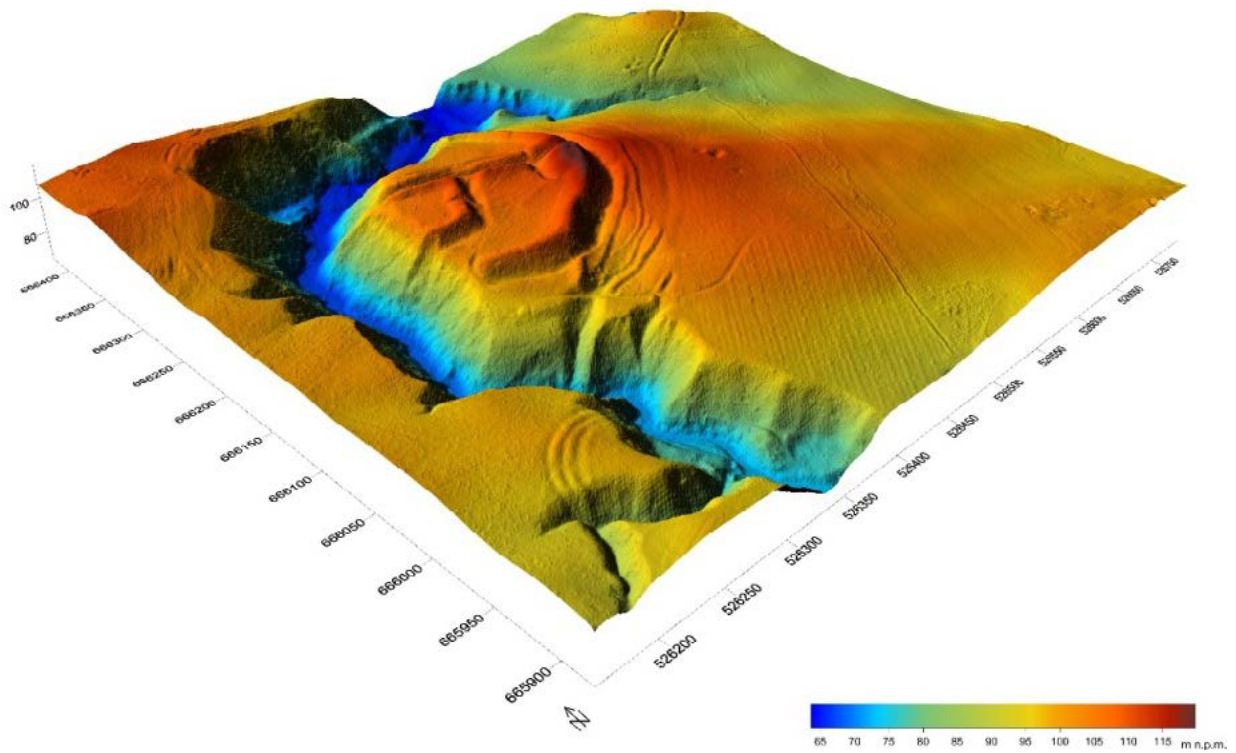
Ryc. 1. Wizualizacja krajobrazu zespołu osadniczego w Starym Dzierzgoniu.
Fig. 1. Visualization of the landscape of a settlement complex in Stary Dzierzgoń.



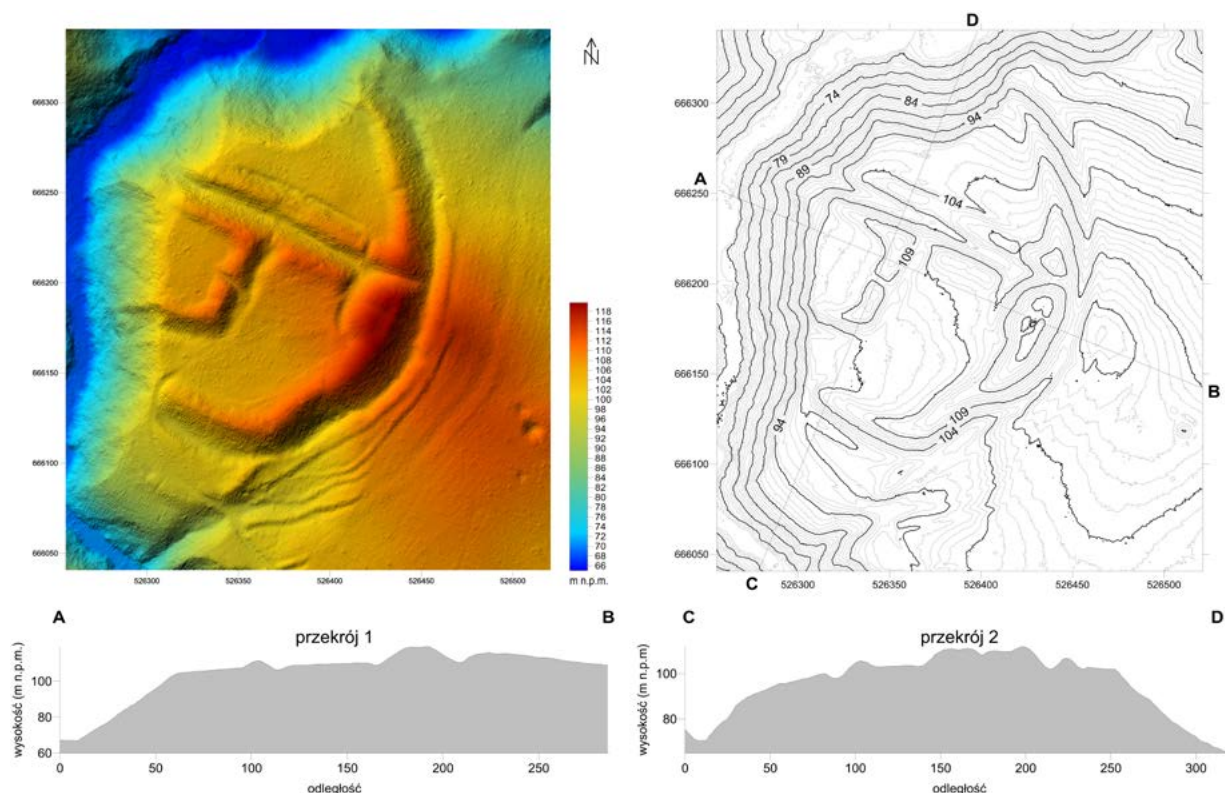
Ryc. 2. Zespół osadniczy w Starym Dzierzgoniu z wydzielonym obszarem okolic grodziska.
Fig.2. Settlement complex in Stary Dzierzgoń, the surroundings of a hillfort are marked.



Ryc. 3. Okolica grodziska w Starym Dzierzgoniu – widok ortogonalny.
Fig. 3. Surroundings of Stary Dzierzgoń – orthogonal projection.



Ryc. 4. Okolica grodziska w Starym Dzierzgoniu – widok ukośny.
Fig. 4. Surroundings of Stary Dzierzgoń – perspective projection



Ryc. 5. Analiza przestrzenna grodziska w Starym Dzierzgoniu.
Fig. 5. Space analysis of a hillfort in Stary Dzierzgoń

wysuwa się pytanie o naturalną / antropogeniczną genezę grodu w kontekście występowania w tym rejonie licznych wzgórz o charakterze polodowcowym.

Badania geofizyczne

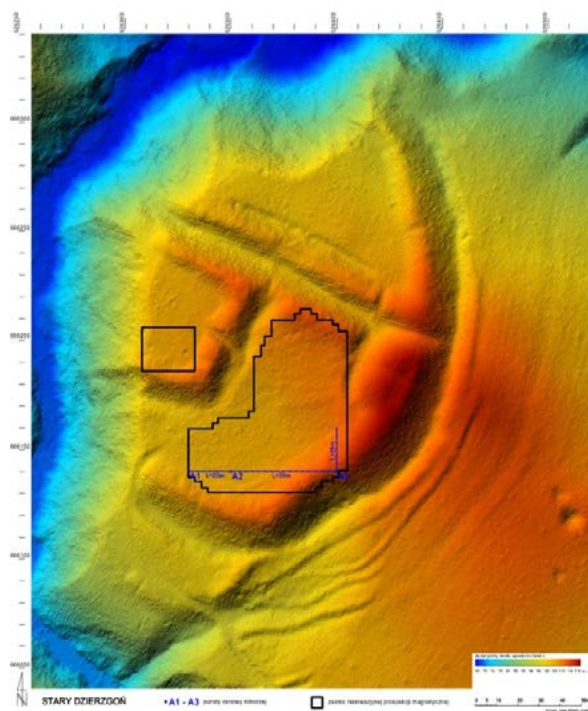
W pierwszym etapie badań wykonano prospekcję geofizyczną z zastosowaniem metody magnetycznej. Do pomiarów w terenie wykorzystano magnetometr czesowy Geometrics 858G Magmapper z dwoma sondami skonfigurowanymi poziomo, przy zachowaniu między nimi odległości 0,5 m.

Prospekcją objęto trzy obszary (ryc. 6, 7, 8):

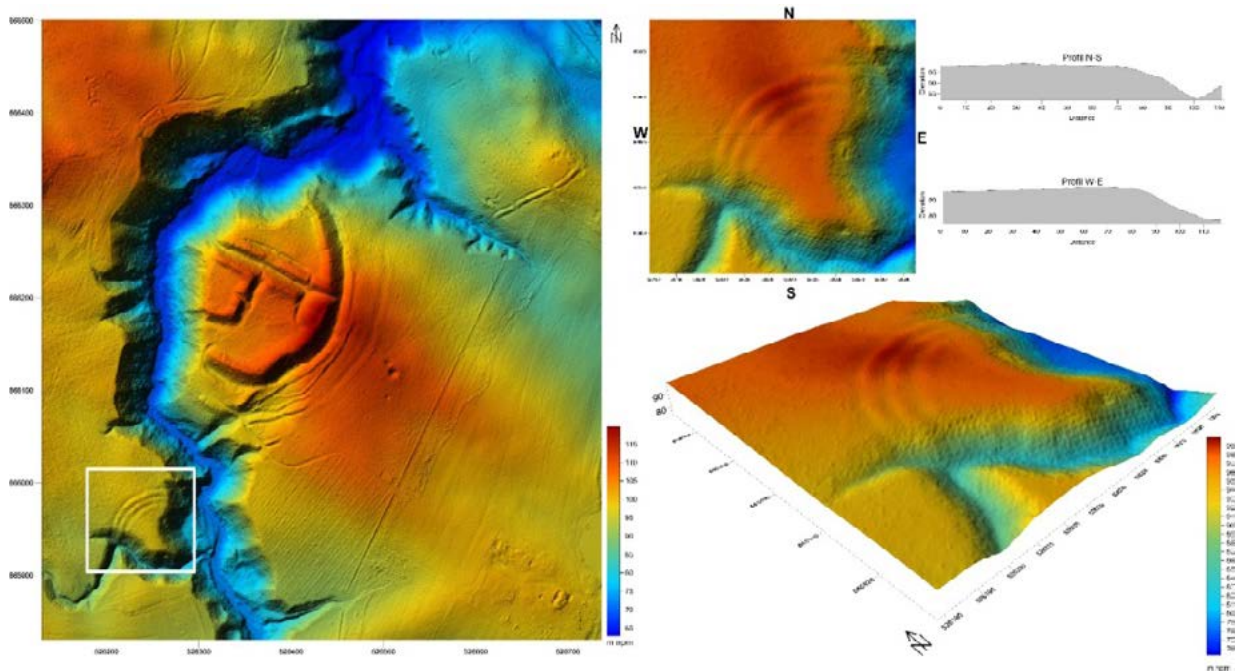
- największy majdan w południowej części grodziska,
- mały majdan w zachodniej części grodziska,
- tzw. gród cyplowy.

Metodyka badań magnetycznych

Pomiary magnetyczne zrealizowano jednokierunkowo, z południa na północ, na profilach wyznaczonych co 1 m. Zachowując częstotliwość wynoszącą 10 odczytów na sekundę (0,1 Hz), uzyskano

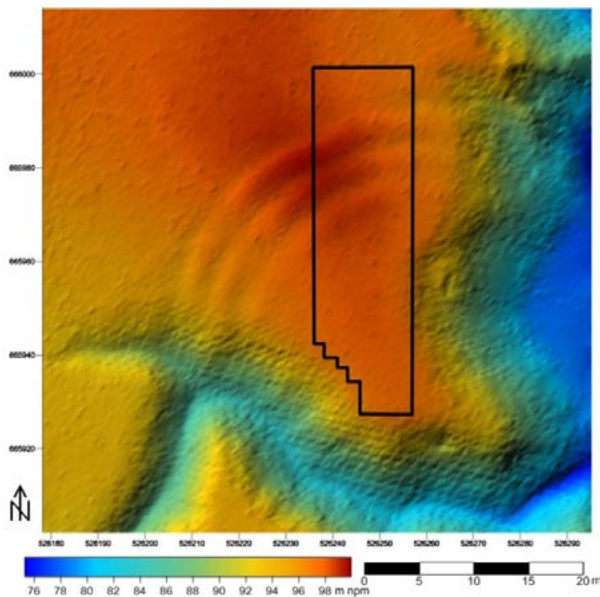


Ryc. 6. Obszary grodziska w Starym Dzierzgoniu objęte badaniami magnetycznymi.
Fig. 6. Areas of the hillfort in Stary Dzierzgoń subjected to the magnetic research.



Ryc. 7. Lokalizacja i analiza przestrzenna tzw. grodu cypłowego w Starym Dzierzgoniu.

Fig. 7. Location and the space analysis of the stronghold in Stary Dzierzgoń.



Ryc. 8. Lokalizacja badań magnetycznych na obszarze tzw. grodu cypłowego.

Fig. 8. Location of the magnetic research in the area of the stronghold.

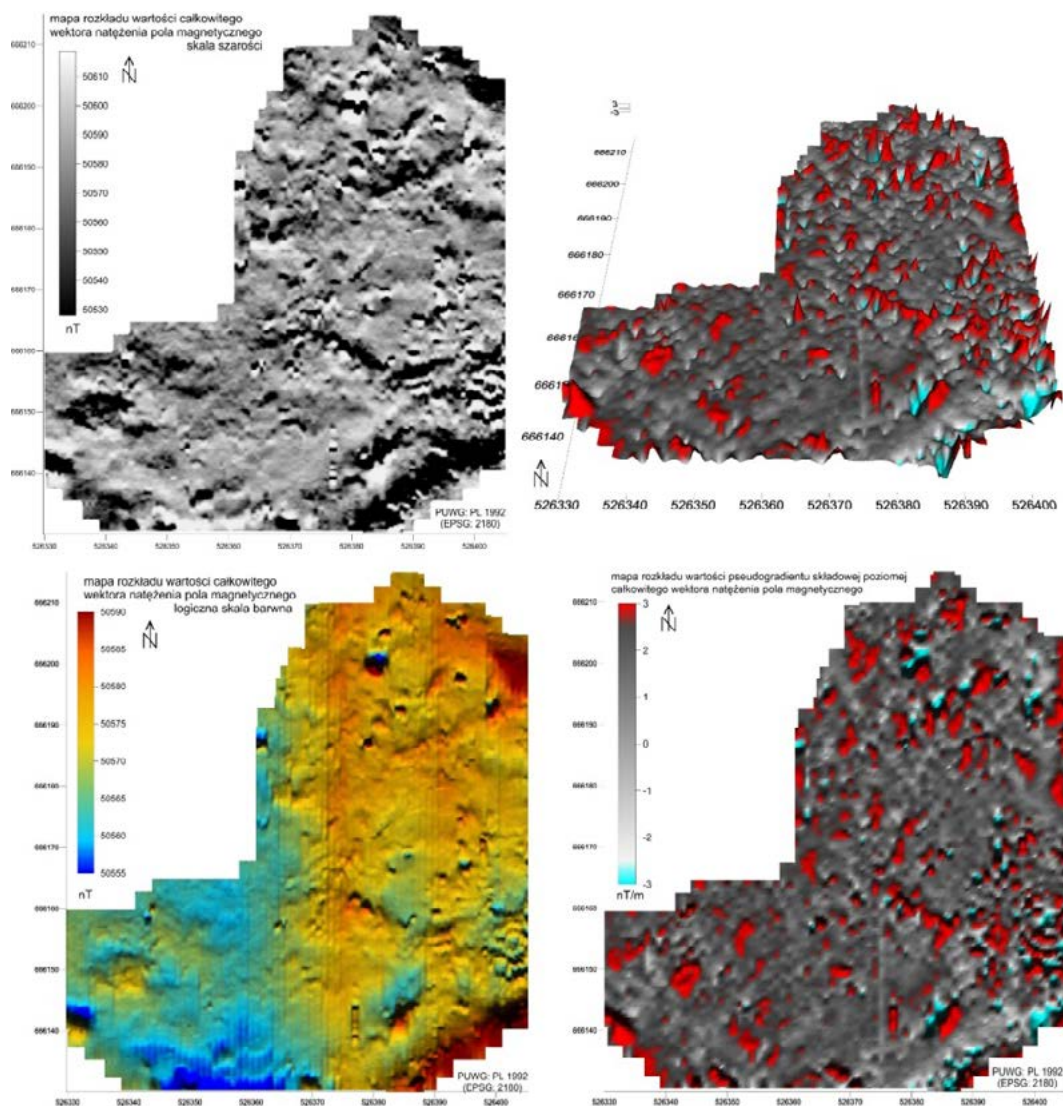
rozdzielczość 0,5 x 0,10 m wystarczającą do wydzielenia anomalii natężenia pola magnetycznego wywołanych przez poszukiwane obiekty archeologiczne, nawet te o nieznaczących rozmiarach.

Magnetometr, rejestrując zmiany wartości wektora całkowitego natężenia pola magnetycznego,

umożliwił identyfikację anomalii, których źródłem mogła być obecność obiektów archeologicznych, takich jak np.: piec, paleniska, przedmioty żelazne, konstrukcje kamienne, ale również wypełnienie rowów, jam czy relikty zabudowy mieszkalnej lub użytkowej. Źródłem wydzielanych anomalii są różnice w podatności magnetycznej skał i gruntów widoczne jako obniżenia lub podwyższenia rejestrowanych wartości natężenia naturalnego pola magnetycznego Ziemi lub magnetyzacja szczątkowa materiałów nabyta w wyniku zastosowania różnych sposobów obróbki termicznej. Ta ostatnia wywołuje anomalie z wyraźnie zaznaczoną strukturą biegunową (dipolową) – z minimalnymi i maksymalnymi wartościami pojawiającymi się w pobliżu obiektu będącego źródłem opisanych powyżej zmian natężenia pola magnetycznego (Breiner 1999).

Wyniki w pierwszym rejonie badań (pierwszy majdan)

W wyniku prospekcji magnetycznej przeprowadzonej na największym majdanie grodu zarejestrowano wartości wektora całkowitego natężenia pola magnetycznego w przedziale 50530–50620 nT oraz wyliczono pseudogradient jego składowej poziomej wynoszący od -22 do +18 nT/m. Znając źródła anomalii o najwyższej dynamice, mogliśmy ograniczyć zakres analizy do wartości 50555–50590 nT w przypadku pomiarów natężenia całkowitego wektora



Ryc. 9. Zestawienie zbiorcze wyników prospekcji magnetycznej na obszarze pierwszego majdanu grodu.

Fig. 9. Collective results of the magnetic prospection in the area of the first yard of the hillfort.

pola magnetycznego i do $-3/+3$ nT/m podczas obserwacji rozkładu wartości jego składowej poziomej (ryc. 9).

Skutkiem zastosowanej procedury ograniczenia zakresu analizy było nie tylko wyznaczenie obszarów anomalii magnetycznych spowodowanych prawdopodobnie geologią terenu, ale także uczytlenie anomalii o mniejszej dynamice, które można wiązać z obecnością poszukiwanych obiektów archeologicznych.

Szczegółowy obraz zarejestrowanych anomalii magnetycznych przedstawiono na zbiorczej wizualizacji, łącznie z wynikami z drugiego majdanu (ryc. 12–13). Wyróżniające się anomalie biegunowe zarejestrowane w miejscach zalegania przedmiotów metalowych można wskazać na granicach

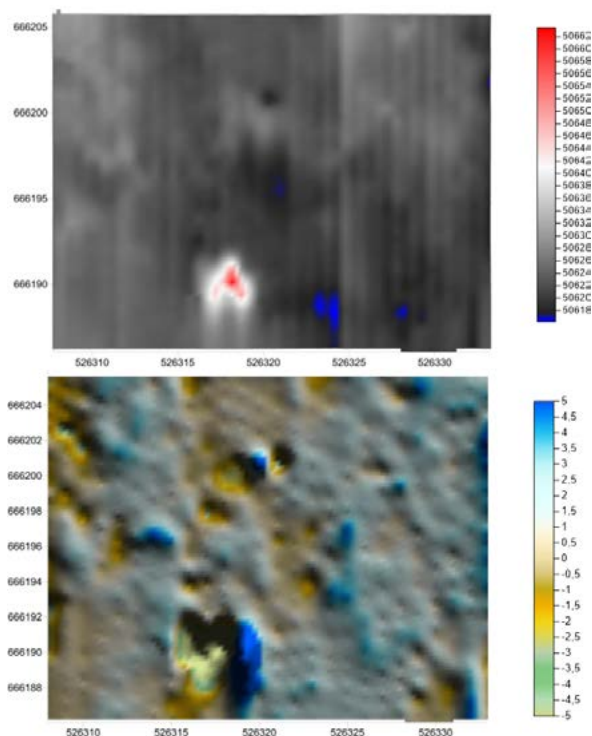
uczytlnionych kolorami niebieskim i czerwonym, oznaczających skrajne rejestrowane wartości wektora całkowitego natężenia pola magnetycznego. Należy jednak założyć, że niektóre z tych anomalii można wiązać z silnym przepaleniem. Najwyraźniejsze zmiany (zaznaczone kolorem zielonym) mają także charakter anomalii o geometrycznym kształcie, np. liniowych, półkolistych, okrągłych.

Wydaje się, że anomalie opisane powyżej mogą być wywołane przez pozostałości obwarowań grodu, być może spalonych w jego wschodniej części. Trzeba jednak brać pod uwagę hipotezę, że ich źródłem mogą być depozyty i przebudowy grodu w warstwie przypowierzchniowej powstałe podczas współczesnych niwelacji związanych z adaptacją terenu do funkcji parku.

Wyniki w drugim obszarze badań (drugi majdan)

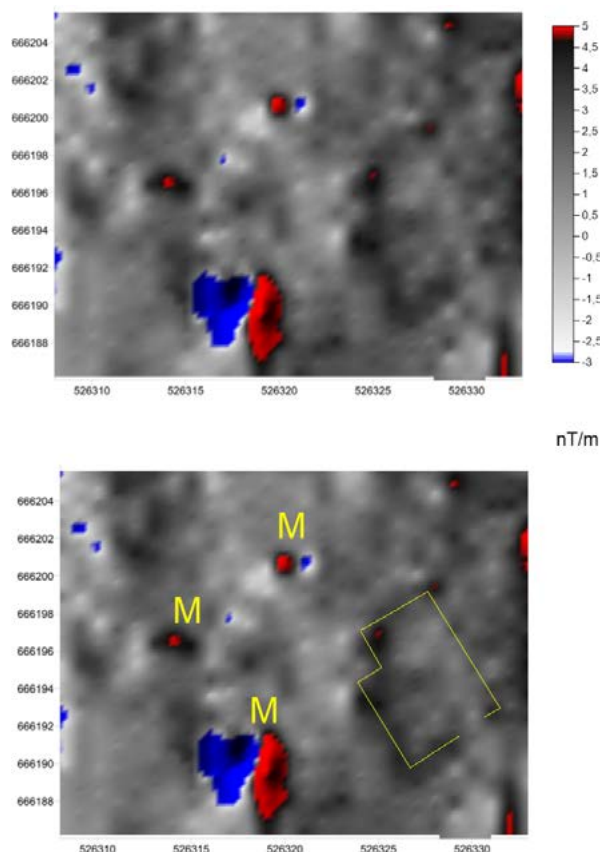
Powodem przeprowadzenia prospekcji magnetycznej na obszarze drugiego majdanu głównych umocnień grodziska w drugim etapie badań była mała dostępność tego terenu wiosną, kiedy prowadzono rozpoznanie pierwszego majdanu. Jesienią, w końcowej fazie wegetacji roślin tworzących warstwę poszycia oraz niskiego i średniego drzewostanu, można było wykonać pomiary w obrębie drugiego majdanu (lokalizacja, por. ryc. 6).

W rezultacie badań zarejestrowano stosunkowo niewielkie zmiany wartości wektora całkowitego natężenia pola magnetycznego w przedziale 50616–50663 nT (ryc. 10). Powodem znacznej dynamiki anomalii była jednak najprawdopodobniej obecność metalu z południowej części badanego obszaru. Anomalia dipolowa zarejestrowana w tym miejscu skutecznie „maskowała” mniejsze zmiany natężenia pola magnetycznego wywołane przez poszukiwane obiekty archeologiczne. W tej sytuacji podstawą do lokalizacji zalegających tam pozostałości



Ryc. 10. Mapy rozkładu wartości wektora całkowitego natężenia pola magnetycznego nT (górną) i gradientu jego składowej poziomej nT/m (dół).

Fig. 10. Distribution maps of the vector values of total magnetic field strength nT (top) and the gradient of its horizontal component nT/m (bottom).



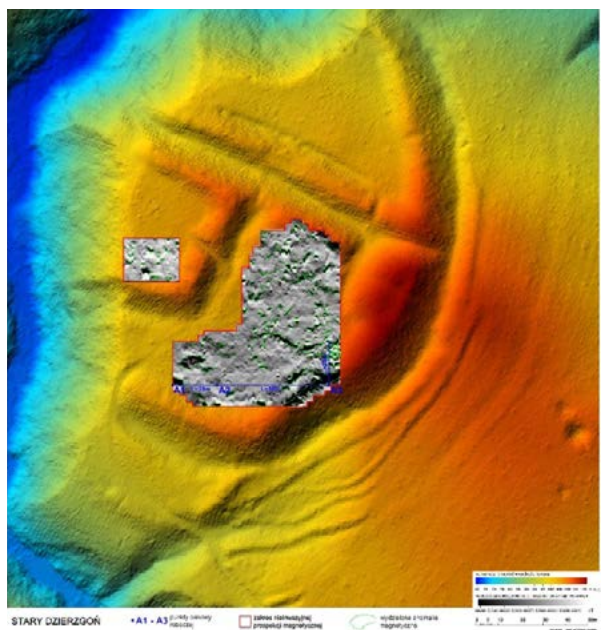
Ryc. 11. Mapa interpretacyjna źródeł zarejestrowanych anomalii na podstawie analizy rozkładu wartości składowej poziomej wektora całkowitego natężenia pola magnetycznego.

Fig. 11. Interpretation map of the sources of the registered anomalies based on the analysis of distribution of values of the total magnetic field strength horizontal component.

była mapa rozkładu wartości wyliczonej składowej poziomej wektora całkowitego natężenia pola magnetycznego, analizowanych w przedziale od -3 do +5 nT/m (ryc. 11).

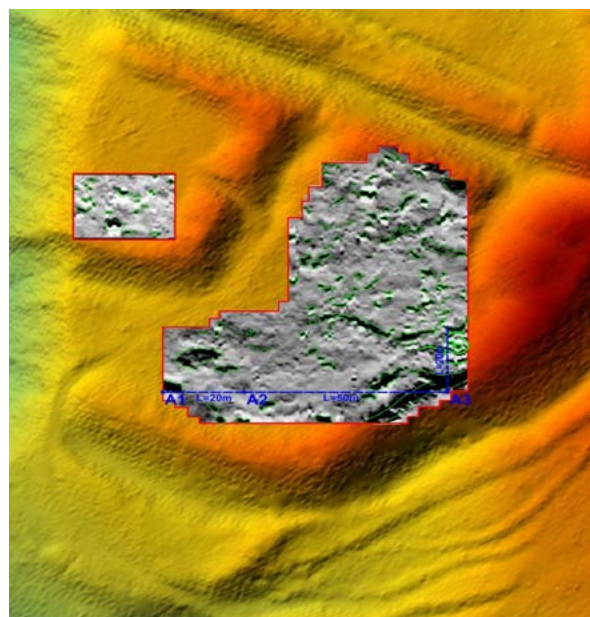
Na mapach obok anomalii dipolowych (oznaczonych na ryc. 11 symbolem M) widoczne są regularne wąskie liniowe obniżenia wartości wyliczonych gradientów, z kątami prostymi, pojawiające się na granicach obiektów będących źródłem rejestrowanych anomalii. Można je interpretować jako zmiany wywołane przez zachowane tam relikty zabudowy majdanu, ale nie należy również wykluczać, że rejestrują się one na granicach dawnego wykopu archeologicznego.

Zbiorcze zestawienie i interpretację wyników badań magnetycznych na terenie grodziska w Starym Dzierzgoniu prezentuje wizualizacja w kontekście numerycznego modelu wysokości terenu (ryc. 12 i 13).



Ryc. 12. Zestawienie wyników zarejestrowanych anomalii magnetycznych na obszarze grodu.

Fig. 12. Collaction of results of the registered magnetic anomalies in the area of the hillfort.



Ryc. 13. Wizualizacja wyników zarejestrowanych anomalii magnetycznych na obszarze grodu.

Fig. 13. Visualization of results of the registered magnetic anomalies in the area of the hillfort.

Wyniki w trzecim rejonie badań (gród cyplowy)

Kolejnym, trzecim rejonem badań z zastosowaniem tej metody były pozostałości umocnień grodu cyplowego widoczne na wschód od zespołu głównych umocnień (por. ryc. 7).

W wyniku przeprowadzonej prospekcji magnetycznej w tym rejonie badań (ryc. 14) zarejestrowano wartości wektora całkowitego natężenia pola magnetycznego w przedziale 50573–50643 nT, przy wyliczonej wartości gradientu jego składowej poziomej od -29 do +27 nT/m (rozkład wartości gradientów analizowano w zakresie od -6 do +6 nT/m, por. ryc. 15). Na przygotowanych mapach i trójwymiarowych modelach rozkładu zmierzonych i wyliczonych zmian natężenia pola magnetycznego nie zarejestrowano anomalii liniowych pojawiających się w przypadku zalegania pozostałości w postaci wałów lub fos, ale wyraźne są zmiany na obszarze zamkniętym widocznymi na powierzchni gruntu relikdami umocnień. Część anomalii ma charakter biegunowy (z obniżeniami i podwyższeniami wartości natężenia pola magnetycznego w sąsiedztwie obiektów wywołujących rejestrowane anomalie) i jest efektem magnetyzacji szczątkowej nabytej w trakcie procesów związanych z obróbką termiczną; niewykluczone, że pojawiają się one w miejscach zalegania zachowanych pozostałości archeologicznych.

Anomalie tego typu zaznaczono na mapie rozkładu wartości gradientów składowej poziomej natężenia pola magnetycznego (ryc. 17) kolorem czerwonym (podwyższenia) i niebieskim (obniżenia). Obok nich widoczne są także obniżenia (niebieskie) i podwyższenia (żółte) na większym obszarze, będące prawdopodobnie efektem różnic w podatności magnetycznej ewentualnych obiektów archeologicznych. Ani na podstawie kształtu, ani dynamiki wydzielonych anomalii nie można, niestety, określić granic, rozmiaru czy głębokości zalegania obiektów wywołujących anomalie, ale ich lokalizacja może być podstawą do zaplanowania ewentualnych wykopów sondażowych.

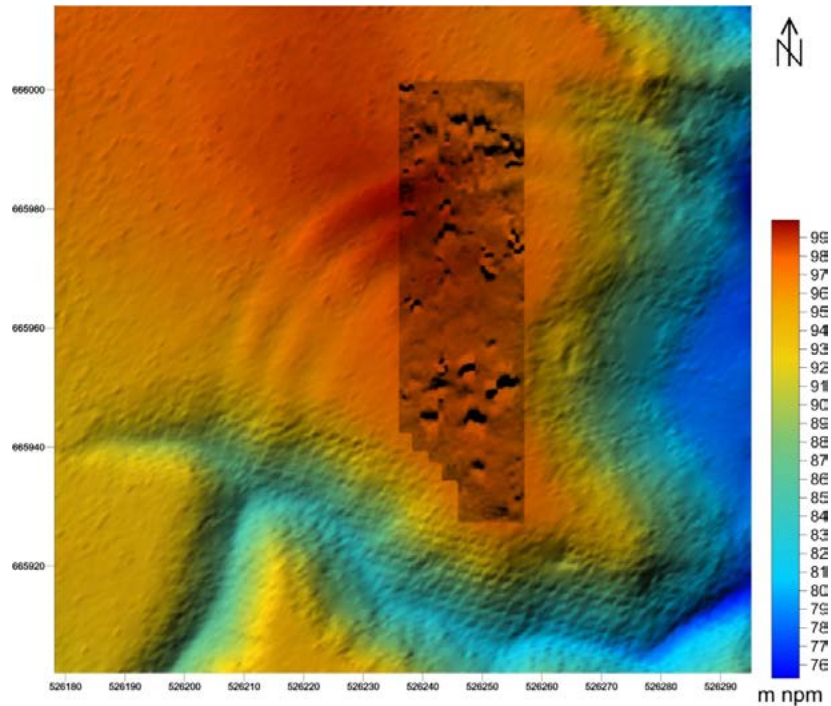
Prospekcja elektrooporowa

Pomiary elektrooporowe wykonano dwiema metodami:

- metodą profilowania (PE)
- metodą tomografii elektrooporowej (ERT)

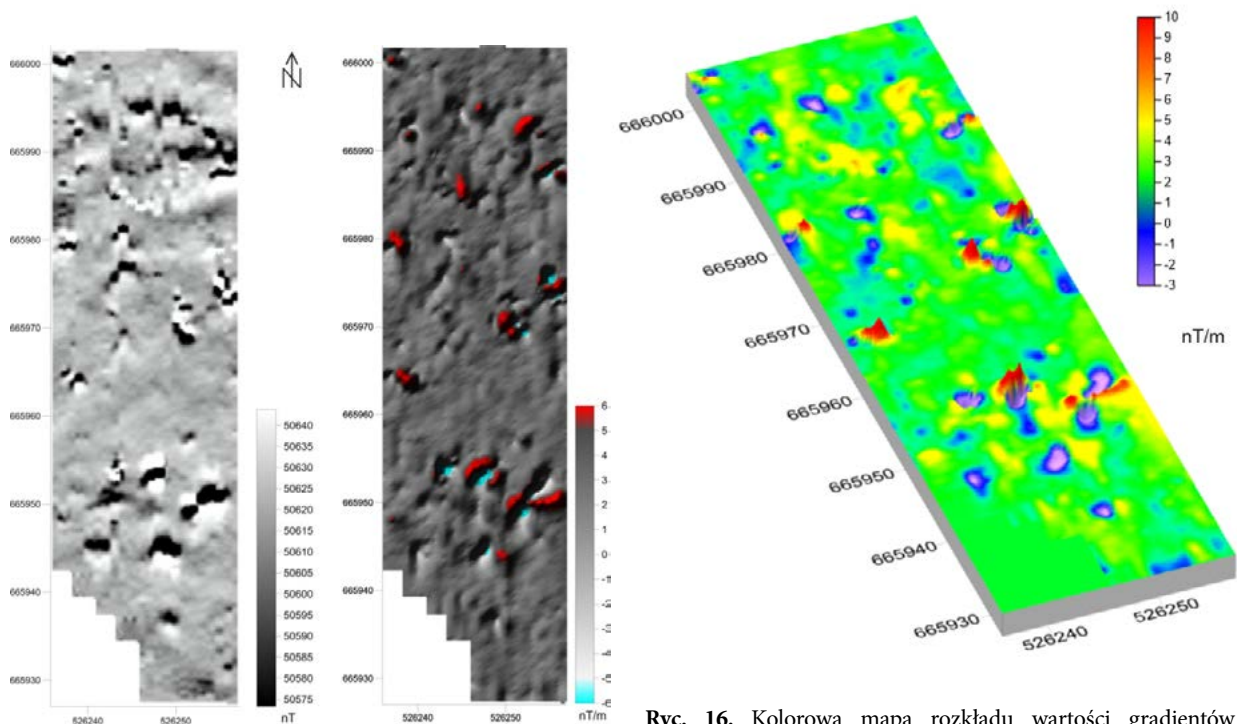
Podstawy fizyczne metody elektrooporowej

Metoda elektrooporowa polega na pomiarach parametrów sztucznie wywołanego pola elektrycznego



Ryc. 14. Wizualizacja obszaru objętego pomiarami magnetycznymi na wschód od grodziska na podkładzie cyfrowego modelu mikroreliefu powierzchni terenu opracowanego na podstawie danych LIDAR.

Fig. 14. Visualization of the area subjected to the magnetic measurements, east to the hillfort, projected on a digital model of the area surface microrelief made on the basis of the LIDAR data.



Ryc. 15. Zestawienie map magnetycznych przygotowanych dla rejonu grodu cyfrowego.

Fig. 15. Collation of magnetic maps prepared for the area of the stronghold.

Ryc. 16. Kolorowa mapa rozkładu wartości gradientów składowej poziomej wektora całkowitego natężenia pola magnetycznego.

Fig. 16. Colourful distribution map for gradient values of the horizontal component of total magnetic field strength vector.

w górotworze. Została ona opracowana przez Wennera (1916) i Schlumbergera (1920) do celów geofizyki poszukiawczej (poszukiwanie wód podziemnych). Podstawowy badany parametr to oporność właściwa formacji geologicznych. Jednostką oporności właściwej (rzeczywistej) jest omometr [Ωm]. Jest to parametr bardzo zróżnicowany, wartość jego może się zmieniać od 1 Ωm w utworach zasolonych do kilkudziesięciu tysięcy Ωm w osadach takich np. jak: suche piaski wydymowe, nasypy historyczne lub skały pochodzenia chemicznego.

W przeciwieństwie do parametrów np. gęstości lub podatności magnetycznej oporność właściwa jest parametrem kompleksowym, zależnym od wielu czynników i procesów, takich jak: temperatura, zawartość i jakość wody, związków chemicznych,

porowatość i przepuszczalność, litologia i skład mineralny.

W utworach czwartorzędowych oraz paleo- i neogeńskich, w obszarach, gdzie w środowisku naturalnym (nieskażonym) wody podziemne na ogół wykazują niską mineralizację, oporności elektryczne utworów takich jak ropy, gliny, piaski różnią się zdecydowanie, w związku z tym klasyfikacja geologiczna danych elektrooporowych nie stanowi problemu (tabela 1).

Szersza charakterystyka zmienności oporności elektrycznej, z rozdzieleniem na osady suche (w strefie aeracji) i zawadnione (w strefie saturacji) jest podana np. w pracy Dietera Vogelsanga (1995).

Dane zamieszczone w tabelach wskazują, że wartości oporności elektrycznej różnią się istotnie, co

Tabela 1. Oporności elektryczne gruntów (Fajkiewicz 1972, Stenzel, Szymanko 1973)

Rodzaj gruntu	Przedział oporności el. Ωm
utwory ilaste (ropy, gliny silnie zailone)	< 25
utwory gliniaste (gliny pylaste, gliny zwałowe, gliny piaszczyste)	25 ÷ 70
utwory piaszczyste (piaski gliniaste, piaski drobne, piaski średnie, piaski grube, żwiry)	70 ÷ 1000

Tabela 2. Oporności elektryczne gruntów (Vogelsang 1995)

Rodzaj osadów (medium)	Strefa aeracji	Strefa saturacji
	Oporność elektr. [Ωm]	Oporność elektr. [Ωm]
Piaski różne, w tym z domieszką żwirów	200–1000	90–250
Piaski różne z domieszką glin piaszczystych	100–250	40–110
Piaski słabo gliniaste i gliny piaszczyste	30–80	15–40
Glina, argility, aleurolity	10–20	5–10
Glina, ropy	8–20	5–10
Wapień, dolomity słabo szczelinowate	200–800	100–600
Wapień, dolomity szczelinowate	1000–3000	50–250
Piaskowce szczelinowate	100–700	30–60
Współczesne osady jeziorne i błotne	30–80	10–50
Wody powierzchniowe		0,1–300
Wody deszczowe		30–1000
Wody zmineralizowane, w tym morskie		0,1–5
Powietrze	bardzo wysoki	
Ropa naftowa	wysoki	
Zmarzlina		wysoki

sprzyja zastosowaniu metody elektrooporowej do badania ośrodka gruntowego.

Znając charakterystyczne zakresy oporności gruntów, które występują w badanym terenie, oraz korelując wyniki badań geofizycznych z sondażami archeologicznymi i ewentualnymi otworami wiertniczymi, można z dużym prawdopodobieństwem przełożyć uzyskane wyniki (rozkład wartości oporności) na litologię utworów geologicznych oraz miąższość nasypów. Niemniej należy zaznaczyć, że fakt kształtowania oporności gruntów zarówno przez ich własności filtracyjne, jak i przez oporność wody podziemnej (mineralizacja) powoduje, iż interpretacja archeologiczna i geologiczna danych elektrooporowych nie zawsze jest jednoznaczna.

Założenia metody tomografii elektrooporowej (ERT)

Metoda tomografii elektrooporowej jest jedną z najbardziej wszechstronnych metod geofizycznych w badaniach płytkiej geologii (tzw. *near surface*), w szczególności przy badaniach utworów czwartorzędowych. Dzięki swym unikalnym cechom, takim jak: szeroka rozpiętość zasięgu głębokościowego (w zależności od metodyki prowadzenia prac od kilku do stu kilkudziesięciu metrów), szczegółowość i dokładność odwzorowania (obrazowania) ośrodka kulturowego i geologicznego, a także szerszy niż w innych metodach zakres stosowalności, metoda ta weszła na stałe do kanonu metod geofizycznych.

Założenia oraz zakres zastosowania metody ERT są szeroko opisane w licznych publikacjach (np.: Dahlin 1996; Loke, Barker 1996; Mościcki, Antoniuk 1998; Loke 2004; Loke i in. 2015).

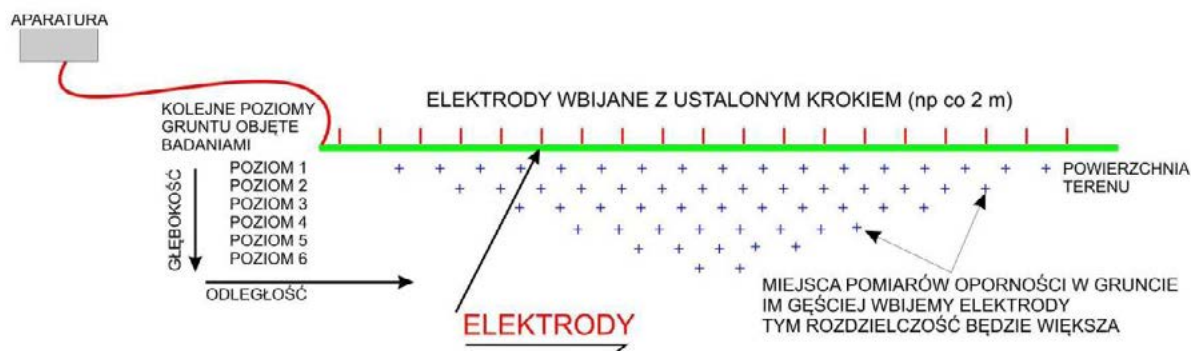
Zasadniczą cechą pomiarów metodą tomografii elektrooporowej jest rozmieszczenie wzdłuż linii profilu, na którym mają zostać wykonane badania, dużej liczby elektrod pomiarowych. Elektrody są

podłączone kablem wielożyłowym do aparatury pomiarowej, która dokonuje automatycznej akwizycji pomiarów: natężenia prądu (I , mA), różnicy potencjałów (ΩV , mV) i na tej podstawie oblicza wartości oporności pozornej (ρ , Ωm). Oprogramowanie sterujące prac aparatury pomiarowej umożliwia wykonanie pomiaru oporności elektrycznej dla konkretnej kombinacji kilku par elektrod (AB-prądowych i MN-pomiarowych) spośród wszystkich podłączonych do kabla wielożyłowego. Dla wybranej kombinacji elektrod był wykonywany w Starym Dzierzgoniu pomiar wartości oporności pozornej, przy uwzględnieniu typu pomiaru (gradient) i bieżącej geometrii rozstawu.

Uproszczony schemat pomiarów wykonywanych metodą ERT przedstawiono na ryc. 18.

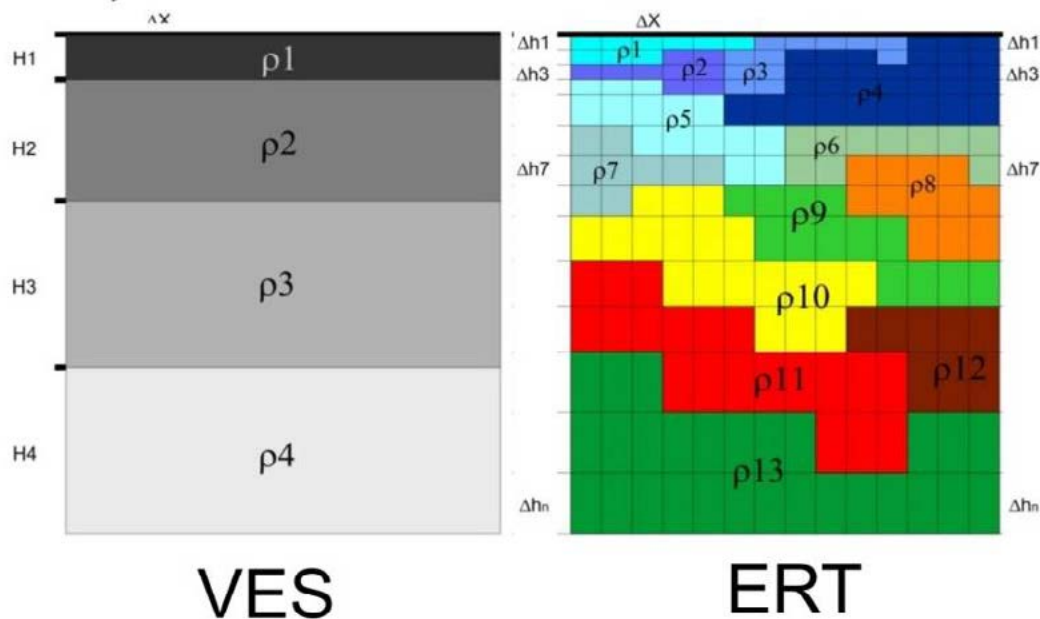
Po wykonaniu pomiaru następuje automatyczny wybór kolejnej kombinacji elektrod (AB i MN) spośród przyłączonych do kabla, na podstawie wybranego protokołu pomiarowego wprowadzonego do pamięci aparatury. Efektem końcowym serii pomiarów są rozkłady oporności pozornej w skali głębokości pozornej ($AB/2$). Zbiór uzyskanych w ten sposób wyników jest następnie przetwarzany, wizualizowany oraz interpretowany jakościowo i ilościowo w celu rozpoznania budowy geologicznej danego terenu.

W Polsce przez lata najczęstszym typem stosowanych badań geoelektrycznych, były pionowe sondowania elektrooporowe (VES). Jednak ich wyniki w strefach o niejednorodnej budowie geologicznej (np. o zmiennej miąższości warstw lub zaburzeniach glacictonicznych) były obarczone wieloma błędami. Miało to związek głównie z samą metodyką tych badań. W wariacie sondowań zwiększenie głębokości efektywnego wnikania pola elektrycznego w ośrodek gruntowy polega na zwiększeniu rozstawu elektrod zasilających. W strefach o niejednorodnej budowie geologicznej tzw. strony pomiarowe A i B



Ryc.17. Schemat metodyki pomiarów tomografii elektrooporowej (Loke, 2004).

Fig. 17. Methodological scheme of the electrical resistivity tomography measurements (Loke, 2004).



Ryc. 18. Modele geoelektryczne wykorzystywane w procesie interpretacji danych.

Fig. 18. Geoelectrical models used in the data interpretation process.

elektrod zasilających znajdowały się często w innych ośrodkach geologicznych (tzw. lewa strona rozstawu rejestrowała zupełnie inne wartości niż strona prawa), przez co same krzywe VES były bardzo zaburzone. Powodowało to komplikacje w interpretacji krzywych sondowań, a wyniki badań nie opisywały zmian budowy geologicznej w sposób zadowalający.

W przypadku tomografii elektrooporowej mamy możliwość stworzenie modelu zmiennego zarówno w pionie, jak i w poziomie. Właściwość ta powoduje, że badania tego typu określa się jako badania dwuwymiarowe – 2D. Dla ośrodków o zmiennej budowie podłoża, gdzie zmienność geologii ma charakter bardzo dynamiczny i mało przewidywalny, tego typu metodyka daje zadowalające rezultaty rozpoznania warunków gruntowo-wodnych podłoża.

Porównanie modeli wynikowych dla metod VES i ERT przedstawiono na ryc. 19.

Przetwarzanie uzyskanych wyników w metodzie ERT polega na zastosowaniu podziału blokowego – gdzie oczko bloku o wymiarach ΔX na ΔH_n określa zmierzoną wartość (bądź kilka wartości) oporności. Przy czym szerokość oczka w poziomie – ΔX – najczęściej jest stała dla całego profilu, natomiast szerokość oczka w pionie – ΔH – jest zmienna. Zmiana następuje wraz z głębokością (wielkość oczka wzrasta).

Wynikiem końcowym zastosowania metody inwersji jest model opornościowy ośrodka, czyli

przestrzenny rozkład wartości oporności rzeczywistych wzdłuż badanego profilu.

Otrzymany rozkład wartości nie zawiera w sobie subiektywnej interpretacji geofizyka.

Metodyka badań typu: profilowanie elektrooporowe (PE)

Prospekcję elektrooporową realizowano na terenie pierwszego majdanu grodziska w Starym Dzierzgoniu (lokalizacja, por. ryc. 6) techniką profilowań dowiązanych do siatki geodezyjnej wytyczonej do wykonania prospekcji magnetycznej. Zastosowany układ dipolowy równoległy pozwalał na rejestrację zmian wartości oporności pozornej przy różnym zasięgu głębokościowym penetracji prądu. Wybrano konfigurację z elektrodami pomiarowymi MN w odległości 1 m od siebie i elektrodami prądowymi AB również w odległości 1 m, przy zachowaniu dystansu między parami elektrod D wynoszącego 4 m. Pozwoliło to na obserwację zmian wartości oporności pozornej warstw zalegających do głębokości 2 m poniżej współczesnego poziomu gruntu. Pomiarzy wykonano aparaturą zmiennoprądową ADA-07 firmy ELMES przeznaczoną do realizacji badań archeologiczno-geofizycznych i rozwiązywania zadań z zakresu płytkiej geologii. Rejestrację zmian wartości oporności pozornej prowadzono w punktach wyznaczonych co 1 m, z zachodu na wschód, na

kolejnych równoległych profilach usytuowanych również w odległości 1 m z południa na północ. Taka procedura pozwalała na bezproblemową lokalizację punktów pomiarowych w wybranym układzie współrzędnych geograficznych.

Metodyka pomiarów ERT

Badania metodą tomografii elektrooporowej wykonano na terenie majdanu oraz cypla.

Charakterystykę pomiarów zestawiono w tabeli 3.

Zastosowano protokoły pomiarowe typu dipol-dipol i gradient. W realizowanym zadaniu osiągnięto prospekcję w przedziale głębokości ok. 7 m – 20 m p.p.t., w zależności od długości profilu i przyjętego protokołu pomiarowego.

Pomiary wykonano zestawem aparaturowym Terrameter LS2, 8 kanałowym, produkcji szwedzkiej.

Wyniki pomiarów elektrooporowych – metoda profilowania elektrooporowego (PE)

Uzyskane wyniki badań przedstawiono w formie graficznej w postaci map kolorowych, w odcieniach szarości i pseudotrójwymiarowych modeli zmian mierzonych wartości parametrów fizycznych gruntu.

Pomiary przeprowadzono na obszarze o wymiarach 50 x 40 m, w obrębie koordynat 526350–5263400 E; 666130–666170 N. W ich rezultacie

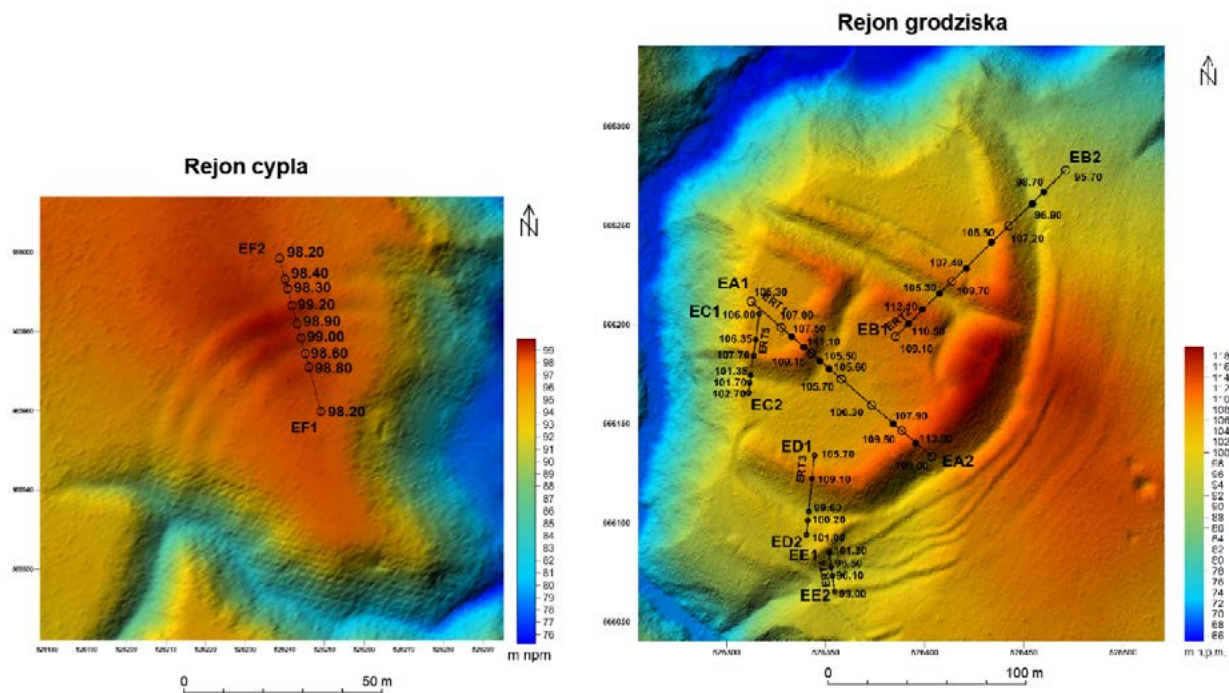
zarejestrowano zmiany wartości oporności pozornej w przedziale 100–1500 Ω m. Na mapie rozkładu zmierzonych wartości (ryc. 22) wydzielają się trzy wyraźne strefy: niskooporowa (100–300 Ω m), obejmująca większość przebadanego terenu z wartościami od 300 do 700 Ω m i wysokooporowa (700–1500 Ω m).

Niskie oporności pojawiły się w miejscach zalegania widocznych na powierzchni pozostałości wału obronnego i są one zapewne związane z obecnością warstwy gliny o niższej oporności zastosowanej w konstrukcji wału. Nie jest wykluczone, że rejestrują się również jako efekt spalania wierzchniej warstwy założeń obronnych (Locke 2004, s. 6, Miśiewicz 2006, s. 29–32). Widoczne w tej strefie podwyższenia, z wartościami 300–400 Ω m, występują w miejscach wykopów archeologicznych i zapewne są efektem szybszego przesychania luźniejszych warstw zasypowych.

Strefa średnich oporów również nie jest jednorodna. W jej obrębie widoczne są zarówno obniżenia, jak i podwyższenia rejestrowanych wartości. Większość obniżen ma charakter lokalny i widoczna jest w obrębie najwyżej kilku – kilkunastu punktów (np. 326355E; 666159N, 526372E; 666156N, 526388E; 666154N). Może to sugerować, że obserwowane zmiany są wynikiem większego zawilgoce-

Tabela 3. Profilowanie ERT.

Nr profilu pomiarowego	Protokół pomiarowy	Odległość między elektrodami [m]	Liczba elektrod	Długość profilu [m]	Liczba leveli (poziomów pomiarowych)	Liczba punktów pomiarowych	Uwagi
1	dipol-dipol (fort) Góra Zamkowa	1	121	120	46	2492	Niski błąd inwersji 5,15%
2	dipol-dipol Góra Zamkowa	2	61	120	12	581	Niski błąd inwersji 4,43%
3	gradient Góra Zamkowa	1	41	40	16	512	Niski błąd inwersji 4,07%
4	gradient Góra Zamkowa	1	41	40	16	511	Wysoki błąd inwersji 18%
5	gradient (G) Góra Zamkowa	1	41	40	16	512	Niski błąd inwersji 8,4%
6	gradient (cypel)	1	41	40	16	512	Niski błąd inwersji 2,53%



Ryc. 19. Lokalizacja profili ERT
 Fig. 19. Location of ERT profiles.



Ryc. 20. Aparatura do tomografii elektrooporowej TERRAMETER LS 8 kanałów (prod. ABEM, Szwecja).
 Fig. 20. Equipment for the electrical resistivity tomography TERRAMETER LS 8 channels (made by ABEM, Sweden).

nia warstwy przypowierzchniowej, będącego efektem podciągania wody przez systemy korzeniowe rosnących w pobliżu drzew. Inny charakter mają natomiast podwyższenia zmierzonych wartości oporności pozornej w granicach 750–1000 ohm-m (526351–54E; 666146–48N, 526353–55E; 666145–47N, 526361–65E; 666146–53N, 526369–73E; 666160–64N, 526382–89E; 666163–70N). Występują one na większych obszarach. Mają wyraźne granice z kątami prostymi i mało zróżnicowane wartości w obrębie stref z podwyższonymi opornościami. Większość z nich położona jest ukośnie w stosunku

do zastosowanej siatki pomiarowej w koordynatach geograficznych. Należy jednak zauważyć, że są one równoległe do siebie i ułożone na kierunkach wschód–zachód, północ–południe w stosunku do północy magnetycznej. Daje to podstawy do przypuszczeń, że niektóre anomalie (szczególnie w zachodniej części przebadanego obszaru) mogą występować w miejscach starych wykopów archeologicznych zasypanych po zakończeniu badań wyżej oporowym materiałem (piaskiem?). Nie można jednak wykluczyć, że część anomalii, szczególnie w północnej i zachodniej części terenu badań, jest

związana z obecnością poszukiwanych obiektów archeologicznych.

Najwyraźniej wydzielającą się strefą jest rejestrujący się w obrębie koordynat 526360–65E; 666130N, 526375–83E; 666150N wąski pas z wyraźnymi granicami liniowymi i wartościami od 1000 do 1500 Ω m, położony ukośnie w stosunku do zastosowanej siatki pomiarowej, szczególnie dobrze widoczny na trójwymiarowym modelu zmian wartości oporności pozornej (ryc. 23). Bardzo trudne jest, niestety, jednoznaczne określenie przyczyn pojawienia się wydzielonej anomalii. Musimy przyjmując przynajmniej trzy hipotezy robocze: pierwsza – że jest to efekt naturalnego odłożenia się piasku w miejscu cieku wodnego (za tą hipotezą przemawia widoczny w tym miejscu niewielki spadek terenu na kierunku z południowego zachodu na północny wschód); druga – że obserwowane zmiany są efektem zdeponowania na powierzchni i znielowania materiału z hałd sąsiednich starszych wykopów; i wreszcie trzecia – że zmiany wartości oporności pozornej są spowodowane przez zalegające pozostałości archeologiczne.

W obrębie obszaru objętego badaniami techniką profilowań elektrooporowych znalazła się południowa część profilu ERT oznaczonego jako EA1–EA2 (ryc. 31) na odcinku 1–4. Widać wyraźnie, że podwyższone wartości oporności pozornej (oznaczone na ryc. 1 kolorem brązowym) są efektem zalegania zamkniętej struktury wysokooporowej (z opornościami powyżej 500 Ω m) sięgającej głębokości 2–3 m poniżej współczesnego poziomu gruntu (jej granice oznaczono na ryc. 3 cyframi 2–3). Obniżenia wartości oporności pozornej na południe od strefy wysokooporowej są w większości spowodowane przez niskooporowe utwory gliniaste użyte do umocnienia nasypu wału obronnego. Po analizie danych z pomiarów techniką ERT pojawia się także kolejna hipoteza. Ponieważ podobna do opisanej powyżej zamknięta struktura wysokooporowa pojawia się również w przypadku lepiej zachowanego wału wewnętrznego (na ryc. 3, odcinek 30–40 m), gdzie stanowi jego jądro (nie wykluczone, że są to konstrukcje kamienne), można przypuszczać, że analogiczna konstrukcja zalega w miejscu opisanym na profilu jako odcinek 2–3. Nie jest więc wykluczone, że nasyp dawnego wału został znielowany podczas kolejnego powiększania zasięgu umocnień. Hipoteza ta wymaga jednak potwierdzenia za pomocą sondażu archeologicznego, wyznaczonego tak, aby w jego obrębie znalazła się nie tylko strefa podwyższonych oporności, ale także jej zewnętrzne otoczenie z obydwu stron.

Wyniki pomiarów elektrooporowych – metoda tomografii elektrooporowej

Obrazy rozkładu oporności właściwej gruntów wzdłuż wytyczonych profili pomiarowych, wraz z ich interpretacją, przedstawiono na ryc. 24–29.

Skala zmienności oporności jest bardzo szeroka i mieści się w zakresie 2–6000 Ω m.

Analiza danych geologicznych (ryc. 30) oraz ukształtowania powierzchni terenu umożliwiła wydzielenie trzech głównych warstw geoelektrycznych:

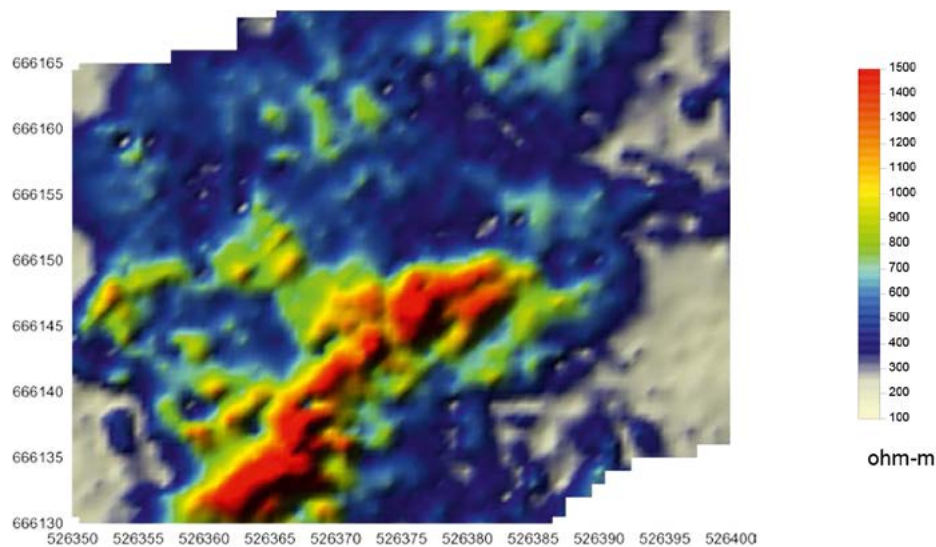
1. nasypy historyczne (głównie piaszczyste, lokalnie przewarstwione glinami), z których zbudowano obwałowania oraz wewnętrzne dziedzińce fortu (Góry Zamkowej) (oporności 50–1000 Ω m),
2. warstwa o wysokiej oporności elektrycznej (kilka tysięcy Ω m) – prawdopodobnie konstrukcja obiektu,
3. grunty rodzime (calec), niejednorodne: spisto-piaszczyste (utwory glacialne zlodowacenia północnopolskiego).

Uwagę zwracają strefy o bardzo podwyższonych opornościach (ok. kilku tysięcy Ω m) zaznaczające się na profilach ERT1, ERT2, ERT3, ERT4 i ERT5 poniżej nasypów warowni. Mogą to być elementy konstrukcyjne obwałowań zbudowane z głazów narzutowych i/lub naturalne przewarstwienia żwirów. Wydają się, że anomalia o wysokiej oporności na profilu ERT nr 1 (ryc. 24), w przedziale ok. 30–40 m, odpowiada konstrukcji wału. Natomiast nie można ze stuprocentową pewnością stwierdzić, czy strefy podwyższonych anomalii na profilach: ERT2 (70–80 m) (ryc. 25), ERT3 (13–20 m) (ryc. 26), ERT 4 (20–28 m) (ryc. 27) i ERT5 (20–27 m) (ryc. 28) odpowiadają kamiennym warstwom konstrukcyjnym, czy naturalnym warstwom żwirów.

Przy powierzchni wałów warowni zaznaczają się strefy o niskich opornościach, np. wały na profilu ERT1 czy wał na profilu ERT2 od strony północno-wschodniej. Sugeruje to, że wały były wznoszone i stabilizowane gruntami spoistymi, np. glinami.

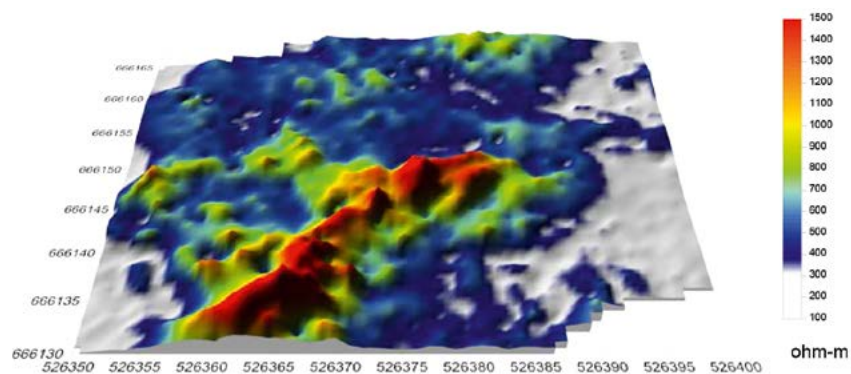
Wewnątrz warowni, przy powierzchni, daje się wydzielić strefa o podwyższonych opornościach elektrycznych. Są to nasypy piaszczyste.

Wyniki badań elektrooporowych wykonane na „cyplu”, w poprzek współpromiennych obwałowań, przedstawiono na ryc. 29. Rozkład oporności elektrycznej sugeruje, że obwałowania są zbudowane z osadów spoistych (gliny), zaś obniżenia między nimi (współpromienne) są wypełnione sypkimi nasypami.



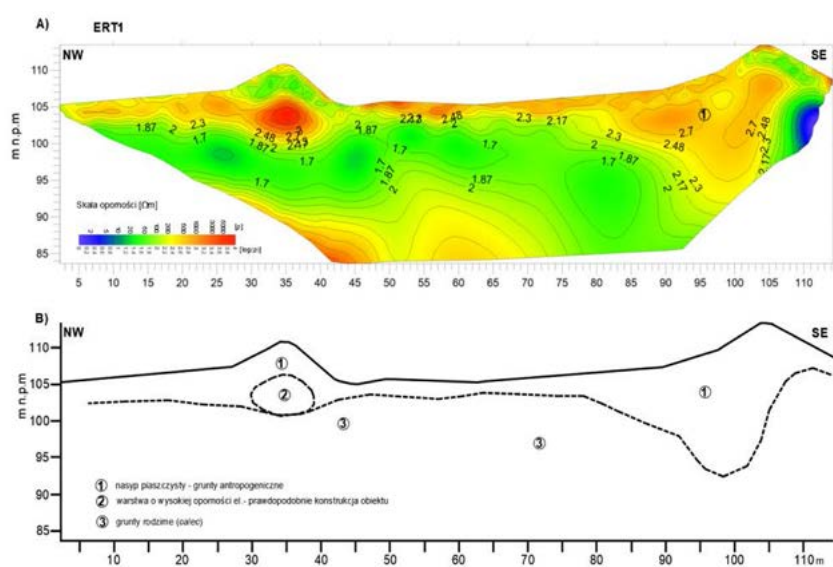
Ryc. 22. Mapa rozkładu wartości oporności pozornej gruntu.

Fig. 21. Distribution map of apparent soil resistivity values.



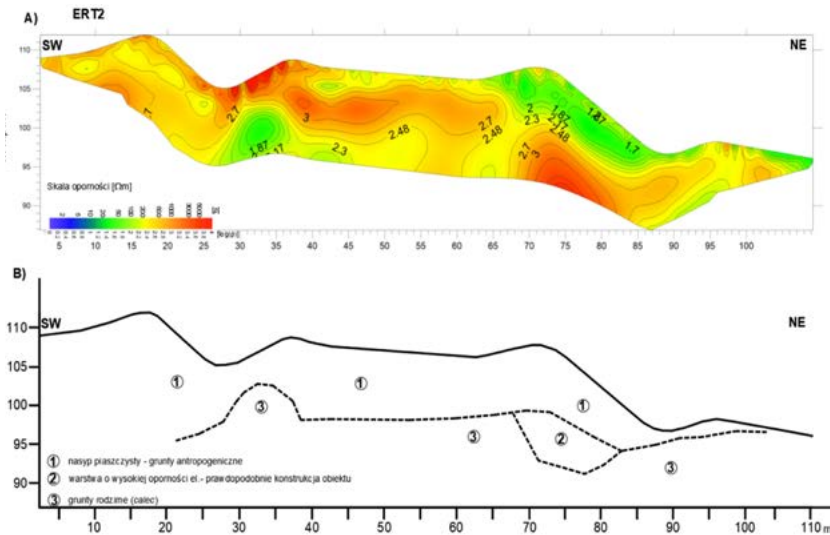
Ryc. 22. Pseudo-3 wymiarowym model rozkładu wartości oporności pozornej gruntu.

Fig. 22. Pseud-tridimensional distribution model of apparent soil resistivity values.

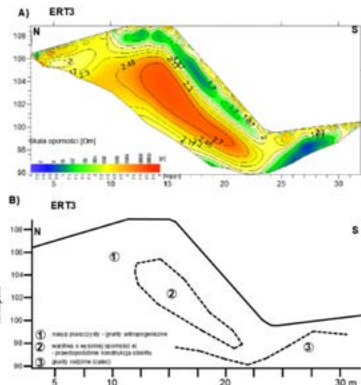


Ryc. 23. Profil ERT nr 1, A) profili ERT, B) interpretacja archeologiczno-geologiczna.

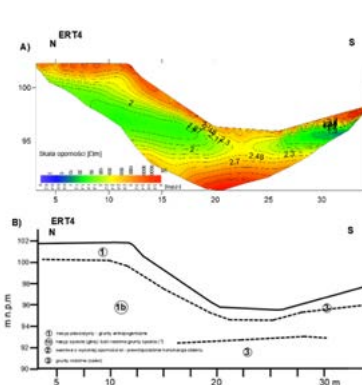
Fig. 23. ERT profile No. 1, A) ERT profiles, B) archaeological-geological interpretation.



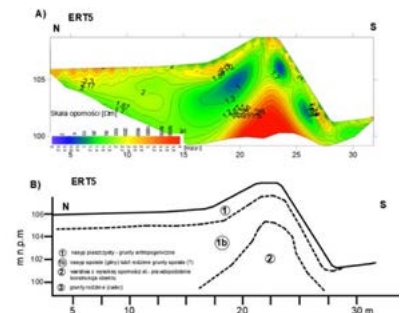
Ryc. 24. Profil ERT nr 2, A) profili ERT, B) interpretacja archeologiczno-geologiczna.
 Ryc. 24. ERT profile No. 2, A) ERT profiles, B) archaeological-geological interpretation.



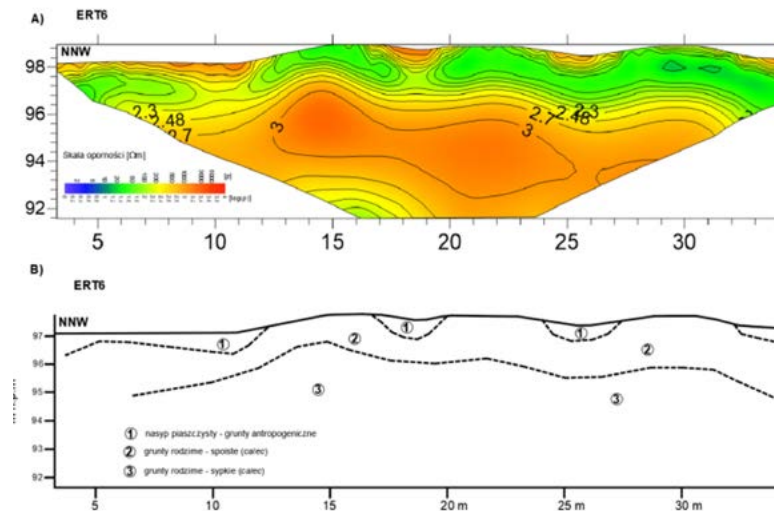
Ryc. 25. Profil ERT nr 3, A) profili ERT, B) interpretacja archeologiczno-geologiczna.
 Fig. 25. ERT profile No. 3, A) ERT profiles, B) archaeological-geological interpretation.



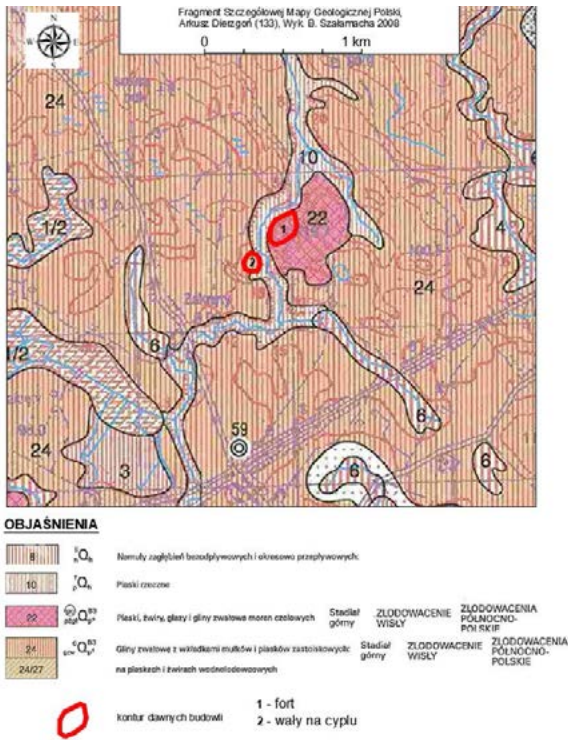
Ryc. 26. Profil ERT nr 4, A) profili ERT, B) interpretacja archeologiczno-geologiczna.
 Fig. 26. ERT profile No. 4, A) ERT profiles, B) archaeological-geological interpretation.



Ryc. 27. Profil ERT nr 5, A) profili ERT, B) interpretacja archeologiczno-geologiczna.
 Fig. 27. ERT profile No. 5, A) ERT profiles, B) archaeological-geological interpretation.



Ryc. 28. Profil ERT nr 6, A) profili ERT, B) interpretacja archeologiczno-geologiczna.
 Fig. 28. ERT profile No. 6, A) ERT profiles, B) archaeological-geological interpretation.



Ryc. 29. Mapa geologiczna terenu badań.
Fig. 29. Geological map of the research area.

Podsumowanie

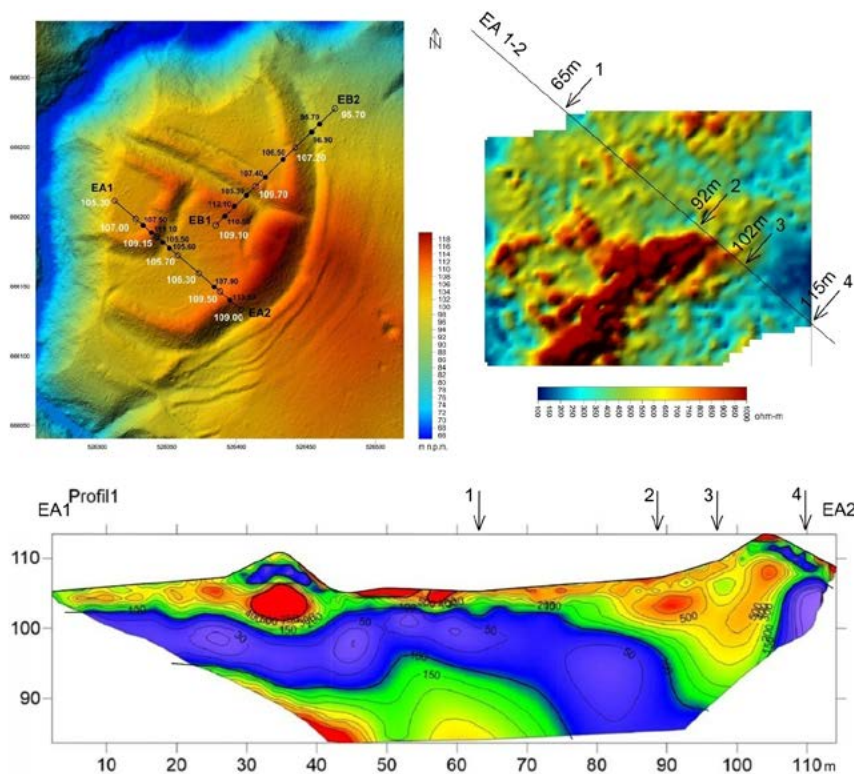
W wyniku przeprowadzonych badań udało się zebrać dane i informacje do dalszych analiz archeologicznych oraz krajobrazowych.

Zadokumentowano warstwy grodziska w wyznaczonym obszarze badań, prezentując obecny stan zachowania stanowiska.

Opisane rezultaty prospekcji elektrooporowej w połączeniu z danymi ERT i wynikami pomiarów magnetycznych na pewno ułatwią lokalizację ewentualnych sondaży. Przykład analizy porównawczej zastosowanych metod elektrooporowych przedstawiono na ryc. 31.

Ponadto przeanalizowano na szeroką skalę ukształtowanie terenu grodziska i okolic na podstawie danych LIDAR. Pozwala to na umieszczenie obiektu w kontekście krajobrazowym najbliższej okolicy.

Badania nieinwazyjne wykonano pomimo znacznych utrudnień terenowych związanych np. z ograniczeniem dostępności do terenu pokrytego gęstą roślinnością czy stromymi stokami wałów.



Ryc. 30. Kompleksowe opracowanie danych pomiarowych: LIDAR, metoda ERT i metoda PE umożliwiając optymalne wyznaczenie lokalizacji wykopów sondażowych.

Fig. 30. Complex presentation of the measurement data: LIDAR, ERT method and PE method enable to determine optimal locations of the soundings.

Bibliografia

- BANASZEK Ł., RĄCZKOWSKI W.
 2014 *Potencjał danych ALS w badaniach archeologicznych*, [w:] P. Wężyk (red.), *Podręcznik dla uczestników szkoleń z wykorzystania produktów LiDAR*, Warszawa.
- BOGACKI M., MAŁKOWSKI W., SZCZUREK G.
 2013 *Badania nieinwazyjne grodziska z wczesnej epoki żelaza i wczesnego średniowiecza w Grodzisku*, Poznań.
- BREINER S.
 1999 *Applications Manual for Portable Magnetometers*, San Jose (Cal.).
- DAHLIN T.
 1996 *2D resistivity surveying for environmental and engineering applications*, „First Break”, vol. 14, s. 275–284.
- FAJKLEWICZ Z. (RED.)
 1972 *Zarys geofizyki stosowanej*, Warszawa.
- KIARSZYS G.
 2015 *Trzy światy średniowiecza*, Szczecin.
- KOBYLIŃSKI Z.
 2005 *Archeologia lotnicza w Polsce. Osiem dekad wzlotów i upadków*, Warszawa.
- LOKE M.H., BARKER R.D.
 1996 *Practical techniques for 3D resistivity surveys and data inversion*, „Geophysical Prospecting”, vol. 44, s. 499–523.
- LOKE M.H.
 2004 *Tutorial: 2-D and 3-D imaging surveys*, ed. Geotomo.
- LOKE M.H., KIFLU, H., WILKINSON P.B., HARRO D., KRUSE S.
 2015 *Optimized arrays for 2-D resistivity surveys with combined surface and buried arrays*, „Near Surface Geophysics”, vol. 13, s. 505–517.
- MISIEWICZ K.
 2006 *Geofizyka archeologiczna*, Warszawa.
- MOŚCICKI W.J., ANTONIUK J.
 1998 *The method of electrical resistivity tomography. The examples of investigations for engineering-geology aims. Materials of the 5. Scientifically technical Conference: geophysics in geology, the mining and the protection of the environment (in Polish)*. Krakow, Poland, Kraków, s. 315–325.
- RĄCZKOWSKI W.
 2012 *Metody w archeologii*, [w:] A. Zalewska i in. (red.), *Przeszłość społeczna: próba konceptualizacji*, Poznań, s. 365–408.
- SCHLUMBERGER C.
 1920 *Etude sur la Prospection Electrique du Sous-sol*, Paris.
- STENZEL P., SZYMANKO J.
 1973 *Metody geofizyczne w badaniach hydrogeologicznych i geologiczno-inżynierskich*, Warszawa.
- WENNER F.
 1916 *A method of measuring earth resistivity*, „Bulletin of US Bureau of Standards”, vol. 12, s. 469–478.
- WĘŻYK P.
 2014 *Podręcznik dla uczestników szkoleń z wykorzystania produktów LiDAR*, Warszawa.
- VOGELANG D.
 1995 *Environmental geophysics*, Berlin.
- ZARZYCKA M., BĘDKOWSKI K.
 2012 *Analiza przestrzennej zmienności wybranych cech budowy pionowej drzewostanu na podstawie danych lotniczego skanowania laserowego*, „Archiwum Fotogrametrii, Kartografii i Teledetekcji”, vol. 23, s. 501–508.

Non-invasive archaeological researches of the hillfort in Stary Dzierzgoń

SUMMARY

In the text the complex method of application of the non-invasive geophysical techniques in the medieval hillfort of Stary Dzierzgoń was presented. Magnetic method, electrical resistivity profiling, electrical resistivity tomography, as well as LIDAR scanning, allowed to determine the outreach of the relics of the historical structures and – approximately – the thickness of the historical layers. In the geophysical interpretation the geological structure of the area was also included.

Osadnictwo średniowieczne wokół Starego Dzierzgonia

Wieś Stary Dzierzgoń – dawny *Alt Christburg* (gm. Stary Dzierzgoń, pow. sztumski) leży w południowo-wschodniej części woj. pomorskiego, w obrębie makroregionu Pojezierze Iławskie. W 1993 r. Stary Dzierzgoń wraz z południową częścią gminy (2640,3 ha) włączony został w obszar Parku Krajobrazowego Pojezierza Iławskiego i podlega ochronie prawnej. Okolice Starego Dzierzgonia należy także do Obszaru Specjalnej Ochrony Ptaków *Natura 2000* – znajdują się tu m.in. siedliska żurawia, orlika krzykliwego i bociana czarnego.

W pobliżu miejscowości, określając jej zachodnią i północną granicę, przepływa rzeka Dzierzgonka, lewy dopływ rzeki Dzierzgoń. Od północy i południowego wschodu miejscowość otulają siedliska lasu mieszanego z przewagą sosny, buka, dębu i brzozy. Na obszarze gminy Stary Dzierzgoń lasy stanowią 22,21% powierzchni. Środowisko geograficzne okolicy ukształtowało się w ostatnim stadium najmłodszego zlodowacenia bałtyckiego oraz w holocenie. Ostatnie zlodowacenie wpłynęło na różnorodność form geomorfologicznych – występowanie obszarów wysoczyznowej moreny dennej, pasów moren czołowych, obszarów sandrów oraz licznych zagłębień i rynien. Formą najczęściej spotykaną są rozległe pola sandrowe – na omawianym obszarze jest to sandr dzierzgoński, ciągnący się w północnej części gminy pasem szerokości 1–2 km wzdłuż rzeki Dzierzgoń. Moreny czołowe ciągną się nieregularnym łukiem również po południowej stronie rzeki Dzierzgoń. Deniwelacje w okolicy, w skali gminy Stary Dzierzgoń, wynoszą około 128 m (skrajne wysokości bezwzględne to około 5 m n.p.m. w północno-zachodniej części gminy i około 133 m n.p.m. w północno-wschodniej części); deniwelacje lokalne dochodzą do 20–30 m. Urozmaiconą rzeźbę terenu w typie rzeźby falistej i wysokofalistej oraz pagórkowatej i wysokopagórkowatej zajmuje około 40% powierzchni gminy. W okolicy Starego Dzierzgonia najwyższym punktem (120 m n.p.m.) jest Góra Zamkowa.

Stary Dzierzgoń jako samodzielna gmina (Stary Kiszpork) powołana została do istnienia w 1945 r., tymczasowo siedzibą władz gminnych było Stare Miasto. Jako jednostka administracji terytorialnej, w której skład wchodziło 13 gromad, gmina przetrwała do 29 września 1954 r., kiedy w następstwie reformy administracyjnej Stary Dzierzgoń stał się siedzibą gromadzkiej rady narodowej. Kolejna reforma z 1 stycznia 1973 r. przywróciła Staremu Dzierzgoniowi status gminy, włączając ją do powiatu morąskiego w województwie olsztyńskim. W wyniku dalszych reform administracyjnych gmina Stary Dzierzgoń przynależała do województwa elbląskiego (1975–1998), pomorskiego – w powiecie malborskim (1999–2001), a obecnie (od 1 stycznia 2002 r.) znajduje się w powiecie sztumskim.

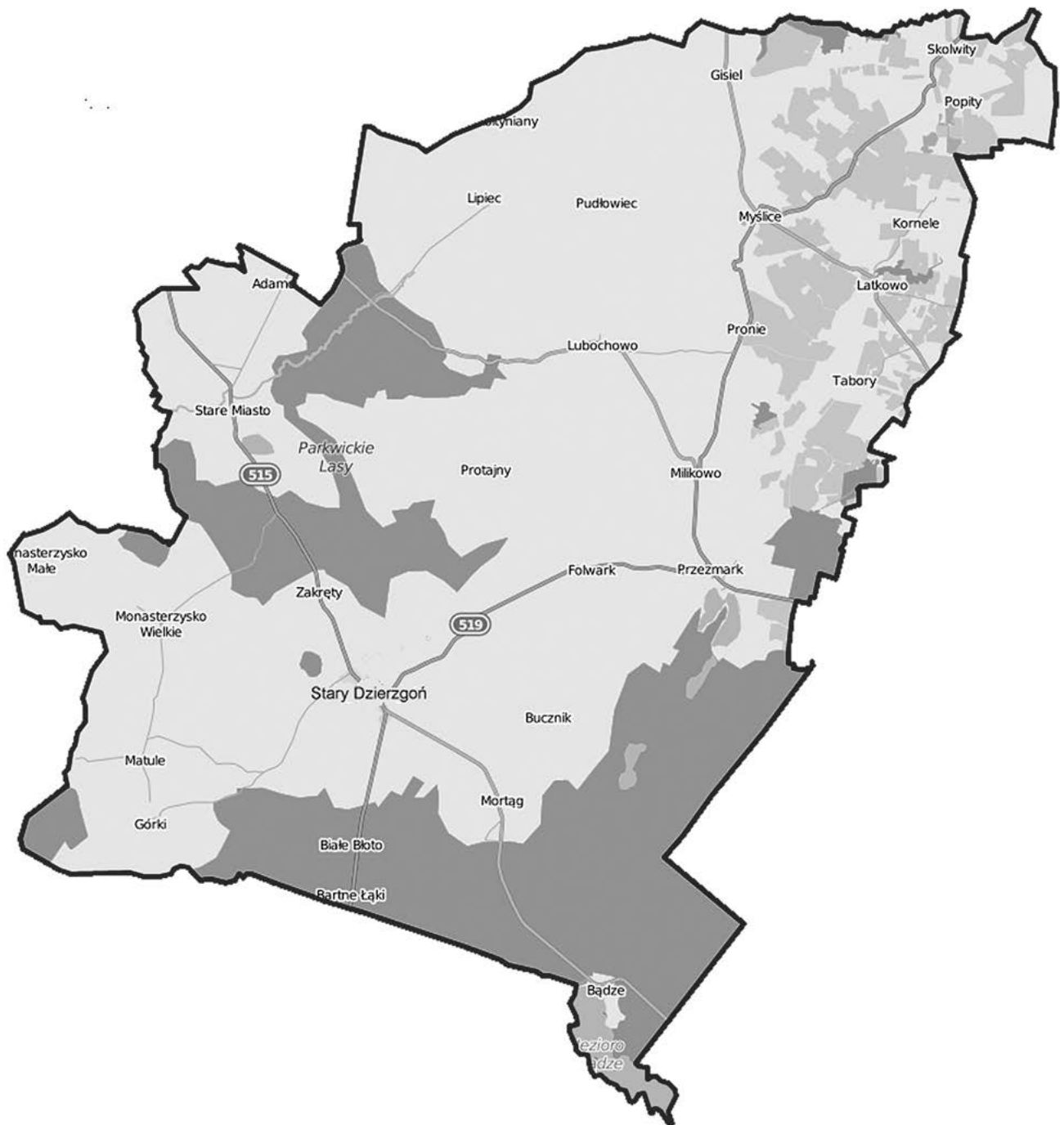
Gmina Stary Dzierzgoń, której powierzchnia wynosi 186 km², podzielona jest na 15 sołectw: Bucznik, Folwark, Górki, Kornele, Lipiec, Lubochowo, Matule, Milikowo, Mortąg, Myślice, Przemark, Skolwity, Stare Miasto, Stary Dzierzgoń i Taborzy (ryc. 1). Ponadto na obszarze gminy znajdują się osady i wsie niesołeckie, takie jak: Bądze, Białe Błota, Danielówka, Gisiel, Giślinek, Głędy, Kielmy, Kołtyniany, Królikowo, Latkowo, Monasterzysko Małe, Monasterzysko Wielkie, Najatki, Nowy Folwark, Piaski Morąskie, Podwiejki, Pogorzele, Popity, Porzeczce, Pronie, Prońki, Protajny, Pudłowiec, Wartule, Wesoła Kępa, Zakręty, Zamek. Większość ma średniowieczną metrykę. Część z nich to obecnie osady opuszczone.

Obszar gminy Stary Dzierzgoń poddawany był antropopresji już w neolicie¹. Osadnictwo skupiało się tu także w epoce brązu (H. Urbanek, 1941, s. 30; D. Bohnsack, 1938, s. 60) i we wczesnej epoce żelaza (Engel, La Baume 1937, s. 245, 254), okresie wpływów rzymskich (Engel, La Baume 1937, s. 266; Hollack, 1908, s. 34; Cieśliński 2010, s. 274–275, 281–282) oraz wczesnym średniowieczu (Zur-Mühlen 1975, s. 259, 261; Jagodziński, 1997, s. 177, 178–179, 185–189; Bogucki i in. 2016, nr 49). Dla trzech

1. KESA PSOZ Elbląg, nr obszaru AZP 22-52, st. 4.

Tabela 1. Osadnictwo na obszarze gminy Stary Dzierzgoń w XIII–XVIII w.

Nazwa obecna	Nazwa źródłowa	Data lokacji / nadania	Rodzaj osady
Bądze	<i>Bensee</i>	Przed 1786	osada leśna
Bucznik	<i>Buchwald</i>	1703	wieś szkatułowa
Folwark	<i>Nuwendorf adir Pforwerg</i>	przed 1410	wieś radłowa
Gisiel	<i>Gestalieye / Estelen</i>	1329	dobra wolnych
Głędy	<i>Glanden</i>	1494	dobra wolnych
Górki	<i>Grabisco, Grabulen, Musekonig</i>	przed 1294	dobra wolnych
Kielmy	<i>Kelmen</i>	1398	dobra wolnych
Koptyniani	<i>Feld in Feld Lepicz</i>	1298	dobra wolnych – część dóbr Lipiec
Kornele	<i>campus Baudewithen</i>	1354	dobra wolnych
Królikowo	<i>Königsee</i>	1305	wieś czynszowa
Latkowo	<i>Lethen</i>	1285	dobra wolnych
Lipiec	<i>Leupicz / campus Leupite</i>	1249 / 1298	dobra wolnych
Lubochowo	<i>Liebwalde</i>	1299	wieś czynszowa
Matule	<i>Mathulen</i>	przed 1321	wieś radłowa
Milikowo	<i>Heinrichsdorf</i>	1301–1311	wieś czynszowa
Monasterzysko Wielkie i Małe	<i>Munsterberg</i>	Przed 1312	wieś czynszowa
Mortąg	<i>Mortec / Mortung</i>	przed 1312	dwór krzyżacki / folwark
Myślice	<i>Miswalde</i>	1316	wieś czynszowa
Podwiejki	<i>campus Baudewithen</i>	1354	dobra wolnych
Popity	<i>Popitten</i>	1331	dobra wolnych / wieś radłowa
Porzecze	<i>Laideyne</i>	1329	dobra wolnych / wieś radłowa
Pronie	<i>Pyron</i>	1376	dobra wolnych
Prońki	<i>Feilschmidt</i>	1543	dobra wolnych
Protajny	<i>Protheimen</i>	1296	dobra wolnych
Przezmark	<i>Prutenicale forum / Transporn</i>	przed 1305	pierwotnie miejsce targowe (z grodem?), później zamek
Pudłowiec	<i>Paudelwitz</i>	1563	dobra rycerskie / część wsi Lipiec
Skolwity	<i>Scholewythen</i>	Przed 1411	dobra wolnych, pierwotnie część pola <i>Popitten</i>
Stare Miasto	<i>Altstadt</i>	1312	wieś czynszowa
Stary Dzierzgoń	<i>Alt Christburg</i>	1249 / 1312	gród / wieś czynszowa
Tabory	<i>Taabern</i>	1306	wieś czynszowa
Wartule	<i>Fahrenholtz</i>	Przed 1800	folwark szlachecki
Zakręty	<i>Hannus Lehman Gut</i>	Przed 1312	dobra wolnych / wieś radłowa



Ryc. 1. Gmina Stary Dzierzgoń.

Fig. 1. Stary Dzierzgoń municipality.

ostatnich okresów potwierdzają to przede wszystkim badania archeologiczne, które miały miejsce na Górze Zamkowej w pobliżu Starego Dzierzgonia. Pozyskane w toku badań zabytki pozwoliły określić okres użytkowania tego miejsca, przerywany doraźnymi hiatusami osadniczymi, począwszy od wczes-

nej epoki żelaza aż do XIII w. Podczas podboju Pomezanii pruskie grodzisko zaczęto przekształcać w krzyżacką warownię o charakterze zamku konwentualnego; kres temu przedsięwzięciu i funkcjonowaniu krzyżackiego punktu obronnego położyło najpewniej drugie powstanie pruskie².

2. Szerzej na ten temat w rozdziale poświęconym historii badań grodziska w Starym Dzierzgoniu. Patrz też bibliografia.

Stary Dzierzgoń – najwcześniejsze wzmianki źródłowe

Najstarsze ślady osadnictwa w Starym Dzierzgoniu sięgają wczesnej epoki żelaza i łączą się z funkcjonowaniem w miejscu Góry Zamkowej osiedla obronnego (Langsdorf, Schleif 1937, s. 80–82; Seefeld 1937, s. 277–282; Radig 1938, s. 81–82; Antoniewicz 1964, s. 23–79). We wczesnym średniowieczu funkcjonował tu gród Prusów, który został zajęty już w pierwszym okresie podboju Pomezanii przez zakon krzyżacki, zapewne bezpośrednio po wygranej przez krzyżowców bitwy nad rzeką Dzierzgoń. Jego rangę, z uwagi zarówno na wielkość, jak i na wskazywaną w źródłach rolę strategiczną, wiązać można z głównym punktem oporu na obszarze tej części Pomezanii, którą była ziemia *Lingwars* (na temat podziałów wewnątrzplemiennych Pomezanii i ziemi *Lingwars* zob. Szczepański 2016).

Do najwcześniejszych informacji na temat istnienia warowni w okolicy Starego Dzierzgonia należy przekaz Piotra z Dusburga, który, nawiązując do wydarzeń pierwszego powstania pruskiego (1242–1249), informuje, jakoby rycerze zakonni w wigilię Bożego Narodzenia podstępnie zdobyli „gród Pomezanów” (*castrum Pomesanorum*). Mistrz krajowy Henryk Weida „zebrał braci i krzyżowców i wyruszył na wojnę. W wigilię Bożego Narodzenia o północy, kiedy ludzie już spali, podszedł do grodu Pomezanów [*castrum Pomesanorum*], który był wówczas w tym miejscu, które nazywa się obecnie

Starym Christburgiem [*Cristburg Antiquum*]. Następnie bracia przystawili do wałów drabiny, po kryjomu weszli do środka, zdobyli gród, a wszystkich mieszkańców pojмали i wymordowali. Dla pilnowania rzeczono grodu umieścili w nim braci i wielu zbrojnych. Warowni, ponieważ została zdobyta w noc Narodzenia Chrystusa, nadano nazwę *Cristburgk*, co znaczy »Zamek Chrystusa« [*castrum Christi*]³. Za *Kroniką ziemi pruskiej* historię zdobycia grodu oraz nadania mu nazwy powtarzali kolejni kronikarze⁴.

Po zdobyciu gród został obsadzony załogą oraz dodatkowo umocniony. W okresie trwania zrywu Prusom wspieranym przez Świętopełka udało się jeszcze odbić go z rąk krzyżaków. Tu też głównym źródłem informacji jest Piotr z Dusburga. Dzięki jego przekazowi dowiadujemy się, że miało to miejsce w schyłkowym okresie powstania. Świętopełk, podchodząc wraz z Prusami pod gród określony w kronice jako *castrum Pomesanorum* (z tytułu rozdziału i dalszych wydarzeń wiemy, że mowa tu o Starym Dzierzgoniu), podzielić miał swe oddziały na dwie części, „po to, by pierwszy mógł przystąpić do szturm grodu od przodu, a drugi od tyłu. Przeto sam z pierwszym oddziałem swojego wojska przystąpił do ataku na przednią i słabszą część grodu i tak bardzo był nieustępliwy w walce, że bracia z trudem byli w stanie obronić tę właśnie część grodu. Z tego powodu drugi oddział wojska wtargnął do grodu od tylnej strony, nie napotykając żadnego oporu. I jedni od przodu, inni od tyłu nacierali na nich, tak

3. *Congregatis ergo fratribus et peregrinis profectus est ad bellum et in vigilia nativitatis Dominicae noctis medio quiescentibus hominibus venit ad castrum Pomesanorum, quod situm tunc fuit in loco, qui nunc dicitur Cristburgk Antiquum, et aplicatis scalis an moenia occulte intraverunt captisque et occisis omnibus expugnaverunt ponentes ibi fratres et armigeros multos pro custodia dicti castri. Huius etiam nomen, quia in ipsa nocte interpretatur castrum Christi* (Dusburg 2007, s. 93–94) [tłum. ze zmianami autora].

4. Niemiecki tłumacz dzieła Piotra z Dusburga Mikołaj z Jeroschina w wierszowanej kronice (1861, s. 401–402) przedstawiał zdobycie grodu następującymi słowami:

*es saminte er di brudere sin
und darzu di pilgerin,
mit den en eine reise zouch.
An der reite quam er ouch
vorhlonlich mit der macht
an des heiligin Cristis nacht
vor eine burc, di was gesat
zu Pomezenen, da noch stat
daz burcwal offenlich irkant,
und Aldin-Cristburc genant.*

Interesujące jest tu użycie w kontekście „grodu” określenia *burcwal* – „burgwal” („grodzisko”), które wskazuje, że w okresie spisywania rymowanej kroniki był to już relikw dawnej warowni. Anonimowy autor *Die Aeltere Hochmeisterchronik* (1866, s. 553) przedstawia zdobycie grodu, kopiując przekaz Dusburga, dodaje także informacje o sojuszu Prusów z księciem pomorskim Świętopełkiem: *Derselbe meystir [Hynrich von Wyda], do her sach, daz Swantopolk mit dem abtrunigen Prusyn so vil leit thet den cristin, her samte eyn gros heer und czog hymlich an des heiligin Cristis nacht vor eyne burg zcu Pomezan, do nu leit daz dorf Aldecristburg. Dy brudyr leit in leitern an und yrstegin daz hus. Sy slugin vingyn, waz drinne waz. Dy burg besachte der meystir mit brudirin und mit wepenen. Got unszer hirre gab ys en yn der cristnacht, doromme nantyn sy ys Cristburg. Podobny przekaz znajdujemy w tekście *Kroniki oliwskiej starszej* (1861, s. 683–684): *Postea factus fuit magister in Prussia frater Henricus de Wida. Iste cum peregrinis secum adductis et advocato de Wida et aliis castrum Prutenorum situm in loco, qui dicitur antiquum Kirsberg in nocte Christi cepit et omnes, quos ibi reperit, occidit et castrum in honorem Christi Kirsberg appellavit.**

iż, mówiąc krótko, wszyscy bracia razem ze swoją służbą od miecza zginęli⁵. Przebieg zdobycia grodu odtworzyć można przypuszczalnie w następujący sposób. W pierwszym etapie szturm sprzymierzone wojska pomorsko-pruskie ruszyły w kierunku wału głównego i bramy. Kronikarz, pisząc o „słabszej części grodu” zapewne na podstawie jakiegoś niezachowanego przekazu, daje nam do zrozumienia, że prawdopodobnie główne wały nie były jeszcze wówczas ostatecznie ukończone. Współcześnie wysokość wału głównego, chroniącego majdan od południa, w najwyższym punkcie osiąga 6 m, przy średniej wysokości wynoszącej około 4 m. Średnia wysokość wału ziemnego od strony wschodniej wynosi 7 m, w najwyższym punkcie wał osiąga natomiast wysokość 10 m. Dodatkowo gród chroniony był wałem od północy (średnia wysokość 3 m, w najwyższym punkcie 5 m). Brama umiejscowiona w południowo-wschodniej części obwarowań znajdowała się na niewielkim wyniesieniu, co dodatkowo podnosiło jej walory obronne. Ponadto przed grodem istniała jeszcze dodatkowa linia wałów podłużnych, czytelna do dziś w terenie (Szczepański 2014, s. 195–216). Niewykluczone jednak, że interpretacja kronikarza o „słabych” umocnieniach wynikała z porównania czoła grodu z miejscem drugiego ataku. Nastąpił on w dalszej fazie bitwy, od strony tylnej (zapewne zachodniej) – niebronionej, czyli przypuszczalnie od rzeki Dzierzgonki płynącej u podnóża wzniesienia, na którym znajdował się gród. W tym miejscu obecnie brak wałów na całej długości, co mogło wynikać z faktu, że strome i wysokie zbocze powyżej rzeki (średnio 37 m) stanowiło wystarczająco dobrą obronę. Być może wcześniej zastosowano w tym miejscu palisadę. Niewykluczone też, że istniejący tam wał osunął się do rzeki⁶. Tak czy inaczej sforsowanie od strony rzeki nachylonego pod dużym kątem wysokiego wzniesienia, na którym posadowiono punkt oporu, stanowić musiało przedsięwzięcie niezwykle trudne, a tym samym – niespodziewane dla obrońców, co w konsekwencji zakończyło się sukcesem nacierających.

Z kolejnego rozdziału *Kroniki* dowiadujemy się, że krzyżacy, nie mogąc odzyskać utraconego grodu, wybudowali „zamek” (z dostępnego materiału archeologicznego wiemy, że zaadaptowali istniejący

wcześniej gród) w jego sąsiedztwie, „zmieniając miejsce, a nie zmieniając nazwy”. Dał on początek późniejszemu zamkowi konwentualnemu w Dzierzgoniu. Od tego też czasu datuje się rozróżnienie między „Starym” a „Nowym” Dzierzgoniem, co odzwierciedla po raz pierwszy tekst kończącej powstanie Prusów ugody zawartej między Zakonem a Prusami w (nowym) Dzierzgoniu 7 lutego 1249 r. Wówczas to pojawia się *antiquum* i *novum Christburg*. Tego rodzaju nazwy, które zachowują informacje o statusie dawnego miejsca w kontekście przeniesienia zamku, miasta (tu też niepowodzenia związanego z lokacją) lub siedziby urzędników są w Prusach spotykane – wystarczy przywołać choćby przykład Starego Torunia, Starego Miasta (koło Dąbrówna i koło Dzierzgonia) czy Starego Barczewa (*Alt Wartenburg* – obecnie Barczewko).

Warto w tym miejscu zastanowić się nad wiarygodnością przekazu Piotra z Dusburga dotyczącego pochodzenia nazwy (Starego) Dzierzgonia – (*Antiquum*) *Christburg*. Etymologia ta powinna być traktowana bardziej w kontekście metonimii krucjatorskiej niż faktycznego zjawiska onomastycznego. Ani Dusburg, ani inni znani kronikarze średniowieczni nie podają konkretnej nazwy grodu sprzed nadania mu miana Chrystusa. Przypomnijmy, że pojawia się on w źródłach pod określeniami *castrum Pomesanorum*, *burg zcu Pomezan* lub *castrum Prutenorum*, co wskazywać może jedynie na rangę w systemie obronnym Pomezanii. Warto jednak wiedzieć, że zarówno w przypadku źródeł kronikarskich, takich jak choćby *Kronika Oliwska*, jak i źródeł dokumentowych oprócz nazwy *antiquum* / *Alt Cristburg* / *Christburg* pojawia się w kontekście Starego Dzierzgonia także *antiquum Kirsberg* / *Kirsberg* / *Kirsburg*. Jeszcze sprzed powstania pruskiego, a zatem również i sprzed opisanego przez Piotra z Dusburga „przeniesienia” nazwy *Christburg* na „nowy” gród w Dzierzgoniu, najwcześniejsza jest wzmianka zawarta w dokumencie wystawionym w 1239 r. dla Teodoryka von Tiefenau, gdzie znajdujemy informację o nadaniu 22 łanów flamandzkich pod Orkuszem, a konkretnie naprzeciw jeziora Orkus, przy drodze biegnącej z Kwidzyna (*Insula sancte Marie*) do miejsca zwanego *Kirsberg*: *XXII. mansos flaminigales apud viam, qua itur de Insula sancte Marie*

5. *Congregavit ergo omnem potentiam exercitus sui et neophytorum Prussiae et, ut praemisum est, quia omni dolo plenus fuit, semper dolose egit, unde divisit exercitum suum in duas partes, ut una castrum ante invaderet, altera retro. Processit itaque ipse cum una parte dicti exercitus ad anteriorem partem infirmiore et adeo infestus est, quod alia pars exercitus in posteriori parte sine aliquo defensionis obstaculo castrum subintravit. Sicque isti ante, illi retro ipsos impugnaverunt, ita ut breviter concludendo omnes fratres cum eorum familia in ore gladii trucidarent* (Dusburg 2007, s. 96) [tłum. ze zmianami autora].

6. Ewentualność taką dopuszcza M.F. Jagodziński (1997, s. 186); Wykop (nr 15) założony w 1935 r. w miejscu prostopadłej krawędzi zachodniego brzegu nie wykazał żadnych relikwów umocnień (*SS-Ausgrabung Alt Christburg...*, k. b).

in Kirsberg a sinistris prope stagnum, quod Wurkus [Orkusz], *vocatur* (UBP 1885, nr 2). Z cytowanego źródła nie wynika bezpośrednio, czy chodzi tu o Stary Dzierzgoń, czy o „nowy” Dzierzgoń. W XIV w. przez Dzierzgoń przebiegał co prawda szlak łączący Kwidzyn z Elblągiem, który omijał Stary Dzierzgoń (Powierski 1982, s. 50; Biskup, Labuda 1986, s. 141, 146; Haftka 1971, mapa) w źródłach znajdujemy jednak informację o istnieniu jeszcze jakiegoś innego szlaku określanego w dokumencie z 24 sierpnia 1303 r. wydanym dla wsi Brokowo jako *antiqua via Kirspurgensi* (UBP 1885, nr 24). Podobnie dokument z 1328 r. dla wsi Ośno wspomina jedynie o przebiegającym w pobliżu szlaku jako *viam antiquam que protenditur versus Christburg* (UBP 1885, nr 37). Ów „stary szlak” do Dzierzgonia przebiegać mógł powyżej Ośna, następnie koło jeziora Orkusz i Gdakowa (Kaufmann 1927, s. 134; Wunder 1968, s. 7). Nie ma pewności, czy skręcał on następnie w okolicy wsi Stążki na wschód, pomiędzy Jeziorem Dzierzgońskim a Jeziorem Balewskim, w kierunku Starego Dzierzgonia. Nie wyjaśniają tego inne dokumenty. Mając jednak na uwadze rangę Starego Dzierzgonia w początkowym okresie podboju ziem pruskich i przed wybuchem powstania w 1242 r., nie należy wykluczać ewentualności, że ów „stary szlak” biegł na linii: Kwidzyn – Stary Dzierzgoń – Dzierzgoń i dopiero w późniejszym okresie został zastąpiony nowym, biegnącym wzdłuż zachodniego brzegu jezior Dzierzgońskiego oraz Balewskiego i stamtąd na wschód, do Dzierzgonia. Zwracając jednak uwagę na fakt, że w dokumencie lokacyjnym Starego Miasta z 1312 r. nazwa Starego Dzierzgonia zapisana została jako *Aldin Kirsburg* oraz że informacje o pierwszeństwie nazwy zawarte w źródłach krzyżackich wyraźnie wskazują, iż nazwa *Christburg* została przeniesiona bezpośrednio ze Starego Dzierzgonia / *Alt Christburg* wraz z założeniem (przed 1249 r.) zamku konwentualnego w „nowym” Dzierzgoniu, przyjęć można, że owa wzmianka z 1239 r. dotyczy właśnie Starego Dzierzgonia (Szczepański 2008, s. 13; Długokęcki 2017, s. 75, 79). O tym, że przed 1239 r. sam Dzierzgoń mógł nosić inną nazwę niż Stary Dzierzgoń i że wzmianka z cytowanego wyżej nadania dotyczy właśnie „Starego” Dzierzgonia, świadczyć mogą źródła znacznie późniejsze, niewykluczone, że opierające się na wcześniejszej – pruskiej – onomastyce.

W *Kronice* Jana Długosza oraz w źródłach powstałych w kancelarii polskiej w latach 1429, 1430 i w okresie wojny trzynastoletniej, nazwa Dzierzgonia – siedziby komturii – występuje w dwóch wersjach: *Christburg* lub *Kirsbork*, ale też pojawia się

wcześnie nienotowana w źródłach krzyżackich nazwa *Dzrezgon* (25 IX 1429) oraz określenie funkcji komtura dzierzgońskiego jako *Dzirzgouiensis* (26 V 1429), *Dzirgouensis* (14 VI 1430) i dalej jako *Dzyrgon*, *Dzirgon*, *Dzyrgon*, *Dzierzgon* (1466, w tekście pokoju toruńskiego) (Długokęcki 2017, s. 80). O ile pierwsza – oficjalna – nazwa została już wytłumaczona jako przeniesiona ze „Starego” Dzierzgonia, o tyle druga jest zapewne pierwotną nazwą pruską (**Zirgūns*), adekwatną do nazwy rzeki *Sirgun* (Dzierzgoń), nad którą znajdował się dzierzgoński gród. Nie mamy pewności, czy nazwa pruska **Zirgūns* mogła zostać zapisana już w latach 30. XIII w., kiedy polscy książęta wspierali krzyżaków w podboju Prus, czy też została zasłyszana w okresie działań wojennych związanych z wojną z lat 1409–1411 lub w 1414 r. Podobnie rzecz miała się z innymi miejscowymi nazwami (jak Susz, Prabuty, Kisielice), choć w dokumentach dla okresu podboju jest to udowodnione jedynie w przypadku Kwidzyna. Pod pruską nazwą *Quidini* pojawia się on w liście księcia śląskiego Henryka Pobożnego przebywającego na wyprawie w Prusach, kiedy w 1235 r. wystawia on dokument dla klasztoru mogileńskiego: *prope Quedinam*. Nazwa ta, dotycząca wczesnego grodu, funkcjonowała jeszcze po podboju, o czym świadczą dokumenty z 1243 r. i 1251 r., a nawet z XV w. (Górniewicz 1980, s. 180). Podsumowując zatem, jeżeli faktycznie w 1248 r. przeniesiono nazwę *Christburg* ze „Starego” na „Nowy” Dzierzgoń, to wzmianka o *Kirsbergu* z 1239 r. dotyczyła grodu w Starym Dzierzgoniu, gdyż „Nowy” Dzierzgoń funkcjonował wówczas pod nazwą pruską **Zirgūns*.

Rozpatrując zatem, niezależnie od Dzierzgonia, etymologię nazwy Starego Dzierzgonia zapisywanej w średniowieczu jako *Antiquum* / *Alt Christburg*, zwrócić należy uwagę, że pierwotną nazwą grodu, która zachowała się w formie prusko-niemieckiej hybrydy, wiązać należałoby z pruskim rdzeniem *kirs[nan](-)*, co oznaczałoby „czarny” lub z pruskim imieniem *Kirsne* / *Kirsnute* / *Kerse* oraz z niemieckim *Burg* – gród (pierwotnie pr. *[*Kirs*]*Kerspils*?). W okresie walk z Prusami, kiedy gród został zdobyty, niezależnie od tego, czy stało się to w noc poprzedzającą narodzenie Pańskie, czy też nie, mamy tu do czynienia z ewidentną metonimią dawnej pruskiej nazwy do prusko-niemieckiej formy *Kirsberg* / *Kirsburg* i w konsekwencji *Krist(Christ)burg*, po 1248 r. dodatkowo z rozróżnieniem „Stary”. Nazwa ta w kolejnych wiekach poddawana była dalszym interpretacjom i metonimiom. Na podstawie źródeł z XV w. nazwę Starego Dzierzgonia w wersji *Kirsbork* przytacza Wojciech Kętrzyński. Na początku XVI w.

pojawiają się zapisy *Alde Kissburg, Kirsperg* (*Formularz z Uppsali*, 2016, nr 424, s. 330, nr 426, s. 332). W tym samym czasie Lukas David, obok rzekomo pruskiej nazwy grodziska w Starym Dzierzgoniu, która miała brzmieć *Crevose*⁷, podaje nazwę *Kirs-senborgk*, a Simon Grunau informuje o istniejącej wówczas nazwie *Kerssenborch* (David 1813, s. 87; Grunau 1876, s. 223)⁸. Równocześnie aż do XX w. funkcjonowała spolszczona nazwa Stary Kiszpork.

Stary Dzierzgoń – wieś lokacyjna

W wyniku podziału, dokonanego 18 grudnia 1250 r. między biskupem pomezańskim a krzyżakami, Stary Dzierzgoń wraz z całością dawnej pruskiej ziemi *Lingwars* trafił pod zwierzchnictwo Zakonu, administracyjnie wchodząc w skład komornictwa Morany. W latach 1383–1389 w zastępstwie komornictwa Morany napotykaemy w źródłach komornictwo *Lingwar* (Wunder 1968, s. 93–94). Nie ma pewności, czy wiązało się to z przeniesieniem siedziby z Moran do Andrzejewa (*Reichandres – Lingwar*), czy też użycie nazwy *Lingwar* stanowiło nawiązanie do dawnej pruskiej jednostki terytorialnej, w której granicach krzyżacy utworzyli własną jednostkę administracyjną. Cały obszar komornictwa oraz wieś Stary Dzierzgoń podlegały władzy komturskiej w Dzierzgoniu⁹.

Akt lokacyjny wsi Stary Dzierzgoń wystawił 14 kwietnia 1312 r. (w oryginale: osiemnaste kalendy maja, w dniu błogosławionych Tyberiusza i Waleriana męczenników) w Przemarku komtur dzierzgoński Günter von Arnstein (PUB II/1, 1932, nr 56). Na mocy dokumentu wieś lokacyjna otrzymała 72 łany na prawie chełmińskim, 5 łanów przyznano na uposażenie parafii, z pozostałych 67 łanów wszyscy mieszkańcy zobowiązani byli odprowadzać corocznie na świętego Marcina (11 listopada) na rzecz plebana jeden korzec żyta. Sołtys Mikołaj i jego prawi potomkowie otrzymali w dziedziczne posiadanie 6 łanów zwolnionych z wszelkich obciążeń wobec komtura w Dzierzgoniu. Sołtys otrzymał też pra-

wo sądownictwa i pobierania 1/3 zasądzonych kar. Z pozostałych 61 łanów znajdujących się w posiadaniu mieszkańców wsi z każdego łana na świętego Marcina zobowiązani oni byli opłacać czynsz w wysokości 3 wiardunków na zamek w Dzierzgoniu. Karczmarz musiał uiszczać roczny czynsz w wysokości 2 grzywien w tym samym terminie, co inni. We wsi obowiązywały również te same miary i wagi, co w mieście Dzierzgoń.

Dokument opisuje też dokładnie przebieg granic wsi. Pierwszym charakterystycznym elementem w terenie był most Sampol (mapa 2 – pkt 1), znajdujący się na południowy zachód od wsi. Identyfikować go można z przeprawą mostową ponad rzeczką Dzierzgonką, w pobliżu rozlewiska, które jeszcze w 1944 r. funkcjonowało pod nazwą *Sampohl*. Nieopodal tej przeprawy zbiegały się drogi łączące wsie Górki, Matule i Stary Dzierzgoń. Nazwa mostu – przeprawy jest tożsama z nazwą sąsiednich dóbr Prusa imieniem Sampol, znajdujących się właśnie między Starym Dzierzgoniem, Matulami i Górkami, co potwierdza opis granicy ziem nadanych w okolicy wsi Matule i Górki w 1321 r. Prusowi Gerko (PUB II/1, 1932, nr 332)¹⁰. Dalej granica biegła w kierunku północnym rzeką *Syrgen – Młyńską Dzierzgonką*, dochodząc *ad montem, qui 'burchwal' nunccupatur*, czyli do góry, którą zwą „Grodzisko” (mapa 2 – pkt 2). Również dokument lokacyjny Starego Miasta z 3 maja 1312 r. wymienia dwa grodziska, z których pierwsze identyfikować można z grodziskiem w Starym Mieście (*eynem berge, der do burcwal heysset*), drugie zaś – z grodziskiem w Starym Dzierzgoniu (nad rzeką Dzierzgonką, przy granicy dóbr wolnego Hanusa Lemana – obecne Zakręty), nazwanym tu dla rozróżnienia *alde burcwal: von der Lepicz dann bis czu eynem berge, der do burcwal heysset, von dannen bis czu eynem vlyze Krebsbach genant, und von dannen ubir alle dy greniczen da czwischen bis czu der Sirgun daz selbe vlys uf gende und das alde burcwal, do man eyne grenicz by dem wege vint, von dannen denne gende ubir alle dy greniczen bys czu eyner grenicz czischen Hannus Leman* (PUB II/1, 1932, nr 60). Z opisu

7. Johannes Voigt (1827, s. 181), szukając powiązań z innymi częściami Prus, zastanawiał się, czy jej etymologię łączyć można z ewentualną funkcją grodziska jako dawną siedzibą kapłana Criwe. Oczywiście jest to mało prawdopodobna hipoteza, tym bardziej, że dopuszczał Voigt także inną możliwość.

8. Nazwa „Grevose” występuje także na *Messtischblätt* 1:25 000 nr 2282 Rosenberg 1944.

9. Reinhard Wenskus (1986, s. 380; pierwodruk 1967, s. 121) sugerował, że w okresie przedkrzyżackim Stary Dzierzgoń przynależał do hipotetycznej ziemi, której głównym ośrodkiem miał być Mortąg (*Mortec*), gdzie w XIV w. poświadczona jest siedziba prokuratora, a w następnym stuleciu znajdował się tam urząd rybackiego. Pogląd ten spotkał się z krytyką Heide Wunder (1968, s. 200, przyp. 218a). Teza Wenskusa nie znalazła uznania również u innych badaczy (Szczepeński, op. cit., s. 130–131, 153–162; Długokęcki, op. cit., s. 75).

10. Osada *Sampollen* znajdowała się też w komturstwie Człuchowskim (Schlohau) (GZB 1958, s. 108 (282)).

granicy Starego Dzierzgonia wiemy, że grodzisko i jego obwarowania nie wchodziły wówczas w obszar Starego Dzierzgonia. Obecnie śladem granicy jest najpewniej zachowany niski podłużny wał biegnący na linii SW–NE, około 150 m na wschód od grodziska. Sprawę przynależności obszaru grodziska wyjaśniają również późniejsze źródła, z których dowiadujemy się, że należał on do właścicieli *Simons-Mühle*, młyna położonego nad Młyńską Dzierzgonką. O młynie tym mówi również dokument opisujący granice Starego Miasta z 1312 r.,

z której to wsi pół łana zostało przyznane na rzecz młyna (PUB II/1, 1932, nr 60). Do młyna starodzierzgońskiego, określonego jako *molendinum de Antiquo Christburg*, dochodziła granica wsi Stary Dzierzgoń (mapa 2 – pkt 3) i dalej biegła w stronę wzniesienia, które określane było potocznie *drybum* – „trzy drzewa” (mapa 2 – pkt 4?). Stąd wiodła dalej w kierunku południowo-wschodnim, wzdłuż innego ciek wodnego, który rozdzielał dobra *Lutyn* – późniejsze *Garbenicken*, położone na południe od Protajna, między rzeką Raczą a północną granicą



Ryc. 2. Punkty orientacyjne wg opisu granic Starego Dzierzgonia z 1312 r. (na podstawie *Deutsche Heereskarte Blatt Nr. 2182 Alt Christburg* 1944), oprac. S. Szczepański.

Fig. 2. Landmarks based on the description of the borders of Stary Dzierzgoń of 1312 (according to *Deutsche Heereskarte Blatt No. 2182 Alt Christburg* 1944), drawing S. Szczepański

Starego Dzierzgonia. W 1296 r. pewien wolny Stephan otrzymał na prawie pruskim część pola *Prothei-nen*, pozostała część pola to zapewne późniejsze *Garbenicken*, wspomniane po raz pierwszy w opisie granic wsi Kielmy w 1354 r. i jako dobra pruskie w 1370 r. Toponomastycznym reliktem osady jest nazwa polowa *Knicken*, która w kontekście osady *Lutyn / Garbenicken* funkcjonowała w wiekach XVI-XVII (PUB I/2, 1909, nr 670; PUB V/1, 1969, nr 150; PUB VI/2, 2000, nr 814; Semrau 1932, s. 44; Wunder 1968, s. 95, 129–130). W dalszej części granica biegła przez łąki *Lutyn* (mapa 2 – pkt 5) do położonych na południowy wschód łąk *Cantun* (mapa 2 – pkt 6), do bagien zwanych *Molebruch / Mosebruch* na północny zachód od Bucznika (mapa 2 – pkt 7). Z *Cantun* wiązać się mogły dobra zapewne pruskiego wolnego o imieniu Kantune lub zbliżonym. Imię to jest notowane w Pomezaniu w sąsiednim komornictwie karpowskim (Trautmann 1974, s. 43). Lokalizacja dóbr względem Starego Dzierzgonia pozwala na poszukiwanie ich na obszarze między tą wsią a wsią Folwark (Wunder 1968, s. 103, 130). Stąd granica, opierając się o ścianę puszczy (*Heide*), która porastała obszar między Mortągiem (*Motec*) a dobrami Sampol (mapa 2 – pkt 8), biegła dalej do punktu wyjścia. Na obszarze puszczy zwanej potocznie *Bor* mieszkańcy wsi mieli wolne prawo wypasu zwierząt. Był to obszar dwóch łąnów znajdujący się na granicy z Mortągiem.

W 1312 r. wieś obejmowała zatem łącznie 72 łąny, kościół, karczmę i młyn – z zapisu rachunkowego z 1386 r. wiemy, że miał on wówczas 2 koła. Ze źródeł fiskalnych wynika też, że we wsi mieszkali: krawiec (1398: Hannus schroter), wapienik (1394, 1398: *Peter calkbrechter*), pisarz (1394: *Petir schriber*), pszczelarz (1394, 1400: *Petir bener*). We wsi znajdowała się także „stara” szkoła (1404: *Niclus yn der alden schule*) (*Pfennigschuldbuch* 1967, s. 191 (162b), 76 (33a–33b)). W zapisach z *Wielkiej księgi czynszów* wiemy, że w 1417 r. we wsi za 61 łąnów, które były oczynszowane (czyli bez łąnów plebańskich i sołtysich), za każdy łąn płacono 1 grzywnę, ponadto z dwóch karczem przychód winien wynosić 4 grzywny (po 2 za każdą karczmę). Po kataklizmie wojen z lat 1409–1411 i 1414 we wsi obsadzonych było 51 łąnów, a jedna karczma stała opuszczona (GZB 1958, (33), s. 8). Według danych z 1437 r. spośród 72 łąnów we wsi oraz zwolnionych z czynszu 5 łąnów plebańskich i 6 sołtysich oczynszowanych było 61 łąnów, z których już tylko 2 były opuszczone. Czynsz, podobnie jak wcześniej, wynosił 1 grzywnę. Funkcjonowały już dwie karczmy, z których pobierano roczny czynsz 2 grzywien

z każdej (GZB 1958, (125), s. 31). Jak wskazują dane pochodzące z wizytacji, sytuacja z obsadzeniem łąnów we wsi była znacznie gorsza w kolejnych latach XVI stulecia. W 1530 r. spośród 72 łąnów łącznie aż 55 było opuszczonych, w 1539 r. spośród 60 (oczynszowanych) opuszczonych było 26 łąnów, a w 1576 r. wieś była prawie całkowicie opuszczona (Wunder 1968, s. 223–225).

Nie mamy wyraźnie poświadczanego pruskiego osadnictwa na terenie wsi w okresie przedlokacyjnym. Nazwa *Kirsberg* z 1239 r. odnosiła się najpewniej do grodu. Ten, jak wykazują oba cytowane wyżej dokumenty opisujące granice wsi Stary Dzierzgoń i Stare Miasto w 1312 r., nie pełnił już żadnej funkcji militarnej, na co wskazują użyte wobec niego określenia takie jak „grodzisko”, „stare grodzisko”. Rola grodziska sprowadzona została do rangi punktu orientacyjnego przy określeniu granic lokowanych w 1312 r. wsi. W dokumencie lokacyjnym Starego Dzierzgonia znajdujemy informację, że jest ono wyłączone z obszaru przynależnego do lokowanej wsi. Wynikało to zapewne z faktu, że jako dawny obiekt obronny przynależało bezpośrednio do zamku komturskiego w Dzierzgoniu. Obszar wyłączony obejmował nie tylko zamknięty wewnątrz wałów opuszczony majdan, ale też wyznaczony przez wały i fosy teren wokół grodu. Sytuacja zmieniła się w okresie późniejszym. W XIX w. grodzisko było użytkowane przez mieszkańców wsi, a następnie zostało zakupione przez hrabiów zu Dohna, właścicieli Prakwic i Kielm.

Przed 1248 r. krzyżacy podejmowali starania w kierunku zaadaptowania dawnego pomeziańskiego grodu na potrzeby zamku konwentualnego, czego śladem są podniesione wały oraz wydzielenie przestrzeni wewnątrz plateau, rozbudowa bramy wjazdowej, rozbudowa linii fos i wałów zewnętrznych. Po przeniesieniu siedziby głównej do Dzierzgonia gród stracił swoją rangę, choć nadal był użytkowany. Jak wykazały badania archeologiczne z lat 1935–1937, w najwyższym punkcie wału głównego wzniesiona została wieża z podpiwniczeniem, która później uległa zniszczeniu podczas pożaru. Kiedy to nastąpiło? Dokładnie nie wiadomo. Być może ostateczny kres funkcjonowania grodu przyniosło drugie powstanie pruskie. Wówczas gród opustoszał, popadająca w ruinę wieża zawałiła się i została rozebrana (*SS-Ausgrabung Alt Christburg*, k. 2...). Na nieużytkowanym terenie postępowało zalesienie. Potwierdzenie tego znajdujemy w dokumencie sprzedaży młyna Simonsmole (*Neu Mühle*) z 1413 r., w którym zapewniono właścicielowi młyna, niejakiemu Czerfasowi, m.in. prawo do zbierania

z obszaru grodziska w Starym Dzierzgoniu (*uff dem Burgwall zu aldecrispurg*) drewna opałowego na własne potrzeby (OF 100, f. 133 v).

W traktacie z 7 lutego 1249 r., który kończył powstanie Prusów, znajduje się informacja, że poddający się na nowo pod władzę zakonu krzyżackiego mieszkańcy Pomezanii zobowiązują się m.in. wzniesić kościół *circa antiquum Christiborc*. Był to jeden z trzynastu kościołów, który miał być wybudowany do najbliższej Pięćdziesiątnicy, która wówczas wypadła w niedzielę 23 maja (Wenskus 1967, s. 121–136; Wunder 1968, s. 196–200; Szczepański 2013, s. 19–45; 2015, s. 273–295). Kościół koło Starego Dzierzgonia miał zostać przyozdobiony i wyposażony w naczynia liturgiczne, księgi i inne potrzebne rzeczy przez ludzi ze wsi, którzy są lub będą do danego kościoła przydzieleni. Tam też zobowiązali byli oni uczęszczać i w nim albo z niego otrzymywać sakramenty święte. Kościoły te zatem pełniłyby rolę parafialną dla ludności pruskiej. Część z nich już istniała i najpewniej miała zostać albo naprawiona po okresie walk, albo też na nowo obsadzona kapłanami. Niektóre wybudowano w miejscach, w których istniała taka potrzeba. Prusowie z Pomezanii, Warmii i Natangii skarżyli się bowiem, że zakon nie zapewnił im odpowiedniej posługi i przez długi czas na tych ziemiach brakowało zarówno kapłanów, jak i kościołów. Obowiązkiem krzyżaków było zatem zadbanie, aby nie później niż w ciągu roku w każdym z tych kościołów znajdował się pleban. Na utrzymanie kapłana każdego z wymienionych kościołów przeznaczono 8 łanów ziemi (z czego 4 to pola, a 4 – lasy), dodatkowo dziesięcinę w wysokości 20 uncji, dwa woły, jednego konia i jedną krowę. Zobowiązano się, że jeśli dziesięcina w momencie pojawienia się kapłana nie będzie gotowa, dadzą mu odpowiedni przydział mąki lub zboża do wypieku chleba, piwo, paszę dla konia, a także zboże na zasiew pól, aż do czasu otrzymania wyznaczonej mu dziesięciny od mieszkańców parafii. Dodatkowo zapewniono plebanowi wszelkie ofiary, zapisy i inne rzeczy, które zostaną dla niego zebrane przez wiernych.

Nie wiadomo, czy kościół *circa antiquum Christiborc* to ten sam kościół (w centrum obecnej wsi), o którym mowa w dokumencie lokacyjnym Starego Dzierzgonia. Wydaje się raczej, że informacja ta dotyczy bliżej niezlokalizowanego kościoła znajdującego się w bezpośredniej okolicy grodu. Jakiś kościół musiał tam istnieć, by zapewnić posługę zbrojnym. W okresie powstania i zajęcia grodu przez buntowników mógł on ulec zniszczeniu, a na pewno został opuszczony przez posługujących w nim kapłanów.

W późniejszym okresie, kiedy powstała wieś lokacyjna w obecnym miejscu, wzniesiono w niej nowy kościół. Za taką ewentualnością przemawiać może też różnica w uposażeniu plebana. Według treści traktatu miało to być 8 łanów. W dokumencie lokacyjnym na rzecz parafii przewidziano 5 łanów ziemi. Przypomnijmy, że nie ma również dowodów źródłowych potwierdzających, iż na obszarze obecnej wsi w okresie przedlokacyjnym istniała jakaś pruska osada, choć brak informacji o przyznaniu wolnizny może wskazywać, że nie powstała ona na surowym korzeniu. Informacja z 1239 r. dotyczyła raczej grodu – implikuje to także konstrukcja nazwy z członem (-)Berg / (-)Burg. Później, kiedy gród przestał pełnić swoją rolę, nazwa została przeniesiona na lokowaną w 1312 r. wieś.

Osadnictwo wokół Starego Dzierzgonia

Wieś Stary Dzierzoń bynajmniej nie powstała na obszarze pustki osadniczej. Już sam dokument lokacyjny wskazuje na istnienie w jej pobliżu kilku osad. O nazwach *Sampol*, *Lutyn* i *Cantun* pojawiających się w dokumencie lokacyjnym Starego Dzierzgonia była już mowa. Tu pokrótce omówione zostaną jeszcze inne średniowieczne wsie i dobra wolnych, które funkcjonowały w najbliższej okolicy.

Mortąg pojawia się w dokumentach po raz pierwszy właśnie w 1312 r., przy opisie granic Starego Dzierzgonia, jako *Mortec* (1332, 1350, 1354, 1355, 1434: *Mortegen*, *Mortek*, *Morteke*, *Mortek*, *Morteg*, *Mortecke*). Nazwa jest pochodzenia pruskiego o niejasnej etymologii, być może antroponimiczna, od imienia **Murt-ik* (Przybytek 1993, s. 183). Nie wiadomo też nic o tym, czy w 1312 r. Mortąg był wsią czynszową, czy też stanowił dobra wolnych (Semrau 1932, s. 68). W 1410 r. jednorazowo pojawia się informacja o sołtysie w Mortągu i o mieszkańcach wsi (*Pfennigschuldbuch* 1967, s. 242 (214a)). Wiadomo, że znajdował się tam dwór urzędniczy. Według informacji Adolfa Boettichera, w latach 70. XIX w. w ogrodzie leśniczówki w Mortągu odkryto prawdopodobne pozostałości owego dworu w postaci sklepienia piwnicznego, którego ściany wykonano z kamienia polnego, a sufit z cegieł. Podłoga była wyłożona małymi, glazurowanymi, kwadratowymi kaflami w kolorze zielonym, żółtym i czarnym. Według informacji ówczesnego leśniczego Manna mury ciągnęły się jeszcze na długości około 300 m. Na południe od ogrodu leśniczówki znajdowało się – osuszone już w XIX stuleciu – jezioro (Boetticher 1898, s. 15).

Od 1332 r. poświadczeni są prokuratorzy mortąscy. W tym roku jako świadek przy nadaniu dla wsi Taborzy wspomniany jest brat Arnold, prokurator (*Pfleger*) w Mortągu (PUB II/2, 1939, nr 763); kolejny raz prokurator (*provisor*) w Mortągu Wilhelm Sure został odnotowany wśród świadków w 1350 r., przy nadaniu pola Małdyty (PUB IV, 1960, nr 550); jego następcą był Wilhelm Löwe, który znajduje się wśród świadków przy nadaniu pola *Baudewithen* (okolice wsi Podwiejki i Kornele) w 1354 r. (PUB V/1, 1969, nr 268). W Mortągu w miejsce prokuratora pojawia się urząd rybickiego. Niewymieniony z imienia *Fischmeister* po raz pierwszy w źródłach zapisany został pod rokiem 1397 (*Pfennigschuldbuch* 1967, s. 126 (107a)). Niewykluczone, że był to występujący w zapisach fiskalnych z 1411 r. przy Mortągu *Herr Symon*; wraz z nim występuje jego pisarz *Andreas* (*Pfennigschuldbuch* 1967, s. 75 (32b), 77 (34b), 88 (49a), 241 (213a), 247 (222a)). Kolejny raz rybicy pojawiają się w roku 1409 (MTB 1896, s. 558) i 1416 (*Ausgabebuch* 1911, s. 205). Z zapisów z lat 1396–1397 wiemy, że we dworze zatrudnionych było dwóch stajennych, ogrodnik, owczarz, krawiec, chmielarz (*Ausgabebuch* 1911, s. 136 (107a)). Zachowały się też inwentarze dworu mortąskiego. Według stanu z 1434 r. znajdowało się tam 550 owiec, 85 krów, 39 dużych kobył, 25 kóz, 12 cieląt, 2 pługi z całym osprzętem, 9 łasztów owsa (GÄB 1921, s. 141). W 1441 r. naliczono 59 kłaczy, 1 konika sweiksa, 63 krowy, 1 byka, 324 owce, 15 źrebiąt, 90 prosiaków i 2 pługi z całym osprzętem (GÄB 1921, s. 145). Spośród 72 łąnów należących do wsi czynszowej Mortąg **łącznie aż 55 było opuszczonych**; w 1539 r. spośród 60 (oczyszczonych) opuszczonych było 26 łąnów, w 1576 r. wieś była prawie całkowicie opuszczona (Wunder 1968, s. 223–225).

Matule graniczyły od zachodu ze Starym Dzierzgoniem, oddzielone częściowo rzeką Dzierzgonką oraz znajdującymi się między obiema wsiami dobrami Sampol. W miejscu dóbr Sampol, w pobliżu przeprawy przez Dzierzgonkę, zbiegały się średniowieczne trakty prowadzące od Matul i Górek w kierunku Starego Dzierzgonia, które następnie wiodły przez wieś w stronę grodziska i dalej, w kierunku młyna *Simonsmuhle*. Matule pojawiają się po raz pierwszy w źródłach 4 kwietnia 1321 r. przy nadaniu dóbr dla człowieka imieniem Gerko (późniejsze Górki¹¹) jako *nostra bona Mathulen*. Z opisu granic wnioskuje się, że znajdowały się one na północ od nadania dla Gerki i na wschód od dóbr Prusa Baudila, od których oddzielała je bagna *Mosbruch* – późniejsze

Fichtenbruch (PUB II/1, 1932, nr 332, s. 249; Schrotter, Sect. 104). Kolejną wzmiankę znajdujemy w tekście nadania pola *Wermeno* (Cieszymowo Wielkie) z 23 kwietnia 1323 r., gdzie, jak czytamy, granica dóbr przekazanych Prusom – potomkom Tessima – od strony wschodniej dochodziła *ad locum ubi bona nostrorum hominum de Matulen attingunt*. Od północy Matule graniczyły z wsią *Munsterberg* (Monasterzysko Wielkie). W tym samym dokumencie wspomniana jest także droga prowadząca z *Wermeno* do Matul (CDW I, 1858, nr 214). W 1386 r. Matule pojawiają się jako wieś (*Matulen villa*) (*Pfennigschuldbuch* 1967, s. 190 (162b)). W kolejnych latach znajdujemy w niej starostę (1398, 1399) o pruskim imieniu Gunde (1398) (*Pfennigschuldbuch* 1967, s. 60–61 (12b)). O tym, że wieś zamieszkiwała ludność pruska, świadczą imiona chłopów, takie jak: Mattis potomek Wajsyla, Namir, Gundo, Woyade, Tessune, Wopine, Pomer, Iudenne, Sklodo, Spandot, Ione, Girlach (*Pfennigschuldbuch* 1967, passim). Sama nazwa wsi też wydaje się pruska – od często występującego wśród Prusów imienia Matho. Obok Prusów wieś zamieszkiwali też Litwini, wspomniani w latach 1402, 1404 i 1409–1411 (*Pfennigschuldbuch* 1967, s. 60 (12b), 240 (210b); Semrau 1931, s. 87). W 1391 r. wieś liczyła 25 radeł (Wunder 1968, s. 96). W wyniku kolejnych wojen zakonu krzyżackiego z Polską ulegała zniszczeniu. Najpewniej największy kataklizm spadł na nią w 1414 r. W *Wielkiej księdze czynszów* nie pojawia się ona wśród pruskich wsi radłowych, co oznacza, że była opuszczona. W jej miejscu powstał natomiast dwór zakonny z folwarkiem (Wunder 1968, s. 146–147, 210). Dwór uległ zniszczeniu i został opuszczony w wyniku wojny polsko-krzyżackiej z lat 1519–1521, o czym wspominają dokumenty wizytacji z 1530 r. Według wizytacji z 1543 r. w Matulach nadal było opuszczonych 15 łąnów, sytuacja niewiele się poprawiła w latach 1600/1601, kiedy z 23 łąnów i 10 morgów opuszczonych było 13 łąnów i 10 morgów (Wunder 1968, s. 223, 225–227).

Monasterzysko graniczyło ze Starym Dzierzgoniem od strony zachodniej. W dokumencie lokacyjnym Starego Miasta z 3 maja 1312 r. pierwszy raz wymieniona jest wieś (*dorf*) *Munsterberg* położona przy jego granicy od strony południowej (PUB II/1, 1932, nr 60). Kolejna wzmianka o wsi *Munsterberg* pojawia się we wspomnianym wyżej opisie granic dóbr *Wermeno*, gdzie – z perspektywy obecnego Cieszymowa – Monasterzysko znajdujemy na północ od owych dóbr (*Tessima*) i również na

11. Patrz niżej.

północ od dóbr Matule oraz na wschód od dóbr Linki (CDW I, 1858 nr 214). O czasie lokacji wsi niewiele można powiedzieć¹². Wiadomo, że liczyła 65 łanów. Nazwa być może jest pochodzenia śląskiego i została przeniesiona wraz z osadnikami (Wunder 1968, s. 24–26). Sołtys i pleban we wsi poświadczeni są źródłowo po raz pierwszy w 1397 r. i spotykamy ich w latach kolejnych; w 1404 r. pojawia się stary sołtys oraz inny (nowy?) sołtys imieniem Hannus, a w 1408 r. – sołtys Pecze. W 1398 r. i w późniejszych latach znajdujemy we wsi także karczmarza Petera oraz krawca Hannusa (*Pfennigschuldbuch* 1967, s. 80–81 (38b–40a)). Według danych z 1417 r. z każdego z 54 czynszowanych łanów płacono tam 1 grzywnę, z karczmy – 3 grzywny i 1 wiardunek. Po zniszczeniach wojennych we wsi było obsadzonych 35 łanów, a 19 – opuszczonych. Przed 1417 r. funkcjonowała też druga karczma, która w momencie wizytacji była zrujnowana (GZB 1958, s. 8 (34)). Brak też wzmianki o plebanie, choć z liczby czynszowanych łanów (54/65) można się domyślać, że kościół w owym czasie funkcjonował. Widać to choćby po danych fiskalnych z roku 1437. Wówczas już konkretnie odjęto od liczby 65 łanów 11 wolnych od czynszu: 5 stanowiących uposażenie plebana i 6 będących w użytkowaniu sołtysa. Łącznie dawało to 54 łany czynszowane; z każdego odprowadzano 1 grzywnę i 1 gęś rocznego czynszu na Święto Oczyszczenia NMP (Matki Boskiej Gromnicznej – 2 lutego). W 1437 r. mowa jest też o 3 karczmach. Dwie z nich czynszowane były 1 grzywną rocznie każda, czynsz z trzeciej wynosił zaś 5 wiardunków (GZB 1958, s. 31 (126)). Odbudowana wieś ponownie ucierpiała w wyniku ostatniej wojny polsko-krzyżackiej (1519–1521). W 1530 r. wieś wymieniono wśród opuszczonych. W 1543 r. spośród 60 łanów 27 było opuszczonych (Wunder 1968, s. 223, 225).

Górki pojawiają się w źródłach już w 1294 r., przy opisie granicy między ziemiami przynależnymi biskupom pomezzańskim a władztwem zakonu krzyżackiego. Z dokumentu dowiadujemy się, że dział przebiega wzdłuż granic osad *Grabisco* i *Kulin*. Pierwszą kojarzyć można właśnie z okolicą Górek, drugą – z okolicami Watlewa i Bornic, gdzie w 1536 r. występuje w dokumentach las Kulin. Pierwsza osada znajdowała się na obszarze należącym do zakonu, druga – na obszarze władztwa biskupów

pomezzańskich (PUB I/2, 1909, nr 621; Semrau, 1931, s. 83–84; Szczepański 2016, s. 171–172, 242, 331). Konkretnie o lokalizacji *Grabisco* i identyfikacji tej osady z Górkami mówi opis granic Cieszymowa Wielkiego (*Wermeno*) z 1323 r., gdzie na wschód od Cieszymowa natrafiamy na dobra *Grabesten*, położone bezpośrednio przy południowej granicy komturstwa dzierzgońskiego, na południe od Matul i na północ od znajdujących się na obszarze biskupstwa znanych nam już dóbr *Kulin* (CDW I, 1858, nr 214). Nazwa jest najpewniej pruska, wywodząca się od imienia Grabist, lub jest to zepsuta pruska nazwa topograficzna od słowa *garbis* – ‘góra’ (Gerullis 1922, s. 44–45; Przybytek 1993, s. 75). Dobra te na mocy nadania mistrza krajowego Fryderyka von Wildenberg otrzymał w dziedziczne posiadanie pewien Gerko – jak można wnioskować z imienia, Prus. Na nadanie to, jak dowiadujemy się z treści dokumentu oraz z późniejszych źródeł, składały się pierwotnie trzy sąsiadujące ze sobą dobra: *Grabist*, *Grabulen*, *Musekonig* (Wunder 1968, s. 124). Obejmowało ono obszar sięgający od południa (czyli od strony granicy dzielącej ziemie komturstwa dzierzgońskiego i biskupstwa pomezńskiego) do dóbr Prusa imieniem Baudil, które można identyfikować ze znajdującymi się na południe od Górek okolicami Watlewa (*Baadeln*) i Bornic. Dalej granica nadania opierała się na wielkich bagnach *Mosbruch* (por. *Musekonig*) – późniejsze *Fichtenbruch*, gdzie oznaczona została na drzewie; bagna te oddzielały dobra Baudila od dóbr Matule, wpływała z nich rzeczka, która wraz ze znajdującym się przy niej oznaczonym drzewem stanowiła północną granicę nadania, oddzielając je od dóbr Matule. Od tego miejsca granica biegła do dóbr Prusa Sampola i stamtąd doliną na powrót do granicy z biskupstwem. Gerko i jego potomkowie, otrzymując dobra na prawie chełmińskim, zobowiązani byli do służby konnej w lekkiej zbroi (PUB II/1, 1932, nr 332. Komtur dzierzgoński Werner von Rusdorf odsprzedał 25 stycznia 1372 r. dwóm braciom, Hermannowi i Jakubowi z Protajn, 5 łanów i 6 morgów położonych na obszarze dóbr *Grabist* w zamian za to, że służyli jako witingowie¹³. Wolni na obszarze Górek (dobra *Grabist*, *Grabulen*, *Musekonig*) notowani są w kolejnych latach między 1388 r. a 1411 r. (*Pfennigschuldbuch* 1967, s. 74 (30a–30b), 189 (162a), 218 (174b)). Według *Wielkiej księgi czynszów* w 1437 r. wolni z dóbr *Girken*

12. Heide Wunder (1968, s. 190–191) opowiadała się za wczesną XIII-wieczną lokacją wsi.

13. *Hermann und Jacub von Protheym 5 huben und 6 morgen zu gebit [Grabist] gelegen czu zwey witingis dienste, also das sy und dynen sullen als andir wytinge uns schuldig seyn zcu dynen. Ouch das man so deme mane des jares gebin sal eyme rok und di kost an der reise* (Semrau, 1931, s. 84; Wunder, 1968, s. 114).

zobowiązani byli do ekspediowania jednej służby konnej (GZB 1958, s. 34 (134)). Po wojnach Polski z Zakonem dobra uległy znacznemu spustoszeniu. Część Górek – dobra *Grabulen* w 1543 r. określone są jako opuszczone (Wunder 1968, s. 225).

Zakręty można identyfikować z występującymi w opisie granic Starego Miasta dobrami Hannusa Lehmana. Z dokumentu tego, wystawionego 3 maja 1312 r., dowiadujemy się, że dobra te znajdowały się gdzieś między „starym grodziskiem” nad rzeką Sirgun (Dzierzgonką), czyli grodziskiem starodziergońskim, a Monasterzyskiem i Starym Miastem (PUB II/1, 1932, nr 60, s. 37)¹⁴.

Protajny, których część stanowiły wspomniane w opisie granicy Starego Dzierzgonia z 1312 r. dobra *Lutyn* – późniejsze *Garbenicken*, stanowią najwcześniej zapisaną w źródłach osadę w okolicy Starego Dzierzgonia. 18 września 1296 r. część pola Protajny (*campi Protheinen*) otrzymał w nadaniu od mistrza krajowego Meinharda z Kwerfurtu pewien wolny imieniem Stephan. Zobowiązany był do pełnienia służby wojskowej konnej w uzbrojeniu na sposób pruski w obronie kraju oraz do udziału w wyprawach wojennych, miał też uczestniczyć we wznoszeniu i naprawie umocnień. Z każdego łana odprowadzać miał 1 korzec żyta i 1 korzec pszenicy, a z radła – 1 korzec pszenicy. Stephan otrzymał też prawo sprawowania niższego sądownictwa, z którego pobierać mógł 1/3 zasądzonych kar, wyższe sądownictwo zastrzeżono dla zakonu krzyżackiego (PUB I/2, 1909, nr 670). Wolni o pruskich imionach występujący w Protajnach w kolejnych latach XIV w. Wśród nich pojawia się imię Stephan, które być może wiąże się z potomkiem Stephana, odbiorcy nadania z 1296 r. I tak pewien Steffan, syn Woykeke (Wojteke? Wojciecha?), pojawia się w 1392 r. Jako „wolny” poświadczony jest być może tenże sam Steffan w latach 1398, 1404–1405 i 1409 (*Pfennigschuldbuch* 1967, s. 137 (108a–108b), 188 (161b), 217 (174a), 218 (175a), 226 (181a)). Wolni współzamieszkiwali z chłopami pruskimi we wsi radłowej, o czym świadczą zapisy dotyczące opłat czynszowych gminy i tworzących ją chłopów oraz przypadków puściny (w prawie pruskim były to gospodarstwa bez męskiego dziedzica, które stawały się własnością władzy zwierzchniej, można je też było wykupić). Gminą zarządzał starosta, wspomniany w Protajnach w latach 1408–1409. Znajdujemy tu też witingów (lata 1399–1401) (*Pfennigschuldbuch* 1967, s. 137 (108a–108b), 188 (161b), 217 (174a), 218 (175a), 226 (181a)). W 1437 r.

w Protajnach zanotowano 15 radeł oraz obowiązek wojskowy w liczbie trzech służb (GZB 1958, s. 35 (138)). Pewien Sander z Protajn potwierdzony jest w 1401 r. jako pozostający na służbie wojskowej Zakonu – w 1406 r. brał on udział w wyprawie na Gotlandię (MTB 1896, s. 112, 382). W 1411 r. występujący obok Protajn także wydzielone dobra Małe Protajny, które znajdowały się w bezpośrednim sąsiedztwie *Garbenicken* (Wunder 1968, s. 128).

Charakterystyka prawna osadnictwa pruskiego

Osadnictwo wokół Starego Dzierzgonia w okresie średniowiecza stanowiło mozaikę etniczną, w której, dzięki dostępnym źródłom z XIII–XVI w., jesteśmy w stanie odnaleźć Prusów, Niemców, a nawet Litwinów. Prusowie w najwcześniejszym okresie tworzenia się osadnictwa stanowić musieli dominujący etnos, który jednakże z czasem ulegał stopniowej germanizacji, co widać choćby po nadawanych imionach chrześcijańskich. O ile Niemcy tworzyli głównie stan kmiecy, to wśród Prusów znajdujemy licznych wolnych otrzymujących nadania ziemskie, ale także chłopów, których pozycja w pruskich wsiach radłowych była gorsza niż niemieckich chłopów osadzonych we wsiach czynszowych lokowanych na prawie chełmińskim.

Wydaje się słusznym pogląd, że pruscy chłopci stanowili ludność poddańczą. Ich pozycja gospodarczo-prawna wiązała się z wieloma ograniczeniami, jednakże nie byli oni przypisani do ziemi i po uiszczeniu odpowiedniej opłaty mogli przenieść się do innej wsi. Mimo tego częste musiały być ucieczki Prusów do wsi na prawie chełmińskim, skoro zakon krzyżacki w II połowie XIV i w wieku XV wydawał specjalne zarządzenia zakazujące bez zezwolenia władzy zwierzchniej osiedlania Prusów na prawie chełmińskim w dobrach wolnych, wsiach czy nawet przyjmowania ich jako czeladzi w gospodarstwach, karczmach i folwarkach (Stephan 2009, s. 319–322; Gancewski 2012, s. 225, 235, 244–245). Pod koniec XIV w. znajdujemy jednak Prusów w niektórych wsiach na prawie chełmińskim komturstwa dzierzgońskiego. Opuszczanie wsi radłowych przez autochtonów wiązać się musiało nie tylko z nieatrakcyjnością utrzymywanego w nich tradycyjnego systemu gospodarowania radłem, ale też – co bardziej prawdopodobne – ze znacznymi obciążeniami.

14. H. Wunder (1968, s. 95) identyfikuje dobra Hannusa Lemana z późniejszą wsią radłową Loyseken, w której znajdujemy licznych Prusów, a w 1388 r. mamy poświadczoną tam starostę (*Pfennigschuldbuch* 1967, s. 61–62 (13b–14b)).

Oprócz dwóch podstawowych rodzajów świadczeń, czyli obowiązków budowy oraz utrzymywania grodów i zamków, chłopci pruscy z komturstwa dzierzgońskiego płacili także roczny podatek strażniczy w zbożu zwany *Schalwenkorn* (1/3 korca?) na obronę wschodnich granic. Pruscy chłopci objęci byli także służbą w folwarkach i płacili rentę feudalną w zbożu, zobowiązani byli również do doraźnych świadczeń pieniężnych. Prusowie ponadto pracowali przy sianokosach, otrzymując jednak (przynajmniej w wójtostwie sztumskim) wynagrodzenie – 2 skojce od skoszonej morgi łąki (A. Semrau 1928, s. 23). Według prawa pruskiego w przypadku śmierci chłopca, który nie pozostawił męskiego potomka, aby jego krewni mogli odziedziczyć majątek ruchomy zmarłego, konieczne było zapłacenie przez nich tak zwanego „pokłonu” (J. Stephan 2009, s. 322). Niewykluczone, że w przypadku wymienionych tu obciążeń chłopskich (choćby danin naturalnych) Zakon sięgał do zwyczajów gospodarczych Prusów sprzed podboju. Wiele z obciążeń oraz danin nosi pruskie lub polskie nazwy, co również może świadczyć o ich dawnej proveniencji (Wunder 1987, s. 18 i n.).

Jeden pruski chłop w komturstwie dzierzgońskim posiadał średnio od 1 do 3 radeł ziemi, z których w końcu XV w. odprowadzał około 17 ½ skojca (Wunder 1968, s. 89).

We wsiach pruskich powszechna była instytucja starosty. Nie wiadomo, czy początki istnienia tego urzędu łączyć można z przyjęciem w 1249 r. przez Prusów prawa polskiego, ale obecność starostów jest poświadczona dopiero w XIV w. Zapewne rekrutowali się oni spośród zaufanych i lojalnych wobec zakonu krzyżackiego wolnych Prusów¹⁵. Nie ma pewności, czy wybierani byli oni bezpośrednio przez mieszkańców wsi, a zatwierdzani przez komornika lub wójta, czy też to stojący wyżej w hierarchii niż starostowie urzędnicy zakonni powoływali ich bezpośrednio na to stanowisko. O instytucji starosty oprócz dokumentów lokacyjnych i źródeł fiskalnych wspomina *Iura Pruthenorum* (1963, §4, 30, 81; o pozycji i identyfikowaniu starostów z pruskimi wsiami też: Paśuto, 1955, s. 77; Wunder, 1968 s. 83; Wenskus 1986, s. 401). Z treści zwołu dowiadujemy się, że do kompetencji starosty należało przede wszystkim pilnowanie przestrzegania prawa i ułatwianie dochodzenia sprawiedliwości. Zanim Prus przedstawił

przed urzędnikiem krzyżackim oskarżenie wobec innej osoby, np. o zadanie ran, zobowiązany był już pierwszego dnia po zdarzeniu zgłosić ten fakt staroście, który zapewne mógł potem potwierdzać odniesione rany przed obliczem komornika. Także w sprawie wynagrodzenia dla najemnika starosta był osobą, która miała zbierać informacje o jego wysokości i zatwierdzać przyznane mu sumy. Starosta, występując jako *Primus inter pares*, mimo pełnego stanowiska nie cieszył się w prawie pruskim większymi przywilejami niż inni Prusowie. Fakt ten potwierdza zapis w *Iura Pruthenorum* o traktowaniu starosty przed sądem: *Eyn starost sal nicht andirs gericht werden, wen als eyn ander Pruse* (*Iura Pruthenorum* 1963, §30). Nie znaczy to jednak, że nie mógł czerpać korzyści z kontaktów z urzędnikami krzyżackimi, którzy – jak np. komornicy – częstokroć również wywodzili się spośród ludności pruskiej.

Osobną kategorię ludności, o której wspomniano wyżej, stanowili wolni. Pod pojęciem „wolnych”, zarówno wielkich (*Großen*), jak i małych (*Kleinen*), rozumieć należy dziedzicznych właścicieli dóbr ziemskich. Jako lennicy zakonu krzyżackiego zobowiązani byli oni do świadczenia na rzecz zwierzchnika – odpowiednio do posiadanego majątku – służby wojskowej, w której zakres wchodziły też trzymanie warty na granicach oraz naprawa i rozbudowa warowni (grodów, zamków), a także innych obiektów obronnych. Wolni odgrywali w państwie zakonnym rolę szczególną. Dla krzyżaków stanowili podstawę obronności kraju i nierzadko trzon sił zbrojnych podczas wypraw wojennych. Do grupy tej zaliczali się Prusowie (w większości), jak też Niemcy, Litwini, Polacy i – jak wynikać może ze źródeł – także Rusini.

Chociaż, jak wykazują nadania, szczególnie mali wolni niewiele różnili się pozycją majątkową od chłopów pruskich (często też zamieszkiwali z nimi w jednej wsi, jak w przypadku okolic Starego Dzierzgonia), to w przeciwieństwie do nich cieszyli się wolnością osobistą. Mogli poruszać się bez przeszkód, nosić broń, zajmować niższe urzędy i – co ważne – zwolnieni byli od uciążliwych danin (czynsz) poza odprowadzaniem z wolnego radła jednego korca pszenicy lub po jednym korcu pszenicy i żyta z łana, co równało się (1 korzec) około 54,97 l (0,055 m³) ≈ 42,2 kg pszenicy, względnie ≈ 40,55 kg żyta. Wolni zwolnieni byli także z prac (szarwark) na

15. Otto Hein owych starostów, którzy znajdowali się w każdej pruskiej osadzie, widział jako niższą warstwę urzędniczą wywodzącą się z grupy pruskich królów (1890, s. 160 i n.). Pogląd ten – jak wykazały późniejsze badania, nieprawdopodobny – był rozwinięciem tezy Lothara Webera (1878, s. 134), jakoby niemieckie słowo *König* – *Kunig* miało być li tylko wynikiem złego zrozumienia pruskiego słowa *kinikis* – „wolny”, co objawiało się choćby w pruskim *tallokinikis* (Allodfreie) i *laukinikis* (Lehnsfreie). Ani Weber, ani Hein nie podważali istnienia wśród Prusów wyższych warstw arystokratycznych.

rzecz krzyżaków, któremu to obowiązki podlegali chłopci. Z grupy wolnych rekrutowali się również witingowie. Wolni posiadający większe majątki mogli na nich osiedlać chłopów, zarówno we wsiach, jak i w nadanych przez Zakon folwarkach (Gancewski 2012, s. 251).

Jak wykazują źródła, warstwa wolnych była bardzo niejednorodna. Znajdujemy wśród nich małych wolnych, gospodarujących posiadanymi dobrami na własny użytek, których status majątkowy był zbliżony do średniozamożnego chłopstwa. Jednakże wolni to również więksi właściciele ziemscy, którzy na posiadanych przez siebie dobrach osiedlali następnych wolnych lub chłopów. Owym dużym wolnym w okresie kolonizacji nierzadko przekazywano także istniejące już zaludnione wsie. Poszczególne nadania miały zróżnicowaną wielkość. Wśród małych wolnych byli posiadacze ziemi o powierzchni od 1 ½ do 10 radeł (lub adekwatnej powierzchni użytków mierzonych w łanach). Natomiast wśród „wielkich” wolnych znajdujemy nadania sięgające nawet 100 łanów. Te jednak, jak w przypadku dóbr Stangów, nie należały do Prusów. Zamożniejsi pruscy wolni dzierżyli zazwyczaj majątki obejmujące od 11 do 15 radeł (8–15 łanów) (Wunder 1968, s. 117, 134–135), ale byli też tacy, którzy posiadali 21 łanów. Oczywiście pozycja majątkowa wolnych zmieniała się w przeciągu XIII i XIV stulecia. Była ona wynikiem uczestnictwa w wojnach prowadzonych przez zakon krzyżacki, kolejnych nadań, łączenia majątków przez koligacje rodzinne, pozyskiwania ich w nagrodę za wierną służbę, dziedziczenia na zasadzie schedy czy zakupu. Coraz więcej Prusów, potomków dawnych wolnych, znajdujemy w warstwie rycerskiej.

Ciekawą kategorią wśród wolnych byli także tzw. królowie, których – przynajmniej dla pierwszej połowy XIV w. – łączyć można z przedstawicielami dawnej pruskiej elity plemiennej (naczelnicy ziemscy?). Ich status społeczny, jak można wywnioskować z wielkości nadań, nie odbiegał jednak od pozycji innych wolnych (S. Szczepański 2016, s. 119–120).

Wśród wolnych znajdowali się także witingowie. Pośród nich wyróżnić można tzw. *antiquorum* lub *primorum witingorum*, wywodzących się – podobnie jak „królowie” – najpewniej z dawnej pruskiej elity rodowej oraz „zwykłych” witingów, którzy swoje kariery zawdzięczali lojalnej służbie wobec Zakonu (Kwiatkowski 2012, s. 373 i n.; tam też przegląd badań i dotychczasowej literatury). W pierwszej połowie XIV w. liczba witingów w tej części Prus okazuje się być jednak niewielka. Jej wzrost nastąpił zapewne

dopiero w drugiej połowie tego stulecia. Zresztą ubogi zasób danych także wpływa na trudności w dokładniejszym określeniu liczby witingów.

W nadaniach na prawie pruskim dla wolnych nie zawsze można rozpoznać, czy otrzymujący ziemię był Prusem. Często jednak wystawcy dokumentów zaznaczali narodowość, określając obdarowywanych jako *Pruteni* etc., dzięki czemu jesteśmy w stanie wykazać, że przynajmniej na obszarze komturstwa dzierzgońskiego nadania dla wolnych dotyczyły osadnictwa Prusów. Warto jednak podczas badań widzieć ten problem szerzej, zwracając uwagę choćby na konkretne wzmianki dotyczące etniczności wolnych lub na imiona obdarowywanych. Ta ostatnia wskazówka nie zawsze jest jednak wiarygodna, ponieważ wiadomo, że Prusowie przyjmowali imiona ogólnochrześcijańskie, niemieckie czy polskie.

Analizując osadnictwo średniowieczne wokół Starego Dzierzgonia, dostrzegamy dość silne oddziaływanie żywiołu pruskiego. Szczególną rolę w tym kontekście odgrywał gród *antiquum Christborc* – *[Kirs]Kerspils określony przez Piotra z Dusburga mianem *castrum Pomesanorum*. To gdzieś w okolicy tego grodu miała miejsca bitwa nad rzeką Dzierzgoń, której konsekwencją musiało być zajęcie warowni przez krzyżowców i przygotowanie jej do roli ważnego punktu oporu oraz ośrodka tworzonej administracji. Oprócz warowni w okolicy Starego Dzierzgonia w tym samym czasie, czyli od XI do XIII w., funkcjonował gród refugialny w pobliżu Starego Miasta, a być może także gród *Transporn* – w miejscu późniejszego zamku i pruskiego targu w Przechmarku. Zakon krzyżacki, tworząc sieć osadniczą, zaczął również tworzyć sieć parafialną. Bezpośrednią konsekwencją postanowień traktatowych z 7 lutego 1249 r. było wybudowanie (a może odbudowanie zniszczonego?) kościoła w okolicy Starego Dzierzgonia. Kościół ten znajdował się zapewne w pobliżu grodu, nie w miejscu późniejszej wsi lokacyjnej. Na obszarze obecnej gminy Stary Dzierzgoń funkcjonowały także kościoły w pobliżu Lipca oraz kościół *Chomor Sancti Adalberti*, czyli kościół świętego Wojciecha położony na granicy Lubochowa, Proń i Milikowa (Szczepański 2013, s. 19–45). Kościoły te, zgodnie z literą traktatu dzierzgońskiego, miały stanowić załączek sieci parafialnej i pełnić funkcję miejsc ewangelizacji nowo ochrzczonych Prusów z Pomezanii.

Miary powierzchni i wag użyte w tekście

łan chełmiński (i flamandzki) \approx 16,795 ha = 30 morgów = 9000 prętów
 radło pruskie \approx 11,2 ha = 2/3 łanu chełmińskiego = 20 morgów chełmińskich
 korzec \approx 54,97 litra = 4 wiardunki = 16 miarek
 grzywna = 4 wiardunki = 24 skojce = 60 szelągów = 720 fenigów (denar, brakteat)
 grzywna = 48 półskojców = 192 kwartniki = 720 fenigów

Bibliografia

Źródła archiwalne

GEHEIMES STAATSARCHIV PREUSSISCHER KULTUR-BESITZ BERLIN-DAHLEM XX. HA

– OF 99: Handfestenbuch X. Hantvesten Christburg.

– OF 100: Handfestenbuch XI. Hantvesten Christburg.

ARCHIWUM NAUKOWE DZIAŁU ARCHEOLOGII

MUZEUUM WARMII I MAZUR W OLSZTYNIE

– *SS-Ausgrabung Alt Christburg 1935–1937, Vorläufiger Schlussbericht*, Dokumentacja Hansa Schleifa – Stary Dzierzgoń.

WOJEWÓDZKI URZĄD OCHRONY ZABYTEKÓW W OLSZTYNIE DELEGATURA W ELBLĄGU

– KESA PSOZ Elbląg, nr obszaru AZP 22-52, st. 4.

Źródła drukowane

CDW

Codex Diplomaticus Warmiensis oder Regesten und Urkunden zur Geschichte Ermlands, Bd. I, hrsg. von C.P. Woelky, J. M. Saage, Mainz 1860.

GÄB

Das grosse Ämterbuch des Deutschen Ordens, hrsg. von. W. Ziesmer, Danzig 1921.

GZB

Das grosse Zinsbuch des Deutschen Ritterordens (1414–1438), hrsg. von P. G. Thielen, Marburg 1958.

MTB

Das Marienburger Tresslerbuch der Jahre 1399–1409, hrsg. von. E. Joachim, Königsberg 1896.

PUB

Preussisches Urkundenbuch, Bd. I–VI, hrsg. von R. Philippi, C.B. Woelky, A. Seraphim i in., Königsberg–Marburg 1882–2000.

UBP

Urkundenbuch zur Geschichte des vormaligen Bisthums Pomesanien, H. 1, hrsg. von H. Cramer, Königsberg 1885.

AUSGABEBUCH

Das Ausgabebuch des Marienburger Hauskomturs für die Jahre 1410–1420: mit Unterstützung des Vereins für die Herstellung und Ausschmückung der Marienburg, hrsg. von W. Ziesmer, Königsberg 1911.

DAVID L.

Preussische Chronik von Lucas David, Hof-Gerichts-Rath zu Königsberg unter dem Margrafen Albrecht; nach dem Handschrift des Verfassers, mit Beifügung historischer und etymologischer von Ernst Hennig, Bd. 3, Königsberg 1813.

DIE AELTERE HOCHMEISTERCHRONIK

Die Aeltere Hochmeisterchronik, bearb. M. Töppen, w: *Scriptores Rerum Prussicarum. Die Geschichtsquellen der Preussischen Vorzeit bis zum Urtengange der Ordensherrschaft*, Bd. 3, Leipzig 1866

DUSBURG

Petrus de Dusburgk Chronica terrae Prussiae, w: *Monumenta Poloniae Historica, Nova Series*, t. XIII, ed.: J. Wenta, S. Wyszomirski, Kraków 2007
 Piotr z Dusburga, *Kronika ziemi pruskiej*, tł. S. Wyszomirski, opr. J. Wenta, Toruń 2004.

FORMULARZ Z UPPSALI

Formularz z Uppsali. Późnośredniowieczna księga formularzowa biskupstw pruskich, komentarz i edycja R. Biskup, Toruń 2016.

GRUNAU S.

Preussische Chronik, hrsg.: M. Perlbach, Bd. 1, Leipzig 1876.

IURA PRUTHENORUM

Iura Pruthenorum, wyd. J. Matuszewski, Toruń 1963.

JEROSCHIN

Di Kronike von Pruzinlant des Nicolaus v. Jeroschin, bearb. E. Strehlke, w: *Scriptores Rerum Prussicarum. Die Geschichtsquellen der Preussischen Vorzeit bis zum Urtengange der Ordensherrschaft*, Bd. 1, Leipzig 1861.

KRONIKA OLIWSKA STARSZA

Die ältere Chronik und die Schrifttafeln von Oliva, bearb. T. Hirsch, w: *Scriptores Rerum Prussicarum. Die Geschichtsquellen der Preussischen Vorzeit bis zum Urtengange der Ordensherrschaft*, Bd. 1, Leipzig 1861.

KRONIKA OLIWSKA. ŹRÓDŁO DO DZIEJÓW POMORZA WSCHODNIEGO Z POŁOWY XIV WIEKU

tłumaczenie D. Pietkiewicz, wstęp i komentarz B. Śliwiński, Malbork 2008.

PFENNIGSCHULDBUCH

Das Pfennigschuldbuch der Komturei Christburg, hrsg. und bearb. von H. Wunder, Köln 1967.

Literatura

- ANTONIEWICZ J.
1964 *Osiedla obronne okresu wczesnożelaznego w Prusach*, „Światowit”, t. XXV, Warszawa, s. 5–211..
- BISKUP M., LABUDA G.
1986 *Dzieje zakonu krzyżackiego w Prusach*, Gdańsk.
- BOETTICHER A.
1898 *Die Bau und Kunstdenkmäler der Provinz Ostpreussen*, H. III: *Das Oberland*, Königsberg.
- BOGUCKI M. I IN.
2016 *Frühmittelalterliche Münzfunde aus Ermland und Masuren. Frühmittelalterliche Münzfunde aus Polen. Inventar V*, red. M. Bogucki, P. Ilisch, S. Suchodolski, Warszawa.
- BOHNSACK D.,
1938 *Neue Bodenfunde*, Alt-Preussen, Jg. 3, H. 2, s. 40–42.
- CIEŚLIŃSKI A.
2010 *Kulturelle Veränderungen und Besiedlungsabläufe im Gebiet der Wielbark-Kultur an Łyna, Pasłęka und oberer Drwęca*, Berlin.
- DŁUGOKĘCKI W.
2017 *Z najdawniejszych dziejów Dzierzgonia i Starego Dzierzgonia*, w: *Fines testis temporum. Studia ofiarowane Profesor Elżbiecie Kowalczyk-Heymann w pięćdziesięciolecie pracy naukowej*, red. M. Dzik, G. Śnieżko, M. Starski, Rzeszów, s. 75–84.
- ENGEL C., LA BAUME W.
1937 *Kulturen und Völker der Frühzeit im Preussenlande*, Königsberg.
- GANCEWSKI J.
2012 *Folwarki państwa zakonu krzyżackiego w Prusach w latach 1466–1525: Struktura – produkcja – przemiany – reformy – znaczenie*, Olsztyn.
- GÓRNOWICZ H.
1980 *Toponimia Powiśla Gdańskiego*, Gdańsk 1980.
- HAFTKA M.
1971 *Uwagi w sprawie wczesnośredniowiecznego osadnictwa północnej Pomezanii i kwestia lokalizacji Santyra*, „Pomorania Antiqua”, 1971, t. 4, s. 455–477.
- HEIN O.
1890 *Altpreussische Wirtschaftsgeschichte bis zur Ordenszeit*, „Zeitschrift für Ethnologie“, Bd. 22, s. 146–216.
- HOLLACK E.
1908 *Erläuterungen zur vorgeschichtlichen Übersichtskarte von Ostpreußen*, Glogau–Berlin.
- JAGODZIŃSKI M.F.
1997 *Archeologiczne ślady osadnictwa między Wisłą a Pasłęką we wczesnym średniowieczu. Katalog stanowisk*, Warszawa.
- KAUFMANN K.J.
1927 *Geschichte des Kreises Rosenberg, Marienwerder*.
- KWIATKOWSKI K.
2012 *Zakon niemiecki jako „corporatio militaris”, cz. 1: Korporacja i krąg przynależnych do niej. Kulturowe i społeczne podstawy działalności militarnej zakonu w Prusach (do początku XV wieku)*, Toruń.
- LANGSDORF A., SCHLEIF H.
1937 *Ausgrabung auf dem Schloßberg von Alt-Christburg*, „Nachrichtenblatt für Deutsche Vorzeit“, Jg. XIII, H. 4, s. 80–82.
- POWIERSKI J.
1982 *Dzieje Kwidzyna. Średniowiecze*, w: *Kwidzyn. Z dziejów miasta i okolic*, Olsztyn.
- PRZYBYTEK R.
1993 *Ortsnamen batlischer Herkunft im Sudlichen Teil Ostpreussen*, Stuttgart.
- RADIG V.
1938 *Volkstum früheisenzeitlicher Burgen an der germanisch-baltischen Völkergrenze*, „Elbinger Jahrbuch“, s. 81–82.
- SEEFELD W. VON
1937 *SS-Ausgrabung auf dem Schloßberg bei Alt-Christburg*, Germanenerbe, Bd. 2, H. 9/10, s. 277–282.
- SEMRAU A.
1928 *Die Orte und Fluren im ehemaligen Gebiet Stuhm und Waltamt Bönnhof (Komturei Marienburg)*, „Mitteilungen des Coppersnicus – Vereins für Wissenschaft u. Kunst zu Thorn“, H. 36, s. 1–221.
1931 *Die Siedlungen in Kammeramt Morein (Komturei Christburg) während der Ordenszeit*, „Mitteilungen des Coppersnicus – Vereins für Wissenschaft u. Kunst zu Thorn“, H. 29, s. 1–152.
1932 *Die Siedlungen im Kammeramt Preussischmarkt (Komturei Christburg)*, „Mitteilungen des Coppersnicus – Vereins für Wissenschaft u. Kunst zu Thorn“, H. 40, s. 1–109.

- STEPHAN J.
2009 *Prusowie w gospodarstwie krzyżaków*, [w:] *Gospodarka ludów Morza Bałtyckiego*, t. 1: *Starożytność i średniowiecze*, red. M. Bogaćki, Toruń, s. 317–325.
- SZCZEPAŃSKI S.
2008 *Pomezaniański gród w Starym Dzierzgoniu*, „Pruthenia”, t. III, s. 11–34.
2013 *Chomor Sancti Adalberti a możliwości lokalizacji terenowej wybranych kościołów Pomezanii*, Komunikaty Mazursko-Warmińskie, nr 1, s. 19–45.
2014 *Umocnienia liniowe w kontekście osadniczym Pomezanii*, [w:] *Pomorze we wczesnym średniowieczu w świetle źródeł archeologicznych. Historia, stan aktualny i potrzeby badań*, red. M. Fudziński, H. Paner, W. Świętosławski, Gdańsk, s. 195–216.
2015 *Traktat dzierzgoński (1249 r.) a początki organizacji parafialnej w Pomezanii*, [w:] *Parafie w średniowiecznych Prusach w czasach zakonu niemieckiego od XIII do XVI w.*, red. R. Biskup, A. Radziwiński, Toruń, s. 273–295.
2016 *Pomezania pruska. Dzieje osadnictwa w XIII–XV wieku*, Olsztyn.
- TRAUTMANN R.
1974 *Die altpreußischen personennamen*, Göttingen.
- URBANEK H.
1941 *Die frühen Flachgräberfelder Ostpreußen*, Königsberg.
- VOIGT J.
1827 *Geschichte Preussens, von den ältesten Zeiten bis zum Untergange der Herrschaft des Deutschen Ordens*, Bd. 1, Königsberg.
- WEBER L.
1878 *Preussen vor 500 Jahren in culturhistorischer, statistischer und militärischer Beziehung nebst Special-Geographie*, Danzig.
- WENSKUS R.
1986 *Ausgewählte Aufsätze zum frühen und preußischen Mittelalter*, hrsg. H. Patze, Sigmaringen.
1967 *Zur Lokalisierung der Preussenkirchen des Vertrages von Christburg 1249*, [w:] *Acht Jahrhunderte Deutscher Orden in Einzeldarstellungen 1*, Bad Godesberg, s. 121–136.
- WUNDER H.
1968 *Siedlungs- und Bevölkerungsgeschichte der Komturei Christburg (13–16. Jahrhundert)*, Wiesbaden.
1987 *Struktura Zakonu Krzyżackiego i ludności państwa zakonnego w Prusach*, [w:] *Zakon Krzyżacki a Polska w średniowieczu / IV Konferencja Wspólnej Komisji Podręcznikowej PRL–RFN Historyków 16–22 IX 1973 r.*, Warszawa. *Va Konferencja Wspólnej Komisji Podręcznikowej PRL–RFN 19–23 IX 1974 r.*, Toruń, red. M. Biskup, Poznań, s. 37–52.
- ZUR-MÜHLEN B. VON
1975 *Die Kultur der Wikinger in Ostpreußen*, Bonn.
- PAŠUTO V. T.
1955 *Pomezaniâ «Pomezanskaâ pravda» kak istoričeskij istočnik izučeniâ obšestvennogo i političeskogo stroâ Pomezanii XIII-XIV v.*, Moskva

Medieval settlement around Stary Dzierzgoń (Alt-Christburg)

SUMMARY

The surroundings of the village of Stary Dzierzgoń were already impacted by people during the Neolithic. Settlement was also concentrated here in the Bronze Age and the Early Iron Age, the Roman Period and the early Middle Ages. For the last three periods, this is confirmed above all by archaeological research that took place at the „Castle Hill” near Stary Dzierzgoń. The finds obtained during these investigations allowed to determine the use of the site from the early Iron Age up to the middle of the 13th century. During the conquest of Pomezania, the Prussian stronghold was transformed into a fortification by the Teutonic Order, in the form of a conventual castle, and the period of completion of this undertaking and the functioning of the Order's defensive point was probably marked by the second Prussian uprising. A church was built near the castle in 1249, and in 1312 a village Alt-Christburg was established under the German law. In the case of the village, the Prussian name of *Kirsburg*, deriving from the name of the stronghold, has been preserved, with the first element *Kirs* deriving from the Prussian name *Kirsne* / *Kirsnute* or *Kerse* and *burg* referring to a stronghold.

In the Middle Ages, the settlement around the village of Stary Dzierzgoń was already established. In Prussian times, the area belonged to the *Lingwars* tribal territory. The earliest known settlement in the vicinity of Stary Dzierzgoń was Prussian Protajny (Prothein), part of which was obtained by one freeman named Stephan in 1296. He was obliged to provide Prussian cavalry service. Another village is Górkki (Grabisco), which appears in the sources in 1294. This was granted to one Gerko – as can be inferred from the Prussian name. In 1312, the village of Mortag *Mortec* (Mortung) was already functioning. From 1332, procurators (*Pfleger* / *provisor*) are certified in Mortąg. Later, the *Fischmeister* had his seat there. The second village in the vicinity of Stary Dzierzgoń is Matule, which appeared for the first time in sources in 1321. In 1386–1399 Matule is described as a Prussian village. There was a Prussian elder here and peasants living in the village bore Prussian names such as: Mattis son of Wajsyla, Namir, Gundo, Woyade, Tessune, Wopine, Pomer, Iudenne, Sklodo, Spandot, Ione and Girlach. Alongside Prussians, Lithuanians also lived in the village, mentioned in 1402, 1404 and 1409–1411. The village of Monasterzysko (Munsterberg) bordered with Stary Dzierzgoń from the west. The first information about the village appears in the location document of Stare Miasto (Altstadt) from May 3, 1312. It was a German village. To the north of Stary Dzierzgoń there was a settlement of Hannus Lehmann Gut, today Zakręty (Sakrinten) known from 1312.

Badania i badacze grodziska w Starym Dzierzgoniu do 1937 roku

Kiedy grodzisko w Starym Dzierzgoniu, jako relikw dawnej warowni pruskich Pomezanów, zaadaptowanej w początkowym okresie podboju przez zakon krzyżacki, pojawiło się w źródłach pisanych, nie pełniło już swojej militarnej roli. Jak wspomniano w innym miejscu tego tomu, przy opisie granic wsi Stary Dzierzgoń z 14 kwietnia 1312 r. i wsi Stare Miasto z 3 maja 1312 r. zaznaczone zostało już tylko jako element delimitacji: „góra, zwana grodzisko” oraz „stare grodzisko”, które jedynie w nazwie przekazywało informację o dawnym przeznaczeniu. Niewątpliwie pamięć o roli grodziska i jego pruskiej przeszłości przechowywana była przez lokalną społeczność i zachowała się w innych nazwach, takich jak adekwatne do nazwy wsi miano *Kirsberg* czy kulturowe określenie *Schlossberg*, która odpowiadała ogólnie stosowanej nomenklaturze stosowanej wobec tego rodzaju obiektów na terenie Prus. Godna uwagi jest także pojawiająca się na początku XVI w. u Simona Grunaua i później Lucasa Davida nazwa *Crevose*, która sprowokowała Johanna Voigta do zastanowienia się, czy nie należałoby łączyć jej z ewentualną siedzibą kapłana *Crive*? Akcentował on przy tym podobieństwo tej nazwy do wielu innych występujących na obszarze Prus (Voigt 1828, s. 250). Podważając koncepcję Voigta, który zresztą sam podnosił jej kruchość, uznać wypada za bardziej prawdopodobne, że nazwa ta powstała w okresie późniejszym. Określenie grodzisk mianem *Poganeck*, *Heidenburg*, *Heidenschanze* nie należało do rzadkości. Niewykluczone jednak, że *Crevose* jest jakąś zniekształconą nazwą pruską.

Badania prowadzone na grodzisku przed 1935 r.

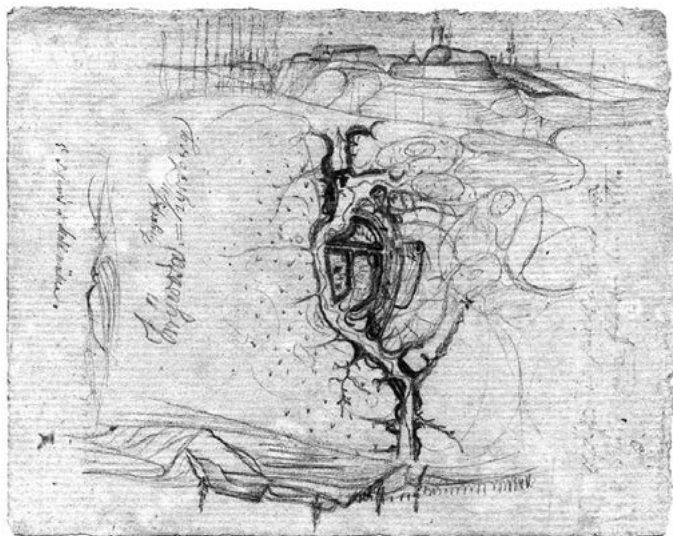
Miejsce dawnego grodziska dość wcześnie zaczęło przyciągać swoją historią poszukiwaczy amatorów. Pierwsze udokumentowane prace wykopaliskowe przeprowadzić miał na Górze Zamkowej graf Richard zu Dohna-Schlobitten (1843–1916). Ten miłośnik starożytności oraz mecenas sztuki i nauki był również właścicielem pałacu i dóbr ziemskich w Prakwicach. Jak wynika z informacji podanych

przez jego wnuka, księcia Aleksandra zu Dohna-Schlobitten, jeszcze przed pierwszą wojną światową z inicjatywy „starego” Dohny doszło do prób zaadaptowania grodziska na miejsce rekreacji i spotkań. Naruszono wówczas część wałów w celu poszerzenia wejścia na wewnętrzny majdan, odkryto także szereg zabytków, które następnie uzupełniły kolekcję pałacu w Prakwicach (*SS-Ausgrabung Alt Christburg...*, k. 2). Na różnego rodzaju zabytki natrafiano zresztą już wcześniej w wyniku przypadkowych odkryć. Domyślać się można, że prace te Richard zu Dohna nakazał przeprowadzić jeszcze przed 1910 r. Na widokówce Starego Dzierzgonia, datowanej właśnie na ten rok, widzimy zagospodarowany plac, na którym znajdują się drewniane stoliki oraz ławeczki. O tym, że jest to widok plateau grodziska, informuje opis: *Partien von Schlossberg Altchristburg*. Zapewne znajdował się tu także „Plac uroczystości”, czego domyślać się możemy z analizy innej widokówki, którą wydała drukarnia Martina Guetzlaffa około 1910–1915 r., gdzie przedstawiono wejście na okazałych rozmiarów górę podpisane jako: *Alt-Christburg (Westpr.) Aufstieg zum Festplatz*. Znajdująca się w okolicy Starego Dzierzgonia Góra Zamkowa jest jedynym wystarczająco okazałym wyniesieniem, które można by identyfikować z przedstawieniem na widokówce. Niepozbowione sensu jest tu także skojarzenie owego *Festplatzu* z zagospodarowaną przestrzenią plateau z widokówki z około 1910 r. O tym, że na grodzisko prowadziły schodki i obszar był zagospodarowany z przeznaczeniem na miejsce spotkań, pisał już w 1876 r. Max Toeppen (1876, s. 142).

Jakkolwiek by nie patrzeć, w oparciu o wspomnienia Aleksandra zu Dohna, który jako dziecko często urządzał tam zabawy wraz z kolegami, oraz na podstawie czytelnych do dziś napisów na drzewach z datami wyciętymi w latach 20. XX w., wnioskować można o popularności miejsca wśród przedstawicieli lokalnej społeczności. Aurę niesamowitości miejsca potęgowały także legendy oraz wiedza przekazywana przez nauczycieli – nauczyciel Hoppe ze Starego Dzierzgonia opisał nawet w jednym z listów do Prussia-Museum historię

grodziska; nie mniejszą rolę w popularyzacji wiedzy o tym miejscu przynosiły podejmowane w ciągu lat prospekcje terenowe i prowadzone na miejscu dawnego grodu wykopaliska.

Pierwsze udokumentowane (można by rzec, naukowe) badania grodziska w Starym Dzierzgoniu (te podjęte przez zu Dohnę naukowymi nie były) łączyć należy z wizytą Johanna Michaela Guise, który na zlecenie *Militärbehörde Ost- und Westpreußen* prowadził inwentaryzację średniowiecznych założeń obronnych w Prusach i przybył do Starego Dzierzgonia najpewniej w 1827 r. Wśród wielu przygotowanych przez niego kart zachowanych w Museum für Vor- und Frühgeschichte w Berlinie (Staatliche Museen zu Berlin) znajdujemy rysunek starodzierzgońskiego grodziska podpisanego *Krjwosa = Kjrsberg* (ryc. 1). Rysunek przedstawia rzut poziomy oraz widok od strony południowo-zachodniej. Guise wyraźnie wyodrębnił na nim wał główny z fosą oraz wały wewnętrzne (Guise-Zettel, *Grundriss und Ansicht von Altchristburg...*, bild 1410, PM-IXh 00048a). W roku 1874 grodzisko wizytowane było przez Johannesena Wilhelma Heydecka (*Sitzungsberichte...* 1889, s. 16), w dwa lata później dokładnie opisał je Max Toeppen, któremu w wyprawie przez starodzierzgońskie lasy towarzyszył pan Döring z Rudni, zaś już w samym dotarciu do celu pomógł mu obeznany z okolicą leśniczy Wendroth. Opisując stan grodziska i jego obwałowania, Toeppen potwierdził domysł swego przewodnika, że na głównym wale znajdowała się jakaś wieża obserwacyjna, której pozostałościami były liczne fragmenty cegieł z czasów krzyżackich. Autor wykazał ponadto, że grodzisko używane było również w czasach pruskich (Toeppen 1876, s. 141–145). Informacje Heydecka oraz Toeppena potwierdziły badania Christiana Krollmanna, wizytującego grodzisko 4 sierpnia 1909 r. Jego śladami podążył w 1932 r. Carl Engel, który poza krótką notatką sporządził także rysunek połowy założenia. Dokonywane przez królewieckich prahistoryków retrospekcje polegały głównie na wizytowaniu i opisywaniu stanu zachowania grodziska; poza doraźnymi badaniami nie prowadzono na Górze Zamkowej żadnych systematycznych prac wykopaliskowych. Zadowalano się głównie opisywaniem historii grodziska



Ryc. 1. Szkic grodziska Krjwosa autorstwa J.M. Guise (za: SMPK, MVE, Guise-Zettel, *Grundriss und Ansicht von Altchristburg*, Bild: 1410, PM-IXh 00048a)

Fig. 1. Sketch of a hillfort Krjwosa made by J.M. Guise (from: SMPK, MVE, Guise-Zettel, *Grundriss und Ansicht von Altchristburg*, Bild: 1410, PM-IXh 00048a)

i sporządzaniem szkiców¹. Właściwe i szeroko zakrojone badania rozpoczęły się dopiero w 1935 r. Z inicjatywy Reichsführera SS Heinricha Himmlera prowadzili je badacze z Deutsches „Ahnenerbe”. Studiengesellschaft für Geistesurgeschichte (Dziedziectwo niemieckich przodków. Towarzystwo studiów nad prehistorią ducha), założonego 1 lipca 1935 r. przez Himmlera, Hermana Wirtha (ryc. 2) i Richarda Waltera Darré (ryc. 3)². Badania w Starym Dzierzgoniu były drugim – po badaniach na stanowisku w Erdenburgu koło Kolonii – przedsięwzięciem archeologicznym Ahnenerbe i miały udowodnić prawo Niemców – potomków starożytnych Germanów i rycerzy zakonu krzyżackiego – do zajmowania terenów Prus, Pomorza i dalszej ekspansji na wschód. Mając to na uwadze, nie należy się raczej dziwić, że prowadzone w latach 1935–1937 wykopaliska SS – „Ahnenerbe” na grodzisku w Starym Dzierzgoniu, objęte bezpośrednią kuratelą Heinricha Himmlera, zyskały niemalże kluczową rangę w nazistowskiej propagandzie (Szczepański 2009, s. 83–94; 2014, s. 201–224).

1. Materiał archiwalny zdeponowany w archiwum dawnego Prussia Museum dotyczący wczesnego okresu zainteresowań grodziskiem jest skromny (Prussia-Archiv, PM-A 030/1: Altchristburg (Dorf), k. 324–327). Ciekawe dopełnienie stanowi opis historyczny grodziska autorstwa nauczyciela ze Starego Dzierzgonia nazwiskiem Hoppe. (Prussia-Archiv, PM-A 030/1: Altchristburg (Dorf), k. 341–347).
2. Na temat „Ahnenerbe” powstała dość pokaźna literatura. Kater 2006; Koop 2012; Arnold 1990, s. 464–478; Lixfeld 1994, s. 217–255; Mees 2000, s. 316–326; 2008; Hoffmann 2011, s. 165–172. teresownej pomocy. Krótsze biogramy Schleifa znajdują się też w innych źródłach (Stürmer 2002, s. 429–449; Herrmann 1988, s. 285–286; Szczepański, 2009, s. 51–62; 2014, s. 201–224).



Ryc. 2./ Fig. 2. Hermann Wirth (1885–1981)



Ryc. 3./ Fig. 3. Richard Walter Darré (1895–1953)

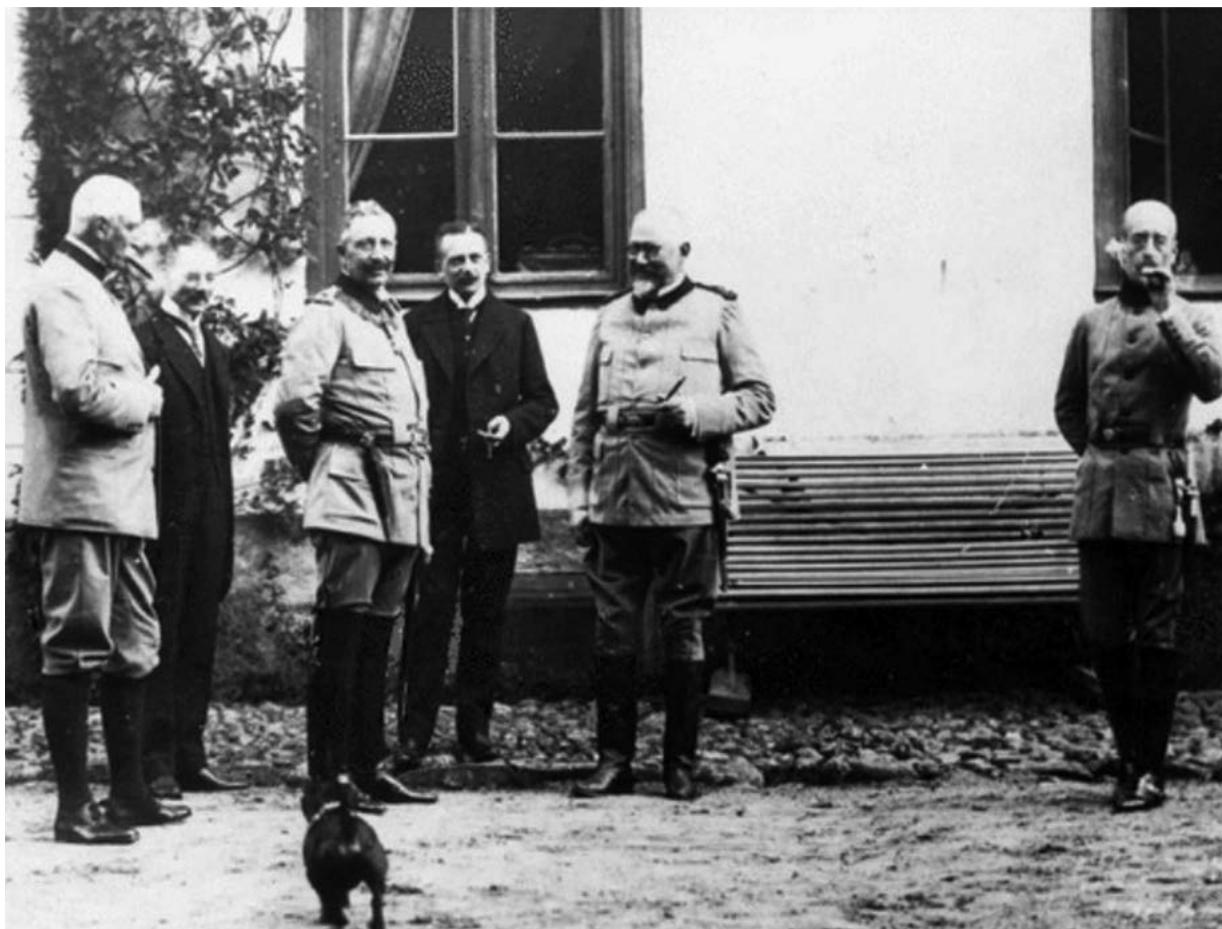
Badania SS – Ahnenerbe w latach 1935–1937

Geneza wykopalisk w Starym Dzierzgoniu i Starym Mieście była dość prozaiczna. Latem 1933 r. do Kamieńca (ówczesny *Finckenstein*), do hrabiego Hermanna zu Dohna³ (1895–1942), przybył z wizytą kanclerz Niemiec Adolf Hitler, któremu towarzyszył m.in. Reichsführer SS Heinrich Himmler. W czasie odwiedzin ówczesny właściciel dóbr w Prakwicach, książę Alexander zu Dohna-Schlobitten, znając zainteresowania Himmlera „starożytnościami germańskimi”, pokazał mu grodzisko w okolicy Starego Dzierzgonia. Młody zu Dohna znał bardzo dobrze ową „zamkową górę”, jako dziecko spędzał tam sporo czasu na zabawach, a jego dziadek Richard Wilhelm zu Dohna-Schlobitten (1843–1916) – o czym wspomniano wyżej – chcąc zaadaptować grodzisko na miejsce spotkań, zainicjował nawet amatorskie wykopaliska. Pozyskał przy tym kilka zabytków, które znajdowały się w Prakwicach (ryc. 4). Himmler, zauroczony miejscem, obiecał, że zostaną tam przeprowadzone profesjonalne prace

wykopaliskowe finansowane przez państwo. Pierwsze badania sondażowe, jak informuje w swoich pamiętnikach Alexander zu Dohna, miały miejsce wiosną 1935 r. i – według niego – nie przyniosły rewelacji (zu Dohna-Schlobitten 2000, s. 174). O sondażowych badaniach nie ma wzmianek w znanych mi źródłach, poza informacjami księcia zu Dohna. Wiadomo jednak, zarówno z pamiętników księcia, jak i z innych źródeł, że właściwe prace wykopaliskowe w Starym Dzierzgoniu ruszyły jesienią 1935 r.

Wykopaliska miały być pierwszym i zarazem największym przedsięwzięciem badawczym „Ahnenerbe” w Prusach Wschodnich. Jak się okazało, było to przedsięwzięcie tyle nowatorskie, ile trudne do realizacji dla badaczy. Tym samym wymagało szeregu konsultacji z miejscowymi specjalistami. Wśród nich szczególna rola przypadła Waldemarowi Heymowi – dyrektorowi kwidzyńskiego Heimatmuseum. Listy, które wymieniał kwidzyński autorytet z badaczami ekspediowanymi przez Himmlera, dowodzą niezbicie, że ci ostatni nie do końca byli przygotowani merytorycznie – prosili dyrektora

3. Pełne imię: Hermann Werner Rodrigo Heinrich Friedrich Donatus Burggraf und Graf zu Dohna-Finckenstein.



Ryc. 4. Cesarz Wilhelm II i hrabia Richard zu Dohna (w centrum) przy pałacu w Prakwicach (Prökelwitz), 1910 r. (Bildarchiv Ostpreussen nr 83520)

Fig. 4. Emperor Wilhelm II and count Richard zu Dohna (in the middle) at the palace in Prakwice (Prökelwitz), 1910 (Bildarchiv Ostpreussen nr 83520)

o konsultacje oraz o wydelegowanie kompetentnej osoby, która mogłaby wesprzeć ich na miejscu w prowadzonych pracach wykopaliskowych. Heym miał też wypożyczać im książki ze swojej biblioteki (Szczepański 2018, s. 146–147). Wykopaliskom, podobnie jak poprzednim, realizowanym przez „Ahnerbe” na stanowisku Erdenburg, nadano wyraźną rangę propagandową. Himmler wielokrotnie chełpił się dokonaniem swojej „jednostki specjalnej”, przynajmniej w początkowym okresie działań terenowych towarzystwa starając się śledzić jego dokonania osobiście. Zbierał nie tylko raporty z prac, ale też wizytował miejsca wykopalisk. Taka wizyta miała miejsce także w Starym Dzierzgoniu 21 września 1935 r. Na jednym ze zdjęć zachowanych w prywatnym archiwum Edith Neukirch, córki kierownika wy-

kopalisk Hansa Schleifa, widzimy Himmlera wraz z towarzyszącymi mu osobami przy zabudowaniach dawnego majątku Zamek. W grupie można rozpoznać Grassera⁴, księżnę zu Dohna-Schlobitten, hrabinę zu Dohna-Schlobitten, żonę i nieodłączną towarzyszkę pracy Hansa Schleifa Giselę Schleif oraz SS-Gruppenführera Wernera Lorenza i SS-Gruppenführera Ericha von dem Bach-Zelewskiego (ryc. 5). Z wizytą szefa SS wiąże się także ciekawa anegdota, przytoczona w pamiętnikach Aleksandra zu Dohna. Otóż kiedy przybył on na grodzisko z Himmlerem, ten przypadkowo znalazł na polu zwykły kamień wielkości pięści i z entuzjazmem zaczął wykrzykiwać: „Toż to jest starogermański młot!” (zu Dohna-Schlobitten 2000, s. 174).

4. Znany jedynie z nazwiska wpisanego pod zdjęciem współpracownik Himmlera przy Ahnerbe.



Ryc. 5. Wizyta Himmlera w Starym Dzierzgoniu, 21.09.1935 r. Od lewej strony: hrabina zu-Dohna, hrabina zu Dohna-Schlobitten, Gisela Schleif, Heinrich Himmler, SS-Gruppenführer Werner Lorenz, SS-Gruppenführer Erich von dem Bach-Zelewski, Grasser (prywatne zbiory Edith Neukirch z domu Schleif)

Fig. 5. Himmler visiting Stary Dzierzgoń, 21.09.1935. From left to right: countess zu-Dohna, countess zu Dohna-Schlobitten, Gisela Schleif, Heinrich Himmler, SS-Gruppenführer Werner Lorenz, SS-Gruppenführer Erich von dem Bach-Zelewski, Grasser (private collection of Edith Neukirch nee Schleif)

Biogramy badaczy⁵

Kluczem do poznania wyników badań jest zrozumienie metodyki przyjętej przez badaczy. Jako że archeolodzy z „Ahnenerbe” dążyli do z góry założonego celu, pragnąc uzyskać dane, które można byłoby wykorzystać propagandowo, konieczne jest w tym miejscu przedstawienie biogramów poszczególnych badaczy i wskazanie, jakie było ich wykształcenie i idące za nim (lub nie) doświadczenie w momencie prowadzenia prac wykopaliskowych. Niezbędne też jest zaprezentowanie narzędzi i kanałów, które wykorzystywali oni w celu upowszechniania zdobywanej i odpowiednio spreparowanej wiedzy. Pracami

wykopaliskowymi od 1935 r. kierował dr inż. Hans Schleif (od 1936 r. w randze SS-Untersturmführera, od 1937 r. jako SS-Obersturmführer). Jego współpracownikami od 1936 r. byli baron Wolf von Seefeld, Johann Löhausen oraz architekt SS-Unterscharführer Plume. Z ramienia SS recenzentem merytorycznym był Alexander Langsdorff. Był to dość młody zespół, ale nie brakowało mu doświadczenia w sensie ogólnym. Partykularnie jednak, w kontekście znajomości prahistorii Prus, ich wiedza – jak się miało okazać – wyglądała błado. O większości z nich można dziś powiedzieć dość dużo. Zagadką nadal pozostaje biogram Plumego.

5. Niniejszy podrozdział stanowi częściowo poszerzoną wersję wcześniejszych publikacji autora (2009, s. 51–62; 2014, s. 201–224).

Hans Schleif (1902–1945)⁶

Hans Filip Oswald Schleif był trzecim dzieckiem Friedricha Carla Schleifa (1871–1954) i Luizy Julii Kathariny Schleif z domu Ruppel (1879–1932). Urodził się 23 lutego 1902 r. w Wiesbaden. Jego ojciec prowadził firmę winiarską Burg Rottland, którą wraz z bratem przejął po swoim ojcu (dziadku Hansa) Heinrichu Filipie. Matka pochodziła z równie zamożnej rodziny właścicieli hotelu Kaiserhof w Bad Homburg. W 1911 r. ojciec Hansa porzucił rodzinny interes winiarski i wraz z żoną oraz dziećmi przeprowadził się do Berlina. Tam zajął się handlem antykami oraz obrazami. W Berlinie Hans Schleif ukończył Joachim-Friedrich-Gymnasium. Następnie w latach 1920–1924 studiował architekturę, którą zainteresował się dość wcześnie; świadczą o tym zachowane fotografie różnych budowli wykonywane przez niego jeszcze w dzieciństwie. Również jako młodzieniec sporządzał makiety budynków, z których tworzenia da się później poznać wielu muzealnikom w Niemczech. Studia Schleif odbył w Dreźnie oraz Monachium, egzamin inżynierski zaś zdał na Uniwersytecie Technicznym w Berlinie Charlottenburgu z oceną „dobry” (ryc. 6). Na studiach rozpoczęł też działalność polityczną w nacjonalistycznych organizacjach studenckich. W latach 1924–1927 pracował w berlińskim biurze architektonicznym Bielenberg & Moser, w poważanej wówczas firmie Richarda Bielenberga i Josefa Mosera przy Fasanenstraße 25. Mając 24 lata, 8 maja 1926 r. ożenił się ze swoją rówieśniczką Gizelą Marią Franciszką Wilhelminą Lehmann. Już od czasów studenckich Schleifa szczególnie fascynowała architektura klasycznej Grecji i Rzymu. Wykorzystując swoje zdolności, w wolnych chwilach wykonywał makiety starożytnych budowli. W 1927 r. porzucił ostatecznie pracę architekta i zawodowo zajął się tworzeniem makiet. Możliwość godnego zarobku pojawiła się wraz z zamówieniem przez Metropolitan Museum w Nowym Yorku makiety starej Norymbergi. W 1929 r., po szesnastu miesiącach pracy, makietę była gotowa. Sam Schleif skorzystał wówczas z okazji wyjazdu do Stanów Zjednoczonych, gdzie dał się ponieść fascynacji XIX-wieczną architekturą oraz nowoczesnymi drapaczami chmur. W tym samym czasie wykonał też rekonstrukcję Olimpii dla Muzeum w Olimpii oraz dla Hochschule für Leibesübungen w Berlinie.



Ryc. 6. Hans Schleif podczas studiów, Monachium 1921 r. (prywatne zbiory Edith Neukirch z domu Schleif)

Fig. 6. Hans Schleif during his studies, Munich 1921 (private collection of Edith Neukirch nee Schleif)

Później powstały m.in. makiety term cesarskich w Trewirze dla berlińskiego Archäologisches Gesellschaft, antyczne Delfy i Olimpia dla Metropolitan Museum, a także Milet i Pergamon dla Muzeum Pergamońskiego w Berlinie; dwie ostatnie makiety do dziś stanowią stałe wyposażenie wystawy. Inne, jak choćby powstałe w 1934 r. makiety gimnazjenu, świątyni Demeter w Pergamonie, Asklepionu na wyspie Kos oraz korynckiego Pirene, są w znacznym stopniu uszkodzone i znajdują się w magazynach.

Pierwszym przedsięwzięciem archeologicznym Schleifa (w latach 1930–1931) była ekspedycja do nubijskiej Aniby (dziś w Egipcie), gdzie poznał Aleksandra Langsdorffa, z którym później pozostawał w przyjacielskich (naukowych i politycznych) związkach, pracując wspólnie dla Himmlera. Kolejne kilka lat Schleif spędził na Samos, Korfu, w Troi oraz

6. Pełną biografie Hansa Schleifa przedstawił J. Klein (2016, s. 273–418). Jemu i Matthiasowi Neukirchowi bardzo dziękuję za liczne materiały fotograficzne oraz archiwalia i korespondencję Hansa Schleifa, do której nie mógłbym dotrzeć innymi sposobami, jak tylko dzięki ich bezinteresownej pomocy. Krótsze biografie Schleifa znajdują się też w innych źródłach (Stürmer 2002, s. 429–449; Herrmann 1988, s. 285–286; Szczepański, 2009, s. 51–62; 2014, s. 201–224).



Ryc. 7. Hans Schleif podczas wykopalisk w Starym Dzierzgoniu, 1937 r. (prywatne zbiory Edith Neukirch z domu Schleif)

Fig. 7. Hans Schleif during the excavations in Stary Dzierzgoń, 1937 (private collection of Edith Neukirch nee Schleif)

w Olimpii. Szczególne Olimpia była miejscem, do którego powracał, kiedy tylko mógł, i z którym postanowił wiązać się naukowo. Jego zaangażowanie w prace wykopaliskowe oraz szczególne zdolności plastyczne w połączeniu z pilnością pozwoliły mu zyskać zaufanie autorytetów w dziedzinie archeologii śródziemnomorskiej, takich jak: Wilhelm Dörpfeld, Gerhart Rodenwaldt, Georg Karo i Theodor Wiegand. Szczególnie gorąca przyjaźń łączyła go z sędziwym Dörpfeldem, któremu niestrudzenie pomagał w chorobie.

W 1933 r. Schleif obronił dysertację *Der Zeus-Altar in Olimpia* na Uniwersytecie Technicznym w Berlinie i otrzymał tytuł doktora inżyniera. W tym samym roku (13 stycznia) urodziła mu się córka

Edith. Po obronie doktoratu Schleif starał się o habilitację, by objąć katedrę na swojej macierzystej uczelni – bezskutecznie.

Napotykanne trudności i coraz skromniejsze zasoby pieniężne spowodowały, że w listopadzie 1935 r. podjął służbę jako referent w Wydziale Wykopalisk przy „Ahnenerbe”. Niemalą rolę odegrało tu poręczenie kolegi – Aleksandra Langsdorffa. Jako że praca dla „Ahnenerbe” wiązała się automatycznie z wcieleniem do SS, nawet z pominięciem uciążliwych procesów dowodzenia „wartościowej” genealogii (Heinemann 2014, s. 82–85). 19 listopada 1935 r. Schleif został członkiem *Schutzstaffel*, otrzymując legitymację z numerem 264124, i w najniższej randze SS-Mann został przypisany do 75. SS-Standarte w Berlinie. Dokładnie miesiąc później uzyskał habilitację na podstawie dysertacji *Der Tempel der Athena in Ilios*.

W maju 1935 r. Schleif zaczął pracę przy wykopaliskach na grodzie Erdenburg koło Kolonii⁷, które uznaje się za pierwsze tego rodzaju przedsięwzięcie sponsorowane przez Himmlera i przejęte później pod całkowitą opiekę „Ahnenerbe”. Tam Schleif znów miał okazję współpracować z Langsdorffem – podówczas już członkiem SS oraz z innym naukowcem ze sztabu Himmlera Wernerem Buttlerem (1907–1940)⁸. Jesienią tego roku przeniósł się do Starego Dzierzgonia (ryc. 7). W 1936 r. uzyskał stopień SS-Unterscharführera (plutonowy). Nie należał wówczas jeszcze do NSDAP (Hitler zresztą wstrzymał na jakiś czas przyjmowanie nowych osób w szeregi partii⁹). Do partii wstąpił dopiero w 1 maja 1937 r., otrzymując legitymację z numerem 5360876, niebawem też awansował na stopień Obersturmführera (porucznik) (ryc. 8). 21 września 1937 r. uzyskał wymarzoną docenturę i jako archeolog specjalizujący się w architekturze antycznej otrzymał etat na Wydziale Filozoficznym Uniwersytetu Fryderyka Wilhelma w Berlinie. W tym samym roku otrzymał też tytuł profesora nadzwyczajnego. Był to szczytowy okres w jego karierze. Te „dobre czasy”, lata 1935–1939, charakteryzowały się wzmożonymi pracami archeologicznymi pod szyldem „Ahnenerbe”. Od 28 kwietnia 1938 r. Schleif pełnił tam funkcję kierownika Wydziału Wykopalisk. Prowadził ponadto liczne badania: w Starym Dzierzgoniu (1935–1937), Starym Mieście (w 1936 r. na grodzisku oraz przypadkowe prace ratownicze

7. Wykopaliska doczekały się nawet filmu dokumentalnego i były szeroko rozpropagowane wśród członków NSDAP jako wzorcowe działanie „Ahnenerbe” (Langsdorff 1935, s. 8; Schleif 1936, s. 3).

8. Na temat Wenera Buttlera zob. E. Buttler 2014.

9. Wielokrotnie też w meldunkach notowano ten fakt, choć przyznawano, że jest ideologicznie bliski narodowym socjalistom.



Ryc. 8. Hans Schleif w mundurze Obersturmführera (prywatne zbiory Edith Neukirch z domu Schleif)

Fig. 8. Hans Schleif wearing an Obersturmführer uniform (private collection of Edith Neukirch nee Schleif)

w odkrytej podczas budowy szkoły osadzie z wczesnej epoki żelaza¹⁰), Bensbergu (1937–1938) i Kriemhildensteinstuhl koło Bad Dürkheim (1938–1939) oraz, rzecz jasna, w Olimpi.

Wraz z wybuchem II wojny światowej Schleif zgłosił się na ochotnika na front i 15 września 1939 r. został przydzielony do 4 Ersatz Abteilung SS-Liebstandarte Adolf Hitler. Nie uczestniczył w walkach, ale w październiku 1939 r. (według Konrada Jażdżewskiego – 9 października) (Jażdżewski 2012, s. 60) znalazł się w Warszawie, gdzie wraz z Ernstem Petersenem i Güntherem Thaerigem uczestniczył w akcji Sonderauftrag Warschau, rabując „germańskie” zabytki z Państwowego Muzeum

Archeologicznego i przez kolejne tygodnie przenosząc je do Poznania; dał się przy tym poznać jako bezwzględny służbista. W nagrodę za zasługi 14 grudnia 1939 r., będąc już w randze SS Hauptsturmführera (kapitan), został mianowany na „głównego zarządcę do spraw zabezpieczenia niemieckich dóbr kultury na dawnym terenie Polski” w dystrykcie poznańskim (Reichgau Wartheland), gdzie zajmował się m.in. nadzorem nad przenosinami zabytków pradziejowych z Warszawy do Poznania oraz przejmowaniem zabytków z lokalnych muzeów i kolekcji prywatnych. Przez pewien czas Schleif pełnił także funkcję kierownika Landesamt für Vorgeschichte powstałego ze zlikwidowanego Działu Prehistorii Muzeum Wielkopolskiego. Zajmował się wówczas „zabezpieczaniem” dóbr kultury. Według relacji słynął z zapału w odzieraniu polskich muzeów i kolekcji prywatnych z dóbr kultury oraz z wrogich wystąpień w stosunku do polskich archeologów. W tym też czasie zauważono w jego działaniach liczne nadużycia, m.in. oskarżano go, że nieprawnie przekazuje zrabowane zabytki do berlińskiego antykwariatu swojego ojca, co miało być powodem wszczętego przez Gestapo śledztwa i prawdopodobnie ostatecznego odwołania Schleifa z urzędu powiernika (Łuczak 2011, s. 167–169, 205, 219–220, 260). Sytuacja, w jakiej się znalazł, wydaje się niejasna. Z jednej strony wskazywano na jego zapał, z drugiej zaś – na opieszałość w wypełnianiu rozkazów. W polskiej pamięci zachował się jako bezwzględny grabieżca. O jego podejściu do polskiego dziedzictwa kulturowego świadczyć może wypowiedź z 29 sierpnia 1940 r., kiedy podczas likwidacji Biblioteki Poznańskiego Towarzystwa Przyjaciół Nauk bez ogródek miał powiedzieć protestującym: „Mam prawo ją spalić, zniszczyć, oddać na makulaturę albo komuś sprezentować” (Serwański 1970, s. 216–217). W znacznie bardziej bezpośrednim tonie utrzymane jest pismo do landrata gostyńskiego z 31 lipca 1940 r., w którym Schleif, reagując na meldunek tegoż (z 13 lipca 1940 r.) o odnalezieniu w dworze w Gębicach obrazu *Mojżesz pędzla Stanisława Rostworowskiego*, nakazuje owo dzieło spalić!¹¹

10. Jak wynika z korespondencji zachowanej w papierach Rudolfa Grenza, za pośrednictwem landrata morąskiego, poinformowanego wcześniej przez przedstawiciela urzędu budowlanego w Pasłęku, który sprawował nadzór nad budową szkoły w Starym Mieście, dotarła do Królewca informacja, że podczas kopania fundamentów pod budynek szkoły w Starym Mieście natrafiono na pozostałości „pradziejowego cementarzyska”, które przebadać mieli archeolodzy z SS-„Ahnenerbe”. Określenie „cementarzysko” pojawia się w liście nadzorca budowlanego z 20 lipca 1937 r., który to list został 24 lipca przekazany Wilhelmowi Gaertemu. Dyrektor Prussia-Museum w swoim liście datowanym 2 sierpnia i wysłanym do Starego Dzierzgonia prosił Schleifa o informacje. Ten ostatni wyjaśnił, że odkryto pradziejową wczesnogermańską osadą (Rudolf Grenz Kartothek, Altstadt...).

11. „Ich bitte zu veranlassen dass das in Ihrem Schreiben vom 13. 7. 40 erwähnte Ölgemälde des polnischen Malers Rostworowski in Luckenau durch Verbrennung vernichtet wird“ (Kostrzewski 1945, s. 14–15). Być może mowa tu o jednym z ostatnich obrazów Stanisława Rostworowskiego (zm. 1888 r.) *Mojżesz na puszczy* powstałym około 1887 r.

Z drugiej strony oskarżenia wobec Schleifa, jakoby miał nadużywać władzy i czerpać z tego jakieś ukryte korzyści, wydają się po części przesadzone. Warto pamiętać, że w tym czasie prowadził on nadal wykopaliska w Biskupinie (*Urstätt*). Schleif, zwolniony 19 września 1940 r. z urzędu głównego zarządcy do spraw zabezpieczenia niemieckich dóbr kultury, miał nawet otrzymać zakaz wstępu do Poznania, o czym wspomina pismo, które skierował do niego w dniu odwołania Heinrich Harmjanz (Łuczak 2011, s. 167, p. 14). Schleif jednak odwołał się od decyzji, najwyraźniej z pozytywnym skutkiem, gdyż w Poznaniu przebywał jeszcze wielokrotnie. Nadal był przy tym jednym z bardziej cenionych badaczy w „Ahnenerbe” i ostatecznie oskarżenia o nadużycia nie zaszkodziły jego karierze w SS, zresztą później zostały oddalone¹². Schleif zresztą w tym okresie był już wyraźnie zagnieżdżony w strukturach SS. Sam też obejmował patronatem, wdrażał i rekomendował do pracy w „Ahnenerbe” różnych specjalistów od prahistorii. Jednym z wybitnych badaczy, który za sprawą Schleifa starał się zbliżyć do SS, był Carl Engel (*Vorgeschichtler...*, 2006, s. 15).

Od maja 1938 r., również w czasie wojny, Schleif prowadził wykopaliska w Karyntii, na Krnskim Gradzie (1939–1940), nie przyniosły one jednak oczekiwanych wyników. Od wiosny 1940 r. do lata 1942 r., już jako profesor i Sturmbannführer SS (major), prowadził wykopaliska w Biskupinie. Nie opuszczał przy tym swoich stanowisk archeologicznych w Grecji. Tym bardziej, że dzięki dziesięcioletniemu stypendium otrzymanemu z Instytutu Archeologii Rzeszy Niemieckiej (AIDR – Archäologisches Institut des Deutschen Reiches) od czerwca 1942 r. rozpoczął – wraz ze swoją sekretarką Leonore (Lore) Thomass – prace nad zagadnieniem „systematyki i dziejów greckiego budownictwa”. Kontynuował badania w Olimpii i na Samos, rozpoczął także prace nad książką podsumowującą zakończone tam w 1942 r. wykopaliska, która ukazała się w 1943 r. Będąc finansowo niezależnym, w obliczu nowych perspektyw naukowych oraz kolejnych zadań w SS, po tym jak Himmler uhonorował go sygnetem Totenkopf, 19 sierpnia 1942 r. Schleif odszedł z „Ahnenerbe”, wskazując na swego następcę Herberta Jankuhna (ryc. 9). W 1942 r., pierwszego dnia marca, mieszkanie Schleifa przy Marschnerstrasse 48 w berlińskiej dzielnicy Lichterfelde zostało



Ryc. 9. Herbert Jankuhn (za: A. Leube, *Deutsche Prähistoriker im besetzten Westeuropa 1940–1945. Das „Ahnenerbe“ der SS in Westeuropa*)

Fig. 9. Herbert Jankuhn (as cited in: A. Leube, *Deutsche Prähistoriker im besetzten Westeuropa 1940–1945. Das „Ahnenerbe“ der SS in Westeuropa*)

zbombardowane. Schleif, straciwszy bibliotekę oraz część materiałów, przeniósł się do mieszkania przy Geisenheimer Strasse 12 w dzielnicy Wilmersdorf. Pod tym samym adresem mieszkał w 1936 r. Joseph Otto Plaßmann, redaktor naczelny miesięcznika „Germanien” (ryc. 10)¹³. Przez jakiś czas żona Schleifa mieszkała u swojej matki przy Neue Kantstrasse, następnie przeprowadziła się wraz z córką Edith do Drezna, gdzie przebywały między 1943 a początkiem 1945 r. Następnie obie przenieśli się do Rottach-Egern, gdzie najpierw krótko mieszkały z rodziną Dörpfeldów – Clare i Fritzem (synem zmarłego w 1940 r. Wilhelma Dörpfelda, mentora Schleifa z czasów badań w Olimpii), ostatecznie zaś przeprowadziły się na Fürstenstrasse 81¹⁴. Wówczas też Schleif zakończył trwający już od dłuższego czasu kryzys małżeński i oficjalnie opuścił rodzinę.

12. Por. argumenty J. Kleina w jego biografii Schleifa (2016).

13. Adres ten podany jest przy nazwisku Plaßmanna w stopce redakcyjnej czasopisma „Germanien” (H. 3, 1936, s. 1).

14. Informacje pochodzą od Edith Neukirch (z domu Schleif) oraz od Matthiasa Neukircha i Juliana Kleina.



Ryc. 10. Czasopismo „Germanien“

Fig. 10. „Germanien“ magazine

20 lipca 1944 r., po rozwodzie z Gisłą, ożenił się ze swoją asystentką i dawną współpracowniczką z „Ahnenerbe”, młodszą o 13 lat Leonore (Lore) Elisabeth Thomass, wcześniej urzędniczką Rasse- und Siedlungshauptamt, która w momencie ślubu była w piątym miesiącu ciąży.

Jego działania naukowe związane z archeologią wówczas zeszyły nieco na boczny tor. Od 1 czerwca 1943 r. pracował jako urzędnik w Wydziale C – Budowlanym SS Wirtschafts-Verwaltungshauptamt (Główny Urząd Gospodarki i Administracji SS), z siedzibą w berlińskiej dzielnicy Lichtenfelde, przy Unter den Eichen nr 126–135. W listopadzie 1944 r. przyznano mu wreszcie profesurę zwyczajną i katedrę Architektury Antycznej na Uniwersytecie Technicznym w Berlinie. Powołanie odroczono jednak na czas „po wojnie”. W tym samym miesiącu, 8 listopada, urodzili mu się synowie bliźniacy: Konstantin i Alexander. 30 stycznia 1945 r. Hans Schleif otrzymał ostatni już awans na stopień SS-Standartenführera (pułkownik). Końca wojny jednak nie doczekał. Pierwsze oddziały Armii Czerwonej wkroczyły do Berlina 24 kwietnia 1945 r., zajmując Instytut Fizyki im. Cesarza Wilhelma przy Boltzmannstraße (Beevor 2010, s. 423), skąd do mieszkania Schleifów przy Geisenheimer Strasse 12 było niecałe 5 kilometrów. W czasie trwania walk Hans i Leonore Schleif przebywali w domu. Tam właśnie rozegrał się

ostatni dramat rodziny. Hans zastrzelił swoją żonę i pięciomiesięczne bliźnięta, a następnie popełnił samobójstwo. Jeśli chodzi o dokładną datę śmierci Schleifa mamy dwie różne informacje. Jedna mówi o 25 kwietnia 1945 r. (podaje ją Veit Stürmer). Inną datę, 27 kwietnia 1945 r., znajdujemy na nagrobku Hansa i Konstantina Schleifów, na znajdującym się obok nagrobku Alexandra i Eleonory Schleif oraz w oficjalnym akcie zgonu zachowanym w rodzinnym archiwum. Dokument wydany 8 października 1945 r. na podstawie ustnych informacji (podobno od sąsiadów), podaje nawet konkretną godzinę – 23:00. Trudno to zweryfikować. Niewątpliwie było to jednak samobójstwo. Swoją beznadziejną sytuację Schleif opisał w liście pożegnalnym do swojej pierwszej żony Gisele. Natomiast 28 kwietnia, według przekazów rodziny, mieszkanie przy Geisenheimer Strasse 12 odwiedził jego teść, znajdując zwłoki swojej córki Leonore, wnucząt Konstantina i Alexandra oraz zięcia Hansa, który leżał z przestrelaną głową i trzymał w ręku pistolet. Pierwotnie ciała dzieci i rodziców pochowano na dziedzińcu budynku mieszkalnego przy Geisenheimer Strasse 12. 25 stycznia 1977 r. przeprowadzono ekshumację i złożono ich w obecnym miejscu spoczynku, na cmentarzu Parkfriedhof Lichtenfelde w berlińskiej dzielnicy Steglitz-Zehlendorf, przy Thuner Platz 2-4.

Losy pozostałych członków ekspedycji pracującej w Starym Dzierzgoniu potoczyły się nieco inaczej.

Wolf von Seefeld (1912–2009)¹⁵

Wolf Gotthard baron von Seefeld (łot. Zēfeldi) urodził się 19 czerwca 1912 r. w Degahlen na Łotwie (obecnie Degoles muiža) w rodzinie arystokratycznej jako piąte i najmłodsze z dzieci barona Friedricha Oskara von Seefeld (1873–1945) i baronowej Luisy Augusty Liny Cornellii z domu von Frick (1874–1954) (ryc. 11). Wolf w latach 1919–1927 uczył się w szkole w Międzyzdrojach, następnie od 1927 do 1930 r. pobierał nauki w Niemieckim Gimnazjum Klasycznym w Rydze. W 1933 r. zaczął studiować w Instytucie Herdera, na Łotewskim Uniwersytecie w Rydze, jeden semestr roku 1933 spędził także w Królewcu. W 1935 r. rozpoczął studia prahistoryczne w Rydze pod okiem Carla Engla, z którym związał swoją ścieżkę naukową, pisząc pod jego opieką doktorat. Oprócz prahistorii von Seefeld studiował historię i tzw. rasologię (w Greifswaldzie, w semestrze 1936/1937).

15. Pełną biografię Wolfa von Seefeld przedstawiał A. Leube (2011, s. 79–86).



Ryc. 11. Herb von Seefeld (za: Carl Arvid von Klingspor, *Baltisches Wappenbuch. Wappen sämtlicher den Ritterschaften von Livland, Estland, Kurland und Oesel zugehörigen Adelsgeschlechter*, Stockholm 1882, Tafel 104)

Fig. 11. Coat of arms of von Seefeld family (as cited in: Carl Arvid von Klingspor, *Baltisches Wappenbuch. Wappen sämtlicher den Ritterschaften von Livland, Estland, Kurland und Oesel zugehörigen Adelsgeschlechter*, Stockholm 1882, Tafel 104)

W okresie studiów uczestniczył w półrocznym szkoleniu SS na Łotwie (ryc. 12). Już w 1936 r. został odnotowany jako współpracownik Wydziału Wykopalisk przy „Ahnenerbe”. Podczas ekspedycji w Starym Dzierzgoniu von Seefeld wymieniony jest jeszcze bez tytułu naukowego, a zaledwie jako kandydat nauk prehistorycznych (*cand. praehist.*). Nie miał też stopnia SS¹⁶. Był jednak dość zdolny, co pozwoliło mu szybko wyrobić sobie w kręgu badaczy związanych z „Ahnenerbe” opinię fachowca w sprawach terenów nadbałtyckich, kultury i pradziejów Scytów oraz ludów Kaukazu. Sam zresztą wielokrotnie dawał wyraz swoim zainteresowaniom kwestiami osadnictwa germańskiego na obszarze nadbałtyckim. Uczestniczył też w seminariach prof. Hansa Reinertha poświęconych zagadnieniom ludów germańskich. Samemu Reinerthowi i Englowi imponował jego zapał w badaniach i kwerendach naukowych, które przeprowadzał w muzeach



Ryc. 12. Wolf von Seefeld około 1935/1936 r. (za: *Til Íslands fyrir tilviljun*, Hrafnistu bréfið, 1–35 (maj) 2008, s. 7)

Fig. 12. Wolf von Seefeld ca. 1935/1936 (as cited in: *Til Íslands fyrir tilviljun*, „Hrafnistu bréfið“, 1–35 (May) 2008, p. 7)

Prus Wschodnich (Królewiec i Kwidzyn), Pomorza, Łotwy, Litwy i Polski.

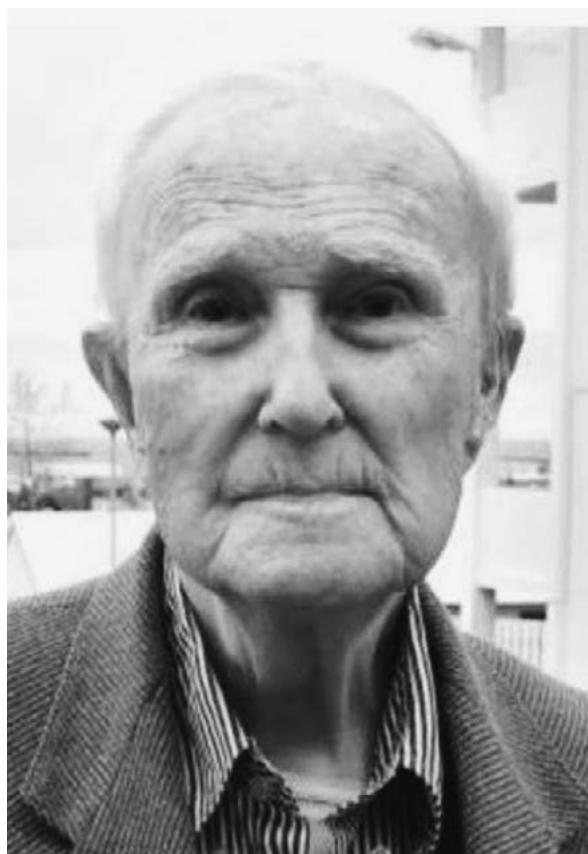
Wraz z początkiem badań w Starym Dzierzgoniu von Seefeld ukierunkował się na badania nad ceramiką „wczesnogermańską”. Z jego listów do Waldemara Heyma dowiadujemy się, że obronę swojej dysertacji doktorskiej *Baltische und Frühhostgermanische Siedlungskeramik*, którą zaczął przygotowywać w 1936 r., planował na listopad 1939 r. Z innych źródeł wiemy, że rzeczywiście w listopadzie udał się do Greifswaldu i omówił z Englem dalsze przygotowania do obrony. W maju 1939 r. von Seefeld umawiał się wstępnie na staż muzealny w Kwidzynie, który mógłby rozpocząć od stycznia lub wiosny 1940 r. Wówczas też, jak wiemy z korespondencji słanej przez niego z Berlina do Heyma oraz do Engla, był coraz bardziej zaangażowany w opracowywanie ceramiki „wczesnogermańskiej”, co jednak wymagało tytanicznego wysiłku. Jak już wyżej wspomniano, samej ceramiki ze Starego Dzierzgonia miało być tak dużo, że Schleif musiał zapewnić swojemu asystentowi dwa oddzielne pomieszczenia, by mógł on skompletować i ostatecznie opracować zabytki. Wojna przeszkodziła mu w realizacji

16. Opieram się tu na niedrukowanym sprawozdaniu Hansa Schleifa z około 1938 r., w którym autor wymienia stopnie SS swoich współpracowników, poza von Seefeldem.



Ryc. 13. Wolf von Seefeld około 1939/1940 r. (za: J. Kaczmarek, *Megalomania i ekspansjonizm. Ze stosunków polsko-niemieckich w dziedzinie archeologii w Wielkopolsce*)

Fig. 13. Wolf von Seefeld ca. 1939/1940 (as cited in: J. Kaczmarek, *Megalomania i ekspansjonizm. Ze stosunków polsko-niemieckich w dziedzinie archeologii w Wielkopolsce*)



Ryc. 14. Úlfur Friðriksson alias Wolf von Seefeld w 2008 r. (za: *Til Íslands fyrir tilviljun*, Hrafnistu bréfið, 1–35 (maj) 2008, s. 7)

Fig. 14. Úlfur Friðriksson alias Wolf von Seefeld in 2008 (as cited in: *Til Íslands fyrir tilviljun*, „Hrafnistu bréfið“, 1–35 (May) 2008, p. 7)

planów naukowych, ostatecznie obronił doktorat w 1941 r.¹⁷.

Von Seefeld skrupulatnie wykorzystał wojnę do realizacji swoich celów. W ramach „przywracania narodowi niemieckiemu” ziem na obszarze Wielkopolski (Reichsgau Wartheland) von Seefeldowie nabyli majątek w Nowej Wsi (pow. Konin). W czasie wojny Wolf został wcielony najpierw do Wehrmachtu, a następnie do oddziałów bojowych SS – jednostek artyleryjskich SS-Liebstandarte. Jego kariera w SS, przyjaźń i protekcja Schleifa oraz fakt, że znał języki polski, litewski, łotewski i angielski, pozwoliły

mu też zdobyć pracę w Kaiser Friedrich Museum w Poznaniu (od 1 czerwca 1940 r.), później zaś (od 1 września 1941 r.) – asystenturę w Dziale Prahistorii Muzeum w Poznaniu, przemianowanym wówczas na Landesmuseum für Vor- und Frühgeschichte, gdzie pracował wraz z Walterem Kerstenem i Schleifem. Na zdjęciu zachowanym w Archiwum Muzeum Archeologicznego w Poznaniu (dołączonym zapewne do akt personalnych przy przyjęciu do pracy) widzimy go w najniższym stopniu SS – Schütze/Oberschütze (szeregowy) (ryc. 13). 1 października 1941 r. von Seefeld wcielony został do jednostki „zabezpieczającej”

17. Wśród materiałów Hansa Schleifa (obecnie w Archiwum Naukowym Działu Archeologii Muzeum Warmii i Mazur), pochodzących z czasów, kiedy ten pełnił urząd powiernika dóbr w dystrykcie poznańskim i kierownika Landesamt für Vorgeschichte, znajduje się maszynopis pracy *Siedlungskeramik der jüngeren Bronze- und frühen Eisenzeit in Ostpreussen*, który przypisuje się Schleifowi. Jest to jednak zapewne jakiś niepublikowany artykuł Seefeld, który wiąże się z tematyką jego pracy doktorskiej.

dobra kultury i zabytki na obszarze Ukrainy (Einsatzkommando Ukraine). W 1942 r., już jako doktor, objął po Herbercie Jankuhnne stanowisko w Muzeum Prahistorii w Kilonii (Kaczmarek 2003; Kater 2006, s. 156). Od lipca 1942 r. do lutego 1943 r., w czasie wojny z ZSRR, wraz z Sonderkommando Jankuhn, pod osłoną 5 Dywizji Pancerniej SS (SS Viking), uczestniczył jako badacz kultury kaukaskiej i scytyjskiej, a przede wszystkim jako członek „Ahnenerbe”, w pracach wykopaliskowych na Krymie i Kaukazie. Wówczas był już po awansie i nosił patki SS-Oberscharführera (sierżanta). Zajmował się także rabunkiem zabytków, najpierw w Polsce, następnie w Związku Radzieckim (Hufen 1998, s. 83–84; Steuer 2004, s. 490). Tu też jego działalność była bardzo widoczna. Po wycofaniu się wojsk niemieckich z ZSRR von Seefeld przeniesiony został na inny odcinek frontu. W kwietniu 1944 r., w spisie autorów pierwszego numeru „Posener Jahrbuch” wymieniony jest jako walczący na froncie.

Po II wojnie światowej von Seefeld nie mógł powrócić na Łotwę. Z uwagi na swoją przeszłość najpewniej unikał również angażowania w sprawy archeologii. Rozpoczął studia ogrodnicze i podejmował pracę w wyuczonym nowym zawodzie. Wielokrotnie zmieniał też miejsce zamieszkania. Pod przybranym nazwiskiem przebywał najpierw w Niemczech, a następnie w Kanadzie i Anglii. W 1955 r., po zmianie personaliów, jako Úlfur Friðriksson (Úlfur – od niemieckiego imienia Wolf, Friðriksson – od imienia ojca Friedricha) zamieszkał na Islandii (ryc. 14)¹⁸. Obywatelstwo islandzkie otrzymał w 1965 r. i rozpoczął pracę jako ogrodnik oraz architekt krajobrazu. W czasie swojego pobytu w Islandii rozwijał badania przyrodnicze, zajmował się tłumaczeniami, odnowił też kontakty z archeologami i historykami. Do jego najważniejszych publikacji zaliczyć należy te napisane w języku islandzkim pod nazwiskiem Úlfura Friðrikssona: *Í ríki hestsins* (1977), *Fundið og gefið- sundurlausir þankar á leiðum milli leiða í kirkjugarðinum við Suðurgötu* (1988), *Sörli-Geschichten und Gedichte um Rosse, Reiter und Ritte auf Island* (1991). Ostatnie lata życia spędził w Reikiawiku w swoim mieszkaniu przy ulicy Austurbrún 2.

Von Seefeld vel Friðriksson zmarł 19 września 2009 r., jego pogrzeb odbył się 28 września 2009 r. o godzinie 15:00 na cmentarzu przy ulicy Áskirkju w Reikiawiku. Do końca ukrywał swoją przeszłość, podając kłamliwie, że w 1939 r. opuścił Łotwę w związku z wkroczeniem tam Rosjan (por. choćby artykuł *Til Íslands...*, 2008, s. 6–8).

Johann Löhausen (1906–?)

Również biografia Johanna Löhausena nie została szerzej zbadana. Wiadomo, że urodził się on w 1906 r., co najmniej od 1936 r. związany był na stałe z „Ahnenerbe” oraz z miastem Kolonia. Oprócz badań w Starym Dzierzgoniu i Starym Mieście, które rozpoczął w 1936 r. w randze SS-Ausgrabungstruppa, prowadził wykopaliska w Karyntii, Hohmichele¹⁹ oraz – w 1938 r. – w Kriemhildentstuhl. W latach 1936–1937 podczas badań w Starym Dzierzgoniu i Starym Mieście znajdujemy go w randze SS-Unterscharführera (plutonowy). Od maja 1938 r. i w 1939 r., już jako Scharführer (starszy plutonowy), wraz ze Schleifem prowadził wykopaliska na Krnskim Gradzie w Karyntii (Pesditschek 2010, s. 292–293 – tu błędnie podano jego stopień jako SS-Obersturmführer; Ferenc 1980, s. 303, 577–579 – tu właściwie w randze SS-Untersturmführera), a później także w Biskupinie. W materiałach „Ahnenerbe” zachowanych w berlińskim Bundesarchiv znajdujemy sprawozdania z tych wykopalisk jego autorstwa pochodzące z 1940–1942²⁰. Między 1940 a 1941 r. uczestniczył on w rabowaniu dóbr kultury na obszarze okupowanej Polski oraz w Kraju Warty (Klein 2016, s. 331–332). Dzięki notatce z 10 października 1941 r. zachowanej w zbiorach Bundesarchiv w Koblenz dowiadujemy się, że Löhausen w randze SS-Untersturmführera (podporucznika) przebywał w Górnej Krainie (BA Koblenz, Das Ahnenerbe..., k. 1). Tam, oprócz dorywczych badań, zajmował się także rejestracją dóbr kultury. Z raportu z 26 lutego 1943 r. dowiadujemy się, że rejestracją i zabezpieczaniem dóbr kulturowych zajmowała się w Słowenii specjalna

18. Informacje na temat powojennych losów Wolfa von Seefeldta vel Úlfura Friðrikssona udało się znaleźć dzięki przypadkowi w nekrologu zamieszczonym 28 września 2009 r. w gazecie codziennej „Morgunblaðið”. W nekrologu znajdują się wszystkie dane, które potwierdzają personalia i identyczność von Seefeldta z Friðrikssonem. Nie ma w nim jednakże ani słowa o jego działalności w SS. Całkowicie też pominięto losy wojenne Seefeldta / Friðrikssona (Lindal, 2009). Uwagę na ten fakt zwrócił także A. Leube (2011, s. 79–86).

19. O tym, że Löhausen zaangażowany był jako „Grabungstechniker” podczas wykopalisk halsztackiego kurhanu w Hohmichele, informuje Gustav Riek we wstępie do swej pracy podsumowującej wyniki badań (1962, s. V).

20. Tytuły sprawozdań: J. Löhausen, *Kurzbericht über die SS-Ausgrabung Urstätt* (1940), H. Schleif, J. Löhausen, *Über die Ausgrabung in Urstätt (Biskupin) Warthegau 1940–1942* (1942). Za pomoc w zdobyciu informacji o sprawozdaniach dziękuję Matthiasowi Neukirchowi i Julianowi Kleinowi z Berlina.

jednostka SS-Gruppenführera Erwina Rösenera (1902–1946). Johann Löhausen podpisywał się wtedy już jako SS-Obersturmführer (porucznik) (BA Koblenz, *Das Ahnenerbe...*, k. 1–6). Spod jego ręki wyszedł też raport z badań wykopaliskowych w Kępnie (woj. wielkopolskie) – niem. Kempen, Warthegau – które z ramienia „Ahnenerbe” prowadził on od 3 do 26 maja 1943 r. na tzw. Wiatracznej Górze. Przebadał wówczas rozległe cmentarzysko kultury łużyckiej – łącznie 116 grobów. Maszynopis datowany w Berlinie 23 listopada 1943 r. sygnowany jest przez Löhausena jako SS-Obersturmführera z dopiskiem czarnym tuszem na ostatniej stronie: „J. Löhausen (Röm.-German Mus. Köln)”, co wskazuje, że w późniejszym okresie Löhausen związany był z tym muzeum (DAI, Archiv der Zentrale, Nachlass Johann Löhausen)²¹. Jako SS-Obersturmführer występuje on również 6 lipca 1944 r. (Reitzenstein 2018, s. 161–162, 457).

Doświadczenie w ocenianiu wartości „zabezpieczanych” dóbr kultury i zabytków, jakie Löhausen nabył w Polsce, wykorzystane zostały także przy działaniach Sonderkommando Jankuhn, gdyż z ramienia SS – „Ahnenerbe” Löhausen, podobnie jak von Seefeld, uczestniczył w przejmowaniu i przesyłaniu do Berlina zagrabionych zbiorów bibliotek i muzeów radzieckich (Kater 2006, s. 157).

Alexander Langsdorff (1898–2010)

Znacznie bardziej przejrzyste przedstawiają się fakty z życia Alexandra (Sandro) Langsdorffa (ryc. 15). Tu jednak, z uwagi na fakt, że bezpośrednio nie uczestniczył on w wykopaliskach w Starym Dzierzgoniu i Starym Mieście, skupię się tylko na kilku ważniejszych momentach jego biografii. Są one warte przypomnienia choćby z uwagi na to, że do obiegu naukowego trafiło kilka nieprawdziwych informacji z jego życia. Zostały one jednak sprostowane przez córkę Langsdorffa z drugiego małżeństwa Mareille Langsdorff-Claus, która 26 marca 2010 r. wypowiedziała się na temat swojego ojca na internetowym forum Axis History (Axis History 2010).

Alexander Langsdorff urodził się 14 grudnia 1898 r. w Alsfeld. Podczas I wojny światowej służył w stopniu lejtnanta na froncie zachodnim i w 1914 r. został dwukrotnie odznaczony Krzyżem Żelaznym: I oraz II stopnia. W połowie 1916 r. trafił do niewoli francuskiej, gdzie przebywał do 12 czerwca



Ryc. 15. Alexander Langsdorff (za: A. Leube, *Deutsche Prähistoriker im besetzten Westeuropa 1940–1945. Das „Ahnenerbe“ der SS in Westeuropa*)

Fig. 15. Alexander Langsdorff (as cited in: A. Leube, *Deutsche Prähistoriker im besetzten Westeuropa 1940–1945. Das „Ahnenerbe“ der SS in Westeuropa*)

1919 r. Swoje wspomnienia z czasów wojny zawarł w książce *Flucht aus Frankreich – Kriegserlebnisse eines jungen Soldaten*. Pierwsze wydanie z 1920 r. opublikowane zostało pod pseudonimem „Sandro”. Kolejne, sygnowane już nazwiskiem, ukazało się w Monachium w 1936 r. Wydanie to opatrzone zostało wstępem Heinricha Himmlera i przez kolejne lata traktowane było jako lektura zalecana dla młodzieży. Okres międzywojenny był czasem zaangażowania Langsdorffa w politykę. Coraz bardziej skłaniał się on ku nacjonalistom, szczególnie ku NSDAP. W 1923 r. uczestniczył nawet w nieudanym puczu monachijskim, o czym nie omieszkął wspomnieć w swoim życiorysie złożonym w celu przyjęcia do partii (Kater 2006, s. 20).

Okres międzywojenny to także studia. Langsdorff studiował archeologię w Marburgu. Tam również doktoryzował się w 1927 r. W 1929 r. wraz z Paulem Jacobsthalem opublikował rozprawę *Die Grabfunde mit Bronzeschnabelkannen* (Klee 2005, s. 357; Kater

21. Za przekazanie maszynopisu sprawozdaniach dziękuję Matthiasowi Neukirchowi i Julianowi Kleinowi z Berlina.

2006, s. 20). W latach 1929–1933 uczestniczył w wyprawach badawczych do Egiptu i do Iranu. Tam też nawiązał kontakty z archeologami amerykańskimi i brytyjskimi. Langsdorff, mimo skrajnie prawicowych sympatii politycznych, wydawał się być raczej pragmatykiem. Poglądy nie przeszkadzały mu choćby we współpracy z promotorem z czasów studenckich Paulem Jacobsthalem, który był Żydem wyznania ewangelickiego. Jacobsthal w 1935 r. musiał opuścić najpierw katedrę archeologii w Marburgu, a ostatecznie Niemcy, skąd udał się do Wielkiej Brytanii²². Do partii hitlerowskiej Langsdorff wstąpił też dość późno, bo dopiero 1 czerwca 1933 r., otrzymując legitymację z numerem 1 657 764. Niebawem też – 28 października 1933 r. – wstąpił do SS, otrzymując legitymację z numerem 185 091, a 9 listopada 1934 r. miał już stopień SS-Rottenführera (starszy kapral) (Yerger 2002). Przynależność do NSDAP pomogła mu najpewniej w dalszych awansach. W 1933 r. zatrudniony był w Berliner Museum für Vor- und Frühgeschichte. Dodatkowo od 16 czerwca 1936 r. pracował w sztabie Himmlera, najpierw jako adiutant, następnie jako referent do spraw kulturalno-politycznych oraz ekspert w dziedzinie archeologii przy „Ahnenerbe”. Jednakże jego debiut pisarski na łamach esesmańskich periodyków nie dotyczył wcale archeologii. Dwa artykuły w „Das Schwarze Korps” pod wymownym tytułem *Deutsche Soldaten brechen Frankreichs Ketten* (10.10.1935 i 23.01.1936) wzywały do remilitaryzacji Nadrenii. Inne artykuły Langsdorffa, aczkolwiek już dotyczące stricte archeologii, były bardziej laurką propagandową działań „Ahnenerbe” niż poważną analizą naukową. Na szczególną uwagę zasługują teksty napisane wraz ze Schleifem dotyczące wykopalisk SS, drukowane w latach 1936–1938 w miesięczniku „Germanien”. Langsdorff i Schleif napisali także artykuł dotyczący wykopalisk w Starym Dzierzgoniu, który ukazał się w 1937 r. w „Nachrichtenblatt für Deutsche Vorzeit”.

Langsdorff stał się z czasem jednym z ważniejszych i bardziej wpływowych archeologów związanych z SS. Szybko też piął się w górę w strukturach organizacji. Pierwszy stopień oficerski, SS-Untersturmführer (podporucznik) otrzymał 20 kwietnia 1936 r., następnie 30 stycznia 1938 r. otrzymał stopień SS-Hauptsturmführera (kapitan), a dokładnie rok później awansowano go na SS-Sturmbannführera (major). Po kapitulacji Francji Langsdorff z ramie-

nia SS zajmował się „zabezpieczaniem” dóbr kultury i zabytków w ramach działalności okupacyjnego Kriegsverwaltungsabteilung z siedzibą w Paryżu. Swoją urzędową funkcję pełnił, jak podaje jego córka, od 15 stycznia do 24 czerwca 1941 r. Przed wyjazdem do Paryża ożenił się (pierwsze małżeństwo zawarł w 1931 r., rozwiódł się 2 października 1940 r.) z Marie-Luise Schneidewind z domu Stockmann (1917–1984); ślub odbył się w Berlinie 7 stycznia 1941 r. Z tego związku urodziła się dwójka dzieci: syn Peter (14 lutego 1942 r.) i córka Mareile (11 października 1943 r.). Po wykonaniu powierzonych zadań, Langsdorff powrócił z Francji do Berlina, jednakże już w lutym 1944 r., mając tytuł profesorski oraz (od 30 stycznia 1944 r.) stopień SS-Standartenführera (pułkownik), skierowany został do pracy we Włoszech. Powierzono mu zadanie, w jakim sprawdził się podczas swej służby we Francji, a mianowicie „ochronę” zbiorów bibliotecznych i muzealnych, co w obliczu zbliżającego się frontu było pilnym zadaniem²³. Langsdorff stanął wówczas na czele specjalnego oddziału Abteilung Kunst, Archiv und Bibliotheksschutz (Paoli 2007, s. 91–92), pozostając we Włoszech (według relacji córki) do 30 kwietnia 1945 r. Dzień wcześniej (29 kwietnia 1945 r.), jak podaje Mark Yerger, za zasługi na rzecz kultury niemieckiej (a dokładniej za działalność we Włoszech) Langsdorff otrzymał Srebrny Krzyż Niemiecki. Ostatni i dość niejasny element biografii Langsdorffa stanowi jego śmierć. Ernst Klee pisze, że nastąpiła ona „w niewyjaśnionych okolicznościach” 15 marca 1946 r. w Eutin (Klee 2005, s. 357). Inaczej przedstawia to córka Langsdorffa, która podaje datę – 10 marca 1946 r., a także przyczynę – zatorowość płucna. Langsdorff miał umrzeć w szpitalu w Eutin.

Badania z lat 1935–1937 i ich miejsce w propagandzie III Rzeszy

Wykopaliska w Starym Dzierzgoniu, już z uwagi na samą lokalizację stanowiska – w pobliżu pogranicza z Polską – oraz na ówczesne dyskusje nad prawami Niemiec do Pomorza, musiały wzbudzać duży entuzjazm w kręgach „Ahnenerbe”. Dlatego też zaangażowanie środków musiało przynieść wymagany efekt. Do czasów obecnych zachował się dość okazały zbiór materiałów archiwalnych oraz opracowań

22. Jacobsthal na emigracji nadal utrzymywał kontakty z badaczami niemieckimi, w tym prawdopodobnie z Langsdorffem! (Crawford, Ulmschneider 2010).

23. Faktycznie działalność polegała na odzianiu muzeów i kolekcji prywatnych z dzieł sztuki i wywożeniu ich do Niemiec, gdzie wiele z nich bezpowrotnie przepadło.

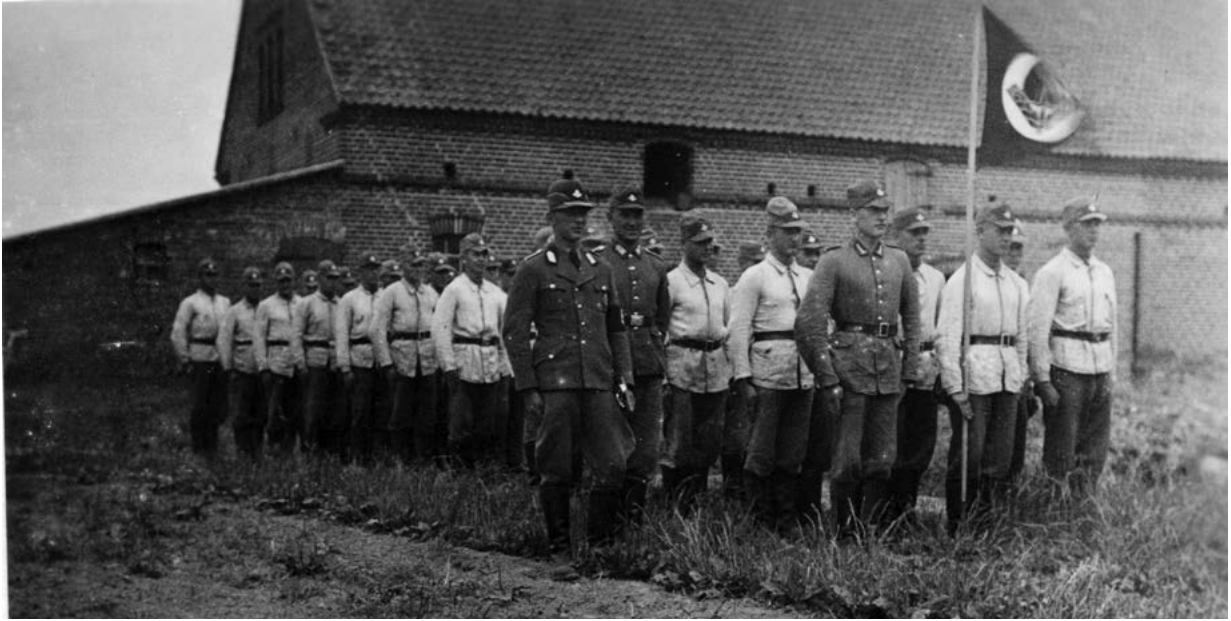
dotyczących prac prowadzonych w Starym Dzierzgoniu. Sporą wartość, szczególnie w odniesieniu do wcześniejszych badań, ale też dla okresu 1935–1937, mają materiały znajdujące się niegdyś w zbiorach Prussia Museum, obecnie w berlińskim Museum für Vor- und Frühgeschichte (Prussia-Archiv, PM-A 030/1: Altchristburg (Dorf), k. 324–347). Pewne materiały zawierają również dokumenty pozostałe po Schleifie, zdeponowane w archiwum Deutsche Archäologisches Institut w Berlinie, w tym niekompletny zbiór sprawozdań z badań datowany na 1936 r. (są to karty 1 i 16–81) (DAI, AdZ Nachlass Hans Schleif, karton 1). Interesujące materiały znajdujemy także w zbiorze notatek Carla Engla (pozostałość archiwum Rudolfa Grenza), obecnie przechowywanym w Archiwum Museum Schloss-Gottorf w Szlezewiku, na który składają się: sprawozdanie z badań maj–wrzesień 1936 r., list Wolfa von Seefeld do Carla Engla z 5 października 1937 r. w sprawie odkryć na grodzisku, 25 kart ze zdjęciami i opisem zabytków oraz prac wykopaliskowych (Rudolf Grenz Kartothek, Alt-Christburg).. Pokażny zbiór archiwaliów w postaci dokumentacji rysunkowej (szkice zabytków, profili, rzuty poziome), fotograficznej oraz opisów i sprawozdań znajduje się w zespole stanowiącym archiwalną spuściznę Hansa Schleifa w Archiwum Naukowym Działu Archeologii Muzeum Warmii i Mazur w Olsztynie. Do badań nad pradziejami Prus niezwykle użyteczna jest także tzw. Kartoteka Schleifa, zawierająca łącznie 115 teczek stanowisk archeologicznych, w których znajdujemy 1003 karty z opisami, rysunkami lub zdjęciami ceramiki z młodszych okresów epoki brązu i wczesnej epoki żelaza. Archiwalia te pierwotnie znajdowały się w Poznaniu i do Olsztyna trafiły za sprawą wdowy po Jerzym Antoniewiczzu (Hoffmann 2005, s. 141–157). Spośród archiwaliów dotyczących Starego Dzierzgonia na szczególną uwagę zasługują sprawozdania pisane przez Schleifa: sprawozdanie z badań bramy głównej z 1936 r. (*Der Abschnittswall auf dem Schlossberg...* 1936), sprawozdanie końcowe badań z lat 1935–1937 (*SS-Ausgrabung Alt Christburg...*), opis ceramiki krzyżackiej z grodziska w Starym Dzierzgoniu i sprawozdanie z badań pieca garncarskiego (*Frühordenszeitlicher Töpfern auf dem Schlossberg...*). Pewne informacje wnosi także korespondencja, którą prowadzili Schleif i von Seefeld z dyrektorem Heymem z Kwidzyna. Niestety udało się dotrzeć jedynie do jednostronnej korespondencji zachowanej w Archiwum Muzeum

Archeologicznego w Gdańsku, której nadawcami byli badacze z „Ahnenerbe” (Teczka Stary Dzierzgon (Alt Christburg), MAG 46n/20)²⁴. Nieocenioną wartość mają także materiały udostępnione mi przez córkę Schleifa, panią Edith Neukirch z domu Schleif (zm. w 2015 r.), której prywatne archiwum w postaci sporej liczby fotografii ze Starego Dzierzgonia przekazali mi Matthias Neukirch i Emil Klein z Deutsches Theater w Belinie.

Oddzielną kategorię źródeł stanowią artykuły dotyczące badań w Starym Dzierzgoniu. Tu na szczególną uwagę naukową zasługują teksty zamieszczane w periodykach takich jak: „Nachrichtenblatt für Deutsche Vorzeit” (Langsdorff, Schleif 1937, s. 80–82) i „Germanen-Erbe” (von Seefeld 1937, s. 277–282); wzmianki o badaniach w Starym Dzierzgoniu pojawiły się także w „Germanien” (Langsdorff, Schleif 1936, s. 391–399; 38/1, 1938, s. 6–11) i „Alt-Preussen” (Jg. 1, H. 3, 1935, s. 171; Jg. 1, H. 4, 1936, s. 236; Jg. 2, H. 2, 1937, s. 70; Jg. 2, H. 3, 1937, s. 131). Jako że wykopaliska miały odgrywać rolę propagandową, informacje o nich znajdowały się w różnych periodykach partyjnych oraz przeznaczonych dla konkretnego czytelnika. Ponieważ archeologom pomagali w pracy członkowie lokalnych Reichsarbeitsdienstów (RAD – Służba Pracy Rzeszy) z Dzierzgonia, Susza (ryc. 16) i Prabut, znajdujemy też artykuły w czasopismach takich jak „Der Arbeitsmann” (Schleif 1936, s. 10) czy „Geistige Arbeit” (Langsdorff 1937, s. 11).

Aby wyniki wykopalisk docierały do jak najszerszych kręgów, konieczne było nie tylko propagowanie ich w czasopismach, ale także udostępnianie możliwie wielu osobom zwiedzającym stanowisko wiedzy na temat „pragermańskiego osadnictwa w ich małej ojczyźnie”. Zdając sobie sprawę ze znaczenia, jakie ma wiedza o pradziejach dla kształtowania poczucia patriotyzmu, w udostępnionej na magazyn stajni zorganizowano (najpewniej w 1936 r.) prowizoryczne polowe muzeum (por ryc. 17). Dokładnie wyselekcjonowane zabytki z odpowiednich okresów: „starogermańskiego”, „gockiego”, „staropruskiego” i „krzyżackiego” zostały wyeksponowane oraz zaopatrzone w mapy ukazujące etniczny zasięg osadnictwa „wczesnogermańskiego”, „gockiego” (ryc. 18) i pruskiego (ryc. 19). Przedstawiona została również marszruta krzyżowców podbijających w latach 30. XIII w. plemiona pruskie (ryc. 20). Schleif, niewątpliwie uzdolniony rysownik, sporządził dokładne plany grodziska oraz – jak już

24. Pełne opracowanie i wydanie korespondencji: Szczepański, 2018, s. 139–151.



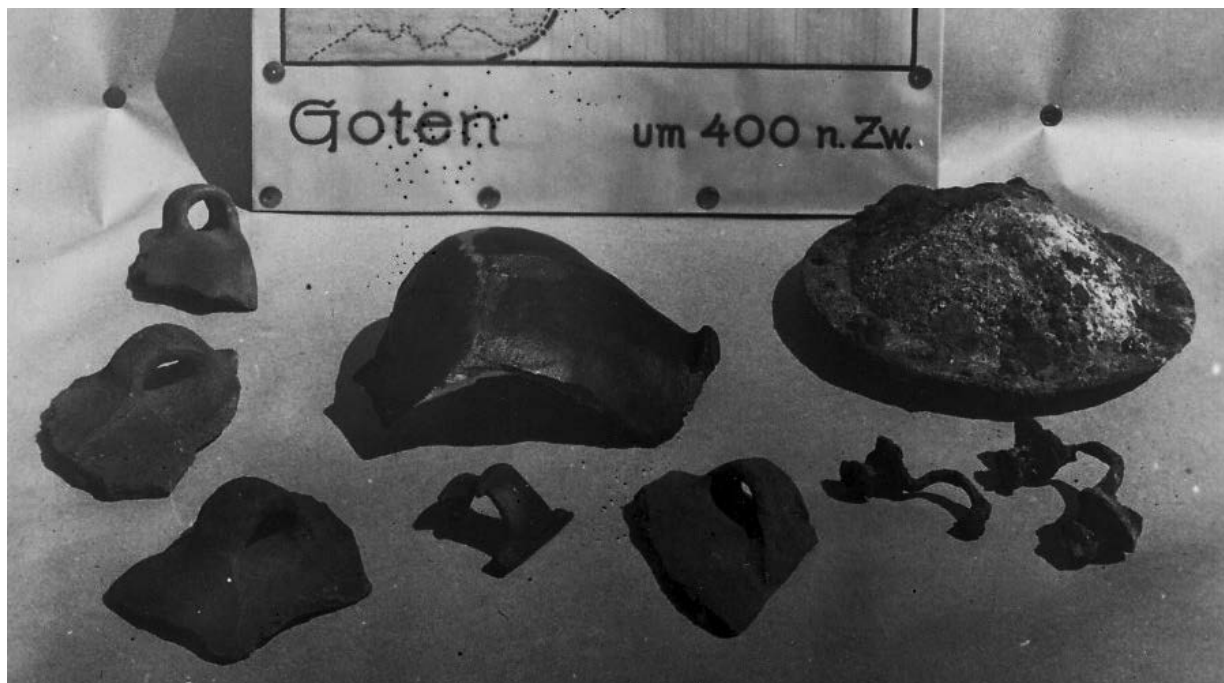
Ryc. 16. Brygada reichsarbeitsdienst Rosenberg 2/31 (za: Rudolf Grenz Kartothek Alt-Christburg, Kr. Mohrunen, Nachlaß Carl Engel)

Fig. 16. Reichsarbeitsdienst brigade Rosenberg 2/31 (from: Rudolf Grenz Kartothek Alt-Christburg, Kr. Mohrunen, Nachlaß Carl Engel)



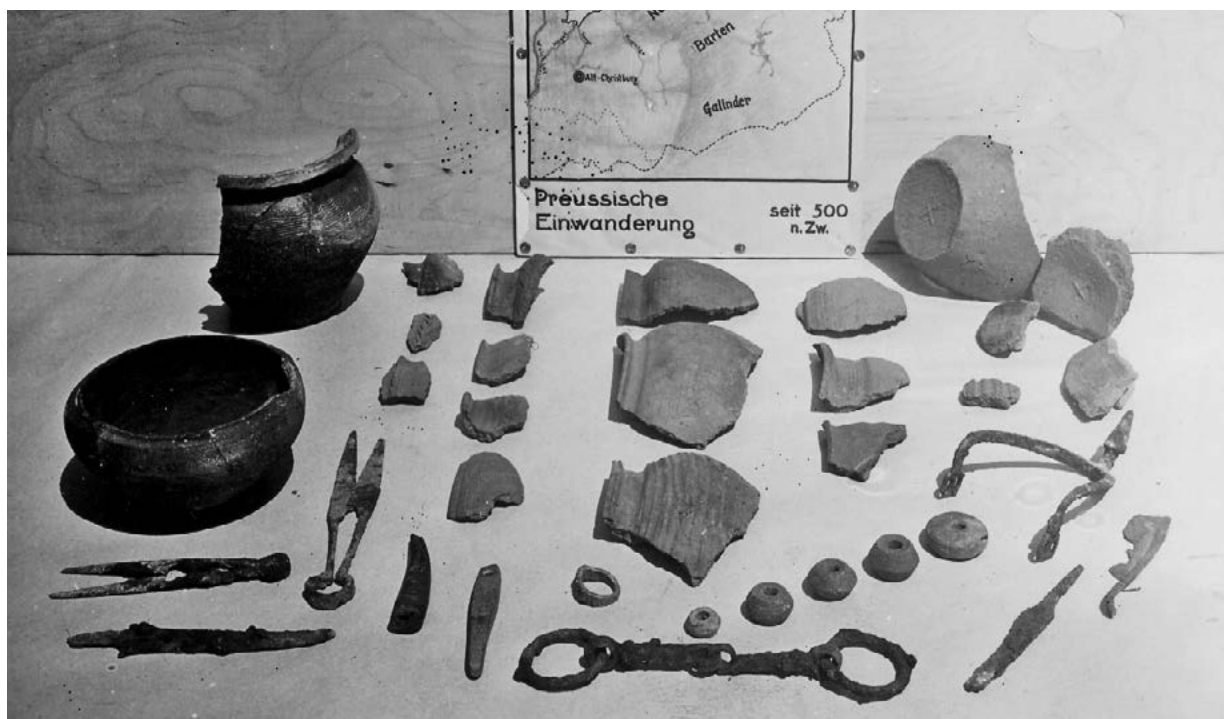
Ryc. 17. Tymczasowe muzeum w stajni (za: Archiwum Naukowe Działu Archeologii Muzeum Warmii i Mazur w Olsztynie)

Fig. 17. Temporary museum in the stable (from: Archiwum Naukowe Działu Archeologii Muzeum Warmii i Mazur w Olsztynie)



Ryc. 18. Zabytki „gockie” z wykopalisk w Starym Dzierzgoniu (za: Archiwum Naukowe Działu Archeologii Muzeum Warmii i Mazur w Olsztynie)

Fig. 18. „Gothic” objects from the excavations in Stary Dzierzgoń (from: Archiwum Naukowe Działu Archeologii Muzeum Warmii i Mazur w Olsztynie)



Ryc. 19. Zabytki pruskie z wykopalisk w Starym Dzierzgoniu (za: Archiwum Naukowe Działu Archeologii Muzeum Warmii i Mazur w Olsztynie)

Fig. 19. Old Prussian relics from the excavations in Stary Dzierzgoń (from: Archiwum Naukowe Działu Archeologii Muzeum Warmii i Mazur w Olsztynie)



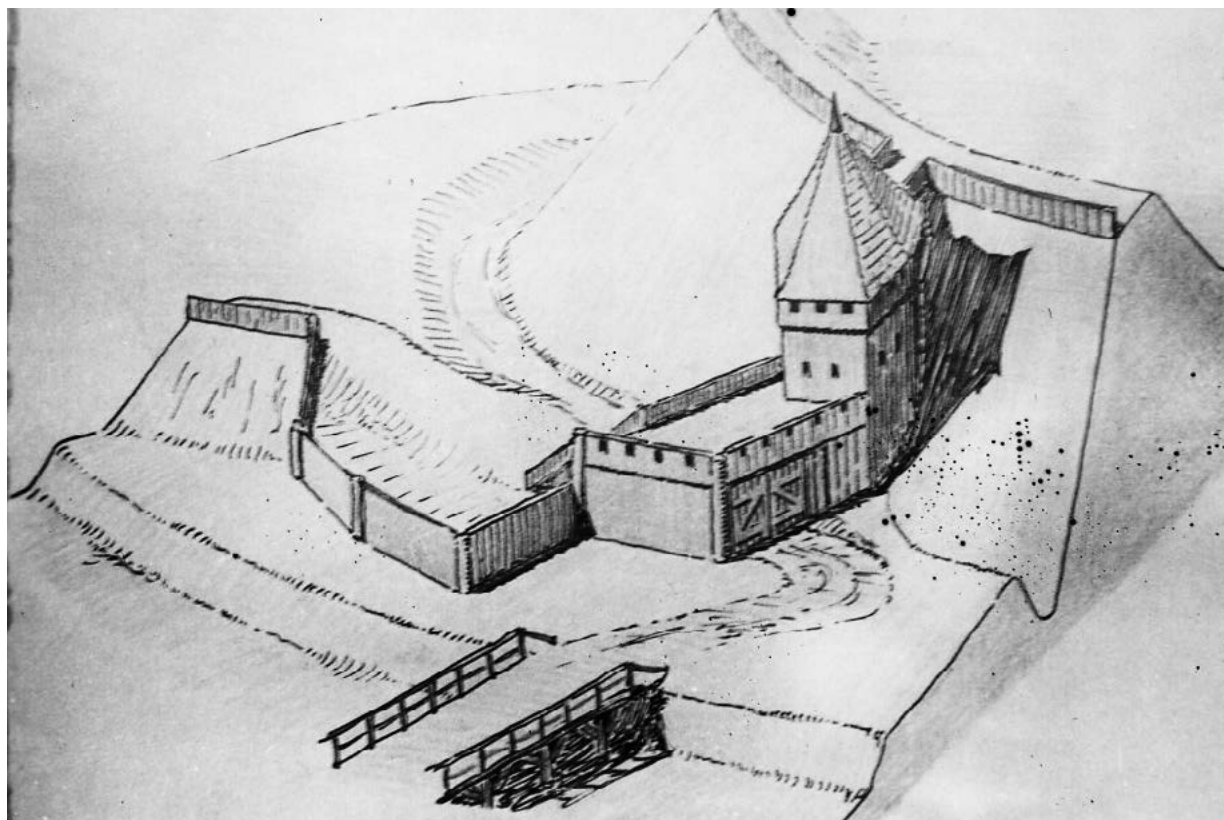
Ryc. 20. Zabytki krzyżackie z wykopalisk w Starym Dzierzgoniu (za: Archiwum Naukowe Działu Archeologii Muzeum Warmii i Mazur w Olsztynie)

Fig. 20. Teutonic relics from the excavations in Stary Dzierzgoń (from: Archiwum Naukowe Działu Archeologii Muzeum Warmii i Mazur w Olsztynie)

wyżej wspomniano – częściowo zrekonstruował jego wygląd (ryc. 21). Tego rodzaju atrakcje, wraz z odpowiednim komentarzem, przyciągały liczne wycieczki szkolne. W swoim sprawozdaniu Schleif z sentymentem wspominał: „Wiele setek dzieci szkolnych obejrzało wykopaliska podczas prowadzonych prac, otrzymując obszerne wyjaśnienia, począwszy od uczniów najniższej klasy szkoły wiejskiej w Starym Dzierzgoniu, którzy jak chrząszcze popełzli przez wały, do 170 chłopców ze szkoły w Koszalinie, którzy wraz z wychowawcami przebywali przez 6 godzin w Starym Dzierzgoniu podczas swoich manewrów w Prusach Wschodnich”. Grodzisko w Starym Dzierzgoniu stało się również obowiązkowym punktem odwiedzin dla sześciu oddziałów żeńskiego Arbeitsdienstu podczas ich wycieczek po „nadgraniczu” (*SS-Ausgrabung Alt Christburg...* 1938, s. 2). Szczególnie ważne z politycznego i wychowawczego punktu widzenia było uczestnictwo w wykopaliskach miejscowych Reichsarbeitsdienstów: Abt. 2/31 Rosenberg (Susz)

i Abt. 5/31 Christburg (Dzierzgoń) – w zależności od pory roku w sile 37 i 45–50 osób (ryc. 22). Tym samym wypełniano jeden z ideowych punktów programu wykopalisk SS: „Nie nauka jako taka, lecz zdobywanie wiedzy i doświadczenia poprzez pracę jest idealne dla młodych Niemców”. Współpraca w przypadku Starego Dzierzgonia układała się raczej pozytywnie. Schleif narzekał jedynie, że młodzież ze Służby Pracy z Susza może licznie uczestniczyć w wykopaliskach dopiero po zakończeniu żniw. W celu ułatwienia transportu z Susza Himmler przekazał na potrzeby ekspedycji samochód ciężarowy Daimler-Benz (ryc. 23).

Oprócz wycieczek szkolnych oraz wizyt młodzieży niewątpliwie najważniejsza była wizyta Himmlera w 1935 r. Zapewne odwiedził on wykopaliska tylko raz (potwierdza to, jak wspominałem wyżej, Aleksander zu Dohna-Schlobitten). Widzimy go na zdjęciu zachowanym w prywatnych zbiorach Edith Neukirch, gdzie, stojąc obok żony Schleifa Gisselle, ogląda zabytki pozyskane w czasie wykopalisk.



Ryc. 21. Rekonstrukcja bramy głównej w Starym Dzierzgoniu autorstwa Hansa Schleifa (za: Archiwum Naukowe Działu Archeologii Muzeum Warmii i Mazur w Olsztynie)

Fig. 21. Reconstruction of the main gate in Stary Dzierzgoń by Hans Schleif (from: Archiwum Naukowe Działu Archeologii Muzeum Warmii i Mazur w Olsztynie)



Ryc. 22. Prace wykopaliskowe w Starym Dzierzgoniu, 1936 r. (za: Archiwum Naukowe Działu Archeologii Muzeum Warmii i Mazur w Olsztynie)

Fig. 22. Excavations in Stary Dzierzgoń, 1936 (from: Archiwum Naukowe Działu Archeologii Muzeum Warmii i Mazur w Olsztynie)



Ryc. 23. Samochód ciężarowy Daimler-Benz przekazany na rzecz ekspedycji (za: Archiwum Naukowe Działu Archeologii Muzeum Warmii i Mazur w Olsztynie)

Fig. 23. Daimler-Benz lorry given to the expedition (from: Archiwum Naukowe Działu Archeologii Muzeum Warmii i Mazur w Olsztynie)

Również ważne były odwiedziny Reichsarbeitsführera Konstantina Hierla (ryc. 24–25) i Gauleitera Prus Wschodnich Ericha Kocha, które miały miejsce 19 czerwca 1937 r.²⁵ Oprócz uczniów okolicznych szkół, studentów – choćby tych z Królewca, którzy w ramach zajęć seminaryjnych wizytowali grodzisko 7 października 1937 r.²⁶, i naukowców teren wykopalisk zwiedzili 23 października 1937 r. uczestnicy zjazdu Reichsbund für Deutsche Vorgeschichte, który obradował w Elblągu („Germanen-Erbe“ 1937, s. 328). Wówczas to prezentacją grodziska i wyników przeprowadzonych na nim badań zajął się von Seefeld.

Pierwszy sezon wykopalisk rozpoczął się 27 sierpnia 1935 r. i trwał do 27 października, choć z informacji księcia zu Dohna można wnioskować, że już wcześniej – wiosną tego roku – rozplanowano pierwsze wykopy. Ostatecznie w 1935 r. założono ich aż 38; koncentrowały się głównie w obszarze wałów (por. ryc. 26).

Pierwszym sprawozdaniem z wykopalisk jest list, który w ostatnim dniu swego pobytu w Starym Dzierzgoniu Schleif napisał do Heyma. Badacz informował w nim o wynikach badań. Szczególną uwagę zwrócił na wał główny, który zaczął systematycznie przekopywać w celu ustalenia jego chronologii. Co prawda nie udało się wówczas dokończyć przecięcia wału (zaplanowano kontynuację prac w tym kierunku w następnym roku), Schleif mógł już jednak wysunąć kilka wniosków. Pierwszym było ustalenie wstępnej chronologii wału głównego, który funkcjonował już w okresie przedkrzyżackim. Badaczom nie udało się wprawdzie zejść do najniższej warstwy, ale wyraźnie widać było kolejne warstwy wału. Schleif jeszcze wówczas wysuwał domysł, że podobną chronologię można odnieść także i do relikwów bramy wjazdowej, którą w 1935 r. badał tylko sondażowo, pozostawiając kompletne rozpoznanie na kolejny rok. W tym samym liście znajdujemy też pierwsze informacje na temat budowli

25. Zdjęcie Konstantina Hierla podczas odwiedzin w Starym Dzierzgoniu ilustrowało artykuł Langsdorffa i Schleifa z 1938 r. Zdjęcie Hierla podpisane: „Der Reichsarbeitsführer auf dem Baustelle Alt-Christburg” znajduje się też w artykule opisującym działalność RAD 2/31 Rosenberg: skojarzenie miejsca z placem budowy jest błędne, znajdujące się w tle drzewa niewątpliwie wskazują, że chodzi tu o teren grodziska (*Der Reichsarbeitsdienst* [1938], s. 49).

26. List z 4.10.1937 r. do Waldemara Heyma zapowiadający wizytę (Archiwum Muzeum w Kwidzynie, teczka 20).



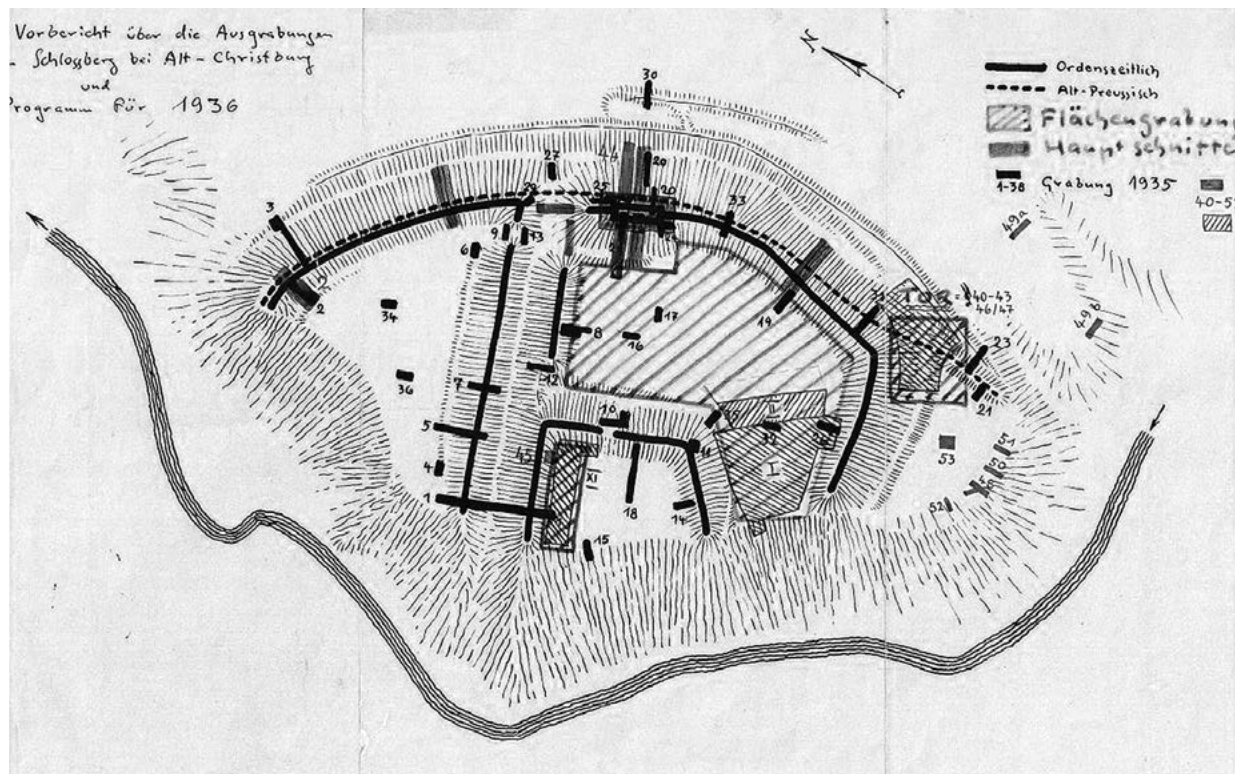
Ryc. 24. Reichsarbeitsführer Konstantin Hierl podczas wizyty w Starym Dzierzgoniu 19.06.1937 r. (prywatne zbiory Edith Neukirch z domu Schleif)

Fig. 24. Reichsarbeitsführer Konstantin Hierl during his visit in Stary Dzierzgoń, 19.06.1937 (private collection of Edith Neukirch nee Schleif)



Ryc. 25. Hans Schleif (w mundurze SS) oprowadza delegację Reichsarbeitsdienst po wykopaliskach (prywatne zbiory Edith Neukirch z domu Schleif)

Fig. 25. Hans Schleif (in SS uniform) taking the delegation of Reichsarbeitsdienst around the excavations (private collection of Edith Neukirch nee Schleif)



Ryc. 26. Rozplanowanie wykopów z roku 1935 oraz planowane wykopy na rok 1936 (za: Archiwum Naukowe Działu Archeologii Muzeum Warmii i Mazur w Olsztynie)

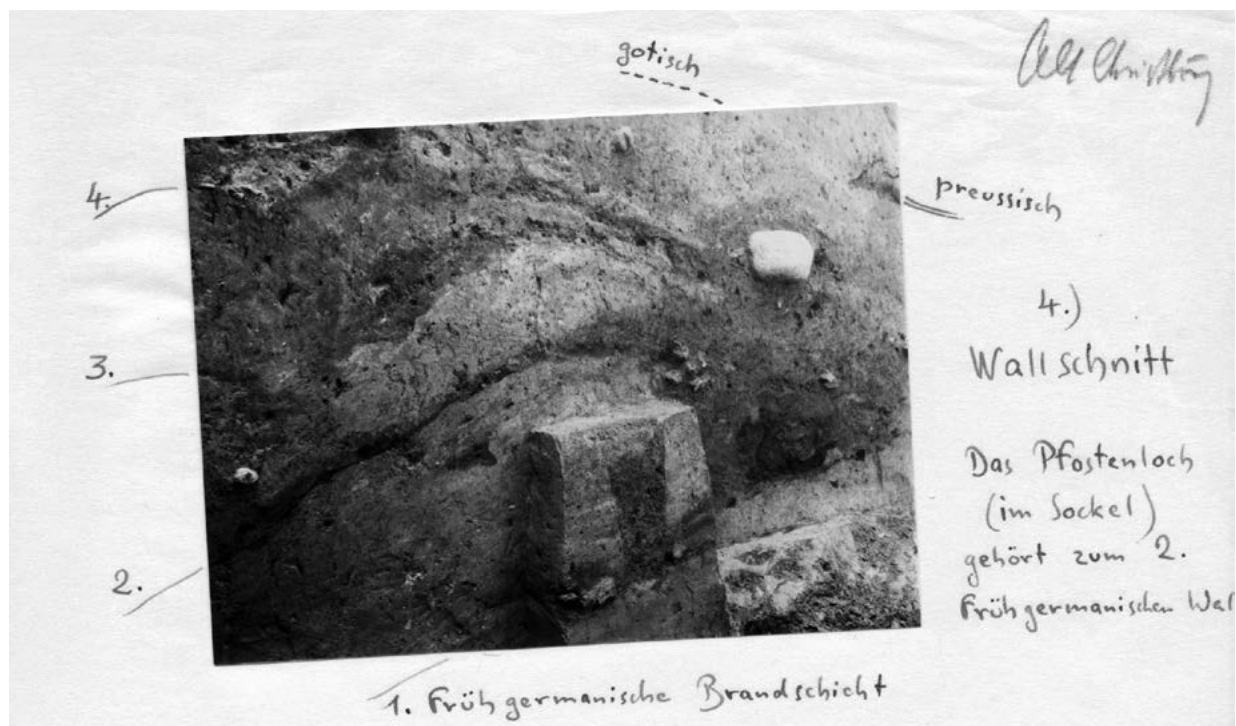
Fig. 26. Layout of the trenches implemented in 1935 and planned for 1936 (from: Archiwum Naukowe Działu Archeologii Muzeum Warmii i Mazur w Olsztynie)

znajdującej się w najwyższej partii wału głównego. Jak dowodzi Schleif, była to podpiwniczona konstrukcja pełniąca funkcję wieży, o rozmiarach 5,40 x 17,95 m, wykonana w technice muru pruskiego z cegieł o wymiarach 7,5 x 14 x 24 cm. Wyjątkowa jest także informacja, której nie znajdujemy w innych źródłach, o odkryciu w spalonych fundamentach budynku pary małych, połączonych ze sobą naczyń (wys. około 10 cm), które według Schleifa nie były najpewniej chronologicznie związane z budowlą. Schleif załączył także odrys znaleziska. Ponadto na przebadanym wówczas obszarze majdanu (4,66 m²) udało się pozyskać 190 fragmentów ceramiki oraz odkryć zarysy budynku (Szczepański 2018, s. 146–147).

Podczas prac rozpoczętych w 1935 r. skupiono się głównie na badaniu wałów: głównego – zewnętrznego oraz wewnętrznych. Pierwszy, jak się okazało w toku dalszych badań, miał metrykę sięgającą jeszcze wczesnej epoki żelaza. Po przecięciu wału głównego w latach 1935–1936 udało się określić sposób budowy, a także uchwycić warstwy demolacyjne. Schleif wskazał, że po kilku naprawach

(nawet 4 fazy) na wale głównym usypano nowy wał w okresie pruskim, choć stwierdzał też ślady z przejściowego okresu „gockiego”, czyli z okresu wpływów rzymskich (ryc. 27). Użytkowanie grodziska w tym czasie potwierdzały też nieliczne zabytki: zapinka (faza B₂/C₁–C₂) (chronologia za: Cieśliński 2010, s. 281–282, tabl. 36), umbo tarczy z imaczami, fragmenty ceramiki (ryc. 18, 28–29). Po zajęciu grodziska przez zakon krzyżacki wał główny został znacznie podniesiony i umocniony. Inaczej wyglądała chronologia wałów wewnętrznych, które – jak wykazały już wstępne badania z 1935 r., a potwierdziły analizy z lat kolejnych – zostały usypane w okresie krzyżackim i miały związek z pracami prowadzonymi w celu dostosowania grodziska do potrzeb mającego tu powstać przed 1242 r. zamku konwentualnego.

Schleif i inni badacze z Ahnenerbe, chcąc uniknąć zaangażowania się w udowadnianie truizmów i wykazywania uzasadnionych źródłowo chronologii grodziska, skupiali się głównie na odtworzeniu jego przeszłości z okresu „wczesnogermańskiego”, czyli na dostarczeniu dowodów użytkowania we wczesnej



Ryc. 27. Przekrój wału głównego z zaznaczonymi fazami użytkowania wg Hansa Schleifa (za: Rudolf Grenz Kartothek Alt-Christburg, Kr. Mohrungen, Nachlaß Carl Engel)

Fig. 27. Section through the main rampart with marked phases of usage according to Hans Schleif (from: Rudolf Grenz Kartothek Alt-Christburg, Kr. Mohrungen, Nachlaß Carl Engel)



Ryc. 28. Zabytki z okresu wpływów rzymskich odkryte na grodzisku w Starym Dzierzgoniu (za: Rudolf Grenz Kartothek Alt-Christburg, Kr. Mohrungen, Nachlaß Carl Engel)

Fig. 28. Relics of the Roman period discovered in the hillfort in Stary Dzierzgoń (from: Rudolf Grenz Kartothek Alt-Christburg, Kr. Mohrungen, Nachlaß Carl Engel)



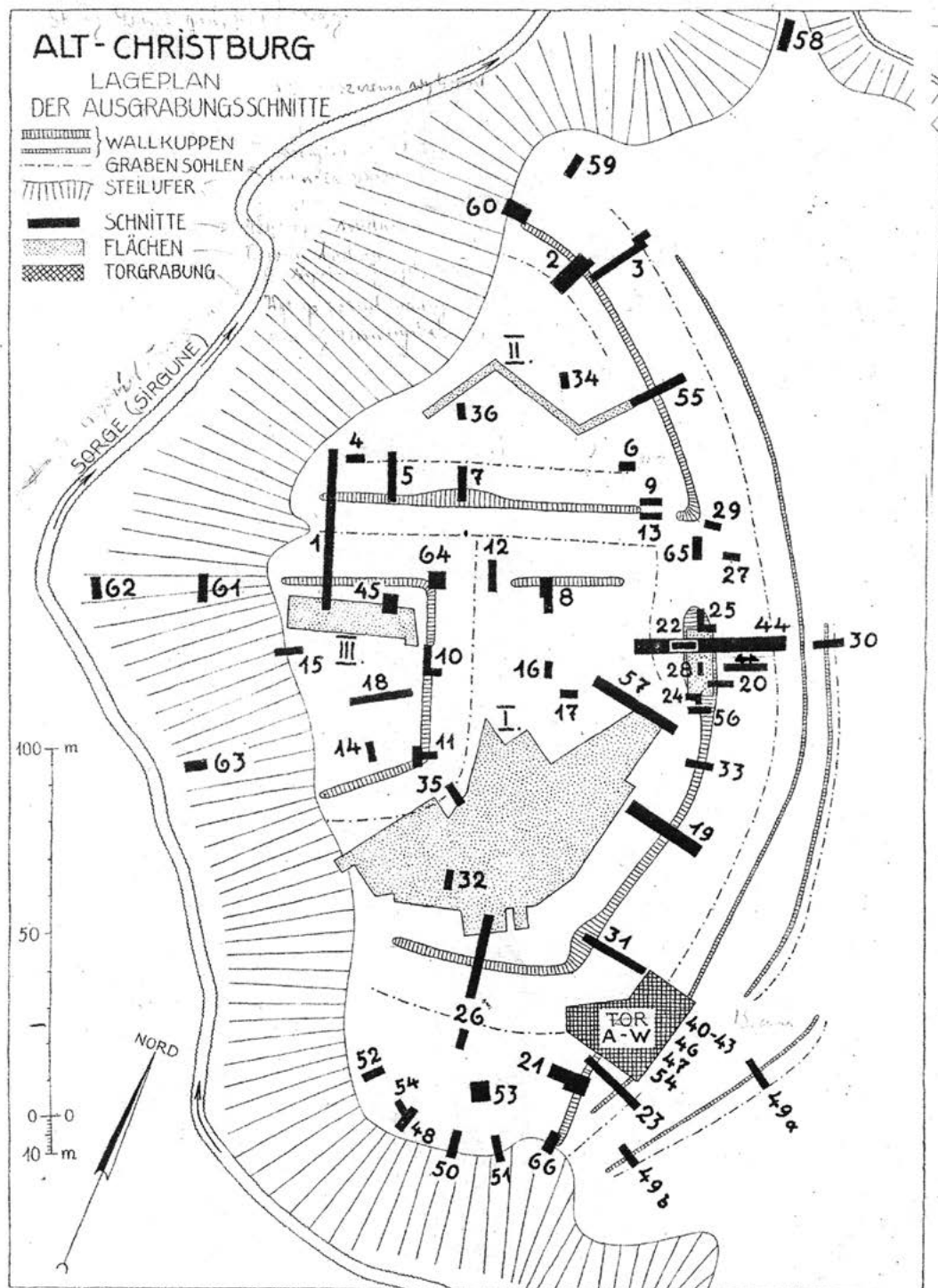
Ryc. 29. Umbo oraz imacze odkryte na grodzisku w Starym Dzierzgoniu (za: Rudolf Grenz Kartothek Alt-Christburg, Kr. Mohrungen, Nachlaß Carl Engel)

Fig. 29. Umbo and grips discovered in the hillfort in Stary Dzierzgoń (from: Rudolf Grenz Kartothek Alt-Christburg, Kr. Mohrungen, Nachlaß Carl Engel)

epoce żelaza. W tym kontekście na uwagę zasługiwał – w ocenie badaczy – skrajny południowy odcinek wału głównego. W swoim sprawozdaniu końcowym Schleif oceniał jego wartość następująco: „Profil 21 (badany w latach 1935 i 1937) był szczególnie ważny z uwagi na to, że: 1) Tylko ten krótki, skrajnie południowy odcinek starego wczesnogermańskiego wału zewnętrznego, bez podwyższenia z czasów staropruskich lub czasów krzyżackich, zachował do dziś starą przedpruską wysokość wałów. Odpowiadało to jego wyglądowi, zachowanemu w ciągu całego tysiąclecia, do czasu, aż nie został w większej części zbudowany na nowo przez Prusów. Nawet wówczas [po dokonaniu przez Prusów zmian w przebiegu wałów – przyp. S.S.] ten południowy odcinek wału używany był nadal jako wał przedgrodowy. 2) Odkryte zostały tu wyjątkowo dobrze zachowane pozostałości umocnień, które miały raczej formę parkanu niż wysokiego wału. Znajdował się w tym miejscu parkan [płat] tarcicowy wysokości ponad 1 metra, umocowany na szeroko rozstawionych słupach, z przodu zaś znajdował się niewielki wypłaszczony rów – sucha fosa, obsadzona niepewnie ciernistymi krzakami [oryg. *Dornestrüpp*]” (*SS-Ausgrabung Alt Christburg...*, s. c). W tym przypadku wyniki okazały się zadowalające. Wartością dodaną było odkrycie „niezliczonych wczesnogermańskich skorup i drobnych znalezisk”. Wpłynęło to na plany rozciągnięcia badań na

obszar całego majdanu w sezonach 1936–1937. Jak wynika przede wszystkim z załączonego do sprawozdania planu wykopów na lata 1935–1936, cały majdan główny miał zostać przebadany. Ostatecznie udało się zrealizować przedsięwzięcie połowicznie i „do calca” przebadano majdan główny jedynie w jego południowej części (por. ryc. 30).

Kompleksowym badaniom poddano także najwyższy punkt wału głównego (ryc. 31), gdzie stwierdzono obecność ceglanej wieży mieszkalno-obronnej. Bardzo ważne było także przebadanie – i to chyba głównie z uwagi na szczególne zainteresowanie Schleifa tego rodzaju założeniami – miejsca prawdopodobnej lokalizacji bramy głównej. Zadanie to realizowano w latach 1936 i 1937. Schleif podjął się nawet rysunkowej rekonstrukcji bramy. W jego spuściźnie zachowanej w Archiwum Działu Archeologii Muzeum Warmii i Mazur w Olsztynie znajdujemy dwie wersje tej rekonstrukcji. Jedna znalazła się w załączonej do sprawozdania dokumentacji fotograficznej (ryc. 21), druga to luźny rysunek (ryc. 32) (*Der Abschnittswall auf dem Schlossberg...*, s. 1–7). Obie nawiązują nieco do sporządzonego przez Schleifa rysunku (około 1935–1936 r.) i makiety (około 1936 r.) bramy grodowej w Erdenburgu (Langsdorff, Schleif 1936, przedruk w: Krüger (red.) 2007, s. 10; Langsdorff, Schleif 1938, przedruk w: Krüger (red.) 2007, s. 17).



Ryc. 30. Generalny plan wykopów z lat 1935–1937 (za: Archiwum Naukowe Działu Archeologii Muzeum Warmii i Mazur w Olsztynie)

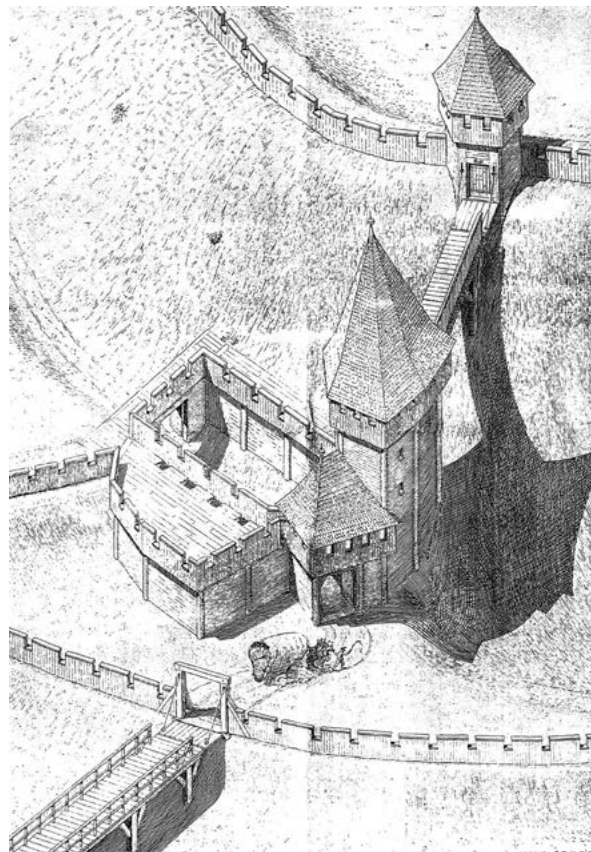
Fig. 30. The general layout of the trenches in 1935–1937 (from: Archiwum Naukowe Działu Archeologii Muzeum Warmii i Mazur w Olsztynie)



Ryc. 31. Przekop wału głównego wg stanu z 19.06.1937 r. (prywatne zbiory Edith Neukirch z domu Schleif)

Fig. 31. Crossing through the main rapart as it looked on 19.06.1937 (private collection of Edith Neukirch nee Schleif)

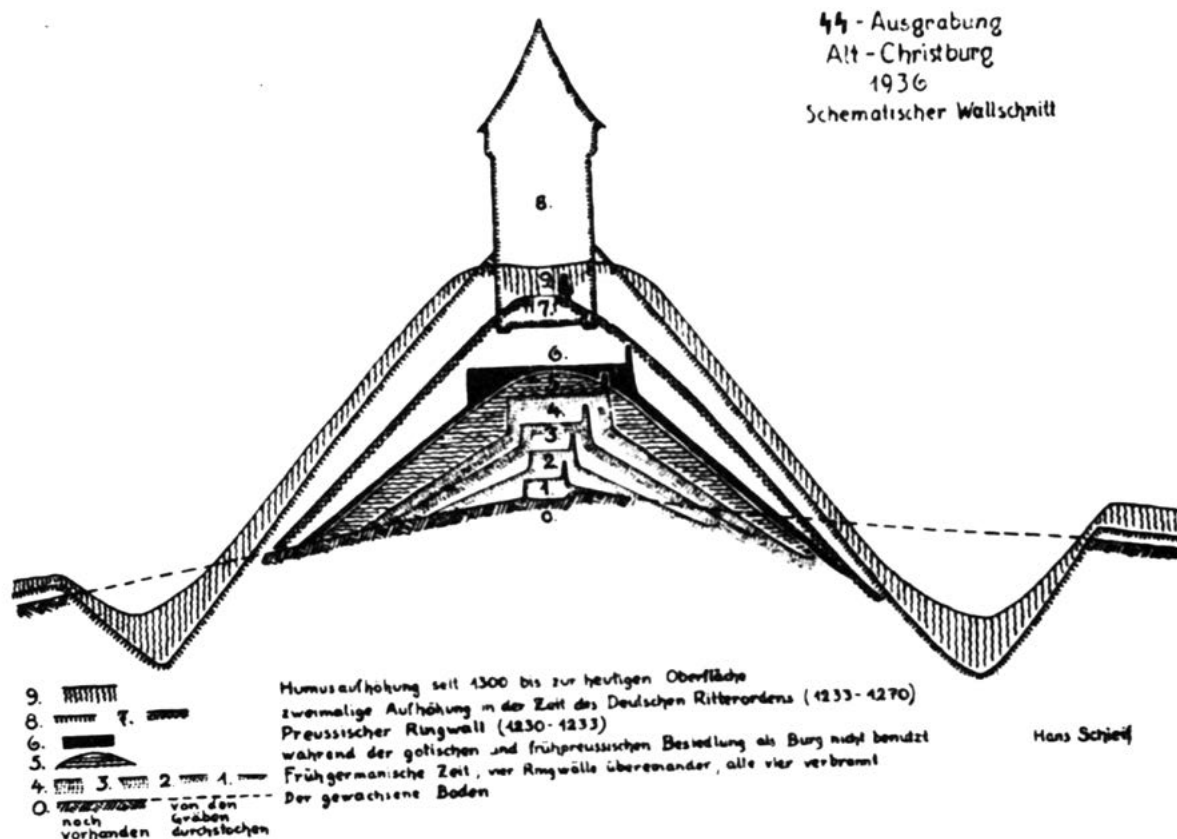
Jak wynika ze sprawozdania końcowego, rezultaty badań zaskoczyły archeologów. Schleif z wielkim entuzjazmem pisał: „Szczęśliwie udało się uzyskać dla trzech głównych okresów chronologicznych: wczesnogermańskiego, pruskiego i wczesnochrześcijańskiego, po raz pierwszy w Prusach Wschodnich, przejrzyste i charakterystyczne rozpoznanie założeń obronnych. To samo dotyczy jeszcze w większym stopniu, wczesnogermańskiej ceramiki osiedlowej [...]. Poza tym musimy podkreślić jednoznaczny kulturowo-polityczny wynik. Na Górze Zamkowej nie znaleziono ani jednego słowiańskiego fragmentu ceramiki” (*SS-Ausgrabung Alt Christburg...*, s. 3). Brak ceramiki słowiańskiej według Schleifa stanowczo przekreślał jakiegokolwiek historyczne podstawy roszczeń Polski do terenów Prus oraz Pomorza. Badacze za każdym razem podkreślali przy tym, że obszar ten od wieków był pod kulturowym i militarnym wpływem plemion germańskich, pozostając



Ryc. 32. Idealizowane przedstawienie bramy głównej w rekonstrukcji rysunkowej H. Schleifa (za: Archiwum Naukowe Działu Archeologii Muzeum Warmii i Mazur w Olsztynie)

Fig. 32. Idealized vision of the main gate in the drawn reconstruction of Hans Schleif (from: Archiwum Naukowe Działu Archeologii Muzeum Warmii i Mazur w Olsztynie)

„najwcześniejszym przedmurzem Germanów nad Wisłą”, którzy po trzech tysiącach lat „zaciętych walk granicznych z wdzierającymi się na powrót w poszukiwaniu siedlisk ludami bałtyjskimi” czasowo musieli ustąpić. Von Seefeld z nostalgią pisał na łamach „Germanen-Erbe”, jak dużą wartość dla Rzeszy Niemieckiej mają prowadzone przez nich badania: „Nic nie pokaże tak dokładnie jak gród, jak poszczególne ludy posuwają się naprzód i osiedlają [...]. Wschodnie plemiona wczesnogermańskie w pierwszym tysiącleciu przed Chrystusem były pierwszymi kolonistami i panami tego grodu. Goci następnie przejęli gród jako wielowiekową starogermańską siedzibę. Po pruskiej wędrówce i zajęciu przez nich grodu, w XIII w. przeszedł on w ręce zakonu krzyżackiego jako znak odzyskania germańskiego prawa do tej ziemi” (von Seefeld 1936, s. 282).



Ryc. 33. Fazy budowy wałów wg H. Schleifa (za: Rudolf Grenz Kartothek Alt-Christburg, Kr. Mohrungen, Nachlaß Carl Engel)
Fig. 33. Building phases of the ramparts according to Hans Schiefel (from: Rudolf Grenz Kartothek Alt-Christburg, Kr. Mohrungen, Nachlaß Carl Engel)

Schleif wypełnił zatem wzorowo zalecenia Himmlera. Po pierwsze odkrył ślady, które można było zinterpretować jako pozostawione przez Germanów, po drugie powiązał je z ciągłymi walkami granicznymi i ostatecznym, po bez mała tysiącu lat, powrotem do niemieckiej macierzy. Oddziałując na wyobraźnię czytających, malował przed nimi bohaterskich kolonizatorów sprzed prawie 2500 lat, broniących się przed agresywnymi Bałtami. Na podstawie odkrytych zabytków Schleif utkał sielski pejzaż z kulturalnymi Burgundami, Bastarnami i Gotami, którzy, zajmując pograniczny obszar, z czasem wiązali się z przybywającymi na te tereny Prusami. Ci ostatecznie zostali podporządkowani niemieckiemu zakonowi. Wówczas, jak konstatawał von Seefeld w cytowanym wyżej artykule, „jego historia [tj. grodziska w Starym Dzierzgoniu] zakończyła się wraz z kształtowaniem się tych ziem w granicach państwa niemieckiego”.

W trakcie swoich badań Schleif starał się nawiązywać kontakty nie tylko z ludnością z warstw

niższych, ale także z miejscową arystokracją. Szczególną rolę odgrywał tu Alexander zu Dohna-Schlöbitten. Ten zaangażowany w działalność NSDAP arystokrata, jak już zostało wspomniane, nie tylko zainicjował badania w Starym Dzierzgoniu, ale także zaproponował krótkie badania na grodzisku w Starym Mieście. Przeprowadzono je w dniach 18–28 maja 1936 r. Na podstawie przeprowadzonych wykopalisk udało się odtworzyć głównie konstrukcję wału (ryc. 33). Grodzisko najpewniej uległo zniszczeniu bezpośrednio po przegranej przez Prusów bitwie nad rzeką Dzierzgoń i zostało zdobyte przez Krzyżaków. O zniszczeniach wału, jak dowiódł Schleif, świadczyły spalone belki. Nie udało się stwierdzić obecności obronnej bramy grodowej. Badacze wysunuli zatem wniosek, że „przy tak małych grodziskach” wejście stanowiła mała furtka na jednym ze zboczy. Nie udało się także udowodnić wcześniejszego osadnictwa na obszarze grodziska, stąd też w latach późniejszych nie prowadzono z ramienia SS żadnych wykopalisk w tym miejscu. Schleif sporządził jednak kilka do-

kładnych rysunków, pokusił się nawet o hipotetyczne odtworzenie wyglądu grodu jako obiektu typowo refugialnego. Schleif zapoznał się z zachowanymi w pałacu Dohnów w Prakwicach zabytkami, które przypadkowo pozyskał dziadek Alexandra zu Dohna podczas prac wykonanych na jego zlecenie na grodzisku w Starym Dzierzgoniu.

Zakończenie

Wykopaliska w Starym Dzierzgoniu stanowiły, jak wspomniano, jedno z pierwszych, a tym samym kluczowych przedsięwzięć Wydziału Wykopalisk SS – „Ahnenerbe”. Z uwagi na to, że wyniki przeprowadzonych badań okazały się niezwykle wartościowe dla propagandy nazistowskiej w kontekście walki o przestrzeń życiową, uruchomiono w czasie ich trwania wszelkie dostępne w owym czasie narzędzia promocyjne, a także – co ważne z metodologicznego punktu widzenia – zaangażowano wszelkiego rodzaju nowoczesne techniki dokumentacji. Nie żałowano, jak się wydaje, także nakładów finansowych na kolejne sezony badawcze. Pozyskiwanie do pracy młodych, niewykształconych ludzi, organizowanie wycieczek szkolnych, manifestacyjne odwiedzanie stanowisk przez nazistowskich prominentów, udostępnianie wyników w postaci artykułów oraz wystaw – wszystko to wpisywało się w kanon pracy „Ahnenerbe” nad stworzeniem nowego Niemca, który łatwiej pójdzie w bój, mając świadomość, że walczy niczym dawny Germanin o swoją ziemię. Inaczej przedstawiały się wyniki prac sondażowych na grodzisku w Starym Mieście. Tu, z uwagi na fakt, że nie natrafiono na ślady bytności „Pragermanów”, nie podejmowano dalszych prac wykopaliskowych.

Niewątpliwą korzyść z prac w Starym Dzierzgoniu i Starym Mieście odnieśli prowadzący je Hans Schleif, Johann Löhausen i Wolf von Seefeld. Po doświadczeniach wyniesionych z Prus Wschodnich Schleif został po wybuchu II wojny światowej odelegowany do pracy na stanowisku w Biskupinie, gdzie pomagał mu Löhausen. Jednakże to Prusy stanowić miały dla niego obiekt istotnych zainteresowań archeologicznych. Trzeci członek zespołu pracującego w Starym Dzierzgoniu i Starym Mieście, von Seefeld, wcześniej młody adept prehistorii, po 1937 r. również zaczął robić karierę naukową w nazistowskich Niemczech. Jak pokazują wyżej przedstawione przykłady, kariera ta możliwa była głównie dzięki lojalnemu zaangażowaniu w pracę lub co najmniej współpracę z kierowanym przez Himmlera Stowarzyszeniem „Ahnenerbe”.

Bibliografia

Źródła archiwalne

ARCHIV DES SCHLESWIG-HOLSTEINISCHE LANDESMUSEEN SCHLOSS GOTTORF IN SCHLESWIG

– Rudolf Grenz Kartothek Alt-Christburg, Kr. Mohrungen, Nachlaß Carl Engel.

– Rudolf Grenz Kartothek Altstadt, Kr. Mohrungen, Nachlaß Carl Engel.

ARCHIWUM MUZEUM ARCHEOLOGICZNEGO W GDAŃSKU

– Teczka Stary Dzierzgoń (Alt Christburg) , MAG 46n/20.

ARCHIWUM MUZEUM W KWIDZYNIE

– Archiwum Waldemara Heyma, teczka 20.

ARCHIWUM NAUKOWE DZIAŁU ARCHEOLOGII MUZEUM WARMII I MAZUR W OLSZTYNIE

– *SS-Ausgrabung Alt Christburg 1935–1937, Vorläufiger Schlussbericht*, Kartoteka Hansa Schleifa – Stary Dzierzgoń.

– *Der Abschnittswall auf dem Schlossberg bei Alt-Christburg. Vorbericht über die Torgrabung und die Untersuchung der Vorburg im Südteil der Anlage*, Kartoteka Hansa Schleifa – Stary Dzierzgoń 1936.

– *Frühordenszeitlicher Töpfern auf dem Schlossberg bei Alt-Christburg*, Kartoteka Hansa Schleifa, Stary Dzierzgoń 1937.

BUNDESARCHIV KOBLENZ

– BA Koblenz, Das Ahnenerbe, NS 21/vor. 74, k. 1.

– BA Koblenz, Das Ahnenerbe, NS 21/vor. 64, k. 1–6

DEUTSCHE ARCHÄOLOGISCHE INSTITUT

– DAI, Archiv der Zentrale, Nachlass Johann Löhausen

– DAI, AdZ Nachlass Hans Schleif, karton 1.

STAATLICHE MUSEEN ZU BERLIN – PREUßISCHER KULTURBESITZ. MUSEUM FÜR VOR- UND FRÜHGESCHICHTE

– Guise-Zettel, Grundriss und Ansicht von Altchristburg, Bild: 1410, PM-IXh 00048a.

– Prussia-Archiv, PM-A 030/1: Altchristburg (Dorf), k. 324–327, 341–347.

PRIVATE SAMMLUNG VON EDITH NEUKIRCH, GEBORNE SCHLEIF

Źródła drukowane

DOHNA-SCHLOBITTEN A. ZU

2000 *Erinnerungen eines altes Ostpreußen*, Berlin. LANGSDORFF A.

1935 *Auf den Spuren unserer Ahnen. Die Erdenburg bei Köln, eine germanische Wallburg*, „Das Schwarze Korps“, 19 (18.06.1935), s. 8.

- 1937 *Eine Ausgrabung des Reichsführers-SS in Ostpreussen*, „Geistige Arbeit“, H. 4/12 (20.06.1937), s. 11.
- LANGSDORF A., SCHLEIF H.
1937 *Ausgrabungen auf dem „Schlossberg“ von Alt-Christburg*, „Nachrichtenblatt für Deutsche Vorzeit“, 13/4, s. 80–82.
- 1938 *Die Ausgrabungen der Schutzstaffeln*, „Germanien“, 12, s. 391–399; 38/1, s. 6–11.
- SCHLEIF H.
1936 *Lebende Vergangenheit. Ein film der SS*, „Das Schwarze Korps“, 47 (19.11.1936), s. 3.
- 1936 *SS und RAD – graben eine Burg aus*, „Der Arbeitsmann“, H. 47 (21.11.1936), s. 10.
- SEEFELD W. VON
1937 *SS-Grabung auf dem Schlossberg bei Alt Christburg*, Germanen-Erbe, 2/9–10, s. 277–282.
- SITZUNGSBERICHTE
1889 *Sitzungsberichte der Altertumsgesellschaft Prussia*, H. XV, s. 16.
- VORGESCHICHTLER
2006 *Vorgeschichtler-Dossiers*, bearb. von G. Simon, Tübingen.
- Literatura**
- ARNOLD B.
1990 *The past as propaganda: totalitarian archaeology in Nazi Germany*, „Antiquity“, vol. 64, (244), s. 464–478.
- AXIS HISTORY
2010 <https://forum.axishistory.com/search.php?keywords=Langsdorff&t=42959&sf=msgonly/> (dostęp: 22.10.2018)
- BEEVOR A.
2010 *Berlin 1945*, Warszawa.
- BUTTNER E.
2014 *Werner Buttler (1907–1940). Ein Lebensbild in Briefen und Dokumenten*, Bonn.
- CIEŚLIŃSKI A.
2010 *Kulturelle Veränderungen und Besiedlungsabläufe im Gebiet der Wielbark-Kultur an Łyna, Pasłęka und oberer Drwęca*, Berlin.
- CRAWFORD S., ULMSCHNEIDER K.
2010 *Life between the nations – the wartime correspondence of German Refugee archaeologist Paul Jacobsthal*, *British Archaeology*, vol. 115, s. 30–33.
- FERENC T.
1980 *Quellen zur nationalsozialistischen Entnationalisierungspolitik in Slowenien, 1941–1945: Viri O Nacistični Raznarodovalni Politiki v Sloveniji, 1941–1945*, Maribor.
- „GERMANEN-ERBE“
Jg.2, H.11, November 1937, s. 328.
- HEINEMANN I.
2014 *Rasa, ziemia, niemiecka krew. Główny Urząd Rasy i Osadnictwa SS i nowy porządek Europy*, Gdańsk.
- HERRMANN K.
1988 *Hans Schleif*, [w:] *Archäologenbildnisse. Porträts und Kurzbiographien von Klassischen Archäologen deutscher Sprache*, red. R. Lullies, W. Schiering, Mainz.
- HOFFMANN M.J.
2005 *„Ceramika osadnicza z młodszej epoki brązu i wczesnej epoki żelaza w Prusach Wschodnich (łącznie z dawnym okręgiem rejencyjnym Prusy Zachodnie)“ – w badaniach Hansa Schleifa*, „Echa Przeszłości”, t. VI, Olsztyn, s. 141–157.
- 2011 *Nazi Ideology in the Archaeology of East Prussia*, „Echa Przeszłości”, t. XII, Olsztyn, s. 165–172.
- HUFEN CH.
1998 *Gotenforschung und Denkmalpflege: Herbert Jankuhn und die Kommandounternehmen des „Ahnenerbe“ der SS*, [w:] „Betr. Sicherstellung“ NS- Kunstraub in der Sowjetunion, hrsg. W. Eichwede, U. Hartung, Bremen, s. 75–95.
- KACZMAREK J.
2003 *Megalomania i ekspansjonizm. Ze stosunków polsko-niemieckich w dziedzinie archeologii w Wielkopolsce*, <http://www.area-archives.org/general.html> (dostęp: 22.10.2018)
- KATER M.H.
2006 *Das „Ahnenerbe“ der SS 1935–1945. Ein Beitrag zur Kulturpolitik des Dritten Reiches*, München.
- KLEE E.
2005 *Das Personenlexikon zum Dritten Reich. Wer war was vor und nach 1945*, Frankfurt am Main.
- KLEIN J.
2016 *Hans Schleif – Stationen der Biographie eines Bauforschers im Nationalsozialismus. Ergebnisse der Recherche zu der Theaterproduktion „Hans Schleif“ am Deutschen Theater Berlin*, „Jahrbuch des Deutschen Archäologischen Instituts”, H. 131, s. 273–418.
- KOOP V.
2012 *Himmlers Germanenwahn. Die SS-Organisation Ahnenerbe und ihre Verbrechen*, Berlin–Brandenburg.

- KOSTRZEWSKI J.
1945 *Przyczynki do poznania „kultury” niemieckiej XX wieku*, „Życie Literackie”, R. I, t. 1, Poznań, s. 14–15.
- KOZŁOWSKI S.K.
2012 *Archeologiczne królestwo Wernera Radiga w Generalnym Gubernatorstwie*, Kraków.
- LEUBE A.
2011 *Wolf von Seefeld – ein Menschenschicksal in nationalsozialistischer Zeit der Jahre 1936–1945*, [w:] *Terra Barbarica. Studia ofiarowane Magdalenie Mączyńskiej w 65. rocznicę urodzin*, red. A. Urbaniak, R. Prochowicz, I. Jakubczyk, M. Levada, J. Schuster, Łódź – Warszawa, s. 79–86.
- LÍNDAL T.V.
2009 *Dánarminning – Úlfur Friðriksson* (*19.06.1912–†19.09.2009): <http://mbl.is/greinasafn/grein/1308362> (dostęp: 22.10.2018)
- LIXFELD G.
1994 *Das „Ahnenerbe” Heinrich Himmlers und die ideologisch-politische Funktion seiner Volkskunde*, w: *Völkische Wissenschaft: Gestalten und Tendenzen der deutschen und österreichischen Volkskunde in der ersten Hälfte de 20. Jahrhunderts*, hrsg. von W. Jacobeit, H. Lixfeld, O. Bockhorn, Vienna, s. 217–255.
- ŁUCZAK A.
2011 *Utracone decorum. Grabież dóbr kultury z majątków ziemiaństwa polskiego w Wielkopolsce w czasie okupacji niemieckiej w latach 1939–1945*, Warszawa–Poznań.
- MEES B.
2000 *Völkische Altnordistik: The Politics of Nordic Studies in the German-Speaking Countries 1926–45*, [w:] *Old Norse myths, literature and society*, ed. G. Barnes, M.C. Ross, Melbourne, s. 316–326.
2008 *The Science of the Swastica*, Budapest–New York.
- PAOLI A.
2007 *I piani di protezione: la loro escuzione*, [w:] *Le biblioteche e gli archivi durante la seconda guerra mondiale Il caso italiano*, a cura di A. Capaccioni, A. Paoli, R. Ranieri, Bologna.
- PESDITSCHKEK M.
2010 *Vien war Anders – Das Fach Alte Geschichte und Altertumskunde*, w: *Geisteswissenschaften in Nationalsozialismus. Das Beispiel der Universität Wien*, hrsg. M.G. Ash, W. Nieß, R. Pils, Vienna, s. 167–198.
- DER REICHSARBEITSDIENST
[1937] *Der Reichsarbeitsdienst*, „Heimatkalender des Kreises Rosenberg” 1938, bearb. Dr Pretzke, Riesenburg, s. 49.
- REITZENSTEIN J.
2018 *Das Ahnenerbe und die „Strassburger Schädelammlung“ – Fritz Bauers letzter Fall*, Berlin.
- RIEK G.
1962 *Der Hohmichele: Ein Fürstengrabhügel der späten Hallstattzeit bei der Heuneburg*, Berlin.
- SERWAŃSKI E.
1970 *Wielkopolska w cieniu swastyki*, Warszawa.
- STEUER H.
2004 *Herbert Jankuhn – SS- Karriere und Ur- und Frühgeschichte*, w: *Nationalsozialismus in den Kulturwissenschaften*, Bd. 1: *Fächer – Milieus – Karrieren*, hrsg. H. Lechmann, O.G. Oexle, Göttingen, s. 447–530.
- STÜRMER V.
2002 *Hans Schleif. Eine Karriere zwischen Archäologischem Institut und Ahnenerbe e.V.*, [w:] *Prähistorie und Nationalsozialismus. Die mittel- und osteuropäische Ur- und Frühgeschichtsforschung in den Jahren 1933–1945*, hrsg. A. Leube, Heidelberg, s. 429–449.
- SZCZEPAŃSKI S.
2009a *Archaeology in the Service of the Nazis: Himmler’s Propaganda and the Excavations at the Hillfort Site in Stary Dzierzgoń (Alt Christburg)*, „Lietuvos Archeologija”, t. 35, s. 83–94
2009b *Hans Schleif (1902–1945) i jego badania nad germańską przeszłością Prus Wschodnich*, „Szkice Humanistyczne”, t. IX, nr 1, s. 51–62.
2014 *Archeologia w służbie nazistów – czyli rzecz o działalności „Wydziału Wykopalisk” SS–Ahnenerbe na stanowiskach w Starym Dzierzgoniu i Starym Mieście (1935–1937)*, w: *Z dziejów badań archeologicznych na Pomorzu Wschodnim*, red. H. Paner, Gdańsk, s. 201–224.
2018 *Listy Hansa Schleifa i Wolfa von Seefeldta w sprawie działalności Wydziału Wykopalisk SS–Ahnenerbe w Starym Dzierzgoniu i Starym Mieście (w latach 1935–1937)*, [w:] *Materiały do archeologii Warmii i Mazur*, t. 2, red. S. Wadył, M. Karczewski, M. Hoffmann, Warszawa–Białystok–Olsztyn, s. 139–151.
- TIL ÍSLANDS...
2008 *Til Íslands fyrir tilviljun*, Hrafnistu bréfið, 1–35 (maj), s. 6–8.

TÖPPEN M.

1876 *Ueber einige Alterthümer aus der Zeit des Heidenthums in der Nachbarschaft von Marienwerder, „Altpreussische Montsschrift“, Bd. XIII, s. 129–153.*

VOIGT J.

1828 *Geschichte Preussens, von den ältesten Zeiten bis zum Untergange der Herrschaft des Deutschen Ordens, Bd. 2, Königsberg, s. 250.*

YERGER M.C.

2002 *German Cross in Silver Holders of the SS and Police, San Jose.*

Investigations and investigators of the stronghold in Stary Dzierzgoń (Alt-Christburg)

SUMMARY

The settlement in Stary Dzierzgoń (formerly Alt-Christburg), known from the medieval Chronicle of Peter of Dusburg as a *castrum Pomesanorum*, appears in the documents in 1312 describing the boundaries of the villages of Stare Miasto (Altstadt) and Stary Dzierzgoń (Alt-Christburg). At that time, the stronghold did not fulfil any military role. Specified as “alde burgwal”, “burgwal” it only served as a topographic landmark. In the 16th century, the chronicles of Simon Grunau and Lucas David refer to the name *Crewosa* in relation to the stronghold. Scientific interest in the stronghold stretches back to the 19th century. Then, in 1827, the stronghold was described and sketched by Lieutenant Johann Michael Guise. In 1874 and 1876 the settlement was described by the scientists from Königsberg, Johannes Wilhelm Heydeck and Max Toeppen. In 1909, Christian Krollmann conducted some brief research on the stronghold. In 1932 Carl Engel carried out its inventory.

The first confirmed excavations were made by Count Richard zu Dohna-Schlobitten (1843–1916). This enthusiast of prehistory was also the owner of the palace and land estates in Prakwice (Pröklewitz). His grandson, Prince Alexander zu Dohna Schlobitten, persuaded Heinrich Himmler to carry out a comprehensive archaeological excavation at the stronghold in Stary Dzierzgoń. Excavations carried out by SS-Ahnenerbe began in 1935 and lasted until 1937. In their role as propaganda, they were to prove the territorial right of Germans – descendants of ancient Germans and Teutonic Knights – to occupy Prussia, Pomerania and to expand further eastward. Despite their explicitly propaganda function, the excavations showed that the stronghold was used from the early Iron Age to the first half of the 13th century. Traces of settlement from the period of Roman influence were also discovered. The head of the expedition was Hans Schleif and his deputy Baron Wolf von Seefeld. Johann Löhausen also participated in the excavations – they were all members of the SS. Alexander Langsdorff was responsible for the academic and propaganda aspects of the SS. Excavations in Stary Dzierzgoń were to be an example of how the Third Reich should use archaeology for its own purposes. To this day, full reports of the excavations have been preserved not only in the specialist press and Nazi periodicals, but also in unpublished reports in the German archives: Archiv des Schleswig-Holsteinische Landesmuseen Schloss Gottorf in Schleswig, Deutsche Archäologische Institut, Staatliche Museen zu Berlin – Preußischer Kulturbesitz. Museum für Vor- und Frühgeschichte. Many documents are also found in Polish archives: Archiwum Muzeum Archeologicznego in Gdańsk, Archiwum Naukowe Działu Archeologii Muzeum Warmii i Mazur in Olsztyn.

DANIEL GAZDA
Fundacja Ureusz

Badania archeologiczne obiektów warownych w Starym Dzierzgoniu w latach 1935–2018

GÓRA ZAMKOWA – ST. 1, STARY DZIERZGÓŃ

W tekście Seweryna Szczepańskiego zamieszczonym powyżej została przedstawiona m.in. skrócona charakterystyka badań archeologicznych z lat 1935–1937 w kontekście historycznym. Dlatego część mojego tekstu będzie się pokrywać z informacjami zawartymi w tym opracowaniu. Latem 1933 r. do Kamieńca (*Finckenstein*), z wizytą do lokalnych arystokratów przybył nowo wybrany kanclerz Niemiec Adolf Hitler. Towarzyszył mu m.in. Heinrich Himmler, zapalony miłośnik starożytności germańskich. Wówczas to ówczesny właściciel dóbr w Słobitach baron Alexander zu Dohna-Schlobitten pokazał Himmlerowi obiekt warowny na Górze Zamkowej, ten zaś obiecał, że zostaną na nim przeprowadzone prace archeologiczne. Jak informuje w swoich pamiętnikach baron zu Dohna, pierwsze badania sondażowe, prawdopodobnie o charakterze wstępnego rozeznania stanowiska, miały miejsce wiosną 1935 r. i nie przyniosły według niego oszałamiających rezultatów (Dohna 2000, s. 174). Dopiero jesienią tego samego roku rozpoczęły się szerokopłaszczyznowe badania archeologiczne o imponującym zakresie, prowadzone przez specjalną jednostkę SS – „Ahnenerbe”. Postęp prac oceniał sam szef „Ahnenerbe” Hans Himmler podczas wizytacji stanowiska. Do prac polowych wykorzystano jednostkę Reichsarbeitsdienst (Służby Pracy Rzeszy) w liczbie 40–45 ludzi dziennie (Von Seefeld 1937, s. 1; Schleif 1938a). Badania prowadzone z ramienia nazistowskiej organizacji „Ahnenerbe” trwały na pewno do 1937 r. Niewykluczone, że nieco dłużej, czyli jeszcze w roku 1938. Rozpropagowano je na szeroką skalę, dostosowując ich wyniki do potrzeb nazistowskiej propagandy, która na niespotykaną do tej pory skalę wykorzystywała archeologię do celów politycznych. Tymi badaniami kierował SS- Untersturmführer Hans Schleif¹, a asystowali mu baron Wolf von Seefeld

i prof. dr Aleksander Langsdorf oraz SS-Unterscharführer Johann Lohausen (Szczepański 2009a, s. 56). Przy wyborze wszystkich członków zespołu badawczego kierowano się kluczem partyjnym, a umiejętności naukowe schodziły na dalszy plan, ponieważ głównym celem prac było udowodnienie pierwotnej germańskości badanych ziem.

Źródła

Część materiału źródłowego z tych badań zachowała się do naszych czasów w tzw. Kartotece Schleifa znajdującej się w Archiwum Naukowym Działu Archeologii Muzeum Warmii i Mazur w Olsztynie. W trzech teczkach zgromadzono rysunki, kopie zdjęć, plany, opisy samych prac wykopaliskowych oraz ich wyników, listy prywatne. Kolejnymi miejscami, gdzie znajdują się materiały z tych wykopalisk, są Archiwum MAG w Gdańsku oraz Staatliche Museen zu Berlin W niniejszej prezentacji prac wykopaliskowych analizie zostały poddane: trzy maszynopisy tekstów, jeden artykuł, dwa listy, ponad 60 planów wykopów oraz kilka zdjęć z wykopalisk i wystawy poświęconej pracom z lat 1935–1937.

Teksty, listy, artykuł:

Hans Schleif, Ausgrabung 1935–1937 Alt-Christburg Vorläufiger Schlusebericht, w: kartoteka Schleifa – Stary Dzierzgoń, maszynopis nr 6, Archiwum Działu Archeologii Muzeum Warmii i Mazur w Olsztynie;

Hans Schleif, Frühordenszeitlicher Topferofen auf dem Schloseberg bei Alt-Christburg, w: kartoteka Schleifa – Stary Dzierzgoń, maszynopis nr 5, Archiwum Działu Archeologii Muzeum Warmii i Mazur w Olsztynie;

Hans Schleif, Der Abschnittswall auf dem Schlosberg bei Alt-Christburg, w: kartoteka Schleifa – Stary Dzierzgoń, maszynopis nr 4, Archiwum

1. Od 1937 r. SS-Obersturmführer (Szczepański 2009a, s. 54).

Działu Archeologii Muzeum Warmii i Mazur w Olsztynie;

Wolf von Seefeld, SS Grabung auf dem Schlosberg Alt-Christburg, w: „Germanen- Erbe”, Bd 2, H. 9/10, Jg. 1937;

List Hansa Schleifa do Waldemara Heyma, 27 X 1935, w: MAG, Stary Dzierzgoń, sygn. 46n/203;

List Wolfa von Seefeld do Carla Engla, 5 X 1937, w: Rudolf Grenz Kartothek – Alt Chrisburg, Kr Mohrunen.

Trzeba nadmienić, że dwie ostatnie z wymienionych pozycji omówił ostatnio Seweryn Szczepański w swoim artykule zamieszczonym w *Materialach do Archeologii Warmii i Mazur*, t. 2, Warszawa–Białystok–Olsztyn 2018, s. 139–152.

Plany:

1. Piec garncarski (ryc. 42)
 - a. rzut poziomy
 - b. przekrój podłużny
 - c. przekrój poprzeczny z rekonstrukcją komory wypalania
 - d. rzut poziomy konstrukcji ściany komory wypalania
 - e. rzut poziomy fragmentu rusztu z zachowanym *in situ* elementem
2. Rekonstrukcja wyglądu głównej bramy z okresu krzyżackiego autorstwa Hansa Schleifa (ryc. 18)
3. Rekonstrukcja wałów na podstawie wykopów 1, 5, 7 (ryc. 6)
4. Rekonstrukcja faz budowlanych i wyglądu wału na podstawie wykopów 2, 3 (ryc. 7)
5. Wykop 2 – profil płd. (ryc. 8)
- 6a. Wykop 2 – rzut poziomy z zaznaczeniem dołów postłupowych (ryc. 9)
- 6b. Wykop 2 – rekonstrukcja muru – warstwy 3, 4 (ryc. 9)
7. Wykop 3 – profil płd. (ryc. 8a)
8. Wykop 3, rekonstrukcja wałów (ryc. 7)
9. Rekonstrukcja czterech wałów z okresu – według Schleifa – wczesnogermańskiego (okres wczesnożelazny)
10. Wykop 8 – rzut poziomy (ryc. 10)
11. Wykop 8 – profil wsch. (ryc. 10)
12. Wykop 9 – profil płd. (ryc. 11)
13. Wykopy 21, 23 – rekonstrukcja faz budowlanych wałów (ryc. 12)
14. Wykopy 21, 23 – profil płd. (ryc. 13)
15. Wykopy 21, 23 – rzut poziomy (ryc. 13)
 - a. stan zachowania i rekonstrukcje poziome wałów

b. stan zachowania i rekonstrukcje poziomu wału

c. cztery rekonstrukcje pionowe wału

16. Wykop 26 – profil zach. (ryc. 14)
 17. Wykop 26 – rekonstrukcja wału (ryc. 15)
 18. Wykop 31 – profil płn. (ryc. 37)
 19. Wykop 35 – profil płn. (ryc. 17)
 20. Wykop 48 – profil zach. (ryc. 38)
 21. Wykop 49a – profil płd. (ryc. 39)
 22. Wykop 49b – profil płn. (ryc. 39)
 23. Wykop 50 – profil zach.
 24. Wykop 54 – profil płn. (ryc. 40)
 25. Wykop 54 – profil wsch. (ryc. 40)
 26. Wykop 54 – profil zach. (ryc. 40)
 27. Wykop 54 – rzut poziomy (ryc. 40)
 28. Wykop 55 – profil płd. (ryc. 36)
 29. Wykop 55 – rzut poziomy (ryc. 36)
 30. Wykop 55 – przekrój na osi płn.–płd. (ryc. 36)
 31. Wykop 56 – profil płn. (ryc. 41)
 32. Rejon I (majdan główny) – rzut poziomy (ryc. 16)
 33. Wykop 44 – profil płd. (ryc. 29)
 34. Wykop 44 – profil płn. (ryc. 30, 32)
 35. Wykop 44 – rekonstrukcja wałów 4–8 (ryc. 31)
 37. Odręczny rysunek rozmieszczenia wykopów 1935/1936 (ryc. 3)
 38. Plan wykopów – von Seefeld (ryc. 4)
 39. Rysunek – chronologia wału głównego (ryc. 35)
 - 39a. Rysunek – rekonstrukcja wieży i wału pruskiego na podstawie wykopu 44 (ryc., 34)
- REJON BRAMY WJAZDOWEJ
40. Rzut poziomy wykopów A–W (ryc. 19)
 41. Wykop A – profil wsch.
 42. Wykop A – profil zach.
 43. Wykop A – rzut poziomy
 44. Wykop B – rzut poziomy (ryc. 28)
 45. Wykop B – profil płn. (ryc. 28)
 46. Wykop C – profil płn. (ryc. 26)
 47. Wykop D – profil płd. (ryc. 22)
 48. Wykop E – profil płd. (ryc. 22)
 49. Wykop F – profil płd. (ryc. 21)
 50. Wykop F – rzut poziomy (ryc. 21)
 51. Wykop G – profil wsch. (ryc. 25)
 52. Wykop G – profil zach. (ryc. 25)
 53. Wykop H – profil płd.
 54. Wykop K – profil płd. (ryc. 20)
 55. Wykop L – profil płn. (ryc. 21)
 56. Wykop M – profil zach.
 57. Wykop N – profil płn. (ryc. 22)
 58. Wykop N – profil płd. (ryc. 24)
 59. Wykop P – profil płn. (ryc. 24)
 60. Wykop R – profil płn. (ryc. 24)

61. Wykop T – profil płn. (ryc. 24)
62. Wykop S2 – profil wsch. (ryc. 23)
63. Wykop W – profil wsch., płn., płd. (ryc. 27)
64. Wykop W – rzut poziomy (ryc. 27)
65. Plan ogólny obiektu z numeracją najważniejszych elementów terenowych i architektonicznych (ryc. 1)
66. Plan B rozmieszczenia wykopów (ryc. 5)
67. Plan Grodziska w Starym Dzierzgoniu (ryc. 2)

Niestety, ze względu na ograniczone rozmiary niżejszej pozycji, publikuję tylko najważniejsze rysunki archiwalne badaczy niemieckich.

Wykopy archeologiczne

Badacze niemieccy rozpoczęli prace od narysowania planów obiektu, temat ujmując dwoma rodzajami planów przedstawionych na rycinach 1 i 2. Następnie przystąpiono do konkretnych badań archeologicznych. W przeciągu trzech sezonów wykopaliskowych archeolodzy niemieccy wykonali 66 wykopów oraz przeprowadzili w tzw. trzech rejonach (I–III) badania szerokopłaszczyznowe, pokrywając nimi około 1/3 powierzchni grodziska. Rejony te były z kolei podzielone na działki. Ponadto można wydzielić dwa dodatkowe obszary, gdzie przeprowadzono, po uprzedniej analizie wcześniejszych wykopów numerycznych, szerokopłaszczyznowe wykopaliska. Jeden znajduje się na szczycie wału głównego (nr 1) – w jego najwyższym punkcie, gdzie zlokalizowano krzyżacką wieżę, a drugi – w rejonie na południowy wschód od wału głównego (nr 2), gdzie zlokalizowano bramę wjazdową na zamek (ryc. 3–5). Do ustalenia czasu wykonania poszczególnych prac służą nam: odrębny plan rozmieszczenia wykopów w latach 1935–1936 autorstwa Schleifa (ryc. 3), plan zamieszczony w publikacji von Seefeldta z 1937 r. (ryc. 4), kolejny plan prawdopodobnie autorstwa Schleifa (ryc. 5) oraz cztery teksty źródłowe wymienione powyżej. Z ich analizy wynika, że w 1935 r. wykonano prace w wykopach 1–39 (część nie została dokończona²); w 1936 r. powstały wykopy 40–54, pracowano też w Rejonie I (część płd.-zach.), w Rejonie III oraz na obszarach wydzielonych I i 2; w 1937 r. wykonano wykopy 55–66 oraz pracowano w rejonach I i II (część płd.-zach. i płn.). Na ryc. 37 widać także obszary zaplanowane

do dalszych badań, plan ten nie został jednak do końca zrealizowany. Między innymi badaniami miał być objęty cały majdan główny. W 1935 r. niemieccy badacze koncentrowali się głównie na przebadaniu wszystkich głównych wałów (nr 1, 2, 3, 4, 5); przeprowadzono też sondáže na trzech majdanach (centralnym, głównym oraz płn.) – miejsca ich wykonania były wybrane raczej przypadkowo, chociaż w sposób niepozbawiony pewnej logiki, starano się bowiem uzupełniać pozyskane wcześniej informacje kolejnymi wykopami w danym rejonie lub dalszymi badaniami danego obiektu, np. wału. Wykonano również wykopy w przerwach między wałami: wykop 10 (wał 1), wykop 27 (wał 2) oraz wykopy 9 i 13 (wały 3, 2).

Wykop 1 (ryc. 3–6), wykonany na osi płn.–płd., przechodził przez wał centralny (nr 1) oraz płn. wał wewnętrzny (nr 3) i miał wymiary około 43 x 3 m. Ze względu na brak planów musimy oprzeć się na lakonicznym opisie Schleifa. Według niego w wykopie nie stwierdzono żadnych konstrukcji budowlanych wałów (chodzi tu zapewne o relikty konstrukcji drewnianej i kamiennej), więc musiały być wzniesione tylko z piachu, ziemi i gliny. Według tego badacza relikty wału pochodziły z okresu krzyżackiego. W trakcie eksploracji znaleziono nieliczne zabytki ruchome z okresu wczesnożelaznego na złożu wtórnym. W tzw. fosie między wałami nie stwierdzono obecności warstwy kulturowej.

Na ryc. 6 została przedstawiona rekonstrukcja wałów nr 1 i nr 3. Z niej wynika, że według badaczy niemieckich wał nr 1 miał około 10 m szerokości u podstawy oraz około 3 m szerokości na koronie i około 11 m wysokości w tym miejscu, licząc od dna fosy, przy czym stok od strony fosy wznosił się pod kątem około 70 stopni. Natomiast wał nr 3 miał także około 10 m szerokości u podstawy, a 2,5 m – na koronie. Jego wysokość od dna fosy to około 8 m od strony płd. i około 6,5 m od strony płn. Na uwagę zasługuje fakt, który można wywnioskować z rysunku, że wał nr 1 miał od strony wewnętrznej, około 2 m poniżej korony, taras o szerokości około 1,5 m³. Taras ten znajdował się około 2 m powyżej poziomu majdanu (Schleif 1937, s. a).

Wykop 2 (ryc. 3–5, 7–9) został wykonany w płn. części wału głównego (nr 2), około 20 m od jego końca. Miał wymiary około 12,5 x 5 m. Swoim

2. Między innymi nie dokończono przecięcia wału głównego.

3. Druga możliwość jest taka, że mamy do czynienia z reliktem zabudowy przywałowej.

zasięgiem obejmował koronę, wewnętrzne stoki i wewnętrzną podstawę wału. Niestety nie udało się znaleźć rysunku profilu płn. wykopu. Widział go jeszcze i częściowo opisał Jerzy Antoniewicz. Schleif pisze w sprawozdaniu, że ze względu na znaczenie miejsca prace w tym wykopie były prowadzone niezwykle starannie. Stwierdził istnienie dwóch głównych poziomów budowy wału, oddzielonych warstwą humusu. Na pierwszy poziom składały się konstrukcje wału z okresu prehistorycznego (trzy fazy budowlane), a na drugi poziom – konstrukcje wału z faz pruskiej i krzyżackiej. W sumie daje nam to pięć faz budowlanych wału z dwóch podstawowych okresów. Schleif zauważył, że z okresu pruskiego pochodzi drewniana wewnętrzna ściana wału, która uległa spaleni i zawaleniu. Natomiast z okresu krzyżackiego miały pochodzić górny nasyp oraz brukowana droga wykonana na pogorzeliisku po pruskiej konstrukcji wału, u jego wewnętrznej podstawy. Niemieccy badacze nie precyzują informacji co do konstrukcji budowlanej wału, napotkanych warstw stratygraficznych ani rodzaju gleby w nich zastanej (Schleif 1937, s. a). Na podstawie zachowanej dokumentacji rysunkowej wykopu można tylko w przybliżeniu określić warstwy i ślady po konstrukcji wału. Niestety dotyczy to również wszystkich pozostałych wykopów.

Warstwy stratygraficzne i elementy konstrukcyjne:

1. Warstwa humusu a.
2. Warstwa usypana w okresie krzyżackim (miąższość około 0,6 m).
3. Warstwy a, b, c z okresu pruskiego (miąższość około 1,2 m). Od strony wewnętrznej warstwy te przechodzą przez rozsypisko spalonej i zniszczonej drewnianej konstrukcji ściany tylnej wału. Warstwy 3a, 3b, 3c są oddzielone od siebie, widocznie zostały wykonane z różnego materiału (piachu i glin). Natomiast ściana tylna składała się z bierwion ułożonych równoległe do wału. Jednak nie znamy ich wymiaru.
- 4a. Warstwa humusu b.
- 4b. Resztki rozsypiska po konstrukcji wału przemieszane z ziemią, piachem, gliną.
5. Warstwy a, b, c, d z okresu wczesnożelaznego (miąższość około 1,7 m).
Warstwa 5a jest wyraźnie oddzielona od warstw 4 i 5b, a co za tym idzie – najbardziej czytelna. Na rzucie poziomym widać dwa równoległe szeregi słupów posadowione mniej więcej w tej samej odległości od siebie. Są to słupy oznaczone numerami 4h, 4f, 4e, 4c (rząd płn.) i 4g, 4d

(rząd płd.) posadowione na głębokości od 8 do 40 cm w stosunku do poziomu calca. Słup nr 4c jest widoczny na ryc. 8 i oznaczony literą c. Jest to bez wątpienia pozostałość dwóch ścian konstrukcji drewnianej wału, jej ścian frontowej oraz tylnej, ustawionych na poprzednich warstwach. Według rekonstrukcji niemieckich badaczy cała konstrukcja miała niecałe 1,4 m szerokości i wysokości (ryc. 8, 9). Relikt słupa c ma około 20 cm szerokości i 75 cm wysokości. Jego spód dochodzi do calca. Odległość między słupami frontowymi wynosiła niecały metr, a między tylnymi – około 1,2 m, co mogło wynikać z funkcji ścian – ściana frontowa, narażona na atak, powinna mieć solidniejszą konstrukcję. Ponadto istnienie w tej warstwie ciemniejszych smug sugeruje obecność poprzecznych dranic tworzących ściany drewnianej konstrukcji wałów. Warto zwrócić uwagę, że na rycinie ukazującej profil wykopu płd. nad dołem p znajduje się warstwa sporych kamieni, które mogły wypełniać wnętrze opisanego powyżej wału.

Warstwa 5b jest wydzielona na ryc. 9 i niewyraźna na ryc. 5. Ma kształt owalny, szerokość około 5 m, wysokość około 30–40 cm i zanika stopniowo w kierunku płd. i płn. W profilu płd. w tej warstwie znajduje się pozostałość dołu posłupowego oznaczonego na ryc. 5 i 6b literą p. Jego spód znajduje się około 40 cm powyżej calca. Resztki słupa wystawały nieco poza strop tej warstwy.

Warstwa 5c jest widoczna na ryc. 9 (mur 4) jako 2. Znajduje się nad warstwą 1. Ma około 2,5–3 m szerokości i około 35 cm wysokości. Stopniowo zanika w kierunku płn. Nie widać w niej konstrukcji drewnianych poza ciemnymi plamami, które mogą być pozostałością spalonej konstrukcji.

Warstwa 5d na ryc. 8 jest wyraźnie oddzielona od calca. Na ryc. 9 (mur 4) jest oznaczona nr 1. W niej znajdują się relikty palisady wykonanej z bali wbitych prostopadle w calec na około 30–40 cm. Od zewnątrz lico palisady tworzyły bierwiona ułożone poprzecznie. Jeden ze słupów tej palisady jest widoczny w profilu płd. i oznaczony literą a, a na rzucie poziomym 1, a; był on posadowiony 35 cm poniżej poziomu calca i jego relikty wystawały kilkanaście centymetrów nad calec. Miał około 30 cm średnicy. W profilu płd. wykopu należy także zwrócić uwagę na ślady po słupie oznaczonym m. Był on zagłębiony płytko w calec, na 5 cm, co może świadczyć o tym, że nie był powiązany z tą warstwą.

6. Calec

Wykop 3 (ryc. 3–5, 7, 8a) został wykonany w odległości około 2–3 m w kierunku płd. od wykopu 2, na zewnętrznym zboczu wału, częściowo obejmując koronę. Ma około 3 m szerokości i około 15 m długości. Na podstawie rysunku profilu płd. wykopu (ryc. 8a) można stwierdzić, że został wykonany mniej więcej do poziomu warstwy 4b. Możemy zauważyć obecność podobnych warstw stratygraficznych jak w wykopie 2 (1, 2, 3, 4a, 4b), ale o nieco innej miąższości, w zależności od miejsca. Resztki wałów z okresów pruskiego oraz krzyżackiego runęły w dół stoku, w kierunku fosy, widać to po zaznaczonych punktowo resztkach konstrukcji drewnianych. U podnóża wału, 1,5 m powyżej dna fosy, badacze niemieccy uchwycili coś w rodzaju poziomej rampy o szerokości prawie 2 m. W jej okolicy zalegały luźne kamienie. Stwierdzono także, że dolina erozyjna w tym miejscu miała 5 m wysokości. Dlatego wystarczyło nabudować 5 m, aby otrzymać wał o wysokości szacowanej na 10 m.

Na podstawie tych dwóch wykopów dokonano rekonstrukcji wałów (ryc. 7). Widać na niej cztery konstrukcje wałów: dwa wały z okresu wczesnożelaznego, wał z okresu pruskiego o zewnętrznej wysokości równej około 5 m i szerokości około 4 m wybudowany na warstwie 4, czwarty wał z okresu krzyżackiego jest niższy o około 1,5 m od pruskiego oraz nieco węższy. Natomiast najmłodszy wał z okresu wczesnożelaznego wznosi się 10 m nad dno fosy. Nie ma jednak opisów, w jakiej technice te wały były wznoszone. Według mnie rekonstrukcja wałów z okresu krzyżackiego i pruskiego na rycinie 7 jest nieprawidłowa. Wał krzyżacki był wyższy od pruskiego, można to stwierdzić choćby na podstawie wykopu 9A, ponadto taka rekonstrukcja Schleifa jest sprzeczna z innymi jego rekonstrukcjami tego wału dokonanymi na podstawie innych wykopów.

Wyniki badań w wykopach 2 i 3 potwierdziło wykonanie **wykopu 55** (ryc. 36), który przeciął wał w odległości około 50 m od wykopu 2, w kierunku płd. Na rycinie został przedstawiony profil płd. wykopu oraz jego rzut poziomy. Miał on około 14 m długości, 2 m szerokości na dnie oraz 6 m wysokości w centralnej części korony. Na rycinie widać zaznaczone poszczególne warstwy stratygraficzne w zależności od epoki (okresy: krzyżacki, pruski, gocki⁴). Po stronie wewnętrznej wału, podobnie jak w wykopie 2, widać relikty spalonej wewnętrznej ściany wału pruskiego, co potwierdza

wynik z wykopu 2. Znaleziono także trzy słupy (A, B, C), w tym słup A, który jest podobny i tak samo osadzony w calcu jak słup a w wykopie 2. Wykopy 2 i 55 zostały zweryfikowane badaniami w wykopie nr 9A/09-17.

Wykopy 4–7 (ryc. 3–6) zostały wykonane na wale nr 3: wykopy 4 i 6 (o wymiarach około 2–3 na 5 m) u jego podstawy płn. na dwóch końcach wału, a wykopy 5 i 7 (o wymiarach 2–3 na około 8–10 m) na jego koronie oraz stoku płn. Brak jest rysunków profili i rzutów tych wykopów. Dlatego możemy skorzystać tylko z kilkudziesięciu opisów wyników prac w tych wykopach. Według badaczy niemieckich wał był usypany tylko z ziemi, piachu itp., bez śladów konstrukcji drewnianych, pochodził z okresu krzyżackiego i z niewyjaśnionych przyczyn nie został dokończony. Na rekonstrukcji (ryc. 6) widać jednak na koronie tego wału podwójne blanki ze znakiem zapytania. Może to świadczyć, że mimo wszystko niemieccy badacze znaleźli (w wykopie 7?) jakieś nikłe, mało czytelne ślady konstrukcji drewnianych (Schleif 1937, s. a).

Wykop 8 (ryc. 3–5, 10), o wymiarach około 10 x 4 m, został założony w rejonie zach. wału 4. Według Schleifa wał został usypany w okresie krzyżackim. Zarejestrował on rów popalisadowy o głębokości około 65 cm oraz szerokości 30 cm; na przedpolu płd. wału, po płd. stronie tego rowu, znajdowały się regularnie ułożone kamienie tworzące bruk o szerokości około 1 m, a także palenisko i jama posłupowa. Natomiast po płn. stronie rowu znajdowały się dwie jamy posłupowe o średnicy około 40 cm i głębokości 70 cm. Z analizy planu wynika, że zarówno słupy, jak i rów pojawiły się na głębokości prawdopodobnie około 2,5 m od korony wału. Schleif nie precyzuje, z jakiego okresu pochodzą te konstrukcje, dodaje tylko, że słupy – z okresu wcześniejszego niż wczesne średniowiecze, rów zaś był bezpośrednim poprzednikiem wału. Doły posłupowe i ognisko po płd. stronie palisady mogą pochodzić z konstrukcji niezwiązanej z palisadą, np. z domu (Schleif 1937, s. b; Antoniewicz 1964, s. 31). Wykop ten został zweryfikowany badaniami w 2009 r. – wykopami 4, 5, 6, 7 A/09.

Wykop 9 (ryc. 3–5, 11) został założony w przejściu między wałami nr 3 i 2, miał wymiary 5 x 3 m. Na jego profilu płd. widać, że przekop jest sztuczny,

4. Okres wczesnożelazny.

a co za tym idzie, że te wały były połączone. Według Schleifa przekop wykonali Krzyżacy w drugiej fazie budowania przez nich zamku. Na rycinie widzimy sześć warstw stratygraficznych (humus, cztery warstwy z okresu krzyżackiego oraz poziom pierwotny). Pośrodku przekopu znajdował się dół postłupowy o głębokości około 180 cm (od poziomu współczesnego gruntu) i szerokości 70 cm. Schleif nie interpretuje, pozostałością jakiej konstrukcji jest ten słup (Schleif 1937, s. b).

Do grupy poniżej opisanych wykopów (10–20, 22) nie zachowała się dokumentacja rysunkowa, tylko krótkie, kilkudzaniowe opisy Schleifa (Schleif 1937, s. b–c).

Wykop 13 (ryc. 3–5) został wykonany kilka metrów na płd. od wykopu 9 i potwierdził wyniki tam uzyskane.

Wykop 10 (ryc. 3–5) został wykonany pośrodku wsch. boku wału centralnego, w jego przerwie. Ma kształt litery L, szerokość około 2–3 m i długość na dłuższym boku około 9 m, a na krótszym – około 5 m. Miał pomóc w ustaleniu, czy w tym miejscu znajdował się brama prowadząca na majdan centralny. Jednak wcześniej, na przełomie XIX i XX w., dziadek ówczesnego właściciela poszerzył i pogłębił wejście w tym miejscu, niszcząc tym samym całkowicie pierwotną strukturę. Mimo to niemieccy badacze wyciągnęli wniosek, że przejście funkcjonowało w okresie krzyżackim, ale było niewykończone.

Wykop 11 (ryc. 3–5) został założony na narożniku płd.- wsch. wału, miał kształt litery T o szerokości około 3–4 m oraz długości około 8 i 6 m. W wykopie nie znaleziono żadnych konstrukcji wału.

Wykop 12 (ryc. 3–5) został założony w celu przebadania suchej fosy znajdującej się u podnóża wsch. fragmentu wału centralnego, jednak jego dokładne położenie jest problematyczne; na rysunkach znajduje się między wałami 1 a 4 i jest usytuowany na osi płn.–płd. Badania w nim wykazały, że fosa przebiegała równomiernie na tej samej głębokości, jednak w następnej fazie została przedłużona w kierunku płn., do fosy znajdującej się między wałami 3 i 4.

Wykop 14 (ryc. 3–5) został założony na płn. stoku skrzydła płd. wału centralnego. Miał wymiary około 2,5 x 5 m. Potwierdził wyniki z wykopu 1.

Wykop 15 (ryc. 3–5) został założony w płn. części majdanu centralnego nad krawędzią stromego brzegu doliny Dzierzgonki. Miał wymiary około 2,5 x 7 m. Nie wykazał żadnych konstrukcji od strony skarpy.

Wykopy 16 i 17 (ryc. 3–5) – te dwa małe wykopy o wymiarach około 2,5–3 x 4–5 m zostały założone w płn. części majdanu głównego. Pozwoliły ustalić układ warstw stratygraficznych w tej części obiektu, dając podstawę do kolejnych badań.

Wykop 18 (ryc. 3–5) został założony mniej więcej pośrodku majdanu centralnego i miał wymiary 17 x 3 m. Stwierdzono, że to miejsce zostało splantowane w okresie krzyżackim.

Wykop 19 (ryc. 3–5) został założony na wale głównym (nr 2), około 45 m od jego płd.-wsch. narożnika. Miał wymiary 20 x 4 m. Prace w tym wykopie trwały w latach 1935 i 1937, potwierdzając wyniki uzyskane z wykopu 2.

Wykop 20 (ryc. 3–5) został założony w najwyższym punkcie wału nr 2, częściowo na jego ścianie wsch.

Wykop 22 (ryc. 3–5) został założony w najwyższym punkcie wału nr 2, częściowo na jego zach. zboczu. Stwierdzono w nim obecność konstrukcji wykonanej z muru pruskiego, tej samej, co w wykopie 20 (jej ściany zach.).

Wykopy 21 i 23 (ryc. 3–5, 12–13,) zostały założone na wale nr 5, czyli na przedłużeniu wału głównego w kierunku płd. Wykop 21 biegł na jego koronie i stoku zach., miał wymiary około 5 x 10 m. Wykop 23 był założony na koronie i stoku wsch. wału. Miał wymiary około 15 x 2,5 m. Dzięki takiemu układowi wykonano rysunek przekroju przez wał o długości 23 m (ryc.13) oraz rzut poziomy dwóch poziomów budowlanych wału (ryc. 13). Prace w tych wykopach rozpoczęto już w 1935 r. i zakończono w 1937 r. Badacze niemieccy stwierdzili, że ten wał był użytkowany tylko w okresie wczesnożelaznym, później nie przebudowywano go. Rysunek jest nie do końca czytelny. Można na nim wyróżnić co najmniej sześć warstw stratygraficznych oraz dwie pewne konstrukcje wałów. Sam nasyp wału wznosi się niecałe 3 m nad poziom calca. W warstwie 1, idąc od dołu, o miąższości około 30 cm, znajdują się relikty konstrukcji palisady wykonanej z wbitych pionowo w calec pali o średnicy około 25 cm (na ryc. 13 te relikty są zaznaczone

literą a oraz cyfrą 1). Od frontu podtrzymywały one konstrukcję z ułożonych dranic o szerokości od około 35 do 25 cm i grubości kilku centymetrów. Nie jest znana długość dranic, zachowane fragmenty miały około 75–80 cm długości. Cała palisada miała około 1,2 m wysokości. Przed palisadą została wykopana płytka fosa, na jej zewnętrznym nasypie, w odległości około 1 m od frontu palisady znajdowały się szczątki zasieków wykonanych z krzaków. W warstwie 2 od dołu, o miąższości około 40–50 cm, znajdują się resztki drugiej konstrukcji (ryc. 13, 2) – drewnianego płotu. Był on wykonany z bali i dranic ułożonych poziomo, jedne na drugich, i podtrzymywanych palami wbitymi od frontu i z tyłu, przy czym zarówno pale frontowe, o średnicy około 15 cm, jak i pale tylne, o średnicy około 10 cm, były oddalone od siebie o około 50 cm. Ponadto od tyłu znajdowała się ława (wysokości około 40 cm i szerokości 50 cm) wykonana z gliny i kamienia, która wzmacniała konstrukcję oraz umożliwiała zajęcie przez obrońców dogodnej pozycji do walki. Ława miała schodek ułatwiający wchodzenie na nią. Ta konstrukcja obronna była nieco wyższa od poprzednio opisanej. Nad tą warstwą znajdują się 2 lub 3 niejasne warstwy stratygraficzne, a nad nimi nasyp usypany, według badaczy niemieckich, w czasach krzyżackich. Z tego okresu pochodzi dół postłupowy oznaczony na rysunku literą b. Znajduje się on około 25 cm poniżej gruntu. Może być pozostałością ściany frontowej jakiejś konstrukcji znajdującej się na koronie tego wału, a pochodzącej z okresu użytkowania obiektu przez Prusów – byłaby to faza trzecia konstrukcji wału. Ponadto wykop 23 przechodził przez kolejny wał (nr 6), jednak nie znaleziono w nim konstrukcji drewnianych (Schleif 1937, s. c). Na ryc. 12 widzimy rekonstrukcję autorstwa Schleifa dwóch faz konstrukcji wału: pierwszej i trzeciej oraz bliżej nieokreśloną, niepewną konstrukcję pochodzącą z okresu krzyżackiego na wale nr 6.

Wykop 26 (ryc. 3–5, 14–15), wykonany w latach 1935 i 1937, został założony mniej więcej w połowie płd. odcinka wału głównego, biegł na osi płn.–płd. na odcinku około 30 m, miał szerokość około 8 m. Zachował się rysunek jego zach. profilu w partii środkowej, o długości około 23 m. Był to niezwykle ważny wykop, ponieważ ten odcinek wału został wykonany dopiero przez Prusów, a następnie przebudowali go Krzyżacy. Na rysunku profilu wykopu można rozpoznać sześć warstw stratygraficznych oraz reliktów dwóch budowli drewnianych.

Warstwa 1, idąc od góry, jest współczesnym humusem.

Warstwy 2 i 3 można wiązać z czasami krzyżackimi, jednak nie znamy ich struktur; ich miąższość wraz z humusem wynosiła około 2 m, składają się zapewne głównie z piachu i gliny.

Warstwy 4–6 można wiązać z okresem pruskim, ich miąższość wynosi około 1,7 m. Jak możemy przeczytać w tekście von Seefeld, te warstwy składają się z ziemi pobranej z rowu fosy. I tak warstwa 6 jest warstwą kulturową pobraną najpierw z fosy. Jej miąższość wynosi 30 cm. Następne warstwy składają się zapewne z gliny, drobnych kamieni i piachu. Niemcom udało się odkopać tylną, drewnianą ścianą wału pruskiego na odcinku około 8 m. Zachował się relikw ściany o wysokości około 0,7 m, zbudowanej z bali o szerokości około 20 cm. Po wewnętrznej stronie wału, w odległości około 1 m od reliktu tej ściany, znaleziono pozostałości budynku mieszkalnego. Zachowała się jego ściana tylna do wysokości około 40 cm oraz fragmenty ścian bocznych (budynek został opisany poniżej, przy okazji opisu Rejonu I) (Schleif 1937, s. d; Seefeld 1937, s. 278). Zarówno budynek, jak i wały z dwóch faz budowlanych przedstawia rekonstrukcja na ryc. 14. Badacze niemieccy oszacowali wymiary wału. I tak w okresie pruskim miał około 3 m wysokości powyżej calca, a poprzedzająca go fosa – 3 m głębokości i około 7–8 m szerokości. Natomiast korona wału liczyła około 6 m szerokości. Wał krzyżacki był znacznie wyższy, wznosił się na wysokość około 6,5 m ponad górny poziom fosy, która z kolei miała około 4–5 m głębokości i około 12–13 m szerokości. Szerokość korony wału to 3,5 m. Około 2 m poniżej korony, od strony wewnętrznej, wał miał taras o szerokości około 2,5 m. Od tego tarasu w dół biegła tylna pionowa drewniana ściana wału. Taka konstrukcja wału jest podobna do tej ukazanej na ryc. 6, a dotyczącej wykopu 1.

Wykop 27 (ryc. 3–5), o wymiarach około 4 x 2 m, został wykonany przed przerwą w wale głównym, od strony wsch. Ta przerwa, według Schleifa, powstała w czasach krzyżackich (w drugiej fazie budowlanej), a ziemia pobrana z tego miejsca została użyta do podniesienia wału znajdującego się na płd. od przerwy (Schleif 1937, s. d).

Wykop 29 (ryc. 3–5), o wymiarach około 4 x 2 m, został wykonany na zewnętrznym stoku wału głównego. Badania tam nie przyniosły żadnego rezultatu (Schleif 1937, s. d).

Wykop 30 (ryc. 3–5) – badania nie przyniosły żadnego rezultatu (Schleif 1937, s. d).

Wykopy 34 i 36 (ryc. 3–5) zostały wykonane mniej więcej pośrodku majdanu płn., miały wymiary około 2 x 4 m. W tych wykopach nie odnotowano żadnych znalezisk (Schleif 1937, s. d).

Rejon I (ryc. 3–5, 16–17)

Znajduje się w pld. i centralnej części majdanu głównego. Do niego należy także zaliczyć wykopy 32, 35 (ryc. 17) oraz 57. W latach 1936–1937 Niemcy przekopali cały ten rejon, który został podzielony na 6 działek (Flachen IA–VIA). Z kolei działki były dzielone na tzw. pasy oznaczone np. IA1 (ryc. 16). Numeracja działek zwiększała się w kierunku płn., a pasów – w kierunku wsch., chronologicznie, w zależności od czasu wykonywanych na nich prac. Badacze niemieccy na tym terenie odkryli liczne ślady osadnictwa, znajdując m.in. jamy, paleniska, relikty zabudowy drewnianej oraz średniowieczny piec garncarski; ponadto duże ilości zabytków ruchomych, głównie naczyń ceramicznych. Schleif wyodrębnił jedną charakterystyczną i najważniejszą warstwę szarej ziemi znajdującej się pod humusem, mniej więcej 60–90 cm pod powierzchnią gruntu, jako wczesnogermańską (epoka wczesnożelazna). Eksploatacja w tym rejonie była prowadzona do calca.

Działka I tworzy nieregularny wielobok w pld.-zach. części majdanu głównego. Z grubsza jej wymiary można oszacować na 40 x 30 m. Dzieli się na sześć pasów o różnych wymiarach, których szerokość waha się od około 6 do 10 m, przy czym pas IA6 częściowo obejmował fragment wykopu 26 (ryc. 16). Na działce numer IA1, w jej pld.-wsch. części, odkryto piec garncarski (ryc. 42), który znajdował się pod warstwą humusu i rozrzuconego gruzu ceglanego. Składa się on z dwóch części: komory wypalania oraz paleniska. Łączne wymiary pieca to około 1,80 x 1,20 m oraz 1,65 m wysokości. Prawie cały piec był przykryty ziemią, a jego dolna połowa (komora wypalania) była całkowicie osadzona w ziemi. Komora wypalania została zbudowana z całych cegieł i ich odłamków oraz z drobnych kamieni polnych łączonych zaprawą glinianą. Pionowe ściany wewnątrz komory wypalania zostały połączone sklepieniem łukowym. Od góry cała komora była płasko przykryta i pokryta glinianym jastrychem. Po obu stronach we wzdłużnych ścianach komory znajdowały się szyby, nie przechodząc przez pionowe zwieńczenie komory. Nie znaleziono w piecu śladów komina. Sklepienie komory wypalania było zniszczone przez korzenie i częściowo się zapadło. Wewnątrz niej znaleziono fragmenty gliny w kształcie klinów – mogły one tworzyć ruszt,

na którym stawiano przeznaczone do wypalania naczynia. Według rekonstrukcji Schleifa średnica otworów rusztu wynosiła około 10 cm.

Komora paleniska była prostokątna i otwarta na zewnątrz, z łukowatym wejściem. Jej wysokość wynosiła około 0,60 m. Piec był przykryty prawdopodobnie spadzistym dachem.

W piecu znaleziono skorupy po niedokończonym procesie wypalania, jak to nazwali badacze niemieccy, o cechach późnopruskich i krzyżackich. Zarówno materiał użyty do budowy pieca, jak i materiał ceramiczny znaleziony w jego środku i pobliżu, datują piec na XIII w. (Schleif 1936/1937, s. 1–3). Przy okazji omówienia wyglądu pieca badacze niemieccy zrekonstruowali proces wypalania naczyń. Polegał on na tym, że wysuszone na powietrzu naczynia wstawiano do komory wypalania i okładano je wysuszonym chrustem; następnie dół paleniska napełniano surowcem opałowym i szczelnie przykrywano. Szyby znajdujące się po obu stronach we wzdłużnych bokach pozostawały otwarte, zamykano je w momencie, gdy zapalano chrust w komorze wypalania. Z komory wypalania ogień przedostawał się do dołu paleniska, które następnie nagrzewało komorę wypalania do koniecznej temperatury. Dolną część otwartej w kierunku dołu paleniska ścianki bocznej zamykano gliną, prawdopodobnie by zapobiegać zasypywaniu naczyń spadającym opałem. Lekko zatkanie szybki jednocześnie służyły do obserwowania procesu wypalania (pozwalały na kierowanie „ciągiem”, a przez to na regulację temperatury) oraz umożliwiały uzyskiwanie specjalnych efektów. Schleif podał, że taka metoda wypału w dole do wypalania była na przykład powszechnie stosowana w Niemczech pld. od IX/X w. Zaznaczył jednak, że w przypadku starego Dzierzgonia mamy do czynienia z doskonalszą formą wypału tą metodą. Na innych obszarach Niemiec w dalszym ciągu stosowano metodę prymitywniejszą, czyli wypału na otwartym ogniu – polegała ona na tym, że naczynia stawiano w płaskim wgłębieniu w ziemi i okładano je chrustem, który palił się powoli, a ciepło umożliwiało wypalanie naczyń raczej nienadzwyczajnej jakości (Schleif 1936/1937, s. 2–3).

Na działce IA6 (głównie w wykopie 26) znaleziono relikty zabudowy drewnianej tuż przy wale głównym. Był to dostawiony do drewnianej, wewnętrznej ściany wału budynek z frontem ze słupów, które przypuszczalnie tworzyły częściowo otwartą na majdan a nie zwartą ścianę. Obok niego znajdowały się relikty prawdopodobnie schodów prowadzących na wał (Schleif 1937, s. d).

Na tej działce znaleziono około 20 obiektów w postaci jam i resztek zabudowy mieszkalnej oraz 7 owalnych obiektów zawierających w sobie kamienie (są to zapewne paleniska) – dwa największe mają około 1,5 m średnicy (obiekty 19, 7), inne są mniejsze (obiekty 16, 29, 31, 32, 33).

Działka II ma kształt zbliżony do trapezu, o podstawach równych 36 i 29 m oraz wysokości około 10 m. Przylega krótszą podstawą do działki I. Dzieli się na 4 pasy. Na działce odnotowano 12 obiektów, w tym dwa z owalnymi zgrupowaniami kamieni (paleniska) (obiekty 26, 48), przy czym obiekt 48 jest bez wątplenia pozostałością chaty.

Działka III ma kształt trapezu prostokątnego o podstawach równych 36 i 50 m oraz wysokości około 15 m. Krótszym bokiem przylega do działki II. Dzieli się na 5 pasów. Na działce zinwentaryzowano 19 obiektów, w tym 10 z owalnymi skupiskami kamieni (obiekty 51, 52, 57, 56, 65, 67, 68, 55, 54, 53a–b).

O obiektach odkrytych na przedstawionych powyżej trzech działkach nie można powiedzieć wiele więcej ze względu na brak opisu. Dysponujemy tylko rzutem poziomym wymienionych działek w skali 1:100 (ryc. 16). Do pozostałych działek nie zachował się nawet rzut poziomy. Dysponujemy tylko ich wymiarami.

Działka IV bokiem przylegała do działki III i miała kształt czworokąta o bokach równych: 41, 8, 36 oraz 9 m. Została podzielona na 4 pasy.

Działka V bokiem przylegała do działki IV, tworząc wielokąt o bokach równych: 25, 5, 17,5, 15 oraz 21 m. Dzieliła się na 3 pasy.

Działka VI bokiem przylegała do działki V, tworząc czworokąt o bokach równych: 19, 16, 10,5 oraz 18 m. Na niej nie było pasów eksploracyjnych.

Podobnie jak na działkach I–III, na działkach IV–VI odkryto różnego rodzaju obiekty, jednak nie można im przyporządkować chronologii (Schleif 1937, s. b, c, d; Schleif 1936/1937; Antoniewicz 1964, s. 44–47). **Wykop 57** (ryc. 3–5) przylegał od strony płn. do Rejonu I i miał wymiary 25 x 3 m. Prawdopodob-

nie w jego wsch. części znaleziony relikty drewnianej krzyżackiej budowli. Poza tym wyniki badawcze były takie same jak w Rejonie I (Schleif 1937, s. d).

Rejon II (ryc. 3–5) znajdował się w środkowej części majdanu płn. i był przedłużeniem wykopu 55. Rejon ten przecinał zygzakiem centralną część tego majdanu, między wykopami 34 a 36. Miał wymiary około 50 x 2 m. Został wyznaczony w 1937 r. Badania dały wynik negatywny, ponieważ nie znaleziono tu warstwy kulturowej (Schleif 1937, s. d, e).

Rejon III (ryc. 3–5) znajdował się w płn. części majdanu centralnego, u podnóża płd. stoku wału. Miał kształt zbliżony do prostokąta o wymiarach około 35 x 8 m. Prace w tym rejonie były prowadzone w 1936 r. Częściowo obejmował on swoim zasięgiem wykop 45. Schleif przekopał praktycznie w całości tę część majdanu. Zachował się jednak kompletnie niejasny opis tych prac. Z wniosków Schleifa wynika, że część środkowa terenu majdanu została w czasach krzyżackich splantowana, a w tzw. Rejonie III zalegały złoża wtórne. Niewątpliwym sukcesem tych badań było odkrycie w tym rejonie grobu kloszowego i wielu ułamków ceramiki. Można przyjąć, że Niemcy dotarli tam do warstw wczesnożelaznych (Schleif 1937, s. a, b, f; Antoniewicz 1964, s. 47, 48).

Rejon bramy (ryc. 3–5, 18–28)

Niemcy w trakcie swoich badań zwrócili uwagę na teren znajdujący się na południowy wschód od łuku koła wału głównego. Znajdowała się tam niecka o długości około 70 i szerokości około 40 m, ograniczona wałami nr 2, 5 oraz 7. Przez nią przechodziły wały nr 6 i 8. Ten teren został przecięty kilkunastoma wykopami (wykopy A–W oraz 23, 31, 40–43, 46, 47, 49, 54, przy czym niektóre wykopy miały podwójną numerację – cyfrową i literową), w których stwierdzono obecność słupów oraz konstrukcji drewnianej. Te znaleziska dały podstawę do określenia, że w tym miejscu znajdowała się brama prowadząca zarówno do grodu pruskiego, jak i zamku krzyżackiego. Konstrukcje, które Schleif określił jako bramę właściwą, wieżę obronną⁵ i bastion, zostały zbudowane z 13 słupów (ryc. 19) o średnicy dochodzącej do około 1 m, umieszczonych w odległości od 2 do 3 m od siebie. Słupy te były połączone drewnianymi ścianami,

5. Opisy tych konstrukcji są niejasne, a co za tym idzie – niejednoznaczne.

6. Schleif w swoim tekście opisującym te konstrukcje niestety myli numerację słupów, co powoduje, że jego interpretacja staje się mało czytelna. Przedstawiam swoją korektę tej numeracji.

tworząc wyżej wymienione konstrukcje. Według rekonstrukcji Schleifa (ryc. 18)⁶ brama właściwa miała zapewne formę wieży o szerokości przejścia nieprzekraczającej 2 m (między słupami 3, 6, 5), zwłaszcza że wewnątrz znajdujące się między tymi słupami było wybrukowane. Wieża obronna (ściana a, b-c?, słupy 1, 2, 3, 4) znajdowała się na północ od bramy i była wzniesiona na rzucie złamanego w połowie prostokąta, przylegając prawdopodobnie ścianą zach. do wału głównego. Między tym wałem a górną kondygnacją wieży mógł być przerzucony pomost. Natomiast bastion znajdował się na południowy zachód od bramy (słupy 6–12), a jego rzut to wielobok o wymiarach około 13 x 6 m. Z drugiej strony słupy te mogły tworzyć podstawę konstrukcji wysuniętej ściany drewniano-ziemnej osłaniającej drogę prowadzącą do obiektu od strony zach. Według Schleifa krzyżacka droga na zamek biegła od strony płd. tych konstrukcji, przechodząc przez wał nr 6, na którym mogła się znajdować palisada, dalej przez bramę, a następnie prowadziła między bastionem a ścianą wału głównego na majdan D, tuż przy wale głównym. Ślady drogi zostały odnalezione w wykopach E, D, L, M, N, R (ryc. 21, 22, 24, 25), przy czym w wykopie M są zaznaczone dwa poziomy drogi (ryc. 21) (Schleif 1937, s. e, f; 1936, s. 2; Seefeld 1937, s. 279).

Rejon Wału Głównego – wieża (ryc. 3–5, 29–35) obejmował swoim zasięgiem wykopy nr 20, 22, 24, 25, 28, 44, 56. Wykonanie wykopu 44 było wielkim wyzwaniem logistycznym ze względu na jego rozmiar widoczny wyraźnie na rycinie 29. Wykop miał około 40 m długości i 4–5 m szerokości oraz ściany boczne dochodzące do 5 m wysokości. Na podstawie wyników badań w tych wszystkich wykopach Schleif wydzielił sześć głównych faz budowlanych oraz zniszczeń. Analiza profili wykazuje obecność ośmiu głównych warstw z okresu wczesnożelaznego, przy czym z większością z nich można wiązać budowę drewnianych konstrukcji obronnych. Interpretację rysunków Schleifa (ryc. 29–31) przedstawił Antoniewicz (m.in. ryc. 32). W tym miejscu zaprezentuję jej główne tezy. Według tego badacza w dwóch najstarszych warstwach mogła istnieć zaporą w postaci palisady lub częstokołu, która utrudniała dostęp do osady, o czym świadczy znaleziony kawałek drewna zaznaczony na ryc. 32 literą a (także ryc. 29 – a). W warstwie trzeciej nie było natomiast żadnej konstrukcji obronnej. Jakaś konstrukcja znajdowała się w warstwie czwartej, idąc od dołu. Jej śladami są: słup oznaczony literą c oraz resztki

bierwion stanowiących podwalinę wału oznaczonych literą b (ryc. 29, 31, 32). Antoniewicz na podstawie tych dwóch elementów oszacował szerokość wału na 1,25 m. Kiedy wał uległ zniszczeniu, przed nim wzniesiono kolejny wał. Jego śladem jest pozostałość słupa oznaczonego literą d. Następnie na jego ruinie, prawdopodobnie po pewnym czasie, zbudowano kolejny wał, którego czoło było wysunięte o około 0,5 m do przodu w stosunku do poprzedniego; jego pozostałością jest relikw słupek oznaczonego literą e. Aby wznieść ten wał, budowniczo wie zniwelowali teren i nasypali pod niego podkład, o czym świadczy stosunkowo jałowa warstwa niwelacyjna wokół słupa e. Z siódmą, według Antoniewicza, warstwą osadniczą są związane kolejne relikty konstrukcji wału w postaci słupów, oznaczonych literami f i g, widocznych na profilu płd. (ryc. 29). Leżą w odległości około 2,25 m od siebie. Słup g jest osadzony na niższym poziomie niż f (o około 0,6 m). Ani Antoniewicz, ani Schleif nie wyjaśniają, dlaczego istniała taka różnica poziomów. Antoniewicz wzmiankuje tylko, że ta konstrukcja była potężniejsza od poprzednich, co jest logiczne ze względu na odległość między słupami. Z kolei pozostałością wału związaną z ósmą warstwą osadniczą jest głęboko osadzony słup oznaczony na ryc. 30–32 literą h. Prawdopodobnie jest to czołowy słup ściany wału. Wtedy wał byłby wzniesiony na środku rozsypiska poprzedniego wału. Ponadto skupisko kamieni widoczne na ryc. 30, 31 i 32, po zach. stronie pala h, może być pozostałością wypełniska wału (Antoniewicz 1964, s. 38–39). Nad zniszczonymi relikwami ostatniej konstrukcji drewnianej z okresu wczesnożelaznego znajduje się warstwa, według interpretacji Antoniewicza, z okresu rzymskiego, w której nie znaleziono relikwów konstrukcji obronnych. Schleif nazywa tę warstwę Gotiche Oberfläche. Nad nią z kolei znajduje się kilkusetletnia warstwa humusu. Dopiero w okresie wczesnośredniowiecznym pojawili się Prusowie, którzy zaczęli na nowo wznosić wały na miejscu starych konstrukcji obronnych (ryc. 34, 35 – wał nr 6). Nowe wały zostały umocnione drewnianymi elementami, które uległy spaleni. Po nich pozostały tylko resztki rozsypiska, głównie po stronie wewnętrznej wału, około 3 m poniżej współczesnego poziomu gruntu. Warstwa ta ciągnie się na przestrzeni około 4–5 m w górnej części zbocza wału. Zniszczony częściowo wał odbudowali Krzyżacy (ryc. 35 – wał nr 7). U jego płn., wewnętrznej podstawy, według Schleifa, Krzyżacy zbudowali brukowaną drogę⁷, przy pomocy której usprawnili komunikację wewnątrz grodu.

7. Stwierdzono istnienie drogi w płn. części grodu.

W środkowej części wału, w jego najwyższym miejscu, po I powstaniu pruskim Krzyżacy wzniesli ceglano-drewnianą, częściowo podpiwniczoną, czworoboczną wieżę o wymiarach 5,40 x 17,95 m. Wykonano ją z cegieł o wymiarach 7,5 x 14 x 24 cm (Seefeld 1937b). Jej fundament był solidnie osadzony w gruncie (około 1 m pod poziomem gruntu), a dach, według Schleifa, był czterospadowy i kryty gontem. Podstawa wieży została wykonana z bali ułożonych poziomo, a w narożnikach umieszczono pionowe słupy wzmocnione dwoma wspornikami, umiejscowionymi między poziomymi balami a słupem pod kątem 45 stopni. Ściany wewnętrzne, tak jak i zewnętrzne licowano dranicami (ryc. 33). Niejasny opis Schleifa dotyczący wieży nie daje możliwości pełnej jej rekonstrukcji. Prawdopodobnie zarówno naziemna, jak i podziemna część wieży była wykonana w dużej mierze z cegieł (Schleif 1937, s. a, e–f; Schleif 1936; Seefeld 1937b; Seefeld 1937a, s. 279–280; Antoniewicz 1964, s. 27–31, 37–40; Szczepański 2008, s. 17–18).

Wykopy 49a i 49b (ryc. 4–5, 39) zostały założone na obu krańcach niewysokiego wału znajdującego się przed obszarem bramy od strony wsch. Miały one wymiary odpowiednio około 12,5 x 2,5 m i 10 x 2,5 m. Nie znaleziono w nich żadnych relikwów konstrukcji drewnianych. Według badaczy niemieckich wał pochodził z okresu krzyżackiego (Schleif 1937, s. f).

Wykop 50 (ryc. 4–5) został założony mniej więcej pośrodku płd. krawędzi majdanu płd., także na stoku schodzącym w kierunku rzeki, miał wymiary około 10 x 2,5 m. Na zachowanym profilu można wyróżnić co najmniej kilka warstw stratygraficznych oraz ślady umocnień, jednak Schleif nie precyzuje, z jakiej epoki pochodzą. Schleif wyróżnił pięć warstw spalenizny, a co za tym idzie – pięciokrotne wzniesienie umocnień od tej strony rzeki. Wskazał cztery warstwy związane z okresem wczesnożelaznym, w których znalazł materiał ceramiczny podobny do tego, jaki był znajdowany w najniższych warstwach wykopu 44 czy 2. Piątą warstwę spalenizny Schleif wiązał z budową umocnień w okresie wczesnośredniowiecznym (Schleif 1937, s. f; Schleif 1936, s. 4).

Wykop 51 (ryc. 4–5) został założony około 10 m na wsch. od wykopu 51. Miał podobne do tamtego wymiary i zapewne przyniósł podobne wyniki.

Wykop 52 (ryc. 4–5) został złożony w płd.-zach. narożniku majdanu płd., tuż nad krawędzią doliny Dzierzgonki. Miał wymiary około 2,5 x 5 m i – we-

dług badaczy niemieckich – nie ujawnił żadnych interesujących informacji poza drobnymi relikwami umocnień ochraniających majdan od strony stromej skarpy (Schleif 1937, s. f, Schleif 1936, s. 4).

Wykop 53 (ryc. 4–5) został założony mniej więcej pośrodku majdanu płd., miał wymiary 5 x 5 m. Dostarczył tylko kilka skorup z czasów pruskich i wczesnożelaznych (Schleif 1937, s. f).

Wykopy 48 i 54 (ryc. 4–5, 38, 40) – najpierw wykonano wykop 48 (o wymiarach około 2,5 x 8 m), a rok później – wykop 54 (o wymiarach około 3 x 1 m). Odkryto w nim ślady kilku warstw stratygraficznych, a w najniższej zanotowano fragmenty spalonej konstrukcji drewnianej, która mogła stanowić umocnienia od strony skarpy (Schleif 1937, s. f; Schleif 1936, s. 4).

Wykop 58 (ryc. 4–5) został wyznaczony poza wałem zewnętrznym grodziska, na małym cyplu znajdującym się między Dzierzgonką a jej prawym dopływem. Miał wymiary 10 x 3 m. Znaleziono w nim, jak to określają badacze niemieccy, skupiska kamieni.

Wykop 60 (ryc. 4–5) został wyznaczony na krańcu płn. wału głównego, miał wymiary około 8 x 5 m. Znaleziono w nim prostokątne „wygięcie” wału z okresu pruskiego, poniżej znajdowała się warstwa humusu 2, a pod nią – cienka warstwa spalonych konstrukcji z okresu wczesnożelaznego.

Wykopy 61–63 (ryc. 4–5) były to dość spore wykopy sondażowe wykonane na stoku skarpy opadające w kierunku Dzierzgonki, na wprost majdanu centralnego. Nie znaleziono w nich żadnych zabytków ani warstw kulturowych.

Wykop 64 (ryc. 4–5) został założony po zewnętrznej stronie płn.-wsch. narożnika zewnętrznego wału centralnego. Nie znaleziono w nim żadnej konstrukcji.

Wykop 65 (ryc. 4–5) został wykonany w przerwie w wale głównym, miał wymiary około 3 x 8–10 m. Odsonił podwaliny wcięcia wału z okresu krzyżackiego (II krzyżacka faza budowlana), na tej warstwie, metr poniżej poziomu współczesnego gruntu, znajdowały się relikwity wieży, które runęły ze szczytu wału w to miejsce.

Wykop 66 (ryc. 4–5) został wykonany na krańcu płd. wału nr 5. Badania nie dały żadnych wyników,

ponieważ w czasach nowożytnych w tym miejscu pobierano ziemię w celu podwyższenia drewnianej drogi (Schleif 1937, s. f–g).

Podstawowym efektem prac niemieckich badaczy było określenie czasu powstania większości wałów (ryc. 16, 43), a co za tym idzie – faz budowy obiektu warownego na Górze Zamkowej w Starym Dzierzgoniu. I tak najstarsze okazały się wały nr 2 (bez płd. odnogi biegnącej w kierunku rzeki Dzierzgonki) i 5, które zostały wybudowane w okresie wczesnożelaznym. Osadnictwo w tym okresie rozwijało się między tymi wałami a rzeką Dzierzgonką. Następnie w okresie wczesnego średniowiecza wybudowano wał nr 2 na odcinku płd., a także prawdopodobnie wały nr 6 i 7. W okresie krzyżackim powstały wały nr 1, 3 oraz 4. Ponadto wykazano sześć głównych faz budowy wału głównego (ryc. 35) oraz trzy główne okresy jego użytkowania i rozbudowy. Zostały one wyodrębnione w oparciu o dominującą w kręgach nazistowskich „metodę etniczną” Gustafa Kossinny: „wczesnogermański”, „gocki”, pruski i krzyżacki (Seefeld 1937, s. 279–280; Schleif 1936, s. 6–7). Wał w okresie wczesnożelaznym miał cztery fazy budowlane. Wejście do obiektu znajdowało się prawdopodobnie na zach. od wykopu 52 lub w okolicach wykopów 21–23. Następnie obiekt został opuszczony i ponownie zasiedlony dopiero przez Prusów podczas ekspansji Państwa Zakonnego. W tym okresie był użytkowany krótko, do momentu jego opanowania przez Krzyżaków. Z kolei rycerze zakonni użytkowali obiekt przez około 20 lat, do zniszczenia wieży w trakcie II powstania pruskiego. Schleif wykazał dwie fazy budowlane obiektu w okresie krzyżackim. Ponadto badacze niemieccy, poza elementami architektonicznymi (np. wały, relikty chat, drogi), znaleźli liczne zabytki ruchome, takie jak np.: ceramika, elementy uzbrojenia (tarcza, groty, bełty), odzieży i elementy rzędu końskiego. Oprócz tego na uwagę zasługuje odkrycie pieca garncarskiego oraz grobu kloszowego (Seefeld 1937; Schleif 1936, s. 6–7).

Badania w latach 1945–2008

Po II wojnie światowej zainteresowanie obiektem nieco zmalało. W latach 60. XX w. Antoniewicz, przy okazji prac nad osadami obronnymi z epoki wczesnego żelaza, przeprowadził szczegółową analizę badań Schleifa w zakresie materiału wczesnożelaznego, przedstawiając, w większości wypadków, poprawną jego interpretację. Oparł się tylko na dokumentacji rysunkowej, zdjęciowej oraz opisach wykopalisk Schleifa, ponieważ zabytki pochodzące z niemieckich wykopalisk zaginęły w czasie wojny (Antoniewicz 1964). Zapewne przebywał także na obiekcie, prowadząc obserwacje. W 1968 r. Mieczysław Haftka przeprowadził na Górze Zamkowej badania powierzchniowe, a następnie w 1990 r. podobne badania w ramach AZP prowadził M. Wielgus (Jagodziński 1997, s. 186–187; Gazda 2013, s. 206). Prace te praktycznie nie wniosły nic nowego, jeśli chodzi o poszerzenie naszej wiedzy o obiekcie. Natomiast w latach 90. XX w. wykonano plan sytuacyjno-warstwowy Góry Zamkowej wraz z kilkoma przekrojami⁸. Nie podaję dokładnej daty jego wykonania ze względu na sprzeczne informacje w tej kwestii.

Badania archeologiczne w sezonach 2009–2011, 2017–2018

W 2009 r. na Górze Zamkowej w Starym Dzierzgoniu rozpoczęły się prace archeologiczne mające zwerifikować lub potwierdzić wcześniejsze ustalenia badaczy niemieckich. Badania tego obiektu miały zapoczątkować szerszy projekt dotyczący transformacji i rozwoju budownictwa obronnego na terytorium Prus w dobie krucjat. Projekt powstał w Instytucie Antropologii i Archeologii Akademii Humanistycznej w Pułtusku, a jego inicjatorem był autor niniejszego tekstu. W latach 2009–2010⁹ badania w Starym Dzierzgoniu prowadziłem z ramienia Instytutu Antropologii i Archeologii AH w Pułtusku, a w 2011 r., po rozwiązaniu Instytutu, z ramienia Archeologicznej Misji Pomezkańsko-Bałtyckiej¹⁰ oraz Fundacji Ureusz. Pierwsze dwa sezony badawcze miały mieć charakter rozpoznawczy i ograniczony

8. Znajduje się w WUOZ delegatura Elbląg.

9. Przy współpracy z Muzeum Zamkowym w Malborku.

10. Tworzyły ją: Muzeum Zamkowe w Malborku, Fundacja Ureusz oraz Katedra Archeologii i Antropologii AH, przy współpracy Muzeum Mikołaja Kopernika we Fromborku.

obszarowo. Ponadto dużym utrudnieniem dla przeprowadzenia wykopaliisk był fakt istnienia do 2016 r. na obszarze Góry Zamkowej, w jej płn. części, strefy ścisłej ochrony przyrody, co praktycznie przekreśliło możliwość przebadania tego terenu (w tym czasie nie można było wykonać zaplanowanego tam wykopu nr 9). Pozostała część obiektu znajdowała się w obszarze ochrony częściowej, do którego także stosują się rygorystyczne przepisy ochrony przyrody. Po dokładnej analizie wcześniejszych niemieckich badań z dużą dozą prawdopodobieństwa wytypowano tereny nieprzekopane przez poprzedników, rokujące uzyskanie ciekawych wyników badawczych. Skupiono się na płn. części majdanu głównego, wale ograniczającym ten majdan od płn. oraz płd.-zach. części majdanu centralnego. W 2011 r., ze względu na skoncentrowanie sił AMP-B w innym rejonie Polski, udało się jedynie poszerzyć wykop 8. W trakcie trzyletnich prac wykonano jedenaście wykopów o łącznej powierzchni około 125 m², z czego: trzy na majdanie głównym (nr 2, 3 i 8); dwa na majdanie centralnym (nr 10 i 11), pięć na wale nr 4 (nr 1, 4–7) oraz jeden na wale głównym (nr 12¹¹) (ryc. 2). Przy czym wykopy 12, 7 i 6 z różnych przyczyn nie zostały dokończone, a prace w wykopie 9, po jego wytyczeniu, zostały przerwane ze względu na przepisy dotyczące ochrony przyrody. Dlatego tego ostatniego wykopu nie uwzględniałem w opracowaniach dotyczących badań w latach 2009–2011. Ekipa AMP-B wróciła na obiekt w 2017 r., dzięki uzyskaniu dofinansowania z Programu Ministerstwa Kultury i Dziedzictwa Narodowego – Zabytki Archeologiczne. W 2017 r. przeprowadzono na szeroką skalę badania geofizyczne Góry Zamkowej¹², a w latach 2017 i 2018 wykonano dwa wykopy archeologiczne: a) zrealizowano wykop 9 w płn. części wału nr 2; b) poszerzono nieco wykop 8 w celu pobrania świeżego materiału do badań termoluminescencyjnych.

Wykopy na majdanie głównym i wale nr 4

Wykopy 2A i 3A (ryc. 44, 45)

Wykopy zostały wykonane w płn.-wsch. części majdanu głównego na osi wsch.–zach., stykając się jednym z narożników; miały wymiary 4 x 2 m. Celem tych wykopów było rozpoznanie nawarstwień kulturowych w tej części majdanu. Zarejestrowano tylko trzy warstwy, łącznie z calcem; dwie pierwsze

warstwy mają łącznie miąższość około 70–90 cm: 1) humus; 2) szarobrunatna ziemia przemieszana z piachem; 3) jasnożółty piach z elementami pomarańczowobrunatnej gliny – calec.

W warstwie 2, w jej górnej części, zalegały nieregularnie rozłożone drobne kamienie oraz nieliczne ułamki ceramiki, głównie z okresu wczesnożelaznego. Jej miąższość wynosiła około 10–20 cm. Takie rozłożenie warstw może świadczyć o tym, że z tej części majdanu usunięto ziemię, wykorzystując ją do budowy wałów w okresie krzyżackim, co spowodowało, że ta warstwa kulturowa w tym miejscu jest cienka i pozbawiona w praktyce zabytków z okresu użytkowania obiektu przez Prusów i Krzyżaków. W tym miejscu poziom majdanu wahał się od 108,43 do 108,98 m n.p.m (Gazda 2013, s. 207; Gazda, Jezierska, Konik, Szlązak, 2013, s. 147–148).

Wykop 8A (ryc. 44, 46–49)

Został założony w płn. części majdanu głównego, około 10 m na płd. od wału nr 4; jego kształt (wielobok) został wpisany w prostokąt o wymiarach boków równych około 8 x 6 m.

W wykopie wydzielono następujące warstwy stratygraficzne (oraz 10 obiektów opisanych poniżej):

- humus – o miąższości 20–30 cm; czarnoszara ziemia nasycona szczątkami organicznymi; nieliczne przedmioty żelazne i fragmenty krzemieni; materiał ceramiczny przemieszany;
- 2 – warstwa o miąższości 20–50 cm; szarobrunatna ziemia z niewielką ilością węgla drzewnych i występującymi sporadycznie drobnymi kamykami oraz roślinnymi szczątkami organicznymi;
- 3 – warstwa o miąższości 10–50 cm; ciemnoszara ziemia; w poziomie widoczne liczne jasne plamki o średnicy około 8 cm (ślady po zwierzętach drążących tunele); zawartość węgla drzewnych nieco większa niż w warstwie 2;
- 4 – calec w postaci jasnożółtego lub ciemnożółtego piachu oraz pomarańczowej gliny.

W wykopie warstwy 2 i 3 mają cechy przemieszania, o czym świadczy znaleziony w nich przemieszany materiał ceramiczny z okresu wczesnożelaznego i średniowiecza (XII–XIII w.), przy czym większość materiału wczesnożelaznego pochodzi z warstwy 3. Calec w swej stropowej części miał także plamisty charakter, co w tym wypadku było spowodowane w dużej mierze odbarwieniami wokół korzeni roślin.

11. Wykop niedokończony.

12. Opis tych badań jest zamieszczony w osobnym tekście.

Obiekt 1 (ryc. 45)

Była to średniej wielkości, owalna w rzucie poziomym forma o średnicy w górnej partii około 80 cm i miąższości około 30 cm. Obiekt zwężał się ku dołowi i na głębokości około 1,15 m od poziomu gruntu jego średnica wynosiła około 40 cm, a następnie, kilka centymetrów głębiej, całkowicie zanikał. Inwentarz był bardzo bogaty w materiał ceramiczny, który wstępnie można określić jako wczesnożelazny.

Obiekt 2 (ryc. 45)

Była to niewielka, lekko owalna w rzucie poziomym forma o wymiarach 20 x 18 cm, o miąższości około 10 cm, usytuowana na głębokości 40 cm od powierzchni gruntu. Wypełnisko stanowiła szarobrunatna ziemia gliniasta z wtrętami węgla drzewnych i popiołem. Poza tym znaleziono tam dwa fragmenty ceramiki, z których jeden można określić z dużym prawdopodobieństwem jako wczesnożelazny. Sugeruje się, że było to zagłębienie terenu wypełnione materiałem z paleniska.

Obiekt 3 (ryc. 45, 48)

Stanowił owalną w rzucie poziomym formę o wymiarach 1,30 x 0,85 m. W rzucie pionowym obiekt miał kształt lekko nieckowaty. Wypełnisko stanowiła szara luźna ziemia z wtrętami węgla drzewnych. W obiekcie znaleziono 22 fragmenty naczyń. Wstępna analiza materiału pozwala wnioskować, że obiekt pochodził z okresu wczesnożelaznego. Była to prawdopodobnie jama gospodarcza lub fragment chaty.

Obiekt 4 (ryc. 45)

Usytuowany przy ścianie zach. wykopu, wykraczał poza eksplorowany obszar. W rzucie pionowym miał kształt nieckowatej regularnej formy o długości 1 m i miąższości 20 cm. Wypełnisko obiektu stanowiła warstwa nieco ciemniejsza od warstwy 3. Przy spągu obiektu znaleziono jeden mało charakterystyczny fragment ceramiki naczyniowej. Sugeruje się, że była to jama gospodarcza. Ubogie wyposażenie może być wynikiem tego, że obiekt wyeksplorowano tylko w części (wychodził poza granice założonego wykopu). Usytuowanie go w spągowej części warstwy 3 świadczy o stosunkowo wczesnej chronologii obiektu względem innych obiektów

Obiekt 5 (ryc. 45, 49)

Była to konstrukcja kamienna o wymiarach około 2 x 1,5 m, uchwycona podczas doczyszczania pierwotnego profilu płd. wykopu, znajdująca się na głębokości około 70 cm. W profilu rysowała się jako ciąg kamieni o długości 1 m. Rzut poziomy obiektu

unaoczniał jego kontynuację w kierunku wsch. przez kolejne 60 cm. Większość kamieni była drobna, o średnicy nieprzekraczającej 6 cm, ale część z nich była większa i miała wymiary od 10 do 20 cm. Duży odsetek spośród nich były to formy płaskie. Kamienie nie miały śladów przepalenia, choć warstwa rozciągająca się na płd. od nich zawierała znaczne ilości węgla drzewnych. Poza tym elementem nie różniła się w charakterze od warstwy 3. Na wysokości kamieni odkryto duże skupisko ceramiki naczyniowej (147 fragmentów). Pod kamieniami znajdowały się jeszcze 64 fragmenty naczyń o chronologii wczesnożelaznej. Wydaje się, że jest to część większego obiektu, jednakże jego pełna interpretacja wymaga kontynuacji badań i dalszej eksploracji. W górnej części wypełniska obiektu zalegało żarno kamienne z leżącym nieopodal rozcieraczem.

Obiekt 6 (ryc. 45, 48)

Była to w zarysie okrągła forma, lekko rozciągnięta w różnych kierunkach, co nadawało krawędzi obiektu falistą linię. Obiekt miał średnicę około 1 m i miąższość 20 cm. Wypełnisko stanowiła szara luźna ziemia z węglami drzewnymi, kilkoma kamieniami o średnicy 15–20 cm oraz jednym bardzo dużym kamieniem o średnicy 40 cm. Dwa spośród wzmiankowanych kamieni nosiły ślady przepalenia. Obiekt zawierał bogaty materiał ceramiki naczyniowej (91 fragmentów) i, co warto podkreślić, wewnątrz jednego z naczyń znajdował się fragment kości. Bogaty materiał ceramiczny, a także szczególnie interesujące naczynie z materiałem osteologicznym oraz brak innych kości wskazują, że ów obiekt miał ściśle związek z funkcjonowaniem kuchni. Nie była to jednak jama śmietniskowa, gdyż materiał był zbyt wyselekcjonowany (w zasadzie tylko naczynia). Nikłe ślady działalności ognia na kamieniach zdają się również przeczyć temu, by mogło to być palenisko.

Obiekt 7 (ryc. 45, 48)

Nieregularna w rzucie poziomym forma pojawiła się na głębokości około 55 cm. Wypełnisko różniło się od 3 warstwy większym odsetkiem węgla drzewnych i małym skupiskiem drobnych kamieni ze śladami przepalenia. Miąższość obiektu wynosiła 5–15 cm. Znaleziono kilkanaście fragmentów ceramiki (16 sztuk). Zawartość obiektu pochodziła prawdopodobnie z paleniska. Wydaje się jednak, że nazwanie samego obiektu 7 paleniskiem byłoby nadużyciem tego terminu, gdyż jego niewielka miąższość, a także brak śladów przepalenia w glebie upoważniałyby co najwyżej do twierdzenia, iż była to część zniszczonego paleniska.

Obiekt 8 (ryc. 45, 47)

Miał kształt owalny i wymiary około 3,5 x 1,5 m.

Zarejestrowano w nim trzy warstwy stratygraficzne:

- brunatny piasek gliniasty;
- ciemnoszarobrunatny piasek gliniasty z popiołem;
- plamisty szarobrunatnożółty piasek luźny.

Dolną warstwę obiektu stanowił plamisty szarobrunatnożółty piasek luźny, charakterem i budową jednorodny z warstwą 3 rozciągającą się na całej powierzchni wykopu. W obrębie tej warstwy znaleziono trzy fragmenty ceramiki wczesnożelaznej.

Powyżej tej warstwy zalegał brunatny piasek gliniasty, który również rozciągał się na całej powierzchni wykopu.

Wcinając się w obie wzmiankowane warstwy, ciemnoszarobrunatny piasek gliniasty tworzył rdzeń obiektu. Warstwa ta zawierała popiół, węgle drzewne, polepę i rozrzucone kamienie bez śladów przepalenia.

Największa zaobserwowana miąższość warstw to: a – 60 cm, b – 20 cm, c – 30 cm.

Obiekt w rzucie poziomym miał kształt owalny, a w pionowym był nieckowaty. Układ warstw pozwala domniemywać, że być może naturalne zagłębienie w terenie zostało wypełnione warstwą plamistą (c), a później, w wyniku konkretnego zapotrzebowania, wykonano w średniowieczu lekki wkop i wypełniono go materiałem odpadkowym (warstwa b), następnie zaś w sposób naturalny zaczęła się na tym odkładać warstwa a. Przy płn. krawędzi obiektu znaleziono żarno. Obiekt prawdopodobnie pełnił funkcję jamy śmietniskowej w okresie średniowiecza (XIII w.), jak na to wskazuje materiał ceramiczny wydobyty z jego obrębu.

Obiekt 9 (ryc. 45)

Został zlokalizowany przy ścianie płd. wykopu i rozciągał się na długości 120 cm. Jedynie jego część została wyeksplorowana, ponieważ sięgał poza granice wyznaczonego wykopu. Pojawił się na głębokości 90 cm. W rzucie pionowym miał lekko nieckowaty kształt. Wypełnisko różniło się od warstwy 3 dużo większym odsetkiem węgla drzewnych, co nadawało mu kolor niemalże czarny. W obrębie obiektu znaleziono 21 fragmentów ceramiki naczyniowej. Wstępnie materiał określono na wczesnożelazny.

Obiekt 10 (ryc. 45)

Stanowił go zespół czterech kamieni, ułożonych koncentrycznie, jakby tworzyły krąg o wymiarach

około 50 x 30 cm. Wypełnisko tworzył ciemnoszary piasek luźny. Wydaje się, że mógł on swym zasięgiem wykraczać poza obszar eksploracji, ale w profilu się nie ukazuje. W obrębie obiektu znaleziono dwa fragmenty ceramiki pozwalające sądzić, że pochodzi on z okresu średniowiecza (XIII w.). Jego funkcja nie jest znana. Układ kamieni wygląda jednak na intencjonalny.

Podsumowując, w wykopie 8 odkryto dziesięć obiektów, z których cztery zostały wyeksplorowane tylko częściowo. Zlokalizowane przy ścianach wykopu, swym obszarem wykraczały poza badany teren. Prawie we wszystkich obiektach znaleziono materiał wczesnożelazny, przy czym obiekty 10 i 8 były użytkowane w XIII w., a obiekt 5 jest reliktem chaty z okresu wczesnożelaznego (Gazda 2013, s. 207; Gazda, Jezierska, Konik, Szlązak, 2013, s. 147–152; Gazda, Jezierska 2013, s. 367–373; Gazda, Jezierska 2016, s. 16–22). W 2017 r. wykop poszerzono o 0,5 m w kierunku płd., w rejonie obiektu 5, w celu pobrania materiału do badań termoluminescencyjnych. Uzyskano z nich pozytywne wyniki dla trzech próbek datowania ceramiki z obiektu 5 oraz warstwy 3. Próbką 1 z warstwy 3 została wydatowana na 445 r. p.n.e. +/- 59 lat, próbką 2 z warstwy 3 na 417 r. p.n.e. +/- 72 lata, próbką 3 z obiektu 5 na 409 r. p.n.e. +/- 65 lat. Datowania dokonał dr Artur Ginter. Ponadto w poszerzeniu stwierdzono, że obiekt 5 ciągnie się dalej w kierunku płd., nie zmieniając swoich cech opisanych powyżej. Dzięki pracom na majdanie głównym, w wykopach 2, 3 i 8, można sobie wyobrazić, na jakiego rodzaju znaleziska natrafili badacze niemieccy w płd. i środkowej części tego majdanu, w tzw. Rejonie I. W tym miejscu poziom majdanu wynosił od 109,82 do 110,05 m n.p.m.

Wykop 1A (ryc. 44, 52)

Był to jeden z pięciu wykopów wykonanych w celu uzyskania przekroju wału nr 4. Został założony na osi płn.–płd., jeszcze na obszarze majdanu, dochodząc płn. krawędzią do podstawy wału. Jego wymiary to 4 x 2 m. Układ warstw był identyczny jak w wykopie 2 i 3 czyli:

- humus;
- szarobrunatna ziemia przemieszana z piachem;
- pomarańczowobrunatna glina lub jasnożółty piach – calec;

Warstwy są ułożone horyzontalnie, z wyjątkiem występującej punktowo warstwy 3. Teren w rejonie wykopu zaczyna się lekko wznosić w kierunku płn. Miąższość warstw wynosi: warstwa 1 – około 40–60 cm; warstwa 2 – około 20–30 cm. W wykopie

zarejestrowano początkową wysokość wału, która wynosiła około 110 m n.p.m.

Wykop 4A (ryc. 44, 52)

Założony szachownicowo na osi płn.–płd., o wymiarach 4 x 2 m, styka się narożnikowo z wykopami 1 i 5. Został założony u podstawy wału. Układ warstw jest podobny do wykopu 1, przy czym pojawiły się trzy nowe warstwy w płn.-wsch. narożniku wykopu, tworząc obiekt 1/4.

Warstwy:

- humus;
- szarobrunatna ziemia przemieszana z piachem;
- jasnożółty piach – calec.

Warstwa humusu ma około 60–80 cm miąższości. Warstwa 2 nad obiektem 1/4 staje się cieńsza i jej miąższość wynosi około 20 cm, podczas gdy w innych rejonach wykopu – do około 40 cm, przy czym lekko się obniża w kierunku płd.

Obiekt 1/4 znajdował się do około 50 cm od lica wsch. wykopu, w jego płn. połowie. Jego rzut poziomy, przynajmniej w wykopie, jest mniej więcej owalny, o prawdopodobnej średnicy około 1,5 m i miąższości około 0,80 m. Warstwy w obiekcie 1/4:

- ciemnoszara ziemia;
- spalenizna;
- ciemnożółty piach.

Warstwa spalenizny (5) ma kilka centymetrów grubości i występuje punktowo na granicy warstw 4 i 6, w niej znajdowały się drobne węgliki. Warstwa 3 przedziela częściowo warstwę 6 i jest ułożona horyzontalnie, a jej średnia miąższość wynosi około 20 cm. Z niej do góry, lekko na ukos, odchodzi kilka wypustek (korytarze po kretach, korzenie?).

Wykop 5A (ryc. 44, 52)

Założony szachownicowo na osi płn.–płd., o wymiarach 4 x 2 m, styka się narożnikowo z wykopami 4 i 6. Wyodrębniono pięć warstw stratygraficznych:

- humus;
- żółty piach;
- szara ziemia wymieszana z piachem;
- szarociemna ziemia;
- jasnożółty piach (calec).

Wszystkie warstwy ułożone są horyzontalnie, przy czym warstwa 3, o miąższości około 20–30 cm, zalega tylko w płd. części wykopu, bezpośrednio między humusem a calcem. Pojawiająca się w tym wykopie warstwa żółtego piachu (warstwa 2) jest sztucznym nasypem wału wznoszonego przez Krzyżaków i znajduje się w płn. części wykopu. Jej miąższość w wykopie wynosi do około 55 cm przy jego płn. licu. Pod nią, a nad calcem, zalega warstwa szarej

ziemi o miąższości około 20–30 cm. Humus miał miąższość około 60–80 cm. Na granicy warstwy 1 z 2 i 3 oraz w jego dolnych partiach znajdowały się nieregularnie rozmieszczone drobne kamienie o średnicy do kilkunastu centymetrów, nieco płycej w płn. części wykopu (około 60 cm od powierzchni gruntu), nieco głębiej w części płd. Grunt na przestrzeni wykopu wznosił się w kierunku płn. o około 1,35 m.

Wykop 6A (ryc. 44, 52–55)

Założony szachownicowo na osi płn.–płd., o wymiarach 5 x 2,2 m. Stykał się narożnikami z wykopami 5 i 7. Wykop ten jednak został usytuowany pod nieco innym kątem niż wykopy 1, 4 i 5, ze względu na znajdujący się na zboczu wału wykrot. Wykop sięgał praktycznie korony wału i okazał się najbardziej interesujący z wykonanych na wale, ze względu na natrafienie na ciekawe nawarstwienia kulturowe. Zarejestrowano następujące nawarstwienia stratygraficzne:

- humus zalegał na całej powierzchni wykopu, a jego miąższość wahała się od 10 cm w części płn. do około 40 cm w części płd.;
- warstwa kamieni zalegająca nieregularnie tworzyła zagęszczenia w narożnikach płn.-zach. oraz płd.-zach.; wielkość kamieni była podobna do tych z wykopu 5;
- warstwa żółtego lub bładożółtego piachu zalegała bezpośrednio pod warstwami 1 i 2; jest identyczna z warstwą 2 z wykopu 5, czyli stanowi warstwę narzuconego piachu z okresu krzyżackiego, a jej miąższość wynosi około 1,5 m w części płn. wykopu.
- warstwa żółtego i bładożółtego piachu z wykwitami pomarańczowobrunatnej gliny została sztucznie narzucona przez Krzyżaków.

Pod tymi warstwami znajdował się obiekt 1/6, czyli prawdopodobnie relikty wału (ryc. 52, 54–55), niewykluczone, że pochodzący z okresu zasiedlenia grodu przez Prusów. W nim można wyodrębnić kilka warstw oraz ciemne (czarne i ciemnobrązowe) ślady, prawdopodobnie po belkach drewnianych. Największe z nich mają wymiar około 60 x 30 cm i są kształtem zbliżone do prostokąta. W płd. części wykopu, przy jego krawędzi, na poziomie około 110,70 m n.p.m., natrafiono na skupisko kamieni tworzących regularną płaszczyznę i inne nieregularne skupisko kamieni na tym samym poziomie, po jej płn. stronie (obiekt 2/6) (ryc. 53).

Wykop 7A (ryc. 52)

Stykał się narożnikiem z wykopem 6. Jego wymiary to 4 x 2 m. Sięgał od szczytu wału do jego płn. zbocza.

W nim można wyodrębnić tylko trzy warstwy stratygraficzne, ze względu na to, że nie dotarto do calca, przy czym trzeba zaznaczyć, że nie zakładano w tym wykopie eksploracji do calca. Osiągnięto głębokość eksploracji około 140 cm w części płd. wykopu. Zarejestrowano następujące warstwy stratygraficzne:

- humus o miąższości od około 10 do 25 cm;
- w płd. części wykopu między warstwami 1 i 3 znajdowały się kamienie ułożone horyzontalnie, podobne do tych z wykopów 5 i 6;
- żółty piach;
- czarna ziemia występująca punktowo w płd. części wykopu na głębokości około 130 cm, tworząc owalne lub nieregularne powierzchnie. Prawdopodobnie były to relikty spalanej drewnianej konstrukcji wału, podobnie jak obiekt 2/06 (Gazda 2013, s. 207–211; Gazda, Jezierska, Konik, Szlązak 2013, s. 152–153; Gazda, Jezierska 2016, s. 16–22).

Wykopy na majdanie centralnym

Wykopy 10A, 11A (ryc. 56–58)

Na majdanie centralnym, w jego płd.-zach. narożniku, założono w 2009 r. dwa wykopy na osi wsch.–zach., pierwotnie oddzielone dołem, prawdopodobnie po usuniętym wykrocie. W toku eksploracji poszerzono wykopy w kierunku wykrotu, a także w kierunku krawędzi skarpy. Wykop 10 założono nad samą krawędzią urwiska jaru. Jego wymiary wynoszą około 2,5 x 4 m. Wykop 11 miał wymiary 2,5 x 2 m. Oba wykopy eksplorowano do głębokości około 1,70 m. W wykopie 10 natrafiono na dwie warstwy kamieni na różnych poziomach i w różnych rejonach wykopu (obiekt 1/10 oraz obiekt 2/10).

Obiekt 1/10 – w płd.-wsch. narożniku wykopu na poziomie około 106,10–105,95 m n.p.m. (głębokość od poziomu gruntu 55–70 cm) odkryto pozostałości bruku kamiennego składającego się z dwóch lub trzech warstw kamieni niewiązanych ze sobą. Bruk zajmował obszar o wymiarach około 0,70 x 1,50–2,10 m (przy płd. profilu wykopu). Był położony na warstwie jasnej ziemi przemieszanej z piachem i wykonany z owalnych kamieni o średniej średnicy około 10–15 cm. Jego grubość wynosiła około 0,30 m.

Obiekt 2/10 – bruk kamienny znajdował się głównie w płn.-wsch. części wykopu na głębokości około 105,34–104,94 m n.p.m. (głębokość od poziomu gruntu około 130–170 cm). Jego grubość wynosiła około 0,30–40 cm, a w kierunku wsch. jego poziom się obniżał. Jego główne skupisko zajmowało obszar mniej więcej prostokąta o wymiarach około

1,50 x 0,60 m i znajdowało się w samym płn.-wsch. narożniku wykopu. Jednak bruk ciągnął się dalej poza wykop, zarówno w kierunku płn., jak wsch., tworząc dwa inne skupiska: jedno pośrodku wykopu, a drugie w jego płn.-zach. narożniku, przy czym to ostatnie miało znacznie mniejszą miąższość. Dwa pierwsze skupiska kamieni tworzyły w zach. części wykopu wyraźną granicę występowania warstwy brązowej gliny z kamieniami. Ta warstwa może być związana z obiektem 2/10.

Wyżej wymienione obiekty mogą być pozostałością bliżej nieokreślonych budowli (jednej lub dwóch) albo – obiekt 2/10 – płaszcz kamiennego o charakterze sepulkralnym. Jednak aby to stwierdzić, trzeba poszerzyć wykop zarówno w kierunku płn., jak i płd.

Wykop 11A był eksplorowany do głębokości około 1,60 m.

W tych dwóch wykopach zarejestrowano następujące warstwy stratygraficzne:

- humus;
- szara ziemia z elementami brunatnej próchnicy;
- jasna ziemia przemieszana z piachem;
- ciemna ziemia przemieszana z piachem i gliną;
- szarozółty piach;
- brązowa glina z kamieniami (tylko wykop 10);
- brązowożółtawa glina;
- jasnożółty piach – calec

(Gazda, Jezierska, Konik, Szlązak, 2013, s. 153–154; Gazda, Jezierska 2013, s. 375–376; Gazda, Jezierska 2016, s. 22–24).

Wykopy na wale głównym nr 2

Wykop 12A (ryc. 44, 59)

Został wyznaczony na obszarze znajdującym się mniej więcej pośrodku niemieckich wykopów 19 i 31. Biegł na osi wsch.–zach., od środka korony wału, na jego wewnętrznym stoku. Wymiary wykopu wynosiły około 15 x 2,50 m. Eksplorowano jego wsch. część metodą schodkową, do głębokości około 2,10 m na szczycie korony, 1,20 m w partii środkowej (stopień 2) oraz 1,10 m w partii dolnej (stopień 3).

Udało się wyodrębnić następujące warstwy stratygraficzne:

- humus o miąższości około 10–20 cm;
- jasnożółty piach poprzecinany poprzecznymi cienkimi warstwami pomarańczowobrazowej zbitej gliny. Intensywność zalegania tych pasów zwiększa się wraz z głębokością wału.

Między tą warstwą a humusem zalegał miejscami bruk, tworząc w płn. części na szczycie korony zwartą powierzchnię o powierzchni 0,7 x 0,6 m. Składał się z owalnych kamieni o średniej średnicy 10–15 cm. Miąższość tej warstwy wynosi około 1,30 m na koronie wału. W tej warstwie występują punktowo zarówno smugi, jak i pojedyncze węgle drzewne;

- szary zbity piach poprzecinany poprzecznymi warstwami jaśniejszego piachu z gliną;
- żółto-brunatny piach przechodzący u dołu stopniowo w szarawy, z zalegającymi punktowo węglami drzewnymi;
- warstwa spalenizny zalegająca w rejonie stopnia 3, na granicy warstw 2 i 4. Ponadto w tej warstwie widoczne są pozostałości spalonych belek pochodzących niewątpliwie z konstrukcji wału. W profilu płn. wykopu są widoczne ślady po belkach biegnących równoległe do wału (Gazda, Jezierska, Konik, Szlązak 2013, s. 154; Gazda, Jezierska 2016, s. 24–25).

Wykop nr 9A (ryc. 44, 60–61)

Założono go między niemieckimi wykopami 2 i 3 a wykopem 55, na wale nr 2. Swoim zasięgiem objął częściowo koronę wału, jego wewnętrzny stok oraz podstawę, miał wymiary 2,5–4 x 9,5 m. Wykop został wykonany metodą schodkową. Stopień o wysokości około 3,2 m został wyznaczony 2,2 m od płn. krawędzi wykopu. Wykop był bardzo ważny ze względu na fakt, że mógł zweryfikować wyniki badaczy niemieckich uzyskane w wykopach 2, 3 i 55. W wykopie natrafiono na następujące warstwy stratygraficzne, idąc od góry (ryc. 60, 61):

- Humus o miąższości od 10 cm na koronie do około 45 cm przy podstawie wału.
- Jasny żółtawy piach o miąższości około 70 cm na koronie. Warstwa zalegała w górnej części wykopu, kończyła się około 0,5 m za stopniem w wykopie. Między humusem a tą warstwą występowały drobne kamienie.
- Warstwa gliny o miąższości około 1,1 m składa się z trzech poziomych warstw o różnych gęstościach i odcieniach kolorystycznych: 3a – żółtawa glina, 3b – żółtawoszara glina, 3c – pomarańczowo-żółta glina (tłusta). Przy czym warstwa 3b miała około 10 do 15 cm i rozszerzała się w kierunku zach. do wysokości około 20 cm. Na spągu warstwy 3c znajdo-

wała się warstwa stosunkowo dużych kamieni (o średnicy dochodzącej nawet do 40 cm). Ponadto nagromadzenie pojedynczych kamieni występowało między warstwami 3b a 3c oraz w stropie warstwy 3a i w samej warstwie 3b. W warstwach 3a i 3b zdarzały się pojedyncze kamienie, nawet stosunkowo dużych rozmiarów. Natomiast nie natrafiono na ślady konstrukcji drewnianych, chyba że taką pozostałością jest warstwa 3b. 3d/ Warstwa żółtawej gliny występuje pod warstwą 12, na długości około 2,2 m i ma miąższość około 25–40 cm; w niej także znajdowały się luźne kamienie. Jest to osuwisko warstwy 3 powstałe po zniszczeniu wału pruskiego, a także warstwa budowlana tego wału.

- Warstwa o miąższości około 40 cm składała się z szarego piachu przemieszanego z gliną, węglami drzewnymi, pojedynczymi spalonymi fragmentami bierwion i belek oraz przepalonych polepy. Z tej warstwy pobrano próbkę¹³ do badań C14¹⁴, która dała wynik pozytywny, datując ją na lata 600–350 p.n.e. W spągu warstwy znajdowały się kamienie.
- 4a – Osuwisko warstwy 4, wystąpiło na długości 1,25 m, miało miąższość około 25 cm i znajdowało się około 1 m poniżej poziomu gruntu.
- Gлина żółtawa, o miąższości około 30–40 cm; warstwa zanikła w odległości około 0,6 m od stopnia.
- Szarawy piach przemieszany z gliną i węglami drzewnymi, spalenizna. Warstwa całkowicie zanikła w odległości około 0,75 m od stopnia.
- Gлина żółtawa o miąższości około 25 cm zalegała na długości około 1,3 m od stopnia, w miarę oddalania się od rdzenia wału stawała się stopniowo coraz cieńsza.
- Mało wyraźna warstwa – szare przebarwienia przemieszane z gliną, o miąższości około 10–20 cm, przy czym w odległości około 0,5 m od stopnia warstwa przybrała kształt mniej więcej dwóch półkoli przylegających do siebie, o średnicy około 20 cm i 40 cm, o czarnej barwie.
- Pomarańczowa glina o miąższości około 15–20 cm zalegała na długości około 1,5 m od stopnia.
- Szarawy piach, spalenizna, w stropie warstwy – fragmenty spalonego drewna, miąższość warstwy wynosiła około 20 cm, występowała pod warstwą 9 na całej jej długości.

13. Fragment spalonej belki.

14. Próbkę 2/R/2017, datowanie zostało wykonane w Laboratorium Radiowęglowe Instytutu Fizyki Politechniki Śląskiej przez dr. hab. inż. Adama Michczyńskiego, prof. Politechniki Śląskiej.

- glina – taka sama jak warstwa 9, miąższość około 15 cm, pod nią calec – zalegała na długości około 1 m od stopnia.
- Szara ziemia przemieszana z gliną i elementami spalonych konstrukcji drewnianych o długości około 1,7 m i miąższości około 40 cm, znajdowała się około 1 m od stopnia, na głębokości około 0,5 m. W tej warstwie znaleziono małe fragmenty belek i bierwion ułożonych równoległe do wału, o wymiarach od 8 do 14 cm szerokości lub średnicy. Z tej warstwy została pobrana kolejna próbka spalonego drewna do badań C14¹⁵, które dały wynik między 1220 a 1330 r. n.e.
- Szara ziemia wystąpiła pod humusem, nad warstwą 12 i 14, w dolnej części wykopu, miała od 15 do 40 cm miąższości, w jej stropie występowały drobne kamienie. Stawała się grubsza w kierunku płd.
- Warstwa widoczna na przedłużeniu warstwy 12, o długości 2,2 m i miąższości około 30–40 cm, około 40 cm poniżej gruntu. Składała się z dużych kamieni ułożonych na glinie i otoczonych gliną.
- Szarawa piaszczysta glina; znajduje się na przedłużeniu warstwy 4a, ma miąższość około 40 cm; w jej płd. części występowały luźne kamienie.
- Calec, żółtawy piach, glina żółtawopomarańczowa.

W wykopie zdumiewa praktycznie całkowity brak zabytków ruchomych – znaleziono zaledwie kilka małych ułamków naczyń ceramicznych, w tym jedno datowane na okres wczesnożelazny z warstwy 4.

Podsumowanie

Badania z lat 2009–2017, które miały częściowo zwerifikować lub potwierdzić wnioski badawcze Hansa Schleifa z lat 30. XX w. dotyczące jego badań majdanu głównego, centralnego oraz wałów nr 2 i 4, potwierdziły większość tych wniosków. Jednak w przypadku niektórych szczegółów można dojść do nieco innych spostrzeżeń. Ponadto podczas najnowszych prac odkryto nowe tereny zajmowane przez obiekt oraz elementy architektoniczne do tej pory niewykazane w żadnych opracowaniach. Dzięki badaniom wykopaliskowym rozwarstwiono chronologię budowy wałów i okresy zasiedlenia obiektu. Według Schleifa wał główny (nr 2) miał 4 fazy budowlane

datowane na okres wczesnożelazny), jedną z okresu pruskiego (początek XIII w.) oraz dwie z okresu krzyżackiego. Kluczowe dla potwierdzenia tego stanu rzeczy było wykonanie wykopu 9A. W tym wykopie można rozwarstwić chronologiczne poszczególne warstwy stratygraficzne, podpierając się przy tym dwoma próbkami badań C14: 1R i 2R/2017. Tak więc warstwy 10–4 można wiązać z budową wałów lub ogrodzenia w okresie wczesnożelaznym, przy czym warstwy 10, 8, 6, 4 i 4a są relikami konstrukcji wału lub ogrodzenia, warstwy 11, 9, 7 i 5 są natomiast warstwami niwelacyjnymi lub podwaliną pod wznoszenie kolejnych konstrukcji. Dzięki pobraniu próbki C14 z warstwy 4 możemy stwierdzić, że pochodzi ona z okresu wczesnożelaznego oraz w przybliżeniu ustalić dolną granicę zniszczenia tego wału na około 350 r. p.n.e., co jest zbieżne z datowaniem próbek pobranych z wykopu 8 na V w. p.n.e. Niestety w ostatnich badaniach nie natrafiono na ślady dołów posłupowych i większych fragmentów konstrukcji drewnianych, jednak wykop w warstwach wczesnożelaznych był wąski i przez to mógł być wykonany między słupami. Warstwy 3a–3d są związane z budową wału w okresie pruskim, a ściślej – z jego jądrem i rozsypiskiem po nim. Warstwa 12 to spalona konstrukcja ściany wewnętrznej pruskiego wału, co może potwierdzać próbka C14 – 1R/2017. Warstwa 2 jest jądrem i osuwiskiem nasypu z okresu krzyżackiego. W przedstawionej powyżej analizie istnieje zbieżność z ustaleniami Schleifa, gdzie mamy cztery konstrukcje obronne z okresu wczesnożelaznego, jedną – z okresu pruskiego i jedną – z okresu krzyżackiego. Warstwę 14 można utożsamić z warstwą kamieni odnalezioną u podstawy wału przez Schleifa, interpretowaną przez niego jako droga. Jednak można ją jeszcze określić jako element konstrukcyjny wału – wzmocnienie czoła podstawy wału od strony wewnętrznej lub jako rozsypisko kamieni z górnej części wału, które się zsunęły po zboczach, czy nawet, co jest najmniej prawdopodobne, jako relik budynku dostawionego do wału w okresie wczesnego średniowiecza.

Wał nr 4 został usypany bez wątplenia w okresie krzyżackim, jednak na wcześniejszych konstrukcjach, których relikty zachowały się w wykopie 6A (obiekty 1/6 i 2/6), chyba że mamy tu do czynienia z dwoma fazami wznoszenia tego wału przez Krzyżaków: przed I powstaniem pruskim i po tym powstaniu. Schleif praktycznie nie odnotował pozostałości innych form zbliżonych do obiektu 1/6. Natomiast opisaną przez niego platformą kamienną

15. Próbka 1/R/2017, datowanie wykonało laboratorium jak wyżej.

wraz z rowem popalissadowym może być obiekt 2/6 i znajdująca się po jego pfn. stronie jasna smuga piachu o szerokości około 30 cm. Poziom, na którym te elementy wystąpiły, jest mniej więcej porównywalny z poziomem zarejestrowanym przez Schleifa¹⁶. Materiał ceramiczny wydobyty z wykopu 6A świadczy o raczej pruskiej chronologii budowy konstrukcji zarejestrowanych w obiektach 1/6 i 2/6. Jednak ten wniosek jest tylko teorią, ze względu na wydobycie z tego miejsca przemieszanego materiału ceramicznego, co może świadczyć o dość intensywnej działalności budowlanej w tym miejscu w XIII w. i niedokończeniu ostatniej inwestycji. Ponadto wał w okresie krzyżackim był wzmocniany jakąś bliżej nie określoną konstrukcją. Reliktem jej są znalezione kamienie, które osunęły się po pld. zboczu wału, tworząc aktualnie nieregularnie zalegający płaszcz kamienny pod humusem. Niestety niewiele do tych rozważań wniosło wykonanie wykopu 12, ze względu na nieukończenie prac. Odkopano w nim tylko warstwy związane z działalnością budowlaną Krzyżaków (warstwa 2) i pruską (warstwy 3–5). Znalaziono w nich ślady sprasowanych belek, a w warstwie 5 – spalenizny. Te elementy mogą sugerować wzniesienie wału w okresie krzyżackim, w konstrukcji przekładkowej, w której wypełnikiem jądra wału, poza konstrukcją drewnianą, były piach i luźne kamienie.

W wykopach 2, 3 i 8 potwierdziły się spostrzeżenia Schleifa o występowaniu jednej warstwy kulturowej na majdanie głównym, na głębokości około 60–90 cm (warstwa 3), którą można datować na okres wczesnożelazny; dzięki badaniom termoluminescencyjnym można uściślić to datowanie z grubsza na V w. p.n.e., co jest zgodne z datowaniem pobranej z tego miejsca ceramiki (II faza kultury zachodniobałtyjskiej – lata 550–120 p.n.e.). Warstwa 2 jest przemieszana, w niej znajdują się zabytki zarówno z okresu wczesnożelaznego, jak i wczesnośredniowieczne. W wykopie 8A znaleziono konkretne obiekty związane z osadnictwem o charakterze mieszkalnym z okresu wczesnożelaznego (obiekt 5) i wczesnośredniowiecznego (obiekt 8). Grunt w rejonie majdanu głównego był częściowo splantowany i użyty prawdopodobnie do budowy wałów (nr 1, 2 i 4) w okresie krzyżackim.

W celu potwierdzenia niemieckich ustaleń co do obecności umocnień od strony rzeki i sytuacji zastanej na majdanie centralnym wykonano wykopy 10 i 11. W wykopie 10 nie stwierdzono na krawędzi majdanu centralnego żadnych konstrukcji ochraniających tę część majdanu od strony skarpy opadającej w kierunku rzeki. Ponadto warstwy kulturowe zalegające w wykopach 10 i 11 nie świadczą o znacznym plantowaniu tej części majdanu w celu wznoszenia wałów w okresie krzyżackim, co jest sprzeczne z ustaleniami Schleifa. Dwa obiekty zalegające w wykopie 10 można wiązać z działalnością Prusów lub Krzyżaków (obiekt 2/10) i Krzyżaków (obiekt 1/10). Jednak skarpa, w tym miejscu ulegała na przestrzeni ostatnich 2 tysięcy lat znacznej erozji, a co za tym idzie, wszelkie istniejące na krawędzi umocnienia mogły runąć w kierunku rzeki, zwłaszcza że musiały być spalone, tak jak pozostała część wałów obiektu. To, że takie umocnienia istniały od strony rzeki, potwierdzają wyniki z wykopów niemieckich nr 48, 50, 51, 52 i 54, chociaż trzeba zauważyć, iż relikty umocnień odkrytych w tych wykopach znajdowały się w miejscu o najmniejszym spadku gruntu w kierunku rzeki, gdzie obiekt warowny wymagał dodatkowego zabezpieczenia. Chronologię budowy wałów i zasiedlenia obiektu w poszczególnych okresach przedstawiają ryc. 62 a, b, c. I tak na ryc. 62a przedstawiono zasiedlenie obiektu z okresu wczesnożelaznego, na ryc. 62b – z okresu pruskiego, a na ryc. 62c zaprezentowano rozbudowę obiektu w dwóch fazach (A i B) z okresu krzyżackiego. W okresie wczesnożelaznym osada znajdowała się przede wszystkim na majdanie głównym (C), a elementy instalacji obronnych – na wałach nr 2 i 5. Przy rekonstrukcji tych elementów musimy się oprzeć głównie na badaniach niemieckich. Droga do osady, o charakterze obronnym, prawdopodobnie prowadziła wzdłuż pld.-zach. części obiektu, nad urwiskiem doliny rzeki Dzierzgonki. Ponownie obiekt został zasiedlony w okresie pruskim, pod koniec wczesnego średniowiecza¹⁷, w okresie początków ekspansji krzyżackiej¹⁸ na teren pruskiej Pomezanii. Prusowie zapewne poszukiwali dogodnych terenów pod budowę instalacji obronnych, za którymi mogliby się schronić w momencie zewnętrznej inwazji. Obiekt w Starym Dzierzgoniu

16. Poziom ten można określić na podstawie jego rysunku.

17. Osadnictwo pruskie w okolicy Góry Zamkowej pojawiło się w XI w., czego dowodem jest m.in. znalezisko trzech połówek dirhemów w zewnętrznej strefie obiektu warownego, a także założenie w okolicy grodu i osady w Myślęcinie oraz grodu w Starym Mieście (Szczepański 2016, s. 153).

18. Także datowanie ceramiki wczesnośredniowiecznej może wskazywać na zasiedlenie obiektu i początki odbudowywania jego systemu obronnego w XII w. – można byłoby tę akcję wiązać z ekspansją Bolesława Krzywoustego oraz Bolesława Kędzierzawego na ziemię Prusów.

idealnie się nadawał do tego celu. Osłaniał bowiem od południa centrum ziemi Lingwars, będąc położonym w trudno dostępnym terenie. Ponadto ze względu na swoją powierzchnię i walory obronne mógł stanowić schronienie dla znacznej liczby okolicznej ludności (na jego terenie mogło pomieścić się nawet kilka tysięcy ludzi, a także zwierząt hodowlanych). Według mnie pruski system obronny został rozbudowany ostatecznie między rokiem 1230 a 1234. Składał się z wału głównego nr 2, bramy znajdującej się między wałami 2 a 5 oraz bliżej nieokreślonej instalacji obronnej chroniącej przed ewentualnym przedostaniem się wroga od strony jaru położonego między majdanami centralnym i głównym a płn. (płn. część wału nr 1 i wał nr 8). Przy czym tym jarem mogła prowadzić ścieżka z obiektu warownego do rzeki. Ponadto z logicznego punktu widzenia musiało być także zabezpieczone urwisko opadające w kierunku rzeki. Badania wykopu nr 9A nieco rozjaśniły naszą wiedzę o konstrukcji wału, przynajmniej z okresu pruskiego. Wał był drewniano-gliniany, wzmocniany konstrukcjami kamiennymi. Miał drewnianą ścianę tylną oraz zapewne czołową. Jego jądro stanowiły co najmniej trzy warstwy twardej gliny ułożone na ławie kamiennej, ponadto wzmocniane kamieniami. Prawdopodobnie była to konstrukcja przekładkowa, aczkolwiek na to nie ma wystarczających dowodów. Na majdanie głównym znajdowały się także zabudowa przywałowa (np. wykop 26) oraz obiekty mieszkalne (np. obiekt 8 w wykopie 8). Mankamentem tej instalacji obronnej była jej rozległość oraz wysokość wałów, która od dna fosy po koronę wału wynosiła około 6–7 m, co, jak się wkrótce okazało, nie wystarczyło. Cały obwód obronny miał około 800 m długości i wymagał do obrony znacznej liczby zbrojnych. Krzyżacy po zajęciu obiektu w 1235 lub 1236 r. zaczęli go rozbudowywać według własnej wiedzy o obiektach warownych (ryc. 62c). Na początek podwyższyli wały obronne o około 3 m, poszerzyli i pogłębili fosę. W ten sposób uzyskali wysokość wału głównego przekraczającą 10 m. Wybudowali coś w rodzaju zamku górnego, odgradzając wałem nr 1 majdan centralny. Wysokość tego wału można oszacować na około 5 do 10 m, w zależności od miejsca. Ponadto wybudowali wały nr 4 oraz 3, na płn. i pld. od jaru. Można przypuszczać, że w ten sposób chciano

chronić zarówno majdan płn., jak i główny od strony jaru, jednocześnie umożliwiając korzystanie ze ścieżki prowadzącej z warowni nad rzekę tym właśnie jarem. Ponadto rozbudowano bramę na miejscu pruskiej, zapewne wznosząc instalację obronną na wałach nr 5 i 6. Ponadto mogły istnieć jakieś umocnienia od strony rzeki. Obiekt nie był dokończony w momencie wybuchu I powstania Prusów, zapewne dlatego dość szybko wpadł w ich ręce. Do tego momentu stanowił jedną z głównych baz wypadowych do dalszej ekspansji krzyżackiej w kierunku Pomezanii, Warmii i Barcji. Stanowił osłonę dla ruchu osadniczego. Jednocześnie był punktem administracyjnym do zarządzania nowym terytorium, jakim była Pomezania. W fazie drugiej, przypadającej na lata 1249–1261/1262, obiekt stracił charakter zamku na rzecz strażnicy. Krzyżacy nie odbudowali go całkowicie po zniszczeniach dokonanych w trakcie I powstania Prusów, ze względu na przeniesienie siedziby do Dzierzgonia; tutaj w najwyższym miejscu wału głównego wybudowano solidną wieżę strażniczą opisaną powyżej, przy opisie wykopu 44. Ponadto wzgórze, na którym stała, odcięto od reszty wałów przekopami. Wieża została zniszczona w trakcie II powstania Prusów, tym samym kończąc historię zasiedlenia tego obiektu warownego. Znalazienie na terenie Góry Zamkowej ułamków cegieł oraz dachówek świadczy o tym, że wewnątrz obiektu część budynków została wzniesiona przy ich użyciu. Zastosowanie tego materiału, jak również plan obiektu i pełniona funkcja skłaniają nas do zaliczenia go w latach 30. i 40. XIII w. do tzw. zamków typu przejściowego¹⁹; następnie stracił tę funkcję na rzecz strażnicy chroniącej teren osadniczy.

Ponadto na przedpolu grodu zlokalizowano nowy, do tej pory nieznaną wał (nr 9) stanowiący zewnętrzną ochronę założenia. Nie wiadomo, z jakiego okresu on pochodził. Można tylko przypuszczać, że wybudowali go Prusowie. Na północny wschód od obiektu, na wzgórku widocznym na mapie numerycznej²⁰ (miejsce oznaczone literą F) odkryto ślady wału i bliżej nieokreślonej konstrukcji – może być to nawet kościół.

19. Zamki służące na terenie Prus ochronie, kolonizacji i kontroli podbitej ludności w dobie początków ekspansji Zakonu Krzyżackiego. Po pewnym czasie obiekty te zanikały albo przekształcały się w zamki lub miasta.

20. Zob. ryc. 6 w tekście dotyczącym warunków naturalnych i opisu obiektu.

21. We wcześniejszej literaturze czy materiale archiwalnym nie ma wzmianek o tym obiekcie.

GRÓD CYPLOWY – ST. 3, STARY DZIERZGOŃ

Gród cypłowy został odkryty podczas badań w ramach realizacji programu „Adalbertus”²¹. Pierwsze badania archeologiczne przeprowadził Wojciech Chudziak w 1996 r. Wykonano dwa wykopy sondazowe o powierzchni 5 m² w pld. i pfn. części grodu, na jego majdanie. Ponadto wykonano sześć odwiertów w odstępach 5-metrowych. Wynikiem tych badań była krótka podsumowująca je publikacja zamieszczona w „Informatorze Archeologicznym”. Wyniki badań można opisać w sposób syntetyczny w kilku zdaniach. Obiekt leżał w trudno dostępnym terenie i składał się z trzech pierścieniowatych niskich wałów odcinających cypel od pozostałego terenu. Był zasiedlony w okresie lateńsko-halsztackim. Na to wskazywały: znaleziony materiał – niewielka ilość ułamków naczyń ceramicznych oraz typ grodu, przede wszystkim trzy pierścienie wałów. Nie stwierdzono na nim obecności obiektów o charakterze mieszkalno-gospodarczym (Chudziak 2005, s. 141–142). W momencie rozpoczęcia prac archeologicznych na Górze Zamkowej w Starym Dzierzgoniu w 2009 r. przez ekipę AMP-B postanowiono także przebadać ten obiekt, przynajmniej w sposób sondazowy. Do końca 2017 r. wykonano dwa wykopy archeologiczne – nr 1 i 2, wykonano mapę warstwicoowo-sytuacyjną oraz opracowano mapę numeryczną na podstawie wyników badań LIDAR-u. Wykopy wykonano na najwyższym, czołowym wale nr 1 oraz na wale nr 2 w środku obiektu (ryc. 63). Mankamentem był w tym przypadku fakt, że wykopy zostały zrealizowane przed przeprowadzeniem badań geofizycznych.

Wykop nr 1 (ryc. 64) miał wymiary około 1 x 5,2 m oraz 1,75 m głębokości. Wykop został wykonany w odległości około 10 m od krawędzi cypla opadającego w kierunku rzeki i przeciął cały wał czołowy. W wykopie zarejestrowano następujące warstwy stratygraficzne:

1. humus o miąższości około 10–15 cm;
2. szara ziemia zalegająca w pfn. i pld. części wykopu, o miąższości około 20–40 cm;
- 3 i 3a. pomarańczowożółta tłusta i zbity glina zalegająca praktycznie w całym wykopie, poza jego krancami, stanowiąca konstrukcję instalacji obronnych, miała do około 1,4 m miąższości;
4. żółty zbity piach stanowił jądro wału, znajdował się od około 0,5 m do 1 m poniżej

poziomu gruntu, częściowo pod warstwami 10 (spalonych konstrukcji drewnianych) oraz 3; warstwa składała się jak gdyby z dwóch części: centralnego jądra o wymiarach mniej więcej 0,9 x 1 m oraz rozsypiska rozrzuconego na długości około 3,8 m;

5. pomarańczowa glina – calec?;
6. bladożółty piach, warstwa o miąższości około 10 cm występowała około 1,15 m poniżej poziomu gruntu, w kilku pasmach o wspólnej długości około 4 m, znajdujących się na tym samym poziomie;
7. bladożółtawy piach – calec;
8. warstwa przemieszana, piach i glina, występowała pod warstwą 2 w pld. części wykopu;
9. warstwa kamieni osadzonych na pomarańczowej glinie lub piachu, o miąższości około 40 cm, ciągnęła się na długości około 1,2 m w pfn. części wykopu;
10. spalona konstrukcja drewniana;
11. luźne kamienie;
12. dwa duże kamienie (o średnicy około 25–30 cm) znajdują się na warstwie pomarańczowej gliny, oddalone od siebie o około 2,4 m.

Na uwagę zasługują przede wszystkim warstwy 10, 9, 4, 3, które są głównymi warstwami związanymi z instalacją obronną, jaką był wał gliniano-piaszczysto-drewniany ze wzmocnieniami kamiennymi. Jądro wału stanowiło usypisko piachu z konstrukcją drewnianą – reliktem tego są warstwy 4 i 10. Warstwa piachu w momencie zniszczenia konstrukcji się osunęła, tworząc widoczne na rycinie osuwisko. Na stropie warstwy 4 znajdują się spalone elementy konstrukcji drewnianej, które mogą być pozostałością zarówno drewnianego ogrodzenia znajdującego się na koronie wału, jak i jakimiś elementami drewnianymi znajdującymi się na koronie tej konstrukcji. Podwaliną wału była warstwa 3a, a wzmocnieniem czoła wału – warstwa 9. Nie jest natomiast jasna funkcja warstwy 3. Może to być nasyp i jego osuwisko z drugiej fazy budowlanej wału. Jego elementami są także kamienie warstw 11 i 12 – część pld. W takim wypadku wał pierwszej fazy miałby około 2,5 m szerokości i około 3 m wysokości od dna fosy wykopanej przed wałem; jego wysokość zapewne jeszcze zwiększała drewniana palisada ustawiona na wale, o wysokości około 1–1,5 m²². Możemy mieć także do czynienia z konstrukcją jednofazową,

22. Porównanie z konstrukcjami znajdującymi się na sąsiednim obiekcie warownym na Górze Zamkowej.

wtedy warstwa 3 byłaby nasypem zewnętrznym wału i jego osuwiskiem po zniszczeniu. W takim wariacie podstawa wału miałaby około 4 m szerokości (od początku kamieni z warstwy 9 do warstwy 12 w części płd.).

Wykop nr 2 (ryc. 65) miał wymiary 1,4 x 1,45 m. W wykopie stwierdzono obecność zaledwie czterech warstw stratygraficznych, łącznie z calcem oraz mniej więcej w centralnej części wykopu odkryto kilka kamieni ułożonych na cienkiej warstwie pomarańczowej gliny. Między innymi jeden z nich miał wymiary 40 x 50 cm i wysokość około 20 cm. W wykopie zarejestrowano następujące warstwy stratygraficzne:

- humus o miąższości około 15 cm;
- szara ziemia o miąższości około 30 cm;
- pomarańczowa glina o miąższości około 10 cm zalegająca we wsch. części wykopu, a w niej kamienie;
- jasnożółty piach i żółtawa glina – calc.

Rozmieszczenie kamieni oraz warstw stratygraficznych prezentuje publikowana ryc. 65. Niewykluczone, że jest to fragment jakiejś większej konstrukcji, niekoniecznie chaty. Zwłaszcza że na płd. od tego wykopu znajduje się skupisko dziwnych anomalii geomagnetycznych. Badania wykopaliskowe uzupełniają informacje pozyskane w trakcie badań geofizycznych. W środkowej i płd. części cypla występują anomalie układające się w okrąg (rycina 63a). Mogą to być obiekty o charakterze np. palenisk. Ponadto wykonanie profilu RTE przez wał wykazuje, że wał czołowy miał bardziej skomplikowaną budowę wewnętrzną niż dwa pozostałe. Wały te były prawdopodobnie tylko nasypami. Niestety pobrana próbka do badań termoluminescencyjnych dała wynik negatywny, czyli nie uzyskano z niej żadnej daty. Pobrany materiał ceramiczny, składający się zaledwie z kilku ułamków ceramiki, potwierdza datowanie obiektu na okres wczesnożelazny przedstawione przez prof. Chudziaka. Nie wiadomo tylko, czy obiekt funkcjonował w tym samym okresie, co osiedle obronne na Górze Zamkowej. Możliwe, że tak było. Niewykluczone, że mielibyśmy w tym wypadku do czynienia z obiektem o charakterze kultowym, a po drugiej stronie rzeki – z osiedlem mieszkalno-obronnym. Wały miałyby wówczas charakter ogrodzenia sacrum.

Bibliografia

- ANTONIEWICZ J.
1964 *Osiedla obronne okresu wczesnożelaznego w Prusach*, „Światowid”, t. 25
- CHUDZIAK W.
2005 *Stary Dzierzgoń*, „Informator Archeologiczny”, Badania 1996 roku, Warszawa, s. 141–142
- DOHNA-SCHLOBITTEN A. ZU
2000 *Erinnerungen eines alten Ostpreußen*, Berlin.
- GAZDA D.
2013 *Badania archeologiczne Castrum Pomesarum w Starym Dzierzgoniu w sezonie 2009*, w: XVII Sesja Pomorzoznawcza, t. 2: *Od późnego średniowiecza do czasów nowożytnych*, red. M. Fudziński, H. Paner, Gdańsk, s. 194–214.
- GAZDA D., JEZIERSKA J.
2013 *Badania archeologiczne obiektu warownego w Starym Dzierzgoniu w latach 2010–2011*, red. E. Fudzińska, Malbork, s. 365–384
- 2016 *Badania Archeologiczne Obiektu Warownego na Górze Zamkowej w Starym Dzierzgoniu w sezonach 2009–2010*, w: *I Pomorska Sesja Sprawozdawcza*, red. M. Fudziński, Gdańsk, s. 12–30
- GAZDA D., JEZIERSKA J., KONIK J., SZŁĄZAK P.
2013 *Badania Archeologicznej Misji Pomezjańsko-Bałtyckiej obiektów warownych w Starym Dzierzgoniu i Bogdanach w latach 2009–2012*, „Archaeologica Hereditas”, t. 2, red. Z. Kobyliński, Warszawa–Zielona Góra, s. 135–180
- JAGODZIŃSKI M.F.
1997 *Archeologiczne ślady osadnictwa między Wisłą a Pasłęką we wczesnym średniowieczu. Katalog stanowisk*, Warszawa
- SEEFELD W. VON
1937 *SS.-Grabung auf dem Schlossberg bei Alt-Christburg*, Germanen-Erbe, Bd 2, H. 9/10, s. 277–282.
- SCHLEIF H.
1936 *Der Abschnittswall auf dem Schlossberg bei Alt-Christburg. Vorbericht über die Torgrabung und die Untersuchung der Vorburg im Südteil der Anlage*, Archiwum Naukowe Działu Archeologii Muzeum Warmii i Mazur w Olsztynie, tekst nr 4.
- 1938a *SS-Ausgrabung Alt Christburg 1935–1937: Vorläufiger Schlussbericht*, Archiwum Naukowe Działu Archeologii Muzeum Warmii i Mazur w Olsztynie, tekst nr 6.

- 1936–1937 *Frühordenszeitlicher Töpfern auf dem Schlossberg bei Alt-Christburg*, Archivum Naukowe Działu Archeologii Muzeum Warmii i Mazur w Olsztynie, tekst nr 5.
- SZCZEPAŃSKI S.
- 2008 *Pomezaniański gród w Starym Dzierzgoniu*, „Pruthenia”, t. 3, s. 11–38
- 2009a *Archaeology in the Service of the Nazis: Himmler’s Propaganda and the Excavations at the Hillfort Site in Stary Dzierzgoń (Alt Christburg)*, „Lietuvos Archeologija”, t. 35, s. 83–94
- 2009b *Hans Schleif (1902–1945) i jego badania nad germańską przeszłością Prus Wschodnich*, „Szkice Humanistyczne”, t. 9, nr 1, s. 51–62
- 2010 „Góra zamkowa” w Starym Dzierzgoniu w świetle średniowiecznych dokumentów, tradycji i badań archeologicznych, „Komunikaty Mazursko-Warmińskie”, nr 2 (268), s. 191–197.
- 2016 *Pomezania Pruska. Dzieje Osadnictwa w XIII–XV wieku*, Olsztyn
- 2018 *Listy Hansa Schleifa i Wolfa von Seefeldta w sprawie działalności wydziału wykopalisk SS-Ahnenerbe w Starym Dzierzgoniu i Starym Mieście (w latach 1935–1937)*, [w:] *II Warmińsko-Mazurska Archeologiczna Sesja Sprawozdawcza*, red. S. Wadył, M.J. Hoffmann, M. Karczewski, Białystok–Olsztyn–Warszawa (w druku).

Archaeological excavations of the fortified buildings in Stary Dzierzgoń in 1935–2018

SUMMARY²³

The site was subject to examinations in 1935–1937 by German crew of “Ahnenerbe” organization, led by Hans Schleif. The Germans excavated 66 trenches in total, and they examined the so-called three research areas and two separated zones.

After the first Prussian uprising the stronghold was partially abandoned, later the Teutonic Knights erected a defense tower on the highest point of the ramparts. This tower was then burnt, after less than 20 years, at the beginning of the second Prussian uprising. The German researchers managed, first of all, to determine dating of most of the ramparts (fig. 16), and thus the construction phases of the fortified building at Castle Hill [Góra Zamkowa] in Stary Dzierzgoń. And so the oldest ones appeared the ramparts No. 2 (except its southern part leading to the Dzierzgonka river) and 5 that were built in the early Iron Age. Then, in the early medieval period, the rampart No. 2 was built in the southern section, as well as probably the ramparts No. 6 and 7. During the Teutonic period, ramparts No. 1, 3 and 4 were built. In addition, six main phases of construction of the main rampart (fig. 35) and three main periods of its use and development have been defined. The shaft of the early Iron Age had four construction phases.

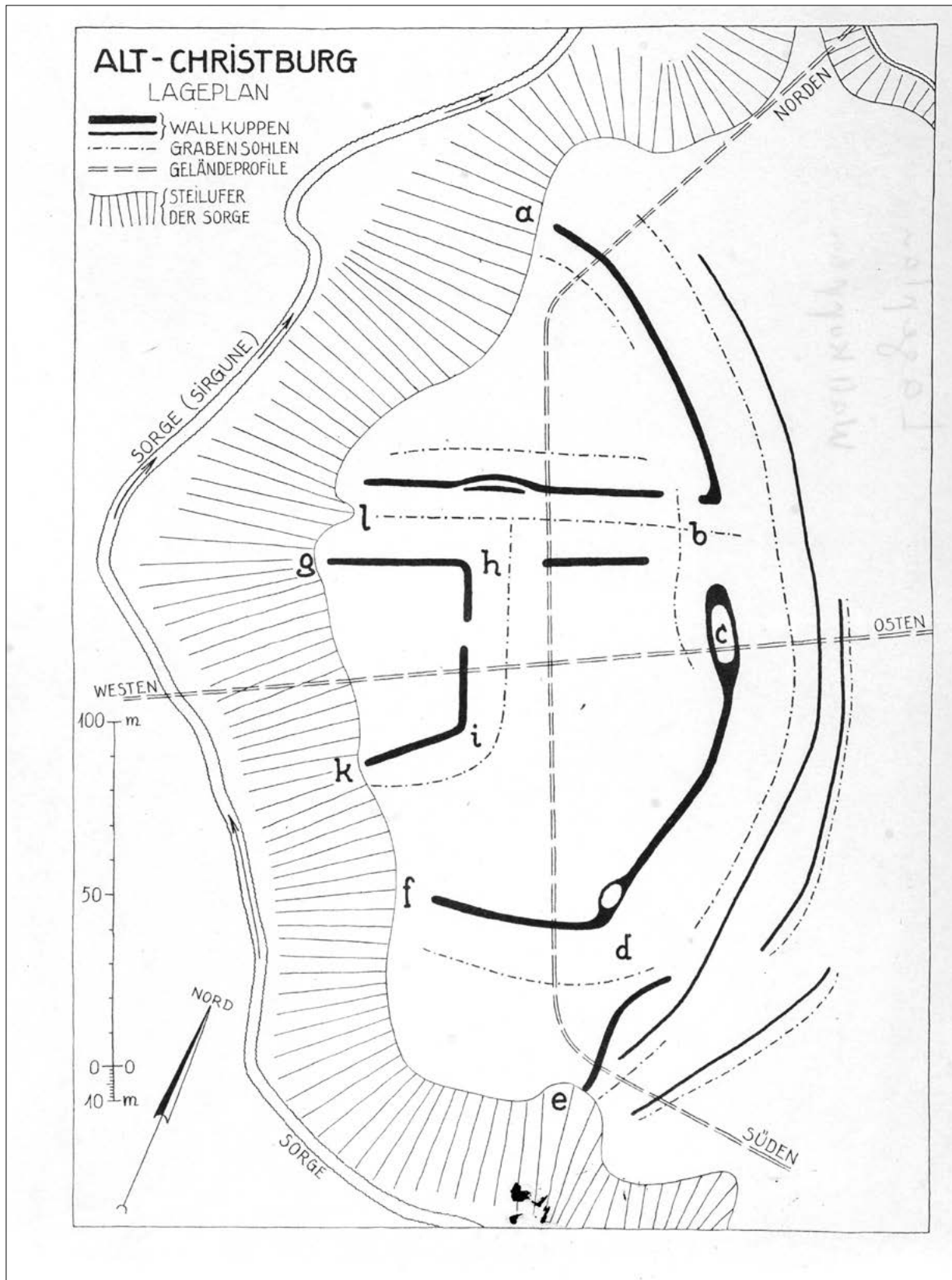
In 2009 the archaeological examinations were resumed. Researches took place in 2009–2011 and 2017. First of all, they were aimed at verification of the results of Hans Schleif’s researches, stating the chronology of the stronghold’s settlement beginnings, and defining the time of developing the site by the Teutonic Knights. Twelve trenches were excavated in the area outside the German examinations. The intersection through the southern rampart (No. 4) was made. This rampart separated the main bailey from the northern one (trenches No. 1, 4, 5, 6 and 7). There were also the trenches in the northern part of the main bailey (diggings No. 2, 3 and 8), and in the south-western part of the central quarry (trenches No. 10 and 11). Two

23. In the summary translation published in „Archaeologica Hereditas” 1, Grodziska Warmii i Mazur, p. 179, was used.

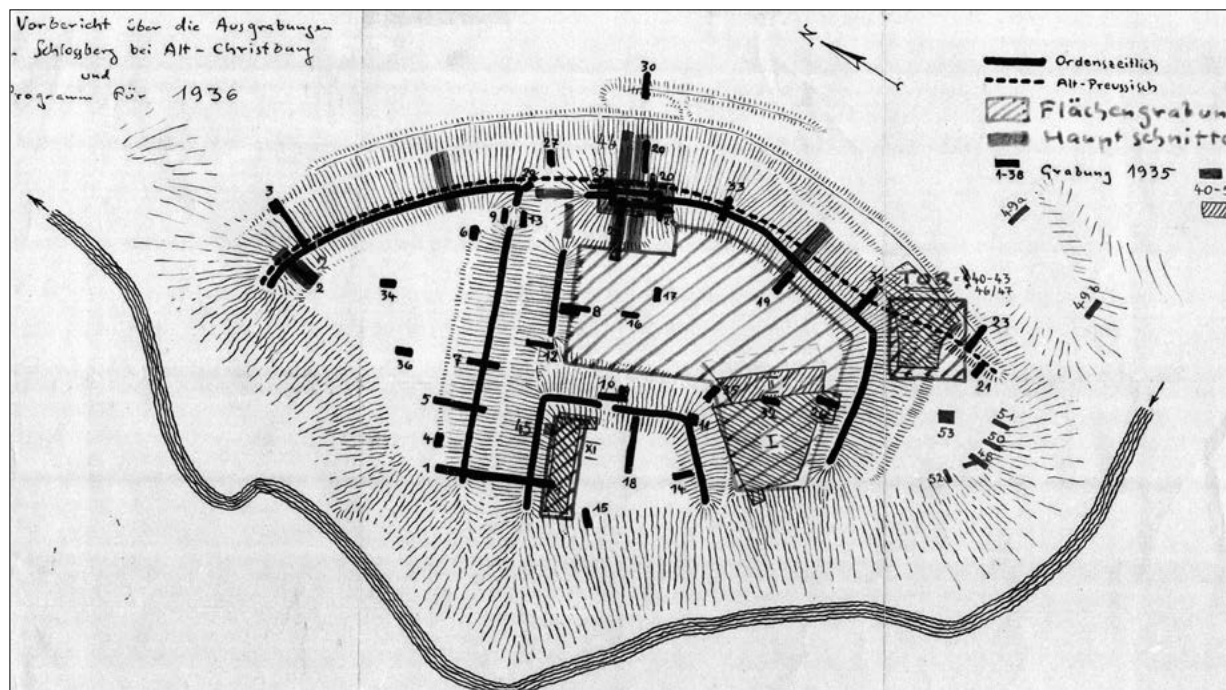
trenches were made on the main rampart (No. 9 and 12). It turned out that the rampart No. 4 was raised by the Teutonic Knights on the relics of the previous construction originating probably from the Prussian period. In the trench No. 8 nine features were discovered (No. 1–9), mostly the settlement pits with rich pottery assemblages coming mainly from the early Iron Age, as well as the remains of a hut (feature 5/8). In the trenches No. 10 and 11 there were no traces of any palisade from the river's steep ravine side, however, in the trench No. 10 two features were registered (1/10 and 2/10). These were the layers of the stone pavements on two levels, separated from each other with almost 50 cm thick stratum of soil and sand. Feature 2/10 may be a grave's covering. Excavation of the main rampart – trench 12A – has also been initiated. So far the depth of ca. 210 cm has been reached on the ramparts' climax peak. In the trench 9A stratigraphic layers can be stratified, supported by two C14 – 1R and 2R / 2017 test samples. Thus layers 10–4 can be associated with the construction of the ramparts in the early Iron Age. The layers 10, 8, 6, 4, 4a are the relics of the rampart or fence construction, the layers 9, 7, 5 are, however, leveling layers for building the successive constructions. Thanks to a C14 sample from the layer 4, we can conclude that it comes from an early Iron Age, and roughly set the lower limit of destruction of this rampart for about a year or so around 350 BC. This is in line with the dating of samples taken from the excavation 8 – V century BC.

Excavation in the stronghold – position No. 3 in Stary Dzierzgoń – complements the information obtained during the geophysical research. In the middle and southern parts of the stronghold there are anomalies that form a circle (fig. 63) and may represent the objects of the hearths type. Two trenches were made there, No. 1 on the rampart, and No. 2 in the middle of the stronghold.

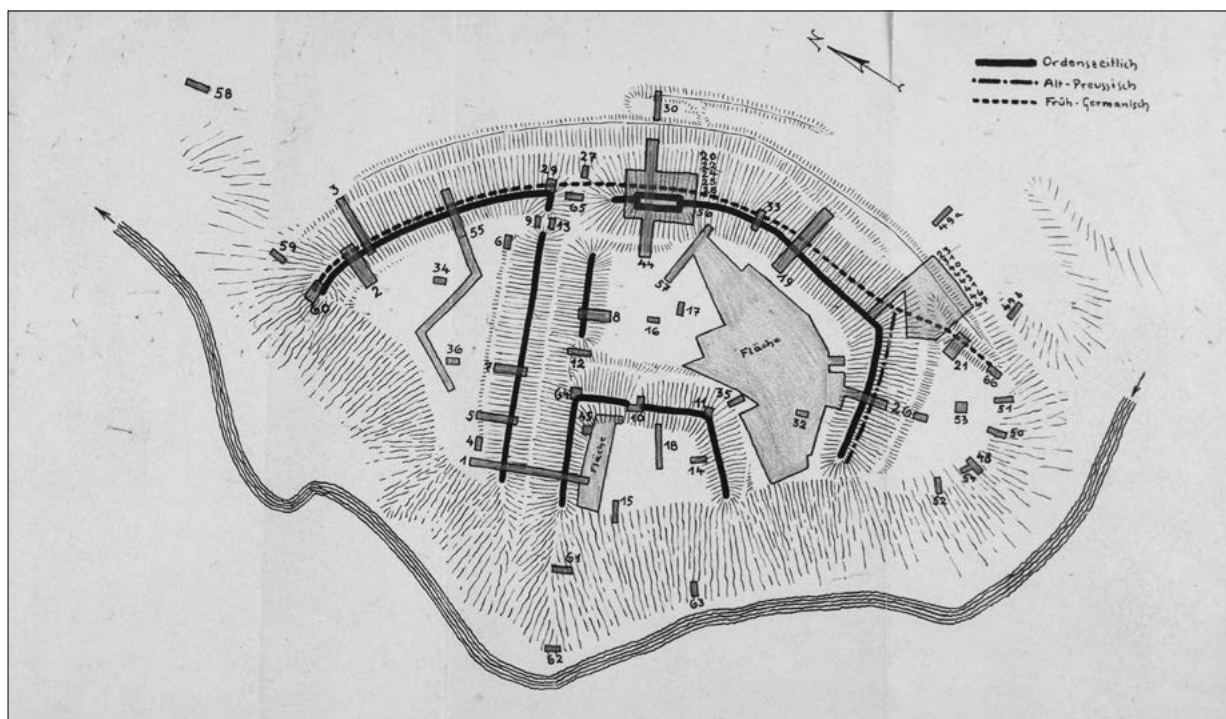
The collected ceramic material consisting of only a few fractions of ceramics confirms the early Iron Age dating of prof. Chudziak for the facility. It is not clear if the facility functioned in the same period as the stronghold on Castle Hill [Góra Zamkowa]. It is possible that it did.



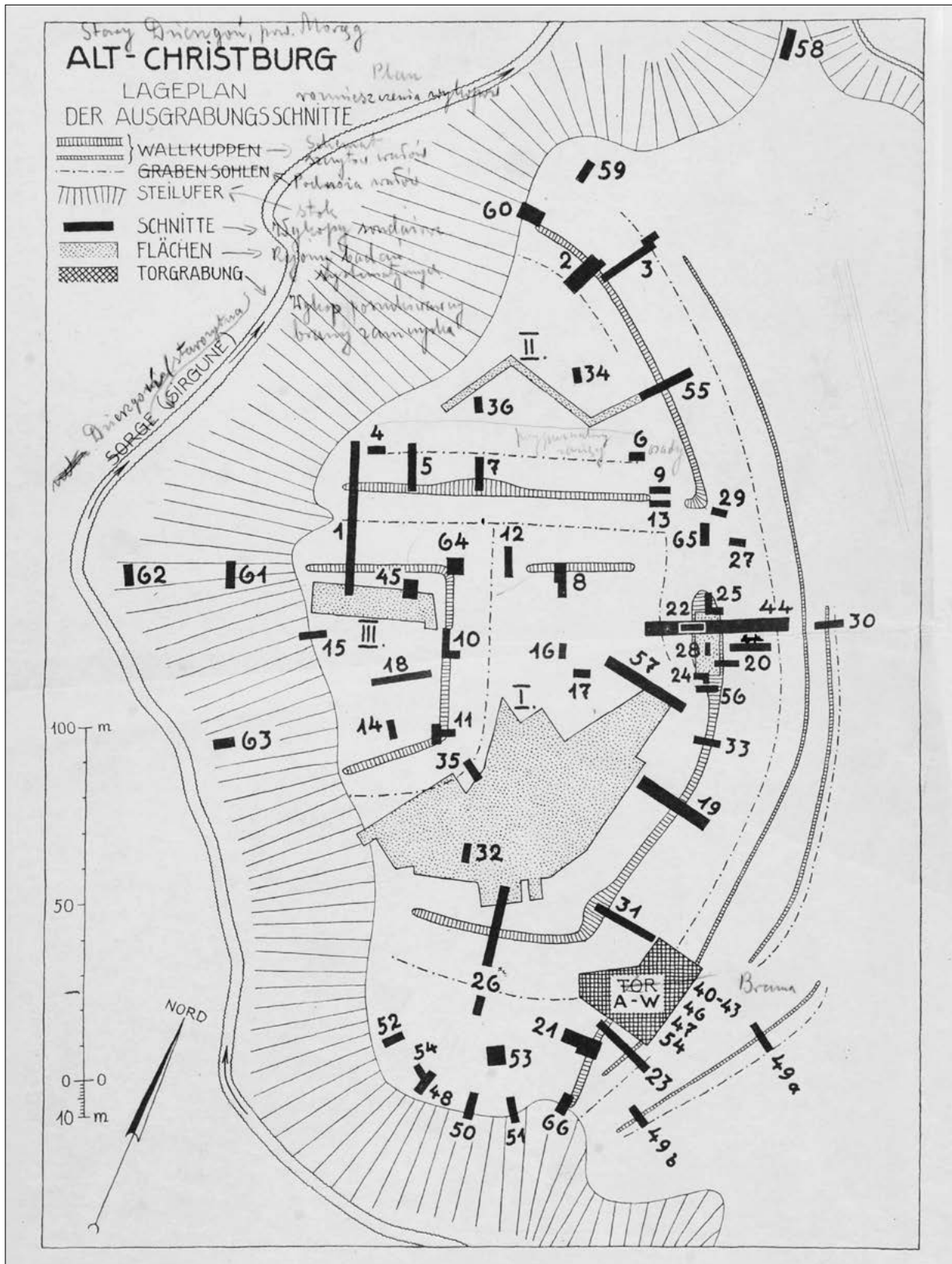
Ryc. 1. Obiekt warowny na Górze Zamkowej w St. Dzierzgoniu, rozmieszczenie wałów, Kartoteka Schleifa G
 Fig. 1. The fortified building at Góra Zamkowa in St. Dzierzgoń, layout of the of defensive ramparts, Schleif's file G



Ryc. 3. Obiekt warowny na Górze Zamkowej w St. Dzierżgoniu, odręczny plan wykopów, rys. H. Schleif, Kartoteka Schleifa
 Fig. 3. The fortified building at Góra Zamkowa in St. Dzierżoń, a hand-written excavation plan, drawing H. Schleif, Schleif's file G

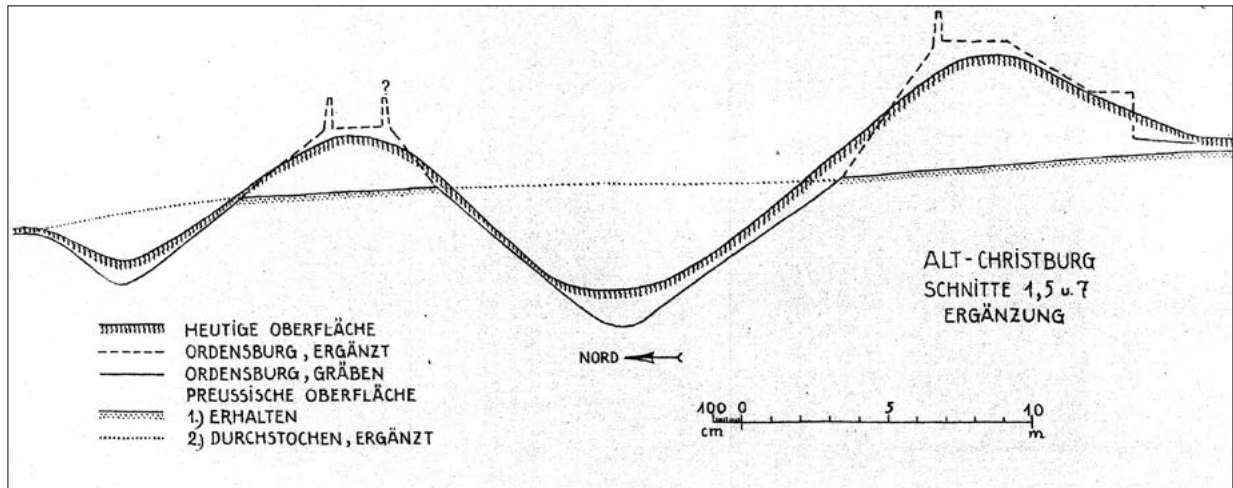


Ryc. 5. Obiekt warowny na Górze Zamkowej w St. Dzierżgoniu, rozmieszczenie wykopów z lat 1935–1937, rys. H. Schleif, Kartoteka Schleifa G
 Fig. 5. The fortified building at Góra Zamkowa in St. Dzierżoń, the plan of German trenches of 1935–1937, drawing H. Schleif, Schleif's file



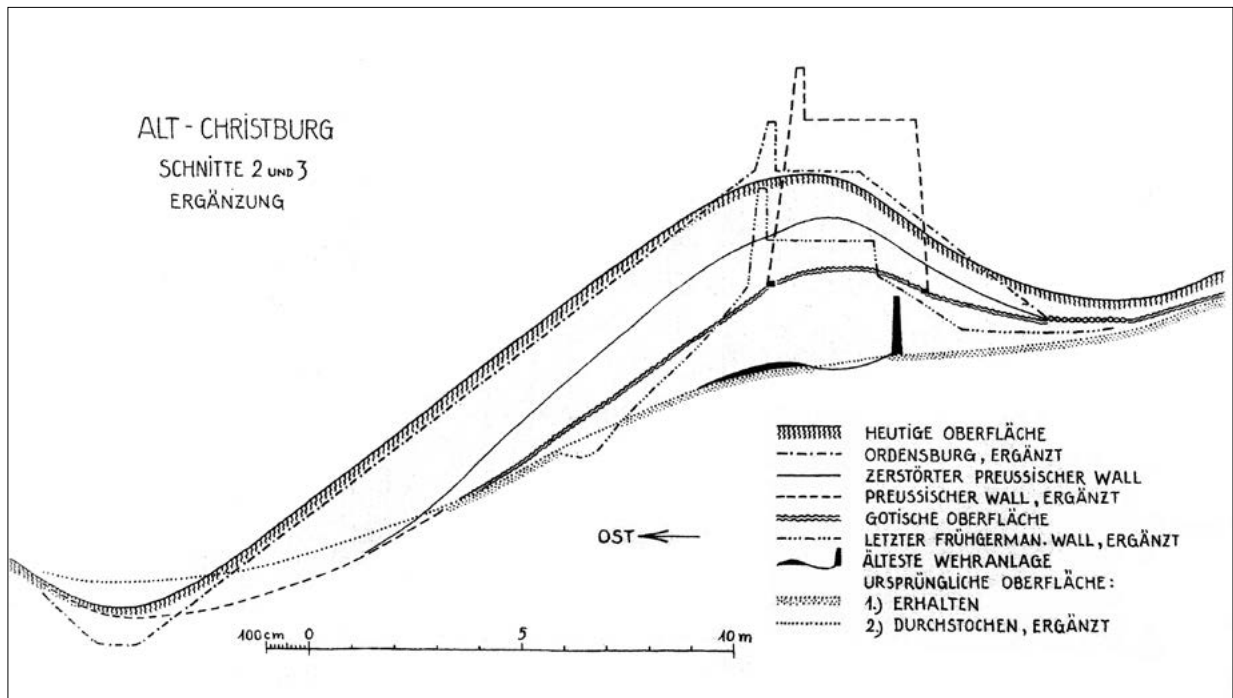
Ryc. 4. Obiekt warowny na Górze Zamkowej w St. Dzierzgoniu, rozmieszczenie wykopów z lat 1935–1937, rys. H. Schleif, Kartoteka Schleifa

Fig. 4. The fortified building at Góra Zamkowa in St. Dzierzgon, the plan of German trenches of 1935–1937, Schleif's file



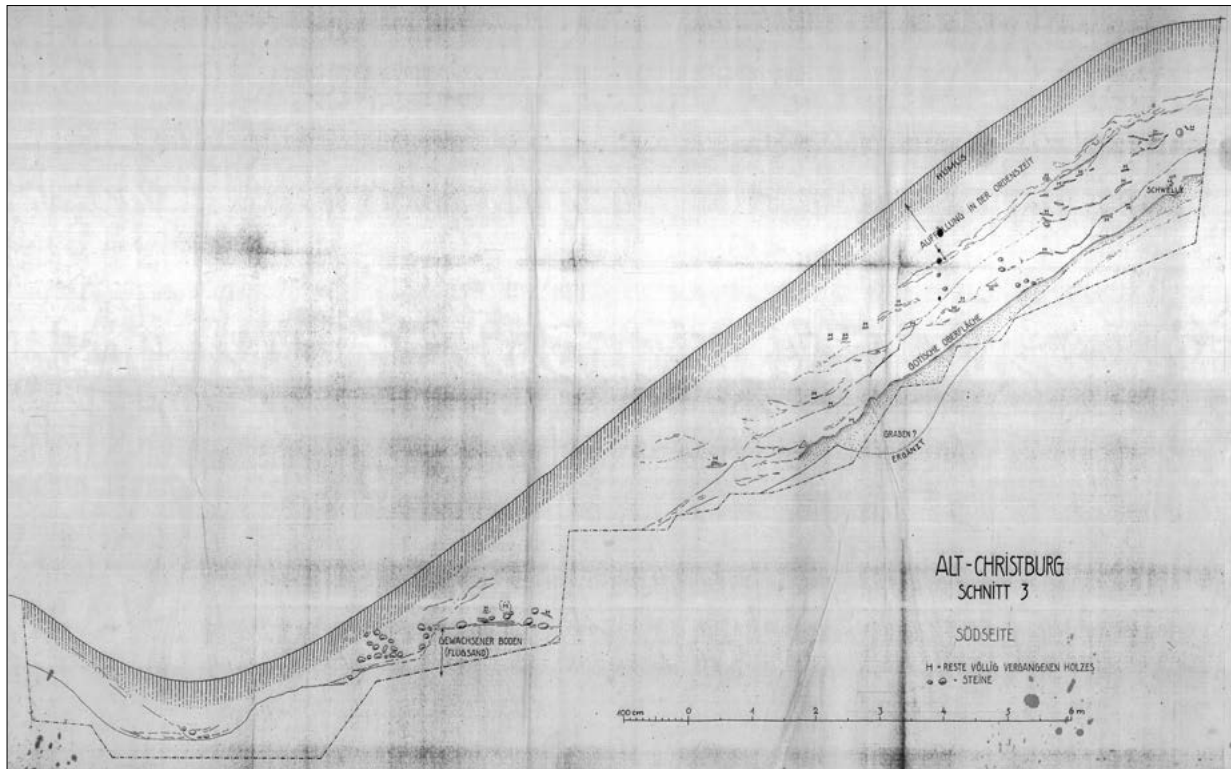
Ryc. 6. Obiekt warowny na Górze Zamkowej w St. Dzierżoniu, rekonstrukcja wałów na podstawie wykopów 1, 5, 7, Kartoteka Schleifa

Fig. 6. The fortified building at Góra Zamkowa in St. Dzierżon, rampart reconstruction based on trenches 1, 5, 7, Schleif's file



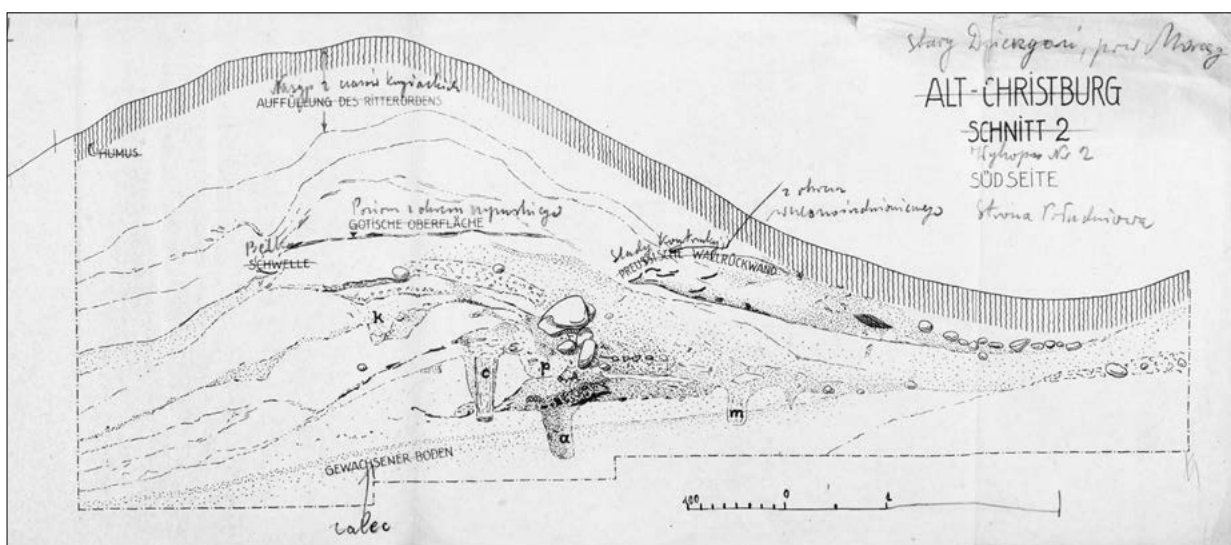
Ryc. 7. Obiekt warowny na Górze Zamkowej w St. Dzierżoniu, rekonstrukcja wałów na podstawie wykopów 2, 3, Kartoteka Schleifa

Fig. 7. The fortified building at Góra Zamkowa in St. Dzierżon, rampart reconstruction based on trenches 2, 3, Schleif's file



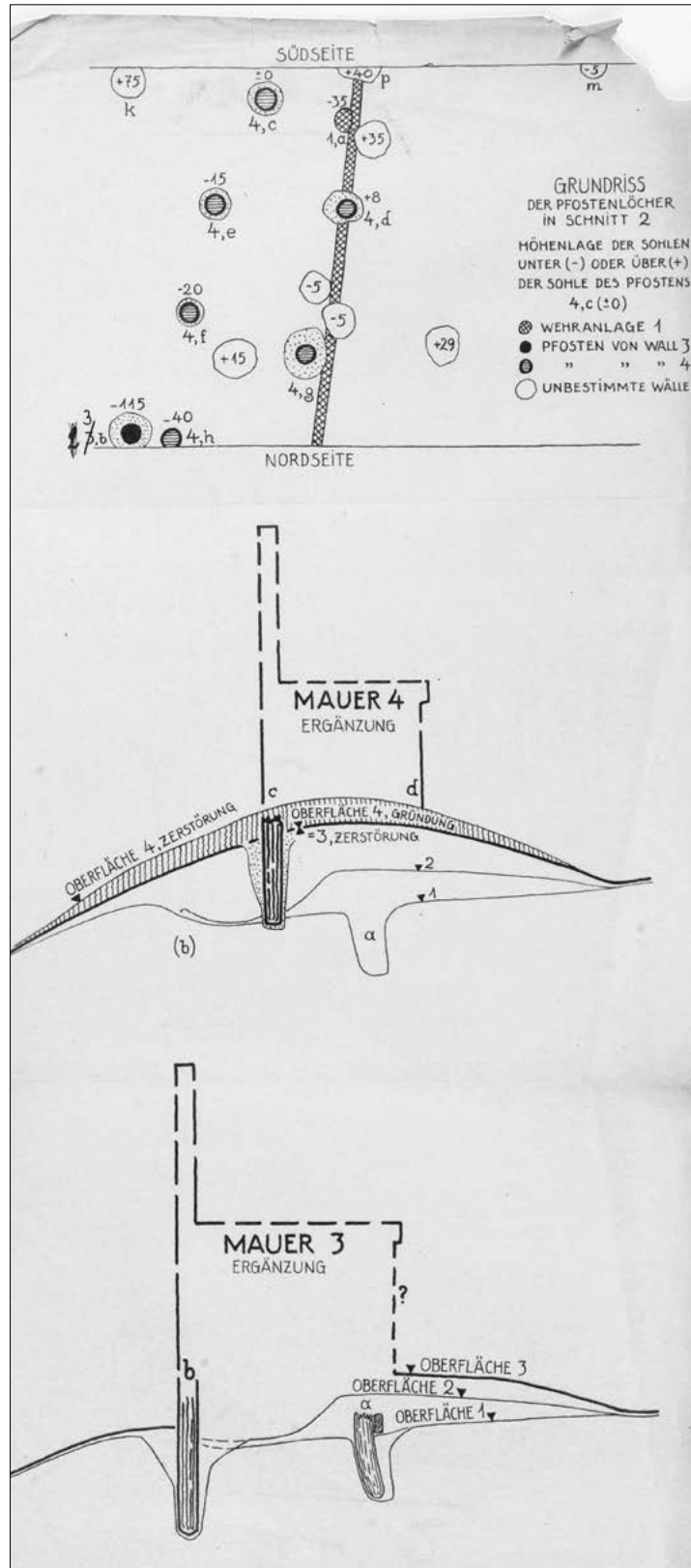
Ryc. 8a. Obiekt warowny na Górze Zamkowej w St. Dzierzgoniu, profil pld. wykopu 3, Kartoteka Schleifa

Fig. 8a. The fortified building at Góra Zamkowa in St. Dzierzgoń, profile of the southern trench 3, Schleif's file



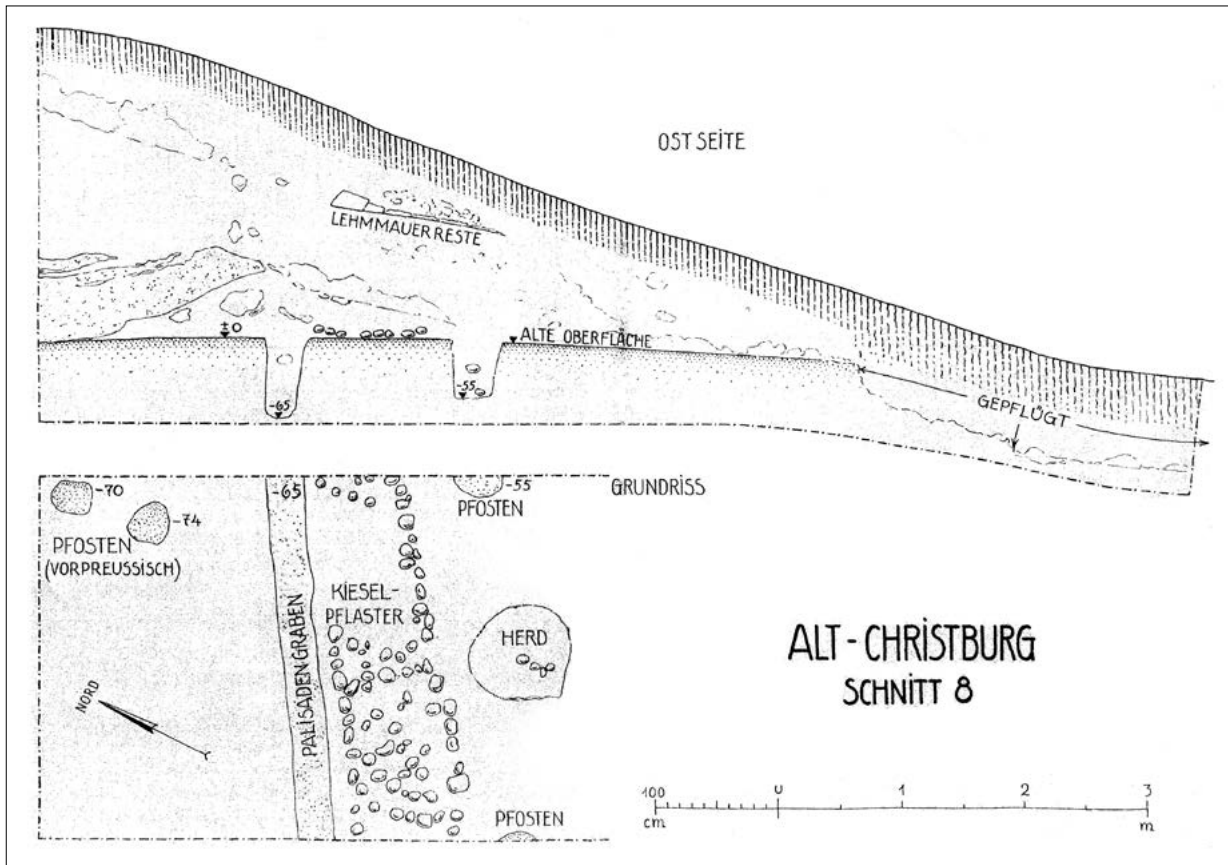
Ryc. 8. Obiekt warowny na Górze Zamkowej w St. Dzierzgoniu, profil pld. wykopu 2, Kartoteka Schleifa E

Fig. 8. The fortified building at Góra Zamkowa in St. Dzierzgoń, profile of the southern trench 2, Schleif's file E

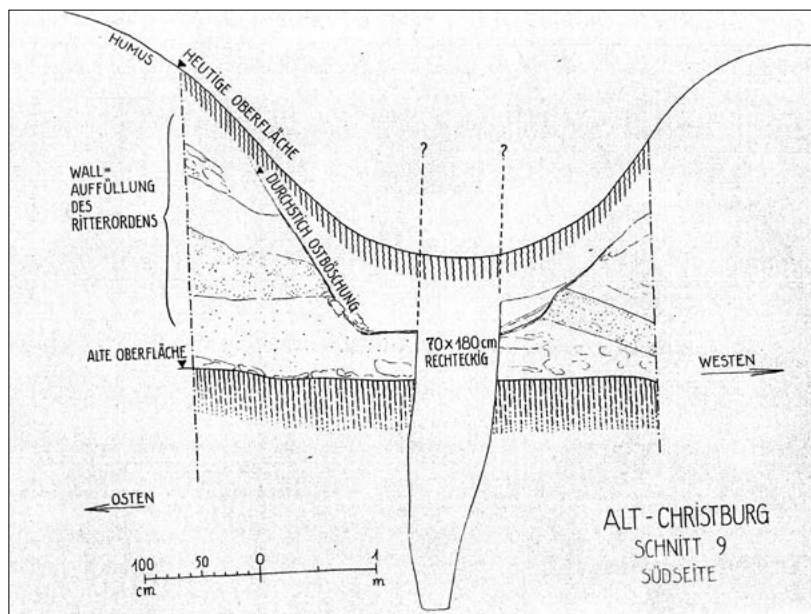


Ryc. 9. Obiekt warowny na Górze Zamkowej w St. Dzierzgoniu, rekonstrukcja wałów na podstawie wykopów 2, 3 – trzeciej i czwartej fazy budowlanej, Kartoteka Schleifa G

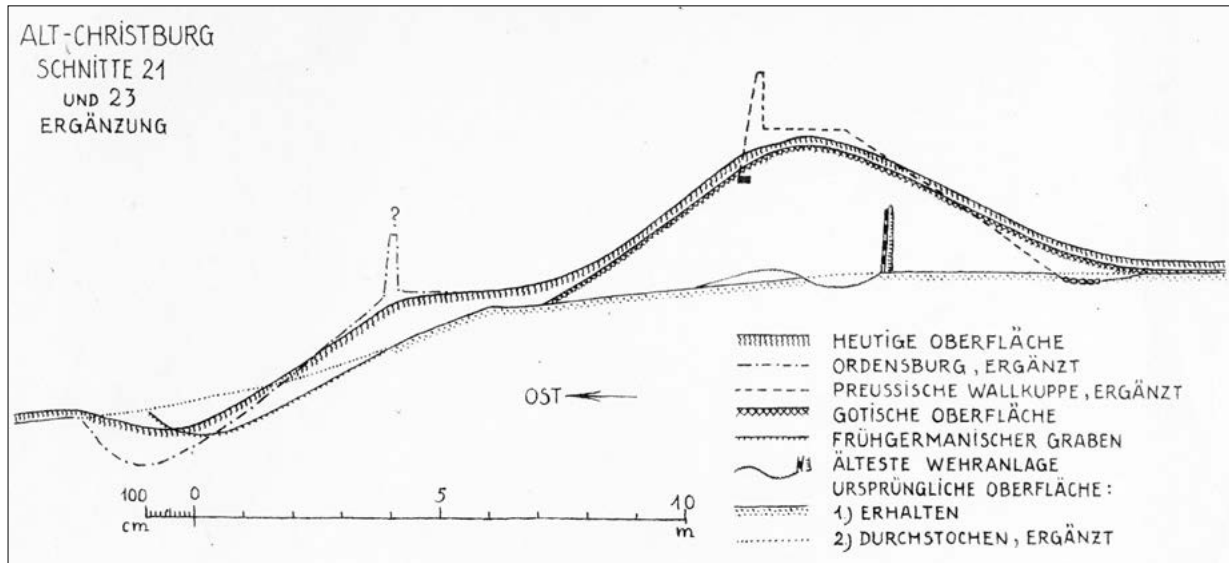
Fig. 9. The fortified building at Góra Zamkowa in St. Dzierzgoń, rampart reconstruction based on trenches 2, 3 – third and fourth building phase, Schleif's file



Ryc. 10. Obiekt warowny na Górze Zamkowej w St. Dzierzgoniu, wykop nr 8, profil wsch. oraz rzut poziomy, Kartoteka Schleifa.
 Fig. 10. The fortified building at Góra Zamkowa in St. Dzierzgoń, trench 8, eastern profile and horizontal plan, Schleif's file

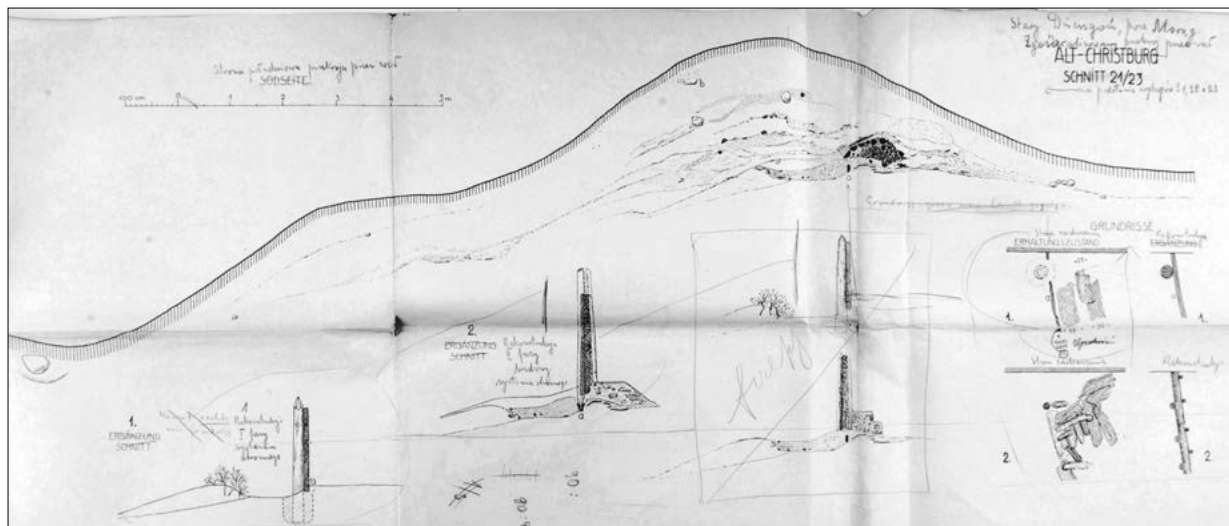


Ryc. 11. Obiekt warowny na Górze Zamkowej w St. Dzierzgoniu, profil płd. wykopu 9, Kartoteka Schleifa
 Fig. 11. The fortified building at Góra Zamkowa in St. Dzierzgoń, profile of the southern trench 9, Schleif's file



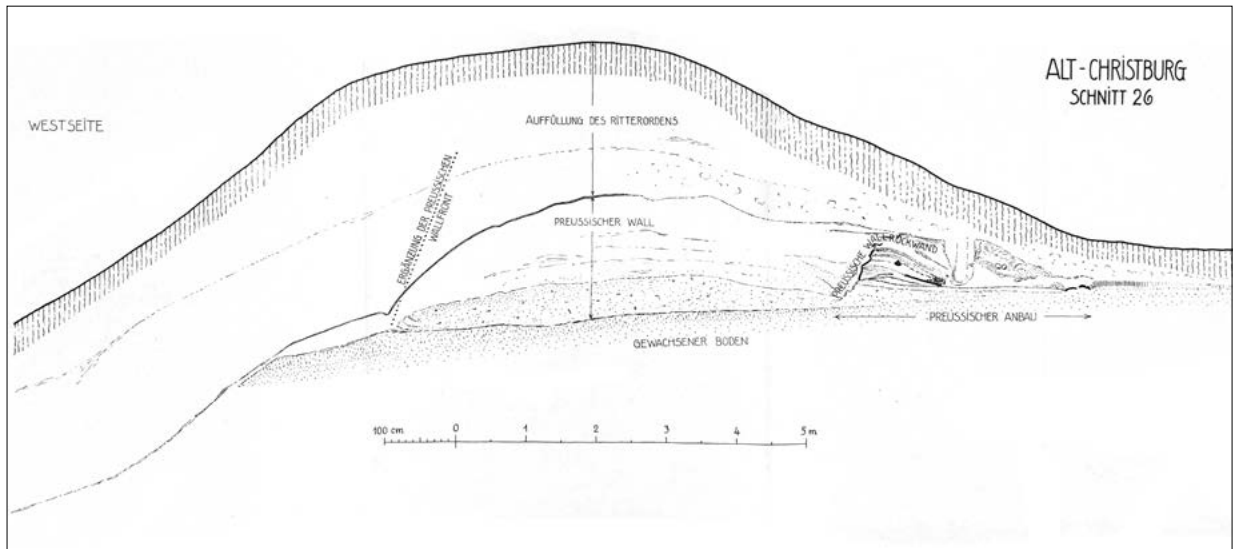
Ryc. 12. Obiekt warowny na Górze Zamkowej w St. Dzierzgoniu, rekonstrukcja wałów na podstawie wykopów 21 i 23, Kartoteka Schleifa G

Fig. 12. The fortified building at Góra Zamkowa in St. Dzierzgoń, rampart reconstruction based on trenches 21 and 23, Schleif's file

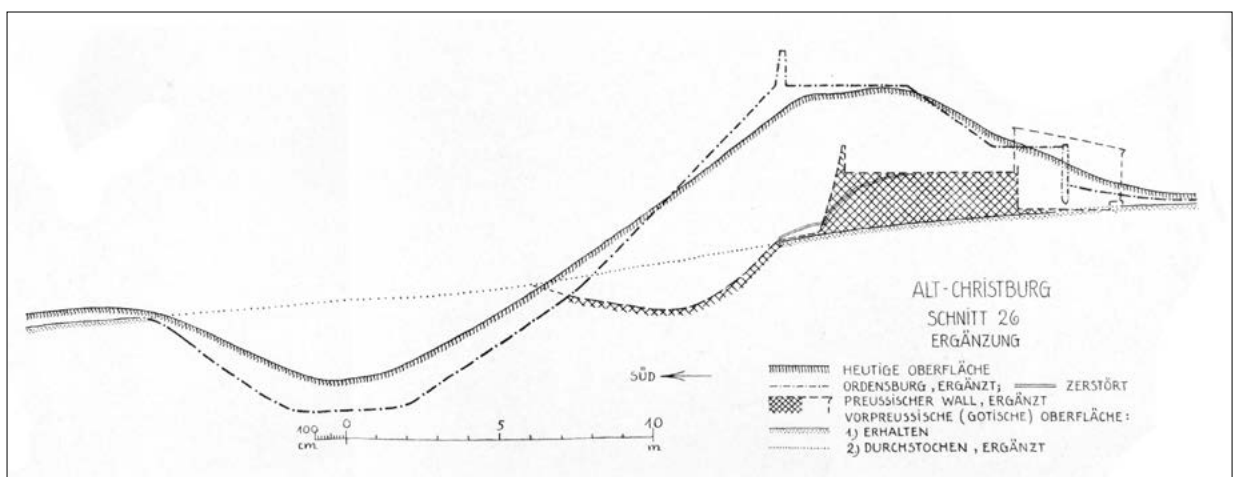


Ryc. 13. Obiekt warowny na Górze Zamkowej w St. Dzierzgoniu, profil pód. wykopów 21, 23 oraz rekonstrukcje konstrukcji obronnej z dwóch faz budowlanych, Kartoteka Schleifa E

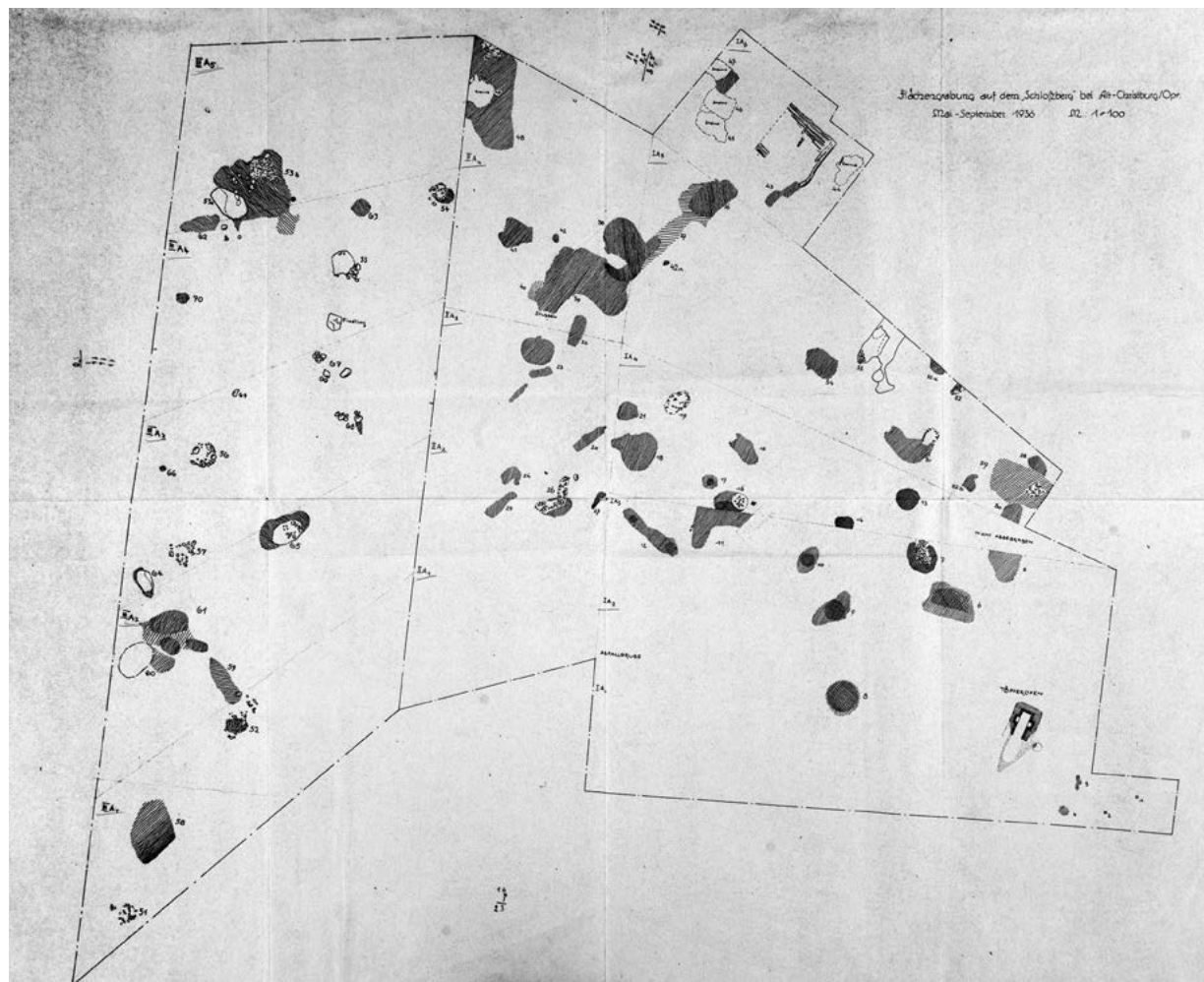
Fig. 13. The fortified building at Góra Zamkowa in St. Dzierzgoń, profile of the southern trenches 21, 23, reconstruction of a defensive structure from two building phases, Schleif's file E



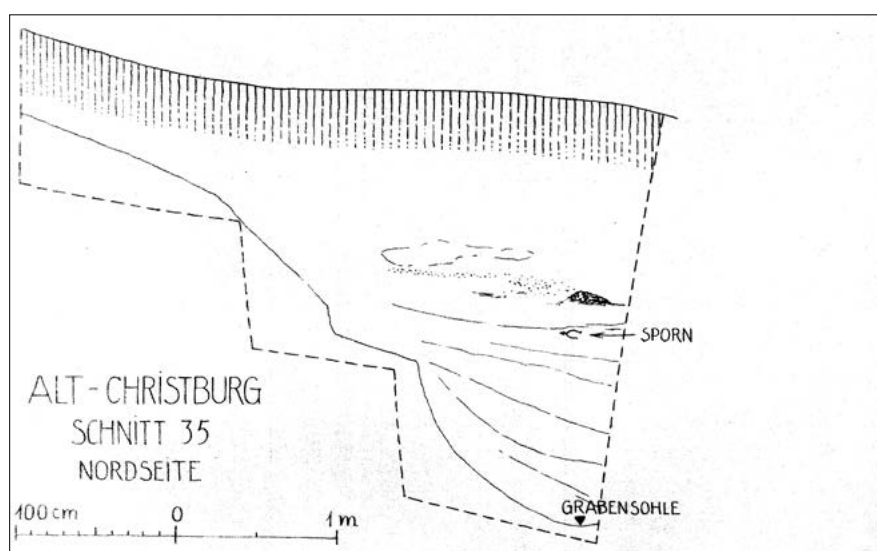
Ryc. 14. Obiekt warowny na Górze Zamkowej w St. Dzierzgoniu, profil zach. wykopu 26, Kartoteka Schleifa
Fig. 14. The fortified building at Góra Zamkowa in St. Dzierzgoń, trench 26, western profile, Schleif's file



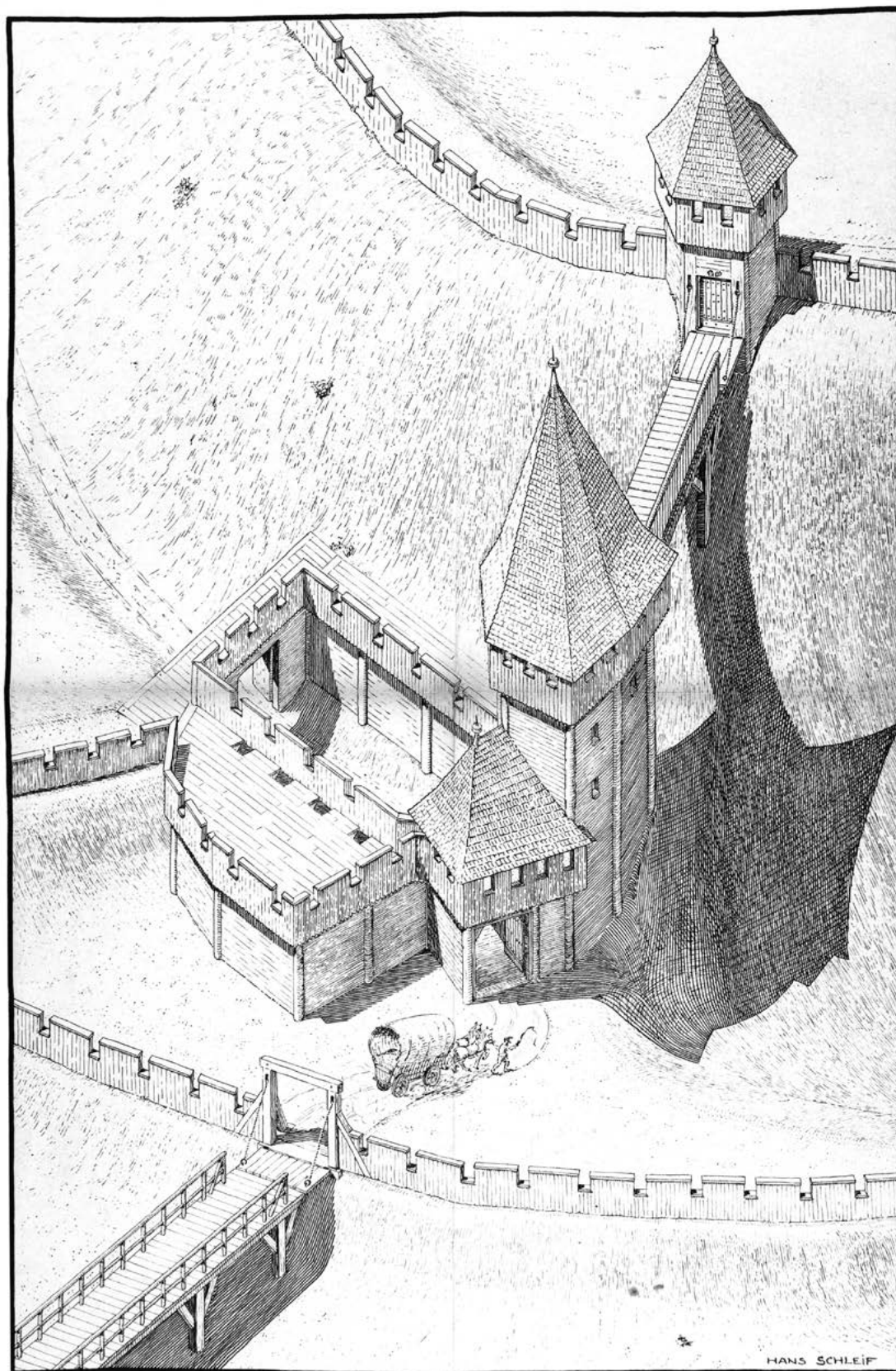
Ryc. 15. Obiekt warowny na Górze Zamkowej w St. Dzierzgoniu, Rekonstrukcja wału pruskiego i krzyżackiego oraz zabudowy przywałowej na podstawie wykopu 26, Kartoteka Schleifa G
Fig. 15. The fortified building at Góra Zamkowa in St. Dzierzgoń, reconstruction of the Prussian and Teutonic ramparts as well as the ramp building, on the basis of the trench 26, Schleif's file G



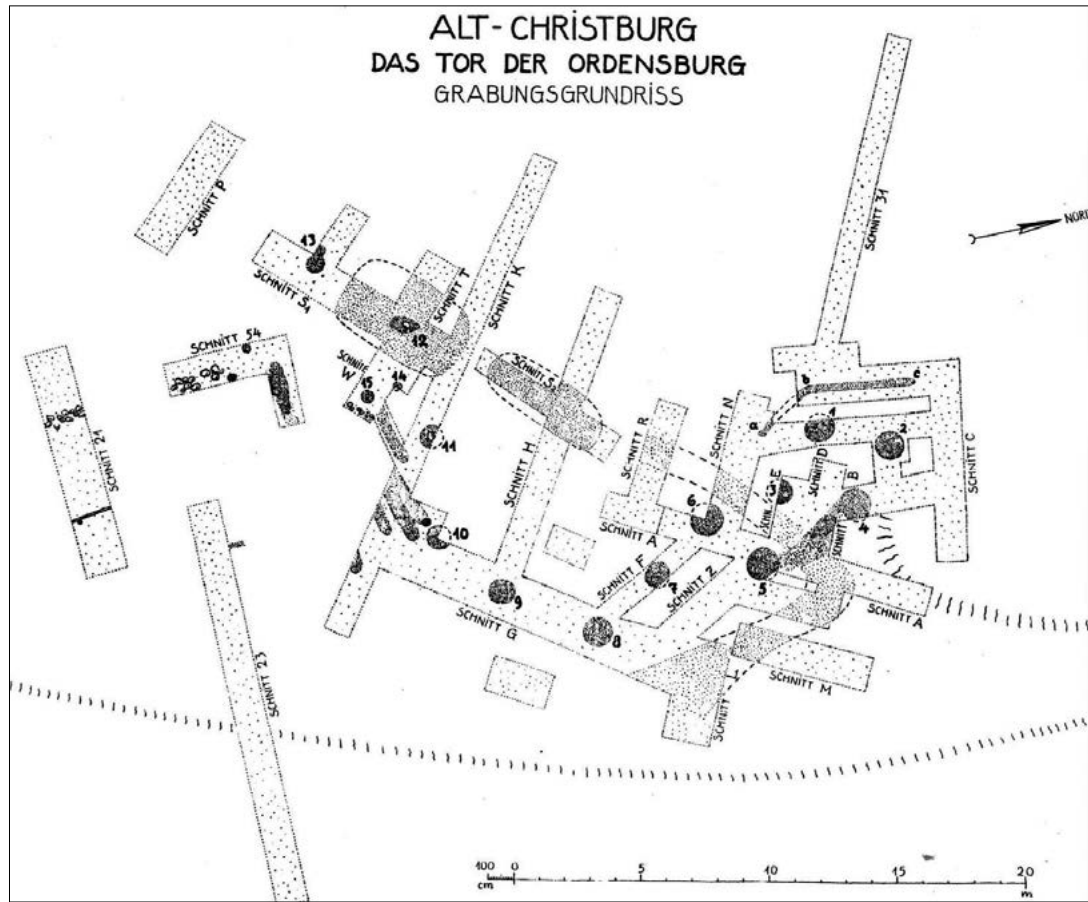
Ryc. 16. Obiekt warowny na Górze Zamkowej w St. Dzierzgoniu, rzut poziomy Rejonu I, Kartoteka Schleifa G
 Fig. 16. The fortified building at Góra Zamkowa in St. Dzierzgoń, horizontal plan of Area I, Schleif's file G



Ryc. 17. Obiekt warowny na Górze Zamkowej w St. Dzierzgoniu, profil płn. wykopu 35, Kartoteka Schleifa G
 Fig. 17. The fortified building at Góra Zamkowa in St. Dzierzgoń, northern profile, trench 35, Schleif's file G

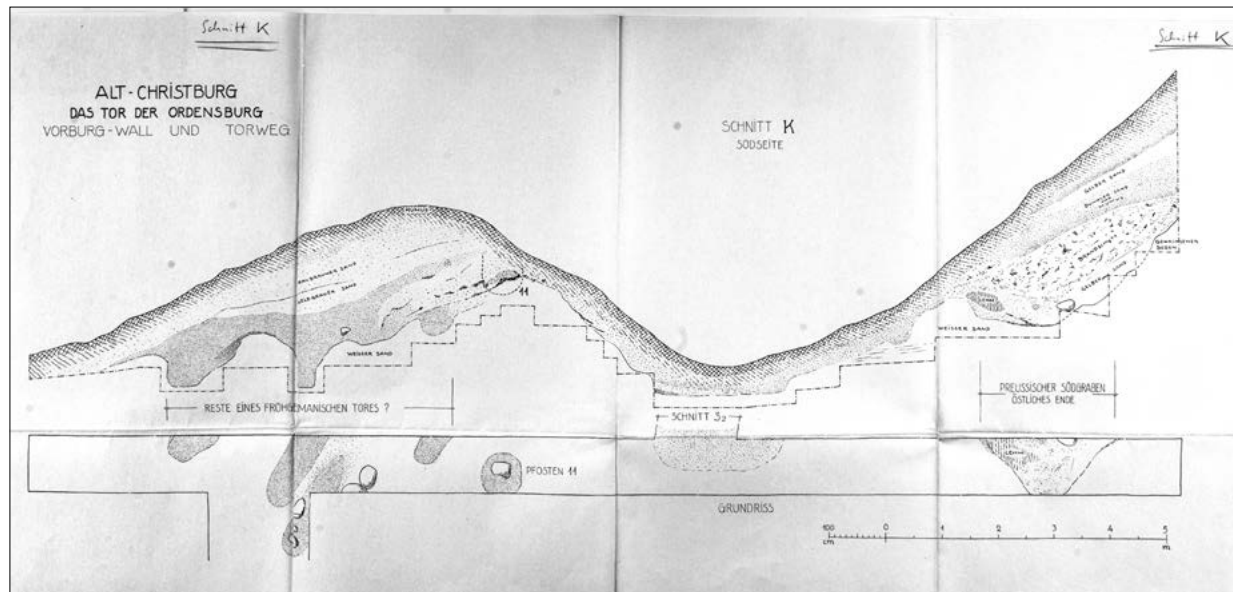


Ryc. 18. Obiekt warowny na Górze Zamkowej w St. Dzierzgoniu, rekonstrukcja bramy, rys. H. Schleif, Kartoteka Schleifa H
Fig. 18. The fortified building at Góra Zamkowa in St. Dzierzgoń, reconstruction of the gate, drawing H. Schleif, Schleif's file H



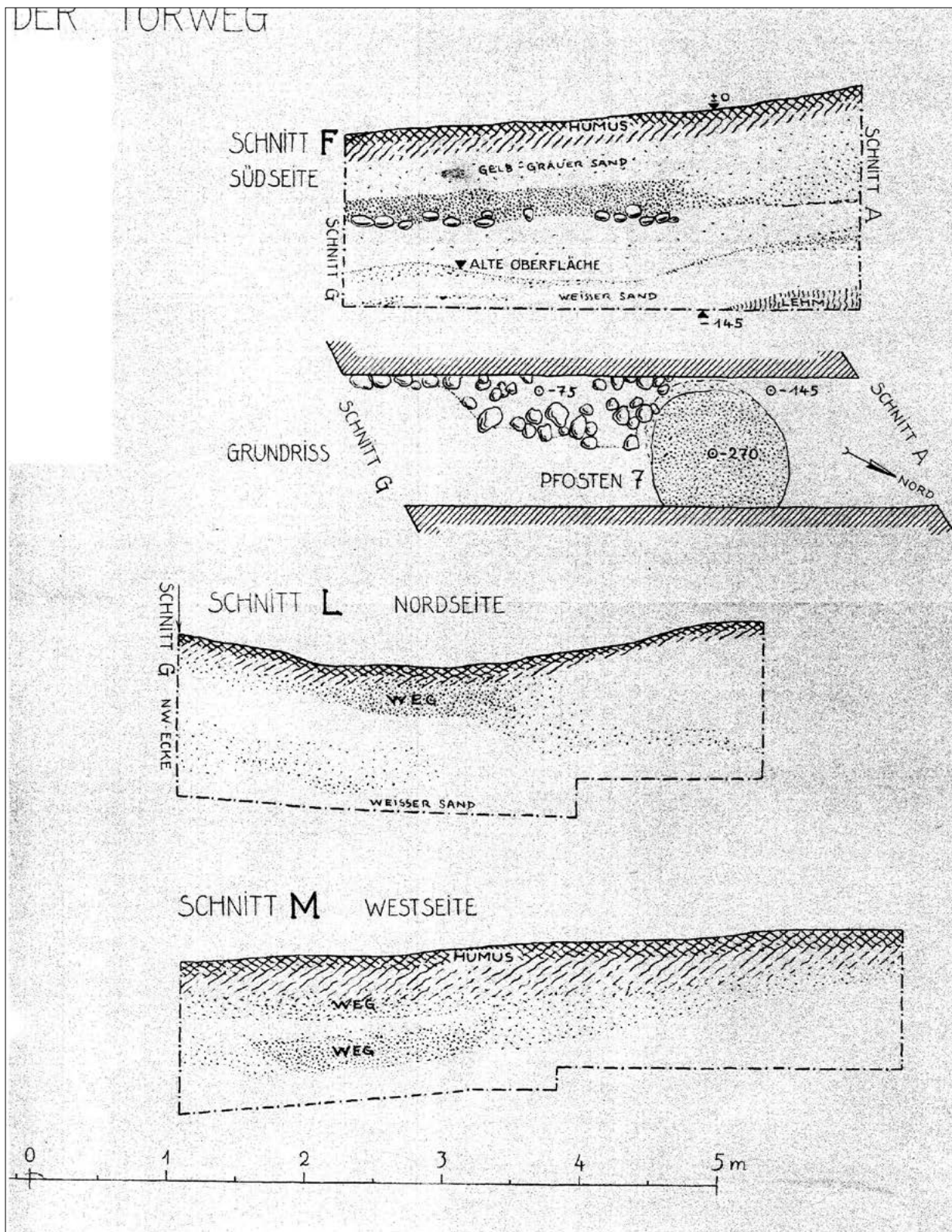
Ryc. 19. Obiekt warowny na Górze Zamkowej w St. Dzierzgoniu, rzut poziomy wykopów w rejonie A–W bramy wjazdowej, Kartoteka Schleifa

Fig. 19. The fortified building at Góra Zamkowa in St. Dzierzgoń, plan of trenches in A–W zone of the entrance gate, Schleif's file



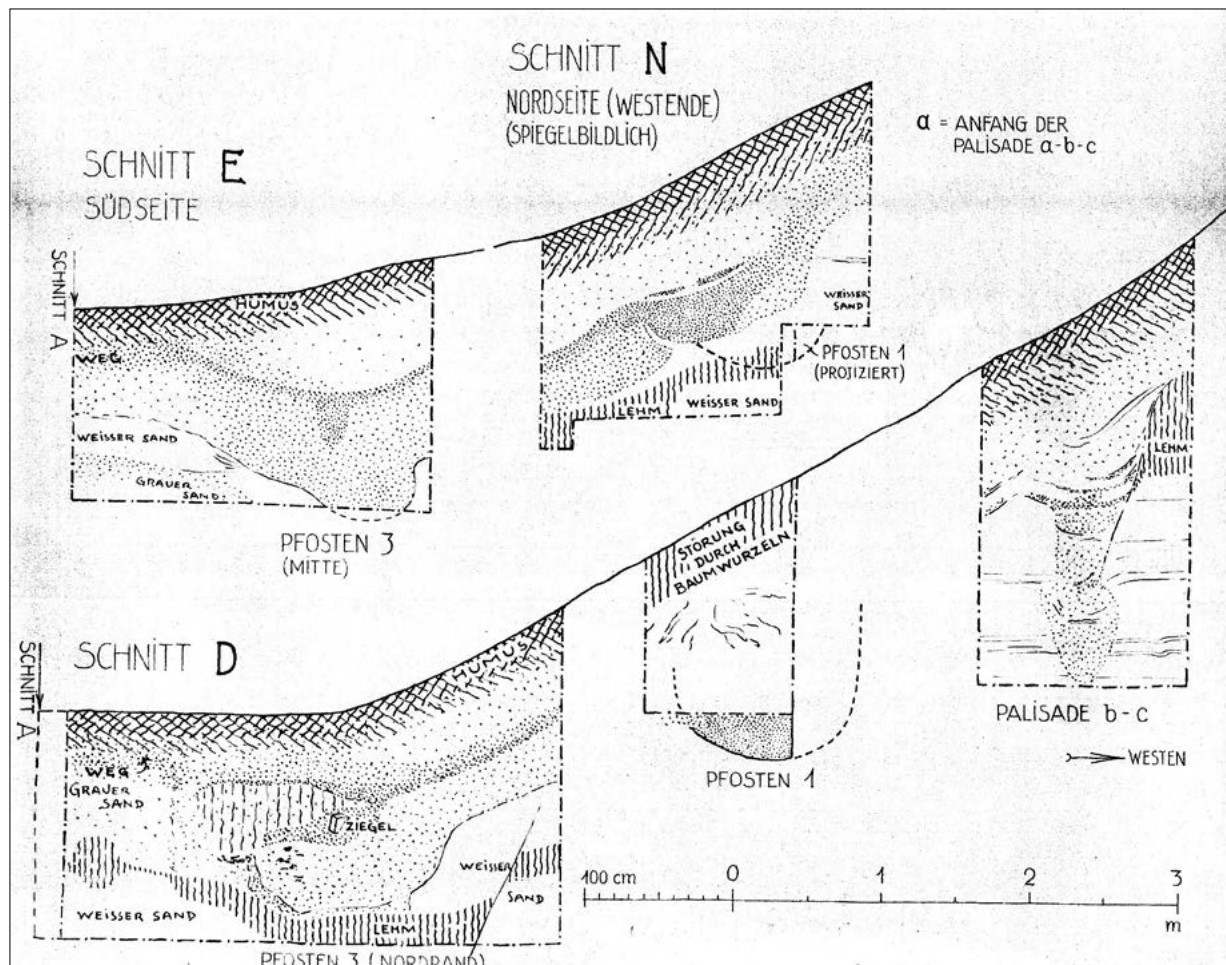
Ryc. 20. Obiekt warowny na Górze Zamkowej w St. Dzierzgoniu, profil płd. wykopu K, Kartoteka Schleifa H

Fig. 20. The fortified building at Góra Zamkowa in St. Dzierzgoń, southern profile, trench K, Schleif's file H



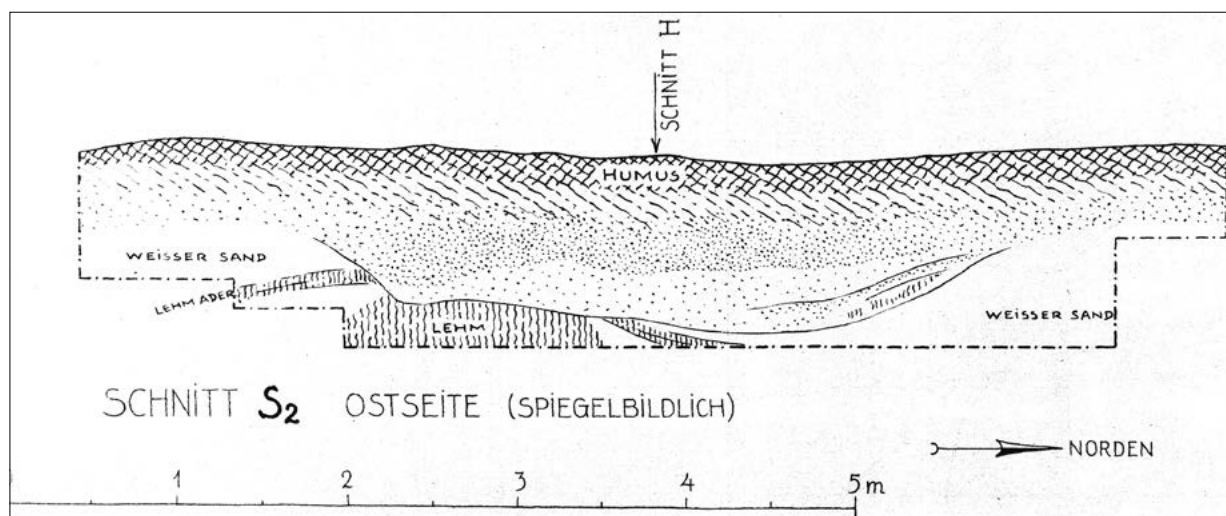
Ryc. 21. Obiekt warowny na Górze Zamkowej w St. Dzierzgoniu, profil płd. wykopu F, profil półn. wykopu L, profil zach. wykopu M; Kartoteka Schleifa

Fig. 21. The fortified building at Góra Zamkowa in St. Dzierzgoń, southern profile, trench F, northern profile, trench L, western profile, trench M, Schleif's file



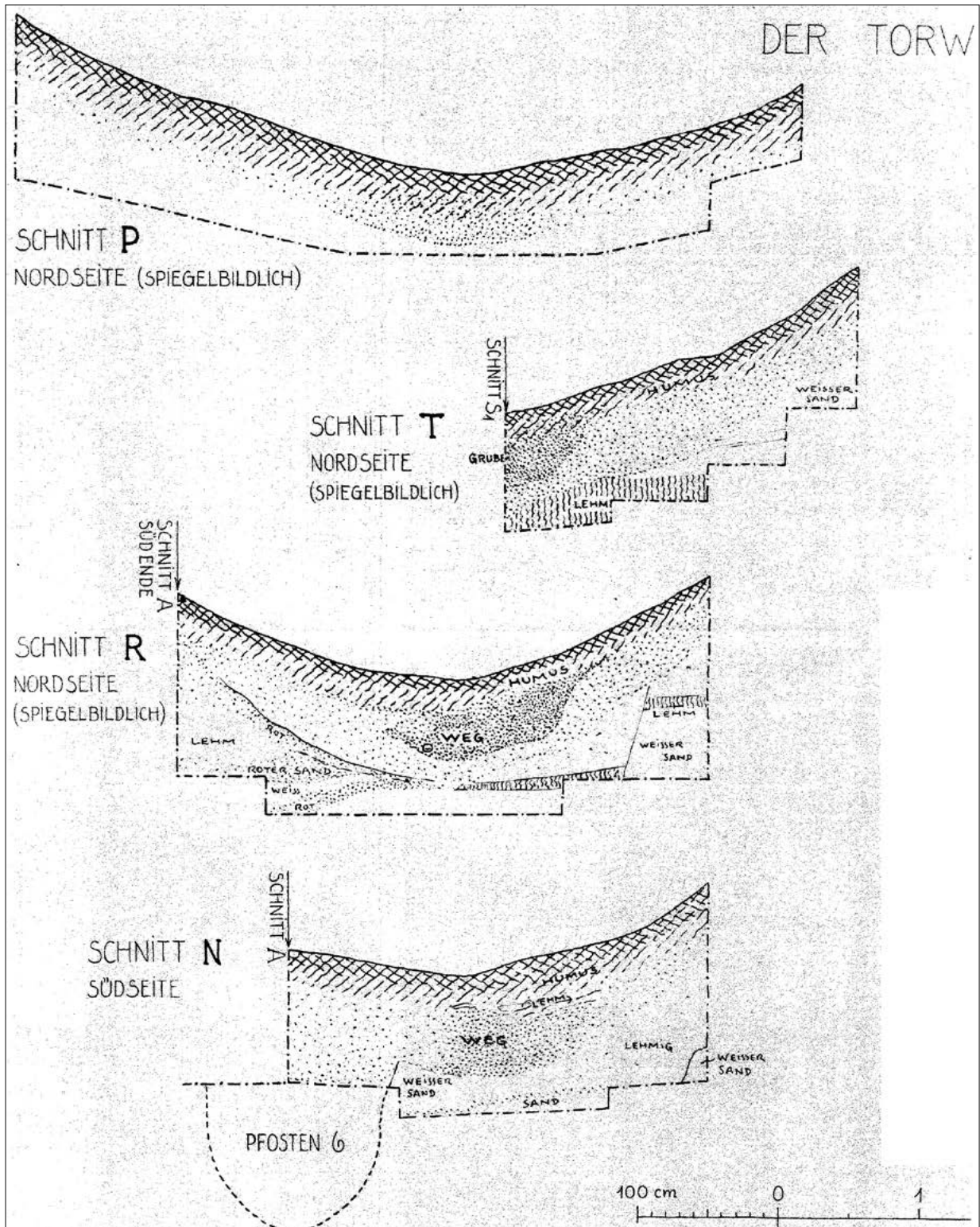
Ryc. 22. Obiekt warowny na Górze Zamkowej w St. Dzierzgoniu, profil płd. wykopu E, profil płn. wykopu N, profil płn. wykopu D; Kartoteka Schleifa

Fig. 22. The fortified building at Góra Zamkowa in St. Dzierzgoń, southern profile, trench E, northern profile, trench N, northern profile, trench D, Schleif's file



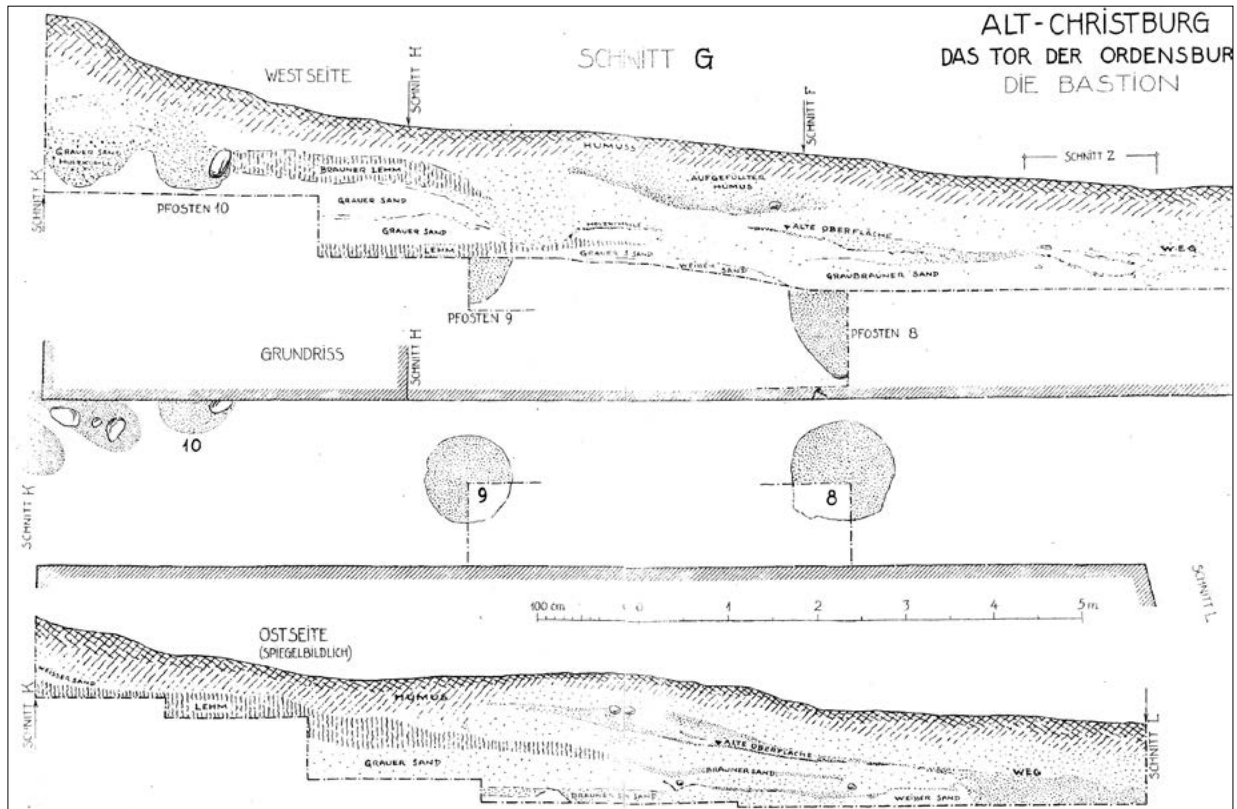
Ryc. 23. Obiekt warowny na Górze Zamkowej w St. Dzierzgoniu, profil wsch. wykopu S2, Kartoteka Schleifa

Fig. 23. The fortified building at Góra Zamkowa in St. Dzierzgoń, eastern profile, trench S2, Schleif's file



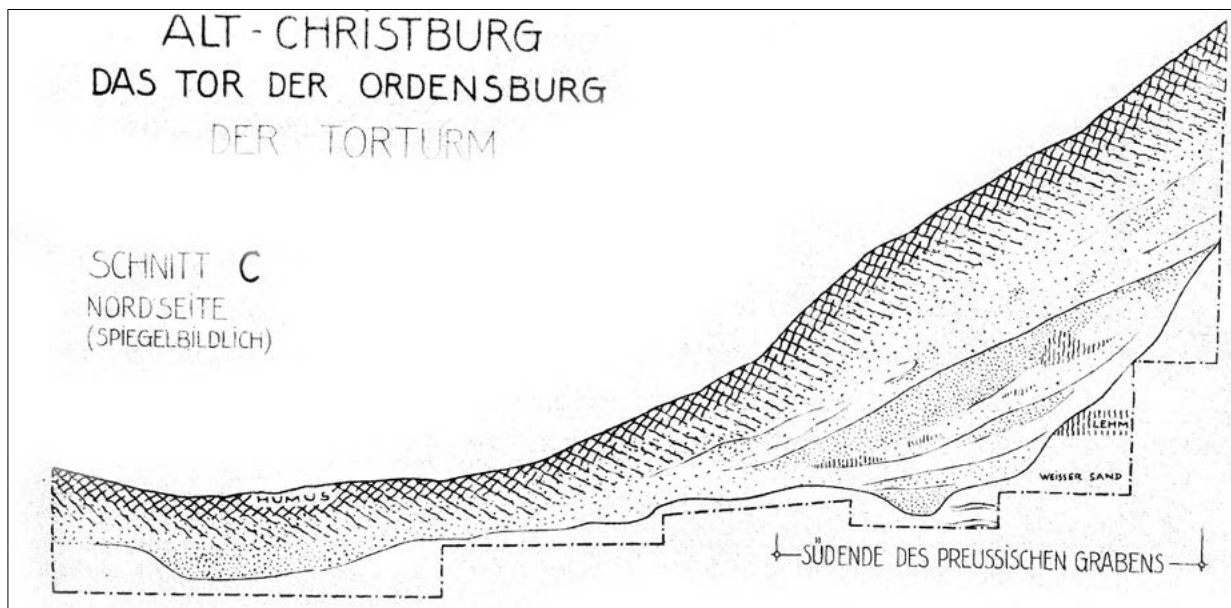
Ryc. 24. Obiekt warowny na Górze Zamkowej w St. Dzierzgoniu, profil płn. wykopów P, T, R, płd. N, Kartoteka Schleifa

Fig. 24. The fortified building at Góra Zamkowa in St. Dzierzgoń, northern profile, trenches P, T, R, southern profile, trench N, Schleif's file



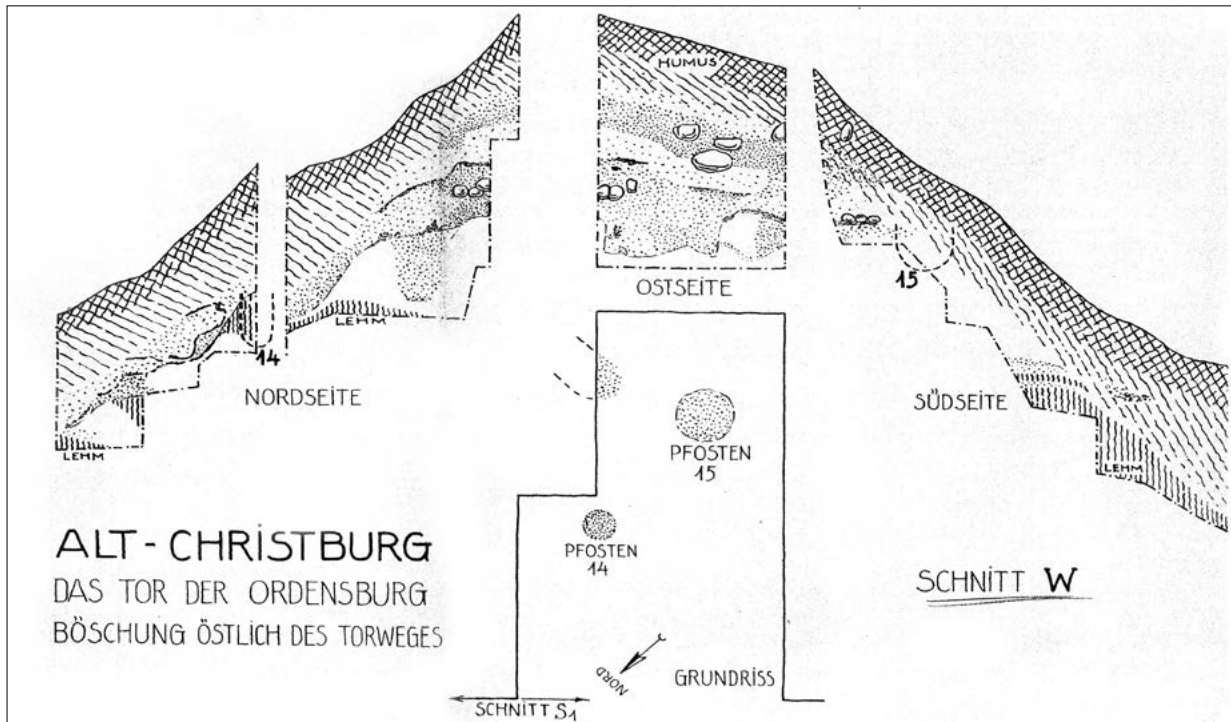
Ryc. 25. Obiekt warowny na Górze Zamkowej w St. Dzierżgoniu, profil wsch. i zach. oraz rzut poziomy wykopu G, Kartoteka Schleifa

Fig. 25. The fortified building at Góra Zamkowa in St. Dzierżoń, eastern and western profile, and the horizontal plan, trench G, Schleif's file

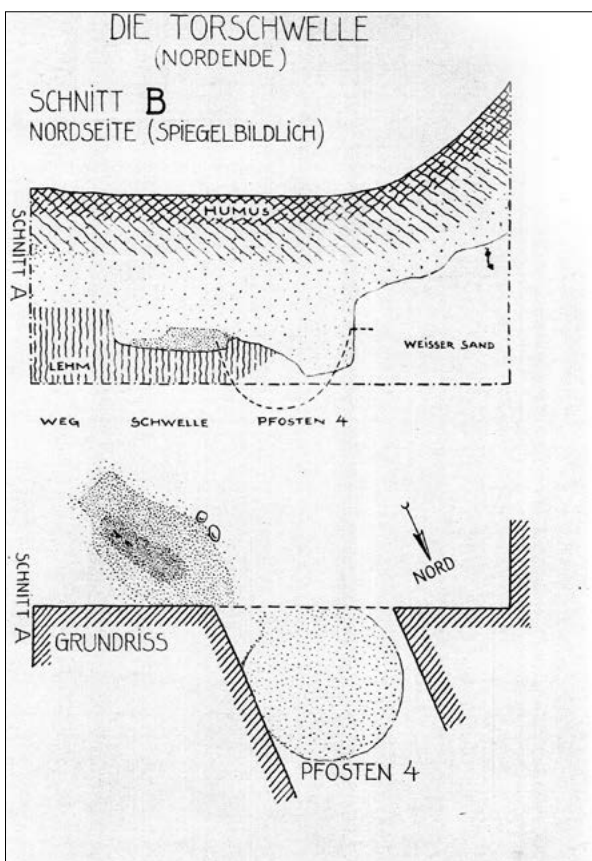


Ryc. 26. Obiekt warowny na Górze Zamkowej w St. Dzierżgoniu, profil półn. wykopu C, Kartoteka Schleifa

Fig. 26. The fortified building at Góra Zamkowa in St. Dzierżoń, northern profile, trench C, Schleif's file

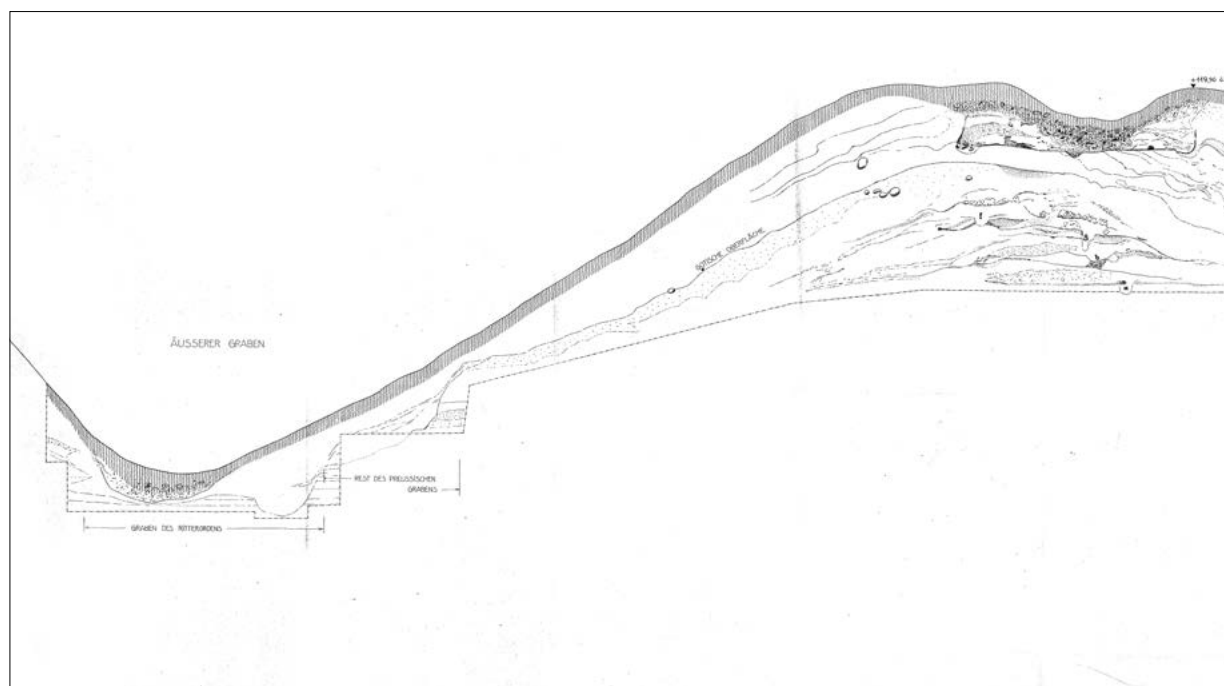


Ryc. 27. Obiekt warowny na Górze Zamkowej w St. Dzierzgoniu, profile płn., płd., wsch. wykopu W; Kartoteka Schleifa
Fig. 27. The fortified building at Góra Zamkowa in St. Dzierzgoń, northern, southern and eastern profiles, trench W, Schleif's file

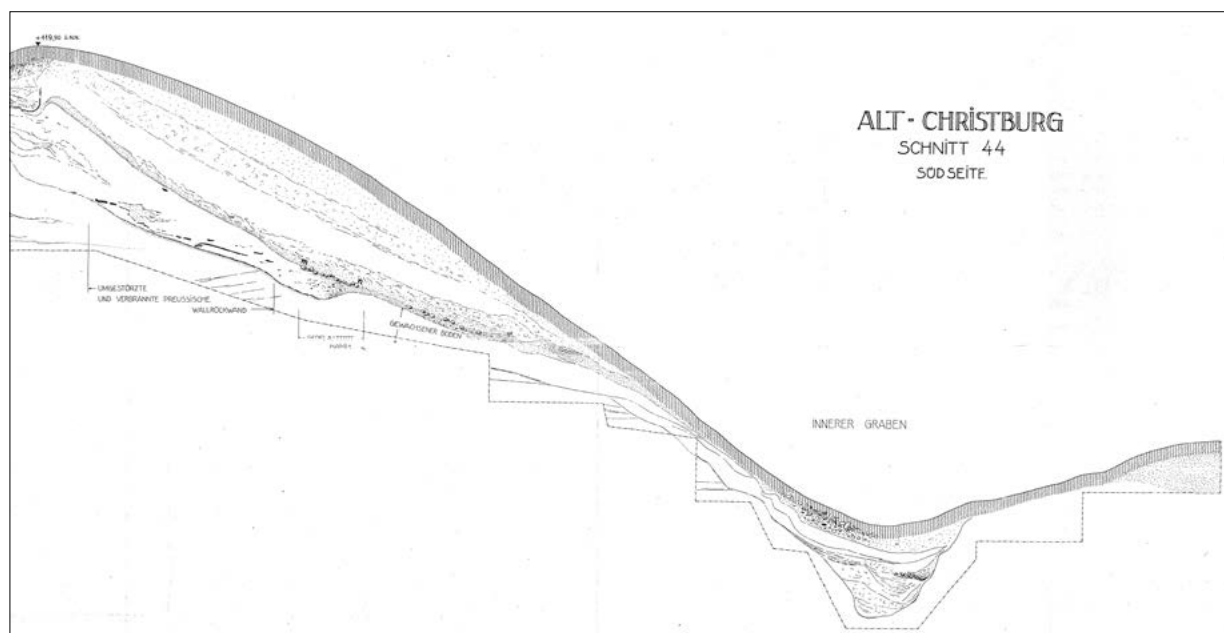


Ryc. 28. Obiekt warowny na Górze Zamkowej w Starym Dzierzgoniu, profil płn., rzut poziomy wykopu B, Kartoteka Schleifa

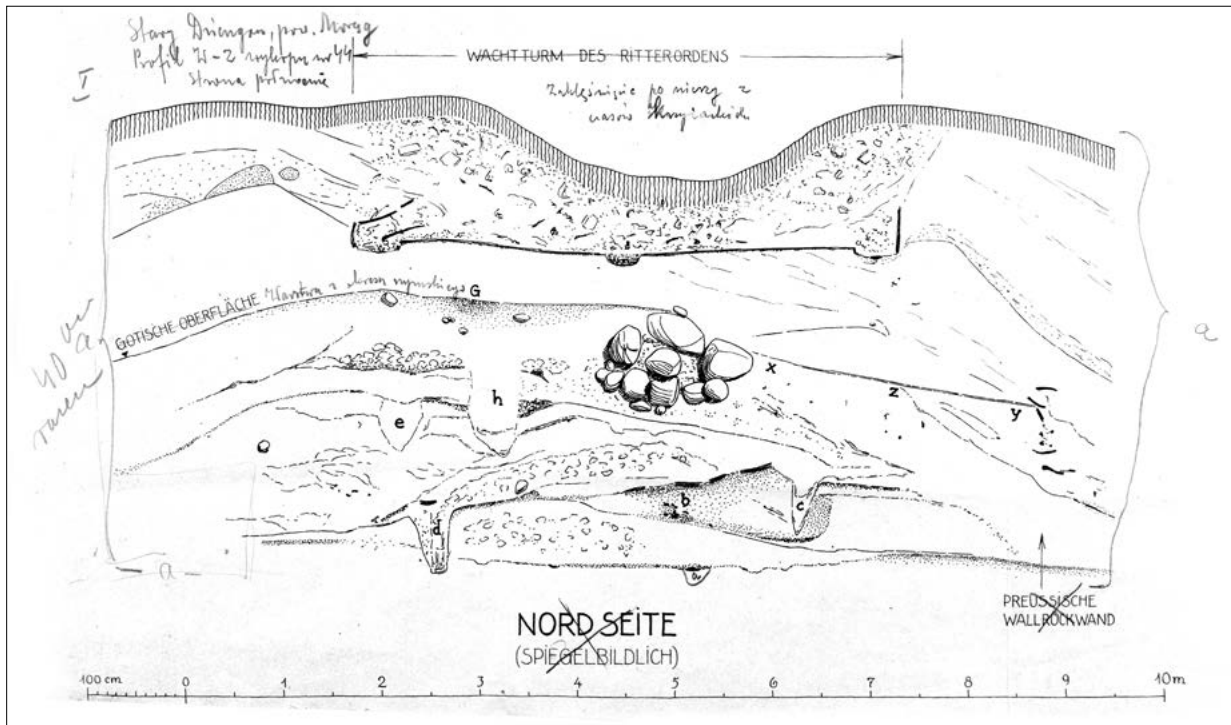
Fig. 28. The fortified building at Góra Zamkowa in St. Dzierzgoń, northern profile and horizontal plan, trench B, Schleif's file



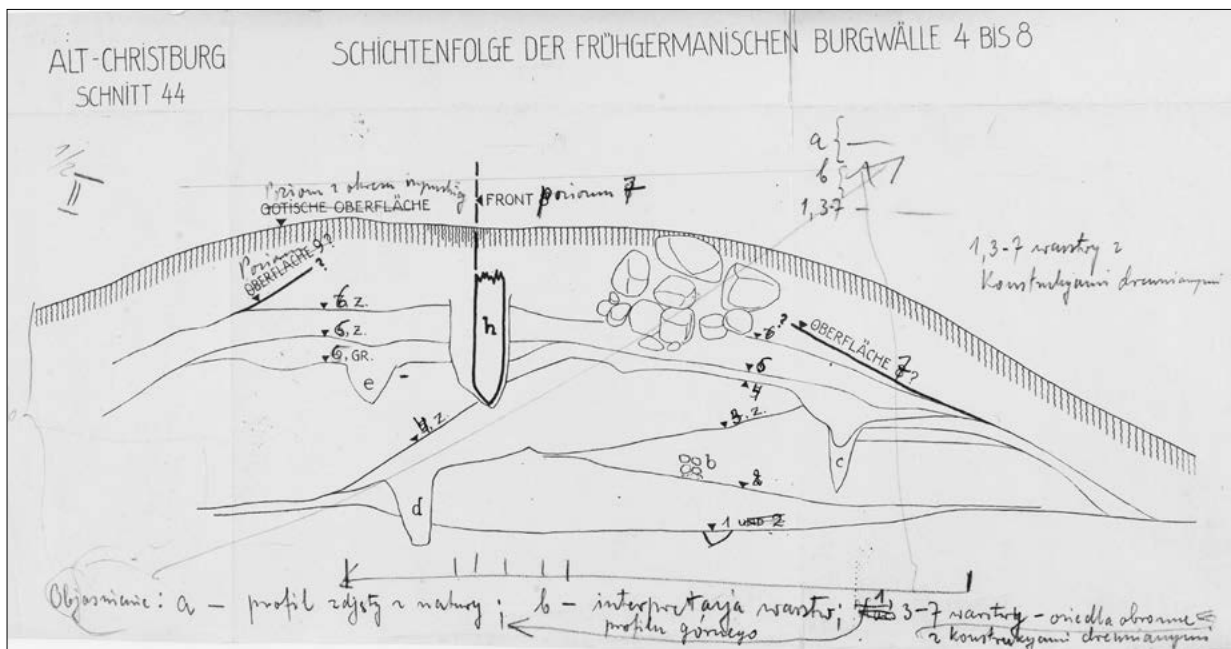
Ryc. 29. Obiekt warowny na Górze Zamkowej w St. Dzierzgoniu, profil południowy wykopu 44, część a, Kartoteka Schleifa
Fig. 29. The fortified building at Góra Zamkowa in St. Dzierzgoń, southern profile, trench 44, part a, Schleif's file



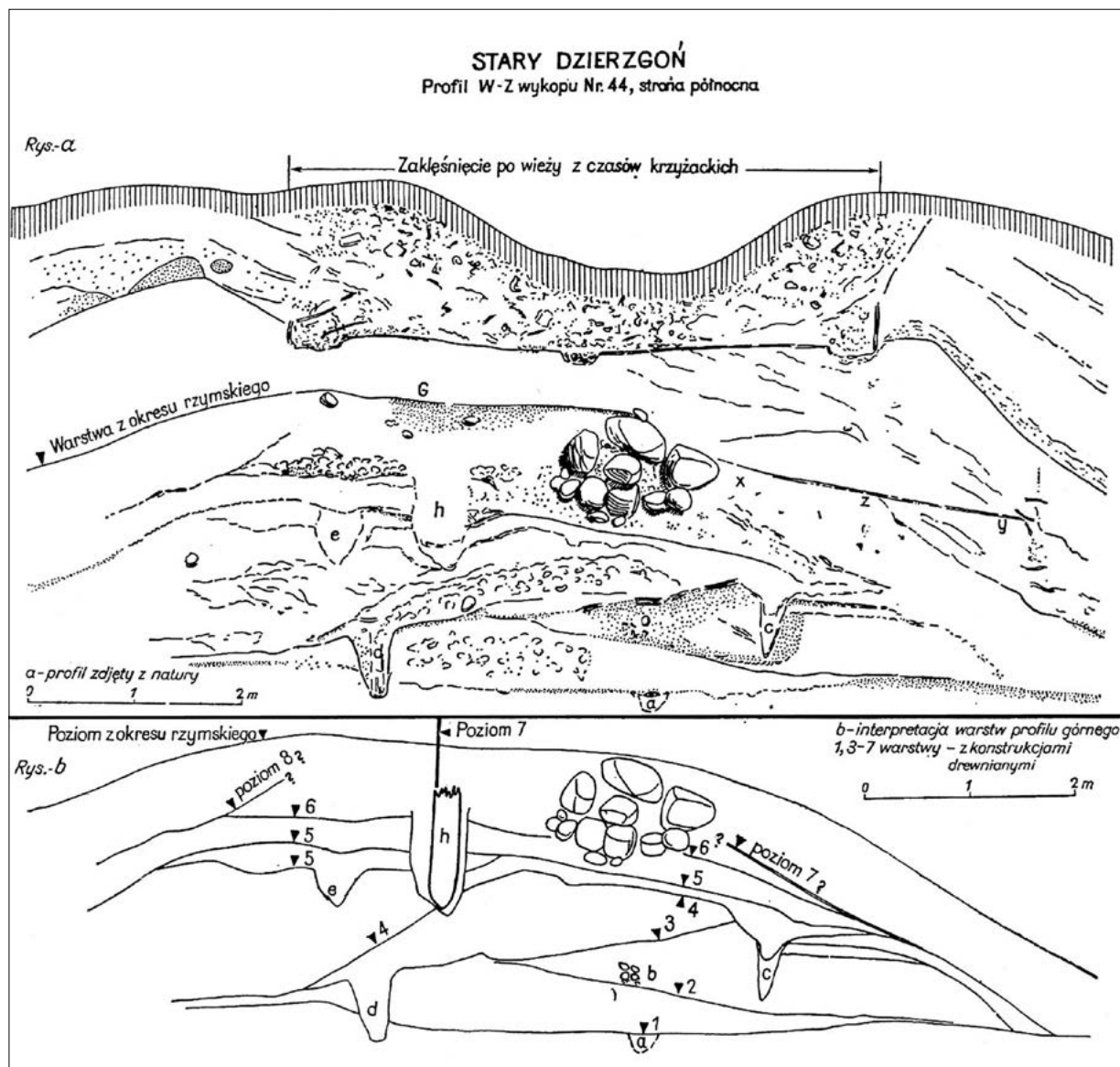
Ryc. 29a. Obiekt warowny na Górze Zamkowej w St. Dzierzgoniu, profil południowy wykopu 44, część b, Kartoteka Schleifa
Fig. 29a. The fortified building at Góra Zamkowa in St. Dzierzgoń, southern profile, trench 44, part b, Schleif's file



Ryc. 30. Obiekt warowny na Górze Zamkowej w St. Dzierzgoniu, profil płn. części centralnej wykopu 44, Kartoteka Schleifa E
 Fig. 30. The fortified building at Góra Zamkowa in St. Dzierzgoń, northern profile, trench 44 – central part, Schleif's file E

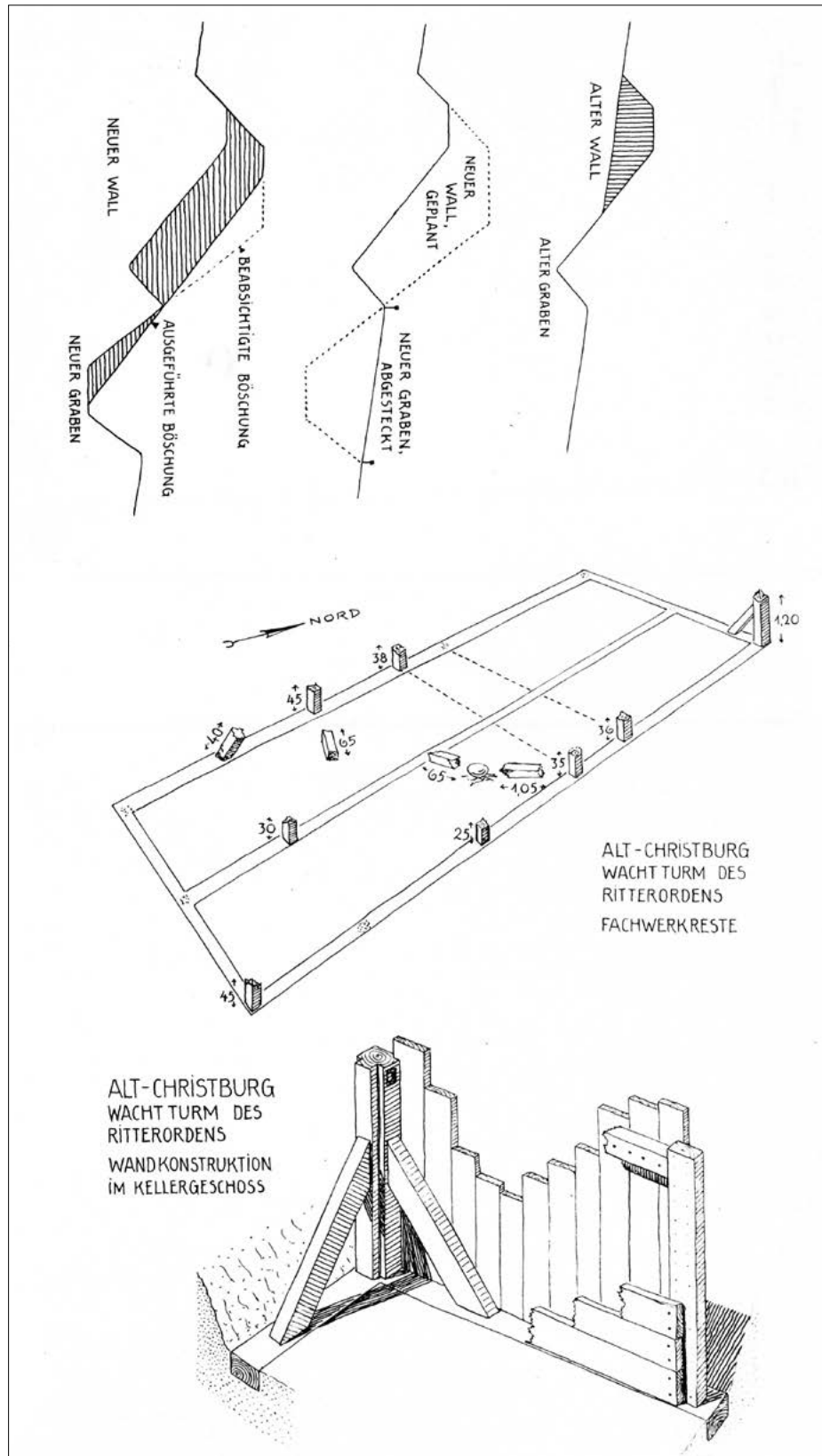


Ryc. 31. Obiekt warowny na Górze Zamkowej w St. Dzierzgoniu, wykop 44, relikty umocnień oraz warstwy z okresu wczesnożelaznego 4–8, Kartoteka Schleifa E
 Fig. 31. The fortified building at Góra Zamkowa in St. Dzierzgoń, trench 44, relics of fortifications and layers from the early iron period 4–8, Schleif's file E



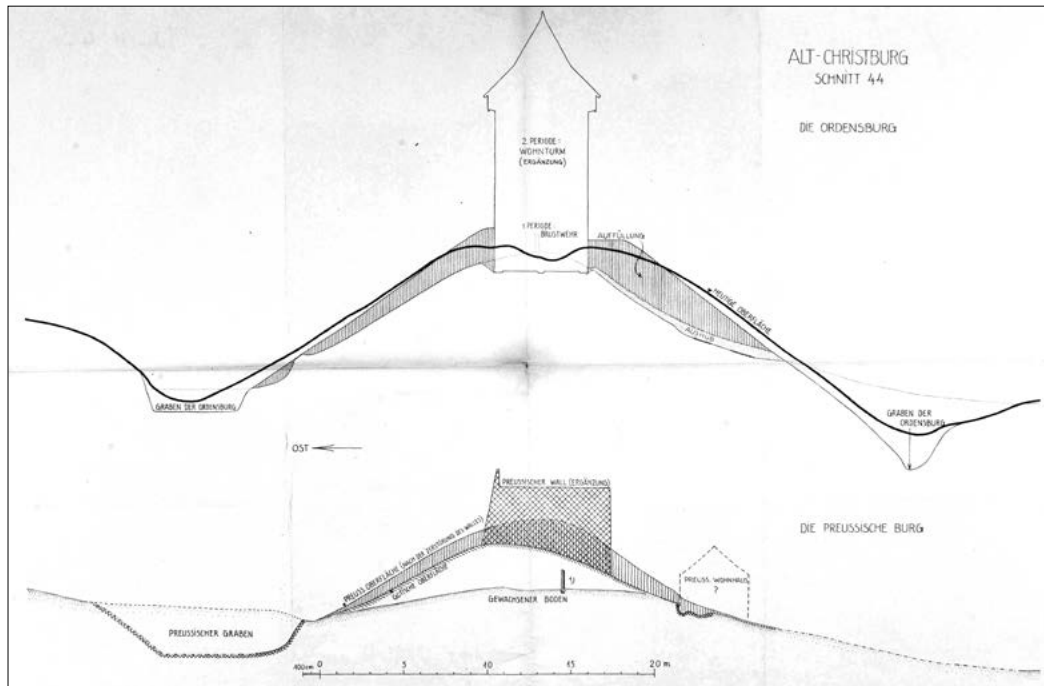
Ryc. 32. Obiekt warowny na Górze Zamkowej w St. Dzierzgoniu, wykop 44, interpretacja Antoniewicz (Antoniewicz 1964, tablica VII)

Fig. 32. The fortified building at Góra Zamkowa in St. Dzierzgoń, trench 44, Antoniewicz's interpretation (Antoniewicz 1964, table VII)



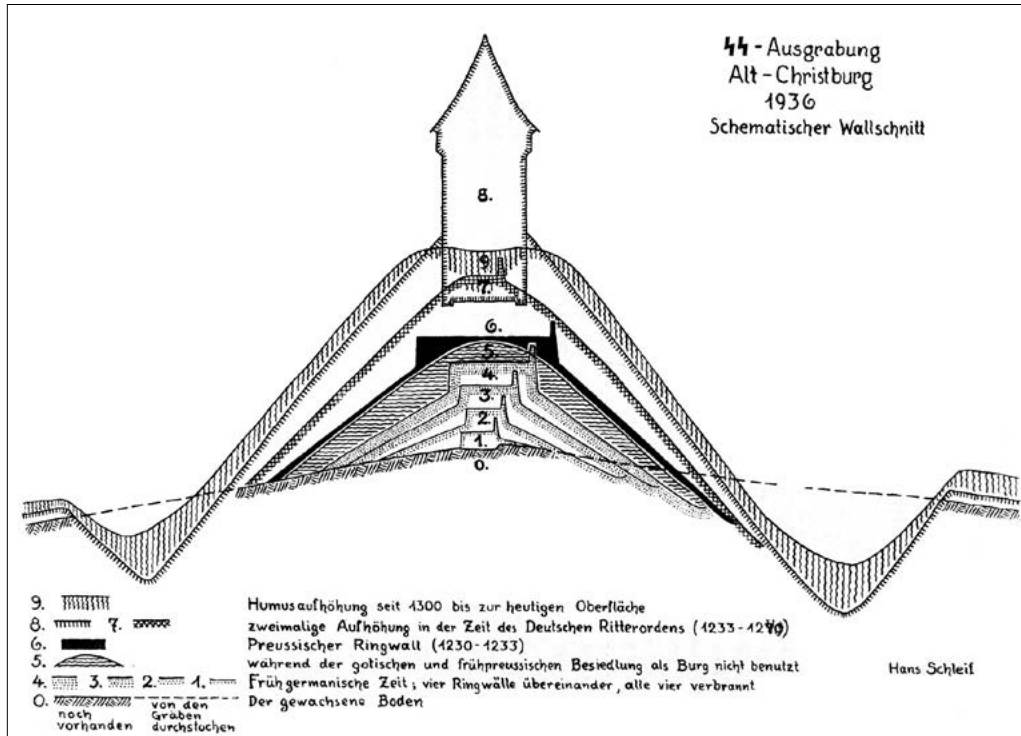
Ryc. 33. Obiekt warowny na Górze Zamkowej w St. Dzierzgoniu, konstrukcja narożnika dolnej części wieży, na podstawie wykopu 44, Kartoteka Schleifa E

Fig. 33. The fortified building at Góra Zamkowa in St. Dzierzgoń, the construction of the corner of the tower's lower part, on the basis of trench 44, Schleif's file E



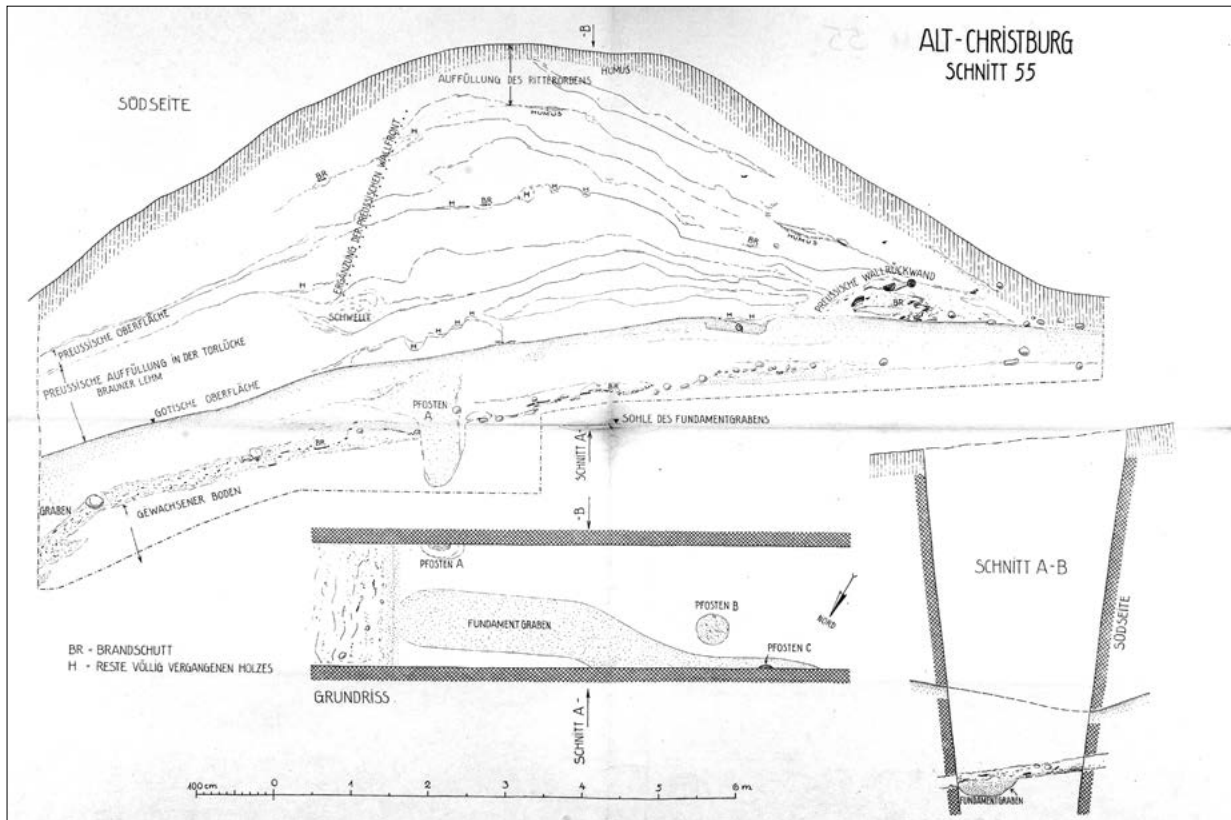
Ryc. 34. Obiekt warowny na Górze Zamkowej w St. Dzierzgoniu, rekonstrukcja wału pruskiego i krzyżackiego oraz wieży, na podstawie wykopu 44, Kartoteka Schleifa

Fig. 34. The fortified building at Góra Zamkowa in St. Dzierzgoń, reconstruction of the Prussian and Teutonic rampart and the tower, based on the trench 44, Schleif's file

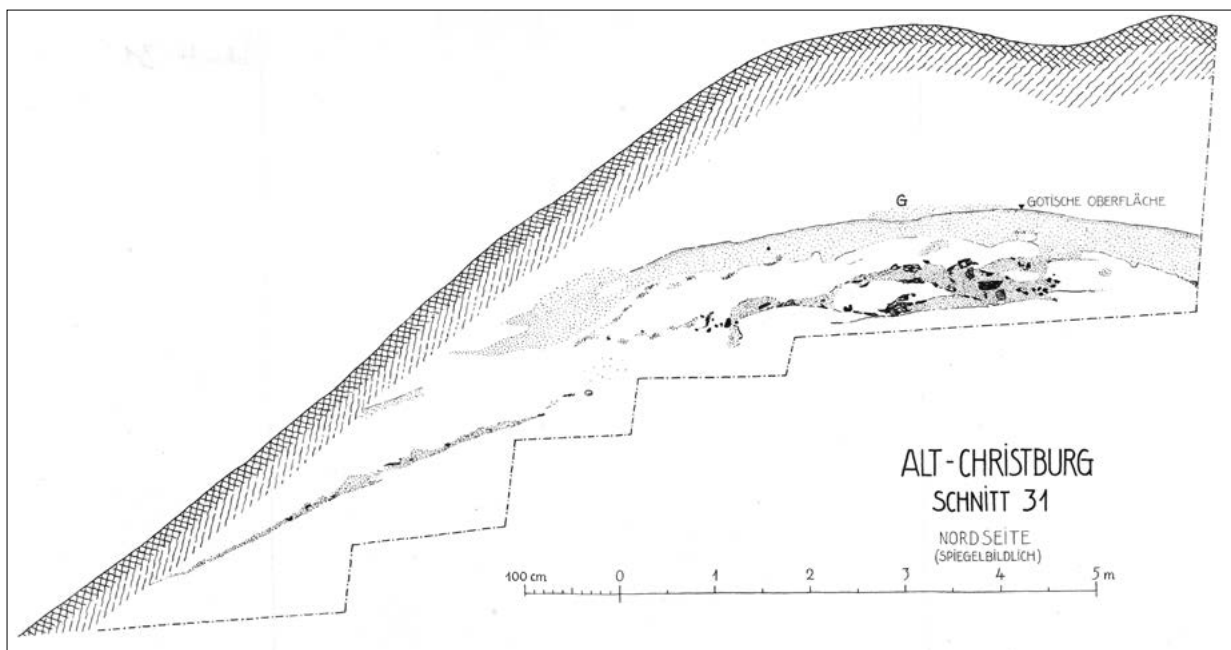


Ryc. 35. Obiekt warowny na Górze Zamkowej w St. Dzierzgoniu, fazy budowy wału głównego według H. Schleifa (Seefeld 1937, Abb. 9)

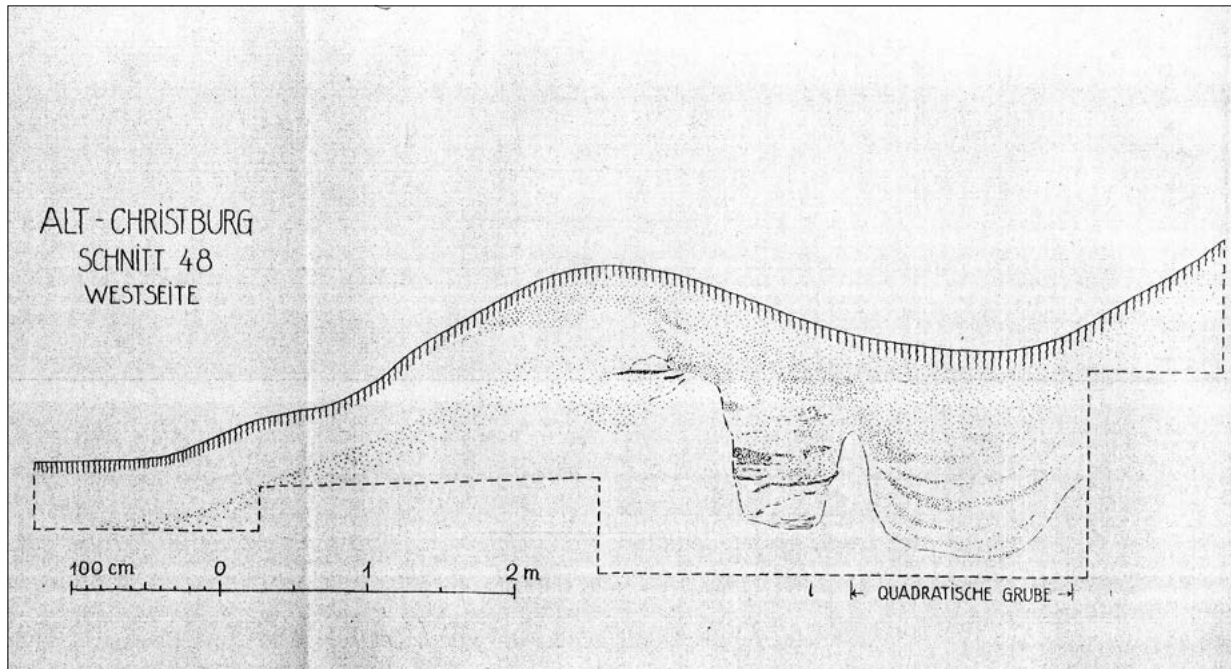
Fig. 35. The fortified building at Góra Zamkowa in St. Dzierzgoń, the phases of construction of the main rampart according to H. Schleif (Seefeld 1937, fig. 9)



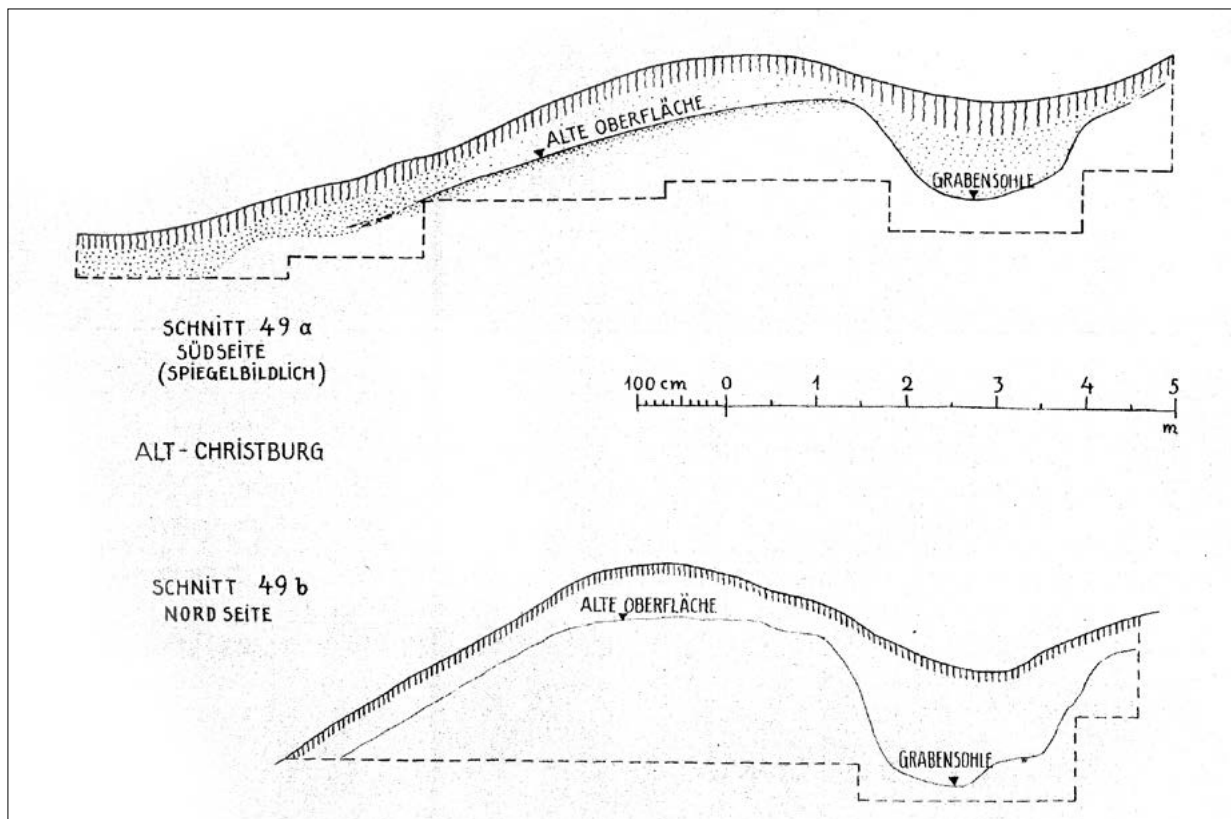
Ryc. 36. Obiekt warowny na Górze Zamkowej w St. Dzierzgoniu, profil płd. i rzut poziomy wykopu 55, Kartoteka Schleifa G
 Fig. 36. The fortified building at Góra Zamkowa in St. Dzierzgoń, southern profile and horizontal plan, trench 55, Schleif's file G



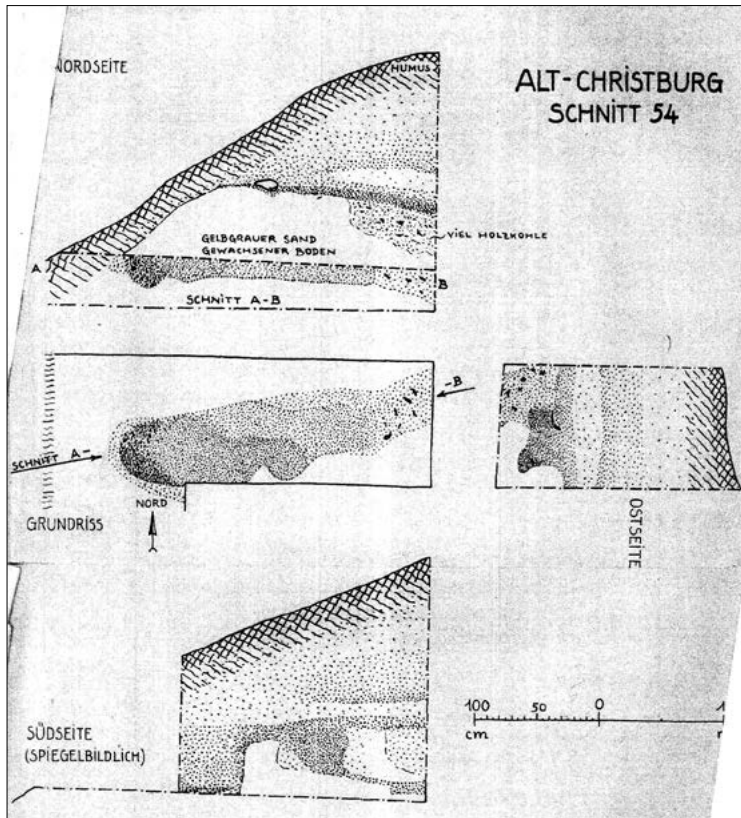
Ryc. 37. Obiekt warowny na Górze Zamkowej w St. Dzierzgoniu, profil półn. wykopu 31, Kartoteka Schleifa G
 Fig. 37. The fortified building at Góra Zamkowa in St. Dzierzgoń, northern profile, trench 31, Schleif's file G



Ryc. 38. Obiekt warowny na Górze Zamkowej w St. Dzierzgoniu, profil zach. wykopu 48, Kartoteka Schleifa
Fig. 38. The fortified building at Góra Zamkowa in St. Dzierzgoń, western profile, trench 48, Schleif's file

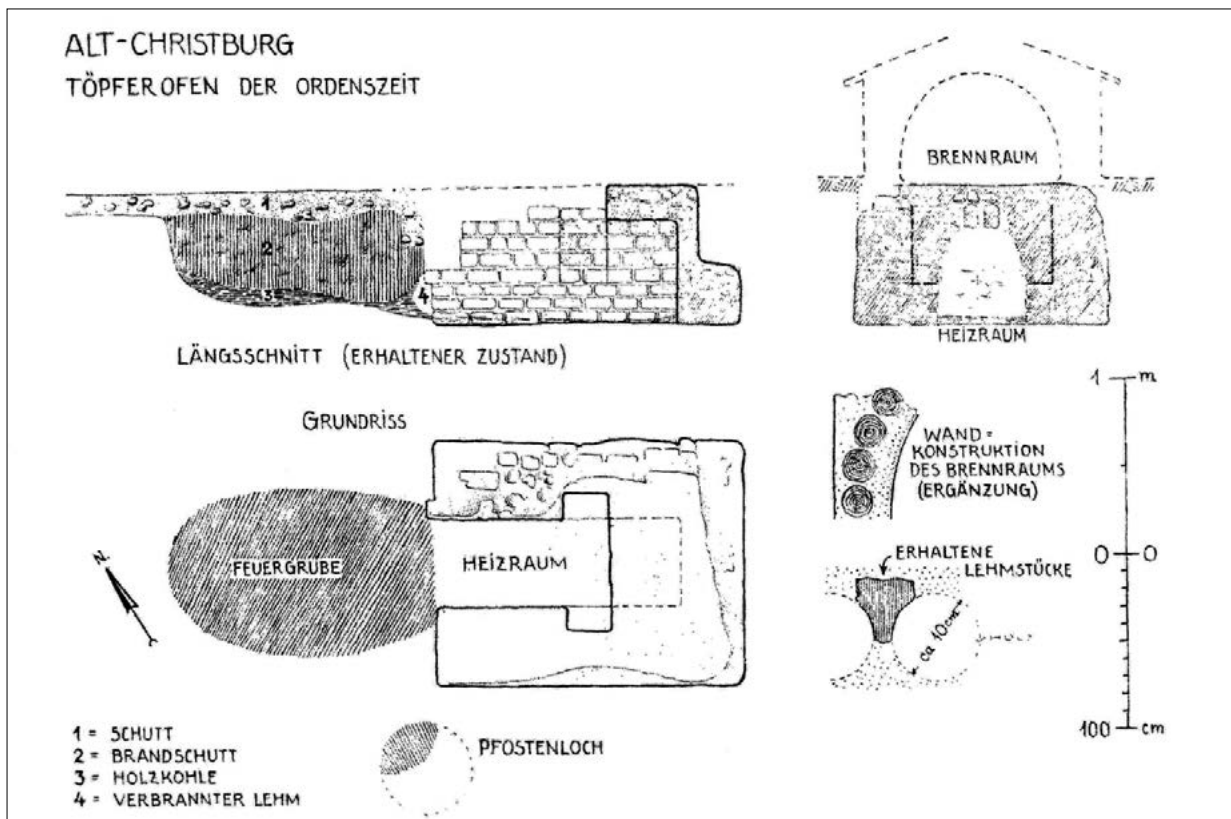


Ryc. 39. Obiekt warowny na Górze Zamkowej w St. Dzierzgoniu, profile wykopów 49a i 49b, Kartoteka Schleifa
Fig. 39. The fortified building at Góra Zamkowa in St. Dzierzgoń, profiles of the trenches 49a and 49b, Schleif's file



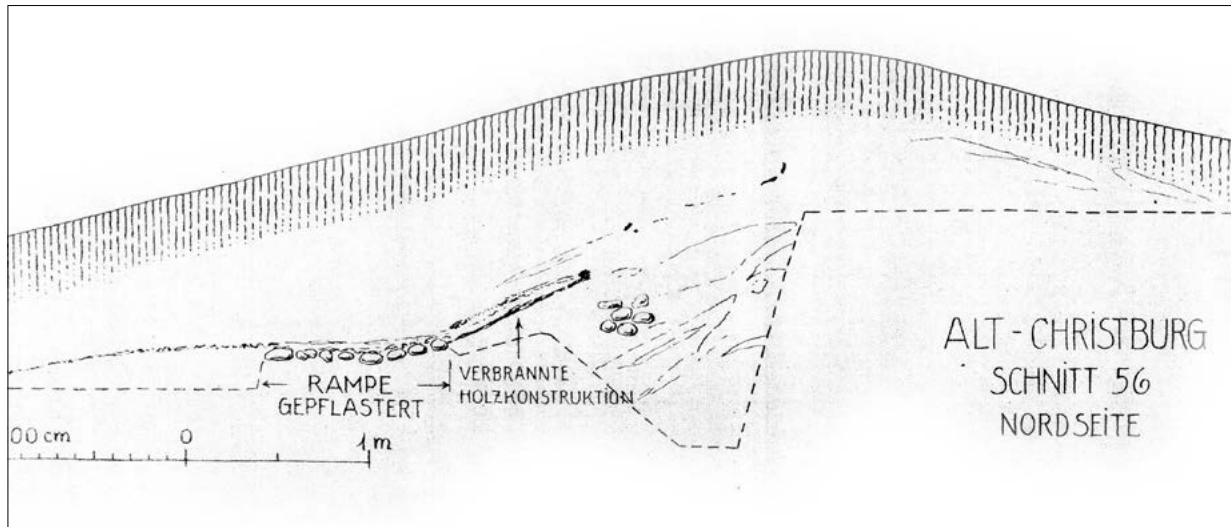
Ryc. 40. Obiekt warowny na Górze Zamkowej w St. Dzierzgoniu, profile wsch., płn., płd. i rzut poziomy wykopu 54, Kartoteka Schleifa

Fig. 40. The fortified building at Góra Zamkowa in St. Dzierzgoń, northern, southern, eastern profiles and the horizontal plan, trench 54, Schleif's file

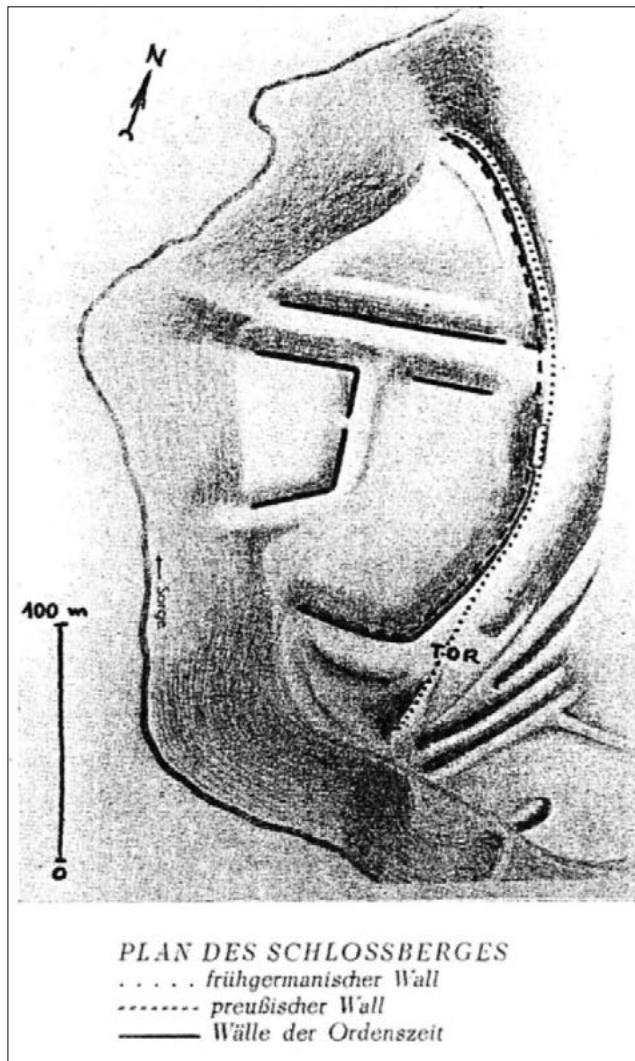


Ryc. 41. Obiekt warowny na Górze Zamkowej w St. Dzierzgoniu, plan pieca garncarskiego, Kartoteka Schleifa

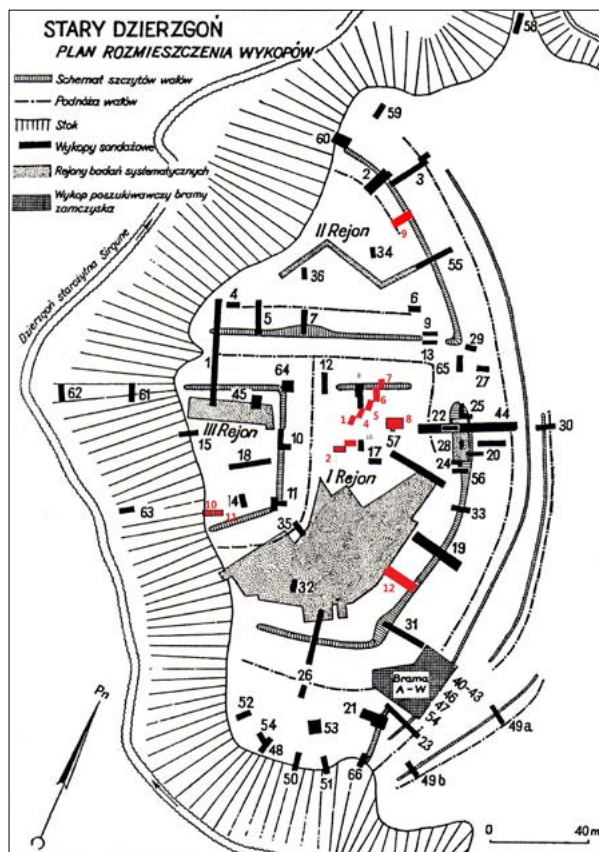
Fig. 41. The fortified building at Góra Zamkowa in St. Dzierzgoń, the plan of the pottery kiln, Schleif's file



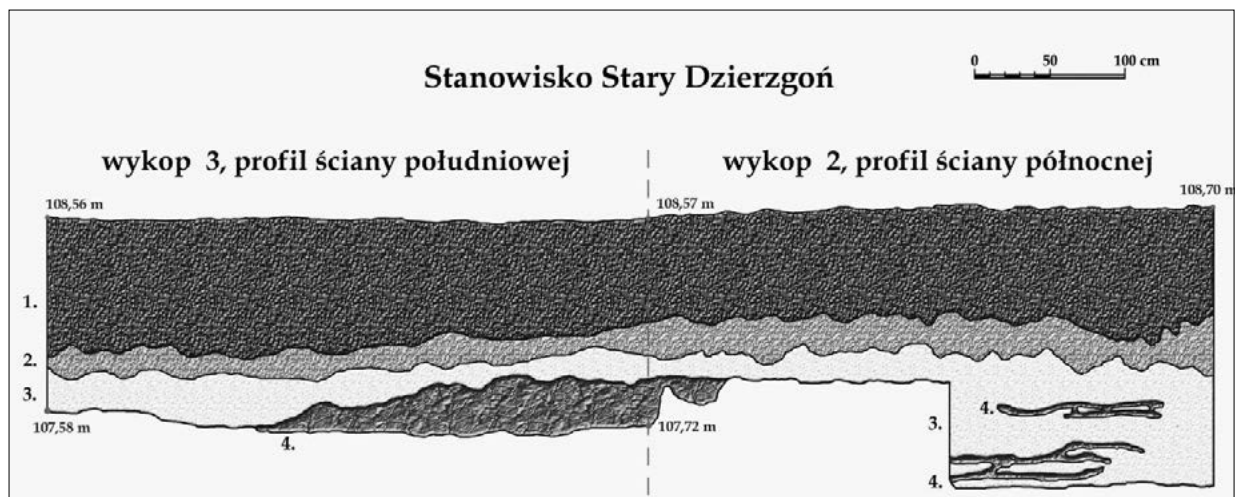
Ryc. 42. Obiekt warowny na Górze Zamkowej w Starym Dzierzgoniu, profil płn. wykopu 56, Kartoteka Schleifa
 Fig. 42. The fortified building at Góra Zamkowa in St. Dzierzgoń, northern profile, trench 56, Schleif's file



Ryc. 43. Obiekt warowny na Górze Zamkowej w St. Dzierzgoniu, fazy budowy wałów obiektu, na podstawie: Seefeld 1937, Abb. 1
 Fig. 43. The fortified building at Góra Zamkowa in St. Dzierzgoń, the construction phases of the ramparts, based on: Seefeld 1937, fig. 1



Ryc. 44. Obiekt warowny na Górze Zamkowej w Starym Dzierzgoniu, wykopy z lat 2009–2017 (zaznaczone kolorem czerwonym) na tle niemieckich z lat 1935–1937
 Fig. 44. The fortified building at Góra Zamkowa in St. Dzierzgoń, trenches of 2009–2017 (marked red) vs. German trenches of 1935–1937



Ryc. 45. Obiekt warowny na Górze Zamkowej w St. Dzierzgoniu, profil pld. wykopu 3A, profil pñ. wykopu 2A, rys. D. Gazda, A. Pelic, B. Szumski

Legenda: 1 – humus, 2 – szara ziemia wymieszana z piachem, 3 – jasnożółty piasek, 4 – pomarańczowobrunatna glina – calec

Fig. 45. The fortified building at Góra Zamkowa in St. Dzierzgoń, southern profile, trench 3A and northern profile, trench 2A, drawing D. Gazda, A. Pelic, B. Szumski

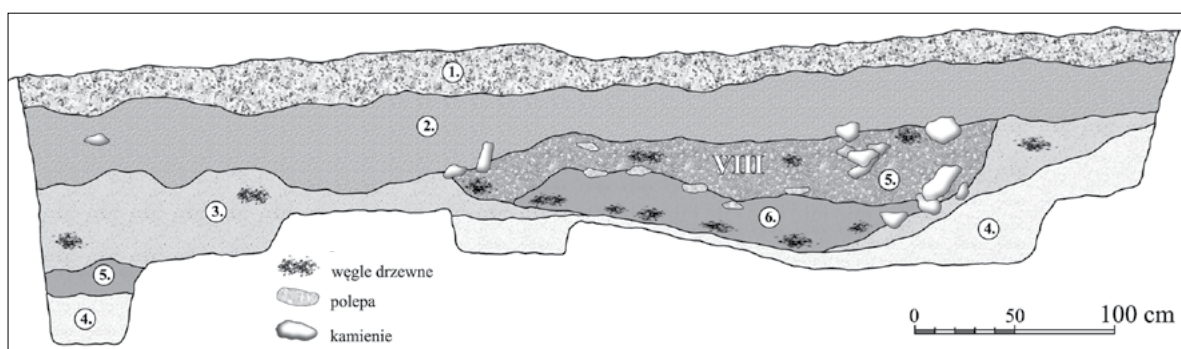
Legend: 1 – humus, 2 – gray soil mixed with sand, 3 – light yellow sand, 4 – orange-brown clay – basal soil layer



Ryc. 46. Obiekt warowny na Górze Zamkowej w St. Dzierzgoniu, rzut poziomy wykopu 8A; rys. D. Gazda, W. Chmiel, J. Jezierska
 Legenda: 1 – jasnożółty piasek – calec, 2 – szara ziemia z brunatną próchnicą, 3 – ciemnoszara ziemia z kamieniami, I–X –
 obiekty, 4 – ceramika z kością, 5 – żarno, 6 – kamienie, A–C –niwelacje

Fig. 46. The fortified building at Góra Zamkowa in St. Dzierzgoń, trench 8A, horizontal plan, drawing D. Gazda, W. Chmiel,
 J. Jezierska

Legend: 1 – light yellow sand – basal soil layer, 2 – grey soil with brown humus, 3 – dark grey soil with stones, I–X – objects,
 4 – ceramic with a bone, 5 – quern, 6 – stones, A–C –levelings

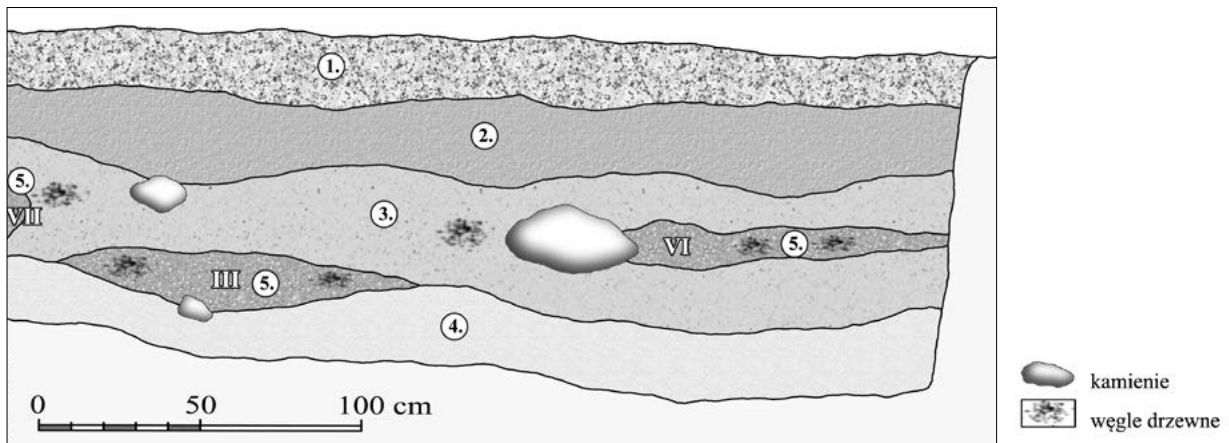


Ryc. 47. Obiekt warowny na Górze Zamkowej w St. Dzierzgoniu, przekrój przez obiekt VIII w wykopie 8, rys.
 D. Gazda, W. Chmiel, J. Jezierska

Legenda: 1 – humus, 2 – szara ziemia z brunatną próchnicą, 3 – szara ziemia przemieszana z piachem, 4 – jasnożółty piasek
 (calec), 5 – obiekt VIII, 6 – pomarańczowa glina, 7 – węgle drzewne, 8 – polepa, 9 – kamienie

Fig. 47. The fortified building at Góra Zamkowa in St. Dzierzgoń, section through the object VIII in the trench 8, drawing
 D. Gazda, W. Chmiel, J. Jezierska

Legend: 1 – humus, 2 – grey soil with brown humus, 3 – grey soil mixed with sand, 4 – light yellow sand (basal soil layer),
 5 – object VIII, 6 – orange clay, 7 – charcoal, 8 – clay floor relic, 9 – stones

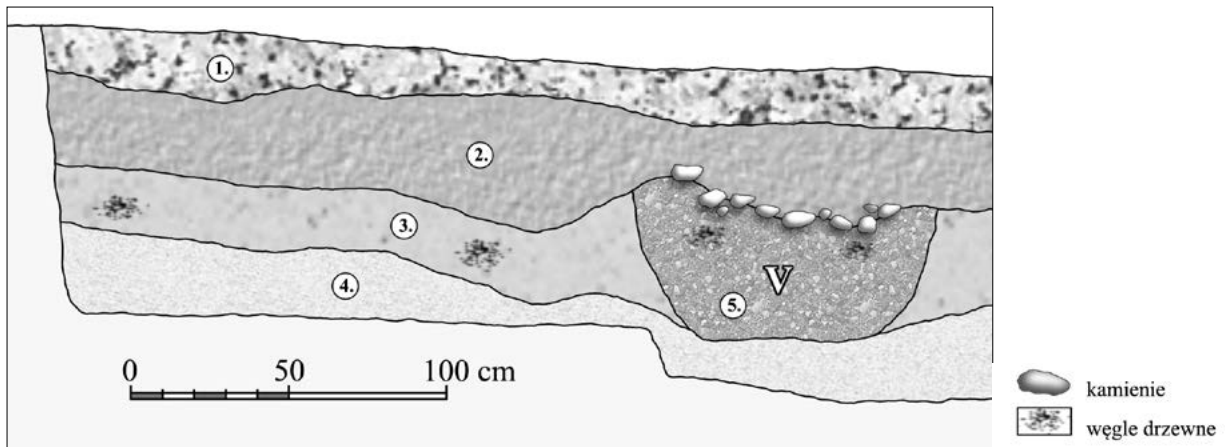


Ryc. 48. Obiekt warowny na Górze Zamkowej w St. Dzierzgoniu, przekrój przez obiekty III, VI, VII, na osi wsch.–zach., w wykopie 8, rys. D. Gazda, W. Chmiel, J. Jezierska

Legenda: 1 – humus, 2 – szara ziemia z brunatną próchnicą, 3 – szara ziemia przemieszana z piachem, 4 – jasnożółty piasek (calec), 5 – obiekty III, VI, VII

Fig. 48. The fortified building at Góra Zamkowa in St. Dzierzgoń, section through objects III, VI, VII in trench 8, on the east–west axis, drawing D. Gazda, W. Chmiel, J. Jezierska

Legend: 1 – humus, 2 – grey soil with brown humus, 3 – grey soil mixed with sand, 4 – light yellow sand (basal soil layer), 5 – objects III, VI, VII

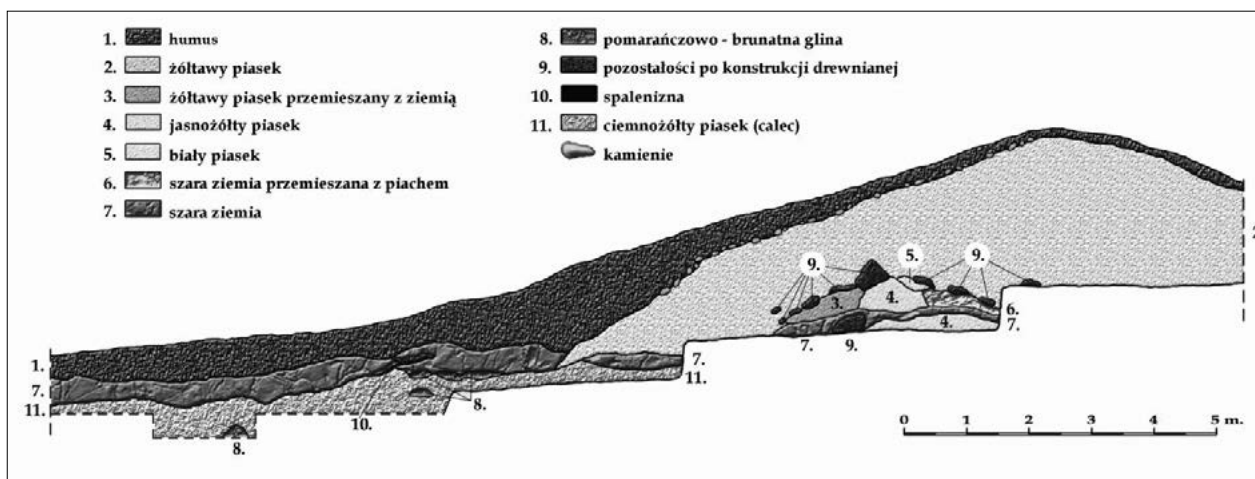


Ryc. 49. Obiekt warowny na Górze Zamkowej w St. Dzierzgoniu, przekrój przez obiekt V w wykopie 8, na osi wsch.–zach., rys. D. Gazda, W. Chmiel, J. Jezierska

Legenda: 1 – humus, 2 – szara ziemia z brunatną próchnicą, 3 – szara ziemia przemieszana z piachem, 4 – jasnożółty piasek (calec), 5 – obiekt V

Fig. 49. The fortified building at Góra Zamkowa in St. Dzierzgoń, section through the object V in trench 8, on the east–west axis, drawing D. Gazda, W. Chmiel, J. Jezierska

Legend: 1 – humus, 2 – grey soil with brown humus, 3 – grey soil mixed with sand, 4 – light yellow sand (basal soil layer), 5 – object V

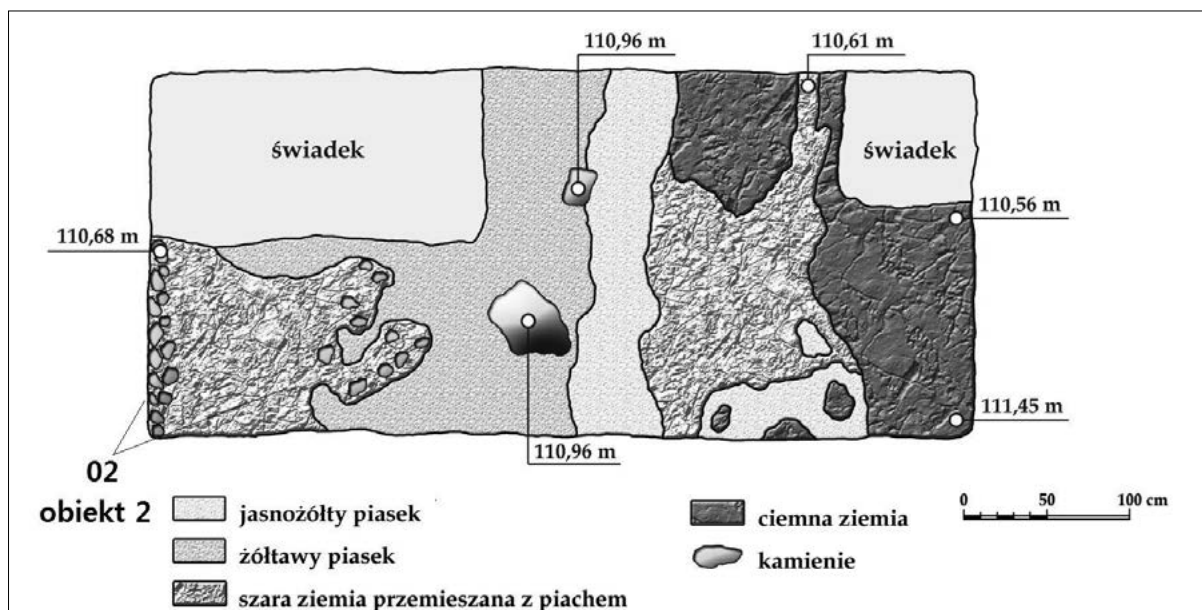


Ryc. 52. Obiekt warowny na Górze Zamkowej w Starym Dzierzgoniu, przekrój przez wał nr 4, na podstawie wykopów 1, 4–7, rys. D. Gazda

Legenda: 1 – humus, 2 – żółtawy piasek, 3 – żółtawy piasek przemieszany z ziemią, 4 – jasnożółty piasek, 5 – biały piasek, 6 – szara ziemia przemieszana z piachem, 7 – szara ziemia, 8 – pomarańczowobrunatna glina, 9 – pozostałości po konstrukcji drewnianej, 10 – spalenizna, 11 – ciemnożółty piasek – calec

Fig. 52. The fortified building at Góra Zamkowa in St. Dzierzgoń, section through the rampart No. 4, on the basis of trenches 1, 4–7, drawing D. Gazda

Legend: 1 – humus, 2 – yellowish sand, 3 – yellowish sand mixed with soil, 4 – light yellow sand, 5 – white sand, 6 – grey soil mixed with sand, 7 – grey soil, 8 – orange-brown clay, 9 – wooden remains, 10 – burnt substance, 11 – dark yellow sand – basal soil layer



Ryc. 53. Obiekt warowny na Górze Zamkowej w Starym Dzierzgoniu, rzut poziomy wykopu 6A, rys. D. Gazda, W. Chmiel

Legenda: C – świadek, 02 – obiekt 2, 1 – jasnożółty piasek, 2 – żółtawy piasek, 3 – szara ziemia przemieszana z piachem, 4 – ciemna ziemia, 5 – kamienie

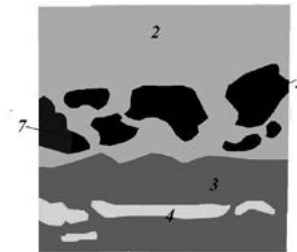
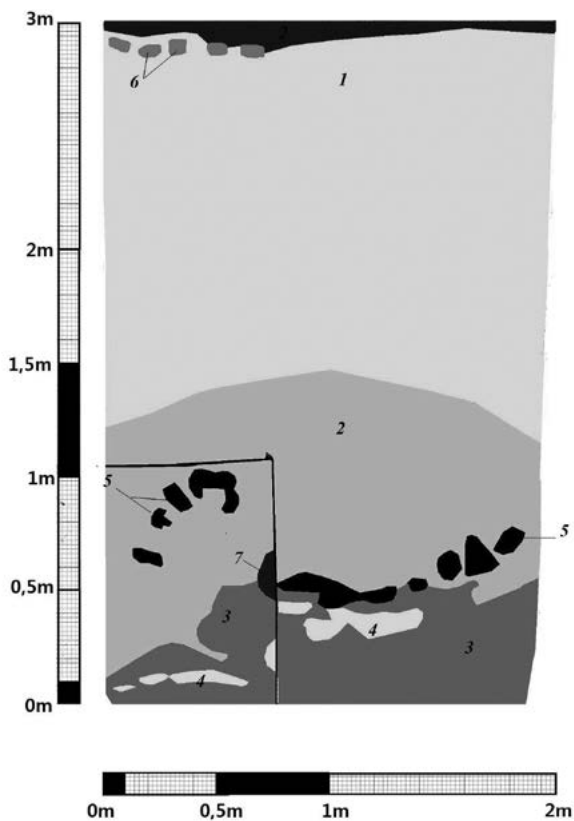
Fig. 53. The fortified building at Góra Zamkowa in St. Dzierzgoń, horizontal plan of trench 6A, drawing D. Gazda, W. Chmiel

Legend: C – balk, 02 – object 2, 1 – light yellow sand, 2 – yellowish sand, 3 – grey soil mixed with sand, 4 – dark soil, 5 – stones



Ryc. 54. Obiekt warowny na Górze Zamkowej w Starym Dzierzgoniu, przekrój przez obiekt 1/6 w wykopie 6A, fot. D. Gazda

Fig. 54. The fortified building at Góra Zamkowa in St. Dzierzgoń, section through the object 1/6 in trench 6A, photo by D. Gazda

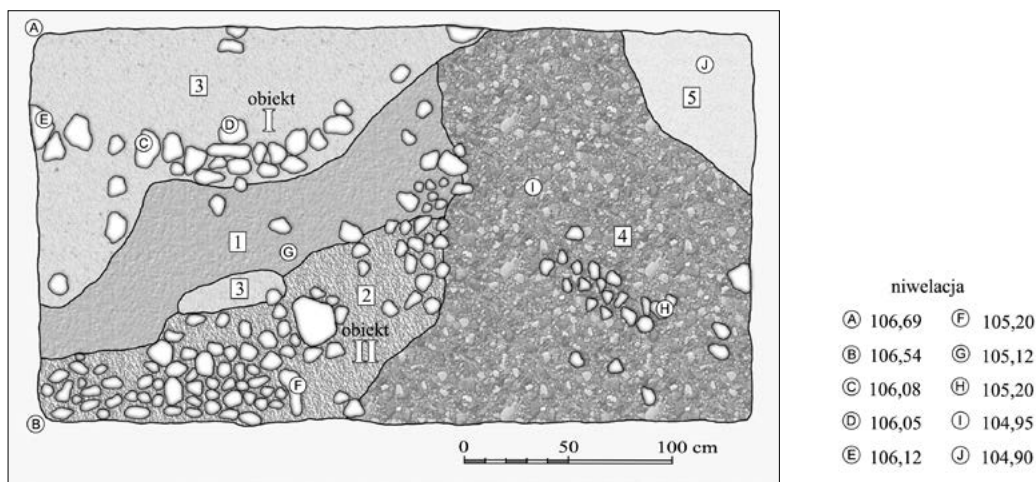


Ryc. 55. Obiekt warowny na Górze Zamkowej w Starym Dzierzgoniu, A – profil półn. wykopu 6A, B – profil zach. świadka C, rys. D. Gazda

Legenda: 1 – żółty piach, 2 – humus, 3 – żółty piach z brunatnopomarańczowymi smugami, 4 – biały piasek, 5 – elementy spalonej konstrukcji drewnianej (kolor czarny) (obiekt 1), 6 – kamienie, 7 – elementy konstrukcji drewnianej (kolor brązowy)

Fig. 55. The fortified building at Góra Zamkowa in St. Dzierzgoń, A – northern profile, trench 6A, B – western profile, balk C, drawing D. Gazda

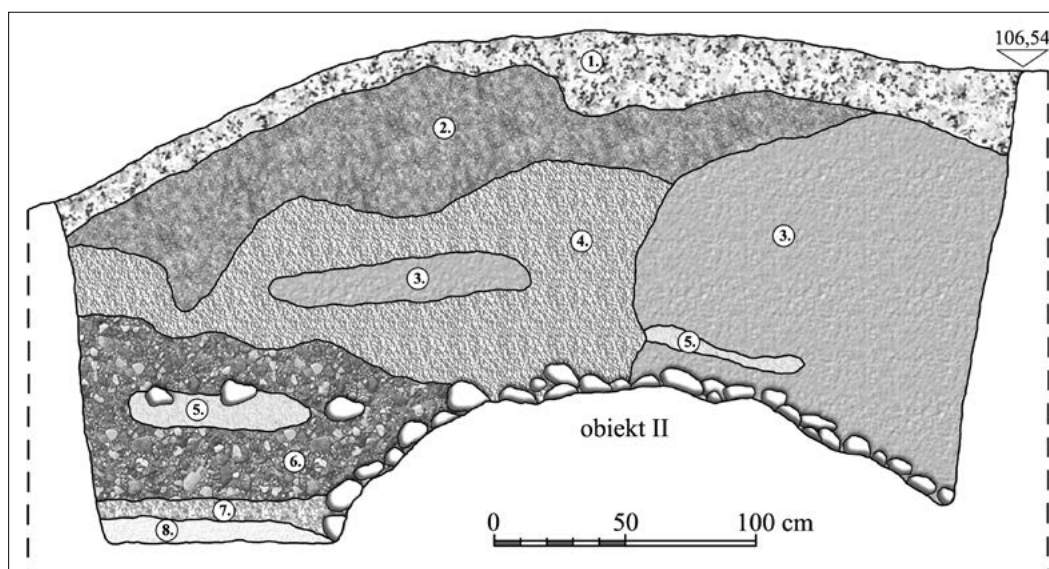
Legend: 1 – yellow sand, 2 – humus, 3 – yellow sand with brown-orange streaks, 4 – white sand, 5 – elements of a burnt wooden construction (black colour) (object 1), 6 – stones, 7 – elements of a wooden construction (brown colour)



Ryc. 56. Obiekt warowny na Górze Zamkowej w Starym Dzierzgoniu, rzut poziomy wykopu 10 A, rys. D. Gazda, W. Chmiel

Legenda: I – obiekt 1, II – obiekt 2, 1 – szara ziemia, 2 – szara ziemia przemieszana z piachem i gliną, 3 – szara ziemia przemieszana z piachem (sypka), 4 – brązowa glina z kamieniami, 5 – jasnożółty piasek (calec), A–J – niwelacje

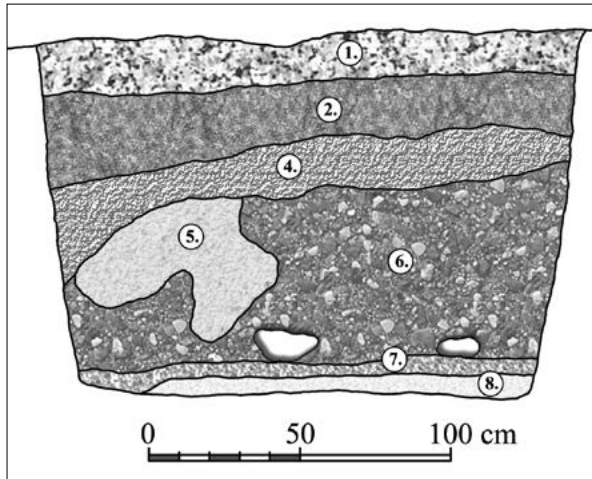
Fig. 56. The fortified building at Góra Zamkowa in St. Dzierzgoń, horizontal plan, trench 10A, drawing D. Gazda, W. Chmiel
Legend: I – object 1, II – object 2, 1 – grey soil, 2 – grey soil mixed with sand and clay, 3 – grey soil mixed with sand (powdery), 4 – brown clay with stones, 5 – light yellow sand (basal soil layer), A–J – levelings



Ryc. 57. Obiekt warowny na Górze Zamkowej w Starym Dzierzgoniu, profil półn. wykopu 10 A, rys. D. Gazda, W. Chmiel

Legenda: II – obiekt II, 1 – humus, 2 – ciemnoszara ziemia z brunatną próchnicą, 3 – szara ziemia, 4 – szara ziemia przemieszana piachem i gliną, 5 – szara ziemia przemieszana z piachem (sypka), 6 – brązowa glina z kamieniami, 7 – brązowożółtawa glina, 8 – jasnożółty piasek (calec)

Fig. 57. The fortified building at Góra Zamkowa in St. Dzierzgoń, northern profile, trench 10A, drawing D. Gazda, W. Chmiel
Legend: II – object II, 1 – humus, 2 – dark grey soil with brown humus, 3 – grey soil, 4 – grey soil mixed with sand and clay, 5 – grey soil mixed with sand (powdery), 6 – brown clay with stones, 7 – brown-yellowish clay, 8 – light yellow sand (basal soil layer)

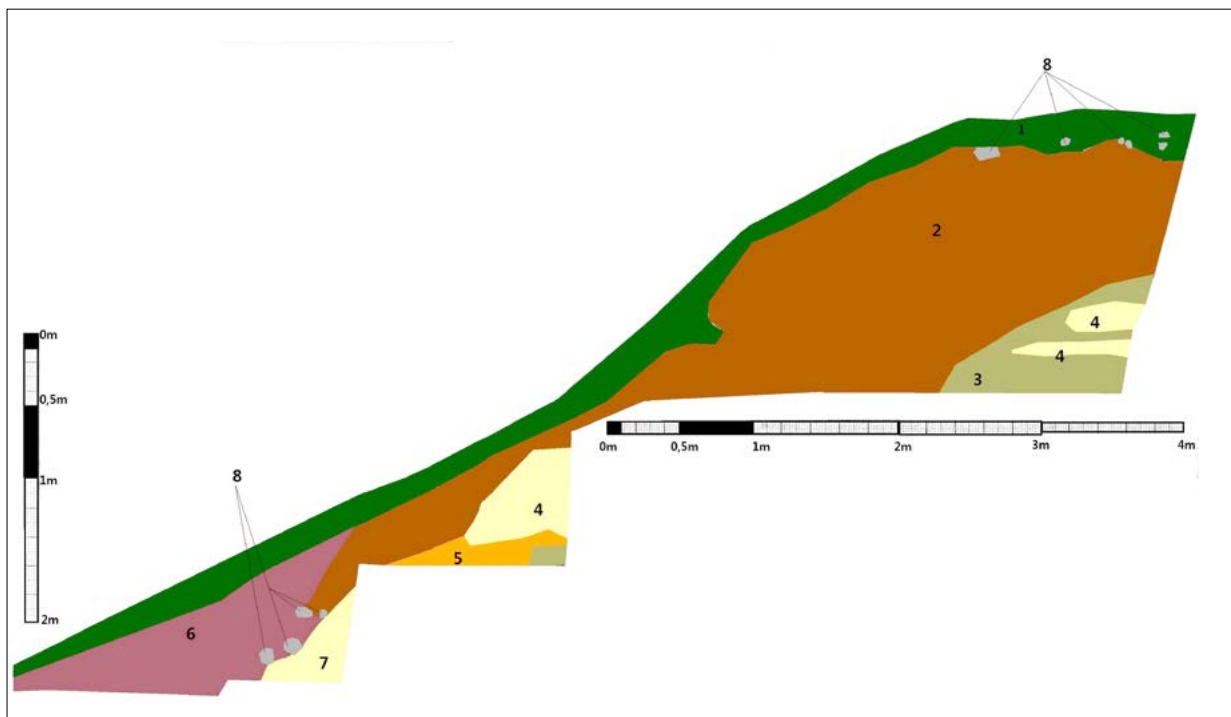


Ryc. 58. Obiekt warowny na Górze Zamkowej w Starym Dzierzgoniu, profil zach. wykopu 10 A, rys. D. Gazda, W. Chmiel

Legenda: 1 – humus, 2 – ciemnoszara ziemia z brunatną próchnicą, 4 – szara ziemia przemieszana z piachem i gliną, 5 – szara ziemia przemieszana z piachem (sypka), 6 – brązowa glina z kamieniami, 7 – brązowożółtawa glina, 8 – jasnożółty piasek (calec)

Fig. 58. The fortified building at Góra Zamkowa in St. Dzierzgoń, western profile, trench 10A, drawing D. Gazda, W. Chmiel

Legend: 1 – humus, 2 – dark grey soil with brown humus, 4 – grey soil mixed with sand and clay, 5 – grey soil mixed with sand (powdery), 6 – brown clay with stones, 7 – brown-yellowish clay, 8 – light yellow sand (basal soil layer)

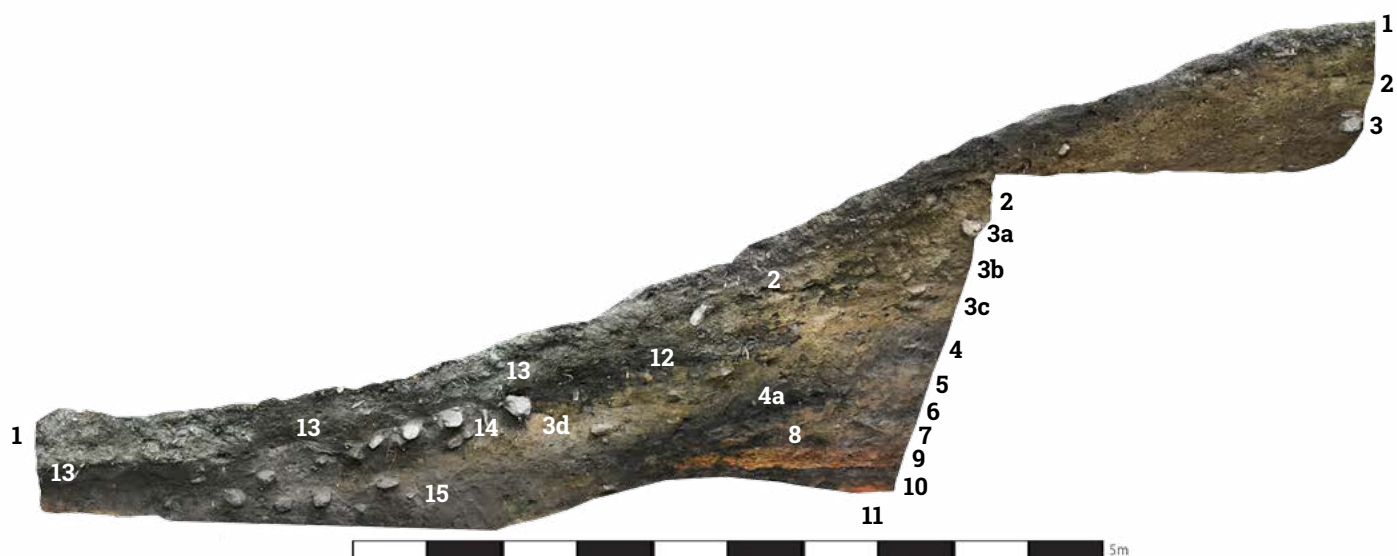


Ryc. 59. Obiekt warowny na Górze Zamkowej w Starym Dzierzgoniu, profil zach. wykopu 12 A, rys. D. Gazda, W. Chmiel

Legenda: 1 – humus, 2 – jasnożółty piasek poprzecinany poprzecznymi cienkimi warstwami pomarańczowobrązowej zbitej gliny, 3 – szary zbity piasek poprzecinany poprzecznymi warstwami jaśniejszego piachu z gliną, 4 – żółtobrązowy piasek przechodzący u dołu stopniowo w szarawy piasek, 5 – spalenizna, 6 – szarobrunatna ziemia, 7 – żółty piasek, 8 – kamienie

Fig. 59. The fortified building at Góra Zamkowa in St. Dzierzgoń, western profile, trench 12A, drawing D. Gazda, W. Chmiel

Legend: 1 – humus, 2 – light yellow sand cut with the transverse thin layers of orange-brown compacted clay, 3 – grey compacted sand cut with transverse layers of lighter sand with clay, 4 – yellow-brown sand, at the bottom changing gradually into the greyish one, 5 – burnt, 6 – grey-brown soil, 7 – yellow sand, 8 – stones



Ryc. 60. Obiekt warowny na Górze Zamkowej w St. Dzierzgoniu, profil płn. wykopu 9 A, rys. D. Gazda, J. Świda

Legenda: 1 – humus, 2 – jasny żółtawy piach, 3 – gliny, 3a – żółtawa glina, 3b – żółtawoszarawa glina, 3c – pomarańczowożółta glina (tłusta), 3d – żółtawa glina, 4 – szary piach przemieszany z gliną, węglami drzewnymi, pojedynczymi spalonymi fragmentami bierwion i belek oraz przepalonej polepy, 4a – osuwisko warstwy 4, 5 – żółtawa glina, 6 – szarawy piach przemieszany z gliną i węglami drzewnymi, spalenizna, 7 – żółtawa glina, 8 – mało wyraźna warstwa, szare przebarwienia przemieszane z gliną, 9 – pomarańczowa glina, 10 – szarawy piach, spalenizna, w stropie warstwy – fragmenty spalonego drewna, 11 – pomarańczowa glina – calec, 12 – szara ziemia przemieszana z gliną i elementami spalonych konstrukcji drewnianych, 13 – szara ziemia, 14 – duże kamienie ułożone na glinie, 15 – szarawa piaszczysta glina

Fig. 60. The fortified building at Góra Zamkowa in St. Dzierzgoń, northern profile, trench 9A, drawing D. Gazda, J. Świda

Legend: 1 – humus, 2 – light yellowish sand, 3 – clays, 3a – yellowish clay, 3b – yellowish-grey clay, 3c – orange-yellow clay (fat), 3d – yellowish clay, 4 – grey sand mixed with clay, charcoal, single burnt fragments of logs and beams, and burnt fragments of clay floor, 4a – landslide of layer 4, 5 – yellowish clay, 6 – grey sand mixed with clay and charcoal, burning, 7 – yellowish clay, 8 – little visible layer, grey discoloration mixed with clay, 9 – orange clay, 10 – greyish sand, burning, in the roof of the layer – fragments of burnt wood, 11 – orange clay (basal soil layer), 12 – grey soil mixed with clay and elements of burnt wooden structures, 13 – grey soil, 14 – large stones arranged on clay, 15 – greyish sandy clay

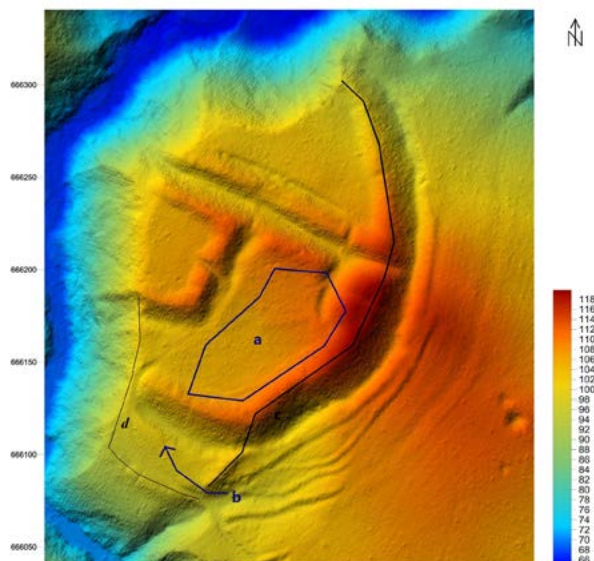


Ryc. 61. Obiekt warowny na Górze Zamkowej w St. Dzierzgoniu, profil wsch. wykopu 9 A, rys. D. Gazda, J. Świda

Legenda: 1 – humus, 2 – jasny żółtawy piach, 3 – gliny, 3a – żółtawa glina, 3b – żółtawoszara glina, 3c – pomarańczowo-żółta glina (tłusta), 3d – żółtawa glina, 4 – szary piach przemieszany z gliną, węglami drzewnymi, pojedynczymi spalonymi fragmentami bierwion i belek oraz przepalonych polepy, 5 – żółtawa glina, 6 – szarawy piach przemieszany z gliną i węglami drzewnymi, spalenizna, 7 – żółtawa glina, 8 – mało wyraźna warstwa, szare przebarwienia przemieszane z gliną, 9 – pomarańczowa glina, 10 – szarawy piach, spalenizna, w stropie warstwy – fragmenty spalonego drewna, 11 – pomarańczowa glina – calec

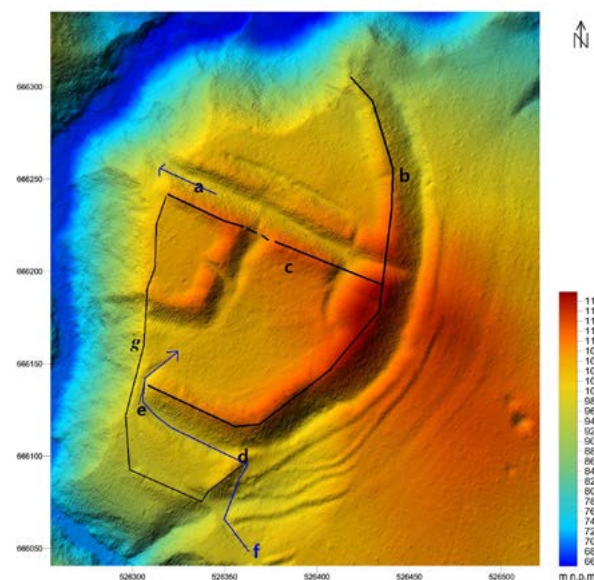
Fig. 61. The fortified building at Góra Zamkowa in St. Dzierzgoń, eastern profile, trench 9A, drawing D. Gazda, J. Świda

Legend: 1 – humus, 2 – light yellow sand, 3 – clay, 3a – yellowish clay, 3b – yellowish-grey clay, 3c – orange-yellow clay (fat), 3d – yellow clay, 4 – grey sand mixed with clay, charcoal, single burnt fragments of logs and beams, and burnt fragments of clay floor, 5 – yellowish clay, 6 – greyish sand mixed with clay and charcoal, burning, 7 – yellowish clay, 8 – little visible layer, grey discoloration mixed with clay, 9 – orange clay, 10 – greyish sand, burning, in the roof of the layer – fragments of burnt wood, 11 – orange clay – basal soil layer



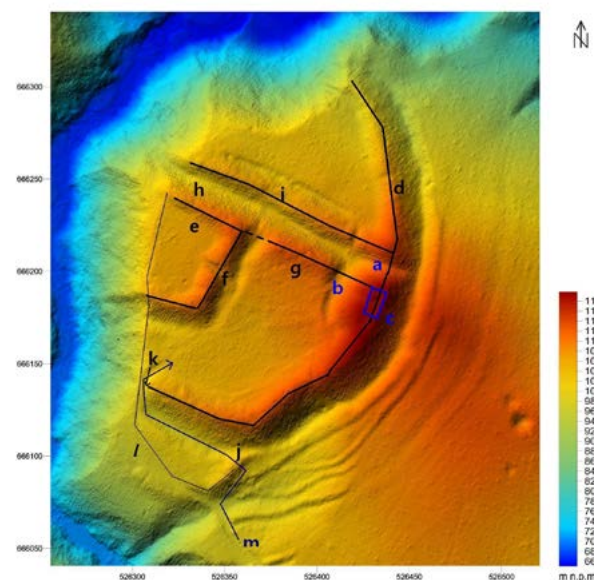
Ryc. 62a. Obiekt warowny na Górze Zamkowej w Starym Dzierzgoniu, zasiedlenie obiektu w okresie wczesnożelaznym, a – główne miejsce osady, b – wejście, c – wał, d – umocnienie skarpy

Fig. 62a. The fortified building at Góra Zamkowa in St. Dzierzgoń, settlement of the object in the early iron period, a – the main place of the settlement, b – entrance, c – rampart, d – strengthening of the slope



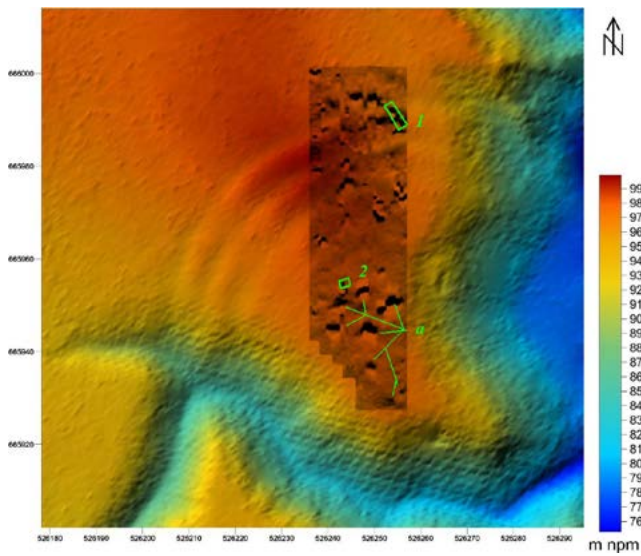
Ryc. 62b. Obiekt warowny na Górze Zamkowej w Starym Dzierzgoniu w okresie pruskim, lata 30. XIII w., a – jar z hipotetyczną ścieżką do rzeki, b – wał główny, c – hipotetyczny wał – palisada, d – pierwsza brama, e – hipotetyczna druga brama, g – umocnienia skarpy, f – wjazd

Fig. 62b. The fortified building at Góra Zamkowa in St. Dzierzgoń in the Prussian period of the 1230s, a – canyon with a hypothetical path to the river, b – the main rampart, c – hypothetical rampart – palisade, d – first gate, e – hypothetical second gate, g – strengthening of the slope, f – entry



Ryc. 62c. Obiekt warowny na Górze Zamkowej w Starym Dzierzgoniu w okresie krzyżackim (1236–1261); I faza: d – wał główny, e, f – wały zamku górnego, g, i – wały odgradzające majdan płn. oraz zabezpieczające jar, h – hipotetyczna ścieżka do rzeki, j – brama, k – hipotetyczna druga brama, l – umocnienia skarpy, m – wjazd; II faza (1249–1261): a, b – przekopy przez istniejące wały, c – wieża

Fig. 62c. The fortified building at Góra Zamkowa in St. Dzierzgoń in the Teutonic period (1236–1261); I phase: d – main rampart; e, f – ramparts of the upper castle, g, i – ramparts separating the northern bailey and hedging the canyon, h – hypothetical path to the river, j – gate, k – hypothetical second gate, l – strengthening of the slope, m – entry; phase II (1249–1261): a, b – crossings through existing ramparts, c – tower

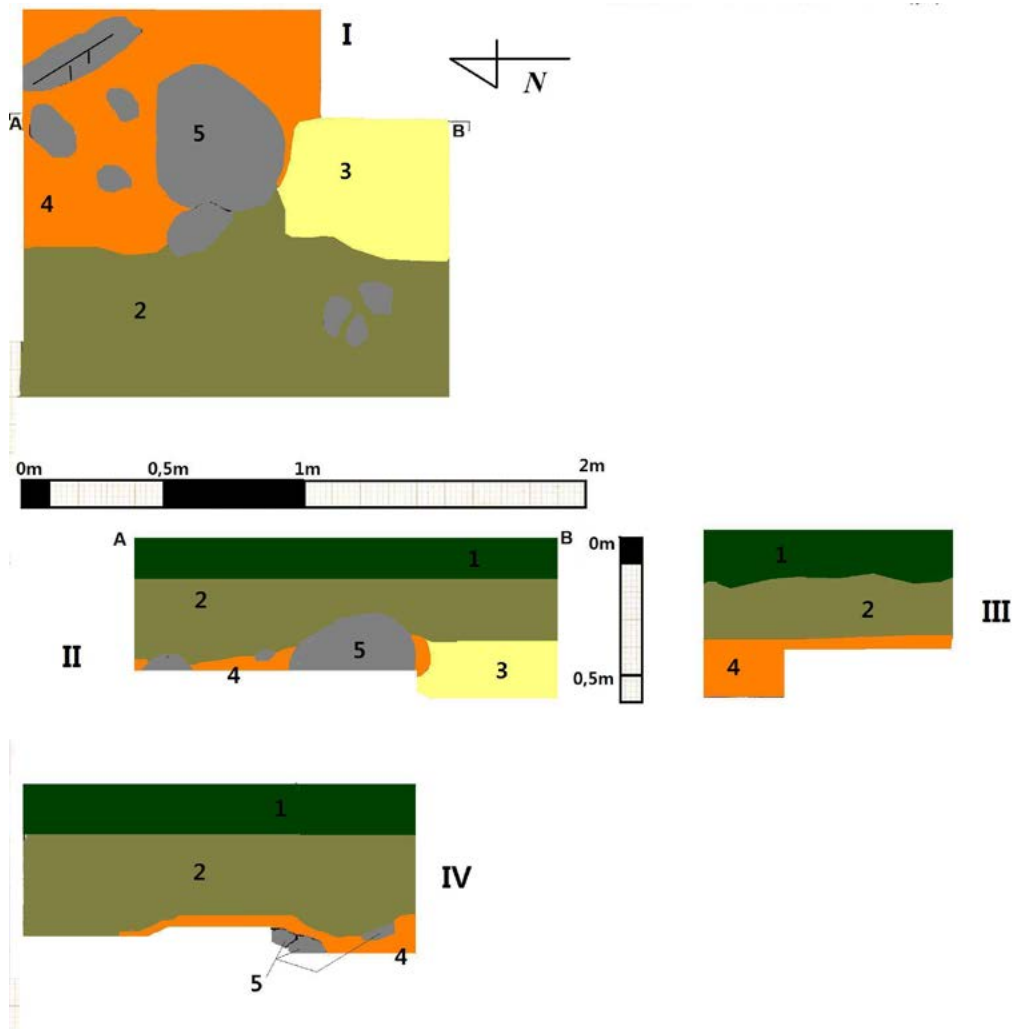


Ryc. 63. Gród cyplowy, rozmieszczenie wykopów

Legenda: 1 – wykop 1, 2 – wykop 2, a – anomalie mogące być obiektem kultowym

Fig. 63. Stronghold, distribution of trenches

Legend: 1 – trench 1, 2 – trench 2, a – anomalies that can be a cult object

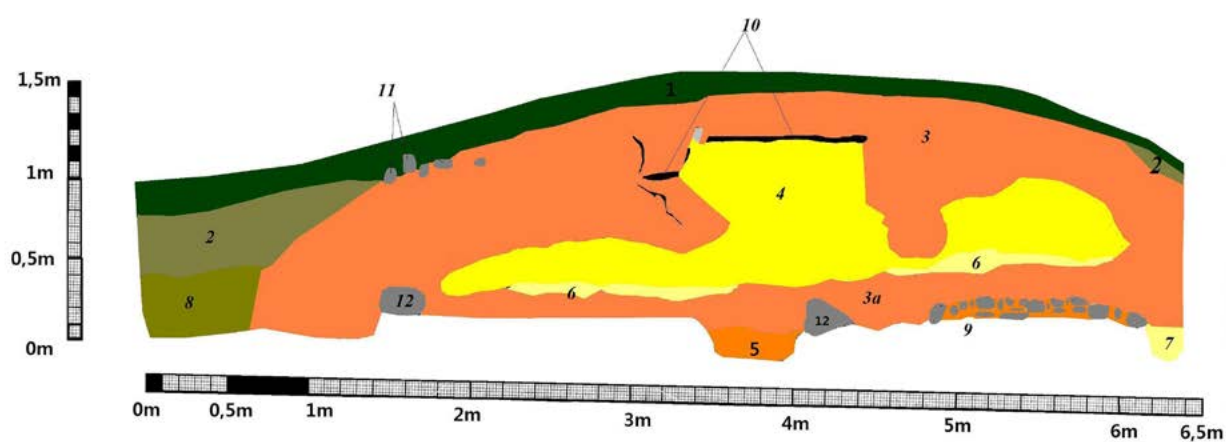


Ryc. 64. Gród cyplowy, wykop 2, I – rzut poziomy, II – przekrój na osi A-B, III – profil wsch., IV – profil półn., rys. D. Gazda

Legenda: 1 – humus, 2 – szara ziemia, 3 – pomarańczowa glina, 4 – jasnożółty piach i żółtawa glina – calec

Fig. 64. Stronghold, trench 2, I – horizontal plan, II – section on A-B axis, III – eastern profile, IV – northern profile, drawing D. Gazda

Legend: 1 – humus, 2 – grey soil, 3 – orange clay, 4 – light yellow sand and yellowish clay – basal soil layer



Ryc. 65. Gród cyplowy, profil zach. wykopu 1, rys. D. Gazda

Legenda: 1 – humus, 2 – szara ziemia zalegająca w półn. i półd. części wykopu, 3 i 3a – pomarańczowożółta tłusta i zbita glina, 4 – żółty zbitý piach, 5 – pomarańczowa glina – calec?, 6 – bladożółty piach, 7 – bladożółtawy piach – calec, 8 – warstwa przemieszana, piach i glina, 9 – warstwa kamieni osadzonych na pomarańczowej glinie lub piachu, 10 – spalona konstrukcja drewniana, 11 – luźne kamienie, 12 – dwa duże kamienie

Fig. 65. Stronghold, western profile, trench 1, drawing D. Gazda

Legend: 1 – humus, 2 – grey soil laying in the northern and southern part of the trench, 3 and 3a – orange-yellow fat and compacted clay, 4 – yellow compacted sand, 5 – orange clay – basal soil layer?, 6 – pale yellow sand, 7 – pale yellowish sand – basal soil layer, 8 – mixed layer, sand and clay, 9 – layer of stones embedded on orange clay or sand, 10 – burnt wooden structure, 11 – loose stones, 12 – two large stones

**ANALIZA ŹRÓDEŁ
ARCHEOLOGICZNYCH**

Analiza ceramiki ze Starego Dzierzgonia, stan. 1

Analizie poddano 2411 ułamków ceramicznych. Dominantę materiału stanowiła ceramika z wczesnej epoki żelaza. Odnotowano także nieliczne fragmenty naczyń z okresu wpływów rzymskich. Ich ilość nie przekroczyła 2% całości zbioru. Także ułamków o chronologii średniowiecznej zadokumentowano niewiele. Odnotowano zaledwie 220 fragmentów takiej ceramiki, co stanowiło poniżej 10% całości. Wśród tych ostatnich jedynie kilkanaście ułamków można odnieść do ceramiki późnośredniowiecznej, o chronologii zamykającej się w XIV w. Dlatego też opis materiału podzielono na dwie zasadnicze części: wczesną epokę żelaza oraz średniowiecze.

WCZESNA EPOKA ŻELAZA

Analizie poddano 2191 ułamków naczyń. W zespole dominowały fragmenty brzuśców (82%). Znacznie mniej zadokumentowano wylewów, które stanowiły 15% całego zbioru. Odsetek den nie przekroczył 2%, zaś uch – 1% analizowanego materiału. Ze względu na specyfikę materiałów określanych w literaturze przedmiotu jako halsztackie i lateńskie dla obszaru północno-wschodniej Polski, zdecydowano się potraktować je zbiorczo. Warto bowiem zaznaczyć, że w zależności od przyjętego systemu chronologicznego wczesna epoka żelaza i wczesny oraz środkowy okres lateński są okresami równoczesnymi¹. Znajduje to odzwierciedlenie w historii obszaru, na którego pograniczu przez tysiąclecia stykały się ze sobą kultury o różnym poziomie rozwoju cywilizacyjnego.

Morfologia

Spośród analizowanego materiału udało się zrekonstruować całkowicie lub częściowo kilkadziesiąt naczyń (na załączonych tablicach). Zadokumentowano dużą różnorodność nie tylko form, ale

i ukształtowania krawędzi. Choć większość naczyń miała ścianki proste lub zagięte do wnętrza, to towarzyszyły im także formy o krawędziach wychylnych na zewnątrz.

Nie mniej różnorodnie prezentują się dna naczyń (tab. 8.1–8.6, 8.8, 12.2, 12.4). Występują zarówno formy półkuliste, jak i słabo wyodrębnione lub wyodrębnione, a wśród nich lekko wklęsłe, lekko wypukłe, płaskie. Dno o prosto ukształtowanym przebiegu zewnętrznym oraz lekko wypukłej jego wewnętrznej części zostało odnotowane m.in. w Janowie Pomorskim i zaklasyfikowane tam jako jedna z cech ceramiki kultury pomorskiej (Ignaczak, Afelski 2012, s. 92).

Należy zaznaczyć, że w Starym Dzierzgoniu w kilku przypadkach dna wykazywały pewne nieregularności. Niektóre z jednej strony były lekko wklęsłe, a z drugiej lekko wypukłe. Warto zwrócić uwagę na ten aspekt, gdyż w przypadku ceramiki ręcznie lepionej potwierdza to hipotezę, iż stricte taksonometryczne potraktowanie materiału może prowadzić do zafałszowania modelu rekonstruowanej przeszłości.

Wracając jednak do meritum, w analizowanym materiale udało się określić pełne wymiary jedynie 12 den. Odnotowano ich średnice w zakresie od 5 do 12 cm. Warto jednak podkreślić, że w większości przypadków wymiar ten zawierał się pomiędzy 7 a 10 cm. Zaledwie jedno dno miało większą średnicę, a mianowicie 12 cm.

Jedną z najczęściej spotykanych form naczynia na stanowisku w Starym Dzierzgoniu jest misa. Z badanego materiału zrekonstruowano 24 tego typu naczynia. Zadokumentowano egzemplarze o ściankach stożkowatych lub łukowatych, w kształcie wycinka kuli oraz – częściej występujące – o szerokim wylewie i łukowatym wgięciu pod krawędzią.

Misy o kształcie wycinka kuli wystąpiły w dwóch odmianach: głębsze, o pogrubionej (tab. 2.4) lub zaokrąglonej (tab. 3.4) krawędzi wylewu oraz płytsze, o krawędzi prostej (tab. 2.6). Formy takie występują na stanowiskach w północno-wschodniej strefie nadbałtyckiej, zarówno na nekropolach płaskich,

1. Synchronizację systemów chronologicznych dla tego obszaru przedstawił M. Hoffmann (2000, ryc. 1).

jak i w osiedlach wysoczyznowych, nizinnych i nadowodnych (Hoffmann 2000, s. 94).

Misy o ściankach stożkowatych odnotowano w odmianie średnio głębokiej i płytkiej z prostą krawędzią wylewu (tab. 6.3, 2.5), głębokiej z wylewem wychylonym na zewnątrz (tab. 1.1) oraz z wylewem tworzącym rodzaj okapu (tab. 1.6). Analogiczne formy do płytkich mis z tab. 2.5 są zaliczane do grupy III mis (Hoffmann 2000) i datowane na okres LT A-B (Hoffmann 2000, ryc. 40).

Poza tym zadokumentowano głębokie misy o łukowatej ściance z zaokrągloną krawędzią wylewu (tab. 1.3), płytsze misy z wylewem wychylonym na zewnątrz (tab. 4.7, 2.2), a także lekko profilowane ze ścienną krawędzią wychyloną na zewnątrz (tab. 1.7) oraz o ściankach niemal prostych z wylewem w formie okapu (tab. 1.5). Forma o ornamentyce zbliżonej do tej ostatniej znana jest z obiektu z wczesnej epoki żelaza z Janowa Pomorskiego (Ignaczak, Affelski 2012, tab. 13.11).

W Starym Dzierzgoniu stosunkowo często występującą formą jest misa o szerokim wylewie i łukowatym wgłębieniu pod krawędzią (tab. 1.8, 5.1, 5.6, 7.2, 7.8, 10.2). Trzy egzemplarze charakteryzowały się ornamentyką w miejscu największej wydętości brzuśca. Znane są analogie zarówno z ziem słowiańskich, jak i pruskich, datowane na okres halsztacki lub wczesnolateński (Antoniewicz 1964, s. 56).

Warto zwrócić uwagę na jeszcze jedno naczynie, które co prawda jest wyposażone w krótką szyjkę, niebędącą raczej cechą charakterystyczną mis, ale ma odpowiednie dla tej formy parametry. Poza tym, mimo braku partii dennej, ukształtowanie ścianki wskazuje, że mielibyśmy tu do czynienia prawdopodobnie z formą kulistodenną (tab. 12.4). Zbliżone formy znane są z Tynwałdu i zostały zaliczone do naczyń wazowatych grupy IV o chronologii z młodszego okresu przedrzymskiego (Hoffmann 2000, ryc. 35). Wzmiankowane naczynia różnią się jednak opracowaniem powierzchni i ornamentyką.

Należy także zaznaczyć, że w przypadku zaledwie 3 mis zachowały się partie przydenne, co uniemożliwia w pełni określenie rodzajów dna. Biorąc jednak pod uwagę wcześniejsze opracowania ceramiki z tego stanowiska (Antoniewicz, 1964, tabl. IX) oraz częstotliwość występowania tej partii naczynia w badaniach współczesnych, można z dużą dozą prawdopodobieństwa stwierdzić, że w wielu przypadkach mogły to być formy kulistodenne lub o dnach słabo wyodrębnionych (jak ta z tab. 5.6).

W przeważającej większości średnice wylewów mis mieszczą się w zakresie 25–30 cm. Kilka większych sztuk miało średnicę do 38 cm, zaś mniejsze

formy – średnicę poniżej 20 cm. Najmniejsza misa w zbiorze miała 8 cm średnicy i kształt lekko kapełuszowaty, co może sugerować, że nie pełniła szczególnie użytkowej funkcji. Wielkość ta jest spotykana w pokrywach urn popielnicowych z obszaru kultury pomorskiej (Ossowski 1879, tab. XVII 4, 10). Warto zaznaczyć, że także krawędź wywinięta na zewnątrz nie jest w tej kulturze rzadkością.

Na stanowisku znaleziono również 2 czerpaki, choć w ich przypadku nazwa ta bardziej określa formę niż funkcję. Oba są bowiem niewielkie. Jeden ma średnicę 10 (tab. 3.1), a drugi 11 cm (tab. 6.4). Mają taśmowate ucha, są obustronnie gładzone. Jeden jest nieco głębszy od drugiego. Ciekawostką może stanowić fakt, że objętość większego z czerpaczków wynosi niespełna 200 ml.

Jedną z ciekawszych form to także niewielki kubek kulistodenny z utraconym uchem (tab. 4.5). Jest obustronnie gładzony. Ma poszerzoną prostą krawędź. Poza nim na stanowisku zadokumentowano jedynie dwie formy o analogicznie ukształtowanej krawędzi.

Liczną grupę na grodzisku stanowią naczynia baniaste (tab. 1.4, 2.3, 4.3, 5.2, 6.1, 6.6, 7.3, 9.1, 9.2, 9.3, 9.7, 9.11, 13.6, 13.7). Wśród rekonstruowanego materiału wyróżniono 14 tego typu naczyń. Cechą determinującą jest w ich przypadku stopień wydętości brzuśca i jego umiejscowienie. W Starym Dzierzgoniu zadokumentowano formy o maksymalnej wydętości w górnej partii naczynia (3–6 cm poniżej krawędzi wylewu), w połowie wysokości naczynia, także w odmianie z krawędzią wychyloną na zewnątrz, oraz – nieliczne – w dolnej partii naczynia (tab. 9.3). Część z nich miała gładzone partie przy wylewie (tab. 2.3, 5.2, 5.4) lub lekko wyodrębnioną szyjkę. Analogiczne formy odnotowano m.in. w Tolkmicku, Łęczach, Pleśnie (Hoffmann 1999, tab. L 28, 30, 32, XLIX 10, 14, LXVII 25), Wyszemborku (Gładki, 2003, tab. X 13) czy Janowie Pomorskim (Ignaczak, Affelski 2012, tab. 19.4).

W Starym Dzierzgoniu zadokumentowano także przykłady ze średnio wysoką i wysoką stożkowatą lub cylindryczną szyjką prostą tudzież lekko wychyloną na zewnątrz krawędzią (tab. 9.4, 9.9, 9.12, 10.5, 10.8, 8.7). W całym zbiorze zadokumentowano zaledwie kilka naczyń tego typu. Należy jednak nadmienić, że tylko w dwóch przypadkach zachowała się większa partia naczynia. Oba te naczynia mają baniasty brzusiec umieszczony w dolnej partii. Jedno ma wysoką cylindryczną szyjkę (tab. 10.5), zaś drugie – krawędź wychyloną lekko na zewnątrz, co upodabnia je do naczyń esowatych. Naczynia owe są obustronnie gładzone. Większe

ma barwę ciemnobrunatną, zaś mniejsze – brunatnoszarą. Analogię do tego ostatniego znajdziemy m.in. w Janowie Pomorskim (Ignaczak, Affelski 2012, tab. 42.8), gdzie zaklasyfikowano taką formę do ceramiki kultury lużyckiej.

Poza naczyniami baniastymi w Starym Dzierzgoniu odnotowano formy beczułkowate charakteryzujące się nieco mniejszą wydętością brzuśca (tab. 1.2, 3.3, 3.6, 3.7, 5.5, 7.1, 9.5, 10.7, 11.4, 13.1, 13.3). Naczynia chropowate o niewielkiej wydętości brzuśca są stosunkowo popularne wśród materiałów z wczesnej epoki żelaza z obszaru północno-wschodniej Polski. Analogie znajdziemy m.in. w Wyszemborku (Gładki 2003, tab. 4.13), Pleśnie (Antoniewicz 1964, tab. XXXIh), Kretowinach (Antoniewicz 1964, s. 132, fig. p)

Formą do nich zbliżoną są naczynia jajowate (tab. 6.5, 10.4, 11.1, 11.2, 12.1). Na stanowisku zadokumentowano 6 takich naczyń. Mają one na ogół łagodne załomy brzuśca umieszczone w 2/3 wysokości naczynia. Cechą wyróżniającą formy jajowate jest przede wszystkim ich znaczna wysokość oraz często zwężenie w partii przydennej. W górnej partii naczynia tego typu mogą być bowiem zbliżone w proporcjach do niektórych mis, naczyń beczułkowatych lub esowatych o łagodnym profilu. Z uwagi na fragmentaryczne zachowanie materiału nie wydaje się możliwe jednoznaczne zakwalifikowanie do danej grupy w każdym przypadku. W praktyce bowiem często nie da się określić cechy determinującej, czyli wysokości naczynia. Naczynia ze Starego Dzierzgonia mają swoje analogie m.in. w Wyszemborku (Gładki 2003, tab. VI 9, XII 12), Mołtajnach (Hoffmann 1999, tab. LX5 23), Pleśnie (Hoffmann 1999, tab. LXVII 27) czy Jeziorku (Hoffmann 1999, tab. LXXIII 18).

Poza tym w analizowanym materiale odnotowano szereg form szerokootworowych o ściankach prostych, nieznacznie wychylonych na zewnątrz lub zawiniętych do wewnątrz w górnej partii naczynia. Ze względu na zachowanie z reguły jedynie części przywylewowej trudno przyporządkować je do bardziej szczegółowych kategorii. Wśród nich występują także pojedyncze przykłady z uchami taśmowatymi niewystającymi ponad krawędź wylewu (tab. 4.8, 4.9). Proporcjonalnie jednak formy duże stanowią raczej marginalny dodatek w badanym materiale.

Kolejną grupę tworzą naczynia esowate (tab. 2.8, 7.5, 7.7, 9.6, 9.8, 10.4, 13.5, 12.2). W zrekonstruowanym materiale odnotowano fragmenty 8 takich naczyń. Wyróżniono formy klasyczne oraz lekko profilowane. Największa wydętość brzuśca

występuje w połowie lub w górnej partii naczynia. Średnica wylewów mieści się w zakresie 10–20 cm. Część z nich jest zaopatrzona w taśmowate ucha.

Wśród form klasycznych zadokumentowano m.in.: naczynie uchate o średnicy wylewu 14,5 cm z płaskim dnem (tab. 12.2), naczynie ornamentowane poniżej załomu nakłuciami przy użyciu narzędzia w typie igły lub szydła (tab. 7.7), niewielkie naczynie całkowicie gładzone, podkreślone poziomym ornamentem odcisków paznokcia na przejściu szyjki w brzusiec (tab. 7.5). Warto zaznaczyć, że w większości przypadków brzuśce wykazywały pewną ostrość, co – przynajmniej w niektórych wypadkach – sytuuje te naczynia na granicy z kategorią naczyń dwustożkowatych. Analogię do wzmiankowanego naczynia z uchem znajdziemy w Pleśnie (Hoffmann 1999, tab. LXVII, 5).

Wśród form lekko profilowanych zadokumentowano m.in. naczynie z wałeczkowatym uchem wystającym lekko ponad krawędź (tab. 13.5) oraz naczynie ze skośnie ściętą krawędzią i brzuścem skośnie chropowatym (tab. 10.4).

Niezbyt liczną kategorią naczyń w Starym Dzierzgoniu są formy dwustożkowate. Zadokumentowano pojedyncze fragmenty naczyń zdobionych na załomie brzuśca pasmem niewielkich dołków o średnicy 3–5 mm (tab. 14.2), skośnymi nacięciami (tab. 14.9) albo odciskami palca (tab. 14.8). Duże naczynia o tak ukształtowanych brzuścach są określane w literaturze przedmiotu jako wazy.

W trakcie ostatnich sezonów badań odnotowano także naczynia donicowate o zaokrąglonych krawędziach (tab. 6.2, 7.4, 10.6) oraz z krawędzią lekko pogrubioną i zawiniętą do wewnątrz (tab. 3.5). Dwa z nich były chropowate skośnie do krawędzi wylewu. Taki sposób opracowania powierzchni obserwowano na stanowisku jedynie w pojedynczych przykładach. Analogie znajdziemy w Wyszemborku (Gładki 2003, tabl. VI:9) czy Nowej Wsi (Hoffmann 1999, tab. CXLIII:11).

Spośród niedużych naczyń na uwagę w Starym Dzierzgoniu zasługują czarki. Klasyczna forma tego typu ma łukowate ścianki oraz proste dno (tab. 8.7). Rozmiary i ukształtowanie ścianki upodabniają ją do współczesnej miseczki do zupy. Wydaje się, że niektóre średniej wielkości naczynia baniaste lub beczułkowate mogły pełnić właśnie funkcję czarek (tab. 9.2, 9.6, 9.11).

Interesującą, choć niewielką, grupę stanowią talerze. Mają formę płaskich, lekko dyskoidalnych w profilu, poszerzonych w części centralnej placków. W większości nie udało się uściślić ich wymiarów ze względu na fragmentaryczność zachowania.

Odnotowano jednak przykłady o średnicy 14 cm. Warto podkreślić, że dwa egzemplarze miały nieznacznie uniesioną krawędź, co nadawało im lekko wklęsły kształt. Być może w tych przypadkach mamy do czynienia raczej z pokrywami niż talerzami. Ze względu na stosunkowo urozmaicone i bogate – w porównaniu z innymi formami – zdobnictwo zostały one szerzej opisane w części poświęconej ornamentyce.

Incydentalną formą w Starym Dzierzgoniu było naczynie sitowate, którego niewielki fragment został zadokumentowany.

Ornamentyka

W analizowanym zbiorze odnotowano niezbyt rozbudowaną ornamentykę występującą zaledwie na 3% naczyń. Podstawowa metoda zdobienia w Starym Dzierzgoniu wiązała się z wykorzystaniem najprostszego narzędzia, jakim posługuje się garncarz, a mianowicie własnej dłoni. Naczynia były ornamentowane zarówno za pomocą odcisków samego paznokcia, jak i opuszki palca oraz paznokcia, a także poprzez zaszczypywanie. Z reguły ornamentyka występowała poniżej wylewu lub w miejscu największej wydętości naczynia tudzież w jego najbliższym sąsiedztwie. Zaledwie w kilku przypadkach pokrywała większe partie naczyń.

Technikę paznokciową zastosowano przede wszystkim przy zdobieniu mis. W analizowanym materiale zarejestrowano ornamentykę w postaci linearnego układu poziomych odcisków paznokcia i ukośnych kresek występujących w określonej kolejności (tab. 5.1), pojedynczego pasma odcisków paznokcia ułożonych pionowo względem wylewu (tab. 5.6), a także dwóch równoległych względem siebie pasm odcisków opuszki palca i paznokcia (tab. 10.2). Wszystkie trzy rodzaje zdobień pochodzą z mis z wgłębieniem poniżej krawędzi. W jednej z nich zachowały się także ślady po utraconym uchu. Warto również podkreślić, że w każdym z tych przypadków można zauważyć pewne nieregularności, co wskazuje na większą lub mniejszą staranność przy wykonywaniu takiego motywu.

Poza wymienionymi przykładami pojedynczym pasmem ułożonych poziomo odcisków paznokcia, tworzących dookólną linię falistą na przejściu brzuśca w szyję, było zdobione także średniej wielkości naczynie esowate o stosunkowo ostrym załomie brzuśca (tab. 7.5). Zapewne stanowiło ono element ceramiki stołowej bądź sepulkralnej.

Kolejnym sposobem zdobienia było zastosowanie głębszego odcisku opuszki palca oraz paznokcia. Wystąpił on kilkakrotnie w postaci dookólnego wzoru poniżej krawędzi wylewu. W ten sposób było zdobione łagodnie profilowane naczynie z krawędzią wylewu zawiniętą do wewnątrz (tab. 7e) oraz naczynie ze zwężającą się górną partią brzuśca (tab. 5.3). To ostatnie miało formę zbliżoną do egzemplarzy z grupy I A wg Gładkiego. Ornament tego typu, umiejscowiony poniżej krawędzi wylewu, mógł być także zdwojony, co zostało zanotowane w przypadku naczynia z obiektu 1 (tab.13. 6).

W innym przypadku zachowany fragment wykazał 3 pasma dookólnego wzoru odcisku opuszki palca oraz paznokcia (tab. 10.3). Porównując z materiałem z wcześniejszych badań można domniemywać, że w ten sposób była zdobiona większa partia naczynia, bowiem wśród materiałów dotyczących tego stanowiska nie odnotowano tendencji do trzykrotnego powtarzania konkretnego motywu, o ile nie był on częścią układu zajmującego znaczną powierzchnię (Antoniewicz 1964, tab. XI g). Fragment analogicznego naczynia odnaleziono także w trakcie badań w sezonie 2011.

Ciekawym sposobem zdobienia większej partii naczynia (także i w tym przypadku być może nawet całego brzuśca) było wykonanie dookólnych pasm składających się z odcisków paznokcia ułożonych naprzemiennie, raz ukośnie w lewo, a raz w prawo, co dawało podobny efekt wizualny jak zaszczypywanie (tab. 13.2). Przy zagęszczeniu wzoru powstawał motyw w kształcie litery V. Ornament tego typu zarejestrowano jednostkowo na przykładzie naczynia o prostych ściankach górnej partii brzuśca i krawędzi lekko wywiniętej na zewnątrz. Średnica jego wylewu wynosiła 27 cm.

Kolejnym rodzajem zdobienia było zaszczypywanie. Zaobserwowano je w przypadku baniastego naczynia z krótką szyjką, w odległości 2 cm poniżej krawędzi wylewu (tab. 12.3). Zachowany fragment wykazał 2 rzędy takiego ornamentu. Analogiczną formę znaleziono w zespole osadniczym w Łęczach (Hoffmann 1999, tab. XLIX 11). Kilkoma rzędami zaszczypywania było także zdobione duże naczynie o zwężającej się ku górze górnej partii brzuśca (tab.7.3).

Sporadycznym i nieregularnym zaszczypywaniem ozdobiono również jedną z mis (tab. 12.4). Wydaje się, że warto także zwrócić uwagę na to, iż większość mis była obustronnie gładzona (ponad 70% wszystkich naczyń tego typu). Jedynie na kilku występuje chropowacenie całości lub partii naczynia.

Zbliżony w swoim charakterze do odcisku paznokcia jest ornament wykonany na innym dużym naczyniu o zwężającej się górnej partii brzuśca (tab. 1.2). Jest on jednak zdecydowanie głębszy, a jego poszczególne elementy są znacznie większe, co wskazuje raczej na odciskanie jakiegoś przedmiotu. Takiemu celowi mógł służyć np. fragment muszli. Byłby to zatem przykład ornamentyki stempelkowej.

Na jednym z naczyń odnotowano zastosowanie dookólnego zdobnictwa w postaci pasma wzoru wykonanego narzędziem kliniowatym. Tak samo jednostkowym przykładem było zastosowanie szerokiego radełka na przejściu brzuśca w szyję.

W przypadku 2 naczyń odnotowano ornamentykę dołkową. Jednym z nich było naczynie esowate zdobione poniżej ostrego załomu brzuśca nakłuciami wykonanymi przy użyciu niewielkiego narzędzia: igły lub szydła (tab. 7.7). Dołki miały średnicę ok. 1 mm. Drugim naczyniem była waza ornamentowana tuż ponad ostrym załomem brzuśca dołkami o średnicy 2–3 mm (tab. 14.2). Tworzyły one dookólny wzór, podkreślając załom brzuśca. Analogiczne naczynia są znane i określane jako „typ zalewski”, stanowiąc lokalną formę kultury kurhanów zachodniobałtyjskich (Gładki 2003, s. 26).

Kolejną formą zdobnictwa w Starym Dzierzgoniu były elementy plastyczne. I w tym przypadku nie stanowiły one ani dużej, ani silnie zróżnicowanej grupy. Na stanowisku odnotowano pojedynczy przypadek umieszczenia listwy plastycznej zdobionej odciskami palca (tab. 14.3). Poza tym jedna z mis była zaopatrzona w sączek. Jedno z naczyń miało guzek przy wylewie (tab. 13.6). Warto przy tym podkreślić, że także naczyń z uchami odnotowano niewiele.

Wśród analizowanego materiału zaobserwowano ponadto dwukrotnie ornament ryty (tab. 5.4, 14.10). Zachowały się jedynie niewielkie fragmenty naczyń z jego zastosowaniem. Jedno z nich prawdopodobnie było pokryte wzorem geometrycznym, natomiast w drugim widać raczej cechy przypadkowości zdobień.

Poza tym w Starym Dzierzgoniu było stosowano także nacinanie, które jednostkowo zaobserwowano w przypadku naczynia o formie wazy. I tu ornament podkreślał przejście brzuśca w szyję (tab. 14.9).

Zarówno technika paznokciowa, zaszczypywanie, jak i nacinanie krawędzi były stosowane także w zdobnictwie talerzy. Mimo niewielkiego zbioru, nieprzekraczającego kilkunastu fragmentów,

wystąpiła znaczna różnorodność opracowania ich powierzchni. Były wśród nich zarówno obustronnie gładzone, jak i takie, które z jednej strony miały ornament. W tym wypadku gładzona była tylko część bez zdobienia. Dodatkowo także krawędzie talerzy były ornamentowane skośnymi nacięciami lub odciskami paznokcia. Niekiedy silnie rozbudowany wzór, pokrywając jedną stronę naczynia, mógł tworzyć koncentryczny układ (tab. 14.5), co zresztą także zostało już odnotowane na podstawie materiałów H. Schleifa w badaniach Antoniewicza na tym stanowisku (1964, tab. XIV c, d). W innych przypadkach jedynie część płaszczyzny była zdobiona (tab. 14.6).

Na szczególną uwagę zasługują jeszcze dwa najbardziej wyrafinowane egzemplarze ceramiki (tab. 14.1, 14.13), z karbowanymi krawędziami oraz zdobieniem jednej z „płaszczyzn”. Miały one bowiem lekko nieckowaty charakter. Wydaje się prawdopodobne, że w przypadku tych dwóch ostatnich form mamy do czynienia z pokrywami o charakterze raczej sepulkralnym niż użytkowym.

Podsumowując krótko ornamentykę materiałów w Starym Dzierzgoniu, trzeba stwierdzić, że jest ona raczej uboga i niezbyt wyrafinowana. Podstawowym narzędziem była dłoń garncarza, toteż nie mogą dziwić odciski palca, paznokci i zaszczypywanie powierzchni. Często ornamenty występują w ograniczonej ilości i w konkretnych partiach naczynia, tj. w okolicach wylewu lub w miejscu największej wydętości brzuśca. Marginalnie odnotowano inne sposoby zdobienia w postaci rytych linii, nacięć czy też elementów plastycznych.

Większość naczyń (ponad 80%) w ogóle nie jest zdobiona, choć faktura ich zewnętrznych ścianek jest zróżnicowana ze względu na zastosowanie różnorodnych form chropowacenia powierzchni (Mogielnicka-Urban 1984, s. 106–107). Ten temat zostanie nieco szerzej omówiony w dalszej części opracowania.

Technologia

Na podstawie analizy wybranych fragmentów naczyń należy podkreślić kilka aspektów technologicznych ceramiki w Starym Dzierzgoniu². Analizowana ceramika należy do naczyń ręcznie lepionych wypalonych w temperaturze 600–650°C w warunkach redukujących. Należy jednak podkreślić, że w przeważającej większości wypadków

2. Szczegółowa analiza została wykonana przez dr. Wojciecha Barta, a jej omówienie znajduje się również w niniejszym opracowaniu.

wypał był nierównomierny, co skutkowało wielobarwnością czerepu. Wypał w warunkach utleniających zaobserwowano w stopniu marginalnym – nie przekraczał kilku procent analizowanego zbioru. Warto nadmienić, że podobne wartości temperatury potwierdzone zostały na innych stanowiskach z neolitu, epoki brązu oraz okresu halsztackiego (M. Mogielnicka-Urban 1984, s. 116–117).

Analizowana ceramika ze Starego Dzierzgonia została wykonana najprawdopodobniej z materiału występującego lokalnie. Jednym z głównych jej składników był kwarc. Jego zawartość wahała się pomiędzy 3% a 27,7%. Większość ziaren miała średnicę poniżej 0,1 mm i była półobtoczona lub obtoczona. Zdarzały się jednak także ziarna słabo wyoblone i półostrokrawędziste, a nawet i ostrokrawędziste oraz o średnicy osiągającej 1 mm.

Kolejnym składnikiem były fragmenty skał krystalicznych składających się głównie z kwarcu, skałeni, plagioklazów, mik i sporadycznie amfibolu o wielkości często przekraczającej 1 mm. Od kwarcu odróżnia je także słaby stopień wyoblania, a często nawet ostrokrawędzistość. Ich zawartość procentowa mieściła się w przedziale 3,6–16%. Zazwyczaj było ich mniej niż kwarcu.

Następnym składnikiem były ziarna skałeni stanowiące objętościowo do 2,5% próbki. Inne składniki miały charakter akcesoryczny. Metailaste tło stanowiło odpowiednio 56–78% objętości próbki. Badania granulometryczne wykazały, że ceramika pradziejowa ze stanowiska składała się przede wszystkim z frakcji pyłowej i piaszczystej. Frakcja żwirowa była praktycznie nieobecna.

Jak już wspomniano wcześniej, ceramika w Starym Dzierzgoniu charakteryzowała się dużym stopniem zróżnicowania faktury zewnętrznych ścianek naczyń. Chropowacenie powierzchni dotyczyło ponad 80% naczyń z analizowanego zbioru i obejmowało przede wszystkim garnki. Stosowano różne sposoby uzyskania takiego efektu.

Zdecydowanie najczęstszą metodą chropowacenia było obrzucanie naczyń roztworem rzadszej gliny z domieszką tłucznia o charakterze granitoidowym. Niekiedy naczynie poddawano następnie procesowi wtórnego zagładzania palcami lub wiechciem (tab. 24a).

Na 6 naczyniach odnotowano chropowacenie w postaci pasm wykonanych palcami, ułożonych skośnie w stosunku do wylewu. Ten sposób fakturowania dotyczył przede wszystkim naczyń beczułkowatych i donicowatych.

Spotykane było także strefowe chropowacenie naczyń, gdzie gładzono szyjkę, a chropowaco-

cały brzusiec lub jego partię (tab. 34a). Cecha ta jest spotykana w zespołach późnołużyckich.

Specyficznym rodzajem chropowacenia charakteryzowało się jedno duże naczynie z obiektu 1 (tab. 6b), które – poza partią przykrawędnią – miało fakturę grubociernego papieru szlifierskiego. Warto także zauważyć, że zasada chropowacenia nie dotyczyła mis (poza jednym wyjątkiem), talerzy oraz waz z wysokimi cylindrycznymi szyjami.

Lokalizacja i chronologia

Najwięcej materiałów pozyskano z terenu głównego majdanu grodziska w Starym Dzierzgoniu, z wykopu 8. Niestety większość rekonstruowanych naczyń pochodzi z warstwy kulturowej, co znacznie utrudnia analizę materiału. Ceramika pochodząca z 3 warstwy charakteryzuje się przewagą form baniastych i beczułkowatych. Większość z nich odznacza się chropowaceniem powierzchni. Jedynie nieliczne misy, czerpak i naczynia z szyjkami wykazują staranne zagładzanie powierzchni. Sporadycznie odnotowano w tej warstwie naczynia esowate.

Z warstwy tej pobrano 2 próbki do badań termoluminescencyjnych. Otrzymano wyniki 140 BC (± 140) oraz 166 BC (± 151). Chronologia ta pokrywa się z wynikami uzyskanymi na podstawie analizy stylistyczno-typologicznej ceramiki. Zadokumentowane formy, jak wynika z prezentowanych wyżej analogii, wiążą się z II fazą rozwoju osadnictwa w południowo-wschodniej strefie nadbałtyckiej, datowaną na ok. 550–120 lat p.n.e. (Hoffmann 1999, s. 7). Pobrane do analizy próbki stanowiłyby zatem potwierdzenie chronologii ze schyłkowego okresu II fazy.

W warstwie 2 dominowały misy. Jak już wspomniano wcześniej, w większości przypadków charakteryzowały się one starannym zagładzaniem powierzchni. Wydaje się, że należy to jednak wiązać nie tylko z okresem ich powstania, lecz także z pełnioną funkcją. Poza misami wystąpiły w tej warstwie mniej licznie naczynia beczułkowate. Zadokumentowano także formy uchate. Część tych naczyń prezentowała formy typowo halsztackie, inne zaś potwierdzają raczej chronologię środkowolateńską. Nielicznie (poniżej 1%) wystąpiły naczynia charakterystyczne dla III fazy rozwoju kultury i osadnictwa tej części strefy nadbałtyckiej.

Najciekawszy pod względem ceramiki okazał się obiekt gospodarczo-mieszkalny, z którego warstwy spągowej pozyskano stosunkowo jednolity materiał ceramiczny (tab. 11, 12). Wśród zrekonstruowanych

naczyń znajdują się przede wszystkim duże formy o niemal pionowych ściankach w górnej partii brzuśca, zaliczane do naczyń jajowatych oraz naczynia beczułkowate. Sześć zrekonstruowanych ma chropowate ścianki zewnętrzne. Należy je łączyć z drugą fazą rozwoju kultury kurhanów zachodniobałtyjskich.

Ponadto zadokumentowano starannie gładzone naczynie z uchem oraz naczynie baniaste zdobione zaszczypaniem. Z warstwy stropowej obiektu pobrano próbkę do analizy termoluminescencyjnej. Uzyskano wynik 70BC (± 110). Świadczyłoby to o jego wykorzystaniu w początkach okresu rzymskiego. Zapewne obiekt funkcjonował dwufazowo lub mamy do czynienia z zakłóceniem jego warstwy spągowej przez młodsze nawarstwienia.

Poza ceramiką naczyniową pozyskano z tego obiektu żarno z rozcieraczem. Warto zaznaczyć, że w jego bezpośredniej bliskości, w warstwie kulturowej, odnotowano fragmenty surowca granitoidowego, analogicznego do stosowanego w wyżej wzmiankowanych naczyniach jajowatych i beczułkowatych.

ŚREDNIOWIECZE

Analizie poddano 220 fragmentów ceramiki naczyniowej, a więc materiał ten jest zbiorem niezbyt reprezentatywnym, toteż jego charakterystykę należy przyjmować z pewną rezerwą³. Większość materiału pochodziła z północnej części majdanu głównego oraz z majdanu centralnego. Tak jak i na innych stanowiskach archeologicznych dominującym elementem były brzuśce (79%). Wylewy stanowiły 18% analizowanego materiału. Znotowano także niewielki odsetek den i poniżej 1% fragmentów uch. Większość ułamków zaliczała się do ceramiki tradycyjnej. Jedynie 6% należało do ceramiki redukcyjnej. Poniżej przedstawiono krótką charakterystykę pozyskanych materiałów średniowiecznych.

Morfologia

Najliczniejszą grupą naczyń w Starym Dzierzgoniu były naczynia esowate, stanowiące ponad 60% analizowanego materiału (tab. 15.3–15.7, 16.4, 16.5, 17.3). Większość charakteryzowała się wydłużonymi

krótszymi lub dłuższymi cylindrycznymi szyjkami. Ich wylewy były wychylone na zewnątrz, często pod kątem 90° w stosunku do brzuśca. Część naczyń była łagodnie profilowana, a inne – znacznie mocniej. Miały brzuśce znacznie lub średnio wydęte. Wśród naczyń esowatych zidentyfikowano także niewielkie naczynia o krótkim wylewie wywiniętym na zewnątrz, z krawędzią prostą lub spiczastą. Warto podkreślić, że we wszystkich naczyniach esowatych najbardziej wydęta część brzuśca znajdowała się wysoko lub bardzo wysoko. W przypadku krótkiej lub słabo wydłużonej szyjki upodobniało to niektóre z nich do naczyń baniastych.

Drugą pod względem ilościowym grupą były naczynia baniaste (tab. 15.1, 15.2, 15.8, 17.2). Stanowiły one 25% analizowanego materiału. Odnotowano wśród nich naczynia z wysoką cylindryczną szyjką i wysoko umieszczoną maksymalnie wydętą częścią brzuśca, naczynia baniaste zwięzające się lekko ku górze powyżej maksymalnej wydętości brzuśca, a także naczynia ze średnio wysoko umieszczoną najbardziej wydętą częścią brzuśca i krótkim wylewem wywiniętym na zewnątrz pod kątem 90° w stosunku do brzuśca.

Kolejną grupą były naczynia dwustożkowate (tab. 17.1). Zidentyfikowano niewielką formę z wysoko umieszczonym załomem brzuśca i wylewem lekko wychylonym na zewnątrz. Naczynie to było bardzo podobne do wcześniej wzmiankowanych niewielkich form esowatych. Naczynia dwustożkowate stanowiły mniej niż 10% analizowanego materiału.

Niewielki odsetek pozyskanych materiałów stanowiła ceramika redukcyjna (tab. 17.4–17.6). Było to zaledwie 14 fragmentów, co w odniesieniu do materiałów średniowiecznych stanowi 7% zbioru, a w odniesieniu do całego materiału pozyskanego w ostatnich latach ze stanowiska nie sięga nawet 1%. Obszar, z którego pochodzą naczynia redukcyjne, znajdował się w południowo-zachodniej części majdanu centralnego oraz w obrębie wału południowego oddzielającego majdan główny od północnego.

Wśród ceramiki redukcyjnej zarejestrowano esowate garnki z okapem i wrębem o średnicy wylewu 22 cm, fragment ucha oraz kilka wylewów naczyń z wrębem. Wzmiankowany wyżej garnek ma analogie w Elblągu, gdzie naczynia te są określane jako typ I (Marcinkowski 2006). Morfologia wylewów odnotowanych naczyń redukcyjnych daje

3. Zbyt głęboka analiza i próba tworzenia modelu technologiczno-stylistycznego na tak małym zbiorze mogą skutkować pewną niedoskonałością końcowych wniosków.

przesłanki do twierdzenia, że naczynia te były użytkowane prawdopodobnie wraz z pokrywami. Niestety jednak żadnego fragmentu tej formy naczynia o chronologii średniowiecznej w trakcie ostatnich badań nie udało się pozyskać.

Ornamentyka

Analizowany materiał charakteryzował się małym zróżnicowaniem pod względem zdobnictwa. Ornamentowane były brzuśce oraz – w kilku przypadkach – szyje naczyń. Krawędzie wylewów nie miały zdobień. Najpopularniejszym motywem były żłobki, które znajdowały się na 98% ułamków brzuśców. Wykonano je, stosując przede wszystkim jednozębne narzędzie w postaci ryłca albo – rzadziej – wielozębny grzebień. Dominował ten pierwszy sposób ornamentowania, co nadawało motywowi cechy pewnej nieregularności i niestaranności wykonania. Użycie grzebienia do wykonywania ornamentyki żłobkowej odnotowano jedynie w ok. 5% analizowanego zbioru.

Zastosowane w układzie horyzontalnym żłobki okrywały niekiedy niemal całe naczynie. Jedynie partia przydenna do wysokości 3 cm była ich pozbawiona. Żłobki umieszczano także w układzie pasowym, tzn. naprzemiennie występowały partie zdobione i niezdobione naczynia. Niestety ze względu na duże rozdrobnienie pozyskanego materiału podstawy do wykazywania zależności pomiędzy różnymi formami żłobkowania wydają się niedostateczne. W kilku przypadkach odnotowano występowanie ornamentu żeberkowego w górnej partii naczynia.

Kolejny motyw zdobniczy zaobserwowany w Starym Dzierzgoniu to ornament falisty. Mógł on być wykonany jednozębnym narzędziem i przybierał wtedy formę pojedynczej linii. Częściej był wykonywany narzędziem wielozębnym, tj. grzebieniem 3- lub 5-zębnym. W tym przypadku linie zyskiwały łagodność przebiegu. Warto podkreślić, że w analizowanym materiale ornament o linii falistej wystąpił sporadycznie, ale potwierdzony jest także w archiwaliach ze Starego Dzierzgonia, na fotografii naczynia (Schleif 1936, fot. 9).

Jednostkowym przykładem ornamentyki stosowanej na ceramice redukcyjnej były niewielkie głębokie nakłucia u górnej nasady profilowanego ucha (tab. 17.6). Warto także zwrócić uwagę na przykład naczynia zdobionego w sposób najbardziej rozbudowany: jego żłobkowany brzusiec był zwieńczony

dookólnym pasmem skośnych nacięć, a szyja – zdobiona linią falistą wykonaną wielozębnym grzebieniem (tab. 16.4). Ponadto jedno naczynie miało żeberka (tab.17.4).

Należy podkreślić, że w analizowanym zbiorze nie wystąpiły inne formy ornamentowania. Brak zatem w Starym Dzierzgoniu typowego dla wielu stanowisk zdobnictwa stempelkowego.

Technologia

Pod względem cech petrograficznych średniowieczna ceramika ze Starego Dzierzgonia jest zbliżona do ceramiki z wczesnej epoki żelaza. Składa się z obtoczonych ziaren kwarcu (11,6–37,5%), oraz z ostrokrawędzistych okruchów skał granitoidowych, rzadziej – z fragmentów skał krzemionkowych (2,1–14%). W ceramice występują także skalenie oraz stosunkowo zróżnicowane składniki akcesoryczne w postaci m.in. amfibolu, przeobrażonego termicznie glaukonitu czy cyrkonu. Objętość masy metalastej jest silnie zróżnicowana i dla ceramiki średniowiecznej wynosi od 49,7% do 81,9% objętości próbki. Warto zaznaczyć, że w porównaniu z ceramiką z wczesnej epoki żelaza ta średniowieczna ma generalnie mniejszy dodatek fragmentów skał i nieco więcej kwarcu. Najmniejszy dodatek okruchów skał wykazuje ceramika redukcyjna. Ogólnie w średniowiecznej ceramice dominuje frakcja pyłowa.⁴ Wykazano także sporadycznie nikły udział frakcji żwirowej.

Ceramika naczyniowa ze Starego Dzierzgonia należała przede wszystkim do naczyń całkowicie obtaczanych (GT5 wg W. Chudziaka). Dominowały formy esowate z cylindrycznymi, lekko zwężającymi się szyjkami i niewielkie naczynia z krótkim, lekko wychylonym na zewnątrz wylewem zaliczane zarówno do form esowatych, jak i do dwustożkowatych. Drugim znaczącym komponentem były naczynia baniaste. Większość naczyń miała silnie wydęte brzuśce. Ta cecha, w powiązaniu ze stosunkowo krótkimi wylewami, upodabniała naczynia esowate do form baniastych.

Temperatura wypału średniowiecznej ceramiki była bardziej zróżnicowana, gdyż część próbek potwierdziła wartości analogiczne do tych z wczesnej epoki żelaza, tj. poniżej 600–650°C, a część dała wyniki nieco powyżej tej granicy. Ceramikę tę wypalano w warunkach utleniających. W przypadku badanej mikroskopowo ceramiki redukcyjnej

4. W jednej próbce odnotowano nieznaczną przewagę frakcji piaszczystej.

ziarna wykazują się zbliżoną wielkością i wyobleniem, co może mieć związek z zastosowaniem bardziej zaawansowanej technologii formowania samego naczynia, tzn. toczenia. Także temperatura wypału pobranej próbki była wyższa (ok. 850 °C). Nie należy tego przykładu wiązać z całą ceramiką redukcyjną z analizowanego stanowiska. Warto jednak zaznaczyć, że pod względem petrograficznym zarówno ceramika redukcyjna, jak i tradycyjna wykazywały zbieżności.

Związki chronologiczno-przestrzenne

Ceramika tradycyjna pozyskana w trakcie prac terenowych zaliczana jest przede wszystkim do ceramiki całkowicie obtaczanej (GT5). Ponieważ u schyłku wczesnego średniowiecza ceramika uległa znacznej standaryzacji, liczne analogie można znaleźć na Niżu Europejskim. Przede wszystkim dotyczy to naczyń typu Vipperow i Teterow (Schuldt 1956), mających odpowiedniki wśród naczyń rodziny typów G i J na Pomorzu Zachodnim (Łosiński, Rogosz 1986). Analogiczne naczynia do tych ze Starego Dzierzgonia znajdziemy także w Ostrowitem (Janowski 2002, ryc. 38.i).

Naczynia baniaste, zwężające się lekko ku górze powyżej maksymalnej wydętości brzuśca, mają swoje odpowiedniki wśród naczyń typu Bobzin (Schuldt 1956) oraz rodziny typów M (Łosiński, Rogosz 1986). Duży odsetek tych wyrobów stwierdzono w mikroregionie Malbork–Węgry (Wadył 2013, s. 302). Formy analogiczne do naczynia z tab. 15.8 znajdziemy także na innych obszarach, np. w Ostrowitem (Janowski 2002, ryc. 31.d).

Warto jeszcze zaznaczyć obecność naczyń z wysoką cylindryczną szyjką odpowiadających rodzinie typów K na Pomorzu Zachodnim (Łosiński, Rogosz 1983, s. 217–218, ryc. 192), które występują stosunkowo często w materiałach gdańskich (Lepówna 1964, s. 33–34). Znane są jednak także z innych stanowisk, jak: Ostrowite (Janowski 2002, s. 195), Jedwabno (Chudziak 1991, s. 88), Czernsk (Rauhutowa 1976, s. 117) czy Kruszwica (Dzieduszycki 1982, s. 41). W Starym Dzierzgoniu odnotowano pojedynczy przykład takiego naczynia.

Formy naczyń średniowiecznych, które wystąpiły na terenie grodziska w Starym Dzierzgoniu, były mało zróżnicowane i być może odpowiadają jednej fazie osadniczej, którą można by datować najwcześniej na początek XII w., a najpóźniej

– na pierwsze dekady XIII w. Z osadnictwem doby dominacji krzyżackiej na tym terenie wiązała się ceramika redukcyjna. Odkryto jej niewiele. Formą i stylistyką nawiązywała do naczyń znanych z miast i zamków wiązanych z początkową fazą późnego średniowiecza (Kruppé 1981). Materiały te nie byłyby młodsze niż II poł. XIV w.

Wnioski

W eksplorowanym rejonie miała miejsce intensywna aktywność osadnicza. Lokalizacja zarówno obiektów, jak i pozyskanego materiału nie pozwala jednak na określenie formy osadnictwa. W pozyskanej ceramice dominują naczynia charakterystyczne dla okresu wczesnej epoki żelaza. Porównując je z innymi stanowiskami, zaobserwowano pewne zbieżności z materiałami z Wysoczyzny Elbląskiej, Równiny Sępolskiej, Żuław Wiślanych czy samego Pojezierza Iławskiego, zarówno w sposobie opracowania powierzchni, jak i występujących form, co zostało opisane wyżej.

Wśród materiałów znaleziono analogie do takich stanowisk, jak: Łęczce, Tolkmicko, Pleśno, Nowa Wieś, Starzykowo Małe czy wreszcie Wyszembork. Dominowała ceramika charakterystyczna dla II fazy kultury kurhanów zachodniobałtyjskich o chronologii mieszczącej się pomiędzy okresem halsztackim D a okresem lateńskim B (ok. 550–120 r. p.n.e.). Nieliczne materiały wykazują chronologię młodszą. Warto także pamiętać, że Stary Dzierzgoń znajdował się na obszarze pogranicza, dlatego elementy pomorskie czy lużyckie nie mogą tu dziwić.

Nieliczne fragmenty ceramiki, a także analiza termoluminescencyjna potwierdzają, że jakieś formy osadnictwa mogły przetrwać na tym terenie aż po wczesną fazę okresu rzymskiego. Nie można jednak tego raczej łączyć z intensywnym wykorzystaniem stanowiska a jedynie z doraźnym osadnictwem.

Materiały średniowieczne reprezentują przede wszystkim ceramikę tradycyjną, całkowicie obtaczaną, o formach stosunkowo zestandaryzowanych w obrębie Niżu Europejskiego⁵. Ze względu na liczebność analizowany zbiór jest niezbyt reprezentatywny. Wydaje się, że może odpowiadać jednej fazie osadniczej o chronologii zamykającej się pomiędzy początkiem XII w. a pierwszymi dekadami XIII w. Występująca na stanowisku ceramika redukcyjna to kilkanaście ułamków naczyń, które wiązać należy z obecnością zakonu krzyżackiego na tym obszarze w XIV w.

5. Konkretne analogie zostały umieszczone powyżej.

Bibliografia

ANTONIEWICZ J.

1958 *Prusowie we wczesnym średniowieczu i zarys ich kultury materialnej* [w:] *Szkice z dziejów Pomorza. Pomorze średniowieczne*, Warszawa.

1964 *Osiedla obronne okresu wczesnożelaznego w Prusach*, „Światowid”, t. XXV, Warszawa.

BOGUCKI M., JURKIEWICZ B. (RED.)

2012 *Janów Pomorski, stan. 1. Wyniki ratowniczych badań w latach 2007–2008, t.1: Od paleolitu do wczesnego okresu wędrówek ludów*, Elbląg.

BOJARSKI J.

1997 *Wczesnośredniowieczne grodzisko w Szynwałdzie, woj. Toruńskie (badania w 1995 roku)* [w:] *Wczesnośredniowieczny szlak lądowy z Kujaw do Prus (XI wiek). Studia i materiały*, Toruń.

BUKO A.

1990 *Ceramika wczesnopolska. Wprowadzenie do badań*, Wrocław.

1981 *Wczesnośredniowieczna ceramika sandomijska*, Wrocław.

CHUDZIAK W.

1995 *O chronologii wczesnośredniowiecznego grodu in Culmine (uwagi na podstawie wyników analizy ceramiki naczyniowej)*, Acta Universitatis, Nicolai Copernici, Archeologia, t.23, s. 19–36.

1991 *Periodyzacja rozwoju wczesnośredniowiecznej ceramiki z dorzecza dolnej Drwęcy (VII–XI/XII w.)*, Toruń.

CHUDZIAK W., POLIŃSKI D., MOSZCZYŃSKI A.

1997 *Schemat analizy opisowej wczesnośredniowiecznej ceramiki naczyniowej* [w:] *Wczesnośredniowieczny szlak lądowy z Kujaw do Prus (XI wiek)*, Studia i materiały, Toruń, s. 231–243.

CNOTLIWY E.

2006 *Ornamentyka wczesnośredniowiecznej ceramiki z grodziska w Białogardzie na Pomorzu Zachodnim* [w:] *Świat Słowian wczesnego średniowiecza*, Szczecin–Wrocław, s. 181–196.

DZIEDUSZYCKI W.

1997 *Garncarstwo polskie u progu późnego średniowiecza. Tradycje. Adaptacje nowych wzorów. Uwarunkowania społeczno-kulturowe*, Archaeologia Historica Polona, t. 5, s. 153–161.

1982 *Wczesnomiejska ceramika kruszwicka w okresie od 2 połowy X w. do połowy XIV w.*, Wrocław.

1980 *Przemiany w strukturze garncarstwa polskiego w 2 połowie XIII i połowie XIV wieku*, „Archeologia Polski”, t. 24, s. 363–379.

FUDZIŃSKA E., FUDZIŃSKI P. (RED.)

2013 *Wielokulturowe cmentarzysko w Nowym Targu, stan. 6, gm. Stary Targ, Malbork*.

FUDZIŃSKI M., FUDZIŃSKI P. (RED.)

2005 *Aktualne problemy kultury pomorskiej*, Gdańsk.

GAZDA D.

2009 *Stary Dzierzgoń – Raport z wykopalisk za 2009 rok*, msp w archiwum PWKZ w Gdańsku oraz w MAG.

GAZDA D., JEZIERSKA J.

2012 *Badania archeologiczne obiektu warownego na Górze Zamkowej w Starym Dzierzgoniu w sezonach 2009–2010*, „Pomorania Antiqua”, t. 24, Gdańsk.

GAZDA D., JEZIERSKA J., KONIK J., SZŁĄZAK P.

2013 *Badania Archeologicznej Misji Pomezania-Bałtyckiej obiektów warownych w Starym Dzierzgoniu i Bogdanach w latach 2009–2012*, „Archeologica Hereditas”, t.2, red. Z. Kobylński, Warszawa–Zielona Góra, s. 135–180.

GŁADKI M.

2003 *Osada i miejsce kultu kurhanów zachodniobałtyjskich na stanowisku II w Wyszemborku, pow. Mrągowo, w świetle badań wykopaliskowych przeprowadzonych w latach 1995–1997*, „Studia Galindzkie”, t. 1, Warszawa, s. 13–49.

GRĄŻAWSKI K.

2009 *Przemiany w wytwórczości garncarskiej – podstawa periodyzacji procesów zasiedlenia* [w:] *Ziemia Lubawska na pograniczu słowiańsko-pruskim w VIII–XIII w.*, Olsztyn.

2002 *Przemiany w wytwórczości garncarskiej w rejonie środkowej Drwęcy we wczesnym średniowieczu (II poł. VII w. – I poł. XIII w.)*, Włocławek.

1990 *Ze studiów nad pograniczem słowiańsko-pruskim we wczesnym średniowieczu – problem grodów w dolinie Lutryny*, „Pomorania Antiqua”, t. 15, s. 29–56.

HOFFMANN M.J.

2000 *Kultura i osadnictwo południowo-wschodniej strefy nadbałtyckiej w I tysiącleciu p.n.e.*, Olsztyn.

1999 *Źródła do kultury i osadnictwa południowo-wschodniej strefy nadbałtyckiej w I tysiącleciu p.n.e.*, Olsztyn.

- M. IGNACZAK, J. AFFELSKI
 2012 *Osadnictwo z wczesnego okresu epoki żelaza na stanowisku Janów Pomorski 1, [w:] Janów Pomorski stan. 1. Wyniki ratowniczych badań archeologicznych w latach 2007–2008*, t. 1, red. M. Bogucki, B. Jurkiewicz, Elbląg, s. 51–157.
- JAGODZIŃSKI M., JONAKOWSKI M., SAWICKI Z., STASIEŁOWICZ G.
 1998 *Grodzisko w Kwietniewie gm. Rychliki, st. 2 (24) – wyniki badań wykopaliskowych*, Warszawa.
- JANOWSKI A.
 2002 *Wczesnośredniowieczna ceramika naczyniowa z Ostrowitego, woj. pomorskie (stanowisko 1), „Studia nad osadnictwem średniowiecznym ziemi chełmińskiej”*, t. 4, Toruń, s. 173–228.
- KARCZEWSKI M.
 2001 *Źródła archeologiczne do badań nad zasiedleniem krainy Wielkich Jezior Mazurskich w okresie wpływów rzymskich*, Olsztyn.
- KRUPPÉ J.
 1981 *Garncarstwo późnośredniowieczne w Polsce, [w:] Studia i materiały z historii kultury materialnej*, t. 53, Wrocław–Warszawa–Kraków–Gdańsk–Łódź.
- LEPÓWNA B.
 1968 *Garncarstwo gdańskie w X–XIII wieku*, Gdańsk.
- ŁOSIŃSKI W., ROGOSZ R.
 1986 *Metody synchronizacji warstw kulturowych wczesnośredniowiecznych obiektów wielowarstwowych na podstawie analizy ceramiki ze Szczecina, [w:] Problemy chronologii ceramiki wczesnośredniowiecznej na Pomorzu Zachodnim*, Warszawa, s. 9–50.
- ŁUKA J.L.
 1966 *Kultura wschodniopomorska na Pomorzu Gdańskim*, t. 1, Wrocław–Warszawa–Kraków.
- MARCINKOWSKI M.
 2006 *Wytwórczość garncarska w Elblągu (na podstawie wybranego zbioru), cz. 1: Średniowiecze (1237 – przełom XV i XVI wieku), „Pomorania Antiqua”*, t. 21, s. 271–340.
- MOGIELNICKA-URBAN M.
 1984 *Warsztat ceramiczny w kulturze łużyckiej*, Wrocław–Warszawa–Kraków–Gdańsk–Łódź.
- MOSZCZYŃSKI W.A.
 2003 *Rubież słowiańsko-bałtyjska nad Wkrą w VIII–XI wieku na podstawie ceramiki ze stanowiska w Nowym Dworze, Tarczynie i Trzcinie, [w:] Pogranicze polsko-pruskie i krzyżackie*, Włocławek–Brodnica.
- OKULICZ J.
 1973 *Pradzieje ziem pruskich od późnego paleolitu do VII w. n.e.*, Wrocław.
- OKULICZ-KOZARYN Ł.
 1997 *Dzieje Prusów*, Wrocław.
- OSSOWSKI G.
 1879 *Monuments Préhistoriques de l'ancienne Pologne Ire Série, Prusse Royale, traduit de polonaise par Sigismond Zaborowski-Moin-dron*, Cracovie.
- POLIŃSKI D.
 1996 *Przemiany w wytwórczości garncarskiej na ziemi chełmińskiej u schyłku wczesnego i na początku późnego średniowiecza, „Archaeologia Historica Polona”*, t. 4.
- PRZEWOŻNA K.
 1971 *Osiedla z okresów późnolateńskiego i wpływów rzymskich na Pomorzu Wschodnim, „Pomorania Antiqua”*, t. 3, Gdańsk, s. 163–277.
- RAUHUTOWA J.
 1976 *Czersk we wczesnym średniowieczu od VII do XII wieku*, Wrocław.
- SCHLEIF HANS
 1936 *Der Abschnittswall auf dem Schloseberg bei Alt-Christburg, [w:] Kartoteka Schleifa – Stary Dzierzgoń*, mps nr 4, Archiwum Działu Archeologii Muzeum Warmii i Mazur w Olsztynie.
- 1936/1937? *Fruhordenszeitlicher Topferofen auf dem Schloseberg bei Alt-Christburg, [w:] Kartoteka Schleifa – Stary Dzierzgoń*, mps nr 5, Archiwum Działu Archeologii Muzeum Warmii i Mazur w Olsztynie.
- 1937 *Ausgrabung 1935–37 Alt-Christburg Vorläufiger Schlusebericht, [w:] Kartoteka Schleifa – Stary Dzierzgoń*, mps nr 6, Archiwum Działu Archeologii Muzeum Warmii i Mazur w Olsztynie.
- SCHULDT E.
 1956 *Die slawische Keramik im Mecklenburg*, Berlin.
- SEEFELD WOLF VON
 1937 *SS Grabung auf dem Schlosberg Alte-Christburg, „Germanen-Erbe”*, t. 2, z. 9/10.
- SKROK Z., KOWALSKI J.
 2003 *Wyniki sondażowych badań archeologicznych grodziska w Szestnie-Czarnym Lesie, pow. Mrągowo, „Studia Galindzkie”*, t. 1, Warszawa.

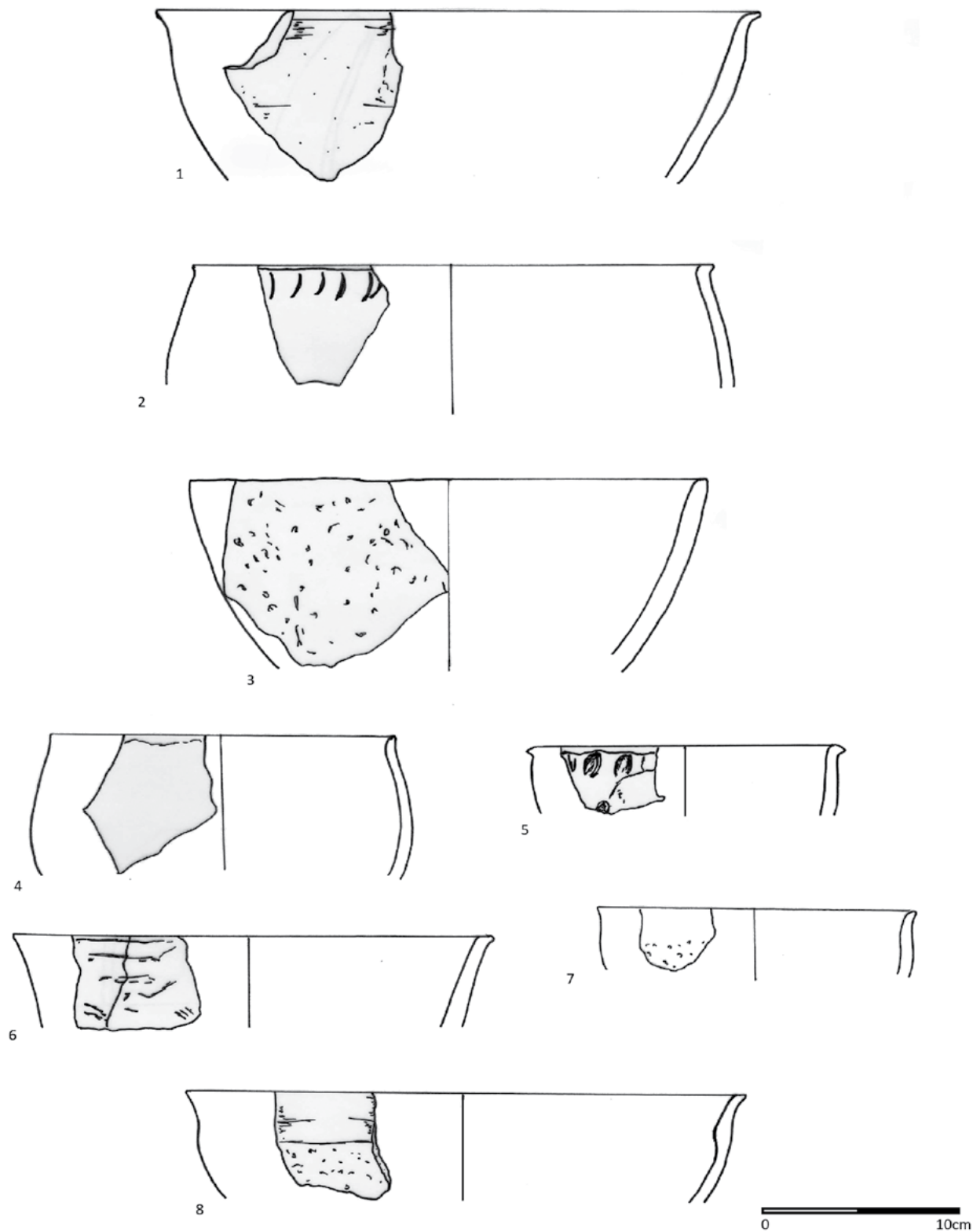
- SZCZEPAŃSKI S.
 2008 *Pomezkański Gród w Starym Dzierzgoniu*, Pruthenia, t. 3, Olsztyn.
 2009 *Hans Schleif (1902–1945) i jego badania nad germańską przeszłością Prus Wschodnich*, „Szkice Humanistyczne”, t. 9, nr 1.
 2009 *Archaeology in the service of the Nazis: Himmler’s propaganda and the excavation at the hillfort site in Stary Dzierzgoń*, [w:] „Lietuvos Archeologija”, 2009, t. 35, s. 83–94.
 2010 „Góra zamkowa” w Starym Dzierzgoniu w świetle średniowiecznych dokumentów, tradycji i badań archeologicznych, mps złożony do publikacji.
- SZYMAŃSKI P.
 2003 *Wielokulturowa osada w Wyszemborku, stan. V, pow. Morąg*, „Studia Galindzkie”, t. 1, Warszawa, s. 63–103.
- WADYL S.
 2012 *Wczesnośredniowieczna ceramika naczyniowa a kształtowanie się pogranicza słowiańsko-bałtyjskiego*, praca doktorska napisana pod kierunkiem dr hab. D. Polińskiego, złożona na UMK w Toruniu, Wydział Nauk Historycznych, Instytut Archeologii.
- WOŁĄGIEWICZ R.
 1993 *Ceramika kultury wielbarskiej między Bałtykiem a Morzem Czarnym*, Szczecin
 1987 *Chronologia ceramiki kultury wielbarskiej w świetle dotychczasowego stanu badań*, „Archeologia Polski”, t. 32, z. 1, s. 169–208.

Analysis of ceramics from Stary Dzierzgoń, site 1

SUMMARY

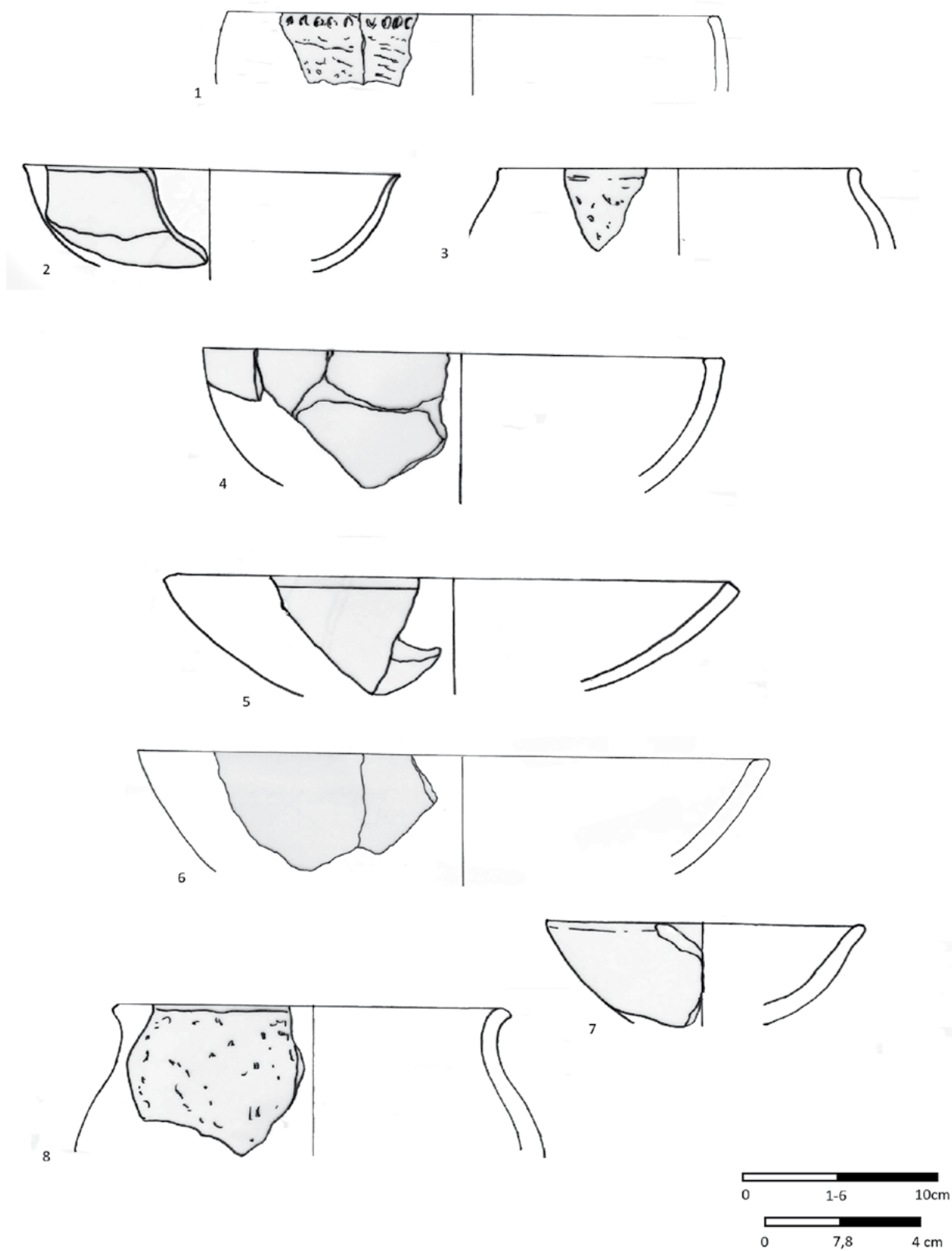
During this ceramic analysis 2411 pottery sherds were examined. The major component was from early Iron Age and Lathène B (500–120 B.C.). This kind of pottery was found mostly on the main plateau of Stary Dzierzgoń hillfort. Among this assemblage remarkable variety types of vessels were distinguished. Few dozens of pots, jars, bowls, cups and plates were reconstructed. Registered ornamentation was simple and scarce. It occurred only on 3% of sherds. The most common ornament was pinching, finger and fingernail impressions. It is worth mentioning that ornamentation of plates was surprisingly rich comparing with other forms. Analysing technological aspects, mostly handmade pottery probably from local materials and burned in the temperature of 600–650 °C was registered. Though most of pottery was unornamented, considerable range of different types of surfaces roughening techniques was applied in pots and jars. On the contrary most of the bowls was smoothed from inside and outside. Major amount of sherds (about 90%) has been assigned to the second phase of West Baltic Barrow Culture but some influences of Pomeranian or Lusatian Cultures can be also found. Occasionally later pottery also occurred.

The second considerable component of pottery sherds on site was medieval. It was registered only slightly over 200 sherds found on the main plateau and central plateau. They represented entirely wheel-turned ceramic of standardized European Lowland forms and ornamentation usually limited to the grooves running around the circumference of the pot. This so called traditional ceramic represented probably one phase of habitation dated to the period between the beginning of the 12th century and first decades of the 13th century. Finally it is worth mentioning that only over a dozen of late medieval greyware pottery sherds were found and should be associated with the colonization of this area by the Teutonic Order in the 14th century.

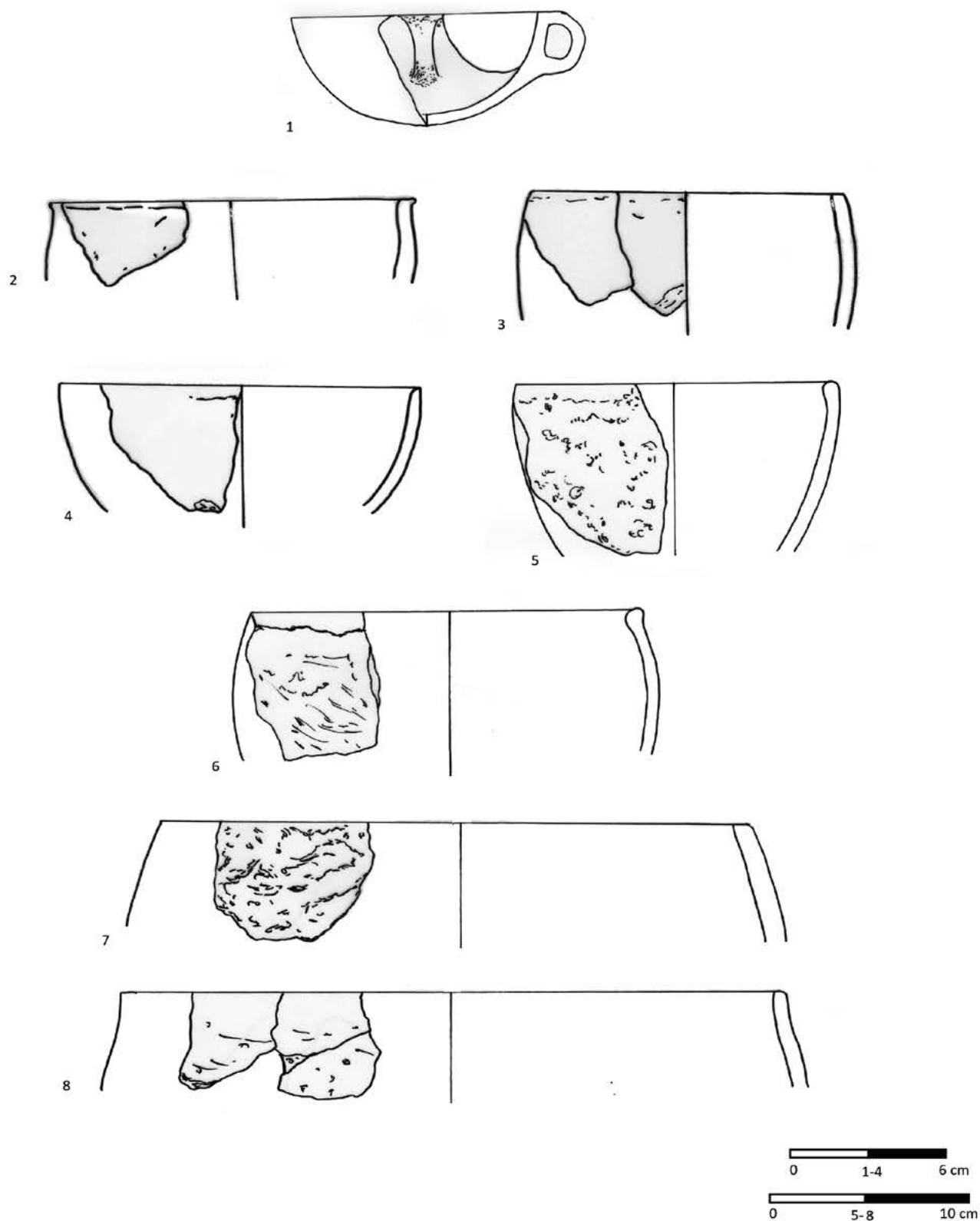


Tabl. 1. Stary Dzierzgoń, powiat Sztum, wykop 8, II warstwa kulturowa (1-8)

Pl. 1. Stary Dzierzgoń, Sztum district, trench 8, II cultural layer (1-8)

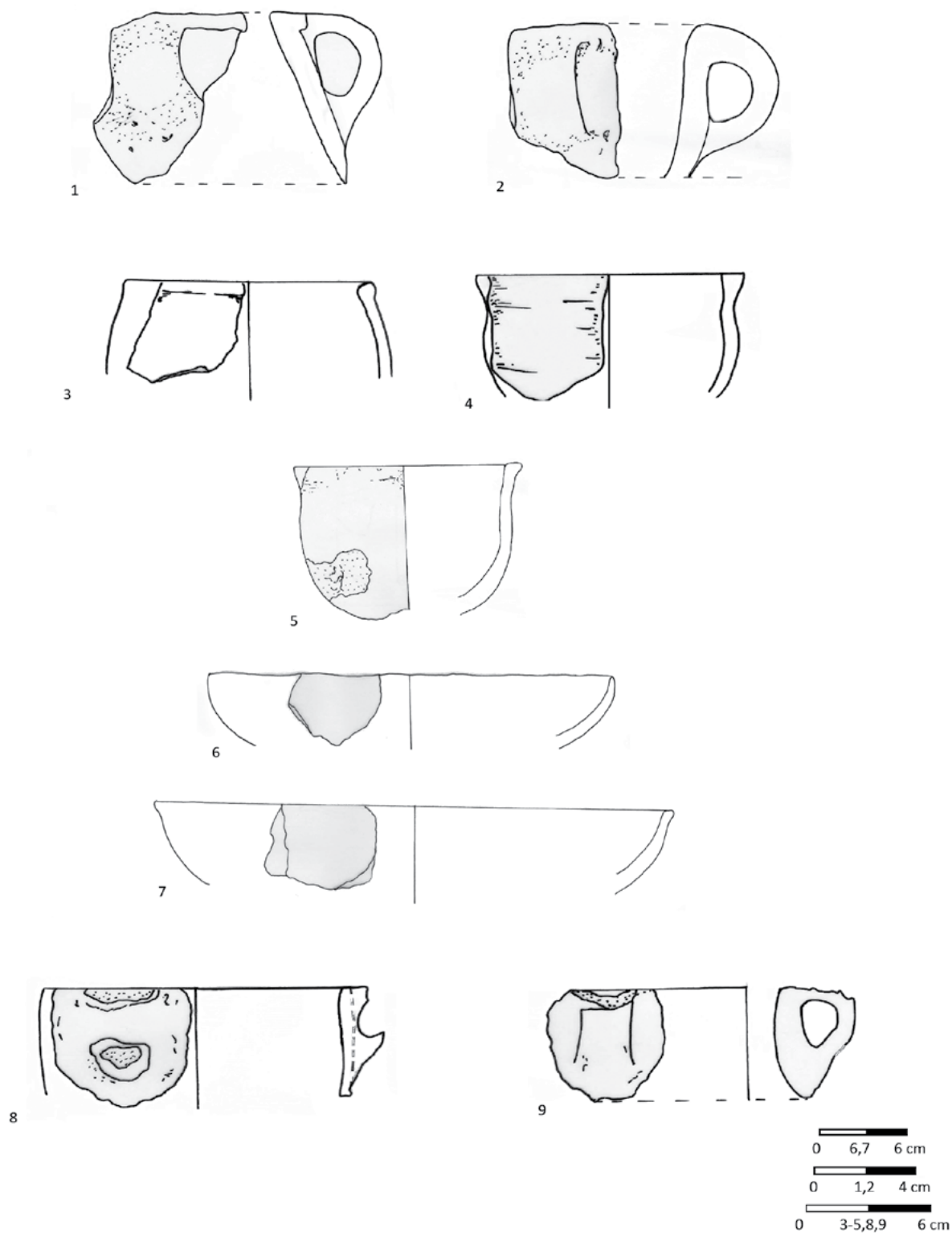


Tabl. 2. Stary Dzierżoń, powiat Sztum, wykop 8, II warstwa kulturowa (1-8)
 Pl. 2. Stary Dzierżoń, Sztum district, trench 8, II cultural layer (1-8)



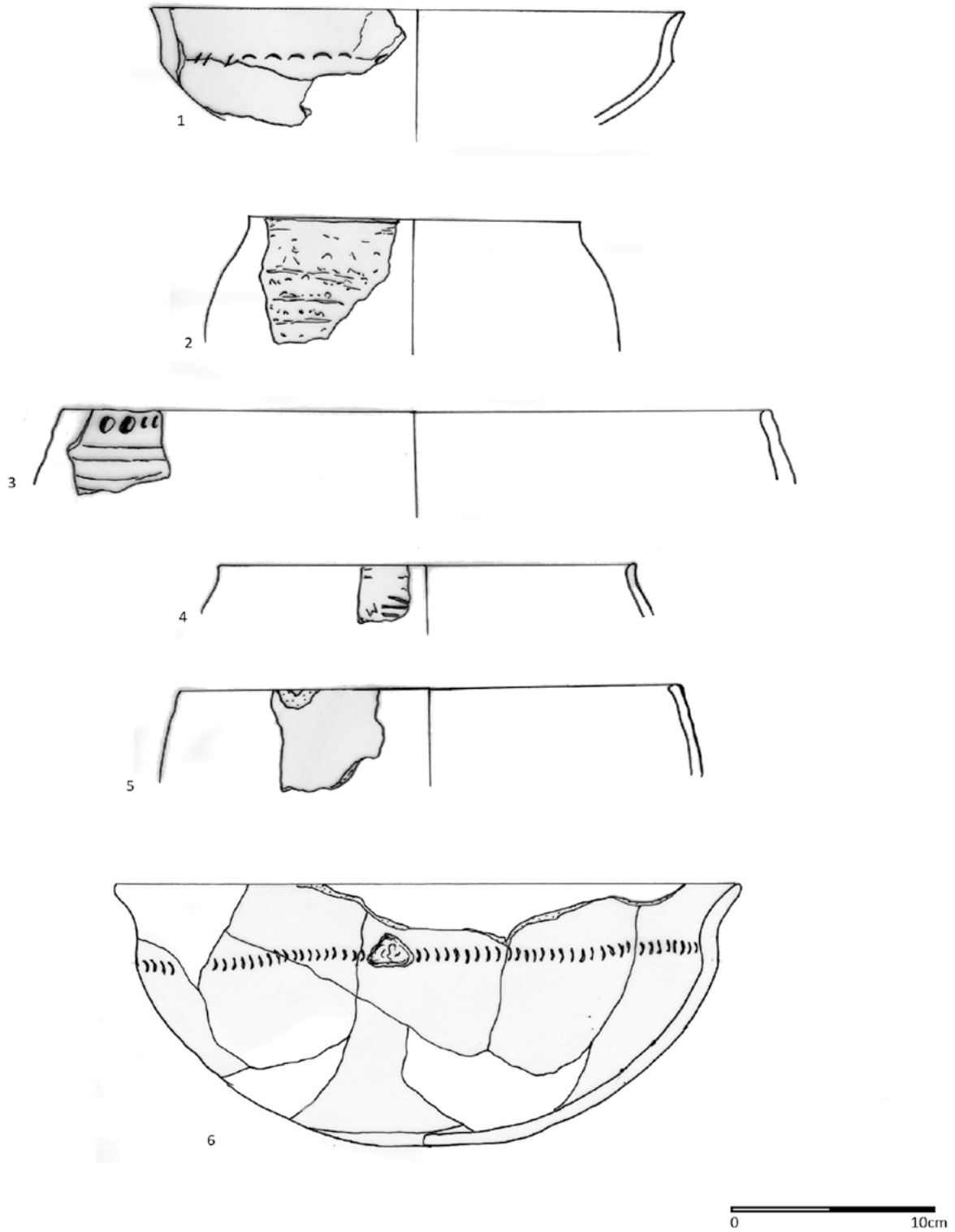
Tabl. 3. Stary Dzierzgoń, powiat Sztum, wykop 8, II warstwa kulturowa (1-4,6-8),
wykop 10, II warstwa kulturowa (5)

Pl. 3. Stary Dzierzgoń, Sztum district, trench 8, II cultural layer (1-4,6-8), trench
10, II cultural layer (5)

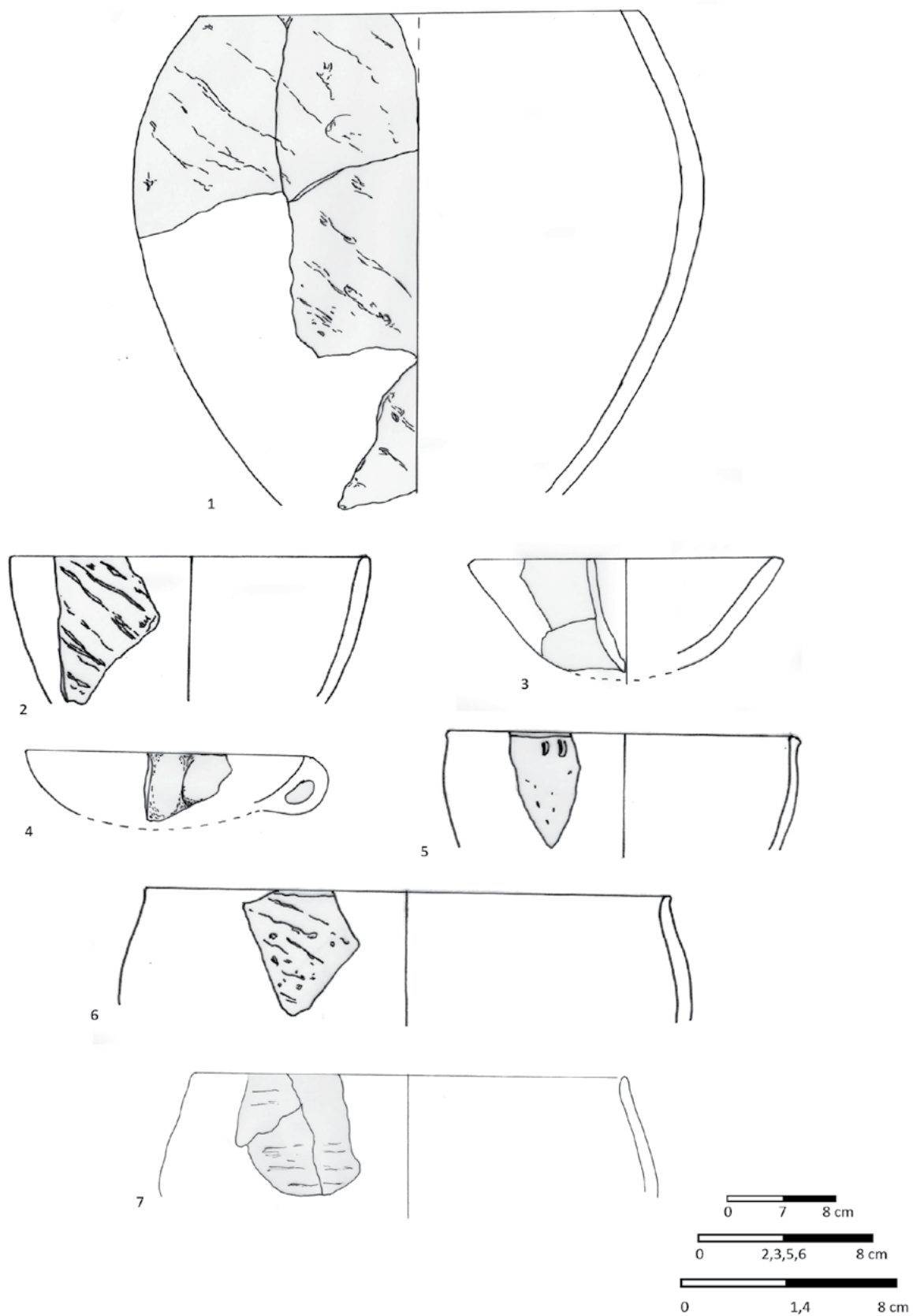


Tabl. 4. Stary Dzierzgoń, powiat Sztum, wykop 8, II warstwa kulturowa (1-6), ob. 9 (8,9), wykop 10, III warstwa kulturowa

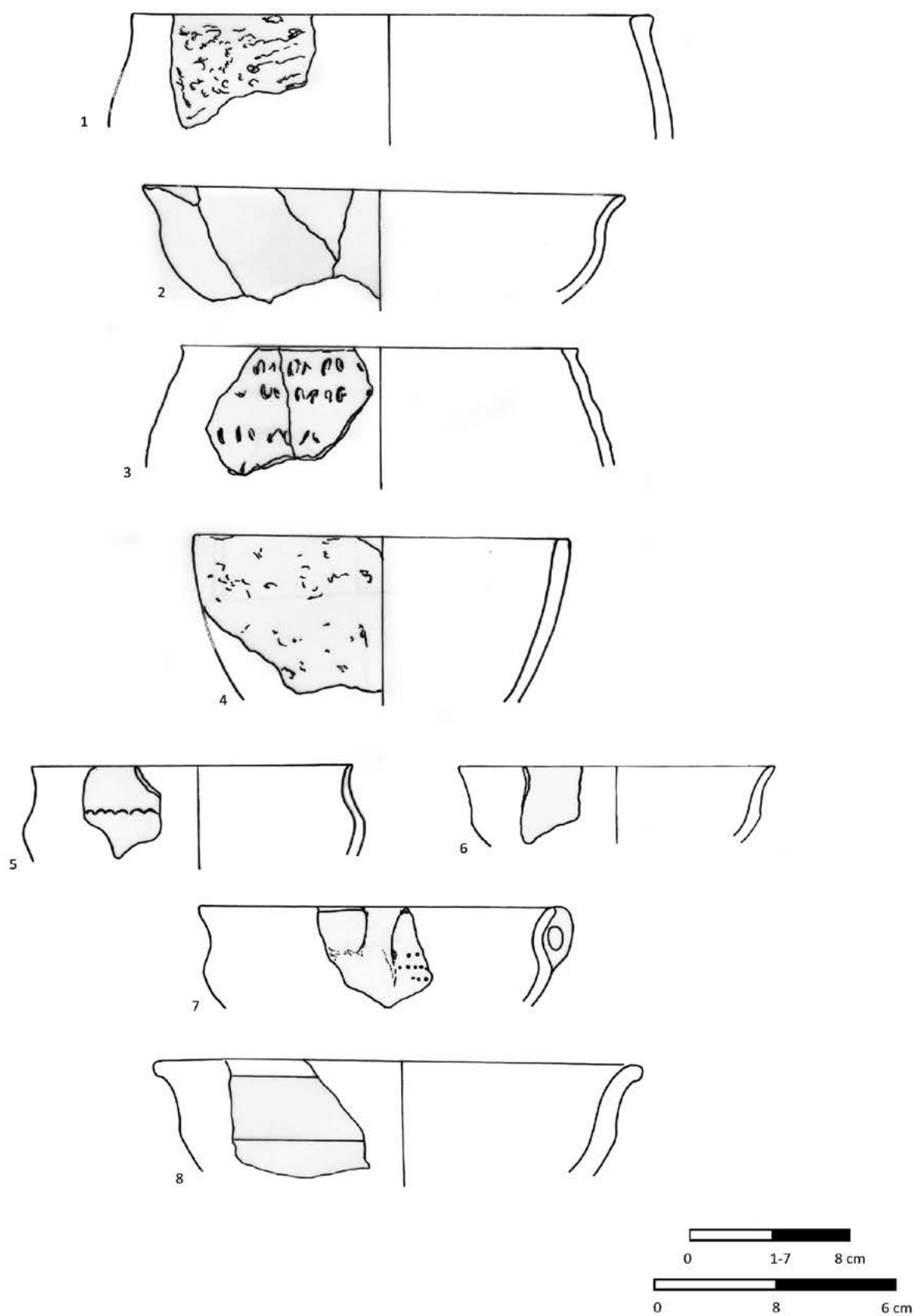
Pl. 4. Stary Dzierzgoń, Sztum district, trench 8, II cultural layer (1-6), feature 9 (8,9), trench 10 III cultural layer



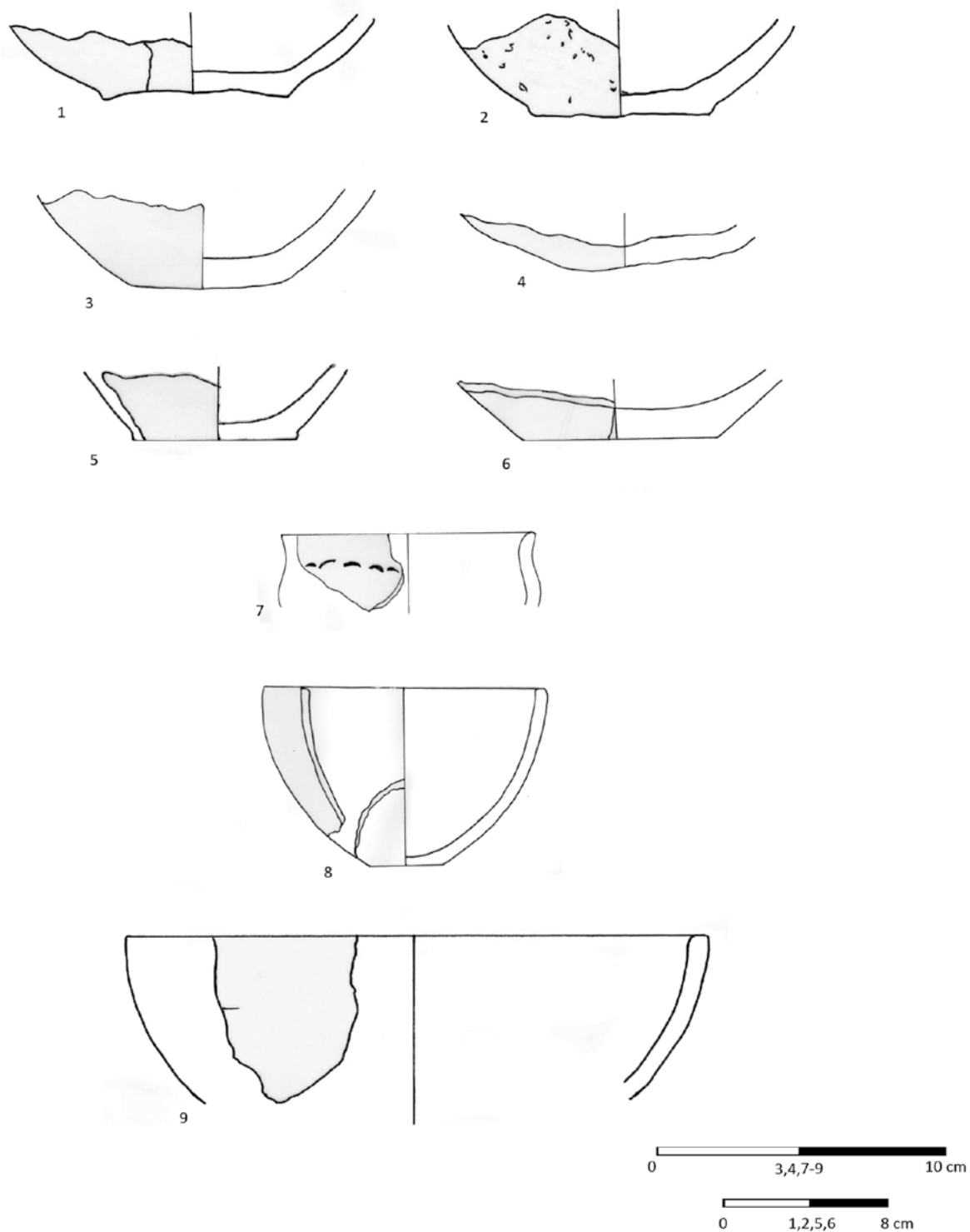
Tabl. 5. Stary Dzierzgoń, powiat Sztum, wykop 8, ob. 6 (1-6)
Pl. 5. Stary Dzierzgoń, Sztum district, trench 8, feature 6 (1-6)



Tabl. 6. Stary Dzierzgoń, powiat Sztum, wykop 8, III warstwa kulturowa
 Pl. 6. Stary Dzierzgoń, Sztum district, trench 8, III cultural layer

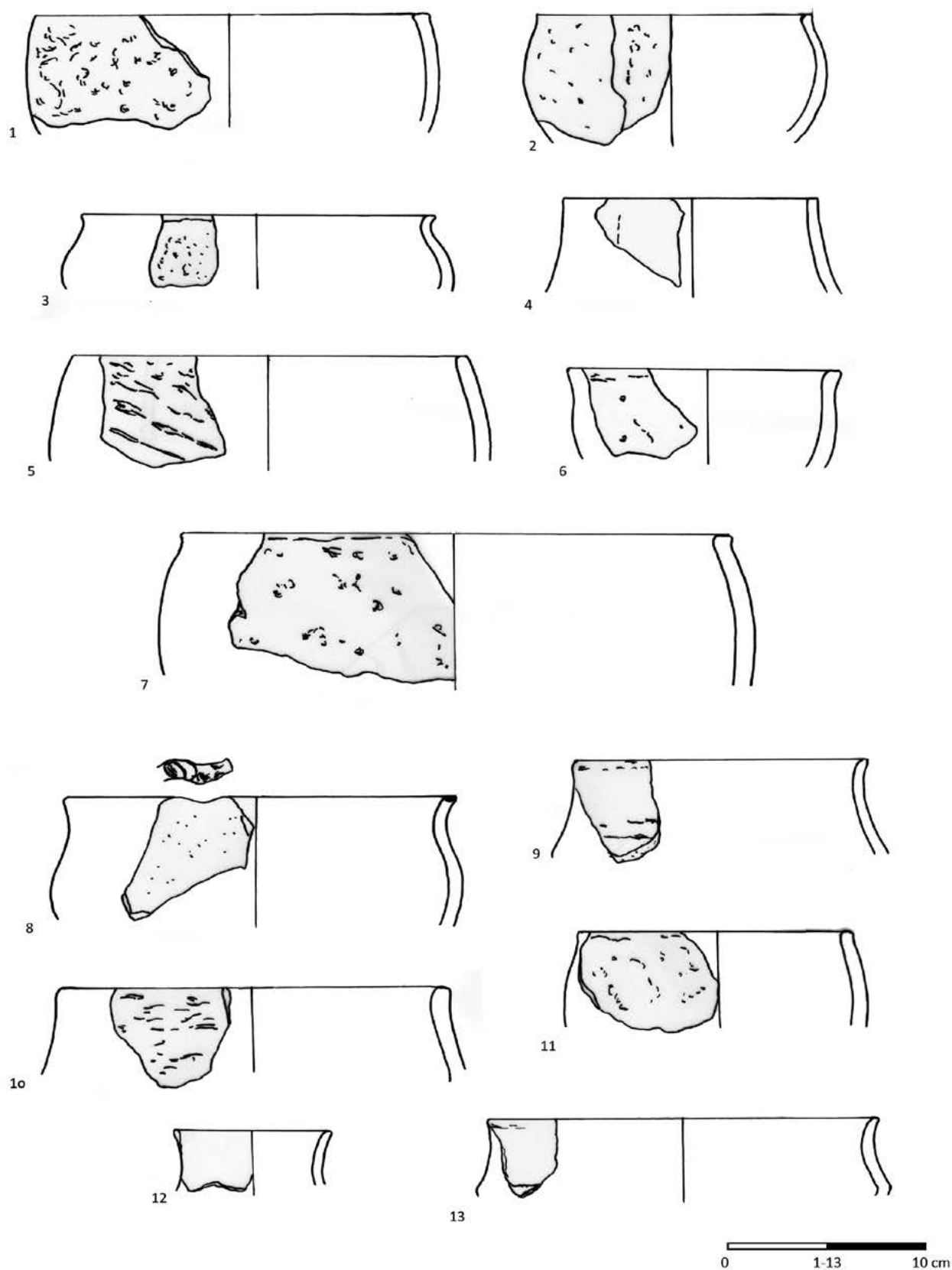


Tabl. 7. Stary Dzierzgoń, powiat Sztum, wykop 8, III warstwa kulturowa
Pl. 7. Stary Dzierzgoń, Sztum district, trench 8, III cultural layer

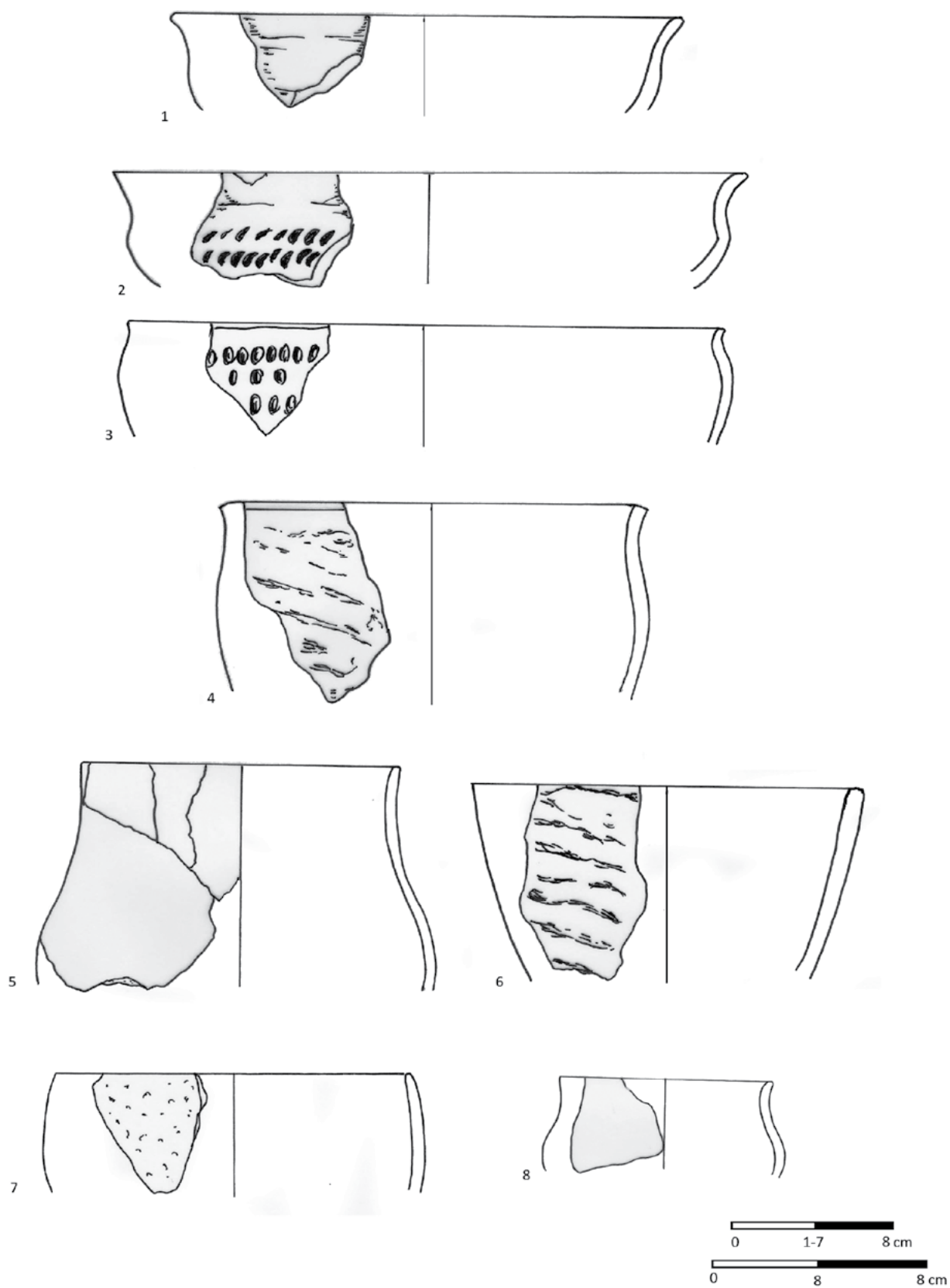


Tabl. 8. Stary Dzierzgoń, powiat Sztum, wykop 8, III warstwa kulturowa (1-4), II warstwa kulturowa (5,6), humus (7-9)

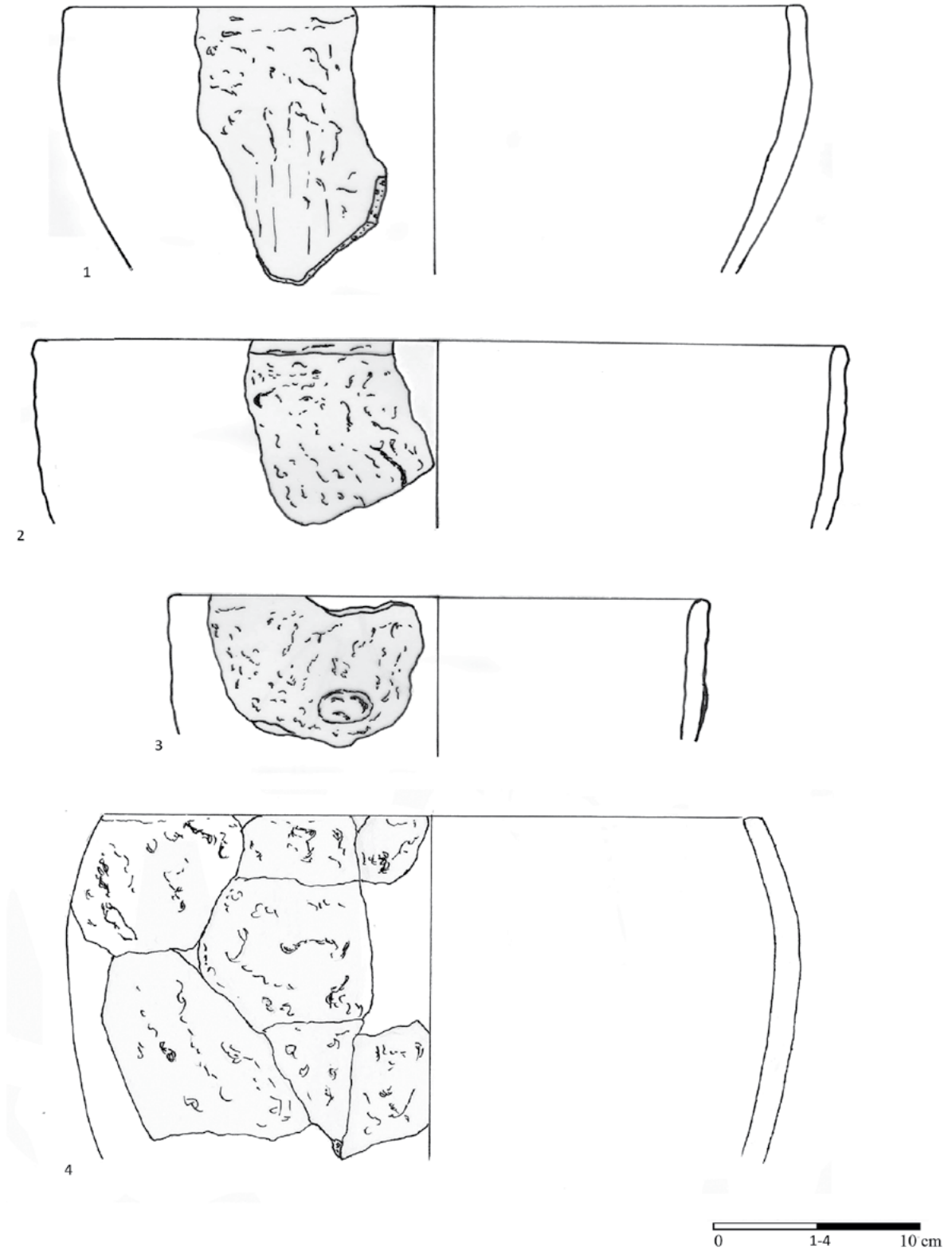
Pl. 8. Stary Dzierzgoń, Sztum district, trench 8, III cultural layer (1-4), II cultural layer (5,6), topsoil (7-9)



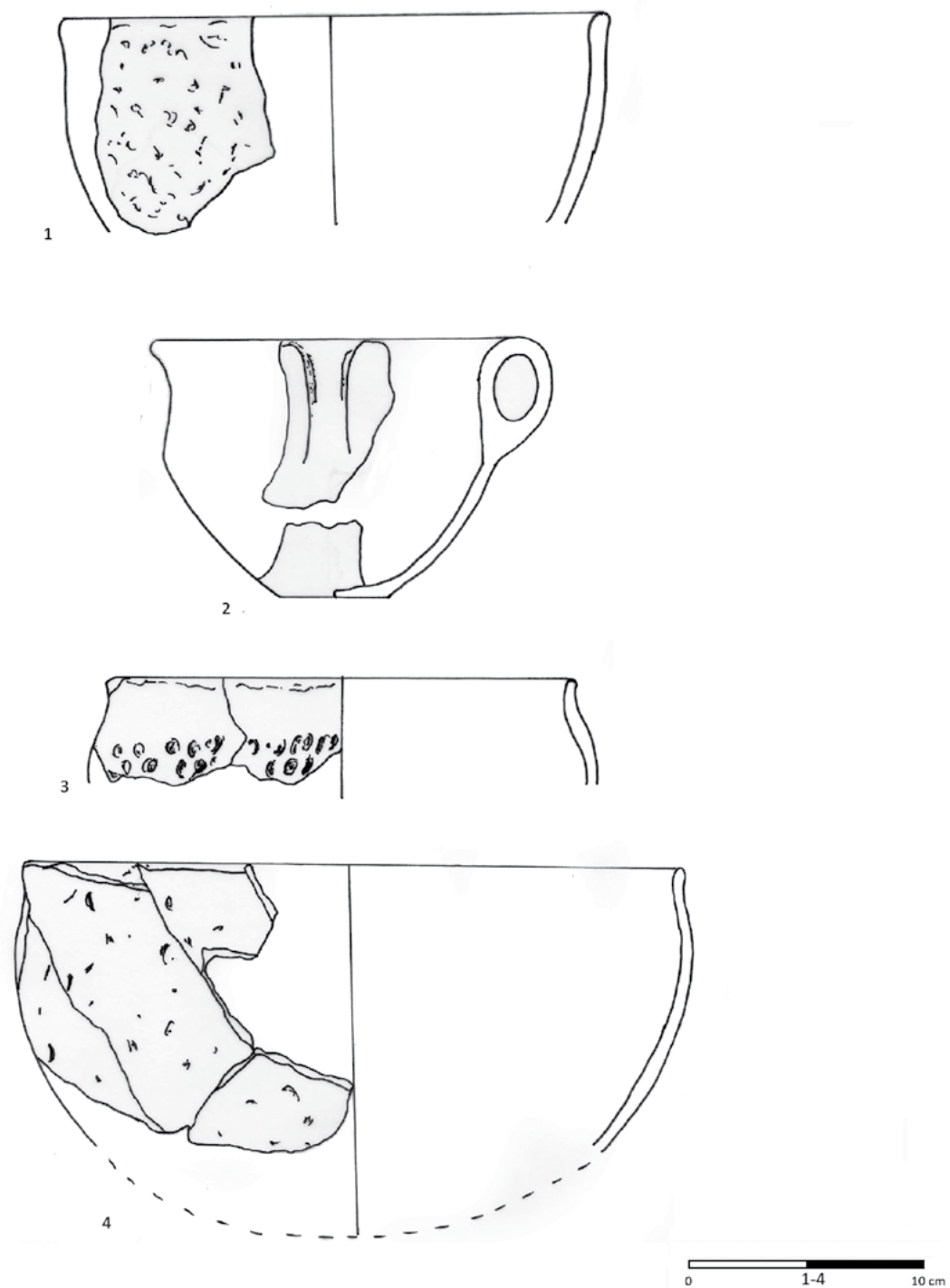
Tabl. 9. Stary Dzierzgoń, powiat Sztum, wykop 8, III warstwa kulturowa (1-13)
 Pl. 9. Stary Dzierzgoń, Sztum district, trench 8, III cultural layer (1-13)



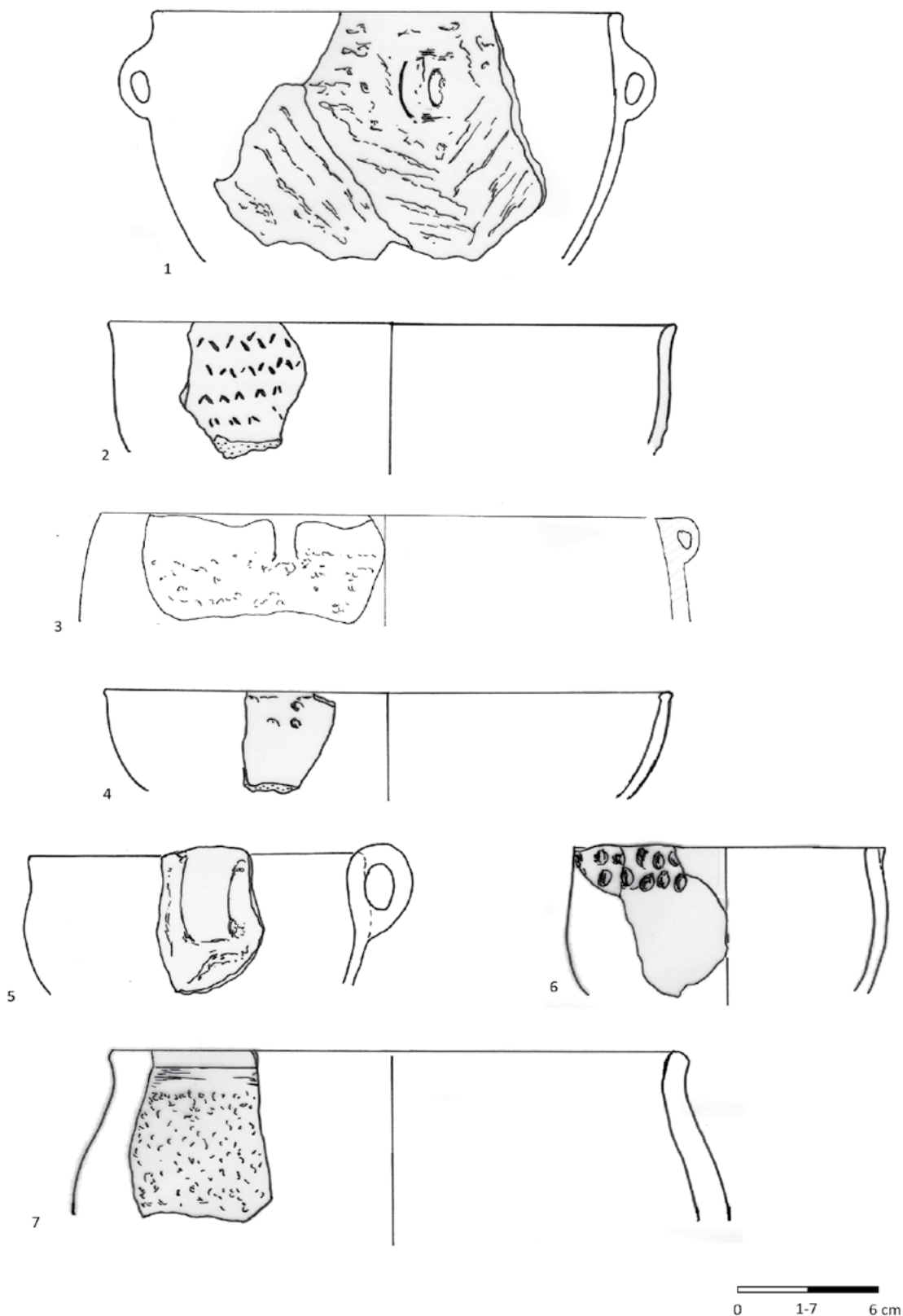
Tabl.10. Stary Dzierzgoń, powiat Sztum, wykop 8, III warstwa kulturowa(1-8)
 Pl.10. Stary Dzierzgoń, Sztum district, trench 8, III cultural layer (1-8)



Tabl. 11. Stary Dzierzgoń, powiat Sztum, wykop 8, ob. 5, warstwa spągowa
Pl. 11. Stary Dzierzgoń, Sztum district, trench 8, feature 5, bottom layer

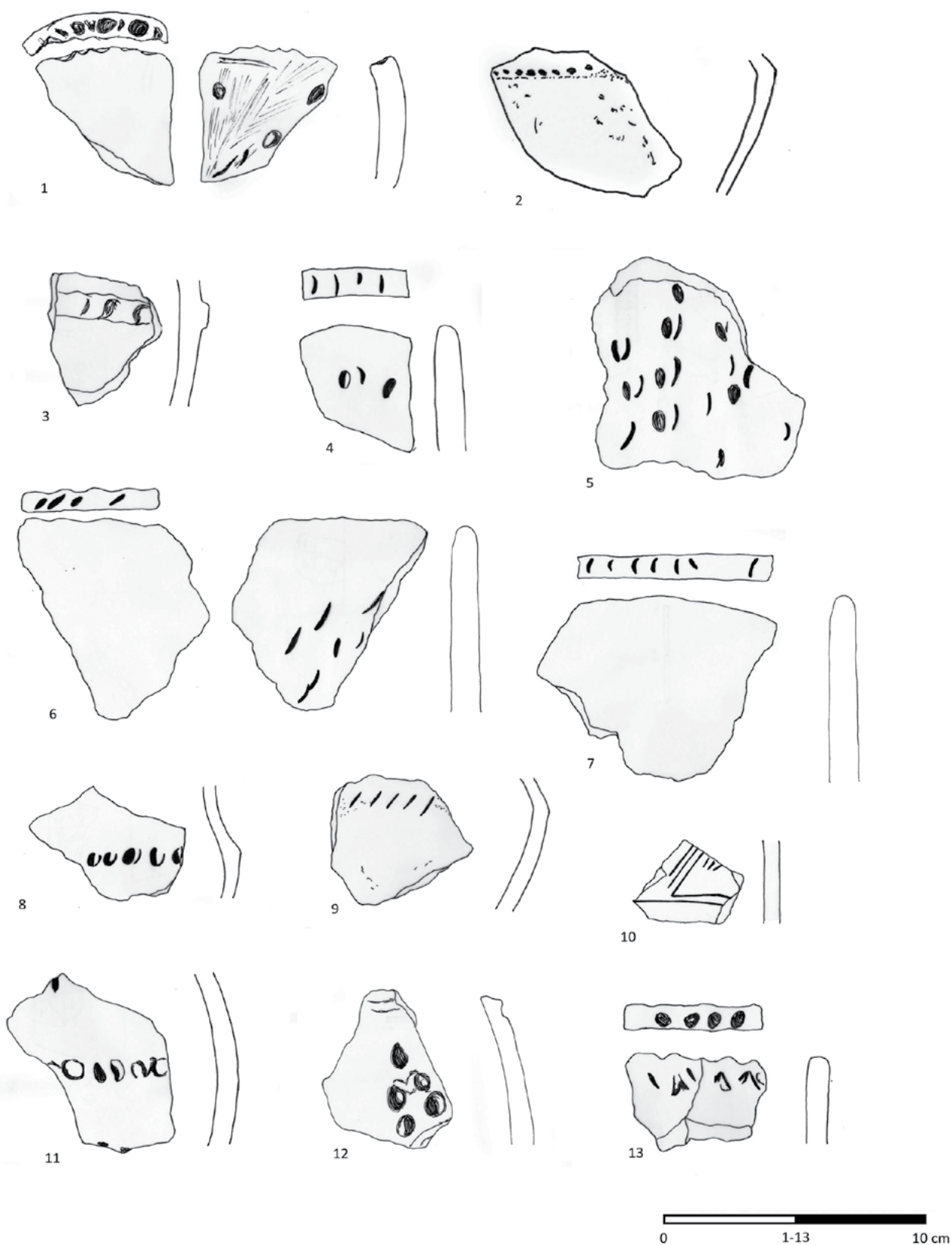


Tabl.12. Stary Dzierzgoń, powiat Sztum, wykop 8, ob. 5, warstwa spągowa
Pl.12. Stary Dzierzgoń, Sztum district, trench 8, feature 5, bottom layer



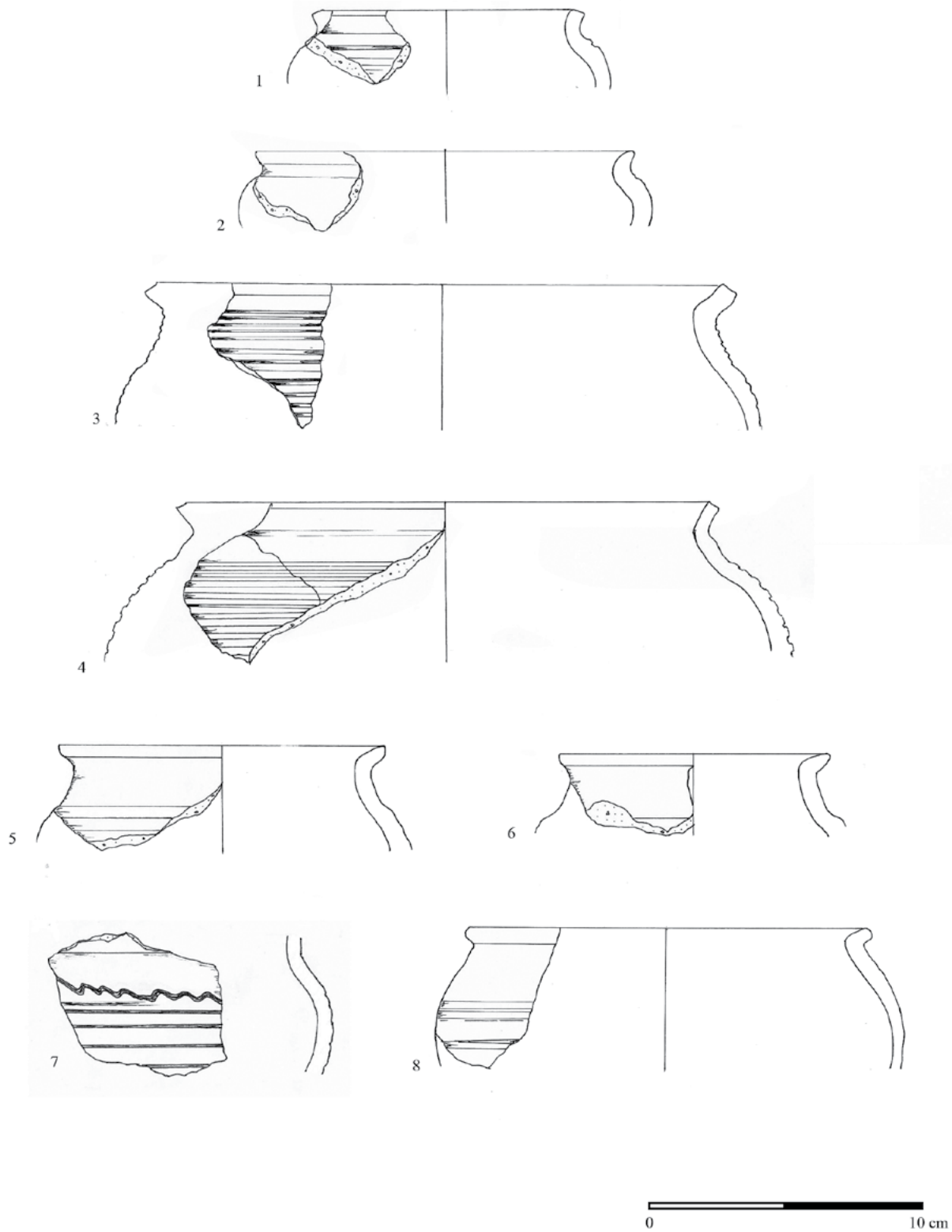
Tabl. 13. Stary Dzierzgoń, powiat Sztum, wykop 8 ob. 1/8 (1-3), ob. 8/11 (4), ob.1/11 (6,7)

Pl. 13. Stary Dzierzgoń, Sztum dostrict, trench 8, feature 1/8 (1-3), feature 8/11(4), feature 1/11 (6,7)

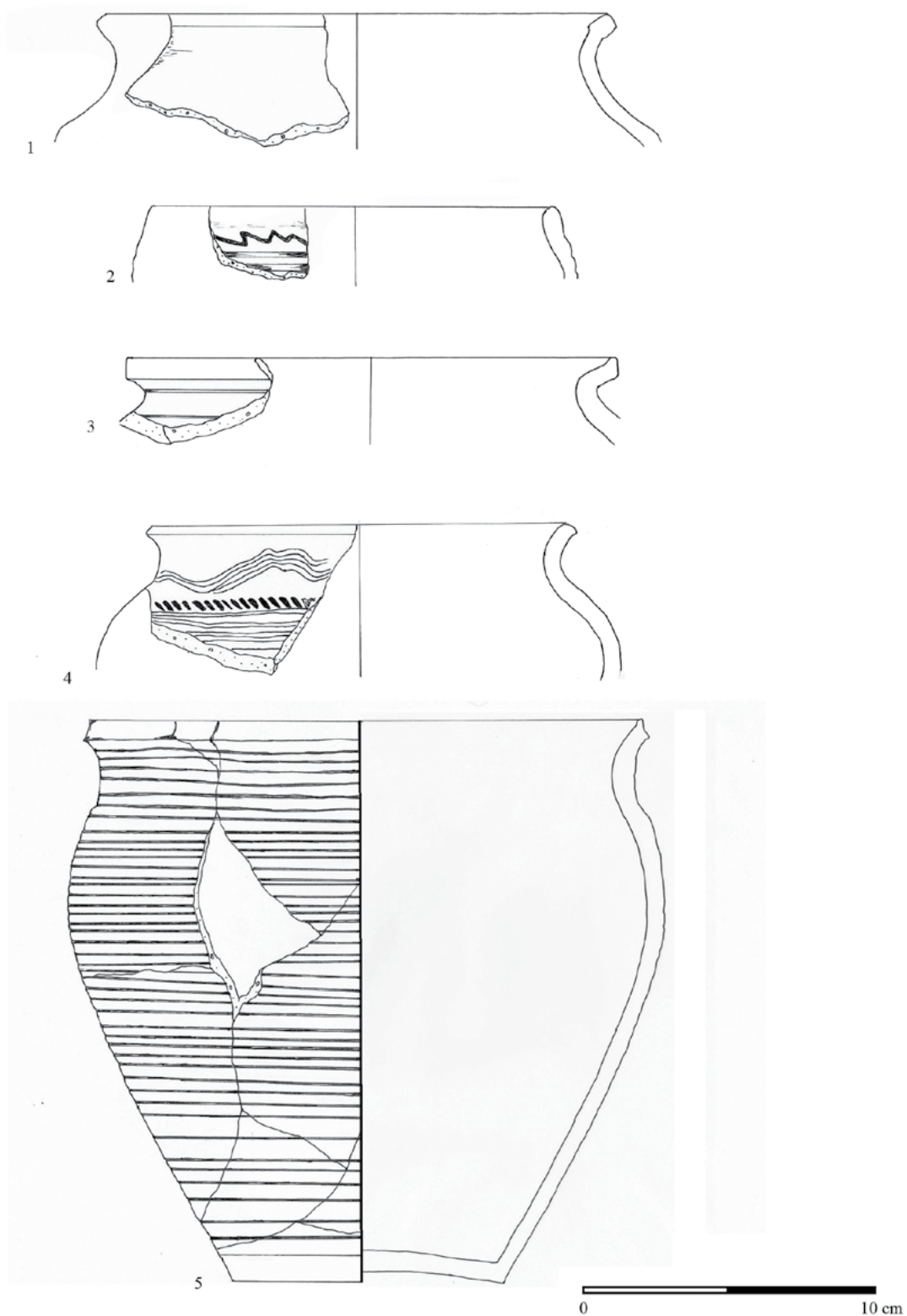


Tabl. 14. Stary Dzierzgoń, powiat Sztum, wykop 8, II warstwa kulturowa (1,3-5), III warstwa kulturowa (2,6-11), ob.3 (12)

Pl. 14. Stary Dzierzgoń, Sztum district, wykop 8, II cultural layer, (1,3-5), III cultural layer (2,6-11), feature 3(12)

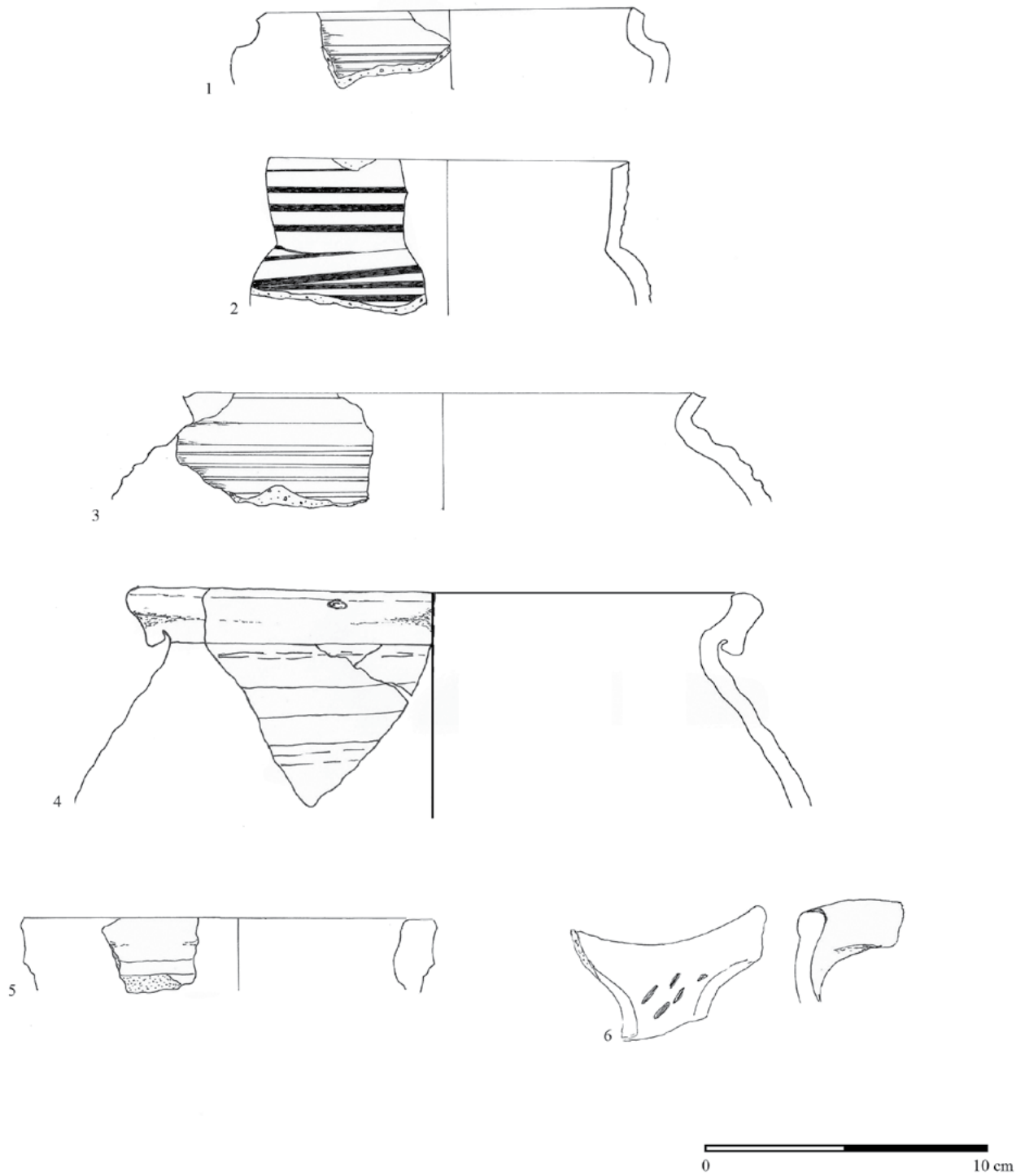


Tabl. 15. Stary Dzierzgoń, powiat Sztum, stan. 1, wykop 8, ob. 1/11 (1-7), 3 warstwa kulturowa (8)
Pl. 15. Stary Dzierzgoń, Sztum district, site 1, trench 8, feature 1/11 (1-7), 3 cultural layer (8)



Tabl. 16. Stary Dzierzgoń, powiat Sztum, stan. 1, wykop 8, humus (2), II warstwa kulturowa (1,3,4), ob.8 (5)

Pl. 16. Stary Dzierzgoń, Sztum district, site 1, trench 8, topsoil (2), II cultural layer (1,3,4), feature 8 (5)



Tabl. 17. Stary Dzierzgoń, powiat Sztum, wykop 8, ob. 8 (1,5), wykop 10, II warstwa kulturowa (3), III warstwa kulturowa (2), VI warstwa kulturowa (4), wykop 6, IV warstwa kulturowa (6)

Pl. 17. Stary Dzierzgoń, Sztum district, trench 8, feature 8 (1,5), trench 10, II cultural layer(3), III cultural layer (2), VI cultural layer (4), trench 6, IV cultural layer (6)

Wyniki badań petrograficznych pradziejowej i wczesnośredniowiecznej ceramiki ze stanowiska nr 1 w Starym Dzierzgoniu – Góra Zamkowa

CEL I METODY BADAŃ

Badania mineralogiczno-petrograficzne wykonano dla zbioru próbek ceramiki pochodzących ze stanowiska w Starym Dzierzgoniu, reprezentujących dwie epoki. Część próbek pochodziła z okresu pradziejowego (ok. IV/V w p.n.e.), a część z wczesnego średniowiecza (XI–XIII w.). Zestawienie numeracji badanych próbek ceramiki przedstawia tabela 1. Celem badań było określenie składu masy ceramicznej zastosowanej do wyrobu badanych fragmentów ceramiki oraz techniki i temperatury wypału.

Badania petrograficzne wykonano w Instytucie Nauk Geologicznych Uniwersytetu Wrocławskiego we Wrocławiu. Z przekazanych do badań próbek ceramiki przygotowano preparaty mikroskopowe do badań w świetle spolaryzowanym, przechodzącym,

w Szlifierni Instytutu Nauk Geologicznych UW. Preparaty mikroskopowe wykonano z przekrojów zorientowanych prostopadle do powierzchni zewnętrznych czerepu ceramiki, poprzez szlifowanie przy użyciu proszków polerskich próbek materiału zamocowanych na szkiełku podstawowym za pomocą żywicy epoksydowej, o współczynniku załamania światła około 1,54, celem uzyskania ceramiki o grubości około 30–35 μm . Po spolerowaniu płytki cienkie przykryte zostały szkiełkiem nakrywkowym, klejonym za pomocą balsamu kanadyjskiego. Badania płytek cienkich przeprowadzono z wykorzystaniem mikroskopu polaryzacyjnego Zeiss AxioLab, z zamontowanym cyfrowym aparatem fotograficznym Canon G2, którym wykonano dokumentację fotograficzną. Objętość składników wchodzących w skład badanych próbek oszacowano

Tabela 1. Zestawienie analizowanych próbek ceramiki.

Lp.	Nr próbki	Opis
1	33/10	Ceramika pradziejowa, ok. IV/V w. p.n.e., z wylewem, chropowata
2	14/11	Ceramika pradziejowa, ok. IV/V w. p.n.e., chropowata (?), zagładzana
3	33/10	Ceramika pradziejowa, ok. IV/V w. p.n.e., zagładzana, od wewnątrz czarna
4	15/10	Ceramika pradziejowa, ok. IV/V w. p.n.e., obustronnie gładzona, brunatnoszara
5	15/10	Ceramika pradziejowa, ok. IV/V w. p.n.e., chropowata, gruba, pomarańczowożółta
6	7/11	Ceramika pradziejowa, ok. IV/V w. p.n.e., chropowata
7	7/11	Ceramika pradziejowa, ok. IV/V w. p.n.e., fragment z ułamanym uchem
8	6/11	Ceramika pradziejowa, ok. IV/V w. p.n.e., obustronnie gładzona, czarnoczerwona
9	6/11	Ceramika pradziejowa, ok. IV/V w. p.n.e., zaszczypywana (?), pomarańczowa
10	6/11	Ceramika średniowieczna, XI–XIII w., pomarańczowa, obtaczana
11	14/10	Ceramika średniowieczna, XI–XIII w., żłobkowana, jasnopomarańczowa
12	23/10	Ceramika średniowieczna, XI–XIII w., żłobkowana, czarna (przepakowana?)
13	27/10	Ceramika średniowieczna, XI–XIII w., siwa, obtaczana
14	17/09	Ceramika średniowieczna, XI–XIII w., siwa, toczona
15	19/09	Ceramika średniowieczna, XI–XIII w., drobno żłobkowana, pomarańczowa

na podstawie komputerowej analizy obrazu mikrofotografii preparatów mikroskopowych, stosując metodę punktową (tzw. point-counting), za pomocą programu JMicroVision. Uziarnienie próbek, na podstawie którego sporządzono histogramy uziarnienia, oszacowano na podstawie komputerowej analizy obrazu mikroskopowego preparatów mikroskopowych. Z całej powierzchni preparatu wykonano szereg zdjęć, które następnie scalono w jeden obraz. Na tak otrzymanej mikrofotografii naniesiono co 2,0 mm raster równoległych linii trawersujących. Następnie za pomocą programu JMicroVision zmierzono największą średnicę zastępczą (średnicę Fereta) wszystkich ziaren przecinanych przez naniesione linie trawersujące i zliczono liczbę ziaren w poszczególnych klasach ziarnowych. Dla badanych próbek, w zależności od wielkości preparatu i charakteru uziarnienia, liczba zmierzonych ziaren zamykała się w przedziale 500–700 osobników. Klasy ziarnowe przyjęto za powszechnie stosowaną skalę Uddena-Wentwortha.

Badania metodą termiczną wykonano za pomocą kalorymetru (analizatora termicznego) PerkinElmer STA6000. Warunki pomiarów: (1) stosowano tygiel Al_2O_3 , otwarty, (2) pomiaru dokonano w zakresie temperaturowym od $40^\circ C$ do $995^\circ C$, (3) waga analizowanych próbek wynosiła $50\text{ mg} \pm 15\text{ mg}$, (4) szybkość grzania $15^\circ C/min.$,

(5) atmosfera N_2 , przepływ gazu inertyjnego 15 ml/min .

Dla wszystkich próbek ceramiki wykonano badania metodą dyfrakcji rentgenowskiej, metodą proszkową (XRD), przy użyciu dyfraktometru Siemens D 5005 wyposażonego w lampę rentgenowską z antykatomą kobaltową. Prąd zasilający lampę miał napięcie 30 kV i natężenie 25 mA . Pomiarów dokonano w zakresie kąta 2θ od 4° do 75° , czas zliczania $1\text{ sek. co } 0,02^\circ$. Identyfikację jakościową składu fazowego próbek przeprowadzono za pomocą oprogramowania Diffract-EVA.

WYNIKI

CHARAKTERYSTYKA MAKROSKOPOWA

Ceramika prądziejowa

Próbka nr 1 (33/10), ceramika z wylewem, chropowacona.

Barwa powierzchni zewnętrznej szarobrazowa, wewnętrznej – również szarobrazowa (ryc. 1),

z delikatnie ciemniejszym odcieniem. Powierzchnia zewnętrzna silnie nieregularna, szorstka, wewnętrzna natomiast, w porównaniu z zewnętrzną, gładka, z widocznymi drobnymi okruchami mineralnymi, z których część wykazuje silny szklisty połysk oraz wykształcone ściany kryształów reprezentujące prawdopodobnie okruchy skaleni czy blaszki miki. W przekroju poprzecznym barwa czerepu ceramiki stosunkowo jednolita, szarobrazowa, widoczne liczne białe i kremowe okruchy kruszywa.

Próbka nr 2 (14/11), ceramika chropowacona (?), zagładzana.

Barwa powierzchni zewnętrznej szarobeżowa do szarobrazowej, wewnętrzna szarobrazowa (ryc. 2), z delikatnie ciemniejszym odcieniem. Powierzchnia zewnętrzna w niewielkim stopniu nieregularna, lekko szorstka, wewnętrzna natomiast – relatywnie gładka, z widocznymi drobnymi okruchami mineralnymi, z których część wykazuje silny szklisty połysk oraz wykształcone ściany kryształów, reprezentujące prawdopodobnie okruchy skaleni czy blaszki miki. W przekroju poprzecznym barwa niejednolita, od strony wewnętrznej szarobeżowa lub szara, od strony zewnętrznej beżowa, widoczne liczne białe i kremowe okruchy kruszywa.

Próbka nr 3 (33/10), zagładzana, od wewnątrz czarna.

Barwa powierzchni zewnętrznej beżowoszara, wewnętrzna szara/szarobrazowa (ryc. 3), wyraźnie ciemniejsza w porównaniu do powierzchni zewnętrznej. Powierzchnia zewnętrzna minimalnie szorstka, wewnętrzna natomiast – gładka, ze słabo widocznymi drobnymi okruchami mineralnymi. W przekroju poprzecznym barwa niejednolita, od strony zewnętrznej beżowa, od strony wewnętrznej szara, widoczne liczne białe i kremowe okruchy kruszywa.

Próbka nr 4 (15/10), obustronnie gładzona, brunatnoszara.

Barwa powierzchni zewnętrznej i wewnętrznej zbliżona, beżowoszara (ryc. 4). Powierzchnia zewnętrzna szorstka w niewielkim stopniu, wewnętrzna natomiast – gładka, na obu powierzchniach widoczne drobne okruchy mineralne, część z nich wykazuje szklisty połysk, widoczne są ściany kryształów reprezentujących skalenie, miki itp. W przekroju poprzecznym barwa relatywnie jednolita, choć nieco jaśniejsza zarówno od strony zewnętrznej, jak i wewnętrznej, widoczne liczne białe i kremowe okruchy kruszywa.

Próbka nr 5 (15/10), chropowacona, gruba, pomarańczowożółta.

Barwa powierzchni zewnętrznej beżowa do pomarańczowobeżowej, wewnętrzne natomiast beżowoszara (ryc. 5). Powierzchnia zewnętrzna silnie szorstka, wewnętrzna – relatywnie gładka. Na powierzchni wewnętrznej słabo widoczne bardzo drobne okruchy mineralne wykazujące szklisty połysk, reprezentujące skalenie, miki itp. W przekroju poprzecznym barwa niejednolita, jaśniejsza, o beżowopomarańczowym odcieniu od strony zewnętrznej. Od strony wewnętrznej beżowoszara; barwa ta obejmuje około 3/4 szerokości przekroju. Na całej powierzchni przekroju widoczne liczne białe i kremowe okruchy kruszywa.

Próbka nr 6 (7/11), chropowacona.

Barwa powierzchni zewnętrznej i wewnętrznej niejednorodna, beżowa/szarobeżowa do beżowopomarańczowej (ryc. 6). Powierzchnia zewnętrzna lekko szorstka, wewnętrzna – relatywnie gładka. Na powierzchni zewnętrznej widoczne bardzo drobne okruchy mineralne wykazujące szklisty połysk, reprezentujące skalenie, miki itp. Widoczne również, choć nieco gorzej, na powierzchni wewnętrznej. W przekroju poprzecznym barwa relatywnie jednolita, szarobeżowa. Na całej powierzchni przekroju widoczne liczne białe i kremowe okruchy kruszywa.

Próbka nr 7 (7/11), fragment z ułamanym uchem.

Barwa powierzchni zewnętrznej beżowopomarańczowa a wewnętrznej – szarobeżowa (ryc. 7). Powierzchnia zewnętrzna szorstka w niewielkim stopniu, wewnętrzna – nieco bardziej szorstka. Na powierzchni zewnętrznej widoczne drobne okruchy mineralne wykazujące szklisty połysk, reprezentujące skalenie, miki itp., słabiej widoczne na powierzchni wewnętrznej. W przekroju poprzecznym barwa relatywnie jednolita, szara/szarobeżowa, lekko jaśniejsza od strony zewnętrznej. Na całej powierzchni przekroju widoczne liczne białe i kremowe okruchy kruszywa oraz spękania długości do kilku milimetrów układające się w przybliżeniu równolegle do siebie nawzajem i do powierzchni zewnętrznych ceramiki.

Próbka nr 8 (6/11), obustronnie gładzona, czernocarna.

Barwa powierzchni zewnętrznej beżowopomarańczowa do miejscami szarobeżowej, a powierzchni wewnętrznej – beżowopomarańczowa (ryc. 8). Powierzchnia zewnętrzna szorstka w niewielkim stopniu, wewnętrzna – relatywnie gładka. Na

powierzchni zewnętrznej i wewnętrznej widoczne drobne okruchy mineralne wykazujące szklisty połysk, reprezentujące skalenie, miki itp. W przekroju poprzecznym barwa relatywnie jednolita, beżowa/beżowopomarańczowa, nieco jaśniejszy odcień widoczny jest przy brzegach. Na całej powierzchni przekroju widoczne nieliczne białe i kremowe okruchy kruszywa.

Próbka nr 9 (6/11), zaszczypywana (?), pomarańczowa.

Barwa powierzchni zewnętrznej beżowa, a powierzchni wewnętrznej – szarobeżowa (ryc. 9). Powierzchnia zewnętrzna szorstka, wewnętrzna – gładka. Na powierzchni zewnętrznej i wewnętrznej widoczne rzadkie i drobne okruchy mineralne wykazujące szklisty połysk, reprezentujące skalenie, miki itp. W przekroju poprzecznym barwa niejednorodna, beżowoszara od strony wewnętrznej, a jaśniejsza, beżowa, od strony zewnętrznej. Na całej powierzchni przekroju widoczne bardzo rzadkie, nieliczne białe i kremowe okruchy kruszywa.

Ceramika średniowieczna

Próbka nr 10 (6/11), pomarańczowa, obtaczana.

Barwa powierzchni zewnętrznej i wewnętrznej beżowa/beżowopomarańczowa, na zewnątrz nieco silniej zaznaczony odcień pomarańczowy (ryc. 10). Powierzchnia wewnętrzna lekko szorstka, zewnętrzna – generalnie gładka, lecz z widocznymi wystającymi ponad powierzchnię smugami oraz zagłębieniami szerokości do ok. 1 mm, rozmieszczonymi w odstępach około 1 cm. Na powierzchni zewnętrznej i wewnętrznej widoczne drobne okruchy mineralne wykazujące szklisty połysk, reprezentujące skalenie, miki itp. W przekroju poprzecznym barwa silnie niejednorodna, beżowa/beżowopomarańczowa na brzegach, natomiast ciemnoszara wewnątrz. Na całej powierzchni przekroju widoczne bardzo rzadkie, nieliczne białe i kremowe okruchy kruszywa.

Próbka nr 11 (14/10), żłobkowana, jasnopomarańczowa.

Barwa powierzchni zewnętrznej beżowopomarańczowa, wewnątrz natomiast widoczna jest barwa beżowa/beżowoszara (ryc. 11). Powierzchnia wewnętrzna gładka, zewnętrzna generalnie również gładka, lecz z widocznymi wystającymi ponad powierzchnię smugami szerokości do ok. 1 mm, w odstępach co około 1 cm. Na powierzchni zewnętrznej i wewnętrznej sporadycznie widoczne

drobne okruchy mineralne wykazujące szklisty połysk, reprezentujące skalenie, miki itp. W przekroju poprzecznym barwa niejednolita, beżowopomarańczowa od strony powierzchni zewnętrznej, ciemniejsza, beżowoszara od wewnątrz. Na całej powierzchni przekroju widoczne bardzo rzadkie, nieliczne białe i kremowe okruchy kruszywa.

Próbka nr 12 (23/10), żłobkowana, czarna (prze-palona ?).

Barwa powierzchni zewnętrznej i wewnętrznej ciemnoszara (ryc. 12). Powierzchnia wewnętrzna lekko i nieregularnie chropowata, zewnątrz – gładka z widocznymi, regularnie rozmieszczonymi, wystającymi ponad powierzchnię smugami i zagłębieniami wielkości 2–4 mm. Na powierzchni zewnętrznej i wewnętrznej sporadycznie widoczne drobne okruchy mineralne wykazujące szklisty połysk, reprezentujące skalenie, miki itp. W przekroju poprzecznym barwa jednolita, ciemnoszara. Na całej powierzchni przekroju widoczne białe i kremowe okruchy kruszywa.

Próbka nr 13 (27/10), siwa, obtaczana.

Barwa powierzchni zewnętrznej i wewnętrznej popielata (ryc. 13). Powierzchnia wewnętrzna lekko chropowata, zewnątrz również lekko chropowata z widocznymi nieco wystającymi ponad powierzchnię smugami o szerokości około 2–3 mm. W przekroju poprzecznym barwa jednolita, popielata. Na całej powierzchni przekroju słabo widoczne drobne okruchy kruszywa.

Próbka nr 14 (17/09), siwa toczona.

Barwa powierzchni zewnętrznej i wewnętrznej popielata (ryc. 14). Powierzchnia wewnętrzna i zewnętrzna lekko chropowata, z obu stron dekorowana szerokimi (kilka mm) zagłębieniami i wypustkami. W przekroju poprzecznym barwa jednolita, popielata. Na całej powierzchni przekroju słabo widoczne drobne okruchy kruszywa.

Próbka nr 15 (19/09), drobno żłobkowana, pomarańczowa.

Barwa powierzchni zewnętrznej pomarańczowoczerwona, wewnętrznej – beżowoszara (ryc. 15). Powierzchnia wewnętrzna lekko chropowata, zewnętrzna dekorowana drobnymi, bardzo gęsto (co ok. 1–2 mm) rozmieszczonymi zagłębieniami i wypustkami szerokości ok. 1 mm. W przekroju poprzecznym barwa niejednolita, w części środkowej ciemnoszara do grafitowej, a na brzegach pomarańczowobeżowa. Na całej powierzchni przekroju widoczne pojedyncze okruchy kruszywa.

BADANIA MIKROSKOPOWE

Ceramika pradziejowa

Obserwacje mikroskopowe płytek cienkich wykazały, że badane próbki ceramiki charakteryzują się stosunkowo niewielką zmiennością petrograficzną (ryc. 16÷24). Część nieplastyczna badanej ceramiki to ziarna okruchowe o zróżnicowanym składzie mineralogicznym, stanowiące jej swego rodzaju szkielet ziarnowy. Jednym z głównych składników jest kwarc, którego objętość zmienia się w dość szerokich granicach: od 6,3% (próbka 9 (6/11), tab. 2) do 27,7% (próbka 1 (33/10), tab. 2). Wielkość ziaren kwarcu jest zmienna, niewielka ich część osiąga rozmiary do około 1,0 mm, jednak przeważająca część populacji to osobniki o wielkości często poniżej 0,1 mm. Część ziaren to formy półobtoczone czy obtoczone, jednak obecne są również osobniki charakteryzujące się słabym wyobleniem, półostrokrawędziste do – niekiedy – ostrokrawędzistych. Kolejnym składnikiem odgrywającym istotną rolę w budowie szkieletu ziarnowego są okruchy skał (składniki lityczne, tab. 2). Są to fragmenty skał krystalicznych składające się głównie z kwarcu, skałeni alkalicznych, plagioklazów oraz podrzędnych mik lub – rzadko – hornblendy zwyczajnej (amfibolu). Reprezentują one kwaśne skały magmowe o składzie granitoidowym. Bardzo rzadko można wśród nich dostrzec ziarna mikrokrystalicznych skał krzemionkowych (krzemienie, czerty itp.). Sumarycznie grupa skał stanowi pod względem objętościowym drugi po kwarcu składnik ceramiki pradziejowej (tab. 2). Tworzą one ziarna znacznych rozmiarów – w odróżnieniu od kwarcu często przekraczają wielkość 1,0 mm. Są to jednocześnie ziarna słabo wyoblone, a często wręcz ostrokrawędziste (ryc. 16÷24). Ich udział objętościowy jest zróżnicowany. Mogą stanowić jedynie 3,6% obj. (próbka 3 (33/10)), ale również 16,0% obj. (próbka 8 (6/11)). Zazwyczaj ich objętość jest mniejsza niż głównego składnika – kwarcu, wyjątek to próbka 9 (6/11), gdzie nikła ilość kwarcu powoduje, że ziarna lityczne są podstawowym składnikiem szkieletu ceramiki (tab. 2, ryc. 24). Oba te składniki, tj. kwarc i okruchy skał, stanowią zasadniczą część objętościową próbek, łączy je jednocześnie słaba ujemna korelacja, co wskazuje, że zwiększenie objętości skał w niewielkim stopniu odbywa się kosztem objętości ziaren kwarcu. Kolejnym, trzecim pod względem objętości składnikiem ceramiki są ziarna skałeni (tab. 2). Mają one rozmiary i morfologię zbliżone do tych wykazywanych przez kwarc. Zazwyczaj są to fragmenty odmian alkalicznych (mikrokliny

oraz, przede wszystkim, przerosty pertytowe), rzadziej spotyka się sodowo-wapniowe (plagioklasy). Objętość ziaren skaleni nie przekracza 2,5% (próbka 1 (33/10)), a niekiedy wynosi poniżej 1 (tab. 2).

glaukonitu, ma zabarwienie żółtawobrunatne do (rzadko) krwistoczerwonego. Nieliczne świeże skupienia miały typową dla tego minerału barwę zieloną. Pozostałe składniki akcesoryczne, takie jak

Tabela 2. Zestawienie udziału (% obj.) najważniejszych składników próbek ceramiki.

	1	2	3	4	5	6	7	8	9
	33/10	14/11	33/10	15/10	15/10	7/11	7/11	6/11	6/11
Kwarc	27,7	19,3	23,2	12,0	19,1	13,8	17,1	21,4	6,3
Skalenie	2,5	0,8	0,9	1,7	1,4	0,7	1,2	0,4	1,9
Fragmenty skał	12,7	14,8	3,6	12,6	10,1	9,0	12,1	16,0	13,3
Składniki akcesoryczne	0,4	0,3	0,8	1,3	1,0	0,8	1,5	0,7	0,5
Metailaste tło	56,7	64,8	71,5	72,4	68,4	75,7	68,1	61,5	78,0

Inne składniki występują rzadko, mają one charakter *stricte* akcesoryczny. Są to przede wszystkim różnego rodzaju ziarna czy nieregularnego kształtu skupienia minerałów nieprzezroczystych, wielkości do kilku dziesiątych milimetra. Spotyka się je praktycznie we wszystkich próbkach ceramiki pradziejowej. Zapewne są one również obecne (być może w dużych ilościach) w próbce 7 (7/11), choć ze względu na bardzo ciemne, prawie nieprzezroczyste metailaste tło trudno je dostrzec. Kolejnym charakterystycznym dla większości próbek ceramiki składnikiem akcesorycznym jest jasna mika. Występuje ona w postaci drobnych blaszek, których rozmiar nie przekracza 0,2–0,3 mm. Znaczna część blaszek jest mniejsza, przyjmując postać sercytu. Co charakterystyczne, blaszek jasnej miki nie zaobserwowano w wypadku próbki 3 (33/10). Równie często w próbkach ceramiki obserwowano akcesoryczne ziarna amfibolu. Miały one wielkość do około 0,6 mm i były ostrokrawędziste. Jedyna próbka, gdzie składnika tego nie stwierdzono, to próbka 3 (33/10). Obok amfibolu często spotykano blaszki ciemnej miki. W odróżnieniu od jej odmiany jasnej (muskowitu), biotyt tworzy duże osobniki osiągające niekiedy rozmiary do około 1,0–1,5 mm. Część z nich wykazywała objawy postępującej chlorytazacji. Blaszkę biotyту obecne były w próbkach ceramiki 4 (15/10), 5 (15/10), 6 (7/11). Charakterystycznym składnikiem próbek ceramiki 3 (33/10), 5 (15/10), 6 (7/11), 7 (7/11) oraz 8 (6/11) były owalne i termicznie przeobrażone skupienia glaukonitu. Większość takich pseudomorfoz, w przeciwieństwie do świeżego

tytanit, rutyl, cyrkon, epidot, występowały bardzo rzadko, w niewielu próbkach, często ograniczając się do jednego ziarna w skali preparatu mikroskopowego. Sumarycznie składniki akcesoryczne zajmują od 0,3% obj. do 1,5% obj. (Tab. 2).

Masa metailasta próbek ceramiki, która stanowi tło dla wyżej opisanych ziaren tworzących szkielet ziarnowy, w większości wypadków nie wykazuje istotnego zróżnicowania petrograficznego (ryc. 16÷24). Jest ona dość jednorodna, ma zabarwienie pomarańczowobrunatne lub brunatne, widoczne są w niej reliktury minerałów ilastych. Wyjątek stanowi próbka 7 (7/11), gdzie metailaste tło przyjmuje w większości czarnobrunatną barwę i jest bardzo słabo przezroczyste. Typowe metailaste tło ma charakter mikrokrystaliczny i relatywnie dobrze reaguje na światło spolaryzowane przy obserwacji wykorzystującej dwa skrzyżowane polaryzatory. Tylko wspomniana próbka 7 (7/11) ma masę metailastą ciemno zabarwioną (czarnobrunatną), która jednocześnie słabo reaguje na światło spolaryzowane. Jedynie na brzegach lepiej widoczne są składniki tła.

Zazwyczaj składniki metailaste nie są ułożone w sposób szczególnie uporządkowany; wprawdzie obserwuje się jednocześnie wygaszanie światła przez blaszki metailastego tła, jednak nie jest ono silnie zaznaczone. Pozwala to zaklasyfikować strukturę większości fragmentów ceramiki (próbki 1 (33/10), 2 (14/11), 6 (7/11), 8 (6/11)) do klasy *crystallitic b-fabric*¹. Nieco rzadziej widoczne są wydłużone domeny długości do kilku milimetrów, w których obrębie widoczne jest jednocześnie

1. Terminologia wg: Rathossi, Tsolis-Katagas, Katagas 2004, s. 313–326.

wygaszanie reliktyw mineralów ilastych. Tego typu struktura metailastego tła to *mosaic speckled b-fabric*, obserwowana dla próbek 3 (33/10), 4 (15/10), 5 (15/10) oraz bardzo silnie wykształcona w próbce 9 (6/11). Ostatnia próbka, o ciemnym metailastym tle, wykazuje strukturę *undifferentiated b-fabric*, gdzie składniki tła zasadniczo nie reagują na światło spolaryzowane.

Pod względem teksturalnym (wypełnienie przestrzeni) część próbek jest słabo porowata, a obecne puste przestrzenie mają kształty izometryczne lub lekko wydłużone i nie wykazują uporządkowanego ułożenia. Tego typu porowatość charakteryzuje próbki 2 (14/11), 5 (15/10), 8 (6/11), 9 (6/11). Inne mają znacznie więcej porów, które są lekko lub (niekiedy) silnie wydłużone i jednocześnie układają się równolegle do siebie nawzajem i do brzegów czerepu ceramiki (próbki 1 (33/10), 3 (33/10), 4 (15/10), 6 (7/11), 7 (7/11)).

Objętość metailastego tła jest zmienna, bezpośrednio zależna od sumarycznej objętości składników nieplastycznych. Może ono stanowić od zaledwie 56,7% obj. (próbka 1 (33/10) do aż 78,0% obj. (próbka 9 (6/11); tab. 2).

Ceramika średniowieczna

Ceramika średniowiecza pod względem składu części nieplastycznej wykazuje cechy zbliżone do cech petrograficznych ceramiki pradziejowej (ryc. 25÷30). Tu również głównym składnikiem są okruchy kwarcu (tab. 3). Składnik ten, pod względem morfologicznym wykształcony podobnie jak w ceramice pradziejowej, stanowi od 11,6% obj. (próbka 12 (23/10)) do 37,5% obj. (próbka 11 (14/10); tab. 3). Drugim pod względem objętościowym składnikiem są okruchy skał (tab. 3), reprezentowane głównie przez fragmenty granitoidów (ryc. 25÷30)

oraz rzadkich fragmentów skał krzemionkowych. Są to, inaczej niż w przypadku kwarcu, ziarna zazwyczaj duże, ostrokrawędziste, podobnie jak to obserwowano w próbkach ceramiki pradziejowej. Tego typu ziarna charakterystyczne są dla próbek 10 (6/11), 11 (14/10), 12 (23/10), 15 (19/09). W odróżnieniu od nich próbki ceramiki 13 (27/10) i 14 (17/09) zawierają ziarna skał o rozmiarach zbliżonych do największych ziaren kwarcu, przy czym wszystkie składniki wykazują podobną morfologię, są dość dobrze wyoblone (ryc. 25÷30). Składniki akcesoryczne w obrębie całej populacji próbek tworzą dość urozmaicony zestaw. Są to przede wszystkim ziarna mineralów nieprzezroczystych, typowe dla wszystkich ceramik. Wprawdzie próbki ceramiki 12 (23/10) i 13 (27/10) charakteryzują się bardzo ciemnym (prawie nieprzezroczystym) metailastym tłem, jednak można przypuszczać, że cechy te wynikają właśnie ze znacznej ilości składników nieprzezroczystych, rozproszonych w tle szkieletu ziarnowego. Częstym składnikiem akcesorycznym był amfibol, stwierdzony w próbkach 10 (6/11), 11 (14/10), 13 (27/10), 15 (19/09). Rzadziej obserwowano obecność pseudomorfoz termicznie przeobrażonego glaukonitu (próbki 14 (17/09), 15 (19/09)), cyrkonu (próbki 10 (6/11), 13 (27/10), 14 (17/09)). Sporadycznie w nielicznych próbkach ceramiki średniowiecznej zaobserwowano obecność zoizytu (lub był to podobny do niego optycznie piroksen), serycytu i biotyту (próbka 10 (6/11)). Sumarycznie składniki akcesoryczne stanowią niewielką część objętościową ceramiki, maksymalnie osiągając do 1,4% obj. (próbka 10 (6/11)).

Masa metailasta próbek ceramiki średniowiecznej, stanowiąca tło dla wyżej opisanych ziaren tworzących szkielet ziarnowy, jest wyraźnie zróżnicowana. Próbki ceramiki 10 (6/11) i (14/10) mają masę metailastą, która dość dobrze reaguje na światło spolaryzowane, wykazując strukturę typu

Tabela 3. Zestawienie udziału (% obj.) najważniejszych składników próbek ceramiki.

	10 6/11	11 14/10	12 23/10	13 27/10	14 17/09	15 19/09
Kwarc	21,3	37,5	11,6	25,5	26,4	24,8
Skalenie	2,1	3,9	0,4	0,7	0,6	0,5
Fragmenty skał	5,0	8,2	5,8	2,1	3,9	14,0
Składniki akcesoryczne	1,4	0,7	0,3	0,5	0,6	0,9
Metailaste tło	70,2	49,7	81,9	71,2	69,5	59,8

crystallitic b-fabric. W wypadku pozostałych próbek ceramiki, tj. 12 (23/10), 13 (27/10), 14 (17/09) i 15 (19/09), metailasta masa nie wykazuje większych reakcji na światło spolaryzowane, co tym samym pozwala zaklasyfikować je do struktury typu *undifferentiated b-fabric*.

Pod względem teksturalnym (wypełnienie przestrzeni) próbki 10 (6/11), 11 (14/10), a przede wszystkim 13 (27/10) i 14 (17/09) wykazują obecność licznych pustych przestrzeni w postaci soczewkowatych pęknięć układających się równoległe do siebie i zarazem do powierzchni zewnętrznych czerepu ceramiki (ryc. 25÷30). W odróżnieniu od nich próbki ceramiki 12 (23/10) i 15 (19/09) mają masę metailastą masywną, nieporowatą, nie wykazującą oznak spękania. Objętość masy metailastej zmienia się w szerokich granicach, od 49,7% obj. (próbka 11 (14/10)), do 81,9% obj. (próbka 12 (23/10); tab. 3).

UZIARNIENIE

Ceramika pradziejowa

Badania granulometryczne próbek ceramiki pradziejowej wykazały, że podstawowym składnikiem części nieplastycznej (szkieletu ziarnowego) jest frakcja pyłowa (tab. 4, ryc. 31÷33). Składniki okruczowe tej frakcji stanowią od 59,2% do 94,3% (odpowiednio próbki 9 (6/11) i 2 (14/11)) wszystkich ziaren (tab. 4). Ilość ziaren frakcji piaszczystej jest znacznie mniejsza (tab. 4), niekiedy stanowią one jedynie 5,5% całej populacji (próbka 2 (14/11)), rzadziej jest ich więcej, wówczas stanowią 39,7% wszystkich ziaren (próbka 9 (6/11)). Można zauważyć, że spadek zawartości ziaren frakcji pyłowej powoduje wzrost ilości ziaren frakcji piaszczystej. Współczynnik korelacji tych dwóch parametrów wynosi -0,9997. Frakcja żwirowa praktycznie jest nieobecna (tab. 4). Nieliczne próbki (2 (14/11), 7 (7/11), 8 (6/11), 9 (6/11)) zawierają ziarna o rozmiarach powyżej 2 mm (tab. 4). Jednak ich ilość jest nikła, ziarna te stanowią maksymalnie 1,1% wszystkich ziaren (próbka 9 (6/11)).

Tabela 4. Zestawienie wyników pomiarów uziarnienia składników nieplastycznych ceramiki pradziejowej.

Klasy ziarnowe [mm]	Udział %												
	Bardzo drobny pył	drobny pył	średni pył	gruby pył	bardzo drobny piasek	drobny piasek	średni piasek	gruby piasek	bardzo gruby piasek	żwir	pył (suma)	piasek (suma)	żwir (suma)
	0,004–0,008	0,008–0,016	0,016–0,031	0,031–0,062	0,062–0,125	0,125–0,250	0,25–0,50	0,5–1,0	1,0–2,0	pow. 2,0	0,004–0,062	0,062–2,000	pow. 2,000
Nr próbki													
1	34,3	32,7	13,0	6,2	5,6	4,8	1,6	1,6	0,2	0,0	86,2	13,8	0,0
2	24,8	40,3	18,0	11,2	3,3	0,7	0,4	0,2	0,9	0,2	94,3	5,5	0,2
3	30,4	31,7	14,2	7,8	6,8	5,5	1,9	1,5	0,2	0,0	84,1	15,9	0,0
4	43,7	38,0	9,1	2,6	1,1	2,4	1,1	1,5	0,5	0,0	93,4	6,6	0,0
5	26,8	28,0	14,8	12,9	7,7	5,8	2,1	0,7	1,2	0,0	82,5	17,5	0,0
6	27,7	25,4	15,3	10,3	10,7	5,0	4,1	1,0	0,5	0,0	78,7	21,3	0,0
7	25,8	32,0	18,3	11,9	5,5	0,9	1,7	2,4	1,2	0,3	88,0	11,7	0,3
8	35,2	34,7	16,0	6,5	5,7	1,2	0,0	0,2	0,3	0,2	92,4	7,4	0,2
9	2,1	16,4	20,6	20,1	16,4	9,5	5,3	5,3	3,2	1,1	59,2	39,7	1,1

Znaczne ilości ziaren należących do frakcji piaszczystej (tab. 4) zawiera również próbka 6 ((7/11) 21,3%), choć ilość ta nie jest tak duża jak w wypadku próbki 9 (6/11). Podwyższone na tle innych próbek ceramiki zawartości frakcji piaszczystej (tab. 4, ryc. 31÷33) wykazują próbki 1, 3, 5 i 13, gdzie ziarna te stanowią co najmniej 10% całej populacji. Natomiast względnie niskie zawartości frakcji piaszczystej (ryc. 31÷33) odnotowano w próbkach 2 (14/11), 4 (15/10) i 8 (6/11), gdzie stanowią zaledwie kilka procent wszystkich ziaren składników nieplastycznych (tab. 4).

Analizując szczegółowe przedziały frakcji ziarnowych, można zauważyć, że prawie we wszystkich próbkach ceramiki pradziejowej dominują ziarna zaliczane do bardzo drobnego i drobnego pyłu (tab. 4, ryc. 31÷33). Ziarna tych frakcji sumarycznie stanowią ponad połowę wszystkich ziaren składników nieplastycznych. Wyjątek to próbka 9 (6/11), która jest wyraźnie uboższa przede wszystkim jeśli chodzi o frakcję bardzo drobnoziarnistego pyłu (tab. 4, ryc. 33). W pozostałych próbkach ceramiki pradziejowej frakcja ta stanowi co najmniej 25% wszystkich ziaren, podczas gdy w próbce 9 (6/11) – jedynie 2,1%. Również ziaren frakcji drobnego pyłu jest tu mniej niż w pozostałych próbkach, choć w tym wypadku różnica nie jest aż tak duża. Tak odmiennie uziarnienie powoduje, że w wypadku próbki 9 (6/11) dominują frakcje średnioziarnistego i gruboziarnistego pyłu.

Na tle wszystkich próbek ceramiki pradziejowej o dominującym udziale frakcji najdrobniejszych wydaje się również wyróżniać próbka 2 (14/11). Tu wprawdzie (jak w większości wypadków) dominują ziarna bardzo drobnego i drobnego pyłu (tab. 4, ryc. 31). Jednak w większości próbek udział obu frakcji jest w przybliżeniu zrównoważony, podczas gdy w próbce 2 (14/11) frakcja drobnego pyłu wyraźnie przeważa (40,3%) nad frakcją bardzo drobnego pyłu (24,8%).

Ceramika średniowieczna

W odróżnieniu od wyżej opisanej ceramiki pradziejowej uziarnienie składników nieplastycznych ceramiki średniowiecznej jest znacznie bardziej zróżnicowane (tab. 5, ryc. 34, 35). Wprawdzie w większości przypadków także dominuje frakcja pyłowa, jednak wśród próbek obecne są również takie, gdzie notuje się niewielką przewagę ziaren frakcji piaszczystej nad frakcją pyłową. Do tych ostatnich należy próbka ceramiki nr 12 (23/10),

gdzie ziarna frakcji pyłowej stanowią 48,0%, a ziarna frakcji piaszczystej – 52,0% wszystkich ziaren składników okrucowych (tab. 5). W większości próbek ceramiki średniowiecznej (próbki 10 (6/11), 11 (14/10), 15 (19/09)) dominuje frakcja pyłowa, stanowiąca ponad 80% wszystkich ziaren, a udział frakcji piaszczystej to kilkanaście procent (tab. 5, ryc. 34, 35). Ostatnie dwie próbki (13 (27/10), 14 (17/09)) wykazują bardziej zrównoważony udział frakcji piaszczystej i frakcji pyłowej, gdzie ta pierwsza stanowi 35–40% wszystkich ziaren. Podobnie jak w wypadku ceramiki pradziejowej, również w próbkach ceramiki średniowiecznej udział ziaren frakcji pyłowej i frakcji piaszczystej łączy silna ujemna korelacja (współczynnik korelacji -0,9997), co jednoznacznie wskazuje, że wzrost udziału frakcji piaszczystej odbywa się kosztem zmniejszonego udziału frakcji pyłowej. Udział frakcji zwirowej jest niski (tab. 5, ryc. 34, 35), jedynie próbki 11 (14/10) i 15 (19/09) wykazywały obecność tak dużych ziaren; jednocześnie stanowiły one kilka dziesiątych procenta całej populacji składników okrucowych.

Analizując szczegółowe przedziały frakcji ziarnowych, można zauważyć, że niektóre próbki (10 (6/11), 11 (14/10) i 15 (19/09)) są zdecydowanie zdominowane przez ziarna bardzo drobnego i drobnego pyłu (tab. 5, ryc. 34, 35). Frakcje te stanowią sumarycznie ponad 40% wszystkich ziaren i jest to cecha typowa dla w/w próbek ceramiki. Udział frakcji o większym ziarnie sukcesywnie maleje; jednocześnie ziarna frakcji piaszczystej stanowią niewielką część populacji. Spośród tych trzech próbek ceramiki nieco odmiennie uziarnienie wydaje się prezentować próbka 15 (19/09). W jej wypadku frakcja drobnego pyłu przeważa nad bardzo drobnoziarnistym pyłem, podczas gdy w próbkach 10 (6/11) i 11 (14/10) obserwuje się odwrotną zależność.

Zupełnie odmiennie uziarnienie składników nieplastycznych reprezentują próbki ceramiki (23/10), 13 (27/10) i 14 (17/09). W ich wypadku udział poszczególnych frakcji na histogramie uziarnienia jest bardziej zrównoważony (ryc. 34, 35). Widoczny jest znacznie mniejszy udział frakcji pyłowych, przy jednocześnie zwiększonym udziale frakcji piaszczystych. Pomiędzy nimi również można dostrzec pewne zróżnicowanie. Przy stosunkowo zrównoważonym udziale poszczególnych przedziałów frakcji ziarnowych próbka ceramiki 12 (23/10) zawiera nieco więcej ziaren frakcji piaszczystej, podczas gdy w próbkach 13 (27/10) i 14 (17/09) frakcje pyłowe w niewielki stopniu przeważają nad frakcjami piaszczystymi (tab. 5, ryc. 34, 35).

Tabela 5. Zestawienie wyników pomiarów uziarnienia składników nieplastycznych ceramiki średniowiecznej.

Klasy ziarnowe [mm]	Udział %												
	bardzo drobny pył	drobny pył	średni pył	gruby pył	bardzo drobny piasek	drobny piasek	średni piasek	gruby piasek	bardzo gruby piasek	żwir	pył (suma)	piasek (suma)	żwir (suma)
	0,004–0,008	0,008–0,016	0,016–0,031	0,031–0,062	0,062–0,125	0,125–0,250	0,25–0,50	0,5–1,0	1,0–2,0	pow. 2,0	0,004–0,062	0,062–2,000	pow. 2,000
Nr próbki													
10	27,8	23,7	18,4	16,6	9,3	2,4	0,3	1,2	0,3	0,0	86,5	13,5	0,0
11	27,9	26,6	20,4	13,6	8,1	1,0	1,2	0,6	0,2	0,4	88,5	11,1	0,4
12	9,3	15,0	9,4	14,3	15,0	16,9	9,1	8,1	2,9	0,0	48,0	52,0	0,0
13	15,1	19,2	15,0	10,5	12,9	12,1	9,7	5,5	0,0	0,0	59,8	40,2	0,0
14	14,2	24,5	14,9	10,5	10,8	12,8	7,2	4,9	0,2	0,0	64,1	35,9	0,0
15	17,4	26,3	21,6	17,9	10,3	2,5	2,1	1,4	0,2	0,3	83,2	16,5	0,3

BADANIA METODĄ DYFRAKCJI RENTGENOWSKIEJ

Ceramika pradziejowa

Na podstawie dokonanych pomiarów można stwierdzić, że we wszystkich badanych próbkach ceramiki pradziejowej jednym z głównych składników krystalicznych, dających najintensywniejsze refleksy, jest kwarc (ryc. 36). Jego najsilniejsze refleksy widoczne są dla wartości $d=3,34 \text{ \AA}$ ($2\Theta=31,040^\circ$) oraz $4,26 \text{ \AA}$ ($2\Theta=24,27^\circ$). Odnotowano również mniej intensywne (w porównaniu do nich) refleksy widoczne na dyfraktogramach dla wartości międzypłaszczyznowych d poniżej $2,5 \text{ \AA}$ (powyżej $40^\circ 2\Theta$). We wszystkich próbkach ceramiki istotnym składnikiem są również ziarna skalenia, zarówno odmian alkalicznych, jak i plagioklazów (odmiany sodowo-wapniowe, ryc. 36). Szczególnie intensywne refleksy skalenia lokują się na dyfraktogramach w przedziale $3\text{--}4 \text{ \AA}$ (ok. $25\text{--}35^\circ 2\Theta$, ryc. 36). Skalenie alkaliczne (mikroclin) mają najintensywniejszy refleks dla wartości $d=3,25 \text{ \AA}$ ($2\Theta=31,95^\circ$) oraz wiele innych refleksów, głównie w w/w zakresie, o słabszej intensywności. Plagioklasy (odmiany skalenie Ca-Na) zidentyfikowano na podstawie refleksu dla

wartości $d=3,20 \text{ \AA}$ ($2\Theta=32,46^\circ$), a także szeregu refleksów w w/w zakresie, o słabszej intensywności. Obserwując intensywność najsilniejszych refleksów skalenia obu odmian (zarówno alkalicznych, jak i sodowo-wapniowych) można zauważyć, że występują one przypuszczalnie w zmiennych proporcjach, na co wskazuje różna ich intensywność (ryc. 36). W większości próbek wydaje się dominować skałen alkaliczny; rzadziej w przewadze występują odmiany sodowo-wapniowe (próbki 1 (33/10), 6 (7/11); ryc. 36). Kolejnym istotnym składnikiem próbek ceramiki pradziejowej jest faza krystaliczna o strukturze illitu/muskowitu (ryc. 36). Minerale te, ze względu na podobną strukturę krystaliczną na dyfraktogramach, wykazują główne refleksy dla tych samych odległości międzypłaszczyznowych d (tym samym również wartości kątowych 2Θ). Ich rozdzielenie i identyfikacja metodami dyfrakcji rentgenowskiej w próbkach wieloskładnikowych, bez dodatkowych czynności, są bardzo utrudnione. Jednak mając na uwadze charakter badanego materiału (ceramika), z pewnością można stwierdzić, że przynajmniej część obserwowanych refleksów pochodzi od illitu, który stanowił surowiec do jego produkcji. Najintensywniejszy refleks illitu znajduje się w pozycji $d=3,34 \text{ \AA}$ ($2\Theta=31,1^\circ$), jednak pokrywa

się on z refleksem kwarcowym (ryc. 36). Kolejny silny refleks illitowy widoczny na dyfraktogramie znajduje się w pozycji $2\Theta=10,3^\circ$ ($d=10,00 \text{ \AA}$) oraz $2\Theta=20,5^\circ$ ($d=5,02 \text{ \AA}$; ryc. 36). Intensywność tego pierwszego refleksu zmienia się w poszczególnych próbkach, na co zapewne ma wpływ ewentualna obecność muskowitu, mającego refleks dla tej samej wartości d . Na intensywność wpływa również obróbka termiczna badanej ceramiki. O obecności w próbkach obok illitu również muskowitu może świadczyć rejestrowanie słabych wprawdzie, ale niepokrywających się z muskowitem refleksów m.in. dla $d=2,56 \text{ \AA}$ $2\Theta=40,8^\circ$ czy $2,88 \text{ \AA}$ $2\Theta=36,1^\circ$ (ryc. 36).

Kolejnym zidentyfikowanym składnikiem, choć występującym w podrzędnych ilościach, jest minerał ilasty – kaolinit. Minerał ten ma najintensywniejszy refleks dla wartości $d=7,18 \text{ \AA}$ $2\Theta=14,3^\circ$. Jest on widoczny na dyfraktogramie próbki nr 1 (33/10; ryc. 36). Innym zidentyfikowanym minerałem ilastym są smektyty, a ich najczęściej spotykany przedstawiciel to montmorylonit. Jego najintensywniejszy refleks dla $d=15,0 \text{ \AA}$ $2\Theta=6,83^\circ$ zaobserwowano dla próbek 1 (33/10), 2 (14/11), 8 (6/11) i 9 (6/11) ryc. 36. W tej samej pozycji dużo słabsze refleksy widoczne są na dyfraktogramie próbki 4 (15/10).

Ostatnim zidentyfikowanym minerałem jest amfibol. Najsilniejszy refleks tej fazy krystalicznej obserwowano dla $d=8,41 \text{ \AA}$ $2\Theta=12,2^\circ$ oraz $d=3,12 \text{ \AA}$ $2\Theta=33,3^\circ$, na dyfraktogramach próbek 1 (33/10), 2 (14/11), 5 (15/10), 6 (7/11) (ryc. 36).

Ceramika średniowieczna

W ceramice średniowiecznej podstawowe fazy krystaliczne, zidentyfikowane za pomocą dyfrakcji rentgenowskiej, to – podobnie jak w wypadku ceramiki pradziejowej – kwarc oraz minerały z grupy skaleni (ryc. 37). Minerały te mają najsilniejsze refleksy na uzyskanych dyfraktogramach. Na podstawie względnej intensywności refleksów minerałów z grupy skaleni można stwierdzić, że w większości dominują skalenie alkaliczne nad sodowo-wapniowymi. Jednak w wypadku próbki 10 (6/11) czy przede wszystkim 11 (14/10) zdecydowanie silniejsze refleksy plagioklazów wskazują na ich znaczny udział (ryc. 37).

Obok w/w faz krystalicznych na dyfraktogramie próbki 11 (14/10) obserwowano refleks dla $d=14,08 \text{ \AA}$ $2\Theta=6,7^\circ$ (ryc. 37). Charakteryzuje się on relatywnie słabą intensywnością, a jego istnienie może wskazywać na obecność chlorytu i/lub smektytu.

Zarejestrowanie refleksu dla $d=7,07 \text{ \AA}$ $2\Theta=14,5^\circ$ jednoznacznie wskazuje na ten pierwszy.

Kolejny refleks widoczny na dyfraktogramie znajduje się w pozycji $2\Theta=10,3^\circ$ ($d=10,00 \text{ \AA}$). Jest on relatywnie silny w wypadku próbek 10 (6/11), 11 (14/10) i 12 (23/10), znacznie słabszy w próbkach 13 (27/10) i 15 (19/09), a w próbce 14 (17/09) się go w ogóle nie obserwuje (ryc. 37). Jego obecność wskazuje na występowanie w składzie w/w próbek ceramiki illitu/muskowitu, co potwierdza refleks dla $d=5,02 \text{ \AA}$ $2\Theta=20,5^\circ$ (ryc. 37).

Ostatnią zidentyfikowaną fazą krystaliczną jest spinel. Jego najsilniejszy refleks występuje dla $d=2,47 \text{ \AA}$ $2\Theta=42,46^\circ$, chociaż w wypadku badanych próbek ceramiki pokrywa się on z silnym refleksem kwarcowym. Jednak widoczne na dyfraktogramie próbki 14 (17/09) refleksy dla $d=2,90 \text{ \AA}$ $2\Theta=35,93^\circ$ oraz dla $2,05 \text{ \AA}$ $2\Theta=51,74^\circ$ potwierdzają obecność tego składnika w tej próbce (ryc. 37).

BADANIA TERMICZNE

Ceramika pradziejowa

W wypadku wszystkich próbek ceramiki pradziejowej widoczne jest relatywnie szerokie ugięcie krzywej wagowej DTG (pierwsza pochodna krzywej wagowej TG), wskazujące na zachodzącą utratę masy. Procesowi temu towarzyszy efekt endotermiczny (ryc. 38÷46), którego maksimum, w zależności od próbki, wypada w temperaturze 74–92°C. Zarejestrowana utrata masy zmienia się dla poszczególnych próbek, jest jednak niewielka i zawiera się w granicach 1,33–3,03% wag. (tab. 6). Zarówno maksimum reakcji termicznej, jak i maksimum intensywności utraty masy nigdy nie przekraczają temperatury 120°C, zmieniając swe położenie w zależności od próbki (ryc. 38÷46). Proces ten należy interpretować jako efekt oddawania wody niezwiązanej (higroskopijnej), a zróżnicowanie wynika przypuszczalnie z różnego stopnia zawilgocenia próbek. Wprawdzie w temperaturze powyżej 100°C minerały ilaste ulegają dehydratacji, jednak wydaje się mało prawdopodobne obserwowanie dehydratacji w materiale, który podlegał już intensywnej obróbce cieplnej, a struktura minerałów ilastych została bezpowrotnie zniszczona. Z drugiej strony krzywa DTG ma swój punkt przegięcia dopiero około 200°C (ryc. 38÷46), co wskazywałoby na fakt, że jakaś substancja aktywna termicznie (poza wodą niezwiązaną) ulega przemianom; wydaje się najbardziej prawdopodobne, że są to minerały

Tabela 6. Zestawienie utraty masy w poszczególnych przedziałach temperaturowych. (Zakresy temperaturowe za: Moropoulou, Bakolas, Bisbikou 1995, s. 743–753).

Próbka nr	Utrata masy [% wag.]						
	<120°C	120–200°C	200–400°C	400–600°C	600–650°C	>650°C	40–1000°C
1	1,325	1,001	1,031	1,280	0,576	0,930	6,143
2	2,011	1,686	1,423	1,127	0,345	0,736	7,328
3	2,137	1,791	1,506	1,060	0,258	0,333	7,085
4	2,065	1,452	1,354	1,147	0,342	0,715	7,075
5	1,943	2,445	1,625	0,793	0,208	0,579	7,593
6	2,226	1,977	1,835	2,180	1,314	1,025	10,557
7	1,620	1,707	1,495	0,645	0,180	0,441	6,088
8	2,262	1,870	1,498	1,171	0,321	0,477	7,599
9	3,030	2,637	2,313	1,503	0,376	0,632	10,491

ilaste. Powyżej 200°C obserwujemy dalszy powolny i jednostajny spadek masy analizowanych próbek, do około 300°C nie obserwuje się ugięć krzywej DTG (ryc. 38÷46). Pewne reakcje termiczne można zaobserwować na krzywej pochodnej przepływu ciepła (DDSC). Są to niewielkie zafalowania krzywej tuż po przekroczeniu 200°C (ryc. 38÷46). Trudno je jednoznacznie przypisać konkretnej fazie mineralnej, choć ich położenie sugeruje, że mogą one wynikać z procesu dehydratacji smektytów. Jednak brak wyraźnego efektu wagowego i niewielka utrata masy wskazują, że proces ten ma marginalne znaczenie.

Znacznie lepiej zaznaczony efekt termiczny rejestrują próbki w temperaturze 320–340°C (ryc. 38÷46). Jest to temperatura, w której dysocjacji termicznej ulegają hydroksotlenki żelaza. Jednak proces ten nie ma swojego odniesienia w przebiegu krzywej DTG i przełożenia na zwiększoną utratę masy (tab. 6). Stąd można przypuszczać, że składnika tego w próbkach jest relatywnie bardzo mało. Zatem wykazywaną przez próbki utratę masy w zakresie 200–400°C należy w przeważającej większości przypisać rozpadowi struktury minerałów ilastych. Większość próbek w temperaturze około 440–480°C wykazuje dość dobrze zaznaczony, widoczny w postaci szerokiej endotermii efekt termiczny (ryc. 38, 39, 41, 43). Ma on swe odniesienie w postaci dość wyraźnego przegięcia krzywej DTG. Efekty te należy uznać za zapis procesu dehydroksylacji minerałów ilastych. Brak w tym zakresie ugięć krzywej DDSC wykazują próbki ceramiki 3 (33/10), 5 (15/10) i 7 (7/11) (ryc. 40, 42, 44). Jednocześnie próbki te, w porównaniu do pozostałych,

charakteryzują się wyraźnie mniejszą utratą masy w zakresie 400–600°C (tab. 6).

Kolejną reakcją termiczną doskonale widoczną na wszystkich otrzymanych termogramach próbek pradziejowych (ryc. 38÷46) jest silnie zaznaczony efekt endotermiczny w temperaturze około 570–572°C. Efektowi termicznemu nie towarzyszy żaden intensywny efekt wagowy. Stąd można interpretować to jako wynik przemiany polimorficznej kwarcu (niskotemperaturowego w wysokotemperaturowy).

Próbka nr 1(33/10) wykazuje dość dobrze widoczne efekty: endotermiczny i wagowy z maksimum w temperaturze (odpowiednio) 611°C i 620°C (ryc. 38). Mogą one być spowodowane dysocjacją termiczną niewielkich ilości węglanów wapnia lub wskazywać na obecność niewielkich ilości chlorytów. Powyżej tej temperatury w większości wypadków widoczne na krzywej DDSC zafalowania spowodowane są nierównomiernym przepływem ciepła pomiędzy próbką, tygłem i termoparą. Wskazuje na to brak zarejestrowanych efektów wagowych na krzywej DTG. Jedynie w wypadku próbki 4 (15/10) lekkie jej ugięcie z maksimum w temperaturze 758°C (ryc. 41) może sugerować dysocjację składników aktywnych termicznie, prawdopodobnie chlorytów. Część próbek ceramiki (1 (33/10), 4 (15/10), 6 (7/11) i 9 (6/11)) rejestruje istotną utratę masy, uwidocznioną w postaci silnego ugięcia krzywej DTG w temperaturze powyżej 900°C (ryc. 38, 43, 46). Prawdopodobnie jest to efekt dysocjacji termicznej muskowitu lub jego mikrokrystalicznej formy, tj. serycytu. Są to jednocześnie próbki, które na tle innych wykazują zwiększoną utratę masy w temperaturze powyżej 650°C (tab. 6).

Sumaryczna utrata masy próbek podczas badania, w całym zakresie temperaturowym (40–995°C) jest stosunkowo niewielka, zamyka się w dość wąskim przedziale 6,0–10,5% wag., przy średniej dla wszystkich wynoszącej 7,77% wag. (tab. 6).

Ceramika średniowieczna

Ceramika średniowieczna wykazuje w niskich zakresach pomiaru bardzo zbliżone efekty wagowe i termiczne, jak te obserwowane w wypadku próbek ceramiki pradziejowej (fig 47÷52 5; tab. 7). Można zaobserwować efekty oddawania przez próbki wody higroskopijnej czy oznaki potencjalnej obecności smektytów. W wypadku próbek 10 (6/11), 11 (14/10) i 12 (23/10) dalszy przebieg krzywych, powyżej 200–300°C, jest zbliżony do przebiegu dla próbek ceramiki pradziejowej (ryc. 47, 48, 49). Efekty widoczne około 320–340°C również należy uznać za wynik procesu dysocjacji termicznej hydroksotlenków żelaza, nakładającego się na powolny rozpad pozostałości minerałów ilastych. Utrata masy w zakresie 200–400°C jest zbliżona, przekracza nieco 1% wag., w wypadku próbki 12 (23/10) osiągając wartość zbliżoną do 2% wag. (tab. 7). Odmienne na tym tle wypadają próbki 13 (27/10), 14 (17/09) i 15 (19/09). Tu utrata masy w w/w zakresie to jedynie kilka dziesiątych procenta wagowego (tab. 7). Jednocześnie dość dobrze jest zaznaczony efekt wagowy powyżej 300°C, który odpowiada dysocjacji hydroksotlenków żelaza. Stąd można uznać, że w wypadku próbek 13 (27/10), 14 (17/09) i 15 (19/09) reakcja rozpadu minerałów ilastych jest nikła lub wręcz nie zachodzi. W próbkach 10 (6/11) i 11 (14/10) jest ona dość dobrze widoczna i kończy się ugięciem krzywej DTG w temperaturze około 560–550°C (ryc. 47÷52).

Typową reakcją jest przemiana polimorficzna kwarcu, zachodząca w temperaturze 570–573°C, obserwowana dla wszystkich próbek ceramiki średniowiecznej (ryc. 47÷52). Lekko nachylona krzywa DTG próbki 11 (14/10) w zakresie 600–800°C wskazuje na rozpad fazy aktywnej termicznie, być może chlorytów (ryc. 48).

Niewielka, choć dość dobrze zaznaczona utrata masy w temperaturze powyżej 900°C, obserwowana jako silne ugięcie krzywej DTG na termogramach próbek 12 (23/10) i 14 (17/09) (ryc. 49, 51), pochodzi zapewne od rozpadu muskowitu czy też jego mikrokrystalicznej formy – serycytu.

Sumaryczna utrata masy dla próbek średniowiecznych, w pełnym zakresie temperaturowym 40–995°C jest zmienna w dużym zakresie (tab. 7). Próbki 11 (14/10) i 12 (23/10) wykazują znaczną utratę masy, około 6–8% wag., zbliżoną do wartości typowych dla ceramiki pradziejowej. Odmienne na ich tle wypadają próbki 13 (27/10), 14 (17/09) i 15 (19/09), gdzie całkowita utrata masy nie przekracza 2% wag.

DYSKUSJA

Na podstawie wykonanych obserwacji mikroskopowych oraz badań instrumentalnych, obejmujących badania termiczne oraz badania metodą dyfrakcji rentgenowskiej, można generalnie stwierdzić, że badane próbki wykazują szereg różnicujących cech petrograficzno-mineralogicznych. Stwierdzony skład petrograficzny badanych wyrobów ceramicznych wskazuje, że do produkcji większości z nich posłużył surowiec ilasto-pyłowy, zawierający podrzędną ilość ziaren frakcji piaszczystej, gdzie ziarna składników okruczowych wykazują widoczne wyoblenie. Taki charakter ma większość próbek

Tabela 7. Zestawienie utraty masy w poszczególnych przedziałach temperaturowych. (Zakresy temperaturowe za: Moropoulou, Bakolas, Bisbikou 1995, s. 743–753).

Próbka nr:	Utrata masy [% wag.]						
	<120°C	120–200°C	200–400°C	400–600°C	600–650°C	>650°C	40–1000°C
10	1,807	1,953	1,633	0,879	0,233	0,566	7,071
11	1,698	1,251	1,179	1,020	0,292	0,573	6,013
12	1,716	1,846	1,945	1,110	0,277	1,570	8,464
13	0,105	0,113	0,334	0,222	0,062	0,024	0,860
14	0,207	0,187	0,660	0,383	0,079	0,487	2,003
15	0,088	0,138	0,502	0,164	0,016	0,095	1,003

ceramiki pradziejowej. Wyjątek stanowi próbka 9 (6/11), zawierająca bardzo mało składnika nieplastycznego, czy zbliżona do niej próbka 4 (15/10), gdzie występujące ziarna składnika nieplastycznego nie wykazują oznak wyoblenia. Wynika to przypuszczalnie z faktu zastosowania tłustego surowca ilastego (szczególnie w wypadku próbki 9 (6/11)), możliwe, że wręcz pozbawionego składników nieplastycznych (okruchowych). We wszystkich próbkach ceramiki pradziejowej zastosowano dodatek ostrokrawędzistych i o znacznych rozmiarach okruchów kruszonej skały o granitoidowym składzie, prawdopodobnie pozyskanych z tłuczonych narzutniaków polodowcowych. Podobną genezę mają akcesorycznie występujące kryształy amfiboli czy blaszki biotyту, pochodzące z rozkruszonych fragmentów tych skał.

Bardzo podobna do sposobu wyrobu ceramiki pradziejowej technologia została wykorzystana w wypadku próbek ceramiki średniowiecznej oznaczonych numerami 10 (6/11), 11 (14/10) i 15 (19/09). Tu również podstawowym składnikiem był surowiec ilasty, zawierających okruchy frakcji pyłowej i – w mniejszym stopniu – piaszczystej. Całość schudzona została tłuczoną skałą o granitoidowym składzie. Całkowicie odmienny charakter miały próbki ceramiki średniowiecznej 12 (23/10), 13 (27/10) i 14 (17/09). W wypadku tych próbek zaobserwowano znacznie mniejszy udział składników nieplastycznych frakcji pyłowej, natomiast zawierały one znaczną ilość ziaren zaklasyfikowanych do frakcji piaszczystej. Przypuszczalnie do ich wyrobu, podobnie jak to stwierdzono w wypadku próbki 9 (6/11), zastosowano tłusty surowiec ilasty. W odróżnieniu od innych próbek, zawierających liczne ostrokrawędziste fragmenty granitoidów (tłuczeń granitowy), surowiec ilasty został schudzony dodatkiem piasku kwarcowego o charakterystycznych dobrze obtoczonych kształtach, przypuszczalnie reprezentującego piaski eoliczne (wydmowe), rzeczne lub piaski sandrowe.

W składzie zastosowanego surowca ilastego odnotowano obecność różnych składników mineralnych. Jednym z nich były widoczne mikroskopowo niewielkie blaszki jasnej miki (muskowitu), wykształcone pod postacią serycytu. Znajdowały się one w surowcu ilastym większości próbek ceramiki pradziejowej, co potwierdzają zarówno badania mikroskopowe, jak i wyniki analizy termicznej. Składnik ten miał charakter podrzędny, nie zaobserwowano go w próbce 3 (33/10).

Odmienne na tle próbek pradziejowych wypadają próbki ceramiki średniowiecznej. Tu muskowitz

zaobserwowano wyłącznie w ceramice 10 (6/11), dodatkowo jego obecność potwierdzają badania termiczne w próbkach 12 (23/10) i 14 (17/09). Różnice pomiędzy obserwacjami mikroskopowymi i badaniami termicznymi wynikają zapewne z faktu, że w części próbek serycyt był na tyle drobno-kryształiczny, że choć został potwierdzony metodami termicznymi, to nie był dostrzegalny w obrazie mikroskopowym. Sytuację odwrotną, gdy obserwowany był mikroskopowo, a badania termiczne nie potwierdziły jego obecności, można tłumaczyć niewielką ilością tego składnika, niewystarczającą do zapisania się na krzywych termicznych i wagowych. W tym ostatni przypadku zapewne tworzył on nieliczne, choć znacznie większe w porównaniu do muskowitzu blaszki serycytowe.

Innym charakterystycznym, choć – podobnie jak muskowitz – podrzędnym składnikiem surowca ilastego były skupienia glaukonitu. W próbkach występują one zazwyczaj w postaci widocznych mikroskopowo, przeobrażonych termicznie agregatów, choć sporadycznie, w próbkach pradziejowych, obserwowano również osobniki o cechach optycznych typowych dla relatywnie świeżego glaukonitu. Składnik ten obecny był w próbkach 3 (33/10), 5 (15/10), 6 (7/11), 7 (7/11), 8 (6/11), 14 (17/09) i 15 (19/09).

Na podstawie uzyskanych danych, przede wszystkim z dyfrakcji rentgenowskiej, można stwierdzić że jednym z istotnych składników surowca ilastego był illit i/lub muskowitz. Wykazują one podobną strukturę krystaliczną, stąd trudno je rozróżnić za pomocą badań dyfrakcyjnych. Niemniej jednak ich obecność w składzie ceramiki sugerują zarówno badania termiczne, jak i badania metodą dyfrakcji rentgenowskiej. Refleksy na otrzymanych dyfraktogramach dla tej fazy krystalicznej obserwowano praktycznie dla wszystkich próbek, z wyjątkiem próbki 14 (17/09). Wykazywały one zróżnicowaną względną intensywność, na co zapewne miała wpływ ilość illitu, a przede wszystkim stopień obróbki termicznej. Stąd brak refleksów illitowych w próbce 14 (17/09) może wynikać z silnego wypalenia ceramiki, a nie z pierwotnego braku illitu w składzie masy ceramicznej. Rzadziej niż dyskutowany illit/muskowitz, w nikłych ilościach, w składzie ceramiki występowały inne minerały ilaste. Był to m.in. kaolinit, którego refleksy obserwowano na dyfraktogramie próbki 1 (33/10), czy minerały z grupy smektytów, stwierdzone w próbkach 1 (33/10), 2 (14/11), 8 (6/11), 9 (6/11) oraz 11 (14/10), których obecność sugerują także wyniki badań termicznych.

W części próbek ceramiki mogą występować chloryty, których obecność w niewielkich ilościach sugerują termogramy próbek 1(33/10), 4 (15/10) i 11 (14/10).

Odrębnym składnikiem surowca były minerały żelaza, prawdopodobnie występujące w formie siarczków (np. piryt). Obecne występują one w formie skrytokrystalicznej, przypuszczalnie wykształcone jako hydroksotlenki żelaza, na co wskazują uzyskane wyniki badań metodami termicznymi. Na obecność faz żelazowych wskazuje również barwa próbek po wykonanej analizie termicznej, gdzie kolor przygotowanego do analizy zmielonego materiału zmieniał się z beżowego, poprzez ceglasto-pomarańczowy, do niekiedy ceglasczerwonego, wskazując zmianę stopnia utlenienia żelaza.

Wydaje się, że wskazywana zmienność w składzie mas ceramicznych ma uzasadnienie w budowie geologicznej najbliższych okolic Starego Dzierzgonia, a właściwie w znacznej liczbie wydzieleni litologicznych, głównie związanych ze zlodowaceniami. Wśród utworów powierzchniowych dominują gliny zwałowe z wkładkami mułów i piasków zastoiskowych, tworzących pokrywy na piaskach i żwirach zastoiskowych, oraz niewielkie czapy glin zwałowych moren czołowych, zawierających także głązy, żwiry i piaski (Szałamacha 2009, s. 1–51). Lokalnie spotyka się piaski i żwiry sandrowe czy piaski i muły tarasów kemów. W obniżeniach terenu (np. dolinach cieków wodnych) odsłaniają się piaski i żwiry wodnolodowcowe oraz ily i mułki zastoiskowe. Tak znaczne zróżnicowanie litologiczne łatwo dostępnych potencjalnych surowców do wyrobu ceramiki może tłumaczyć duże zróżnicowanie w składzie przede wszystkim składników nieplastycznych.

Większość próbek ceramiki wykazuje dość dobrą reakcję na światło spolaryzowane, co szczególnie dobrze widać w ceramice pradziejowej. W przypadku tych próbek, szczególnie w próbce 9 (6/11), widoczne jest, z różnym natężeniem, równoczesne wygaszanie światła spolaryzowanego, co wskazuje, że wchodzące w ich skład minerały ilaste częściowo zachowały pierwotną strukturę krystaliczną. Podobnie zachowują się w świetle spolaryzowanym próbki ceramiki średniowiecznej, choć wśród nich występują takie, gdzie masa metalasta nie reaguje na światło spolaryzowane. Są to próbki 12 (23/10), 13 (27/10), 14 (17/09), 15 (19/09). Zapewne wynika to z silnego spiecenia czerepu, które doprowadziło do zatarcia pierwotnej struktury minerałów blaszkowych.

Wśród badanych próbek przeważająca większość charakteryzuje się jednorodnie lub prawie

jednorodnie zabarwionym czerepem, co szczególnie dobrze widoczne jest w próbkach ceramiki pradziejowej. Spośród badanych fragmentów ceramiki większość stanowią próbki, które mają szarobrunatne zabarwienie, choć poddane badaniom termicznym zmieniają je na kolor pomarańczowo-czerwony. Świadczy to o obecności żelaza, występującego w ich wypadku na niższym stopniu utlenienia. Na tej podstawie można przypuszczać, że były one zapewne wypalane w warunkach redukujących. Rzadko w grupie ceramiki pradziejowej obserwowano na zewnętrznej stronie czerepu nieco jaśniejsze, beżowopomarańczowe zabarwienie (próbki: 5 (15/10), 7 (7/11), 9 (6/11)) co ewentualnie świadczyłoby o niewielkim dostępie do atmosferycznego tlenu podczas wypału.

Znacznie większe zróżnicowanie obserwowano w wypadku próbek ceramiki średniowiecznej. Zbliżony charakter do ceramiki pradziejowej, co sugeruje również podobne warunki wypału, obserwowano dla próbki 11 (14/10). Zupełnie odmienny charakter wykazywały próbki 10 (6/11), 15 (19/09). W przekroju poprzecznym do powierzchni czerepu widoczne były pomarańczowoczerwone brzegi (wyższy stopień utlenienia żelaza) oraz ciemnoszare jądro (niższy stopień utlenienia żelaza). Jednocześnie w przekroju próbki nie wykazują zróżnicowania pod względem morfologii, ilości i składu składników nieplastycznych, co wyklucza obecność angoby i ewentualnego wielokrotnego wypału, przy różnych warunkach utleniająco-redukujących. Na tej podstawie można przypuszczać, że wypał miał miejsce w warunkach utleniających, choć był na tyle krótki, że składniki masy ceramicznej wewnątrz czerepu, w odróżnieniu od brzegów, nie zdążyły zmienić stopnia utlenienia. Ostatnie trzy próbki ceramiki średniowiecznej (12 (23/10), 13 (27/10), 14 (17/09)), o ciemnoszarym jednolitym, czerepie, wypalane były w warunkach redukujących.

Przeprowadzone badania instrumentalne pozwoliły na szacowanie warunków temperaturowych obróbki termicznej surowca, z którego wykonano badane próbki ceramiki. Ciemne zabarwienie ceramiki, poza warunkami redox, może wskazywać na generalnie wyższe temperatury obróbki termicznej (część próbek średniowiecznych), w odróżnieniu od większości jasno zabarwionych rodzajów ceramiki (wszystkie próbki pradziejowe i część średniowiecznych), co sugeruje niższą temperaturę. Tę tezę wydaje się potwierdzać reakcja masy metalastej na światło spolaryzowane, znacznie lepsza w wypadku ceramiki jasno zabarwionej, wobec braku takiej reakcji (a tym samym generalnie silnego spiecenia)

w ceramice ciemno zabarwionej. Znajduje to potwierdzenie w wysokości refleksu illitowego (001), którego intensywność zmniejsza się wraz z wzrastającą temperaturą wypału (Bertolino, Fabra 2003, s. 21–34). Jest on bardzo słaby w wypadku ciemno zabarwionej ceramiki w próbkach 13 (27/10), 14 (17/09) oraz próbki 15 (19/09). Jednocześnie w próbce 14 (17/09) zidentyfikowano spinel, fazę wysokotemperaturową powstającą kosztem rozłożonych pod wpływem wysokiej temperatury minerałów ilastych. Zakładając że proces dehydroksylacji illitu kończy się, jak się powszechnie przyjmuje, w temperaturze około 600–650°C, to większość próbek ceramiki nie przekroczyła tego zakresu temperatur. W odróżnieniu od większości rodzajów ceramiki, pojawienie się spinelu w próbce 14 (17/09) wyraźnie sugeruje obróbkę wysokotemperaturową. Powszechnie uznaje się że minerał ten powstaje w temperaturze około 850°C. W związku z tym wypał próbki 14 (17/09) musiał mieć miejsce powyżej tej granicy temperaturowej. Na tle powyższych wyników dyskusyjna wydaje się próbka 12 (23/10). Choć ciemno zabarwiona, ma dość dobrze widoczny refleks illitowy, co – podobnie jak w wypadku większości próbek ceramiki – może wskazywać, na wypał w temperaturze do 600–650°C.

Relatywnie wysokotemperaturowy wypał próbek 13 (27/10), 14 (17/09), 15 (19/09) potwierdza niewielka (na tle innych) całkowita utrata masy w trakcie badań termicznych (w całym zakresie temperaturowym). W ich wypadku było to maksymalnie 2% wag., podczas gdy pozostałe próbki ceramiki, gdzie sugerowano niższą temperaturę wypału, wykazywały wartości od 7 do 10% wag. Tak niska utrata masy zdecydowanie sugeruje, że minerały ilaste uległy prawie całkowicie dehydratacji i dehydroksylacji, co ma miejsce powyżej temperatury około 600–650°C.

WNIOSKI

Przeprowadzone badania mineralogiczno-petrograficzne wykazały, że badane próbki ceramiki wykazują istotne różnicowanie w składzie czy też technologii wypału. Szczególnie dobrze widoczne jest to przy porównaniu populacji ceramiki pradziejowej oraz ceramiki średniowiecznej. Cechą łączącą wszystkie badane próbki jest skład mineralogiczny mas ceramicznych. Głównym ich składnikiem był surowiec ilasty, bogaty w illit, niekiedy zawierający podrzędne ilości kaolinitu, smektytów

oraz przypuszczalnie chlorytów. Składniki nieplastyczne to głównie ziarna kwarcu, skaleni, okruchy skał oraz składniki akcesoryczne, w tym minerały żelaza. W większości wypadków zastosowano surowiec ilasto-pyłowy, być może reprezentujący występujące lokalnie muły zastoiskowe lub utwory glin zwałowych. Rzadziej wykorzystywano, również występujące lokalnie choć trudniej dostępne, iły zastoiskowe ubogie w składniki okruchowe. Typowym dodatkiem schudzającym do tego rodzaju ceramiki była kruszona skała głębinowa o składzie granitoidowym, pozyskana z narzutniaków lub głazów z glin zwałowych moren czołowych. Do wyrobu ceramiki (średniowiecznej) stosowano również rzadko tłuste surowce ilaste, tj. wspomniane wyżej iły zastoiskowe, schudzone piaskami kwarcowymi pozyskanymi z lokalnych złóż piasków wodnolodowcowych.

Wypał mas ceramicznych ceramiki pradziejowej prowadzony był generalnie w warunkach redukujących, przy temperaturze wypału poniżej około 600–650°C. W wypadku ceramiki średniowiecznej część próbek wykazywała podobny charakter do wspomnianej ceramiki pradziejowej. Inne wypalane były również w temperaturze do około 600–650°C, jednak w warunkach utleniających. Natomiast jedna próbka ceramiki średniowiecznej wykazywała oznaki wypału w temperaturze powyżej 850°C, w warunkach redukujących.

Bibliografia

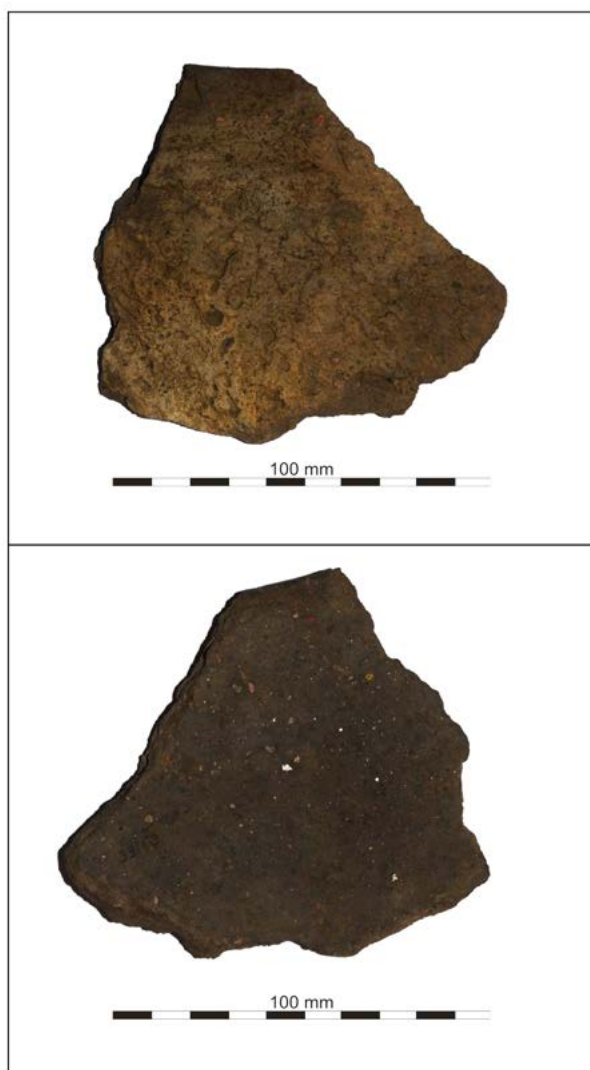
- BERTOLINO S., FABRA M.
2003 *Provenance and ceramic technology of pot sherds from ancient Andean cultures at the Ambato valley, Argentina*, „Applied Clay Science” 24, s. 21–34.
- MOROPOULOU A., BAKOLAS A., BISBIKOU K.
1995 *Thermal analysis as a method of characterizing ancient ceramic technologies*, „Thermochimica Acta” 269/270, s. 743–753.
- RATHOSI C., TSOLIS-KATAGAS P., KATAGAS C.
2004 *Technology and composition of Roman pottery in northwestern Peloponnese, Greece*, „Applied Clay Science”, vol. 24, s. 313–326.
- SZAŁAMACHA B.
2009 *Szczegółowa Mapa Geologiczna Polski w skali 1:50 000, Arkusz Dzierzgoń (133) N-34-75-B. Przedsiębiorstwo Geologiczne POL-GEOL SA, Warszawa.*

Results of the petrographic research of the prehistoric and medieval ceramic samples from the post No. 1 in Stry Dzierzgoń – Castle Hill

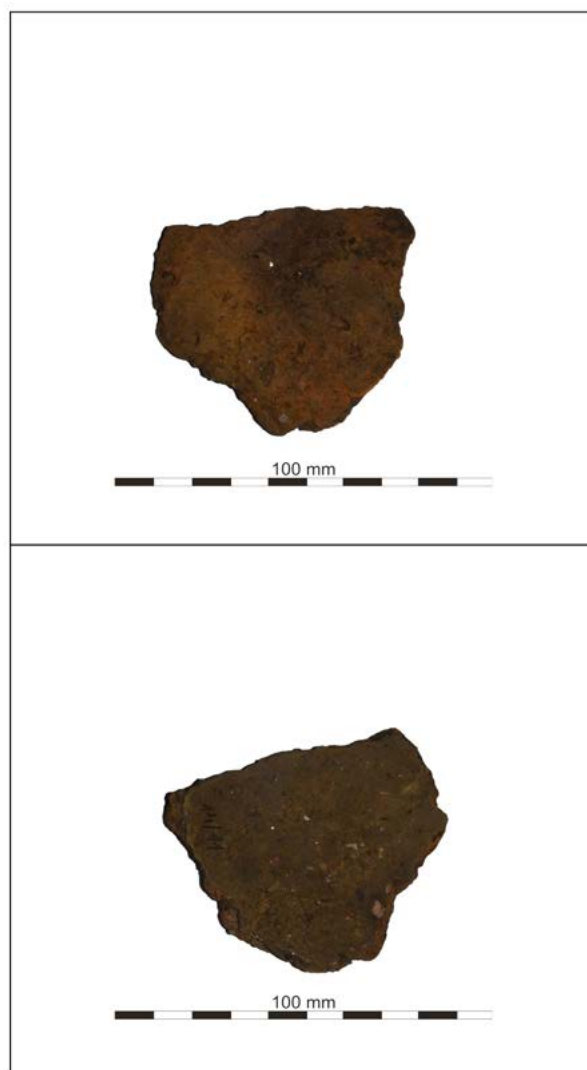
SUMMARY

Mineralogical and petrographic research was carried out for a collection of ceramic samples from a post in Stry Dzierzgoń, representing two epochs. Some of the samples came from the prehistoric period (about IV–V BC), and some from the early Middle Ages (11th–13th centuries). The numbering of the tested ceramic samples is presented in Table 1. The aim of the research was to determine the composition of the ceramic mass used for the product of the tested ceramic fragments, and the technique and temperature of firing. Mineralogical and petrographic investigations have shown that the ceramic samples tested show significant variations in the composition or technology of firing. They are particularly well visible when comparing the prehistoric ceramics population and medieval ceramics. The feature that connects all the samples studied is the mineralogical composition of the ceramic masses. The main ingredient was sera, rich in illite, sometimes containing minor amounts of kaolinite, smectites and presumably chlorites. Non-plastic components are mainly quartz grains, feldspars, rock crumbs, and accessory components, including iron minerals. In most cases, clay-dust material was used, perhaps representing locally occurring block mules or tilled clay deposits. The use of locally occurring, though less accessible, clod clay, poor in mashing components, was less frequently used. A typical slimming additive to this type of pottery was crushed rock, with a granitoid composition, obtained from tops or boulders made of boulder clays in frontal moraines. Also rarely used for the production of ceramics (medieval) used fatty greyshiles, i.e. the aforementioned clod clays, cooled with quartz sands obtained from local deposits of water-based sands.

The firing of ceramic masses of prehistoric ceramics was generally carried out under reducing conditions, with a firing temperature below about 600–650 ° C. In the case of medieval ceramics, some of the samples showed a similar character to the prehistoric ceramics mentioned. Others were also fired at temperatures up to about 600–650 ° C, but under oxidative conditions. However, one sample of medieval ceramics showed signs of firing at temperatures above 850 ° C, under reducing conditions.



Ryc. 1. Próbka 1 (33/10)¹.
Fig. 1. Sample 1 (33/10).



Ryc. 2. Próbka 2 (14/11).
Fig. 2. Sample 2 (14/11).

1. Na wszystkich fotografiach makroskopowych (1-15) górna fotografia przedstawia powierzchnię zewnętrzną, natomiast dolna – powierzchnię wewnętrzną. / In all the macro photographs (1-15) the upper photograph shows the outer surface, and the lower photograph – the inner surface.



Ryc.3. Próbką 3 (33/10).
Fig. 3. Sample 3 (33/10).



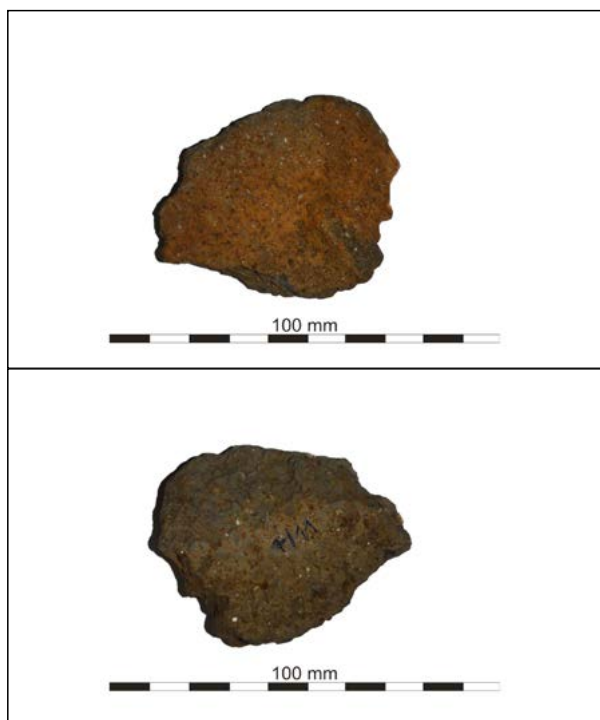
Ryc. 4. Próbką 4 (15/10).
Fig. 4. Sample 4 (15/10).



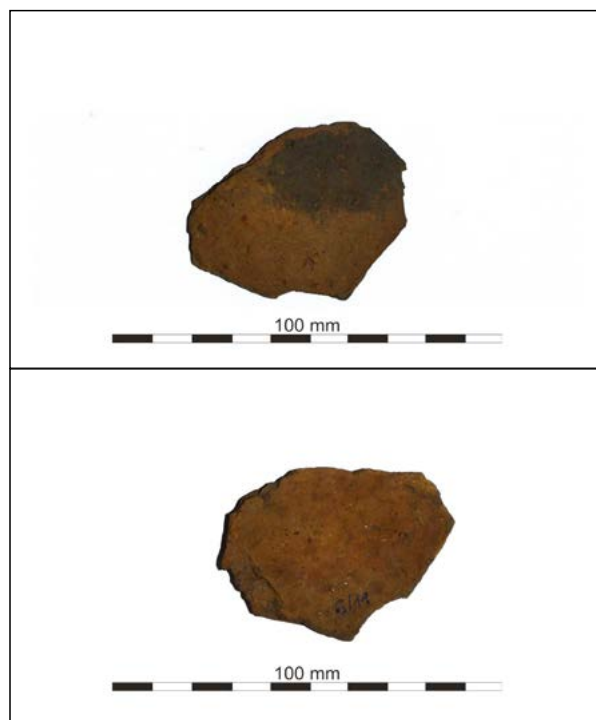
Ryc. 5. Próbką 5 (15/10).
Fig. 5. Sample 5 (15/10).



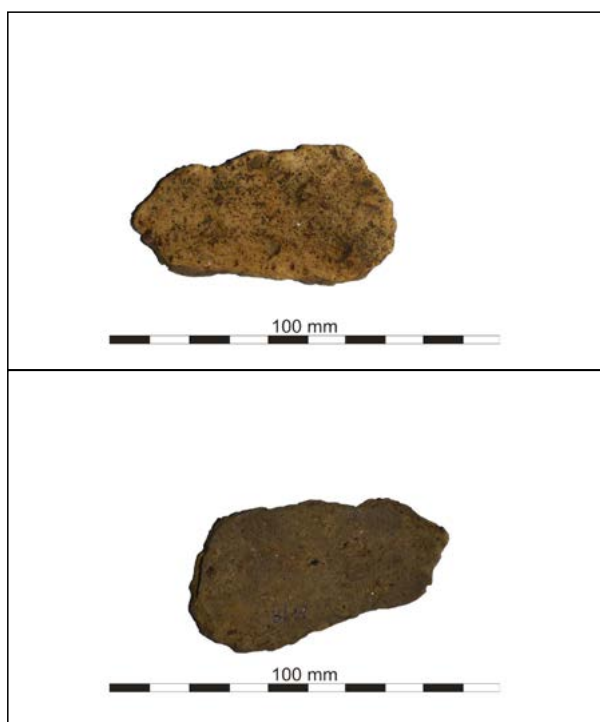
Ryc. 6. Próbką 6 (7/11).
Fig. 6. Sample 6 (7/11).



Ryc. 7. Próbką 7 (7/11).
Fig. 7. Sample 7 (7/11).



Ryc. 8. Próbką 8 (6/11).
Fig. 8. Sample 8 (6/11).



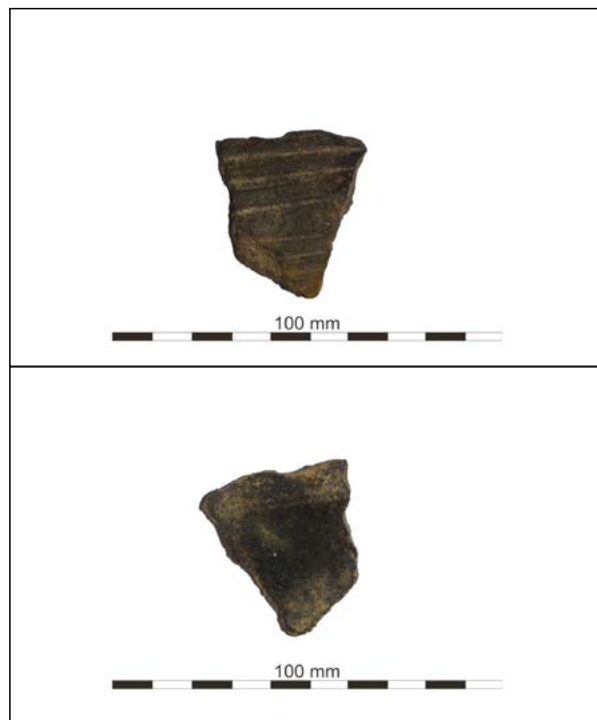
Ryc. 9. Próbką 9 (6/11).
Fig. 9. Sample 9 (6/11).



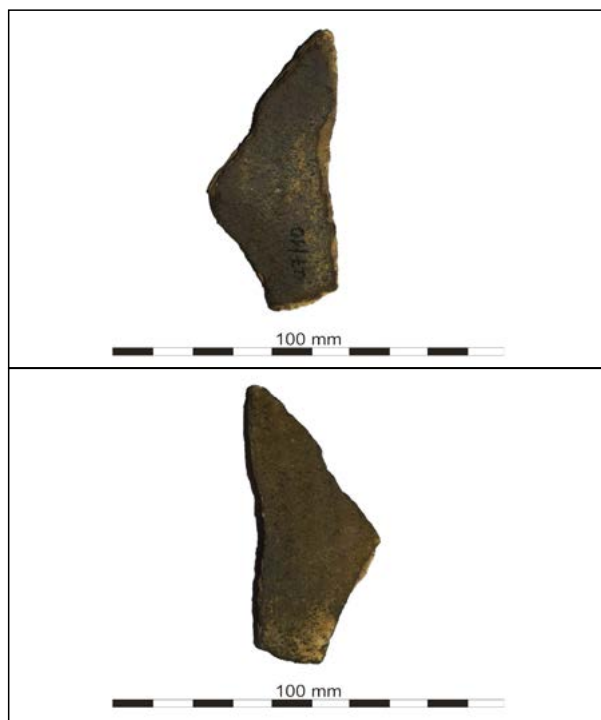
Ryc. 10. Próbką 10 (6/11).
Fig. 10. Sample 10 (6/11).



Ryc. 11. Próbką 11 (14/10).
Fig. 11. Sample 11 (14/10).



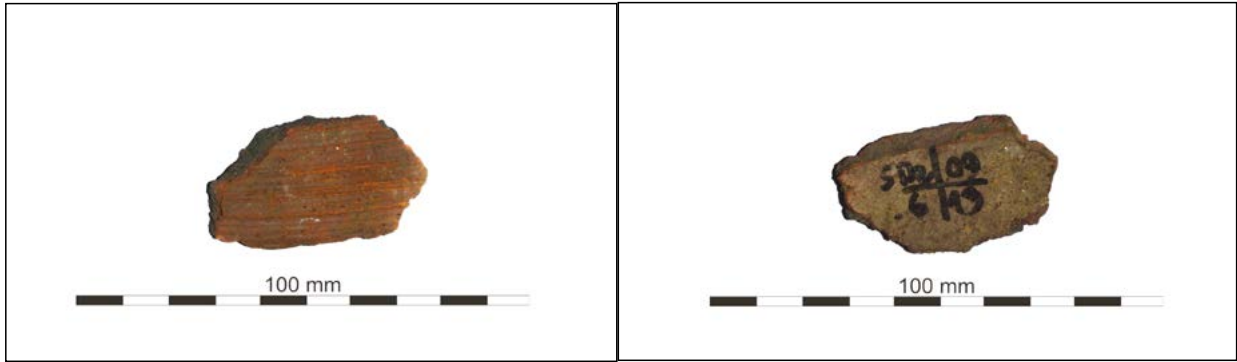
Ryc. 12. Próbką 12 (23/10).
Fig. 12. Sample 12 (23/10).



Ryc. 13. Próbką 13 (27/10).
Fig. 13. Sample 13 (27/10).

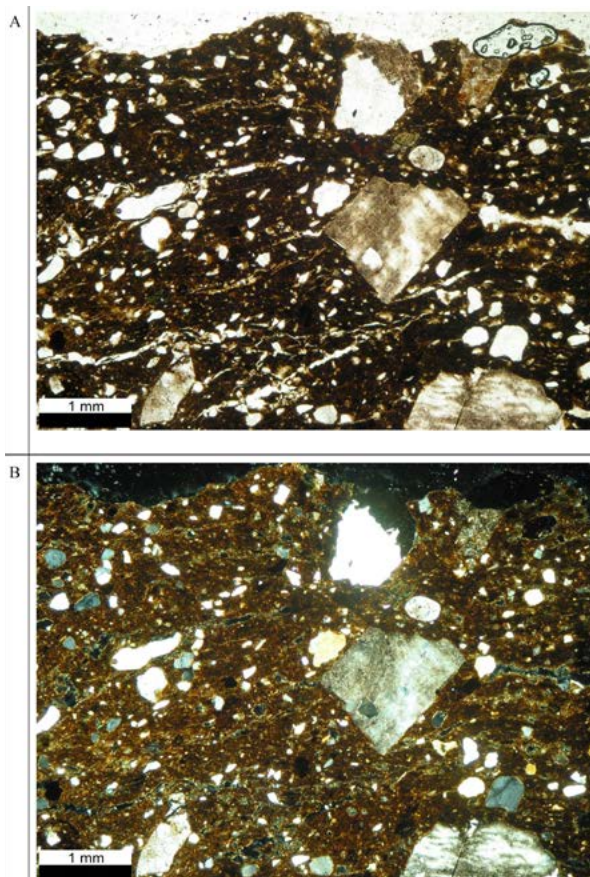


Ryc. 14. Próbką 14 (17/09).
Fig. 14. Sample 14 (17/09).



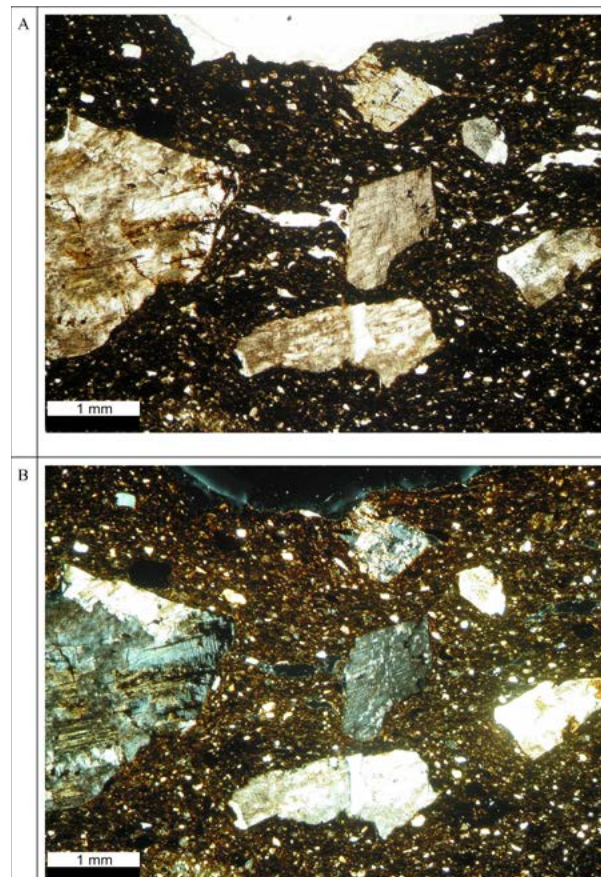
Ryc. 15. Próbką 15 (19/09).

Fig. 15. Sample 15 (19/09).



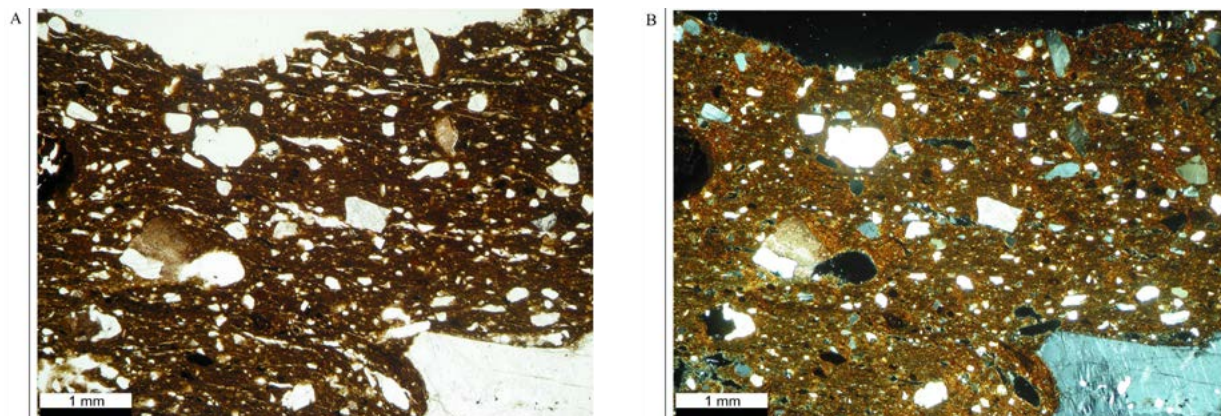
Ryc. 16. Obraz mikroskopowy próbki 1 (33/10) obserwowany przy jednym polaryzatorze (A) i dwóch, skrzyżowanych polaryzatorach (B).

Fig. 16. Microscope picture of sample 1 (33/10) observed at one polarizer (A) and two crossed polarizers (B).



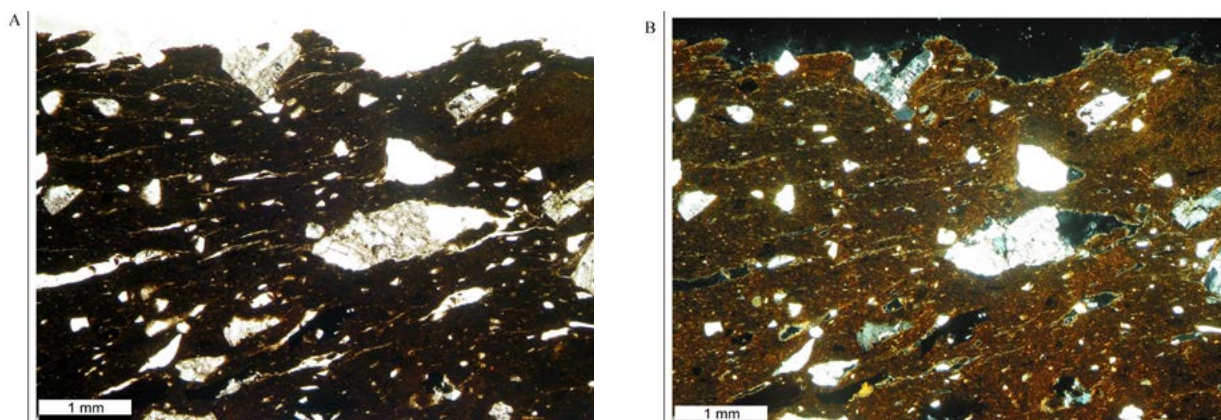
Ryc. 17. Obraz mikroskopowy próbki 2 (14/11) obserwowany przy jednym polaryzatorze (A) i dwóch, skrzyżowanych polaryzatorach (B).

Fig. 17. Microscope picture of sample 2 (14/11) observed at one polarizer (A) and two crossed polarizers (B).



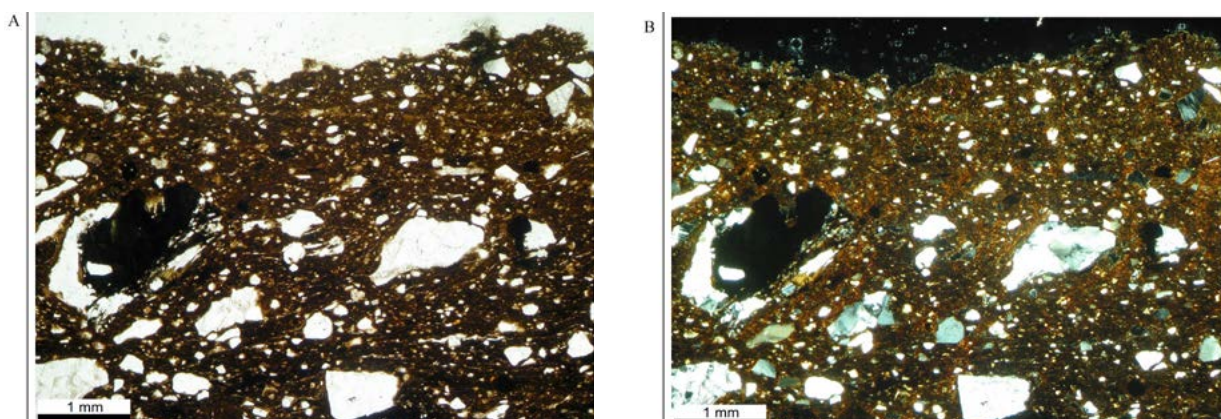
Ryc. 18. Obraz mikroskopowy próbki 3 (33/10) obserwowany przy jednym polaryzatorze (A) i dwóch, skrzyżowanych polaryzatorach (B).

Fig. 18. Microscope picture of sample 3 (33/10) observed at one polarizer (A) and two crossed polarizers (B).



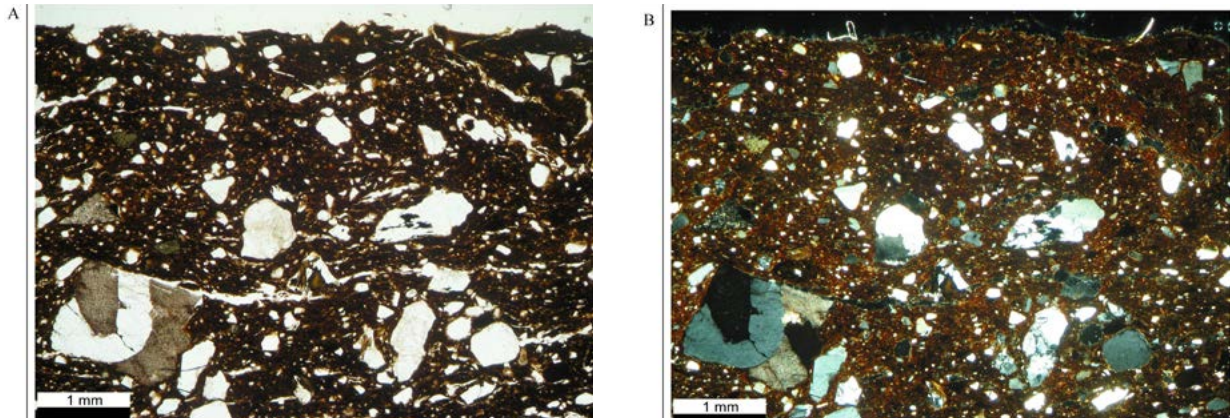
Ryc. 19. Obraz mikroskopowy próbki 4 (15/10) obserwowany przy jednym polaryzatorze (A) i dwóch, skrzyżowanych polaryzatorach (B).

Fig. 19. Microscope picture of sample 4 (15/10) observed at one polarizer (A) and two crossed polarizers (B).



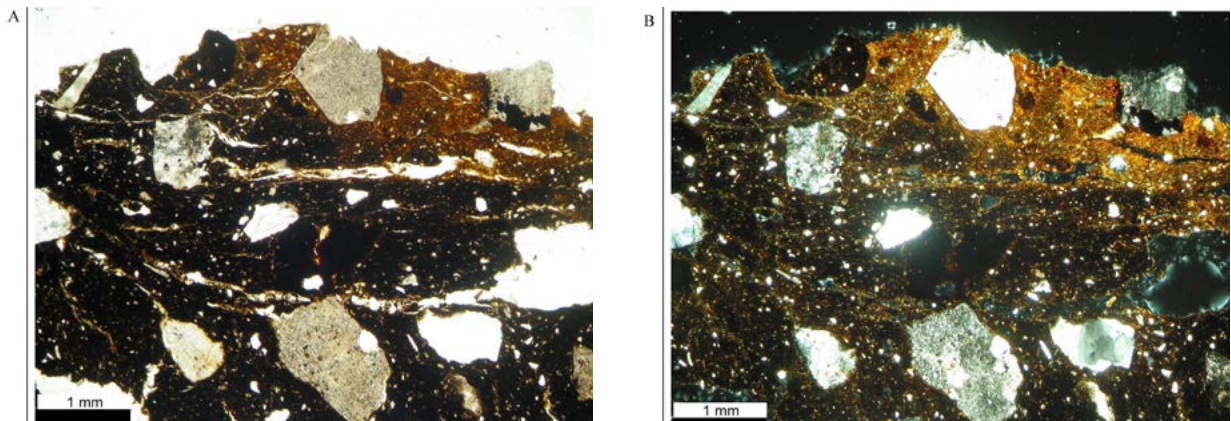
Ryc. 20. Obraz mikroskopowy próbki 5 (15/10) obserwowany przy jednym polaryzatorze (A) i dwóch, skrzyżowanych polaryzatorach (B).

Fig. 20. Microscope picture of sample 5 (15/10) observed at one polarizer (A) and two crossed polarizers (B).



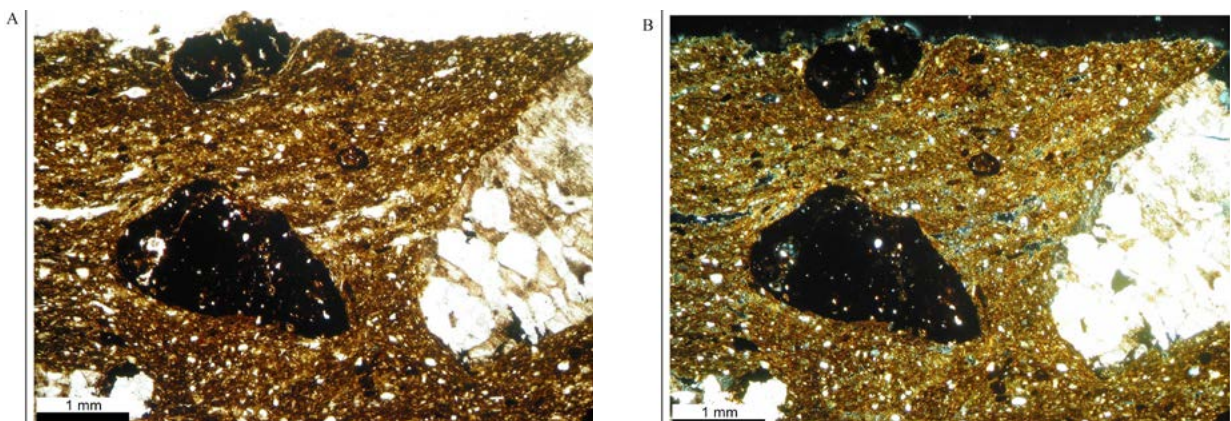
Ryc. 21. Obraz mikroskopowy próbki 6 (7/11) obserwowany przy jednym polaryzatorze (A) i dwóch, skrzyżowanych polaryzatorach (B).

Fig. 21. Microscope picture of sample 6 (7/11) observed at one polarizer (A) and two crossed polarizers (B).



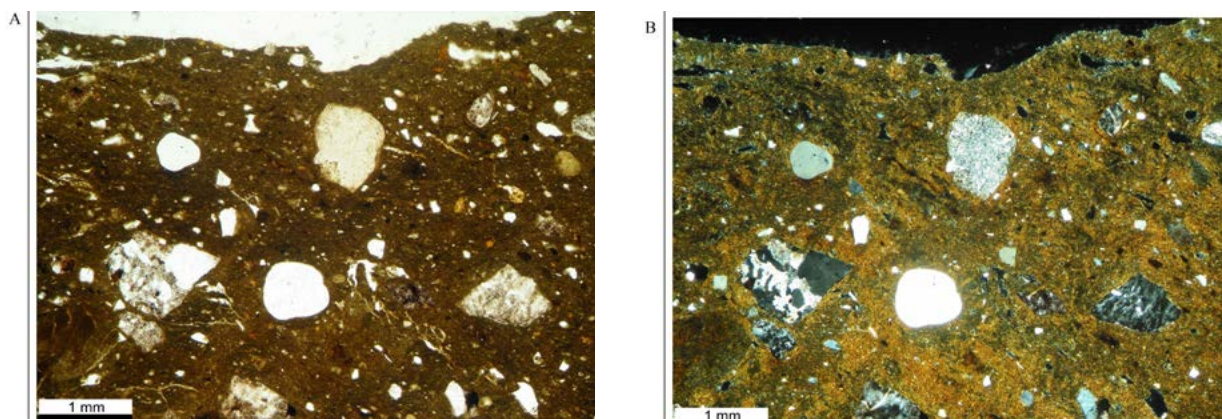
Ryc. 22. Obraz mikroskopowy próbki 7 (7/11) obserwowany przy jednym polaryzatorze (A) i dwóch, skrzyżowanych polaryzatorach (B).

Fig. 22. Microscope picture of sample 7 (7/11) observed at one polarizer (A) and two crossed polarizers (B).



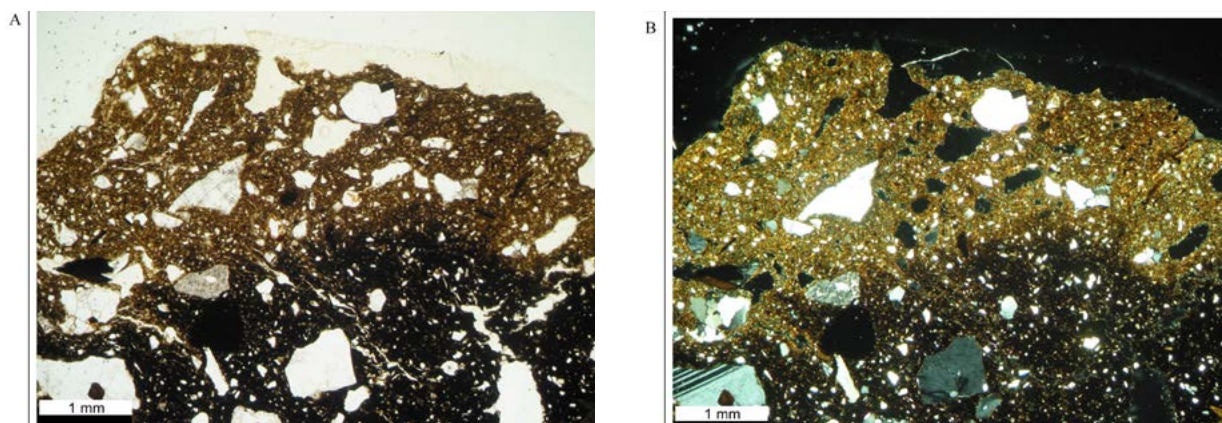
Ryc. 23. Obraz mikroskopowy próbki 8 (6/11) obserwowany przy jednym polaryzatorze (A) i dwóch, skrzyżowanych polaryzatorach (B).

Fig. 23. Microscope picture of sample 8 (6/11) observed at one polarizer (A) and two crossed polarizers (B).



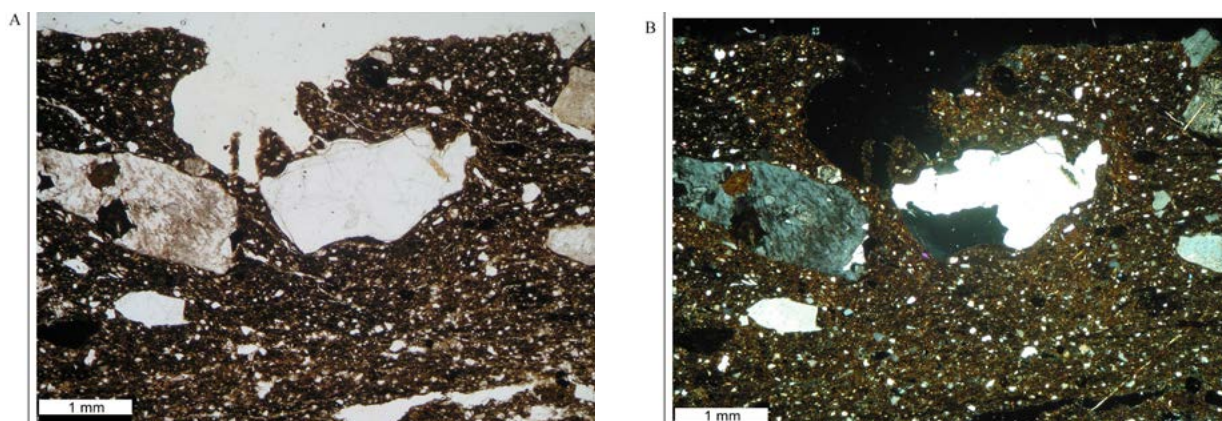
Ryc. 24. Obraz mikroskopowy próbki 9 (6/11) obserwowany przy jednym polaryzatorze (A) i dwóch, skrzyżowanych polaryzatorach (B).

Fig. 24. Microscope picture of sample 9 (6/11) observed at one polarizer (A) and two crossed polarizers (B).



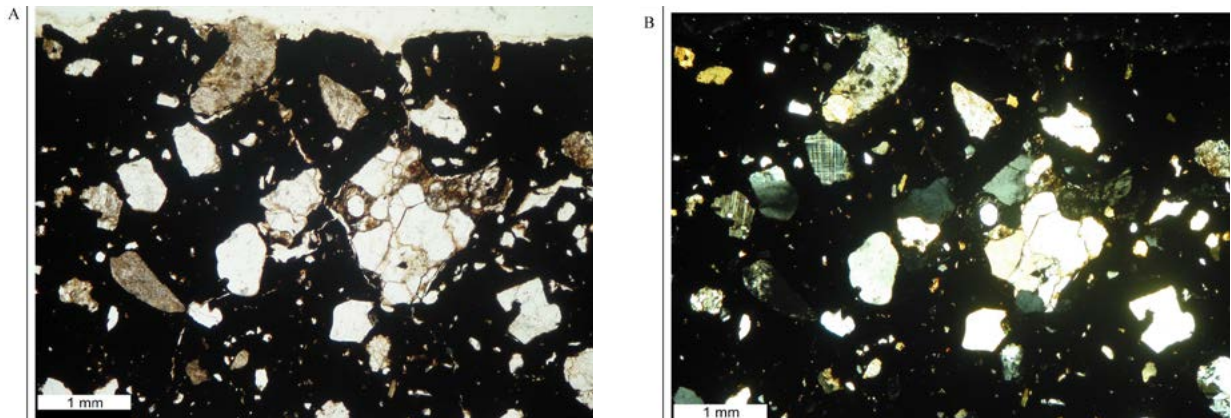
Ryc. 25. Obraz mikroskopowy próbki 10 (6/11) obserwowany przy jednym polaryzatorze (A) i dwóch, skrzyżowanych polaryzatorach (B).

Fig. 25. Microscope picture of sample 10 (6/11) observed at one polarizer (A) and two crossed polarizers (B).



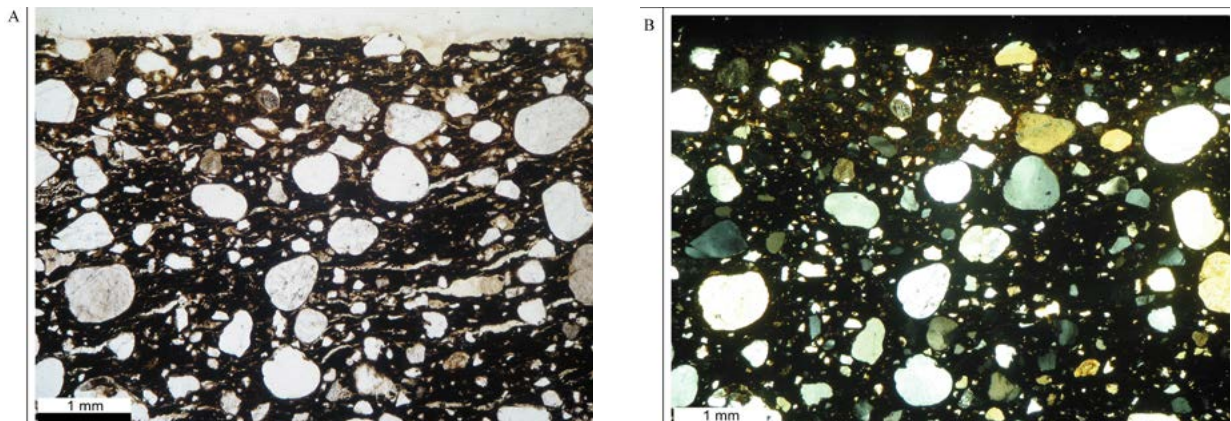
Ryc. 26. Obraz mikroskopowy próbki 11 (14/10) obserwowany przy jednym polaryzatorze (A) i dwóch, skrzyżowanych polaryzatorach (B).

Fig. 26. Microscope picture of sample 11 (14/10) observed at one polarizer (A) and two crossed polarizers (B).



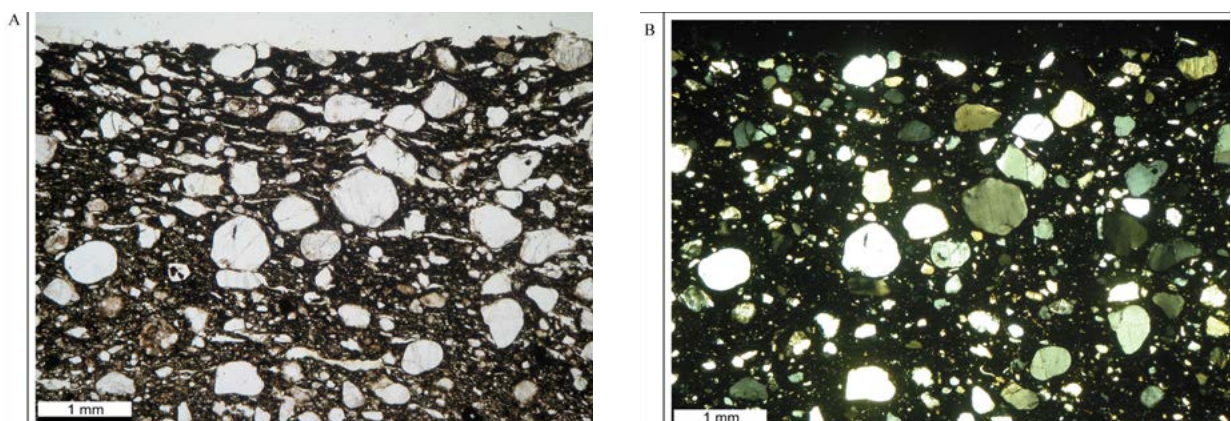
Ryc. 27. Obraz mikroskopowy próbki 12 (23/10) obserwowany przy jednym polaryzatorze (A) i dwóch, skrzyżowanych polaryzatorach (B).

Fig. 27. Microscope picture of sample 12 (23/10) observed at one polarizer (A) and two crossed polarizers (B).



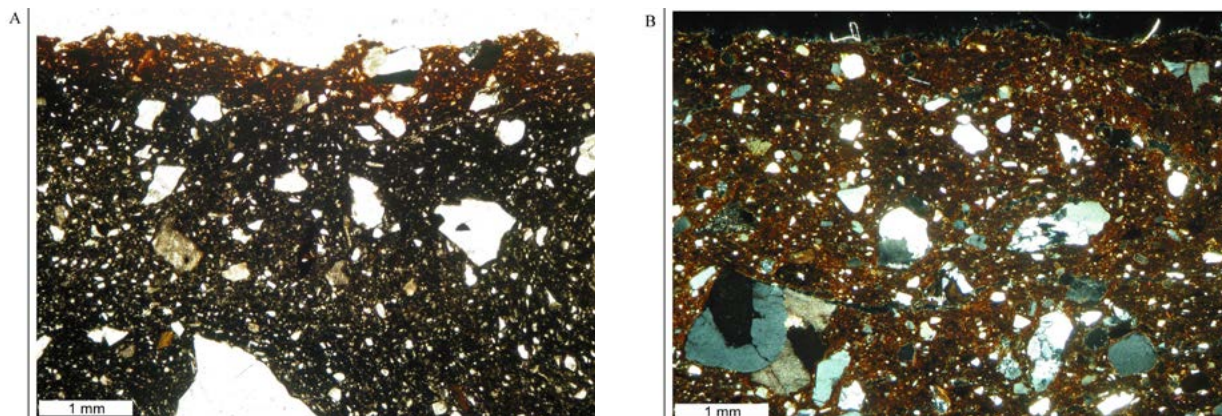
Ryc. 28. Obraz mikroskopowy próbki 13 (27/10) obserwowany przy jednym polaryzatorze (A) i dwóch, skrzyżowanych polaryzatorach (B).

Fig. 28. Microscope picture of sample 13 (27/10) observed at one polarizer (A) and two crossed polarizers (B).



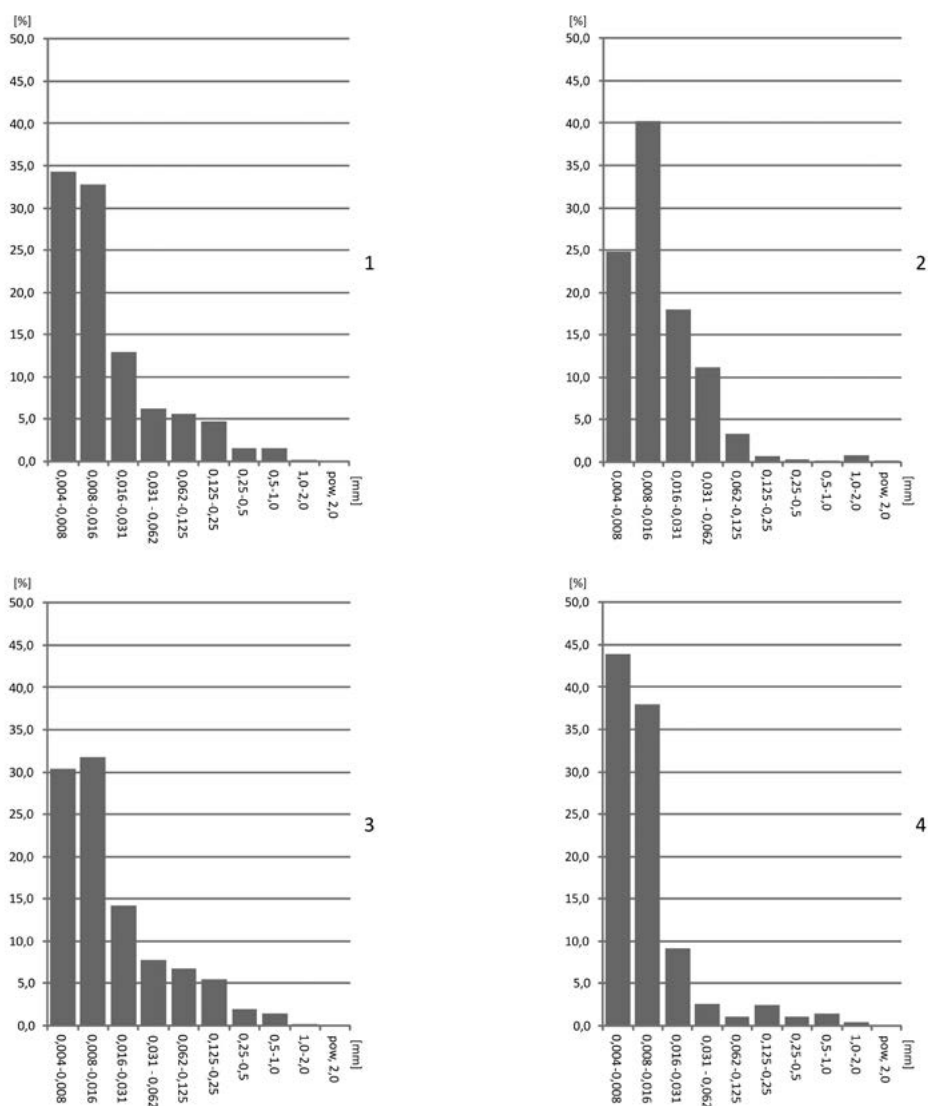
Ryc. 29. Obraz mikroskopowy próbki 14 (17/09) obserwowany przy jednym polaryzatorze (A) i dwóch, skrzyżowanych polaryzatorach (B).

Fig. 29. Microscope picture of sample 14 (17/09) observed at one polarizer (A) and two crossed polarizers (B).



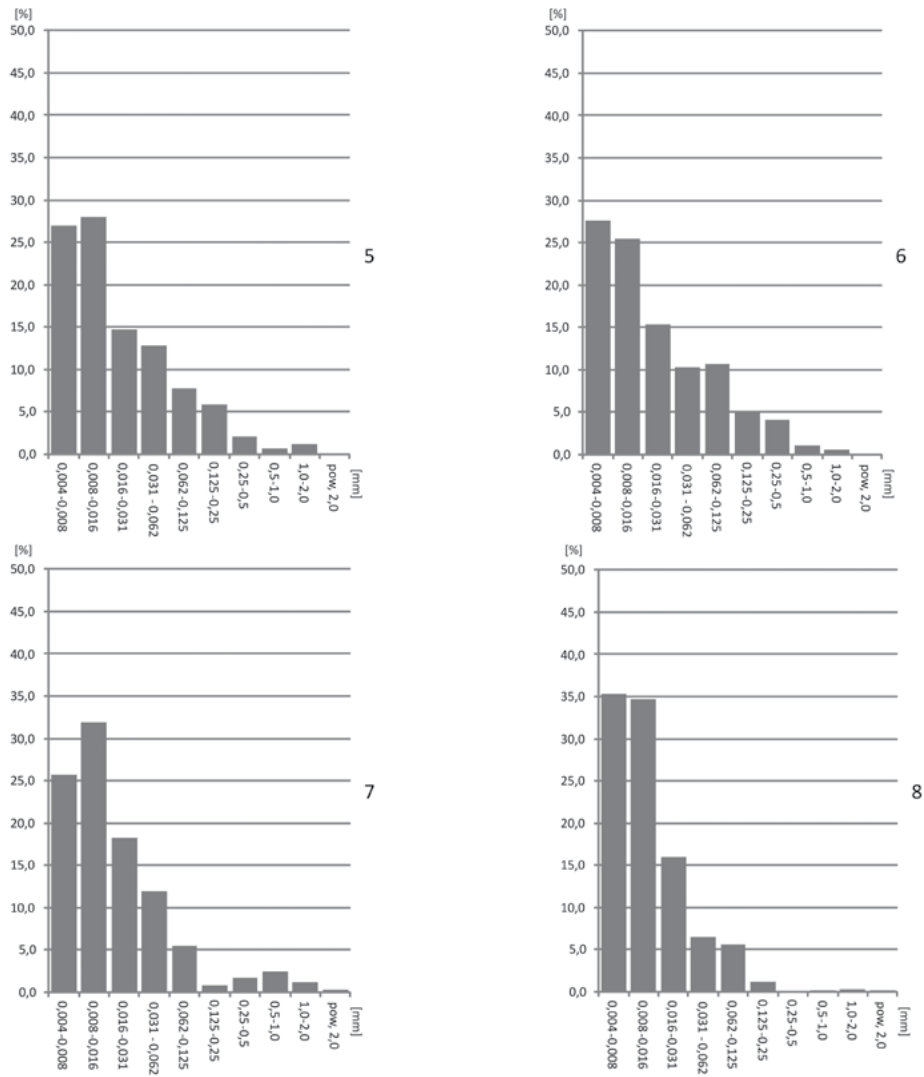
Ryc. 30. Obraz mikroskopowy próbki 15 (19/09) obserwowany przy jednym polaryzatorze (A) i dwóch, skrzyżowanych polaryzatorach (B).

Fig. 30. Microscope picture of sample 15 (19/09) observed at one polarizer (A) and two crossed polarizers (B).

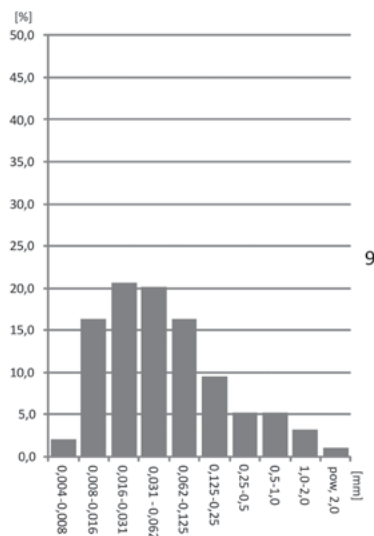


Ryc. 31. Histogramy uziarnienia próbek 1 (33/10), 2 (14/11), 3 (33/10), 4 (15/10).

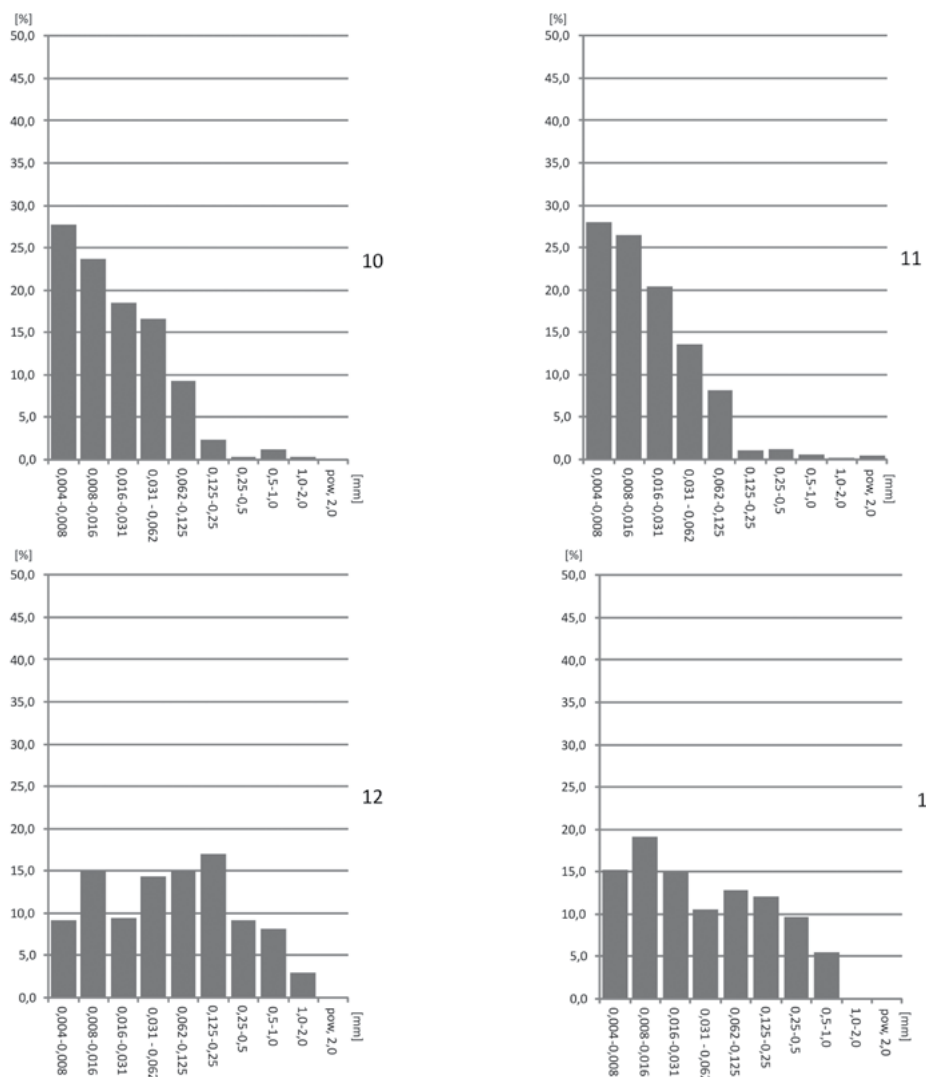
Fig. 31. Graining histograms of the samples 1 (33/10), 2 (14/11), 3 (33/10), 4 (15/10).



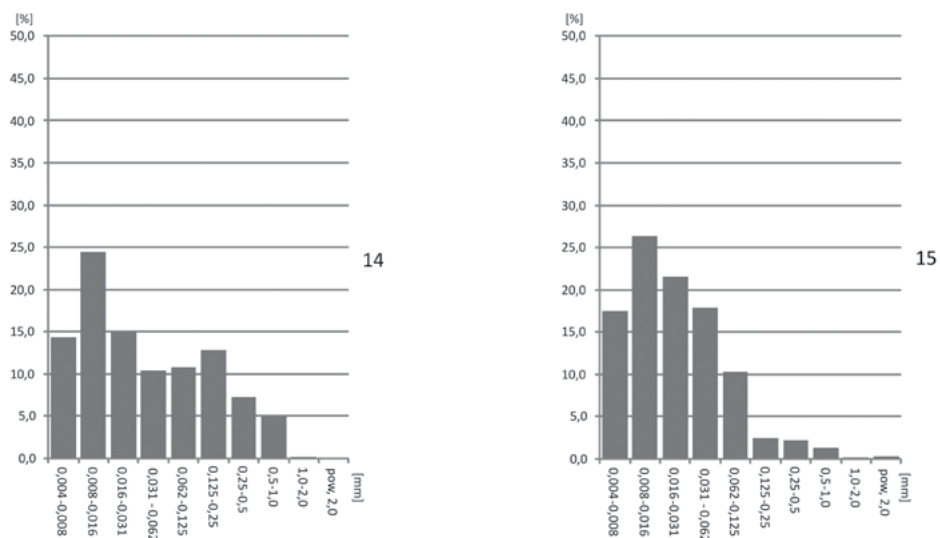
Ryc. 32. Histogramy uziarnienia próbek 5 (15/10), 6 (7/11), 7 (7/11), 8 (6/11).
 Fig. 32. Graining histograms of the samples 5 (15/10), 6 (7/11), 7 (7/11), 8 (6/11).



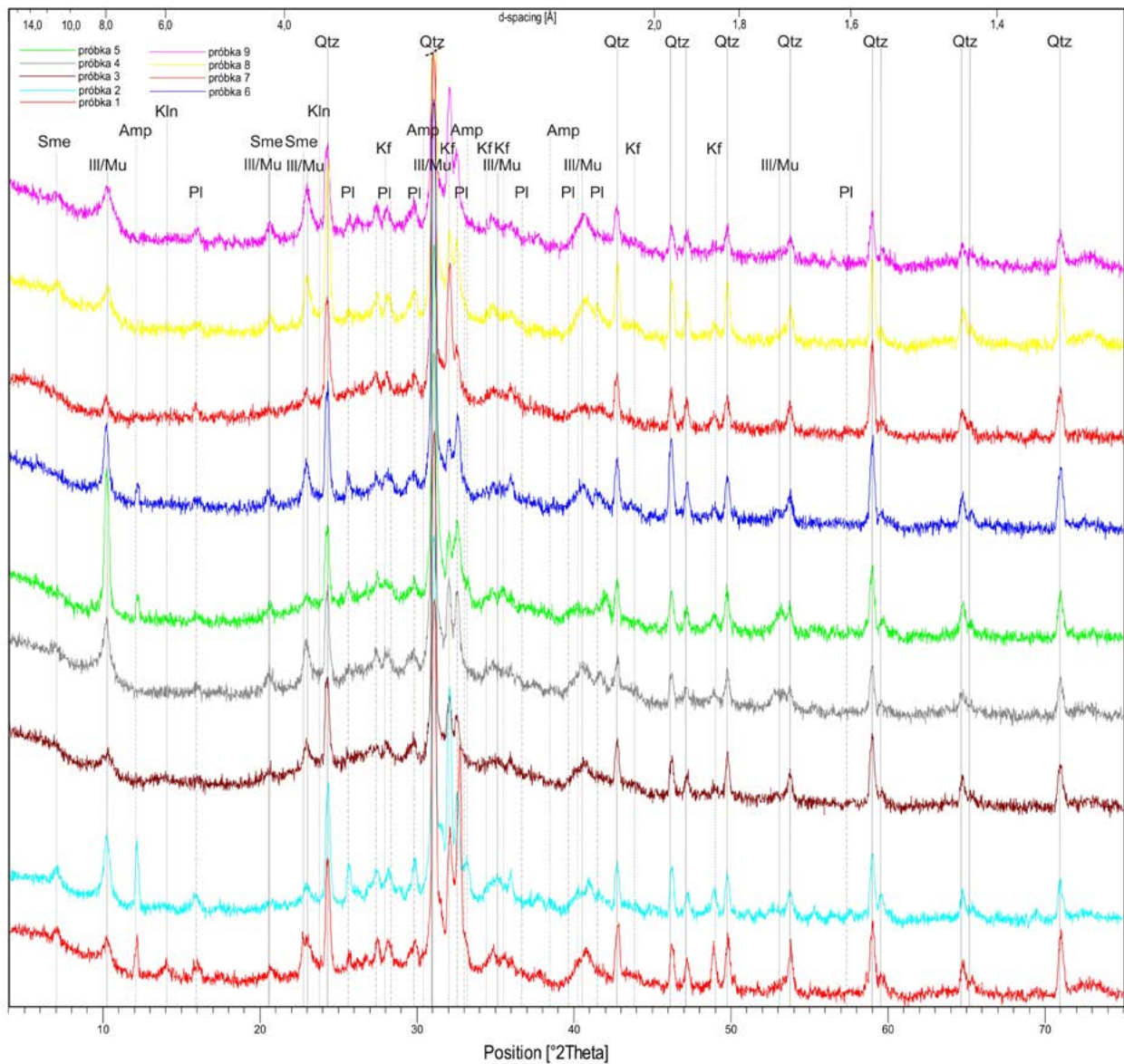
Ryc. 33. Histogram uziarnienia próbki 9 (6/11).
 Fig. 33. Graining histogram of sample 9 (6/11).



Ryc. 34. Histogramy uziarnienia próbek 10 (6/11), 11 (14/10), 12 (23/10), 13 (27/10).
 Fig. 34. Graining histograms of the samples 10 (6/11), 11 (14/10), 12 (23/10), 13 (27/10).

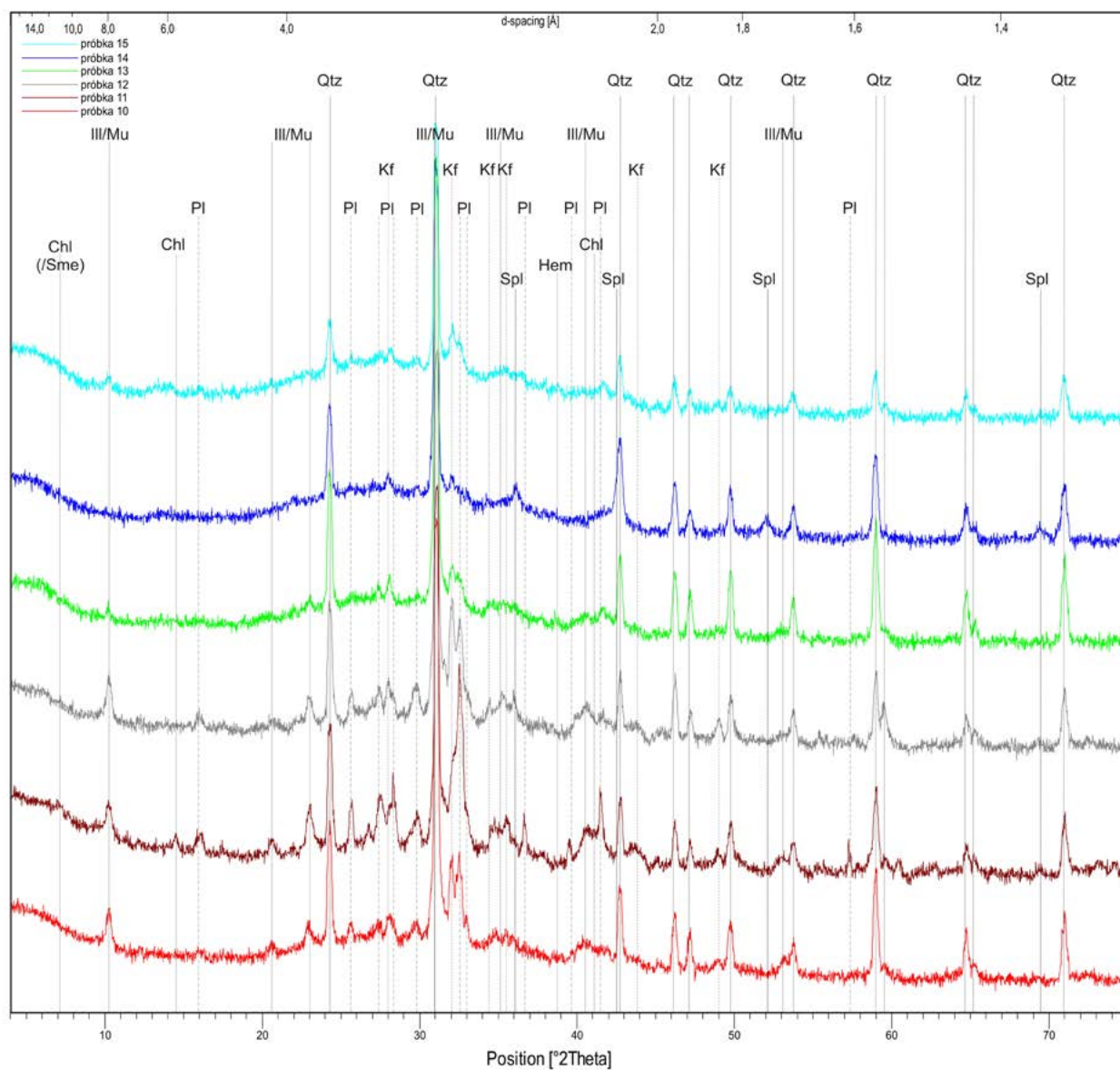


Ryc. 35. Histogramy uziarnienia próbek 14 (17/09), 15 (19/09).
 Fig. 35. Graining histograms of the samples 14 (17/09), 15 (19/09).



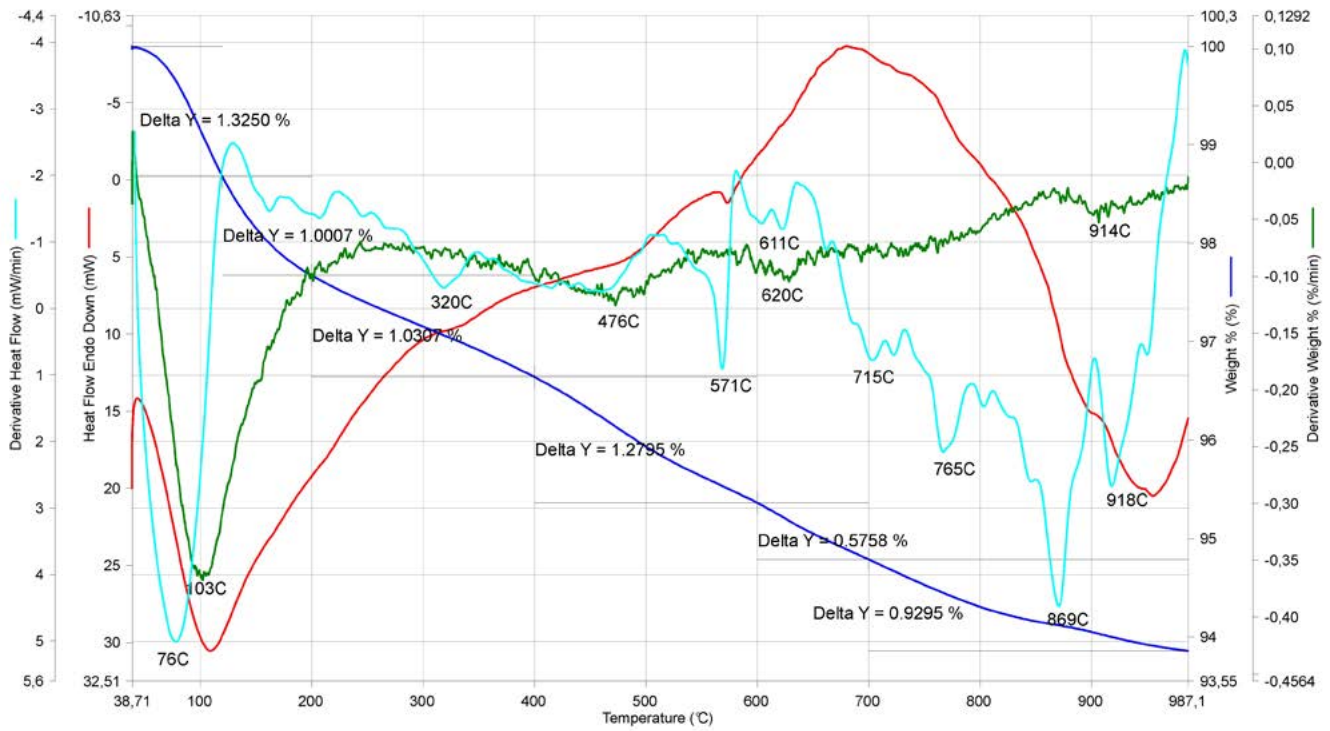
Ryc. 36. Dyfraktogramy badanych próbek ceramiki pradziejowej. Użyte skróty minerałów: qtz - kwarc, ill/mu – illit/muskowit, kf – skalenie alkaliczne, pl – skalenie sodowo-wapniowe, amp – amfibol, kln – kaolinit, sme – smektyty.

Fig. 36. Diffractograms of the examined samples of the prehistoric pottery. Abbreviations of the minerals used: qtz - quartz, ill/mu – illite/muscovite, kf – alkali feldspars, pl – plagioclase, amp – amphibole, kln – kaolinite, sme – smectite.



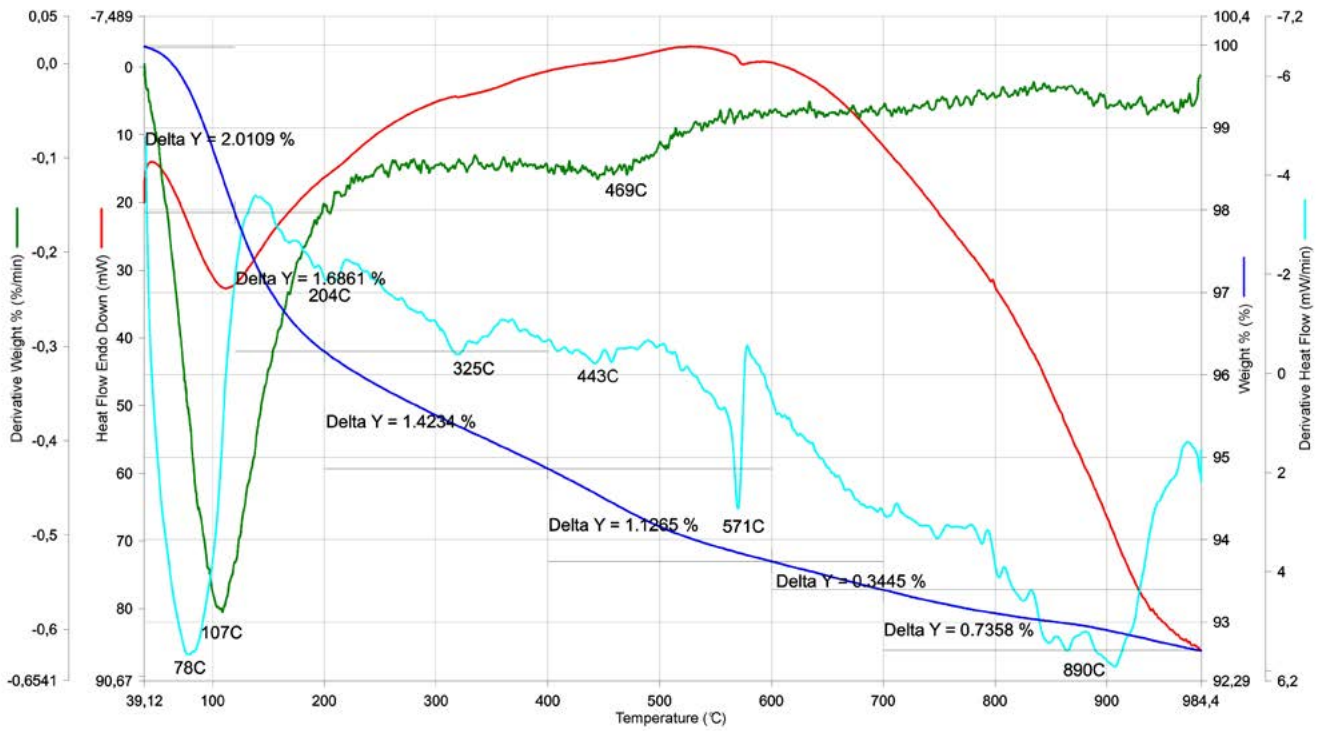
Ryc. 37. Dyfraktogramy badanych próbek ceramiki średniowiecznej. Użyte skróty minerałów: qtz - kwarc, ill/mu – illit/muskowit, kf – skalenie alkaliczne, pl – skalenie sodowo-wapniowe, chl – chloryty, sme – smektyty, spl – spinel.

Fig. 37. Diffractograms of the examined samples of the medieval pottery. Abbreviations of the minerals used: qtz - quartz, ill/mu – illite/muscovite, kf – alcali feldspars, pl – plagioclase, chl – chlorites, sme – smectite, spl – spinel.



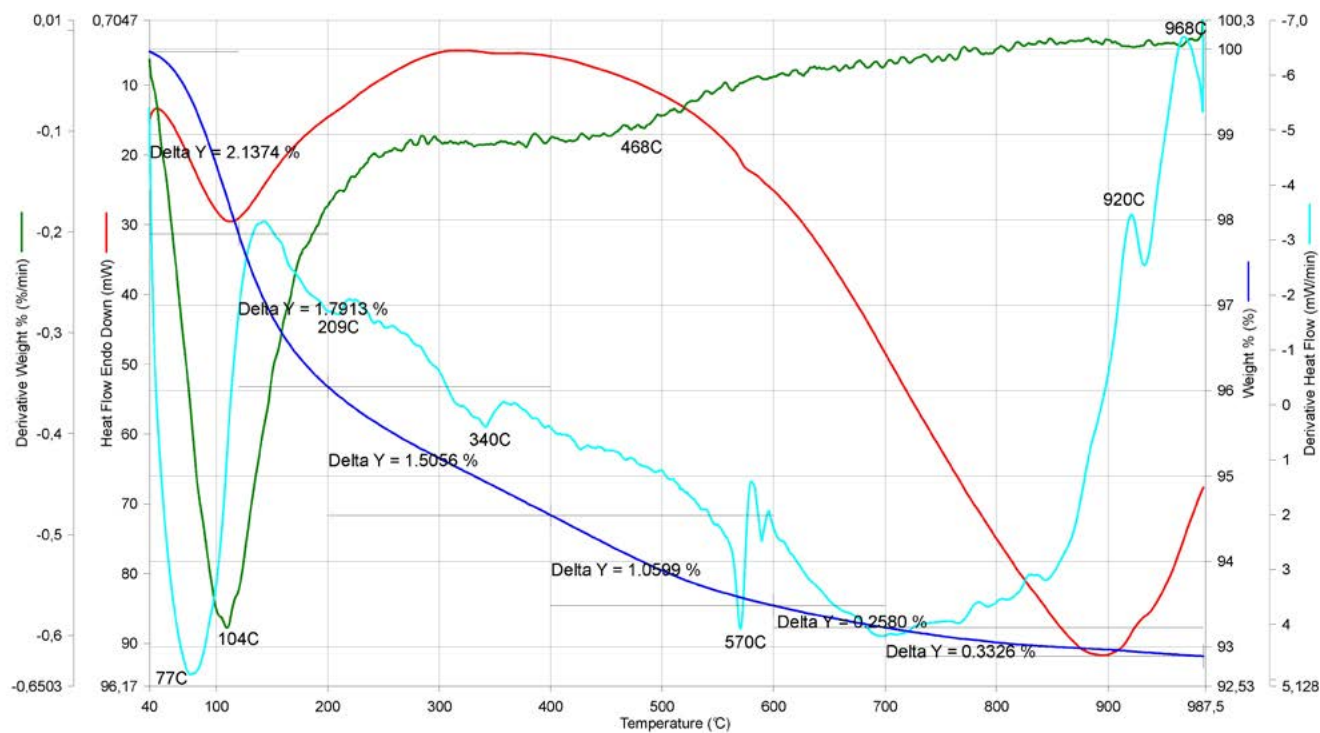
Ryc. 38. Termogram próbki 1 (33/10).

Fig. 38. Thermogram of sample 1 (33/10).

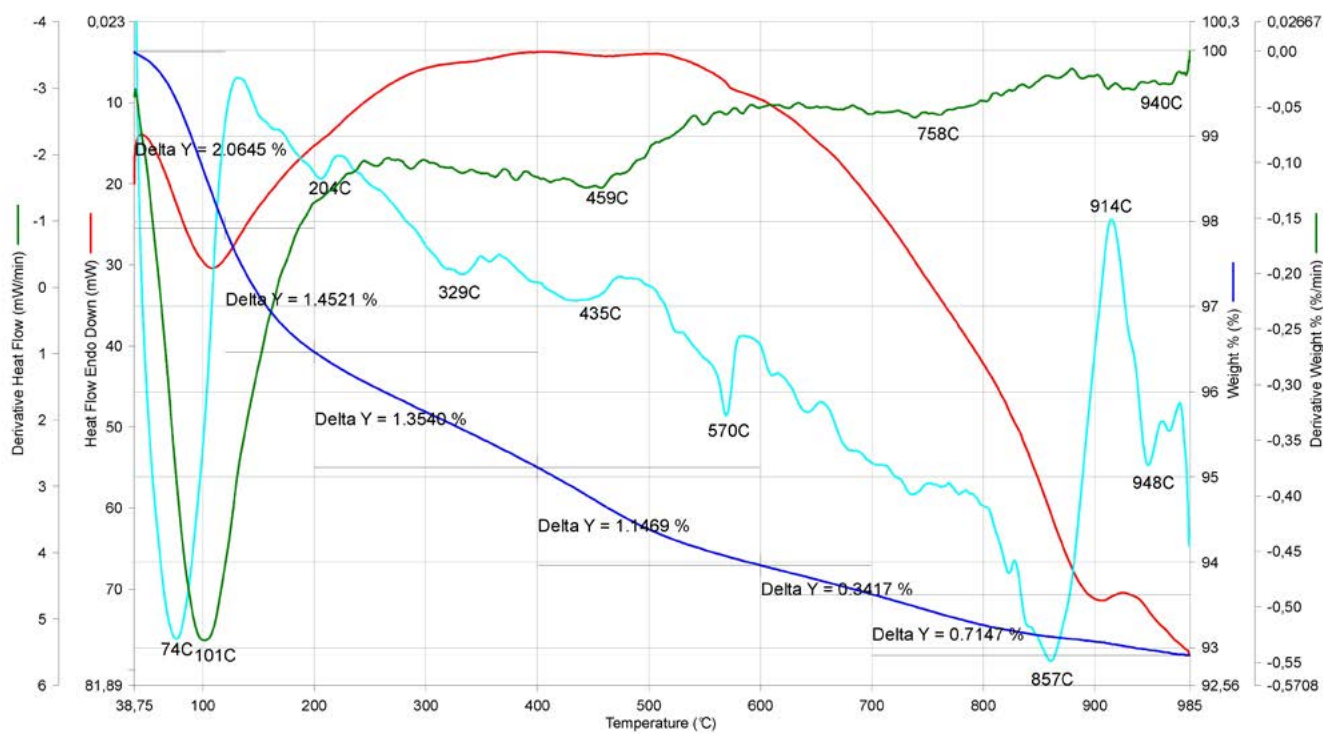


Ryc. 39. Termogram próbki 2 (14/11).

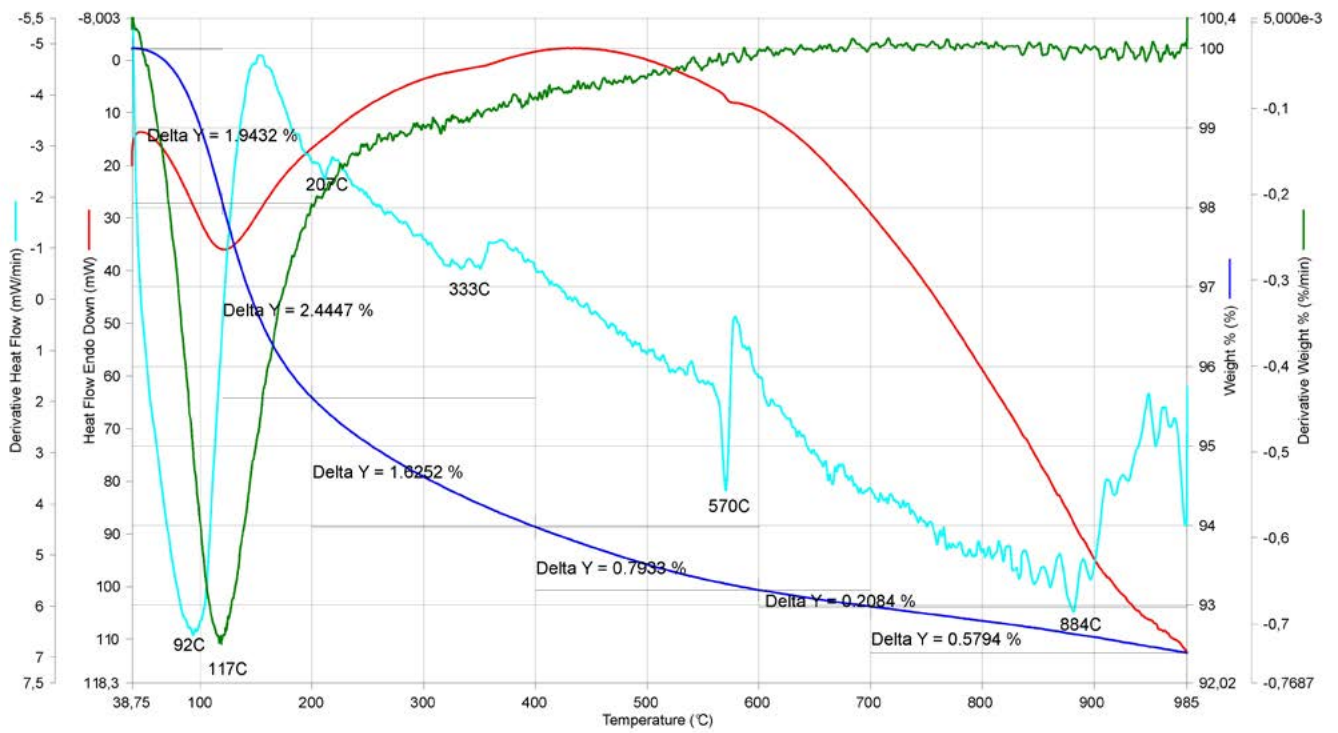
Fig. 39. Thermogram of sample 2 (14/11).



Ryc. 40. Termogram próbki 3 (33/10).
 Fig. 40. Thermogram of sample 3 (33/10).

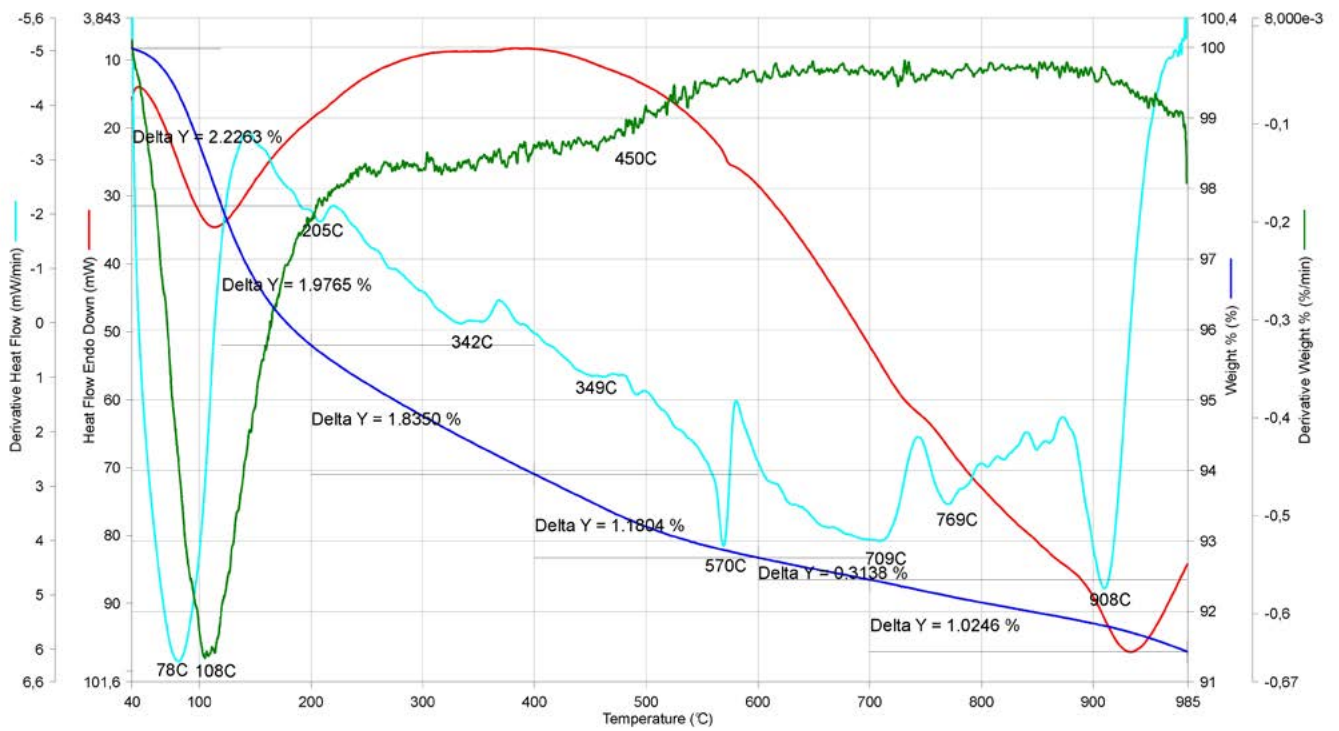


Ryc. 41. Termogram próbki 4 (15/10).
 Fig. 41. Thermogram of sample 4 (15/10).



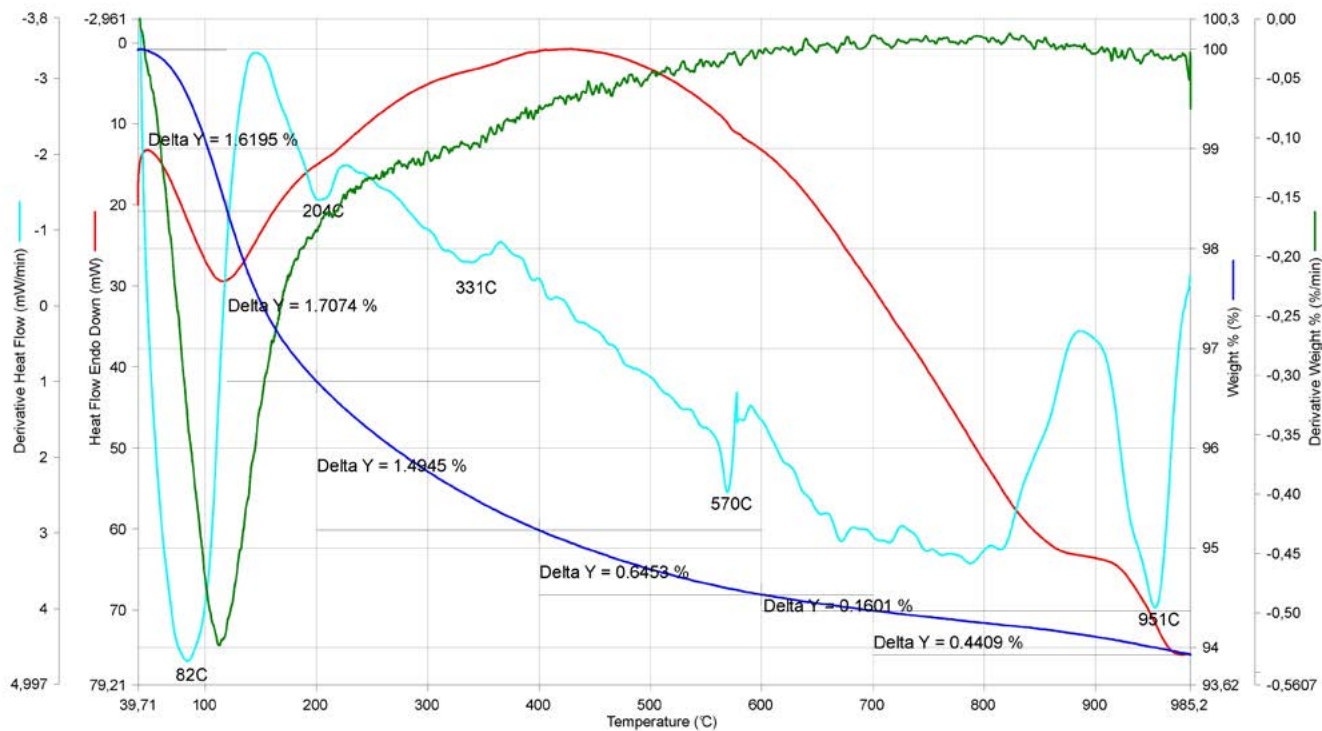
Ryc. 42. Termogram próbki 5 (15/10).

Fig. 42. Thermogram of sample 5 (15/10).



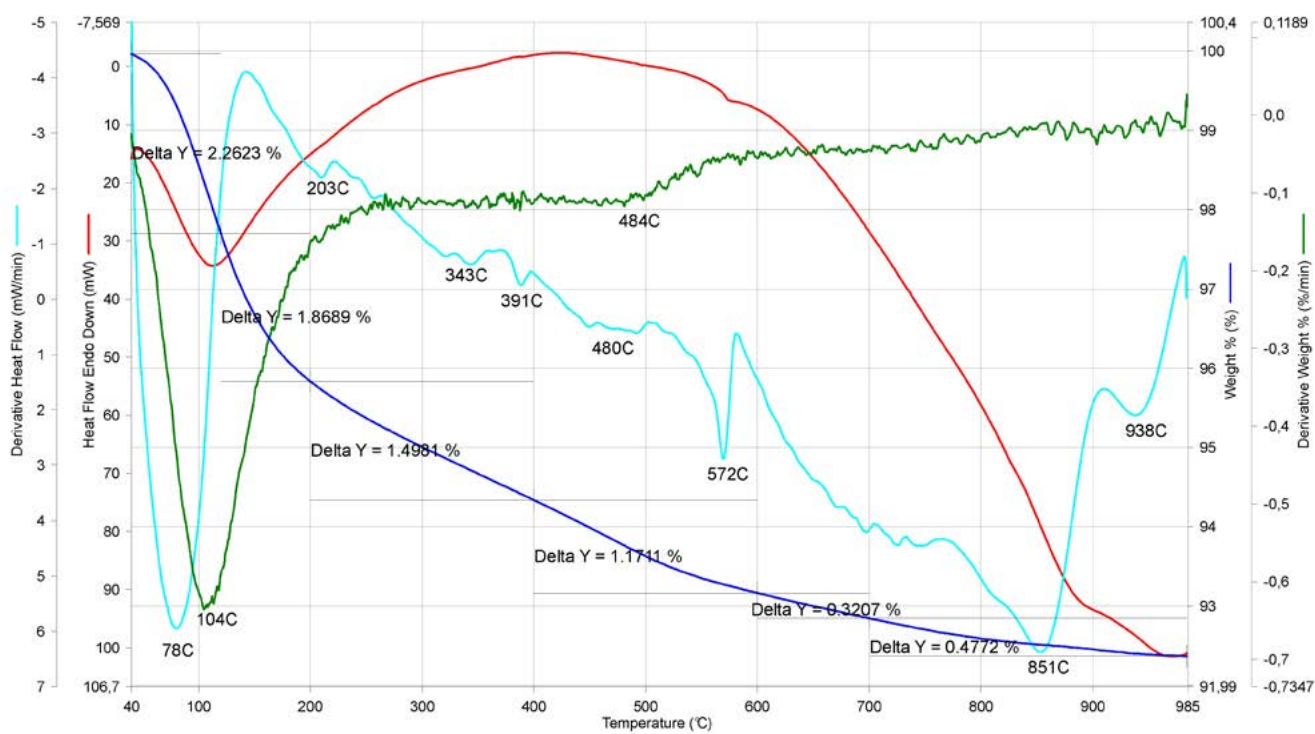
Ryc. 43. Termogram próbki 6 (7/11).

Fig. 43. Thermogram of sample 6 (7/11).



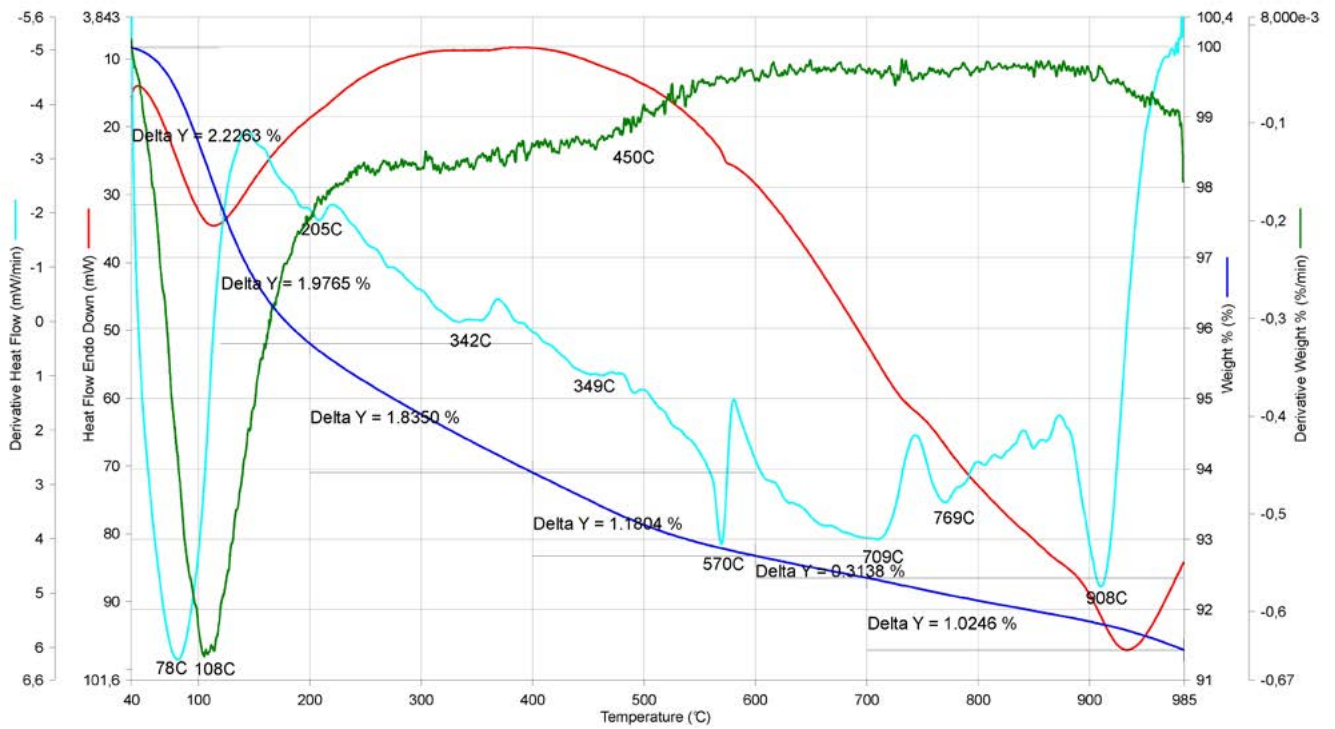
Ryc. 44. Termogram próbki 7 (7/11).

Fig. 44. Thermogram of sample 7 (7/11).



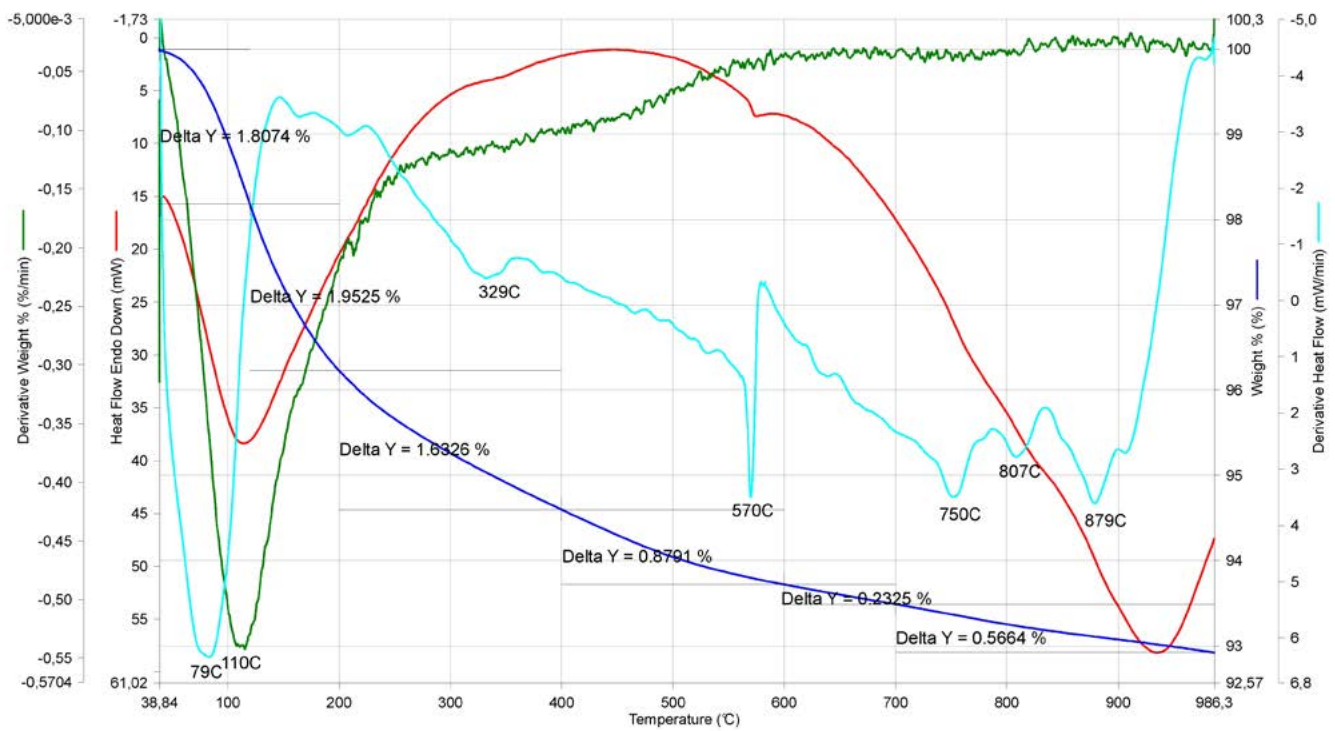
Ryc. 45. Termogram próbki 8 (6/11).

Fig. 45. Thermogram of sample 8 (6/11).



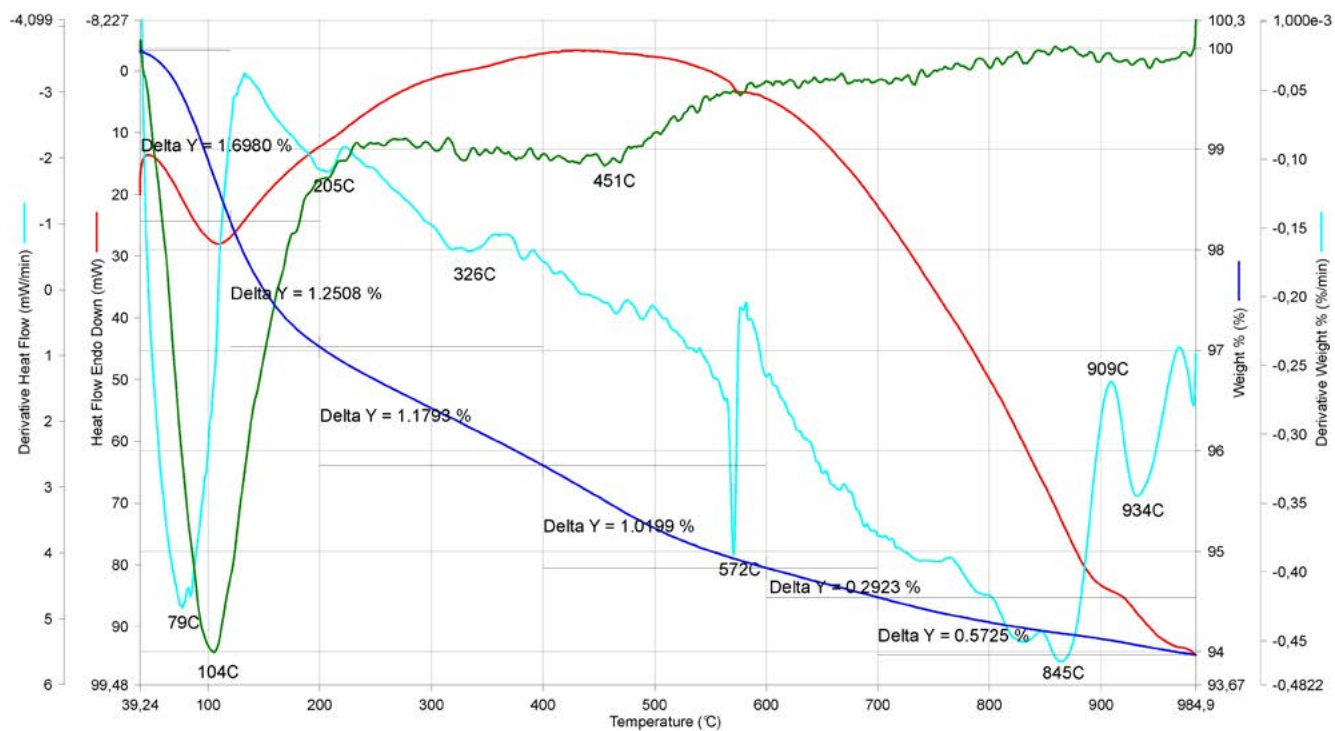
Ryc. 46. Termogram próbki 9 (6/11).

Fig. 46. Thermogram of sample 9 (6/11).

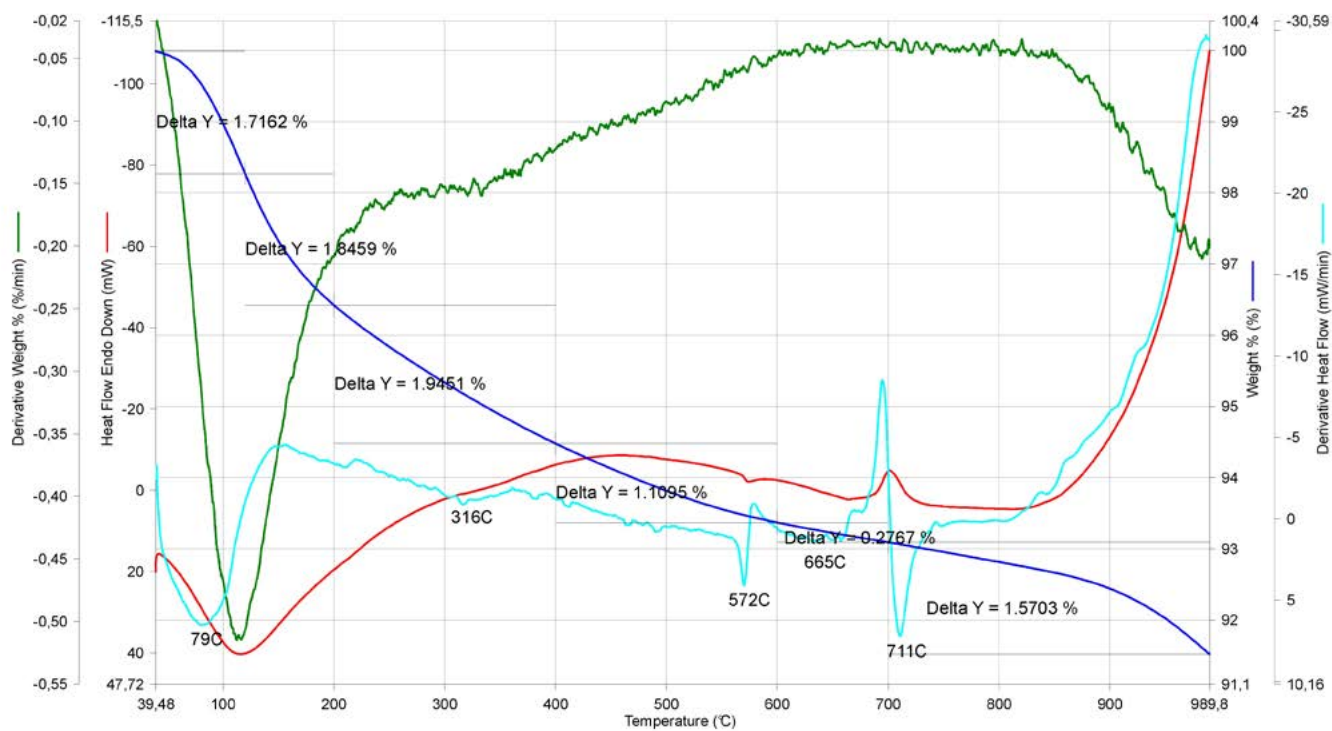


Ryc. 47. Termogram próbki 10 (6/11).

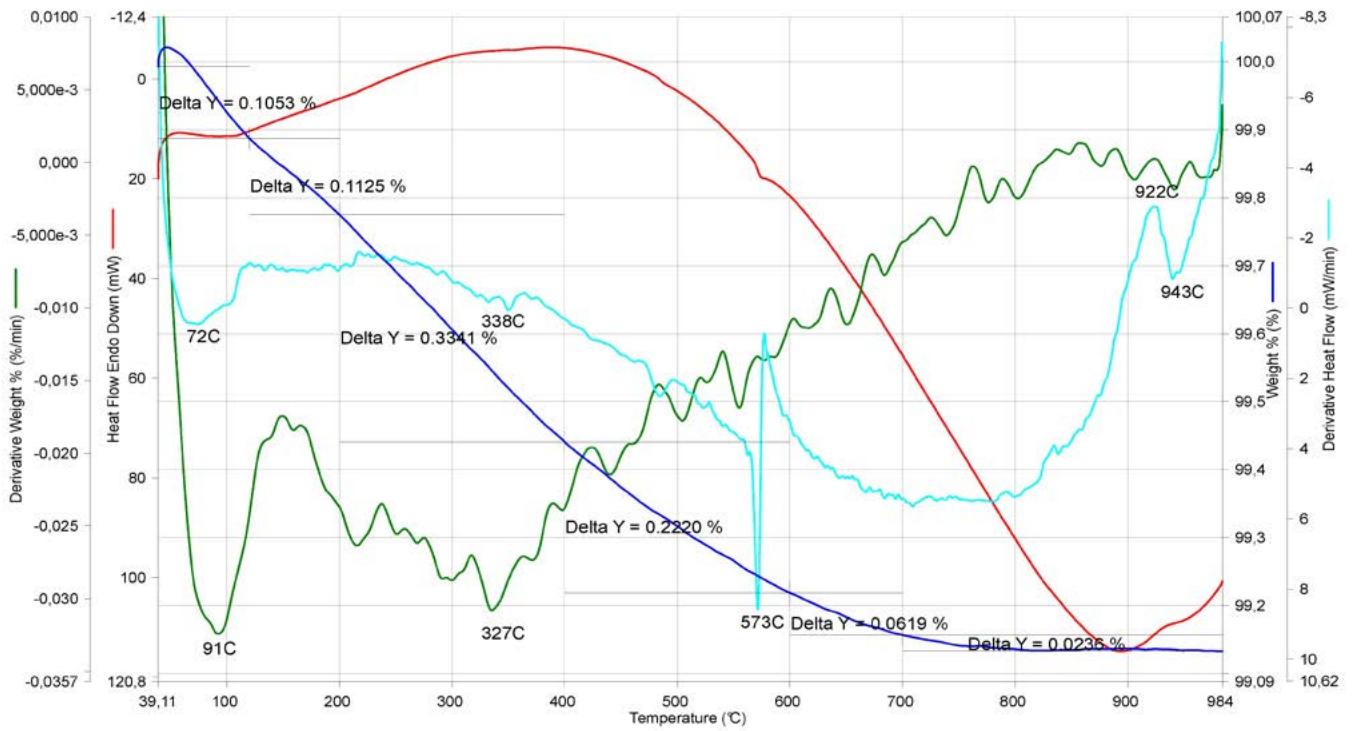
Fig. 47. Thermogram of sample 10 (6/11).



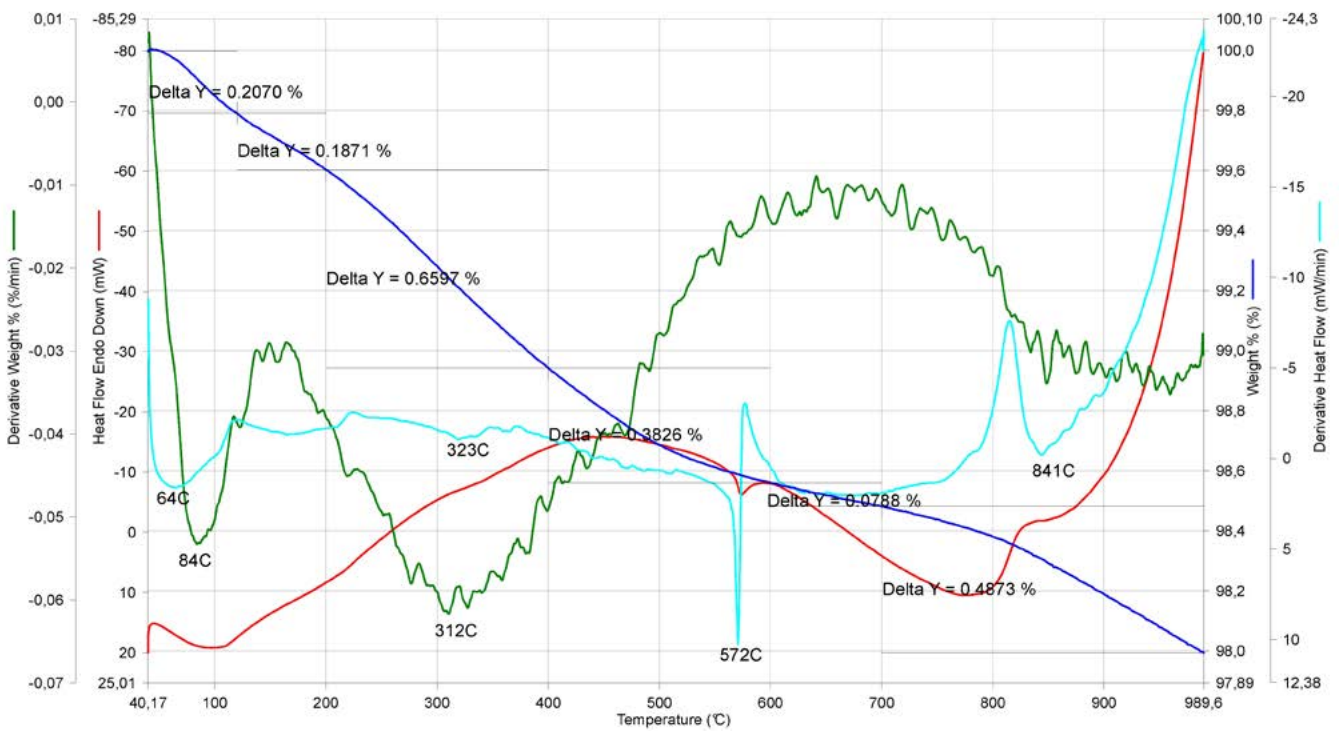
Ryc. 48. Termogram próbki 11 (14/10).
 Fig. 48. Thermogram of sample 11 (14/10).



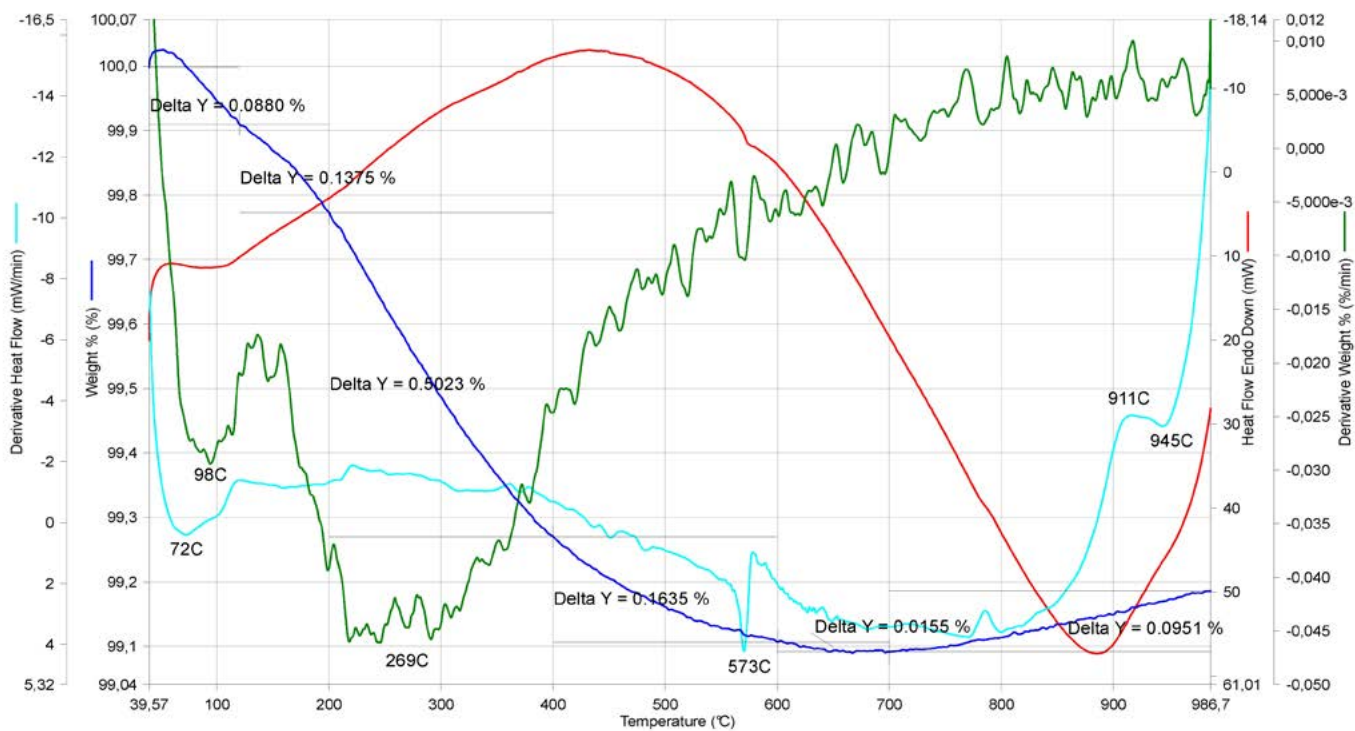
Ryc. 49. Termogram próbki 12 (23/10).
 Fig. 49. Thermogram of sample 12 (23/10).



Ryc. 50. Termogram próbki 13 (27/10).
 Fig. 50. Thermogram of sample 13 (27/10).



Ryc. 51. Termogram próbki 14 (17/09).
 Fig. 51. Thermogram of sample 14 (17/09).



Ryc. 52. Termogram próbki 15 (19/09).

Fig. 52. Thermogram of sample 15 (19/09).

JOANNA JEZIERSKA
Muzeum w Kwidzynie
Oddział Muzeum Zamkowego w Malborku

DANIEL GAZDA
Fundacja Ureusz

Pozostałe zabytki ruchome pochodzące z Góry Zamkowej w Starym Dzierzgoniu

Podczas badań archeologicznych w latach 2009–2011 znaleziono stosunkową małą liczbę zabytków ruchomych innego rodzaju niż ceramika, mimo stosowania wykrywacza metalu do przeczesywania warstw w wykopie w miarę jego pogłębiania. Niniejszy tekst to tylko zasygnalizowanie problematyki a nie szczegółowa analiza znalezionych zabytków; przedstawiamy tu w sposób skrótowy najciekawsze zabytki podzielone według rodzajów.

Zabytki metalowe

Do zabytków tej grupy zaliczają się 3 sztabkowate formy zbliżone kształtem do grotów. Mają długość 110–125 mm (tab. I, 1–3; ryc. 1 a–c). Długość ich liścia¹ wynosi 70–75 mm, zaś maksymalna szerokość wypada w połowie całkowitej długości zabytku. Każdy z okazów został wykonany z jednej sztabki surowca żelaznego. Trzpień są w przekroju prostokątne, zaś liście – prostokątne lub kwadratowe. Zabytki te mają dwa przekroje znacznie różniące się od siebie. Jeden z nich ma regularny wrzecionowaty kształt, natomiast drugi silniej uwidacznia przewężenie w miejscu przejścia liścia w trzpień. Długość okazów sugeruje, że mogły to być niewykończone grotoszczepów. Zasadniczo oszczepy odznaczają się jednak dużo większym i bardziej rozplaszczonym liściem. Niewykluczone, że są to półprodukty grotów bełtów do kuszy. Zostały znalezione w warstwie 6 w wykopie 10. Wraz z nimi znaleziono materiał ceramiczny datowany na koniec XIII w. – 1 poł. XIV w.

Poza tym na Górze Zamkowej w Starym Dzierzgoniu znaleziono grot strzały (tab. I, 5; ryc. 1e)

i grot bełtu do kuszy (tab. I, 4; ryc. 1d). Pochodzą one z warstwy humusowej, więc znów próba określenia chronologii tych zabytków sprowadza się do znalezienia analogii. Grot strzały ma całkowitą długość 93 mm. Waży 11 g. Przekrój liścia jest romboidalny. Brak wyraźnego wyodrębnienia trzpienia od liścia. Groty podobne do tego zostały określone jako typ II A 2 w Plemiętach i typ 77 wg A.F. Medvedeva. Ich chronologia jest określana na XII–XIV w.

Znaleziony grot bełtu waży 19 g. Przekrój kolca ma kształt romboidalny, natomiast trzpień – przekrój kolisty. Maksymalna szerokość kolca znajduje się w jego połowie. Swą formą grot jest zbliżony do typu F ze Słozew i typu 15 wg A.F. Medvedeva. Według rosyjskiego badacza groty tego typu znane są od XII w. Ciekawostką może być fakt, że nie występują one na Rusi poza Nowogrodem. Być może forma ta była bardziej charakterystyczna dla Europy Zachodniej.

Do innych zabytków metalowych znalezionych na Górze Zamkowej należą:

klamra (ryc. 3) – o wymiarach około 8,5 x 7,5 cm; średnica ramy o przekroju mocno spłaszczonego owalu, wahająca się od 1 cm do 0,7 cm, w zależności od tego, w której części mierzymy. Zachował się także kolec zawinięty haczykowato wokół środkowej ramy. Klamra została znaleziona w wykopie 10, w warstwie 3. Można ją chronologicznie przypisać do XIII w. Jest to prawdopodobnie zapięcie pasa siodła.

nóżka lub rączka² (ryc. 4) składająca się z dwóch części: owalnego trzonu i stopki. Trzon, o długości 8 cm, zwęża się w kierunku stopki, przy stopce ma średnicę około 1,3 cm. Stopka jest wygięta w stosunku do trzonu pod kątem około 110 stopni i ma

1. Niewykluczone, że mamy tu do czynienia z półfabrykatami grotów bełtów i w tym wypadku określenie kolec byłoby bardziej adekwatne niż liść.

2. Wariant mniej prawdopodobny.

Tabela 1. Zestawienie grotów ze Starego Dzierzgonia

Lp.	Długość całkowita (mm)	Długość trzpienia (mm)	Długość liścia/kolca (mm)	Szerokość liścia/kolca (mm)	Grubość liścia/kolca (mm)	Maksymalna szerokość liścia/kolca (mm)	Waga (g)
1	110	40	70	12	11	½ długości całkowitej grotu	44
2	128	55	70	13	13	½ długości całkowitej grotu	55
3	120	45	75	15	12	½ długości całkowitej grotu	63
4	63	23	40	13	13	½ długości kolca	1
5	93	50	43	10	7	⅔ długości liścia	11

około 2,5 cm długości. Ten zabytek został wykonany z dwóch stopów metalu (mosiądz i żeliwo?). Została znaleziona w wykopie 10, w warstwie 3, wśród zabytków datowanych na XIII w. Możliwe, że jest to nóżka od naczynia podobnego do trójnóżka.

gwoździe (ryc. 5), znalezione w wykopach 8 i 6, nie mają łebków, ich przekrój jest zbliżony do płaskiego prostokąta.

fragment okucia – uchwytu (ryc. 6); znaleziono go w wykopie 10, w warstwie 5, ma długość około 7,5 cm oraz wysokość około 2,5 cm, prawdopodobnie służył jako uchwyt do kufra.

fragment podkowy (ryc. 2b, ryc. 8), ma długość około 12,5 cm, szerokość ramienia w najszerszym miejscu – około 2,8 cm, przy haceli³ zwęża się do około 1,2 cm. Od strony płaszczyzny przyziemia znajduje się bruzda z trzema lub czterema prostokątnymi otworami, w których umieszczano gwoździki zwane podkowiakami do umocowania podkowy do kopyta⁴. Hachel jest zniszczony, był uformowany pod kątem prostym w stosunku do płaszczyzny

podkowy. W ramie podkowy, w płaszczyźnie przyziemia, znajdują się ślady trzech wypustek. Podkowa nosi ślady zużycia – ścierania, część przy hacelu jest grubsza niż w jej centralnej części, jednak dokładny wymiar grubości podkowy trudno ustalić ze względu na warstwę rdzy. Została znaleziona w wykopie 8, w humusie, co wyklucza przypisanie jej do konkretnej datowanej warstwy stratygraficznej. Wymiary podkowy i uformowanie hacela świadczy o tym, że pochodzi ona z tzw. wczesnego okresu (XII-XIII w.); z drugiej strony jest to zabytek słabo zachowany, co utrudnia jego klasyfikację (typ IV? według Kazimierczyka – 2 poł. XIII w.).

haczyk żelazny (ryc. 2a) długości 8 cm, wykonany metodą kucia z jednej sztabki, został znaleziony w wykopie 10, w warstwie 2.

Poza tym do ciekawszych znalezisk należą: dwa nożyki żelazne, w tym jeden z trzpieniem, długości 6,5 cm oraz fragment kluczyka do skrzyni. Przedmioty te jednak są mocno skorodowane, zachowane fragmentarycznie.

3. Hachel – zwany także zaczepem, jest to odgięty koniec podkowy od strony płaszczyzny przyziemia w celu zabezpieczenia kopyta przed ślizganiem się.

4. Dzięki bruzdzie główki podkowiaki nie wystawały ponad płaszczyznę podkowy, co zapobiegało ich ścieraniu, a co za tym idzie – niszczeniu.

Żarna

A – żarno o rzucie z góry lekko trójkątnym, wraz z rozcieraczem stożkowatym 21 x 17 x 14 cm, granit. Żarno nosi ślady intensywnego użytkowania, zostało znalezione w wykopie 8, w obiekcie 5, w wykopie VIII.

B – żarno lekko nieckowate, 43 x 33 x 18 cm, granit. Zostało znalezione w wykopie 8, w stropie warstwy 3.

Cegły i gliniana nóżka

Na wyróżnienie w tej kategorii zabytków zasługują liczne w górnych warstwach stratygraficznych znaleziska ułamków cegieł, które są rozrzucone praktycznie po całym obiekcie, nawet na majdanie centralnym. Jednak są to małe odłamki, które nie pozwalają na rekonstrukcję wymiarów. Mają dwie podstawowe odmiany kolorystyczne: ciemnoczerwoną oraz jasnoczerwoną. Nóżka ceramiczna (ryc. 7) ma przekrój owalny o średnicy około 1,35 cm i długość około 5,5 cm. Została wykonana z masy ceramicznej o barwie szarobiałej. Przedmiot może być fragmentem rzeźby lub naczynia ceramicznego, znaleziono go w wykopie 10.

Badania niemieckie

Na zakończenie warto wspomnieć o kategoriach zabytków, jakie w trakcie badań w latach 1935–1937 znaleźli archeolodzy niemieccy. Tę problematykę ilustrują ryc. nr 9–10, na których widać zbiorcze zestawienia odkopanych zabytków metalowych, oczywiście nie wszystkich. Pod zabytkami znajdują się podpisy lokalizujące miejsca ich znalezienia. Są to głównie numery działek i obszarów lub wykopów, niestety bez numeracji warstw. Większość zabytków pochodzi z majdanu centralnego oraz głównego. Na ryc. nr 9 przedstawiono zestaw różnego rodzaju grotów: do kusz, strzał do łuków oraz oszczepu. W dolnym rzędzie są widoczne groty z trzpieniem – typ I, podzielone na dwa podtypy ze względu na przekrój kolca: podtyp IA – kolec o przekroju zbliżonym do kwadratu (nr 16–23), podtyp IB – kolec o przekroju romboidalnym (nr 24–25). W górnym rzędzie są widoczne groty typu z tulejką (typ II), podzielone z kolei na trzy podtypy ze względu na przekrój kolca: prostokątny IIA (nr 1–9), romboidalny II B (nr 10–15) oraz IIC – kolec w kształcie liścia? (nr 27–28). Na rycinie znajduje się półfabrykat (nr 26)

podobny do znalezionych w wykopie 10 w 2010 r. Natomiast groty o numerach 29–30 należą do oszczepu. Mają one osadzenie w postaci tulejki oraz kwadratowy przekrój liścia. Ze względu na niezbyt dokładne rysunki zabytków (tyczy się to głównie uformowania końca kolca), przyporządkowanie ich do konkretnych analogii jest utrudnione. Znaleziska grotów są dosyć powszechne na zamkach czy niektórych grodziskach na terenie Państwa Zakonnego. W obiegu naukowym funkcjonuje kilka głównych typologii grotów (np. Miedwiediew 1966; Kola, Wilke 1976, 1985; Maesalu 2001). Ze względu na historię obiektu i analizę tych typologii wyżej wymienione znaleziska (nr 1–26) można przyporządkować ogólnie do XIII w. Natomiast na ryc. nr 10 przedstawiono sprzączki jednowęzłowe różnego typu: owalne, D-kształtne oraz prostokątne. Niektóre egzemplarze są dobrze zachowane wraz z noskami. Tego typu sprzączki, które według publikacji Ross Whitehead można datować na XIII i XIV w., były używane do różnego rodzaju pasów, głównie skórzanych. Na uwagę zasługują trzy egzemplarze znajdujące się u dołu ryciny, po prawej stronie. Skrajny egzemplarz to klamra wykonana z bursztynu, a dwa środkowe – z brązu; mogą to być przedmioty wykonane wcześniej niż w czasach krzyżackich czy późnopruskich.

Bibliografia

- GAZDA D.
2013 *Badania archeologiczne Castroum Pomesanum w Starym Dzierzgoniu w sezonie 2009*, [w:] *XVII Sesja Pomorzoznawcza*, t. 2, Gdańsk, s. 193–214.
- GAZDA D., JEZIERSKA J., KONIK J., SZŁĄZAK P.
2013 *Obiekty warowne w Starym Dzierzgoniu i Bogdanach*, [w:] *Grodziska Warmii i Mazur. Stan wiedzy i perspektywy badawcze*, red. Z. Kobyliński, „Archaeologica Hereditas. Prace Instytutu Archeologii UKSW”, t. 2, Warszawa–Zielona Góra, s. 135–161.
- JANOCHA H.
1998 *Z badań nad obronnością i uzbrojeniem załogi grodu i zamku w Starym Drawsku (Drahimiu) we wczesnym średniowieczu i średniowieczu*, „Zeszyty Koszalińskie”, Koszalin, s. 119–180.
- JEZIERSKA J.
2013 *Militaria pozyskane w trakcie badań Misji Pomezania – Bałtyckiej w latach 2009–2010*, [w:] *XVIII Sesja Pomorzoznawcza*, t.1, Malbork, s. 385–394.

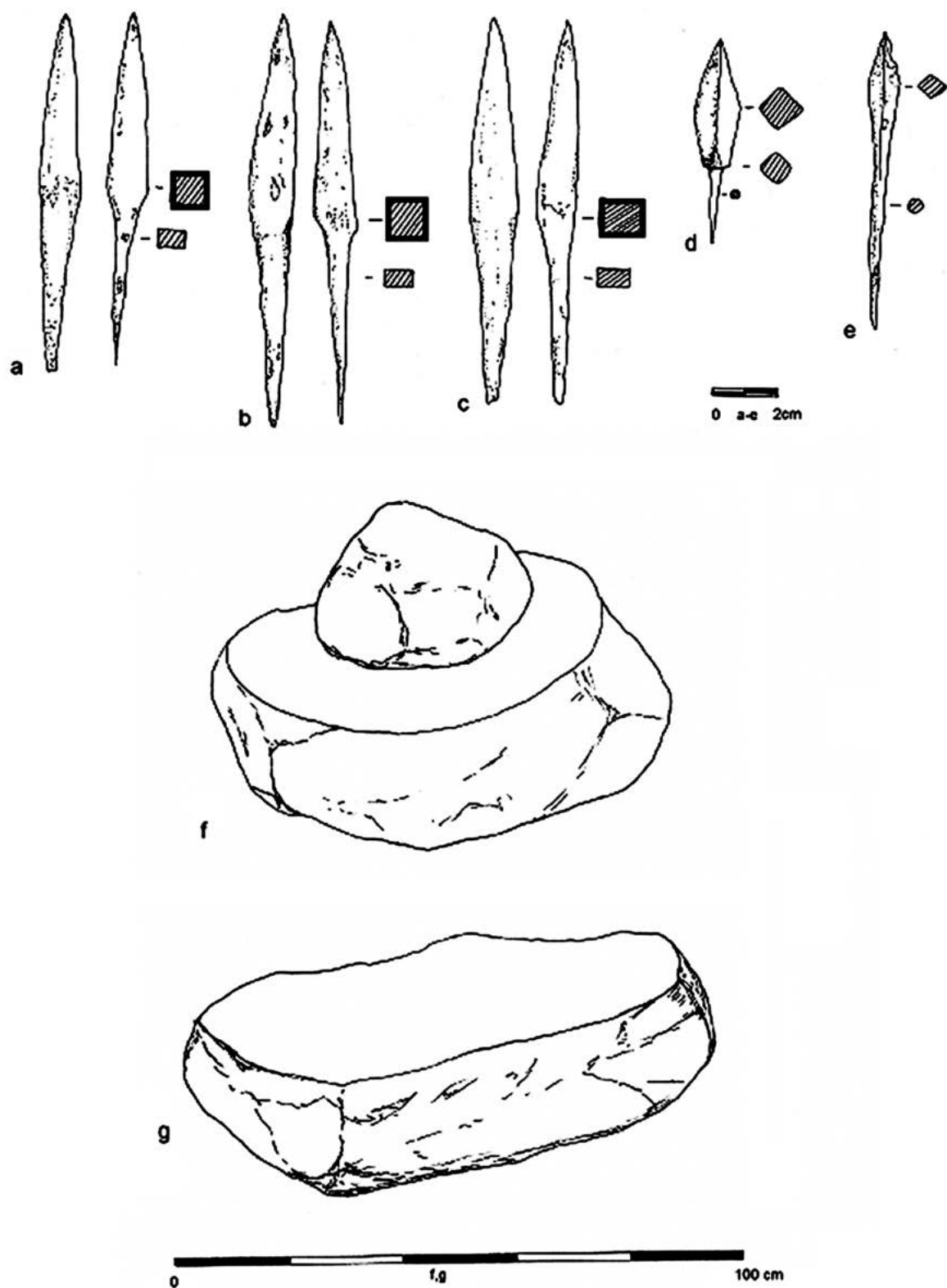
- KAZIMIERCZYK J.
1978 *Podkowy na Śląsku w X–XIV w.*, Wrocław, Warszawa, Kraków, Gdańsk
- KIRPIČNIKOV A.N.
1966 *Drevnerusskoe orużie IX–XIII vv., Kop'ja, sulicy, boevye topory, bulavy, kiseni*, Vyp.2., Arheologiâ SSSR, Moskwa–Leningrad.
1973 *Snarâżenie vsadnika i verhogo konâ na Rusi v IX–XIII vv.*, Arheologiâ SSSR, Svod Arheologičeskih Istočnikov, v. E1–36, Leningrad.
- KOLA A.
2003 *Późnośredniowieczne grodzisko w Słuzewie w Ziemi Chełmińskiej*, „Archeologia Historica Polona”, t. 13, Toruń, s. 277–285.
- KOLA A., WILKE G.
1985 *Militaria z grodziska w Plemiętach. Broń strzelcza*, [w:] *Plemięta średniowieczny gródek w Ziemi Chełmińskiej*, Toruń, s. 107–128.
1976 *Zespół grotów beltów do kusz z grodziska późnośredniowiecznego w Słuszewach koło Brodnicy w świetle odkryć z 1973 r.*, „Zapiski Historyczne”, z. 1, t. XLI, Toruń, s. 81–121.
1973 *Produkcja grotów beltów do kuszy w średniowieczu w świetle współczesnych prób eksperymentalnych. Uwagi na marginesie odkryć na grodzisku późnośredniowiecznym w Słuszewach, pow. Brodnica, w 1973 r.*, „Acta Universitatis Nicolai Copernici”, Archeologia V, Toruń, s. 161–181.
- ŁASZKIEWICZ T., MICHALAK A.
2007 *Broń i oporządzenie jeździeckie z badań I nadzorów archeologicznych na terenie Międzyrzecza*, „Acta Militaria Mediaevalia”, t. 3, Kraków–Sanok, s. 99–176.
- MEDVEDEV A.F.
1966 *Ručnoe metatel'noe orużie. Luk i strely, samostrel VIII–XIV vv.*, Arheologiâ SSSR, Svod Arheologičeskih Istočnikov, vyp. E1–36, Moskwa.
- MÄESALU A.
2001 *Weapons in Otepää Castel in 1396*, „Castella Maris Baltici”, t. 5 (Archeologia Medii Aevii Finlandiae, t. 6), Rudkøbing 2001, s. 91–98.
- NADOLSKI A.
1978 *Broń średniowieczna z ziem polskich*, Łódź.
1954 *Studia nad uzbrojeniem polskim w X, XI, XII wieku*, „Acta Archaeologica Universitatis Lodziensis”, nr 3, Łódź.
- NOWAKOWSKI A.
1991 *Uzbrojenie średniowieczne w Polsce*, Toruń.
- PELA W.
2008 *Znaleziska ostróg z zapiekami z drugiej połowy XV w. w Europie Środkowej*, „Kwartalnik Historii Kultury Materialnej”, t. 56, nr 2.
- PŘIHODA R.
1932 *Zur Typologie und Chronologie mittelalterlicher Pfeispitzen Und Armbrustbolzeneisen*, „Sudeta. Zeitschrift für Vor- und Frugeschichte”, t. 8, z. 3, Reichenberg, s. 43–67.
- RUTTKAY A.
1975 *Waffen und Reiterausrüstung des 9. bis zur erste Hälfte des 14. Jahrhunderts in der Slowakei*, cz. 1, „Slov. Arch.” nr 23/1.
1976 *Waffen und Reiterausrüstung des 9. bis zur erste Hälfte des 14. Jahrhunderts in der Slowakei*, cz. 2, „Slov. Arch.”, nr 24/1.
- SERDON V.
2005 *Armes du diable. Arcs et arballètes au moyen âge*, Rennes
- WHITEHEAD R.
1996 *Buckles, 1250–1800*, Greenlight.
- ZIMMERMAN B.
2000 *Mittelalterliche Geschosspitzen. Kulturhistorische, archäologische und archäometallurgische Untersuchungen*, „Sweizer Beiträge zur Kulturgeschichte und Archäologie des Mittelalters”, t. 26, Basel.
- ZSCHILLE R., FORRER R.
1891 *Der Sporn in seiner Formen-entwicklung*, Berlin

Other movable artifacts from the Castle Hill in Stary Dzierzgoń

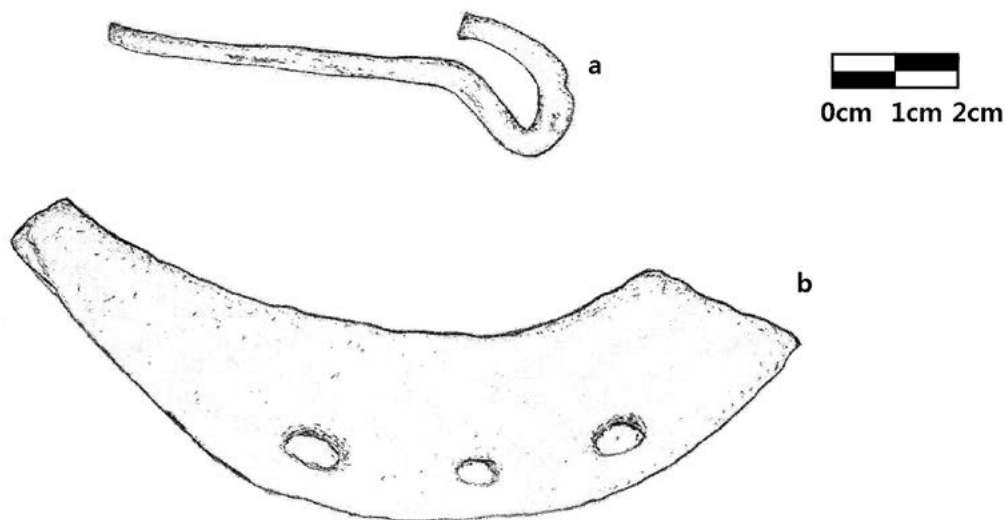
SUMMARY

During the archaeological research in 2009–2011 a relatively small number of artifacts of different type than ceramics were found. This text is only a signaling of the problem, not a detailed analysis of the artifacts found; we present in a short form the most interesting artifacts, divided into their types.

Metal artifacts: The artifacts of this group include 3 bar-shaped forms similar in shape to the spikes. They have a length of 110–125 mm (Table I, 1–3, Fig. 1 a–c). They were found in the layer 6 in the trench 10. A ceramic material from the end of the 13th and the first half of the 14th century was found with them. In addition, on the Castle Hill in Stary Dzierzgoń an arrowhead (Table I, 5, Fig. 1e) and a crossbow bolt (Table I, 4, Fig. 1d) were found. Their chronology is determined for the 12th–14th centuries. Other metal relics found on Castle Hill include: a hook and a half of a horseshoe (fig. 2, 8), a belt buckle (Fig. 3), a handle or a pedicle (Fig. 4), the nails (Fig. 5), fitting – handle (Fig. 6), ceramic object (handle, pedicle?) (Fig 8). At the end the categories of artifacts found during the research in 1935–1937 conducted by the German archaeologists should be mentioned. They are illustrated by Figs. 9–10, which show selection of the excavated metal artifacts with the captions pointing out the location of the findings. Most of the artifacts come from the central and main bailey of the stronghold. Fig. 9 presents a set of different types of arrowheads: the crossbow, bow and javelin ones. Knowing the history of the object and due to the analysis of these typologies, the above-mentioned finds (No. 1–26) can be assigned in general to the 13th century. Fig. 10 shows one-legged buckles of various types. These types of buckles, according to Ross Whitehead's publication, can be dated to the 13th and 14th centuries and were used for a variety of mainly leather belts. Noteworthy are three artifacts at the bottom of the figure, on the right. An unusual artifact is a buckle made of amber and the two middle ones made of bronze – they were probably made in the early Iron Age.



Ryc. 1. Zabytki ruchome pochodzące z badań z lat 2009–2011, rys. J. Jezierska.
Fig. 1. Artifacts from research of 2009–2011, drawing J. Jezierska.



Ryc. 2. Hak i połowa podkowy, część wewnętrzna, rys. J. Jezierska.

Fig. 2. A hook and a half of a horseshoe, inner part, drawing J. Jezierska.



Ryc. 3. Klamra, fot. D. Gazda.

Fig. 3. Belt buckle, photo D. Gazda.



Ryc. 4. Nóżka lub rączka, fot. D. Gazda

Fig. 4. A handle or a pedicle, photo D. Gazda



Ryc. 5. Gwoździe, fot. D. Gazda

Fig 5. Nails, photo D. Gazda



Ryc. 6. Okucie-rączka, fot. D. Gazda

Fig 6. Fitting-handle, photo D. Gazda



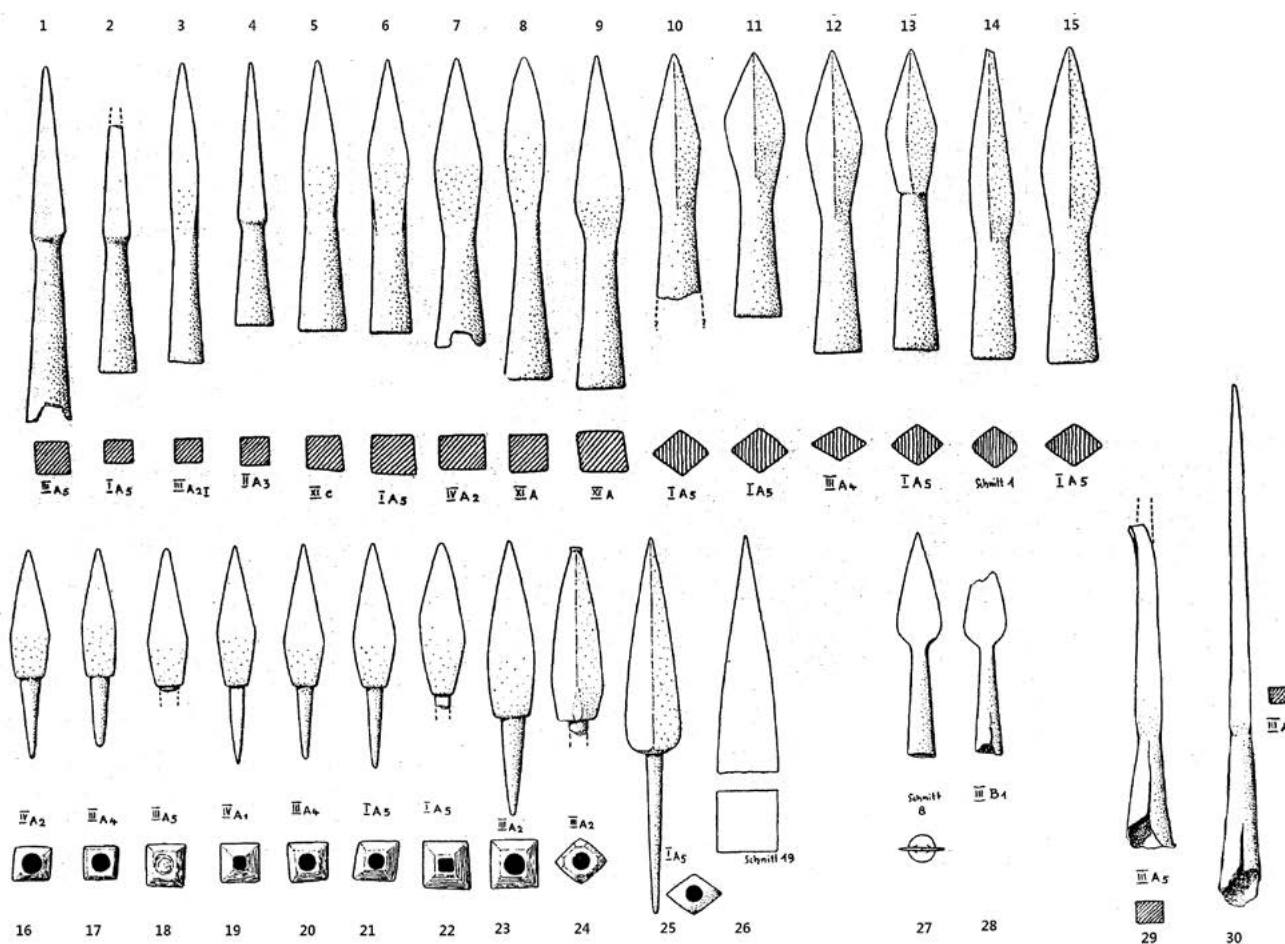
Ryc. 7. Przedmiot ceramiczny (rączka, nóżka?), fot. D. Gazda

Fig. 7. Ceramic object (handle, pedicle?), photo D. Gazda



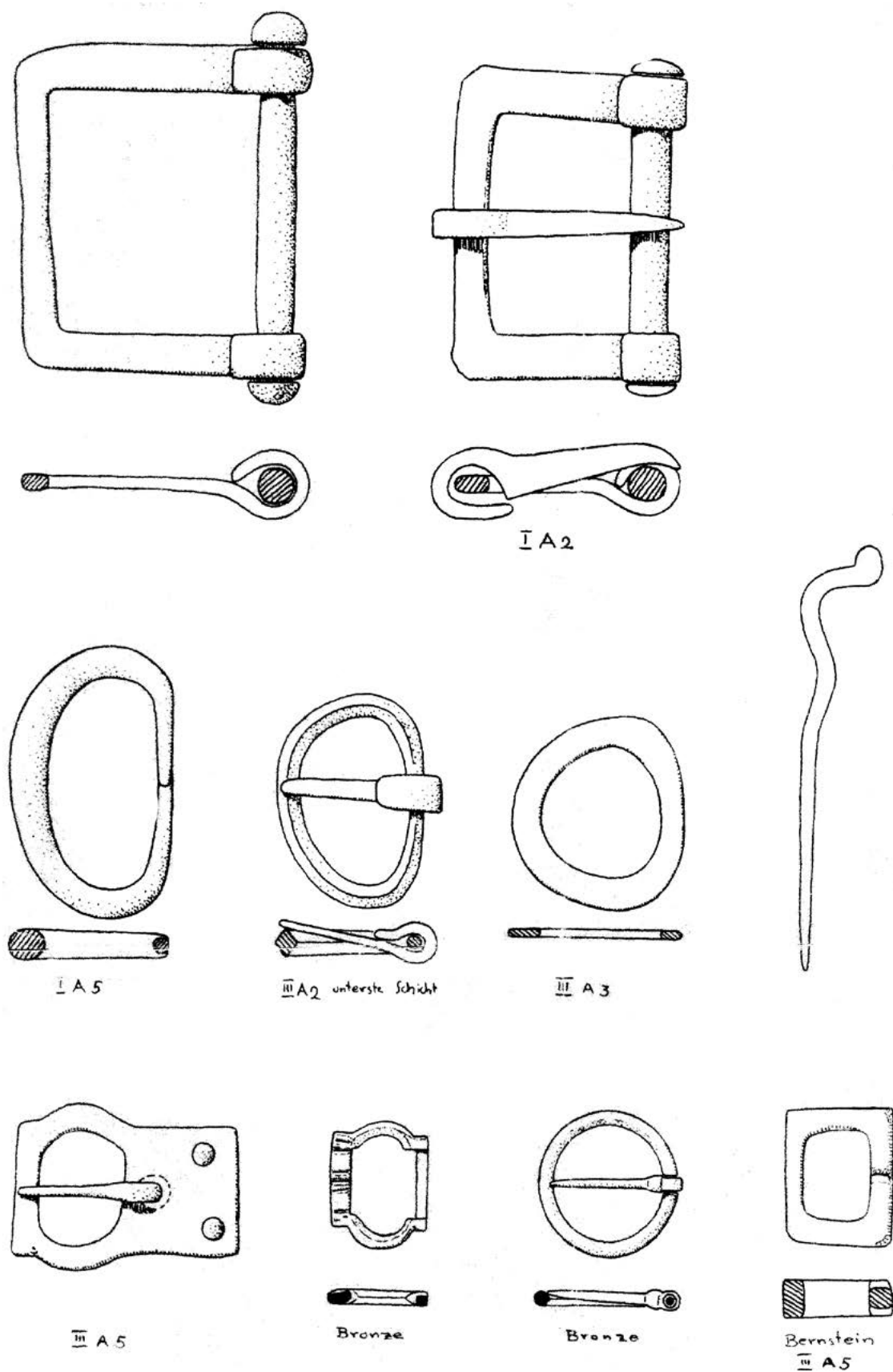
Ryc. 8. Połowa podkowy, część spodnia, fot. D. Gazda

Fig. 8. Half of a horseshoe, part of the bottom, photo D. Gazda



Ryc. 9. Grotty z badań niemieckich z lat 1935–1937 – Kartoteka Schleifa

Fig. 9. Arrowheads and bolts from German research of 1935–1937 – Schleif's file



Ryc. 10. Sprzączki z badań niemieckich z lat 1935–1937 – Kartoteka Schleifa
 Fig. 10. Belt buckles from German research of 1935–1937 – Schleif's file

Szczałki zwierzęce ze średniowiecznego zamku w Starym Dzierzgoniu – sezon 2010

W latach 2009–2010, podczas wykopalisk na terenie zamku w Starym Dzierzgoniu, odkryto 44 kości i fragmenty kostne pochodzące od zwierząt. Materiał osteologiczny został przekazany do analizy archeozoologicznej. Szczałki zwierzęce pochodziły z kontekstów datowanych na podstawie ceramiki i stratygrafii na epokę żelaza, oraz średniowiecze (XIII w.).

Materiał kostny zachowany był bardzo dobrze, o czym świadczył wysoki odsetek szczałków zidentyfikowanych pod względem gatunku i anatomii (84%) (tab. 1). Było to wynikiem relatywnie korzystnych warunków depozycji szczałków oraz słabym rozdrobnieniu w pierwszych etapach tafonomicznych.

Materiał osteologiczny został poddany analizie archeozoologicznej, która polegała na identyfikacji gatunkowej i anatomicznej. Następnie szczałki badano pod względem wieku i płci zwierząt oraz morfologii gatunków domowych.

Identyfikacja zoologiczna została przeprowadzona na podstawie występujących w szkielecie cech systematycznych, dzięki którym określono gatunek zwierzęcia (Akajewski 1979; Krysiak, Świeżyński, 1987).

Szczałki owcy i kozy, ze względu na trudności w jednoznacznej identyfikacji wynikające z podobieństwa szkieletów obu gatunków, przedstawiono jako jedną grupę: „owca / koza”.

Wyliczono udziały procentowe szczałków wszystkich gatunków, za 100% przyjmując łączną liczbę kości zidentyfikowanych z całego stanowiska.

Szczałki zwierzęce poddano również identyfikacji anatomicznej mającej na celu oznaczenie elementu szkieletu, z którego pochodził dany fragment. Na podstawie tych oznaczeń wykonano rozkłady anatomiczne dla bydła i świni. Szczałki podzielono na siedem grup w zależności od ich usytuowania w szkielecie:

1. głowa – czaszka, mózdzienie, poroże, kość gnykowa, żuchwa, zęby;

2. tułów – kręgi, kość krzyżowa, mostek, żebra;
3. bliższa część kończyny piersiowej – łopátka, kość ramienna, kość promieniowa, kość łokciowa;
4. dalsza część kończyny piersiowej – kości nadgarstka, kości śródreżca;
5. bliższa część kończyny miednicznej – miednica, kość udowa, kość piszczelowa, rzepka, kość strzałkowa;
6. dalsza część kończyny miednicznej – kości stępu, kości śródstopia;
7. członów palcowe – członów palcowe I, członów palcowe II, członów palcowe III.

W obrębie tych grup podano liczbę oznaczonych szczałków oraz ich udziały procentowe, co stanowiło podstawę przy ich porównywaniu. Rozkłady anatomiczne badano, zwracając szczególną uwagę na obecność członów palcowych oraz na równowagę pomiędzy udziałem bliższych części kończyn piersiowej i miednicznej. Jako brak równowagi traktowano różnice większe niż 10%. Przy omawianiu wyników posługiwano się terminami „atrakcyjna” i „mało atrakcyjna” konsumpcyjnie część tuszy.

Za atrakcyjne uznaje się te partie tuszy, które są najbardziej obłożone mięsem i tłuszczem, a więc tułów oraz bliższe części kończyn. Kryterium tego podziału była wartość kaloryczna części tuszy. Ocenę wieku zwierząt w chwili śmierci przeprowadzono na podstawie obserwacji stopnia rozwoju ontogenetycznego kośćca i zębów. Ocena stopnia rozwoju uzębienia oparta była na danych zebranych przez Lutnickiego (1972) i Müllera (1973). Natomiast ocenę zrostu nasady z trzonami kości długich przeprowadzono, opierając się na danych z prac Koldy (1936) i Chaplina (1971). Powyższe obserwacje miały wskazać, czy w badanych osadach prowadzono hodowlę mięsną, czy wielokierunkową z wykorzystaniem również cech przyżyciowych zwierząt.

Badania nad morfologią oparto na pomiarach kości dokonanych według zasad zunifikowanych

przez von den Driesch (1976). Morfotyp bydła odtworzono przy pomocy skal punktowych skonstruowanych przez Lasotę-Moskalewską (1984). Metoda ta pozwala na zobiektywizowanie danych metrycznych. W przypadku bydła skalę punktową podzielono również na trzy zespoły reprezentujące wielkości małe (0–30 punktów), średnie (31–69 punktów) i duże (70–100 punktów).

Wyniki analizy

Średniowieczny materiał kostny ze Starego Dzierzgonia składał się wyłącznie ze szczątków ssaków (*Mammalia*). W grupie ssaków zidentyfikowano jedynie kości ssaków domowych. Dwa gatunki dominowały: bydło (*Bos primigenius f. domestica*) oraz świnia (*Sus scrofa f. domestica*) (tab. 3). Nieco mniejszy był udział procentowy owcy (*Ovis orientalia f. domestica*) i kozy (*Capra aegagrus f. domestica*).

Natomiast w materiale pradziejowym zidentyfikowano jedynie szczątki bydła.

Lista kości szkieletu bydła odnotowanych w rozkładzie anatomicznym była niepełna i uboga.

Nie odnotowano szczątków bydła pochodzących od zwierząt bardzo młodych. Kości osobników niedojrzałych morfologicznie pochodziły od zwierząt wyrosniętych, które osiągnęły już niemal rozmiary zwierząt dorosłych. W materiale ze Starego Dzierzgonia nie znaleziono natomiast szczątków bydła z cechami pozwalającymi określić płeć.

Natomiast osiem kości miało zachowane cechy, które pozwalały na dokonanie ich pomiarów. Wyniki badań osteometrycznych przeliczono na punkty, co wykazało, że pochodziły one od zwierząt średniorosłych, w typie brachycerycznym. Zwierzęta, od których pochodziły szczątki, stanowiły stosunkowo jednorodną, wykrzyżowaną stadą, o cechach świadczących o stosunkowo dobrych warunkach bytowania oraz długiej tradycji hodowlanej.

Szkielet świni również był dość bogato reprezentowany w badanym materiale kostnym. Jednak, w odróżnieniu od szczątków bydła, tu dominowały fragmenty czaszki i zęby. Wysokie odsetki odnotowano także w grupie szczątków pochodzących z tułowia oraz bliższych części kończyn. Wśród szczątków świni odnotowano również pewną liczbę członów palcowych. Rozkład anatomiczny szczątków świni wskazuje, że są to odpadki pokonsumpcyjne. Interesującą obserwacją jest wysoki udział szczątków „głowy”. Świadczy to o popularności jedzenia głowizny oraz najprawdopodobniej „nózek”. Rozkład anatomiczny szczątków świni nie wykazy-

wał natomiast cech, które świadczyłyby o dystrybucji mięsa poza objęty badaniami obszar.

W materiale kostnym z Dzierzgonia odnotowano stosunkowo mało szczątków pochodzących od niedojrzałych świń. Jest to gatunek, który w materiałach ze stanowisk archeologicznych najczęściej ma najwyższe udziały kości zwierząt niedojrzałych. W badanym zespole odnotowano tylko dwie tego typu kości pochodzące od osobników zabitych pomiędzy 17 a 22 miesiącem i przed ukończeniem 3–3,5 roku życia, a więc stosunkowo późno. Długość chówu świni ma na celu pozyskanie głównie słoniny i smalcu. Jest to typowy model hodowli świń, szczególnie we wczesnym średniowieczu i średniowieczu.

O dokładnym wykorzystywaniu całej tuszy świni świadczy brak kości z zachowanymi cechami potrzebnymi do pomiarów.

Szkielet małych przeżuwaczy był znacznie mniej licznie reprezentowany w badanym materiale osteologicznym. Zdecydowanie dominowały w tym zespole szczątki pochodzące z najbardziej obłożonych mięsem części tuszy. Znaleziono fragment mózdzienia, co świadczy o tym, że przynajmniej niektóre osobniki owcy były rogate. Obecność tego typu szczątków oraz członów palcowych wskazuje również, że w skład szczątków wchodziły też odpadki ze wstępnych etapów podziału tuszy. Rozkład anatomiczny szczątków owcy / kozy świadczy o tym, że głowizna pochodząca od przeżuwaczy nie była powszechnie konsumowana. Nie zaobserwowano dysproporcji szczątków dowodzących dystrybucji mięsa. Wydaje się, że na terenie zamku lub w jego bardzo bliskim sąsiedztwie dokonywano uboju zwierząt i podziału tuszy oraz mięsa. Można więc wnioskować, że albo nabywano głównie żywiec, albo hodowla przyzamiowa była stosunkowo dobrze rozwinięta i typowa w swym modelu dla średniowiecza.

Niewątpliwie dietę mięsną mieszkańców zamku w Starym Dzierzgoniu uzupełniano drobiem. Spośród ptaków jedzono przede wszystkim kury.

W materiale osteologicznym znaleziono również kość konia. Jednak jej obecność nie świadczy raczej o jedzeniu koniny. Jest to zapewne fragment padliny.

Konkludując, można stwierdzić, że na terenie zamku podstawą konsumpcji było głównie mięso zwierząt domowych. Najważniejszymi składnikami diety mięsnej były wołowina i wieprzowina. Brak szczątków zwierząt łownych jest natomiast raczej zjawiskiem rzadziej spotykanym w materiałach z zamków średniowiecznych. Przyczyn tego trzeba być może szukać w randze i roli zamku.

Natomiast wydaje się, że przy zamku lub w jego sąsiedztwie rozwinięta była hodowla bydła, świń,

owiec i kóz. Zwierzęta hodowano długo, co świadczy o tym, że szczególnie w przypadku przeżuwaczy celem chowu było wykorzystywanie przyżyciowe. Bydło pełniło w średniowieczu głównie rolę siły pociągowej w rolnictwie, dostarczyciela nawozu i mleka. Natomiast owce dostarczały wełny, a kozy – mleka. Długa hodowla świń jest natomiast charakterystyczna dla średniowiecza, kiedy w diecie szczególnie ceniono tłuszcz.

Wydaje się więc, że gospodarka i konsumpcja w Starym Dzierzgoniu były typowe dla średniowiecznych osad lub małych grodów, natomiast dość

nietypowe dla zamków z obszaru współczesnej Polski. Bez wątplenia jest to jednak materiał o dużym potencjale poznawczym i konieczne jest w tym przypadku kontynuowanie badań archeologicznych.

Od wczesnego neolitu po wczesne średniowiecze bydło było najważniejszym gatunkiem gospodarczym na terenie Niżu Środkowoeuropejskiego. Jego rola była szczególnie istotna na wschód od Wisły. Stąd wydaje się, że obecność szczątków bydła w obiektach datowanych na epokę żelaza jest jak najbardziej typowa.

Tabela 1. Szczątki ze stanowiska Stary Dzierzgoń

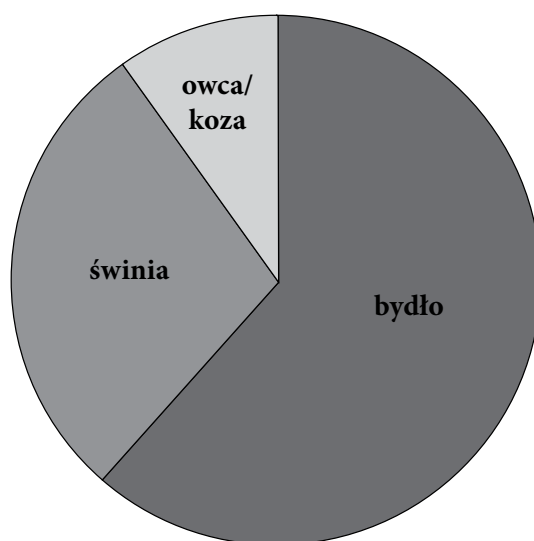
	N	%
Szcątki określone	37	(84,09)
Szcątki nieokreślone	7	(15,09)
N	44	100

Tabela 2 . Katalog szczątków ze stanowiska Stary Dzierzgoń

Nr inw.	Wykop	Bydło	Świnia	Owca / koza	Koń	Kura	Nieokreślone
01/10	10, wa II	3	-	-	-	-	-
02/09	04, ob. 1	1	1	-	-	-	-
03/09	05, wa III	2	-	-	-	-	-
03/10	10, wa IV	2	1	3	-	-	1
04/10	10, wa IV	-	1	-	-	-	1
05/09	11, wa II	-	2	-	-	-	-
05/10	10, wa III	7	-	-	-	-	-
06/09	10, wa II	3	-	-	-	-	4
07/09	06, wa IV	1	2	-	-	-	-
08/09	07, wa III	-	2	-	-	-	-
01/09	08, Wa III	3	-	-	-	-	-
2II OK.	08E, ob. 5	-	-	-	-	-	1

Tabela 3. Rozkład gatunkowy szczątków zwierzęcych

Gatunek	n	%
Bydło <i>Bos primigenius f. domestica</i>	19	(61,29)
Świnia <i>Sus scrofa f. domestica</i>	9	(29,03)
Owca / koza <i>Ovis orintalis f. domestica</i>	3	(9,67)
N	31	100



Ryc. 1. Rozkład gatunkowy szczątków zwierzęcych.

Tabela 4. Rozkład anatomiczny szczątków

Kość	Bydło	Świnia	Owca / koza
<i>Cranium</i>	-	1	-
<i>Maxilla</i>	-	-	-
<i>Proc. cornuales</i>	-	-	-
<i>Dentes</i>	1	1	-
<i>Mandibula</i>	2	1	-
<i>Vertebrae</i>	2	-	-
<i>Costae</i>	3	1	3
<i>Scapula</i>	3	-	-
<i>Humerus</i>	3	-	-
<i>Radius</i>	1	1	-
<i>Ulna</i>	-	-	-
<i>o. carpi</i>	-	-	-
<i>o. metacarpi</i>	-	1	-
<i>Pelvis</i>	-	-	-
<i>Femur</i>	-	1	-
<i>Patella</i>	-	-	-
<i>Tibia</i>	-	1	-
<i>Talus</i>	-	-	-
<i>Calcaneus</i>	-	-	-
<i>o. tarsi</i>	-	-	-
<i>o. metatarsi</i>	-	1	-
<i>Ph. Proximalis</i>	6	-	-
<i>Ph. Media</i>	-	-	-
<i>Ph. distalis</i>	-	-	-

Tabela 5. Podział tuszy bydła w zestawieniu z rozkładem wzorcowym

Tusza	N	Rozkład wzorcowy
G	3	20%
T	5	43%
BCKP	7	5%
DCKP	0	8%
BCKM	0	3%
DCKM	0	7%
CP	6	14%

Tabela 6. Podział tuszy świni w zestawieniu z rozkładem wzorcowym

Tusza	N	Rozkład wzorcowy
G	3	20%
T	1	34%
BCKP	1	4%
DCKP	1	10%
BCKM	2	3%
DCKM	1	9%
CP	0	20%

Tab. 7. Podział tuszy owcy / kozy

Tusza	n	Rozkład wzorcowy
G	0	20%
T	3	43%
BCKP	0	5%
DCKP	0	8%
BCKM	0	3%
DCKM	0	7%
CP	0	14%

Bibliografia

CHAPLIN R. E.

1971 *The Study of Animal Bones from Archaeological Sites*, London–New York.

DRIESCH A. VON DEN

1976 *A guide to the measurement of animal bones from archaeological sites*, „Peabody Museum Bulletins” nr 1, I-IX, s. 1–137.

KOLDA J.

1936 *Srovnávací anatomie zvířat domácích se zretelem k anatomii člověka*, Brno.

LASOTA-MOSKALEWSKA A.

1984 *Morphotic changes of domestic cattle skeletons from the Neolithic Age to the beginning of the Iron Age*, „Wiadomości Archeologiczne” nr 45/2, s. 119–163.

eton from the Neolithic Age to the beginning of the Iron Age, „Wiadomości Archeologiczne” nr 45/2, s. 119–163.

LUTNICKI W.

1972 *Uzębienie zwierząt domowych*, Warszawa–Kraków.

MÜLLER H.H.

1973 *Das Tierknochenmaterial aus den frühgeschichtlichen Siedlungen von Tornow, Kr. Calau*, [w:] *Die germanischen und slawischen Siedlungen und das mittelalterliche Dorf von Tornow, Kr. Calau*, red. J. Herrmann, Berlin.

Animal remains from the medieval castle in Stary Dzierzgoń – season 2010**SUMMARY**

In the 2009 and 2010 research seasons, 44 bones and bone fragments originating from animals were discovered in the grounds of the castle in Stary Dzierzgoń. Osteological material was submitted for archaeozoological analysis. The animal remains came from the contexts dated, on the basis of the pottery and the stratigraphy, for the Iron Age, and the Middle Ages (13th century) (Table 1). Medieval bone material from Stary Dzierzgoń consisted exclusively of mammals (*Mammalia*). In the mammal group only the domestic mammal bones were identified. Two species dominated: cattle (*Bos primigenius f. Domestica*) and pig (*Sus scrofa f. Domestica*) (Table 3). The share of sheep (*Ovis orientalia f. Domestica*) and goats (*Capra aegagrus f. Domestica*) was slightly smaller. On the other hand, only cattle remains were identified in the prehistoric material.

The farm of cattle, pigs, sheep and goats was developed near the castle or in its vicinity. Animals were bred for a long time, which proves that especially for the ruminants, the purpose of rearing was to utilize life-giving.